

# ATLAS DE ANATOMÍA DE ESPECIES SILVESTRES DE LA AMAZONÍA

## Volumen II - Mamíferos

Aparato Respiratorio  
Corazón, Grandes Vasos y Bazo



Autores

Pedro Mayor Aparicio  
Carlos López Plana

Organizadores

Pedro Mayor Aparicio  
Carlos López Plana  
Gessiane Pereira da Silva  
Thyago Habner de Souza Pereira  
Frederico Ozanan Barros Monteiro

**ATLAS DE ANATOMÍA DE ESPECIES  
SILVESTRES DE LA AMAZONÍA**  
**Volumen II**





Pedro Mayor Aparicio  
Carlos López Plana  
**Autores**

Gessiane Pereira da Silva  
Thyago Habner de Souza Pereira  
Frederico Ozanan Barros Monteiro  
Ana Rita de Lima  
Érika Renata Branco  
**Traductores**

Pedro Mayor Aparicio  
Carlos López Plana  
Gessiane Pereira da Silva  
Thyago Habner de Souza Pereira  
Frederico Ozanan Barros Monteiro  
**Organizadores**

# ATLAS DE ANATOMÍA DE ESPECIES SILVESTRES DE LA AMAZONÍA Volumen II

Editora Associada a Associação Brasileira das Editoras Universitárias – ABEU

**Dados Internacionais de Catalogação na Publicação (CIP)**

---

M473a Mayor Aparicio, Pedro

Atlas de Anatomía de Especies Silvestres de la Amazonía / Pedro Mayor  
Aparicio Carlos López Plana. - Belém: Universidade Federal Rural da  
Amazônia, 2021

605 p.: il.; PDF; 3v.

ISBN: 978-85-7295-148-7

1. Animales salvajes. 2. Anatomia veterinaria. 3. Animales salvajes -  
Taxonomia. I. López Plana, Carlos. II. Título.

CDD 23. ed. 639.9

---

Elaborado por Cristiane do Espirito Santo Coelho - CRB2/1027

**Belém – Pará  
2021**

© 2021 Universidade Federal Rural da Amazônia.

## MINISTERIO DE EDUCACIÓN

**Milton Ribeiro**

MINISTRO

## UNIVERSIDADE FEDERAL RURAL DA AMAZÔNIA

**Herdjania Veras de Lima**

Rectora

**Jaime Viana de Sousa**

Vicereitor

**Suely Nazaré Furtado França**

Gerente de Edição

**Antônia Benedita da Silva Bronze**

**Israel Hidenburgo Aniceto Cintra**

**Leony Soares Marinho**

**Suely Nazaré Furtado França**

**Tabilla Verena da Silva Leite**

Comisión Editorial

**Pedro Mayor Aparicio**

Portada

**Cristiane do Espirito Santo Coelho**

**Inácia Faro Libonati**

**Marcelle Cristina da Silva Lima**

**Renan Michel da Costa Ribeiro**

**Socorro de Fátima Souza da Silva Viegas**

Equipo Editorial

**Mónica Sumoy Gete-Alonso**

Revisión de la Lengua Española



Editora associada a ABEU (Associação Brasileira das Editoras Universitárias)

**DIRECCIÓN**

Av. Tancredo Neves, 2501

CEP: 66077-530 - Terra Firme

e-mail: editora@ufra.edu.br

## AUTORES Y ORGANIZADORES

### Autores:

#### **Pedro Mayor Aparicio**

Professor Titular

Departament de Sanitat i Anatomia Animals

Facultat de Veterinària

Universitat Autònoma de Barcelona

Bellaterra, Barcelona, España

mayorpedro@hotmail.com

pedrogines.mayor@uab.cat

#### **Carlos López Plana**

Professor Titular

Departament de Sanitat i Anatomia Animals

Facultat de Veterinària

Universitat Autònoma de Barcelona

Bellaterra, Barcelona, España

carlos.lopez@uab.cat

### Organizadores:

#### **Pedro Mayor Aparicio**

Professor Titular

Departament de Sanitat i Anatomia Animals

Facultat de Veterinària

Universitat Autònoma de Barcelona

Bellaterra, Barcelona, España

mayorpedro@hotmail.com

pedrogines.mayor@uab.cat

#### **Carlos López Plana**

Professor Titular

Departament de Sanitat i Anatomia Animals

Facultat de Veterinària

Universitat Autònoma de Barcelona

Bellaterra, Barcelona, España

carlos.lopez@uab.cat

#### **Gessiane Pereira da Silva**

Estudante de Doutorado

Programa de Pós-Graduação em Saúde

e Produção Animal na Amazônia

Universidade Federal Rural da Amazônia

Belém, Pará, Brasil

gessyane05@hotmail.com

#### **Thyago Habner de Souza Pereira**

Estudante de Doutorado

Programa de Pós-Graduação em Saúde

e Produção Animal na Amazônia

Universidade Federal Rural da Amazônia

Belém, Pará, Brasil

thyagohabner1@gmail.com

#### **Frederico Ozanan Barros Monteiro**

Professor Associado

Programa de Pós-Graduação em Saúde

e Produção Animal na Amazônia

Universidade Federal Rural da Amazônia

Belém Pará, Brasil

fredericovet@hotmail.com

## PRESENTACIÓN

Las prácticas mágico-religiosas que se realizaban en la antigüedad para predecir el futuro, basadas en el examen de las entrañas de animales sacrificados, probablemente ayudaron a promover un desarrollo incipiente del conocimiento anatómico, aprendizaje que debió de profundizarse con el proceso de domesticación de las especies animales (entre 9.000 y 8.000 a.C.).

Varios milenios después, Aristóteles (384-322 a.C.), el padre de la Zoología, realiza observaciones anatómicas que sirvieron para mejorar significativamente el conocimiento sistemático del reino animal. Pero fue cuando la capital cultural se instala en Alejandría, tras la muerte de Alejandro Magno, que la Anatomía nace como una auténtica Ciencia gracias a los estudios de Herófilo (335-280 a.C.) y Erasístrato (304-250 a.C.), quienes establecen las bases de la Anatomía Comparada.

La Anatomía podría ser entendida como la comprensión de la forma y de la estructura del cuerpo desde el por qué y el cómo. Tradicionalmente, la Anatomía se ha centrado en el estudio del cuerpo humano y, en el caso de la Veterinaria, de los animales que son de interés para la sociedad, ya sea por su valor económico (animales de abasto), emocional (animales de compañía) o como modelo para entender al humano. No obstante, cuando Charles Darwin (1809-1882) y Alfred Russel Wallace (1823-1913) desarrollan la teoría evolucionista como un proceso continuo de transformación de las especies, la Anatomía se convierte en una ciencia que debía dar respuesta a la causa y la finalidad del proceso evolutivo. Así, la Anatomía Comparada busca entender las similitudes y diferencias entre especies, buscar las reglas de la adaptación y explicar la evolución de las estructuras.

Hoy en día la Anatomía se enfrenta al reto de incluir en su ámbito de trabajo una mayor variedad de animales, debido a que paulatinamente nuevas especies se incorporan al grupo de animales que son de interés para la sociedad. De esta forma, este Atlas busca aportar información básica al conocimiento anatómico sistemático de diversas especies de mamíferos silvestres de la Amazonía, muchas de ellas poco divulgadas. Aprovechando el soporte digital en forma de e-Book, el Atlas pone a disposición del estudiante y del profesional, tanto veterinario como biólogo, un recurso didáctico de consulta rico en imágenes, de fácil acceso y de bajo coste económico, que pretendemos que contribuya en el proceso de enseñanza y aprendizaje de la Anatomía.

Pedro Mayor Aparicio  
Profesor Titular Facultat de Veterinària  
Departament de Sanitat i Anatomia Animals  
Universitat Autònoma de Barcelona, España

## AGRADECIMIENTOS

Queremos mostrar nuestro sincero agradecimiento a todas las personas de la comunidad de Nueva Esperanza del río Yavarí-Mirín, que participaron voluntariamente en la colecta del material biológico, lo que demuestra que la participación comunal es un paso importante en el desarrollo del manejo de la fauna silvestre. También extendemos nuestro agradecimiento a Richard Bodmer y a Daniel Montes por su siempre amable asistencia durante el trabajo de campo. Estamos especialmente agradecidos por el apoyo institucional y las autorizaciones de colecta provistas por la Dirección General de Flora y Fauna Silvestre (DGFFS) de Perú.

Los autores y traductores agradecen al Conselho Nacional de Desenvolvimento Científico e Tecnológico (CNPq) por su apoyo financiero concedido por medio de las Chamadas Públicas CNPq (procesos 452908/2016-7; 305821/2017-2). También agradecemos a la Editora de la Universidade Federal Rural da Amazônia (EDUFRA) y su equipo editorial por creer en el potencial didáctico de esta obra.

Este libro ha sido financiado en parte por la Fundación Gordon and Betty Moore Foundation, a través del proyecto GBMF9258 a Fundación Natura.

GORDON AND BETTY  
**MOORE**  
FOUNDATION



ÍNDICE

VOLUMEN I

CAPÍTULO 1 - TAXONOMÍA DE LAS ESPECIES .....5

1.1 Orden Rodentia .....6

1.2 Órdenes Cingulata y Pilosa .....10

1.3 Orden Artiodactyla.....16

1.4 Orden Perissodactyla.....22

1.5 Orden Carnivora .....24

1.6 Orden Primates.....30

CAPÍTULO 2 - APARATO DIGESTIVO .....45

2.1 Orden Rodentia .....70

2.2 Órdenes Cingulata y Pilosa .....104

2.3 Orden Artiodactyla.....154

2.4 Orden Perissodactyla .....212

2.5 Orden Carnivora .....222

2.6 Orden Primates .....262

VOLUMEN II

INTRODUCCIÓN .....371

ÁREA DE ESTUDIO .....372

METODOLOGÍA .....373

CAPÍTULO 3 - APARATO RESPIRATORIO .....375

3.1 Orden Rodentia

3.1.1 Agutí (*Dasyprocta fuliginosa*) .....380

3.1.2 Paca (*Cuniculus paca*).....384

3.1.3 Pacarana (*Dinomys branickii*).....388

3.2 Órdenes Cingulata y Pilosa

3.2.1 Armadillo de nueve banda (*Dasypus novemcinctus*).....392

3.2.2 Armadillo gigante (*Priodontes maximus*).....396

3.2.3 Oso hormiguero(*Myrmecophaga tridactyla*) .....402

3.2.4 Oso perezoso de tres dedos (*Bradypus variegatus*).....408

3.2.5 Oso perezoso de dos dedos (*Choloepus hoffmanni*).....414

3.3 Orden Artiodactyla

3.3.1 Pécari de collar (*Pecari tajacu*).....418

3.3.2 Pécari labiado (*Tayassu pecari*) .....424

3.3.3 Venado gris (*Mazama nemorivaga*) .....430

3.3.4 Venado rojo (*Mazama americana*) .....432

3.4 Orden Perissodactyla

3.4.1 Tapir (*Tapirus terrestris*) .....438

3.5 Orden Carnivora

3.5.1 Ocelote (*Leopardus pardalis*).....444

3.5.2 Jaguar (*Panthera onca*).....448

3.5.3 Coatí de cola anillada (*Nasua nasua*) .....452

3.5.4 Kinkajou (*Potos flavus*) .....456

3.5.5 Nutria gigante (*Pteronura brasiliensis*) .....458

3.6 Orden Primates

3.6.1 Mono machín blanco (*Cebus albifrons*) .....464

3.6.2 Mono machín negro (*Sapajus macrocephalus*) .....468

3.6.3 Mono barrigudo (*Lagothrix poeppigii*).....474

3.6.4 Mono aullador (*Alouatta seniculus*) .....478

3.6.5 Mono araña (*Ateles chamek*).....488

3.6.6 Mono fraile (*Saimiri macrodon*) .....492

3.6.7 Uácari rojo (*Cacajao calvus*).....496

3.6.8 Mono huapo negro (*Pithecia monachus*) .....500

3.6.9 Mono nocturno (*Aotus nancymae*) .....506

3.6.10 Tití pigmeo (*Cebuella pygmaea*) .....510

3.6.11 Mono tití cobrizo (*Callicebus cupreus*) .....514

3.6.12 Mico bebeleche (*Leontocebus fuscicollis*).....516

CAPÍTULO 4 - CORAZÓN, GRANDES VASOS Y BAZO .....521

4.1 Orden Rodentia

4.1.1 Agutí (*Dasyprocta fuliginosa*) .....524

4.1.2 Paca (*Cuniculus paca*) .....528

4.1.3 Pacarana (*Dinomys branickii*).....532

4.2 Órdenes Cingulata e Pilosa

4.2.1 Armadillo de nueve bandas (*Dasypus novemcinctus*).....536

4.2.2 Armadillo gigante (*Priodontes maximus*) .....540

4.2.3 Oso hormiguero (*Myrmecophaga tridactyla*) .....544

4.2.4 Oso perezoso de tres dedos (*Bradypus variegatus*).....548

4.2.5 Oso perezoso de dos dedos (*Choloepus hoffmanni*).....552

4.3 Orden Artiodactyla

4.3.1 Pécari de collar (*Pecari tajacu*).....556

4.3.2 Pécari labiado (*Tayassu pecari*) .....560

4.3.3 Venado gris (*Mazama nemorivaga*) .....566



4.3.4 Venado rojo ( <i>Mazama americana</i> ) .....	570
<b>4.4 Orden Perissodactyla</b>	
4.4.1 Tapir ( <i>Tapirus terrestris</i> ) .....	574
<b>4.5 Orden Carnivora</b>	
4.5.1 Ocelote ( <i>Leopardus pardalis</i> ).....	580
4.5.2 Jaguar ( <i>Panthera onca</i> ).....	586
4.5.3 Coatí de cola anillada ( <i>Nasua nasua</i> ).....	590
4.5.4 Kinkajou ( <i>Potos flavus</i> ) .....	594
4.5.5 Nutria gigante ( <i>Pteronura brasiliensis</i> ) .....	598
<b>4.6 Orden Primates</b>	
4.6.1 Mono machín blanco ( <i>Cebus albifrons</i> ) .....	602
4.6.2 Mono machín negro ( <i>Sapajus macrocephalus</i> ) .....	608
4.6.3 Mono barrigudo ( <i>Lagothrix poeppigii</i> ) .....	614
4.6.4 Mono aullador ( <i>Alouatta seniculus</i> ) .....	618
4.6.5 Mono araña ( <i>Ateles chamek</i> ).....	622
4.6.6 Mono fraile ( <i>Saimiri macrodon</i> ).....	626
4.6.7 Uacari rojo ( <i>Cacajao calvus</i> ) .....	630
4.6.8 Mono huapo negro ( <i>Pithecia monachus</i> ) .....	634
4.6.9 Mono nocturno ( <i>Aotus nancymae</i> ) .....	638
4.6.10 Tití pigmeo ( <i>Cebuella pygmaea</i> ) .....	642
4.6.11 Mono tití cobrizo ( <i>Callicebus cupreus</i> ) .....	646
<b>ÍNDICE DE FIGURAS .....</b>	<b>653</b>

VOLUMEN III

<b>CAPÍTULO 5 - ÓRGANOS URINARIOS .....</b>	<b>661</b>
5.1 Orden Rodentia .....	664
5.2 Órdenes Cingulata y Pilosa .....	674
5.3 Orden Artiodactyla.....	692
5.4 Orden Perissodactyla.....	708
5.5 Orden Carnivora .....	712
5.6 Orden Primates.....	730
<b>CAPÍTULO 6 - ÓRGANOS REPRODUCTORES FEMENINOS .....</b>	<b>769</b>
6.1 Orden Rodentia .....	778
6.2 Órdenes Cingulata y Pilosa .....	812
6.3 Orden Artiodactyla.....	840
6.4 Orden Perissodactyla.....	912
6.5 Orden Carnivora .....	918
6.6 Orden Primates.....	942

<b>CAPÍTULO 7 - ÓRGANOS REPRODUCTORES MASCULINOS.....</b>	<b>1027</b>
7.1 Orden Rodentia .....	1032
7.2 Órdenes Cingulata y Pilosa .....	1050
7.3 Orden Artiodactyla .....	1068
7.4 Orden Perissodactyla.....	1086
7.5 Orden Carnivora.....	1094
7.6 Orden Primates .....	1120

## INTRODUCCIÓN

El Atlas de Anatomía de Especies Silvestres de la Amazonía es una obra desarrollada por la Unidad de Anatomía Animal de la Facultad de Veterinaria de la Universitat Autònoma de Barcelona (UAB) e FundAmazonia. El trabajo de campo se ha realizado en diversos lugares de la Amazonía peruana. La primera versión del Atlas se publicó en lengua castellana en forma de página web en el año 2011. Gracias a la colaboración entre profesores de Anatomía Veterinaria de la UAB y del Área de Morfofisiología del Programa de Posgrado en Salud y Producción Animal en la Amazonía de la Universidad Federal Rural de la Amazonía (PPGSPAA/UFRA) en Belém do Pará, Brasil, se ha desarrollado también una versión de la obra en lengua portuguesa. Ahora, como resultado de la cooperación entre la UAB y la UFRA, presentamos el Atlas en formato de libro electrónico, que facilita la divulgación del mismo. La idea de elaborar este material educativo ha surgido de la necesidad de desarrollar métodos de enseñanza alternativos en soporte digital.

El Atlas de Anatomía de Especies Silvestres de la Amazonía es una obra dividida en 4 volúmenes debido a la gran extensión de material gráfico que se aporta. El segundo volumen, que presentamos aquí, incluye una breve descripción de los órganos respiratorios, del corazón y los grandes vasos y del bazo (con 315 imágenes) de diferentes especies de mamíferos que habitan la Amazonía. Los órganos utilizados en la elaboración del Atlas proceden de la colección creada, con fines de conservación a lo largo de los años, por la Facultad de Veterinaria de la UAB y FundAmazonia. Pretendemos que este material educativo facilite el proceso de enseñanza/aprendizaje, la investigación y el desarrollo sostenible. El Atlas pretende llenar el vacío existente en el campo de la anatomía de especies silvestres. Dentro de los objetivos específicos que se pretende alcanzar, destacamos los siguientes:

- Conocer las principales características y detalles anatómicos de los órganos que forman los aparatos y sistemas del organismo de diferentes especies silvestres amazónicas;
- Comparar la anatomía de las distintas especies y/o grupos; esta temática puede asociarse a otras áreas del conocimiento, como ecología y evolución.

El Atlas pretende facilitar el estudio anatómico para conocer sus semejanzas y diferencias, entender mecanismos de adaptación, asociar las características anatómicas y/o explicar la evolución de las estructuras y los organismos.

## ÁREA DE ESTUDIO

El área de estudio se encuentra en la cuenca del río Yavarí (río Yavarí-Mirín). La fauna de la región se caracteriza por su enorme diversidad. En esta región se registró un total de 550 de aves, 500 especies de peces, 150 de mamíferos, 115 de anfibios y 100 de reptiles. La diversidad de mamíferos podría ser considerada una de las mayores del planeta. Se destaca la presencia de 14 especies de primates y poblaciones abundantes de 27 especies amenazadas a nivel global, como el uácari, el lobo de río o el armadillo gigante.

Numerosos asentamientos establecidos en la región durante las últimas cuatro décadas fueron abandonados a causa de la presencia de malaria y al acceso difícil a los mercados de Leticia e Iquitos. La comunidad de Nueva Esperanza, comunidad indígena Yagua con 329 habitantes (año 2017), situada en el río Yavarí Mirín (19°17'14,81" E; 95°21'0,36" N), es el asentamiento más poblado de la zona. La población del Yavarí Mirín basa su economía en la agricultura y caza de subsistencia, la pesca y la venta de carne de monte y pieles (principalmente de pecaríes y paca). En los últimos años se han intensificado las actividades extractivas de madera que están amenazando la biodiversidad de la región amazónica (incluida la diversidad cultural).

La comunidad en todo momento mostró su voluntad de participar con nuestro grupo de trabajo en acciones de conservación y manejo de recursos naturales que ayuden a mejorar la calidad de vida en el futuro.

## METODOLOGÍA

El Atlas que presentamos complementa el trabajo que desde hace años estamos llevando a cabo en la región. La metodología de colecta de muestras se fundamentó en la caza de subsistencia que realizan de forma habitual las comunidades locales.

La caza de subsistencia es una actividad habitual en las regiones neotropicales, es uno de los elementos de conservación en los países en desarrollo y posee reconocidos valores culturales. Subsistencia es un término que incluye alimentación y economía familiar que faciliten alcanzar las necesidades básicas para la vida. Desde hace años, los cazadores están siendo capacitados en el uso de técnicas sobre cómo optimizar la captación de información de los animales abatidos utilizando técnicas sencillas que les permitan analizar, evaluar y regular el uso sostenible de los recursos naturales dentro de su propia área. Estas acciones se realizaron integradas dentro de un programa participativo de manejo de vida salvaje. El manejo comunal participativo es una herramienta que tiene como finalidad establecer usos más sostenibles de recursos naturales coherentes con el contexto económico y socio-cultural de las comunidades locales.

Los cazadores también fueron capacitados para garantizar una buena colecta y conservación de las muestras. Las vísceras de cada animal abatido fueron conservadas en solución de formaldehído al 4% hasta su posterior procesamiento. El análisis anatómico fue realizado en las instalaciones del Instituto Veterinario de Investigación de Trópico y de Altura (IVITA - UNMSM). La terminología anatómica utilizada en el atlas anatómico sigue la Nomenclatura Anatómica Veterinaria (2017).

Es importante aclarar que en ningún caso se incentivó a los cazadores para realizar la recolección del material biológico. El trabajo se organizó de tal forma que fuera oportunista, es decir, aprovechando los animales que el cazador abatía para alimentarse. Por otro lado, queremos recalcar que se han continuado con las acciones de sensibilización sobre el manejo de fauna silvestre siempre teniendo en cuenta el contexto socio-cultural y económico de la región. El protocolo del estudio fue aprobado por la Dirección General de Flora y Fauna Silvestre de Perú (Licencia 0350-2013- DGFFS-DGE-FFS).

La existencia de pocas o ninguna referencia anatómica previa (en función de cada especie analizada) han complicado especialmente la interpretación anatómica de los diferentes aparatos y sistemas. El análisis anatómico realizado se fundamenta principalmente en la Anatomía comparada con especies domésticas y algunas especies silvestres reportadas. Con ello queremos aclarar que es posible que algunos términos y estructuras anatómicas tengan que ser consideradas como no concluyentes.

## CAPÍTULO 3

# APARATO RESPIRATORIO

## APARATO RESPIRATORIO

El aparato respiratorio está constituido por el conjunto de órganos responsables de la respiración, además de otras funciones como la producción de sonidos y la olfacción. Comprende las vías respiratorias y los pulmones. Hasta llegar a los alveolos pulmonares, el aire inspirado atraviesa la cavidad nasal, nasofaringe, laringe, tráquea y bronquios, incluyendo las diferentes subdivisiones que éstos presentan en el interior de los pulmones. El intercambio de gases entre el aire y la sangre tiene lugar finalmente en los alveolos pulmonares.

### Laringe

La laringe es un órgano tubular cartilaginoso que comunica la nasofaringe con la tráquea. Su principal función es proteger la entrada de las vías respiratorias inferiores e intervenir en la producción de la voz. La laringe esta formada por cartílagos impares (epiglotis, tiroides y cricoides) y pares (aritenoides).

*Particularidades según el orden taxonómico:*

### Rodentia

El cartílago aritenoides de la paca y del agutí carece de apófisis cuneiforme y de ventrículo laríngeo, y sólo tienen pliegue vocal. La laringe de la pacarana presenta un profundo ventrículo laríngeo entre los pliegues vestibular y vocal. En las tres especies el vestíbulo laríngeo se caracteriza por la presencia del receso mediano de la laringe.

### Cingulata y Pilosa

El cartílago aritenoides del armadillo de nueve bandas, del armadillo gigante, del oso hormiguero y de los osos perezosos de dos y tres dedos presenta únicamente apófisis corniculada; por lo tanto, carecen de apófisis cuneiforme. En estas especies no hay ventrículo laríngeo y sólo tienen un pliegue vocal.

### Artiodactyla

El cartílago aritenoides del pécarí de collar presenta apófisis cuneiforme y corniculada, carece de ventrículo laríngeo, y sólo tiene pliegue vocal. Aunque las imágenes no nos permiten confirmarlo, el pécarí labiado tiene aparentemente una laringe similar. El vestíbulo laríngeo de ambos pecaríes muestra receso mediano de la laringe.

El cartílago aritenoides del venado rojo no presenta apófisis cuneiforme. El ventrículo laríngeo está delimitado por los pliegues vestibular y vocal. Aunque las imágenes no nos permiten confirmarlo, el venado gris tiene aparentemente una laringe similar.

### Perissodactyla

El cartílago aritenoides del tapir no presenta apófisis cuneiforme; sin embargo, se



puede reconocer fácilmente la apófisis corniculada. Se observan los pliegues vestibular y vocal delimitando el ventrículo laríngeo.

Carnivora

El cartílago aritenoides de los felinos amazónicos (ocelote y jaguar), tal como ocurre en el gato, no presenta apófisis cuneiforme; sin embargo, sí tiene apófisis corniculada. El cartílago aritenoides del coatí y de la nutria gigante presenta ambas apófisis.

Igual que en los cánidos, el vestíbulo laríngeo de la nutria gigante y del coatí presenta un ventrículo laríngeo en cada lado, que se dispone entre los pliegues vestibular y vocal. Los felinos amazónicos, jaguar y ocelote, no tienen ventrículo laríngeo y sólo presentan pliegue vocal.

Primates

El vestíbulo laríngeo de los primates neotropicales presenta un ventrículo laríngeo delimitado por los pliegues vestibular y vocal. La laringe de la mayor parte de primates presenta apófisis corniculada y cuneiforme. El mono aullador es la única especie que no posee apófisis cuneiforme; en el caso del mono nocturno y el tití cobrizo no se ha podido determinar la presencia de esta apófisis.

El mono aullador se caracteriza por el fuerte sonido que emiten principalmente los machos para advertir su presencia a grupos antagónicos cercanos. Esta especie es capaz de emitir estos sonidos gracias a la adaptación que muestra el hioides, consistente en que el basihioides desarrolla una cavidad que permite amplificar la voz proporcionando una resonancia característica.

**Tráquea**

La tráquea está formada por un conjunto de cartílagos unidos entre sí por los ligamentos anulares. Los cartílagos traqueales suelen estar abiertos dorsalmente, si bien los extremos quedan unidos mediante el músculo traqueal. La tráquea termina bifurcándose en dos cortos bronquios principales.

*Particularidades según el orden taxonómico*

Rodentia

Los cartílagos traqueales de los roedores histricognatos estudiados presentan una sección ovalada en la que el diámetro horizontal es el mayor. El músculo traqueal se inserta externamente a los extremos del cartílago traqueal.

Cingulata y Pilosa

Los cartílagos traqueales del oso perezoso de dos dedos y del oso hormiguero presentan una sección circular y están abiertos dorsalmente, si bien los extremos quedan unidos internamente mediante el músculo traqueal. La tráquea del oso perezoso de tres dedos presenta en la entrada a la cavidad torácica un recorrido sigmoideo muy pronunciado.

Los cartílagos traqueales de las dos especies de armadillo presentan una sección ligeramente ovalada, predominando el diámetro horizontal. Los cartílagos traqueales están abiertos dorsalmente y sus extremos quedan unidos internamente mediante el músculo traqueal.

Artiodactyla

Los cartílagos traqueales de los pecaríes presentan una sección circular. El músculo traqueal se inserta internamente a los extremos del cartílago traqueal. Los cartílagos traqueales de los venados presentan una sección ovalada en la que el diámetro vertical es el mayor. El músculo traqueal se inserta internamente a los extremos del cartílago traqueal.

Perissodactyla

Los cartílagos traqueales del tapir presentan una sección aproximadamente circular. El músculo traqueal se inserta internamente a los extremos del cartílago traqueal.

Carnivora

Los cartílagos traqueales de los carnívoros amazónicos estudiados presentan una sección ovalada en la que el diámetro horizontal es el mayor. Como en el perro y el gato, el músculo traqueal se inserta externamente a los extremos del cartílago traqueal.

Primates

Los cartílagos traqueales de los primates neotropicales tienen sección circular y están abiertos dorsalmente. El músculo traqueal se inserta internamente a los extremos del cartílago traqueal.

**Árbol bronquial y pulmones**

El árbol bronquial está formado por las sucesivas divisiones de los bronquios principales. Cada uno de los bronquios principales se ramifica en diversos bronquios lobulares. Estos, acompañados por arterias, venas, vasos linfáticos y ramos nerviosos, penetran en el pulmón atravesando el hilio del órgano.

El conjunto de estructuras que atraviesa el hilio pulmonar recibe la denominación de raíz del pulmón. En el pulmón es posible diferenciar una superficie de contacto con la pared costal (cara costal), una superficie dirigida hacia el mediastino (cara medial) y una cara diafragmática que se relaciona con el diafragma.

La división de los bronquios principales en los bronquios lobulares determina el patrón de lobulación del pulmón, y es variable según la taxonomía.

*Lobulación de los pulmones según el orden taxonómico:*

Rodentia

Pulmón Izquierdo:

- Lóbulo craneal, dividido en partes craneal y caudal;

- Lóbulo caudal.

Pulmón Derecho:

- Lóbulo craneal;
- Lóbulo medio;
- Lóbulo caudal;
- Lóbulo accesorio.

Cingulata y Pilosa

Pulmón Izquierdo:

- Lóbulo craneal. En el oso perezoso de dos dedos está dividido en partes craneal y caudal;
- Lóbulo caudal.

Pulmón Derecho:

- Lóbulo craneal;
- Lóbulo caudal;
- Lóbulo accesorio. En el armadillo de nueve bandas es muy pequeño y no rodea a la vena cava caudal.

Artiodactyla

Pulmón Izquierdo:

- Lóbulo craneal, dividido en partes craneal y caudal;
- Lóbulo caudal.

Pulmón Derecho:

- Lóbulo craneal;
- Lóbulo medio;
- Lóbulo caudal;
- Lóbulo accesorio.

Los pecaríes y los venados comparten el mismo patrón lobular. Además, ambos grupos, como los suidos y los rumiantes, presentan el bronquio traqueal, que es un bronquio lobular que se origina directamente en la tráquea y que ventila el lóbulo craneal del pulmón derecho.

Perissodactyla

Pulmón Izquierdo:

- Lóbulo craneal, dividido en partes craneal y caudal;
- Lóbulo caudal.

Pulmón Derecho:

- Lóbulo craneal, dividido en partes craneal y caudal;
- Lóbulo medio;
- Lóbulo caudal;
- Lóbulo accesorio.

Carnivora

Pulmón Izquierdo:

- Lóbulo craneal, dividido en partes craneal y caudal;
- Lóbulo caudal.

Pulmón Derecho:

- Lóbulo craneal;
- Lóbulo medio;
- Lóbulo caudal;
- Lóbulo accesorio.

A diferencia de los felinos, el lóbulo craneal del pulmón izquierdo de los prociénidos no se encuentra dividido.

Primates

Pulmón Izquierdo:

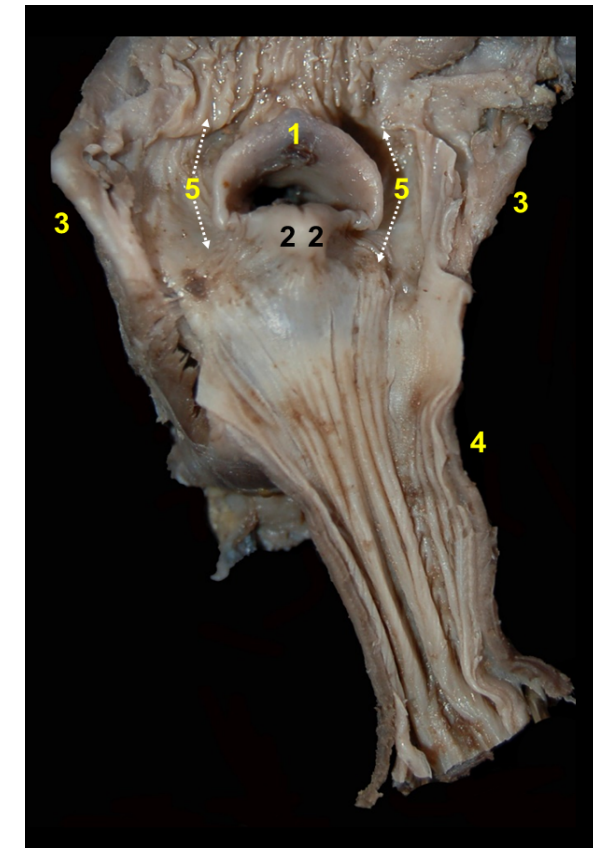
- Lóbulo craneal;
- Lóbulo caudal.

Pulmón Derecho:

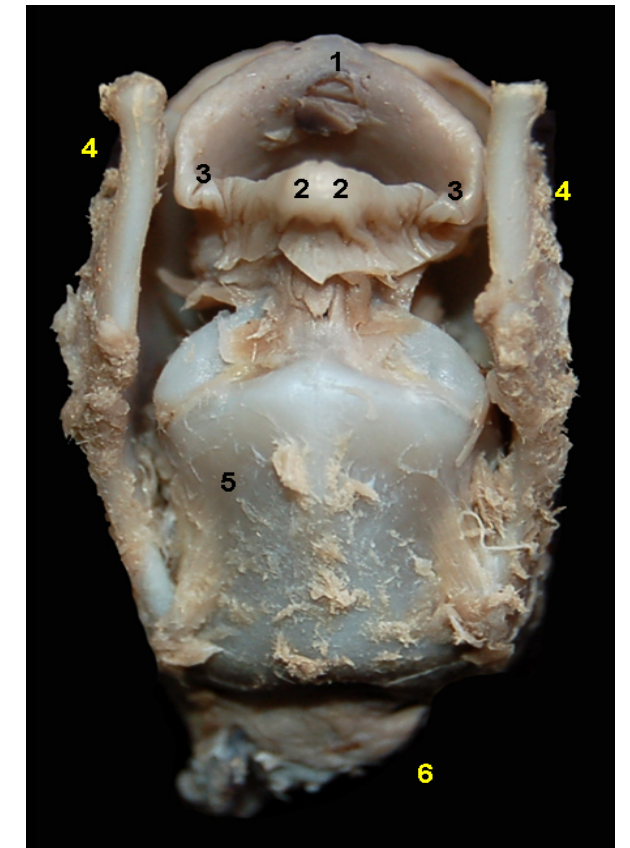
- Lóbulo craneal;
- Lóbulo medio;
- Lóbulo caudal;
- Lóbulo accesorio.



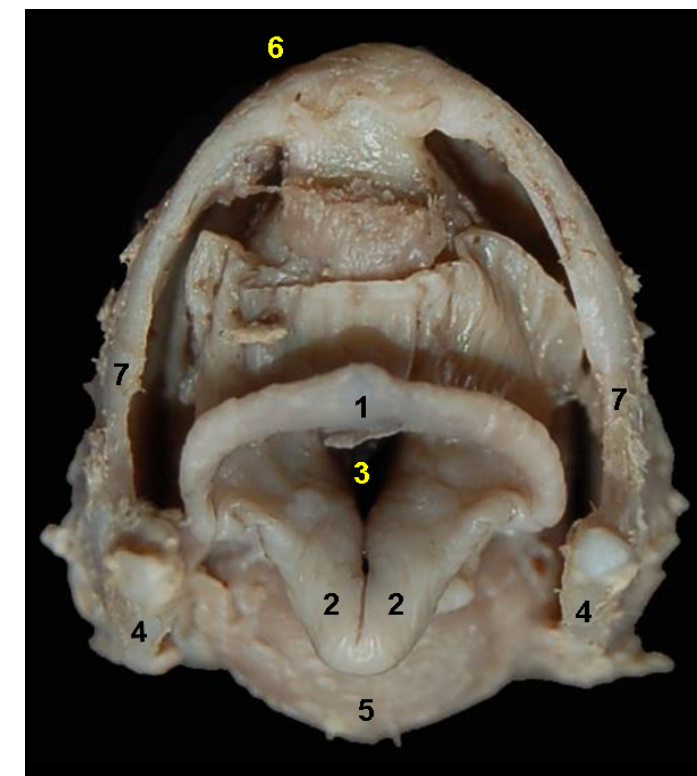
## AGUTÍ (*Dasyprocta fuliginosa*)



**Figura 3.1** - Visión dorsal de la faringe y laringe del agutí (*Dasyprocta fuliginosa*). 1. Epiglotis; 2. Cartílago aritenoides; 3. Cartílago tiroideos; 4. Esófago; 5. Receso piriforme.

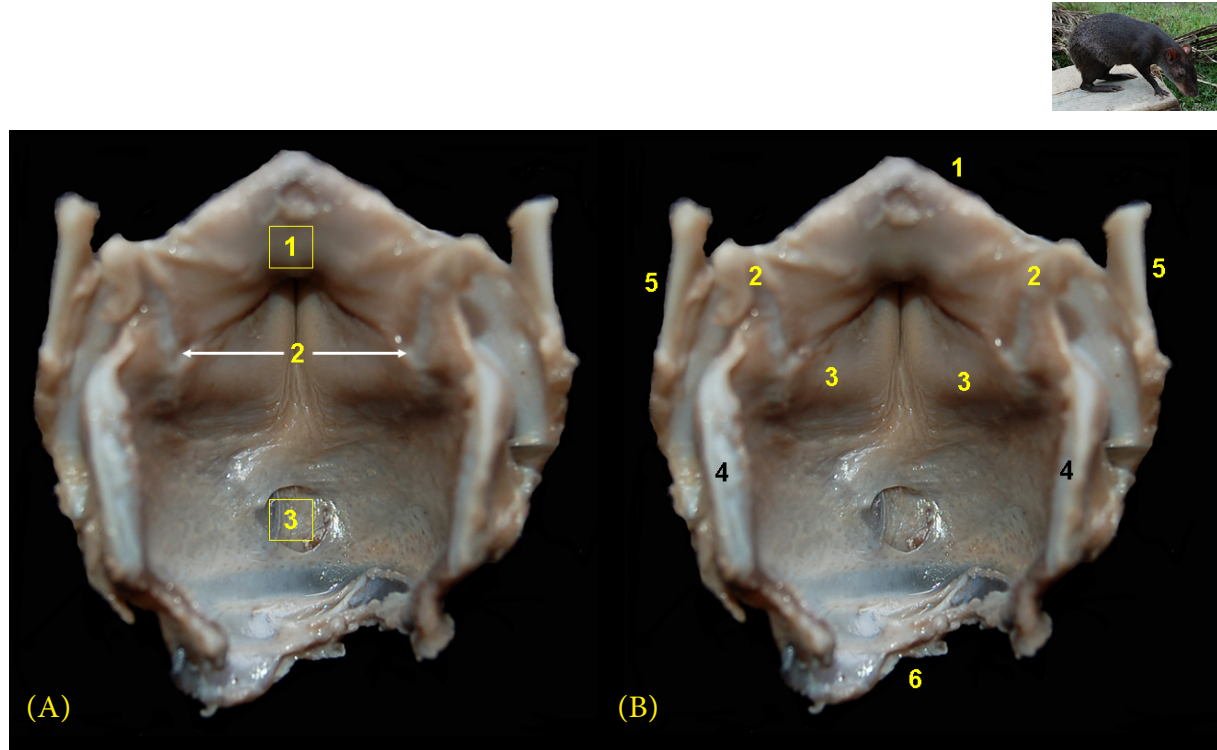


**Figura 3.2** - Visión dorsal de la laringe del agutí (*Dasyprocta fuliginosa*). 1. Epiglotis; 2. Cartílago aritenoides; 3. Pliegue ariepliglótico; 4. Cartílago tiroideos; 5. Cartílago cricoides; 6. Tráquea.



**Figura 3.3** - Visión craneal de la laringe del agutí (*Dasyprocta fuliginosa*). 1. Epiglotis; 2. Apófisis corniculada (cartílago aritenoides); 3. Vestíbulo laríngeo; 4. Cartílago tiroideos; 5. Cartílago cricoides; 6. Basihioides; 7. Ti-rohioides.

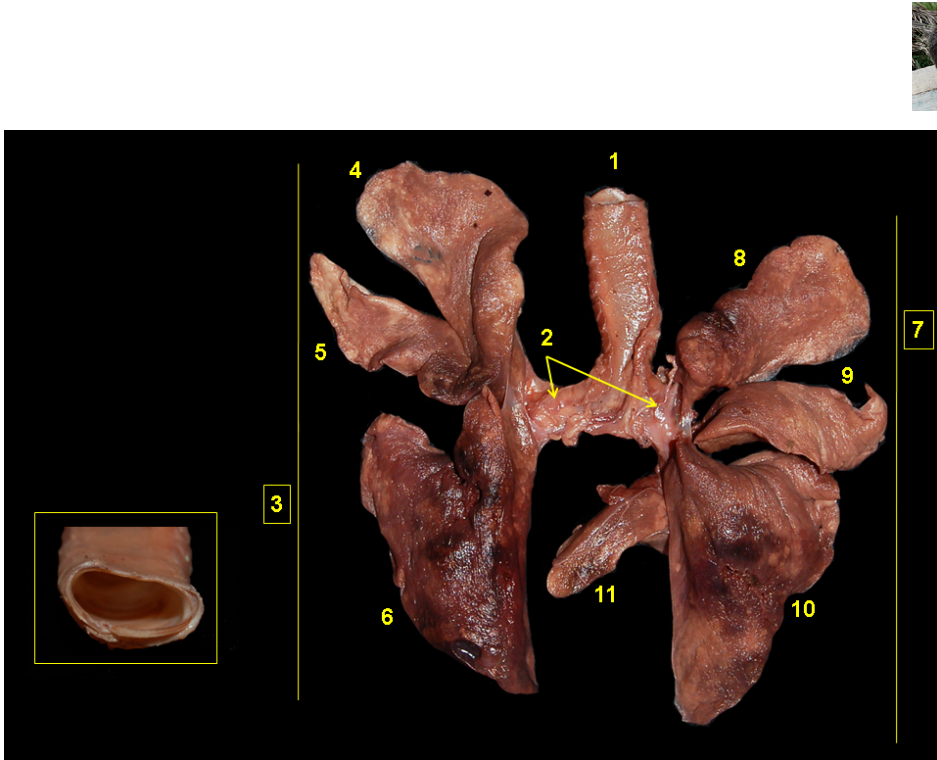




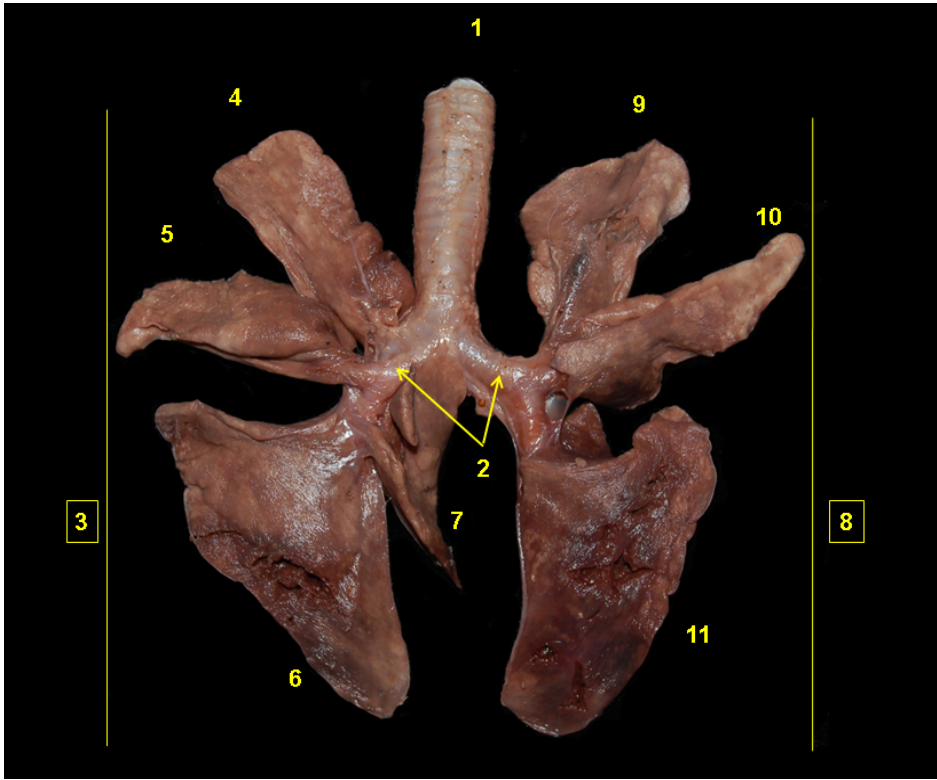
**Figura 3.4** - Visión dorsal de la laringe abierta del agutí (*Dasyprocta fuliginosa*). La lámina del cartílago cricoides ha sido seccionada dorsalmente. **A** - 1. Vestíbulo laríngeo; 2. Hendidura de la glotis; 3. Cavidad infraglotica. **B** - Epiglotis; 2. Cartílago aritenoides; 3. Pliegue vocal; 4. Cartílago cricoides; 5. Cartílago tiroides; 6. Tráquea.



**Figura 3.5** - Visión medial de la cavidad laríngea del agutí (*Dasyprocta fuliginosa*). 1. Epiglotis; 2. Vestíbulo de la laringe; 3. Apófisis corniculada (cartílago aritenoides); 4. Pliegue ariepiglótico; 5. Pliegue vocal; 6. Cartílago cricoides; 7. Cartílago tiroides; 8. Tráquea.

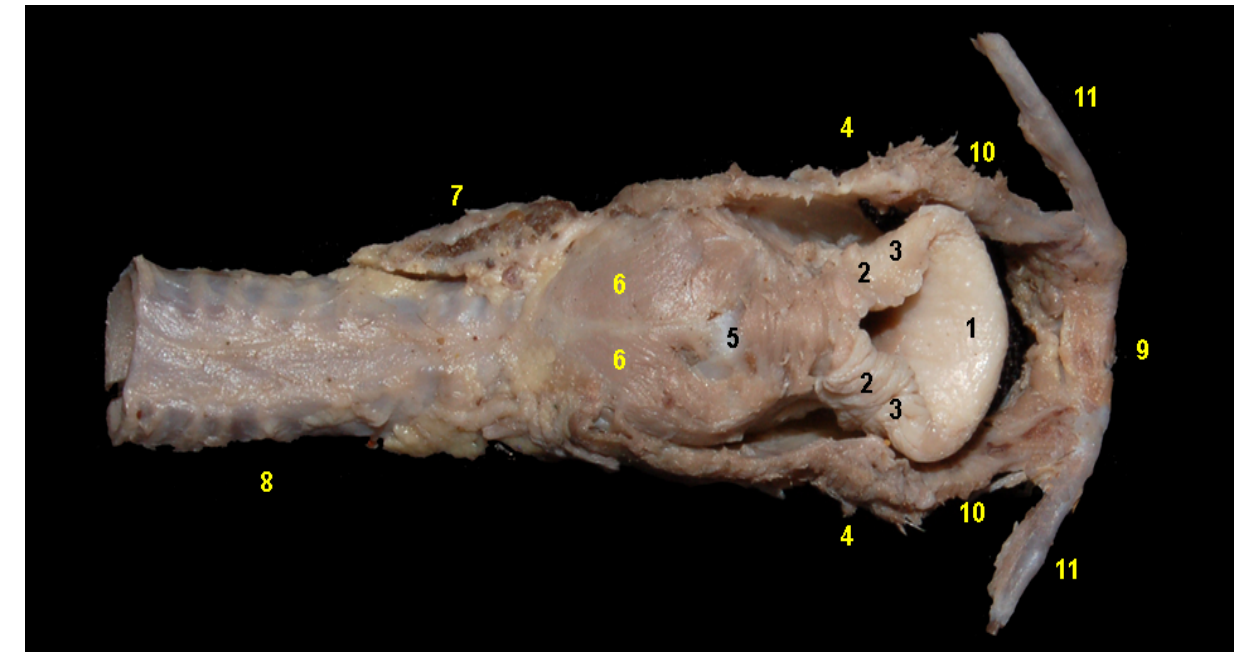


**Figura 3.6** - Visión dorsal del árbol traqueobronquial y pulmones del agutí (*Dasyprocta fuliginosa*). 1. Tráquea; 2. Bronquios principales; 3. Pulmón izquierdo; 4. Parte craneal del lóbulo craneal; 5. Parte caudal del lóbulo craneal; 6. Lóbulo caudal; 7. Pulmón derecho; 8. Lóbulo craneal; 9. Lóbulo medio; 10. Lóbulo caudal; 11. Lóbulo accesorio. En detalle: corte transversal de la tráquea.



**Figura 3.7** - Visión ventral del árbol traqueobronquial y pulmones del agutí (*Dasyprocta fuliginosa*). 1. Tráquea; 2. Bronquios principales; 3. Pulmón derecho; 4. Lóbulo craneal; 5. Lóbulo medio; 6. Lóbulo caudal; 7. Lóbulo accesorio; 8. Pulmón izquierdo; 9. Parte craneal del lóbulo craneal; 10. Parte caudal del lóbulo craneal; 11. Lóbulo caudal.

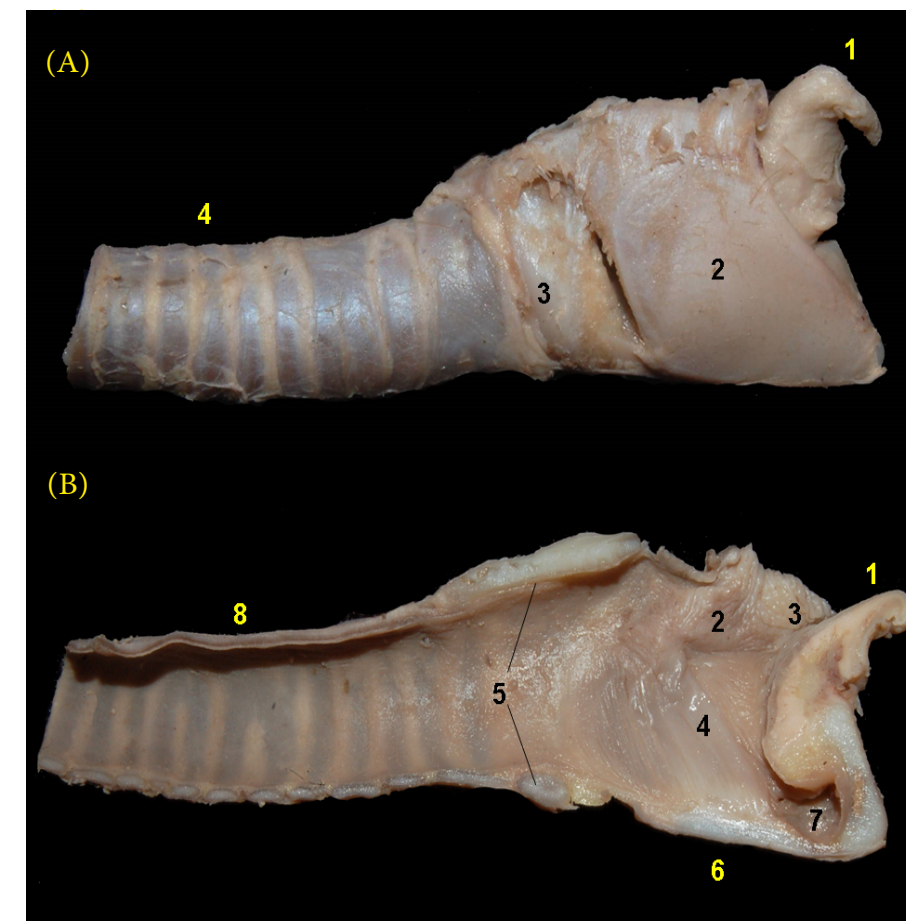




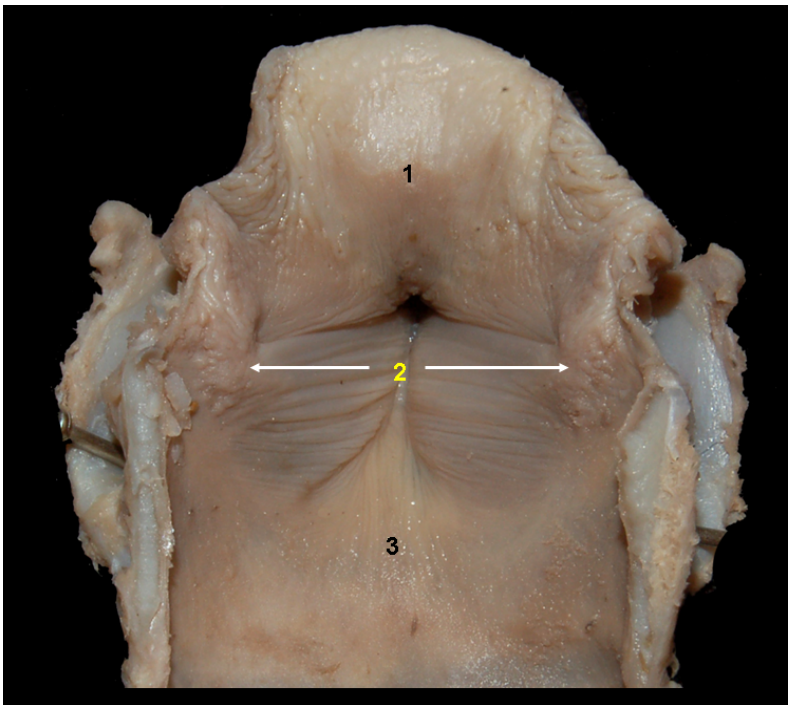
**Figura 3.8** - Visión dorsal de la laringe y del aparato hioideo de la paca (*Cuniculus paca*). 1. Epiglotis; 2. Cartílago aritenoides; 3. Pliegue ariepiglótico; 4. Cartílago tiroides; 5. Cartílago cricoides; 6. Músculo cricoaritenideo dorsal; 7. Glándulas tiroides; 8. Tráquea. 9. Basihioides; 10. Tirohioides; 11. Epihioides.



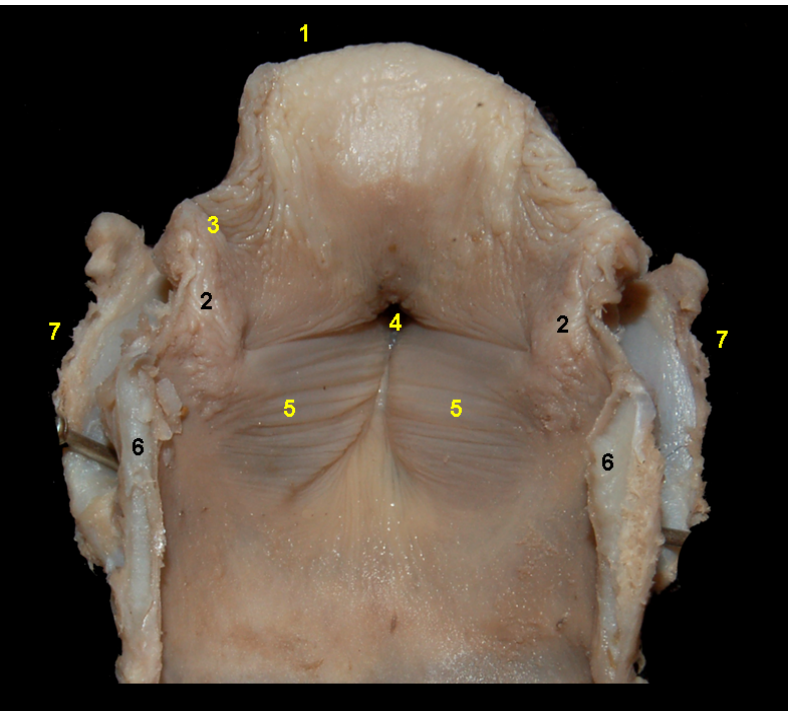
## PACA (*Cuniculus paca*)



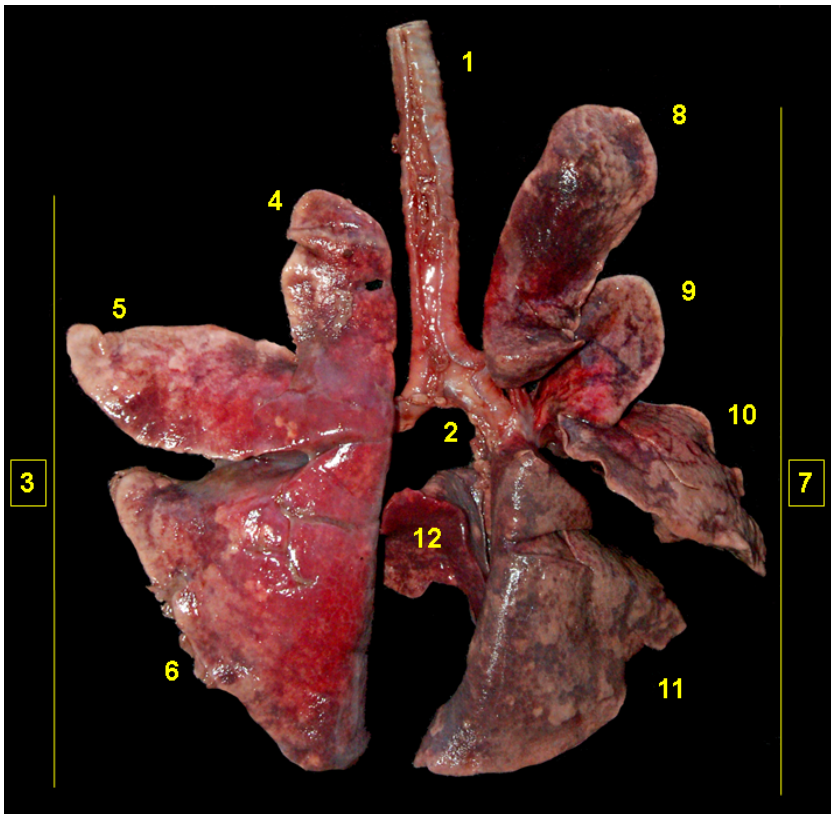
**Figura 3.9** - Laringe de la paca (*Cuniculus paca*). **A** - Visión lateral: 1. Epiglotis; 2. Cartílago tiroides; 3. Cartílago cricoides; 4. Tráquea. **B** - Visión medial: 1. Epiglotis; 2. Cartílago aritenoides; 3. Pliegue ariepiglótico; 4. Pliegue vocal; 5. Cartílago cricoides; 6. Cartílago tiroides; 7. Receso laríngeo medio; 8. Tráquea.



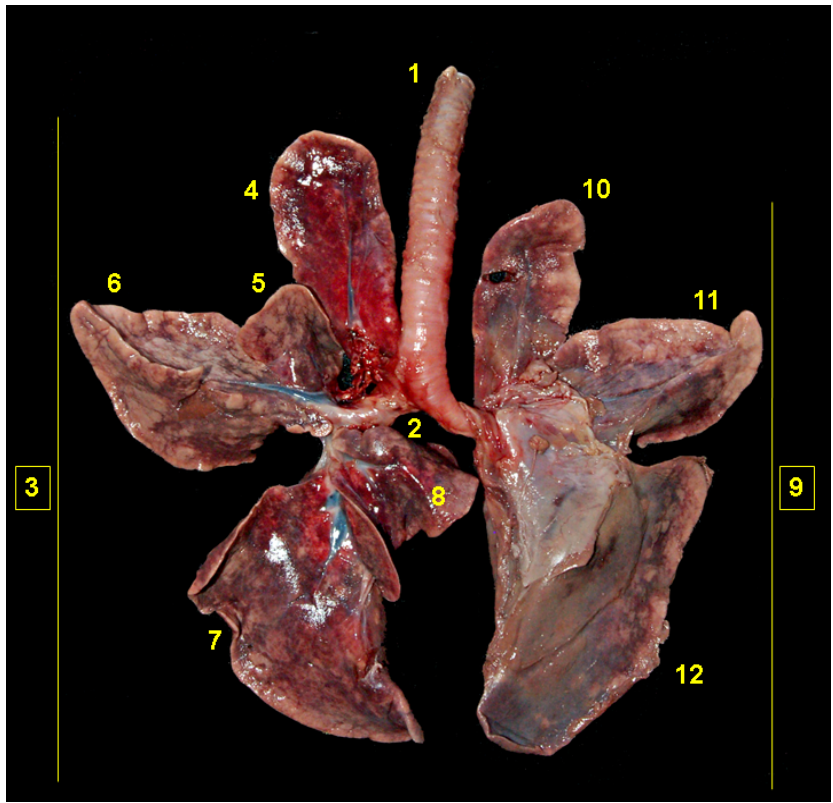
**Figura 3.10** - Visión dorsal de la laringe abierta de la paca (*Cuniculus paca*). La lámina del cartílago cricoides ha sido seccionada dorsalmente. 1. Vestíbulo laríngeo; 2. Hendidura de la glotis; 3. Cavity infraglotica.



**Figura 3.11** - Visión dorsal de la laringe abierta de la paca (*Cuniculus paca*). La lámina del cartílago cricoides ha sido seccionada dorsalmente. 1. Epiglotis; 2. Cartílago aritenoides; 3. Pliegue ariepiglótico; 4. Receso laríngeo medio; 5. Pliegue vocal; 6. Cartílago cricoides; 7. Cartílago tiroides.



**Figura 3.12** - Visión dorsal del árbol traqueobronquial y pulmones de la paca (*Cuniculus paca*). 1. Tráquea; 2. Bronquios principales; 3. Pulmón izquierdo; 4. Parte craneal del lóbulo craneal; 5. Parte caudal del lóbulo craneal; 6. Lóbulo caudal; 7. Pulmón derecho; 8. Parte craneal del lóbulo craneal; 9. Parte caudal del lóbulo craneal; 10. Lóbulo medio; 11. Lóbulo caudal; 12. Lóbulo accesorio.

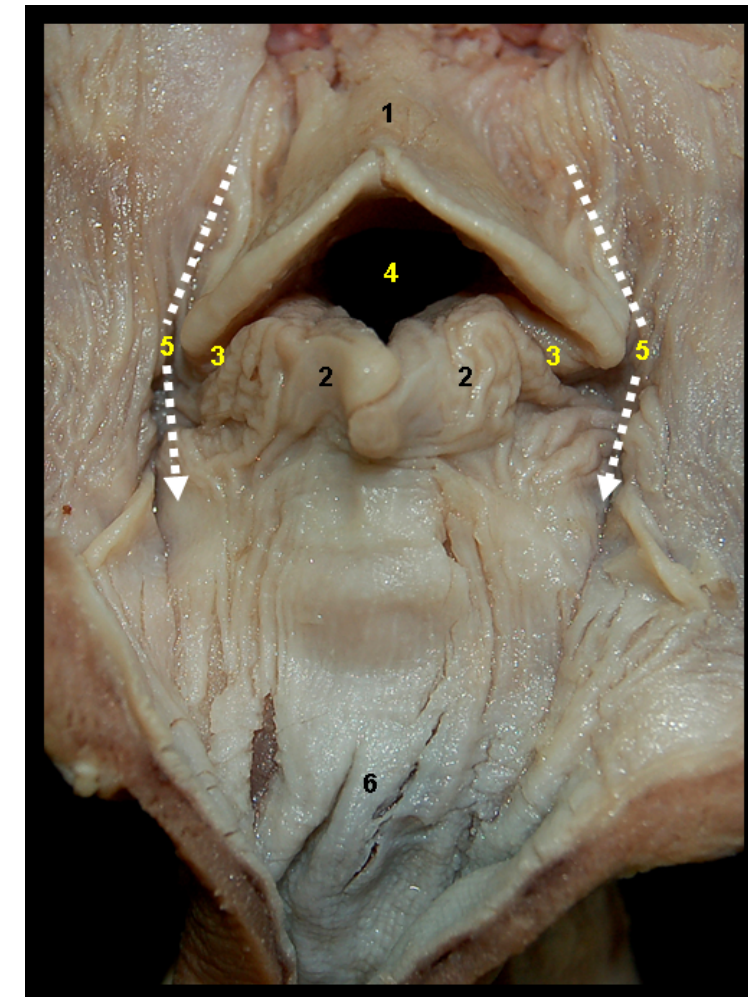


**Figura 3.13** - Visión ventral del árbol traqueobronquial y pulmones de la paca (*Cuniculus paca*). 1. Tráquea; 2. Bronquios principales; 3. Pulmón derecho; 4. Parte craneal del lóbulo craneal; 5. Parte caudal del lóbulo craneal; 6. Lóbulo medio; 7. Lóbulo caudal; 8. Lóbulo accesorio; 9. Pulmón izquierdo; 10. Parte craneal del lóbulo craneal; 11. Parte caudal del lóbulo craneal; 12. Lóbulo caudal.

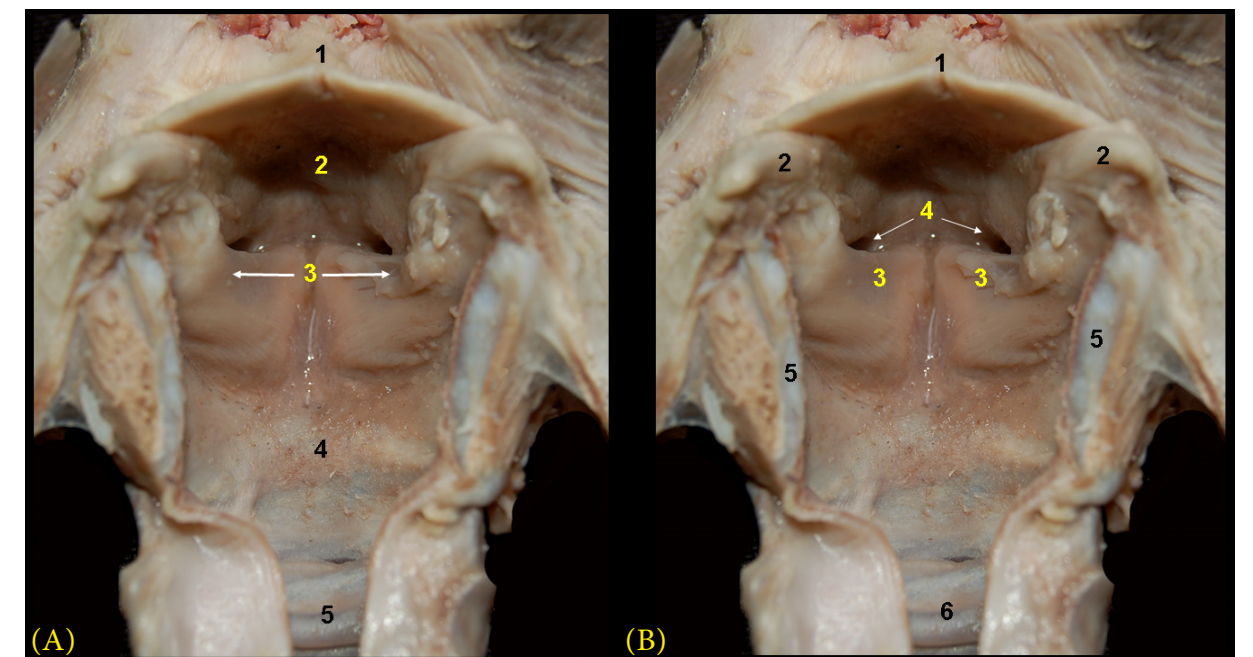




## PACARANA (*Dinomys branickii*)

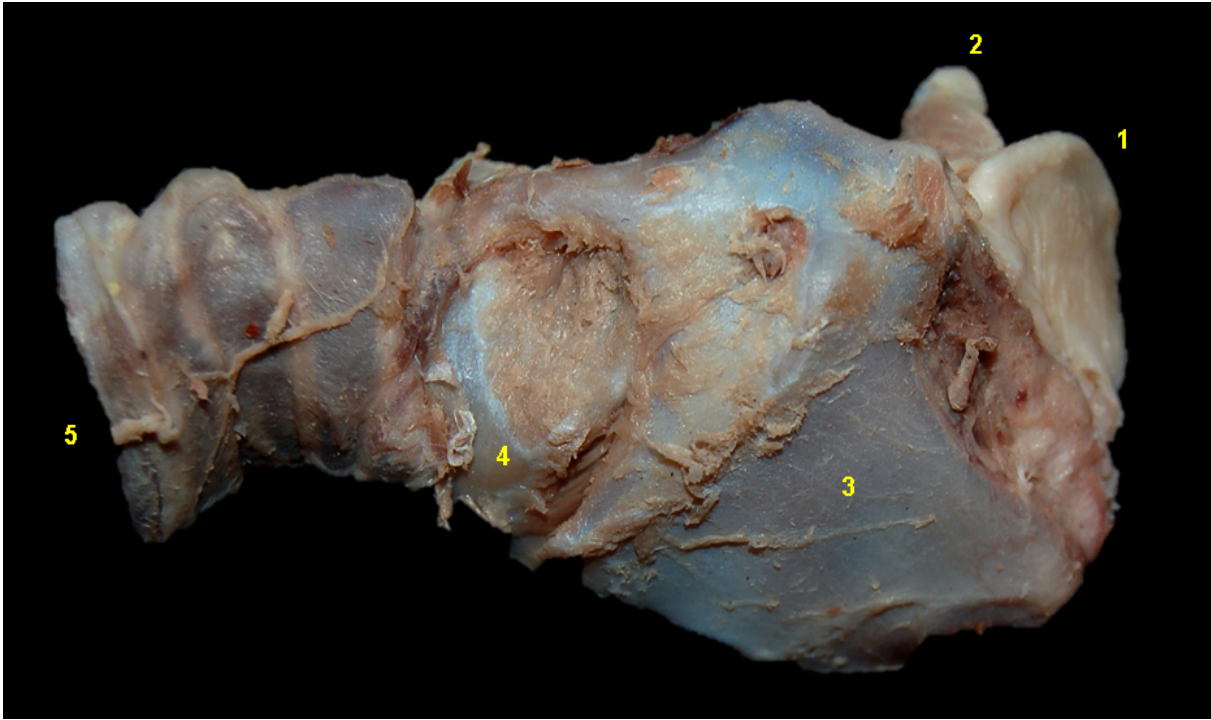


**Figura 3.14** - Visión dorsal de la laringofaringe y entrada de la laringe de la pacarana (*Dinomys branickii*). 1. Epiglotis; 2. Cartílago aritenoides; 3. Pliegue ariepiglótico; 4. Vestíbulo de la laringe; 5. Receso piriforme; 6. Esófago.

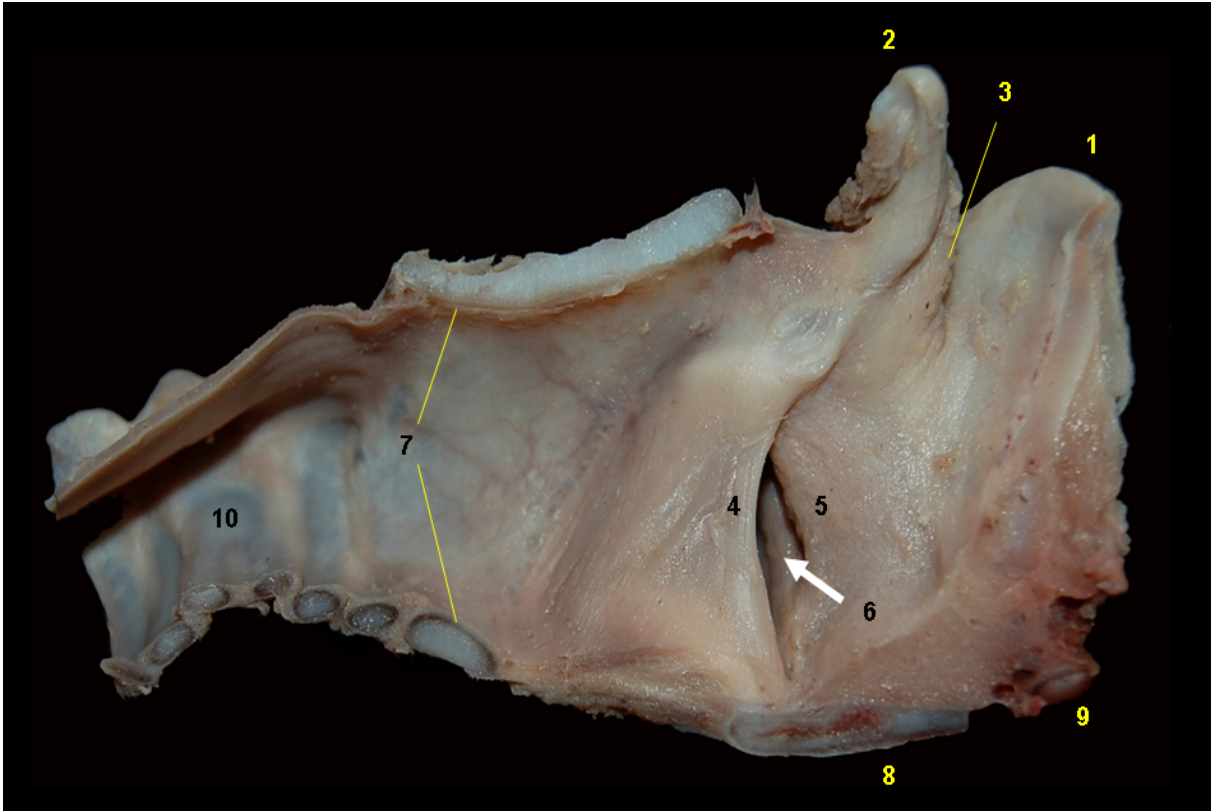


**Figura 3.15** - Visión dorsal de la laringe abierta de la pacarana (*Dinomys branickii*). La lámina del cartílago cricoides ha sido seccionada dorsalmente. **A** - 1. Epiglotis; 2. Vestíbulo laríngeo; 3. Hendidura de la glotis; 4. Cavidad infraglotica; 5. Tráquea. **B** - 1. Epiglotis; 2. Cartílago aritenoides; 3. Pliegue vocal; 4. Ventrículo laríngeo; 5. Lámina del cartílago cricoides; 6. Tráquea.

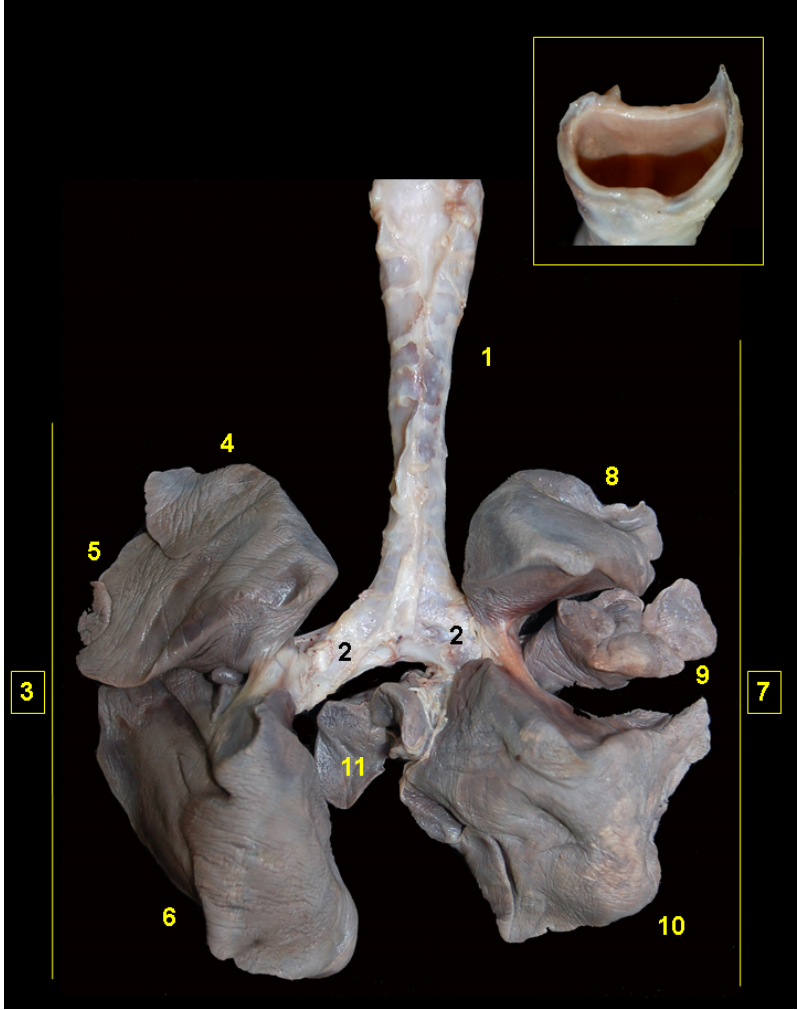




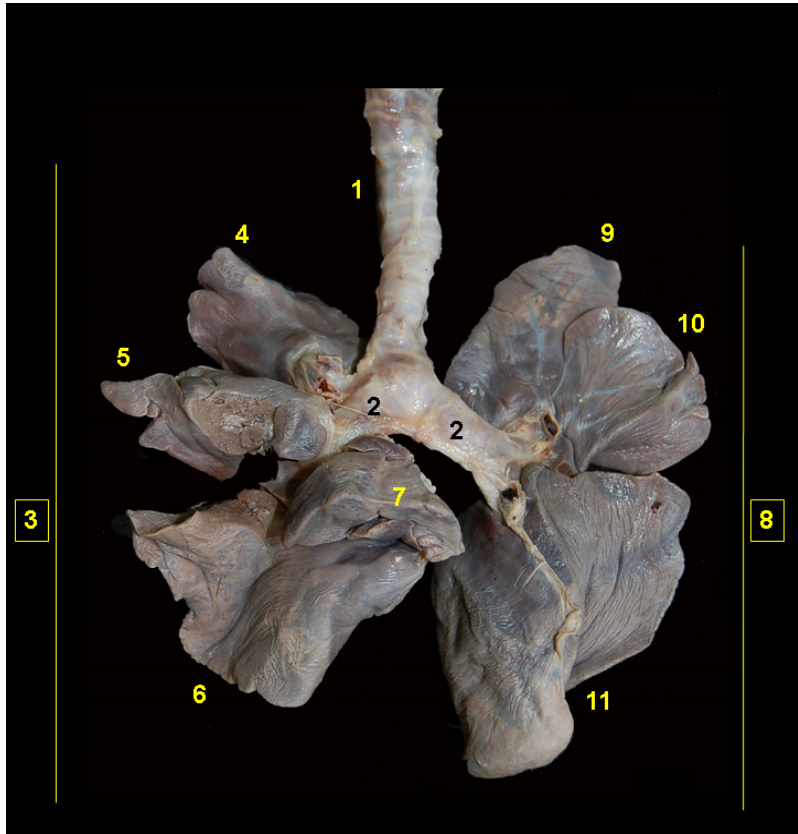
**Figura 3.16** - Visión lateral de la laringe de la pacarana (*Dinomys branickii*). 1. Epiglotis; 2. Apófisis corniculada (cartílago aritenoides); 3. Cartílago tiroides; 4. Cartílago cricoides; 5. Tráquea.



**Figura 3.17** - Visión medial de la laringe de la pacarana (*Dinomys branickii*). 1. Epiglotis; 2. Apófisis corniculada (cartílago aritenoides); 3. Pliegue ariepiglótico; 4. Pliegue vocal; 5. Pliegue vestibular; 6. Ventriculo laríngeo; 7. Cartílago cricoides; 8. Cartílago tiroides; 9. Basihioides; 10. Tráquea.



**Figura 3.18** - Visión dorsal del árbol traqueobronquial y pulmones de la pacarana (*Dinomys branickii*). 1. Tráquea; 2. Bronquios principales; 3. Pulmón izquierdo; 4. Parte craneal del lóbulo craneal; 5. Parte caudal del lóbulo craneal; 6. Lóbulo caudal; 7. Pulmón derecho; 8. Lóbulo craneal; 9. Lóbulo medio; 10. Lóbulo caudal; 11. Lóbulo accesorio. En detalle: corte transversal de la tráquea.

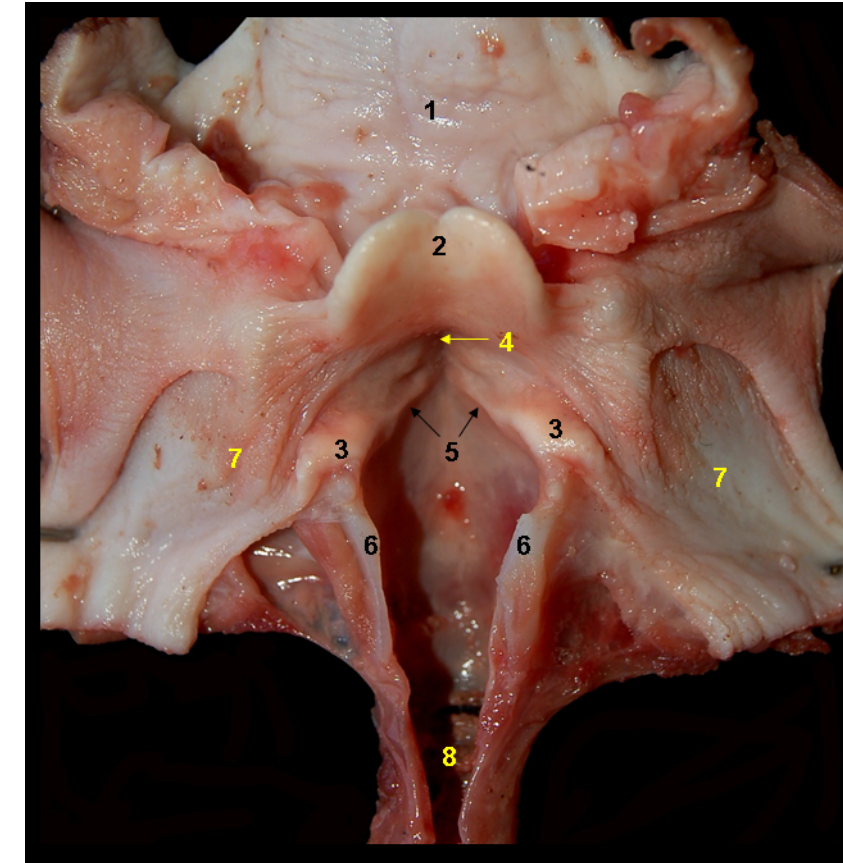


**Figura 3.19** - Visión ventral del árbol traqueobronquial y pulmones de la pacarana (*Dinomys branickii*). 1. Tráquea; 2. Bronquios principales; 3. Pulmón derecho; 4. Lóbulo craneal; 5. Lóbulo medio; 6. Lóbulo caudal; 7. Lóbulo accesorio; 8. Pulmón izquierdo; 9. Parte craneal del lóbulo craneal; 10. Parte caudal del lóbulo craneal; 11. Lóbulo caudal.

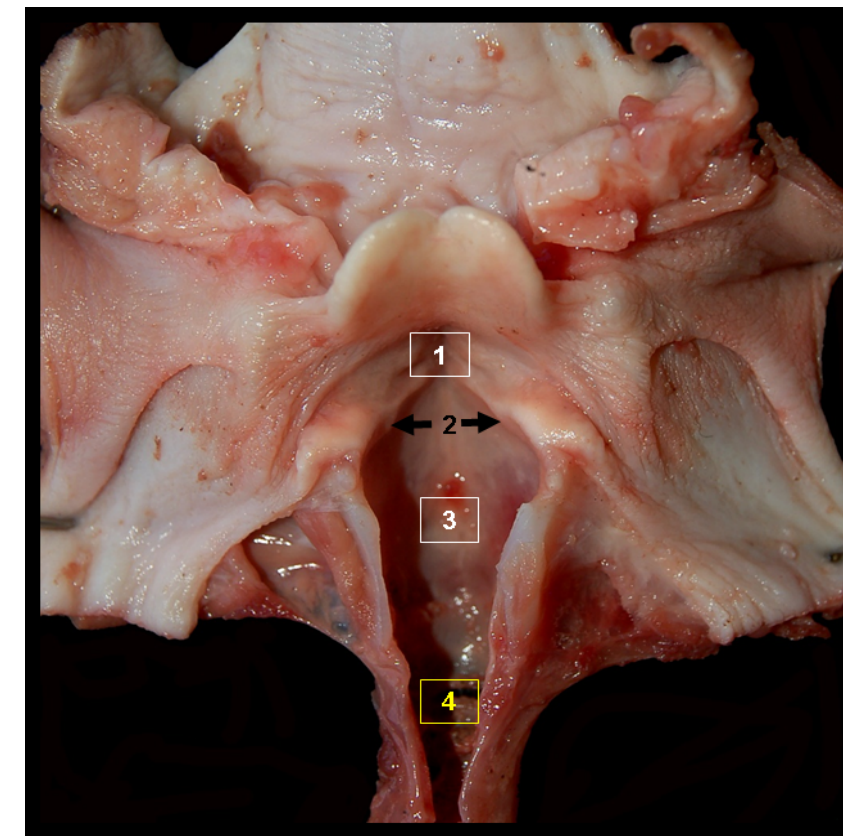




## ARMADILLO DE NUEVE BANDAS (*Dasypus novemcinctus*)



**Figura 3.20** - Visión dorsal de la laringe del armadillo de nueve bandas (*Dasypus novemcinctus*). La lámina del cartílago cricoides ha sido seccionada dorsalmente. 1. Raíz de la lengua; 2. Epiglotis; 3. Apófisis corniculada (aritenoides); 4. Receso mediano de la laringe; 5. Pliegue vocal; 6. Cartílago cricoides; 7. Laringofaringe; 8. Tráquea.



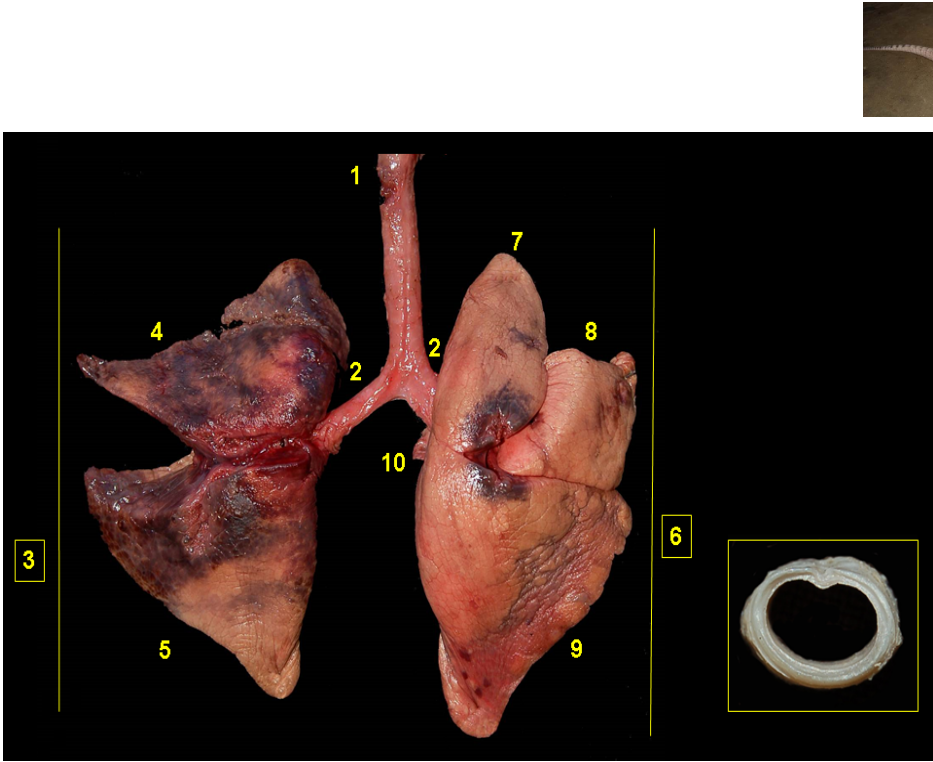
**Figura 3.21** - Visión dorsal de la laringe del armadillo de nueve bandas (*Dasypus novemcinctus*). La lámina del cartílago cricoides ha sido seccionada dorsalmente. 1. Vestíbulo de la laringe; 2. Hendidura de la glotis; 3. Cavidad infraglotica; 4. Tráquea.



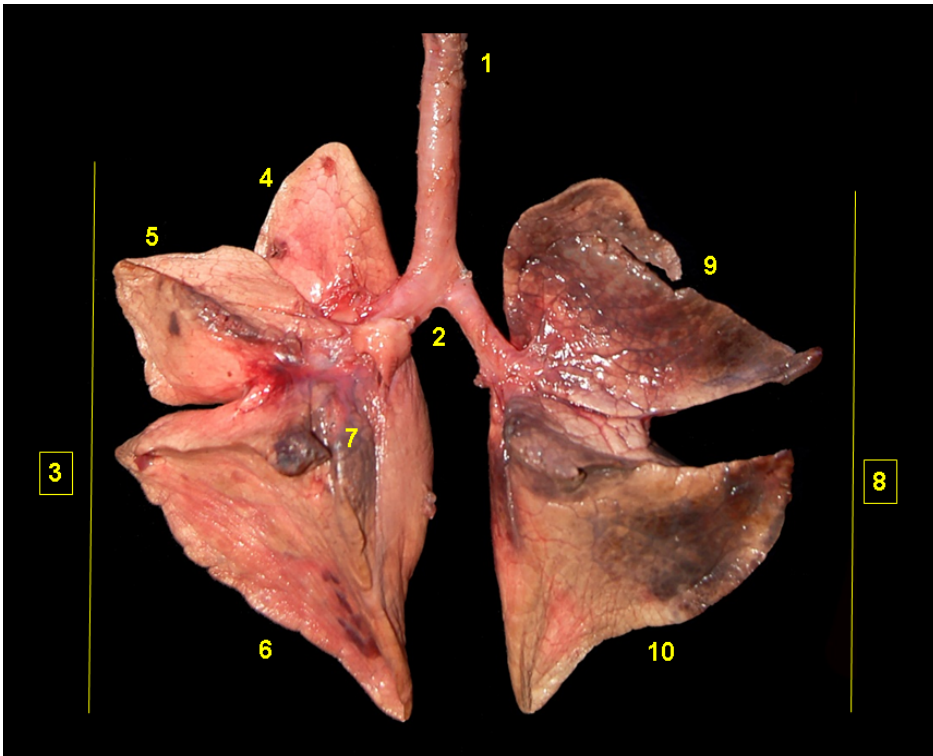
**Figura 3.22** - Visión lateral de la laringe del armadillo de nueve bandas (*Dasypus novemcinctus*). La laringe del armadillo de nueve bandas no presenta ventrículo laríngeo ni apófisis cuneiforme en el cartílago aritenoides. 1. Epiglotis; 2. Cartílago tiroides; 3. Cartílago cricoides; 4. Tráquea; 5. Tirohioides; 6. Basihioides; 7. Ceratohioides; 8. Epihioides; 9. Estilohioides.



**Figura 3.23** - Visión medial de la laringe del armadillo de nueve bandas (*Dasypus novemcinctus*). La laringe del armadillo de nueve bandas no presenta ventrículo laríngeo ni apófisis cuneiforme en el cartílago aritenoides. 1. Epiglotis; 2. Apófisis corniculada (cartílago aritenoides); 3. Pliegue vocal; 4. Cartílago cricoides; 5. Cartílago tiroides; 6. Tráquea; 7. Tirohioides; 8. Basihioides; 9. Ceratohioides; 10. Epihioides; 11. Estilohioides.



**Figura 3.24** - Visión dorsal del árbol traqueobronquial y lóbulos pulmonares del armadillo de nueve bandas (*Dasypus novemcinctus*). 1. Tráquea; 2. Bronquios principales; 3. Pulmón izquierdo; 4. Lóbulo craneal; 5. Lóbulo caudal; 6. Pulmón derecho; 7. Lóbulo craneal; 8. Lóbulo medio; 9. Lóbulo caudal; 10. Lóbulo accesorio. En detalle: corte transversal de la tráquea.

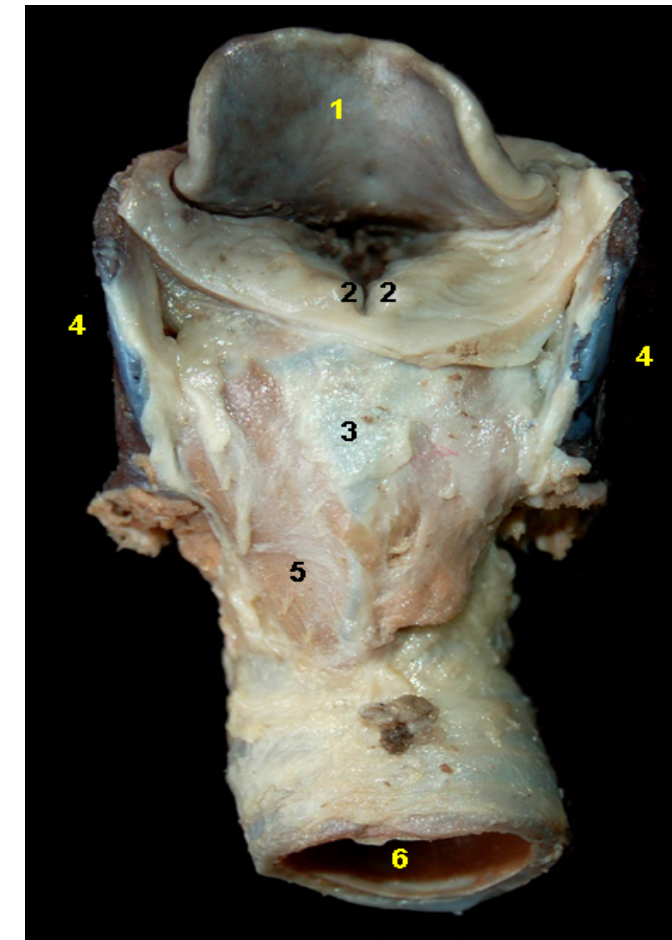


**Figura 3.25** - Visión ventral del árbol traqueobronquial y lóbulos pulmonares del armadillo de nueve bandas (*Dasypus novemcinctus*). 1. Tráquea; 2. Bronquios principales; 3. Pulmón derecho; 4. Lóbulo craneal; 5. Lóbulo medio; 6. Lóbulo caudal; 7. Lóbulo accesorio; 8. Pulmón izquierdo; 9. Lóbulo craneal; 10. Lóbulo caudal.

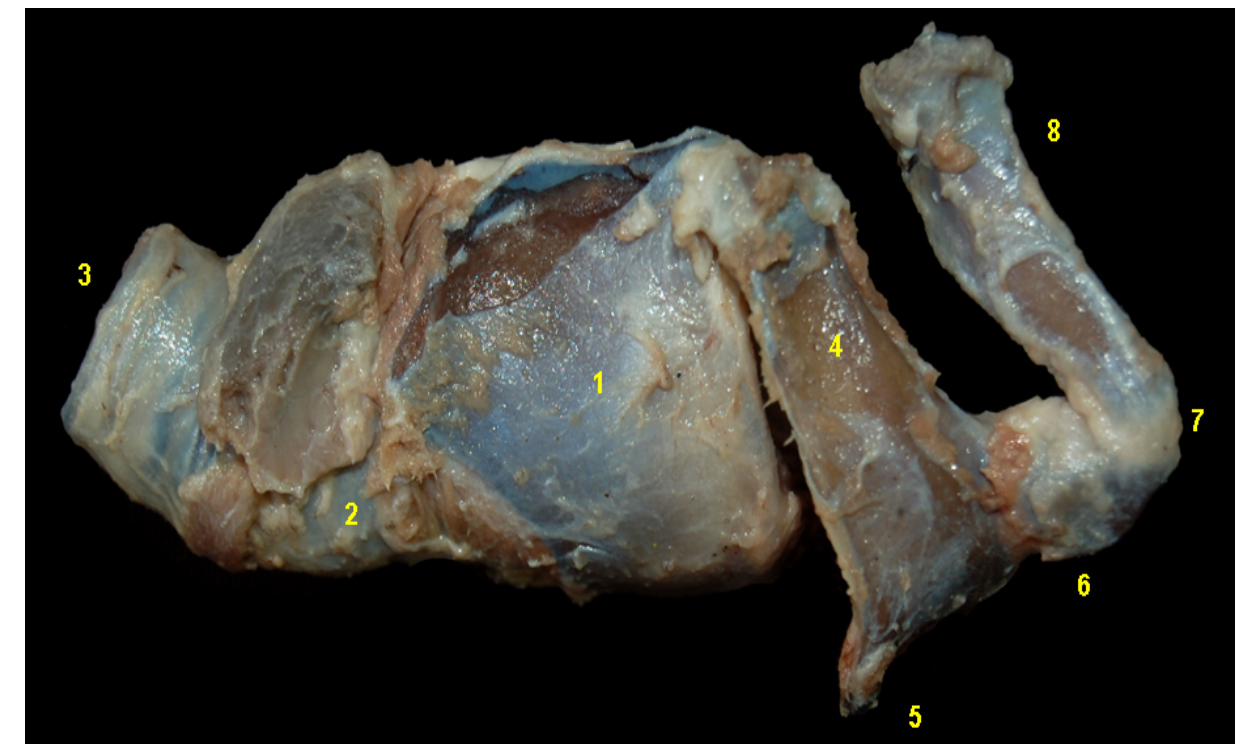




## ARMADILLO GIGANTE (*Priodontes maximus*)

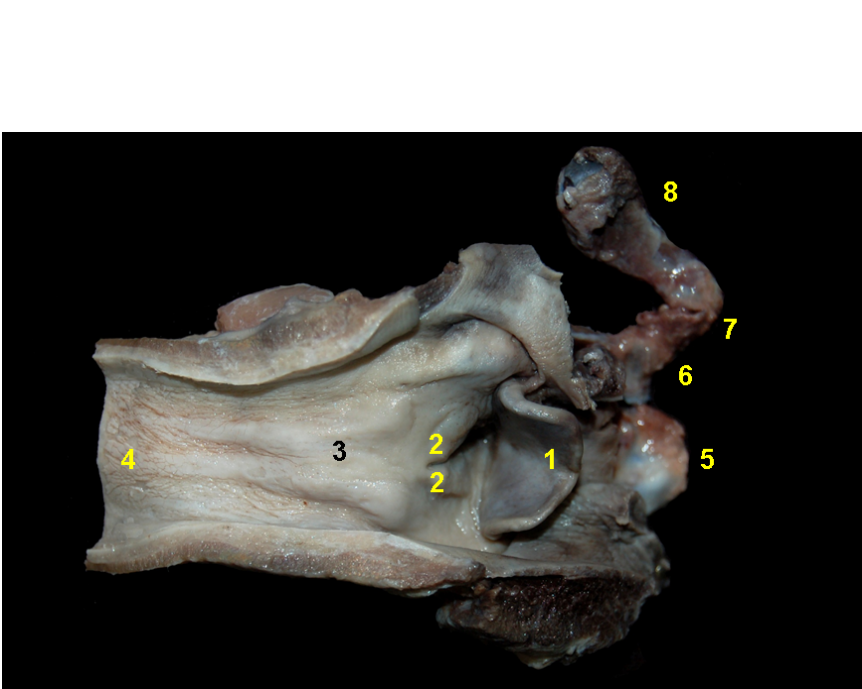


**Figura 3.26** - Visión dorsal de la laringe del armadillo gigante (*Priodontes maximus*). 1. Epiglotis; 2. Apófisis corniculada (cartílago aritenoides); 3. Cartílago cricoides; 4. Cartílago tiroideo; 5. Músculo cricoaritenoides dorsal; 6. Tráquea.

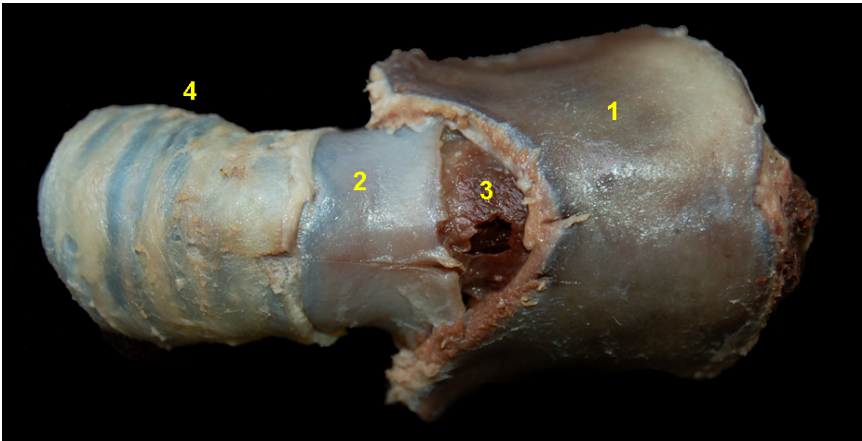


**Figura 3.27** - Visión lateral de la laringe y del hioides del armadillo gigante (*Priodontes maximus*). 1. Cartílago tiroideo; 2. Cartílago cricoides; 3. Tráquea; 4. Tirohioides; 5. Basihioides; 6. Ceratohioides; 7. Epihioides; 8. Estilohioides.

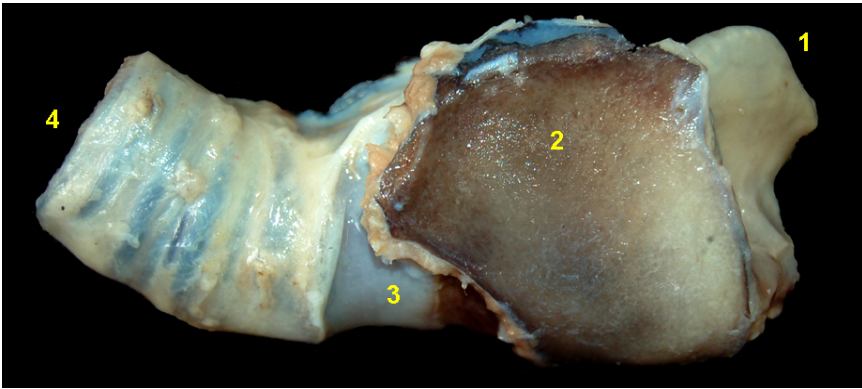




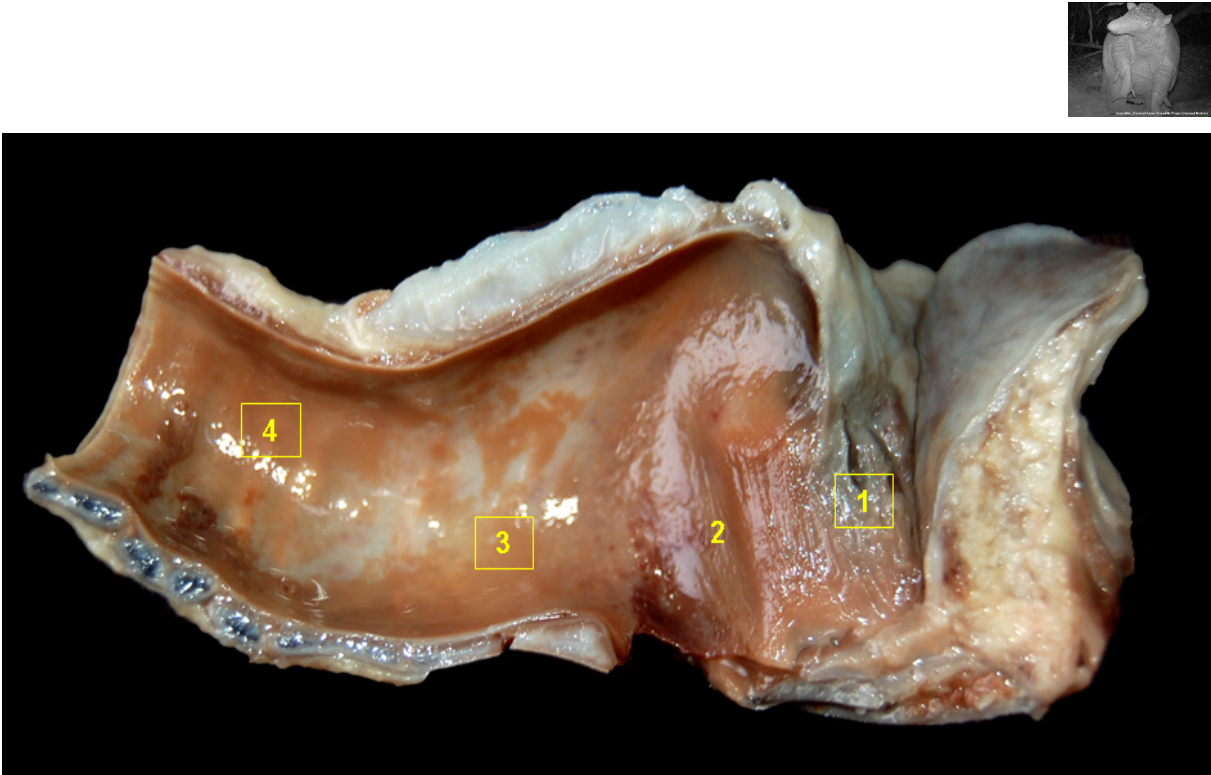
**Figura 3.28** - Visión dorsal de la laringe y laringofaringe del armadillo gigante (*Priodontes maximus*). 1. Epiglotis; 2. Apófisis corniculada (cartílago aritenoides); 3. Laringofaringe; 4. Esófago; 5. Basihoides; 6. Ceratohoides; 7. Epihoides; 8. Estilohoides.



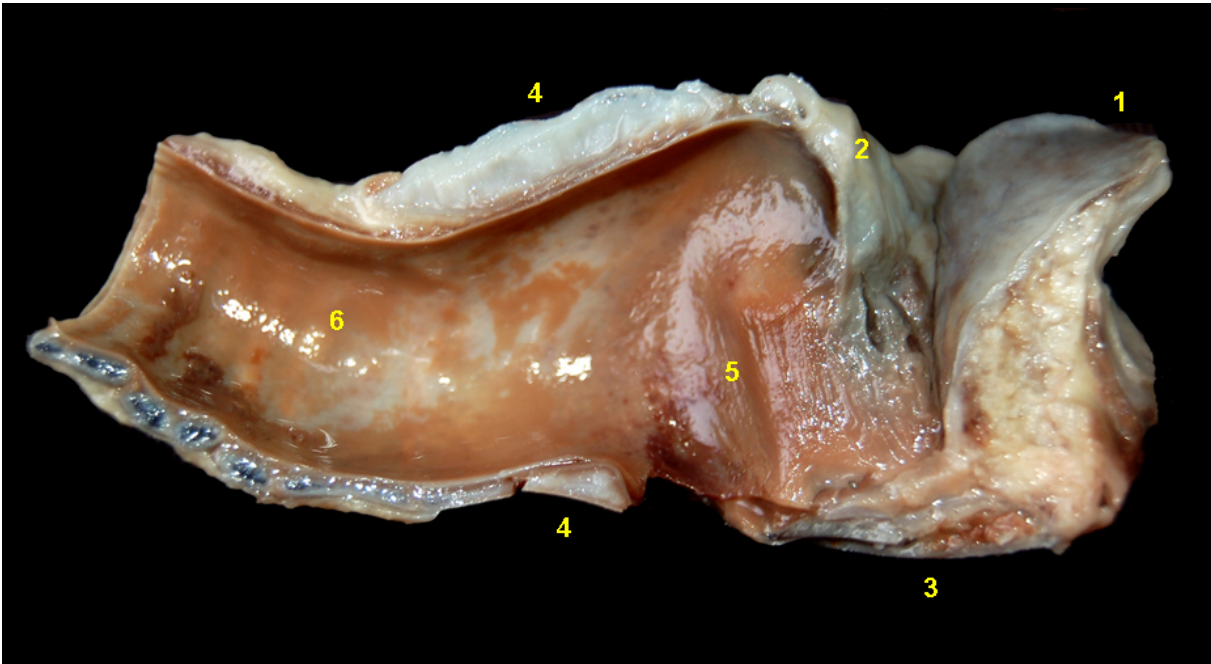
**Figura 3.29** - Visión ventral de la laringe del armadillo gigante (*Priodontes maximus*). 1. Cartílago tiroides; 2. Cartílago cricoides; 3. Ligamento cricotiroides; 4. Tráquea.



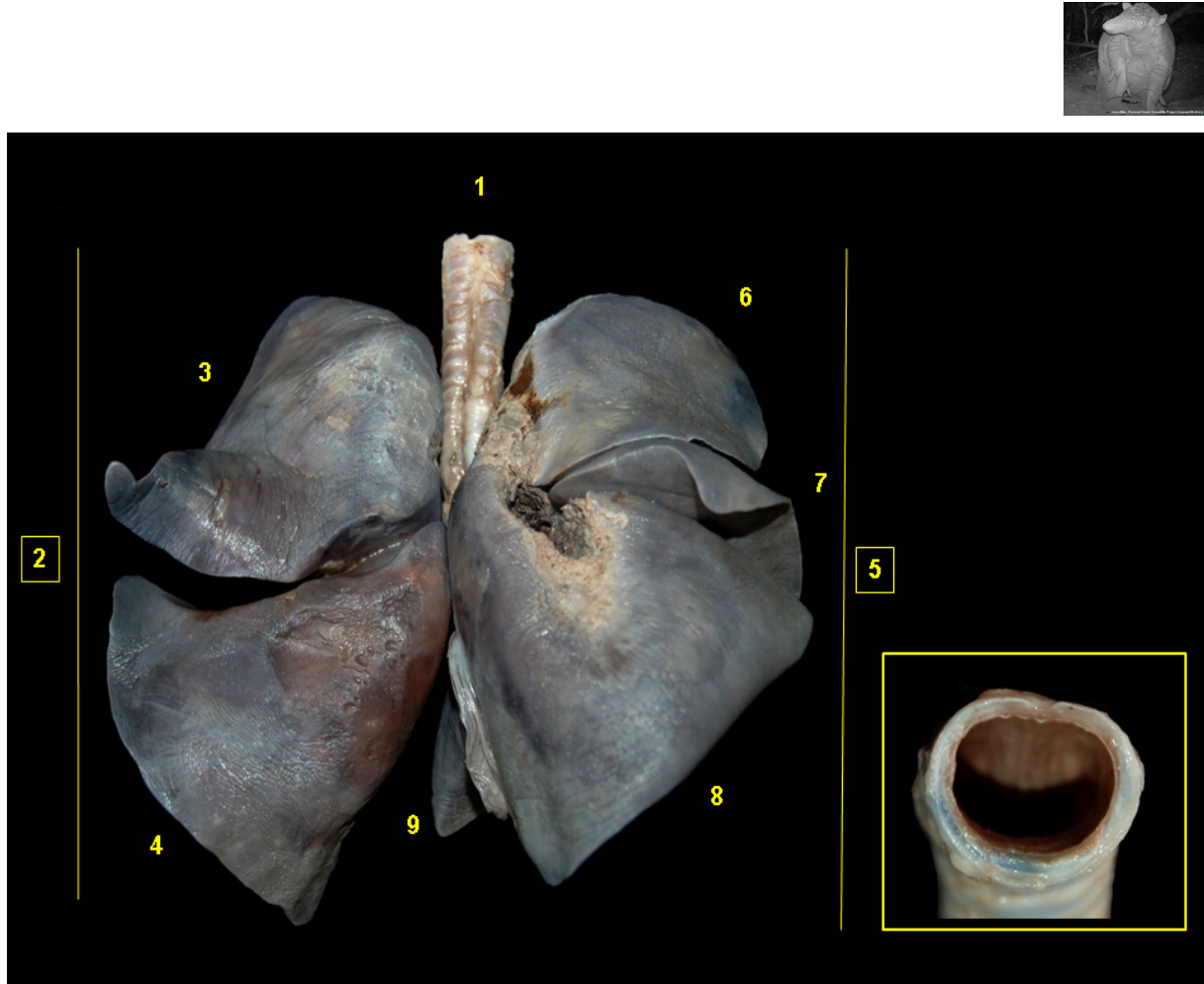
**Figura 3.30** - Visión ventral de la laringe del armadillo gigante (*Priodontes maximus*). 1. Cartílago tiroides; 2. Cartílago cricoides; 3. Ligamento cricotiroides; 4. Tráquea.



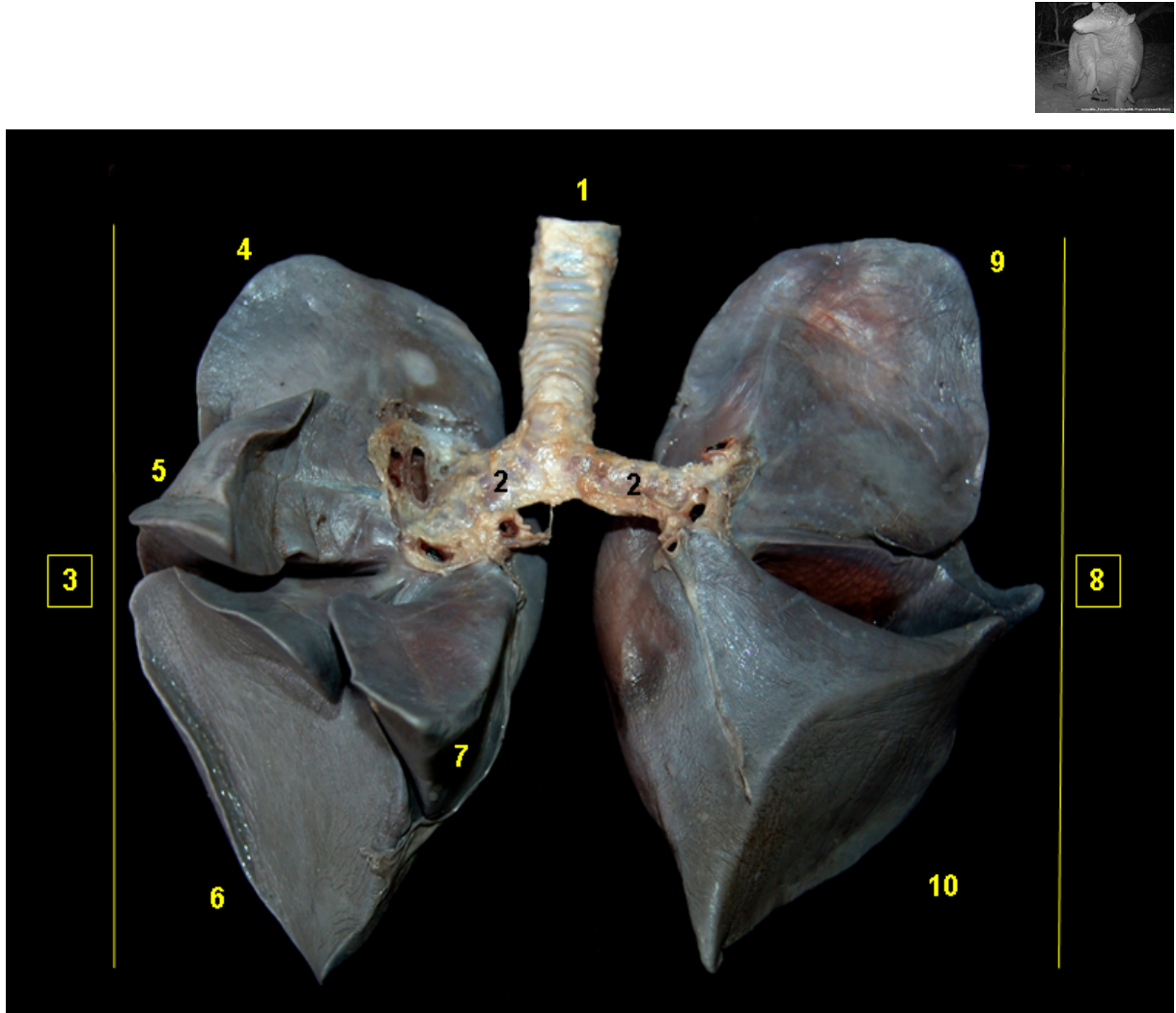
**Figura 3.31** - Visión medial de la laringe del armadillo gigante (*Priodontes maximus*). 1. Epiglotis; 2. Cartílago tiroides; 3. Cartílago cricoides; 4. Tráquea.



**Figura 3.32** - Visión medial de la laringe del armadillo gigante (*Priodontes maximus*). 1. Epiglotis; 2. Apófisis corniculada (cartílago aritenoides); 3. Cartílago tiroides; 4. Cartílago cricoides; 5. Pliegue vocal; 6. Tráquea.



**Figura 3.33** - Visión dorsal del árbol traqueobronquial y lóbulos pulmonares del armadillo gigante (*Priodontes maximus*). 1. Tráquea; 2. Pulmón izquierdo; 3. Lóbulo craneal; 4. Lóbulo caudal; 5. Pulmón derecho; 6. Lóbulo craneal; 7. Lóbulo medio; 8. Lóbulo caudal; 9. Lóbulo accesorio. En detalle: corte transversal de la tráquea.

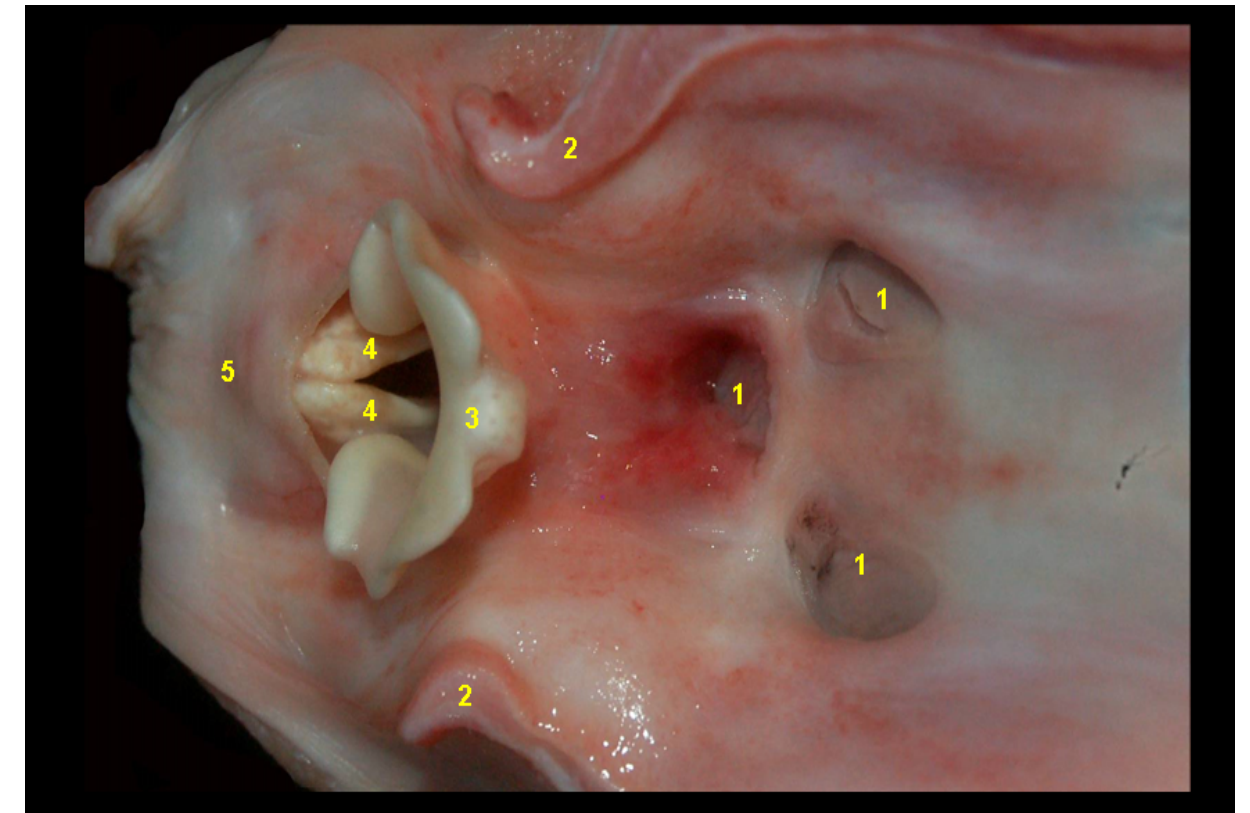


**Figura 3.34** - Visión ventral del árbol traqueobronquial y lóbulos pulmonares del armadillo gigante (*Priodontes maximus*). 1. Tráquea; 2. Bronquios principales; 3. Pulmón derecho; 4. Lóbulo craneal; 5. Lóbulo medio; 6. Lóbulo caudal; 7. Lóbulo accesorio; 8. Pulmón izquierdo; 9. Lóbulo craneal; 10. Lóbulo caudal.

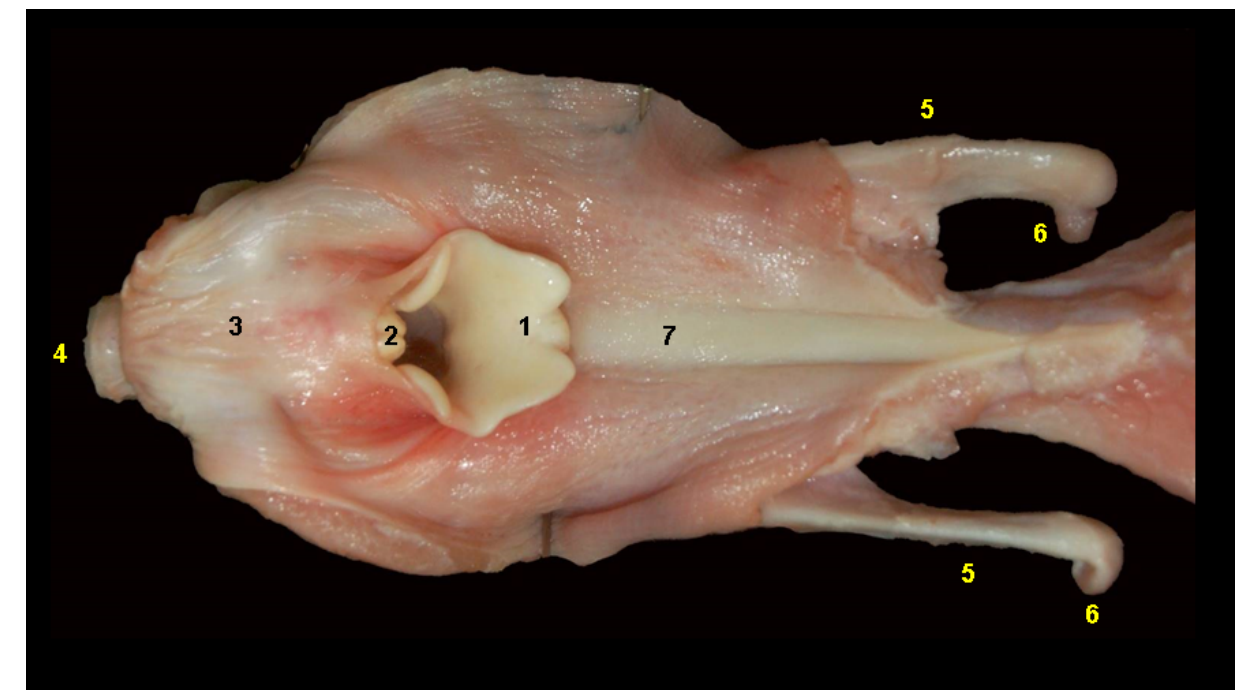




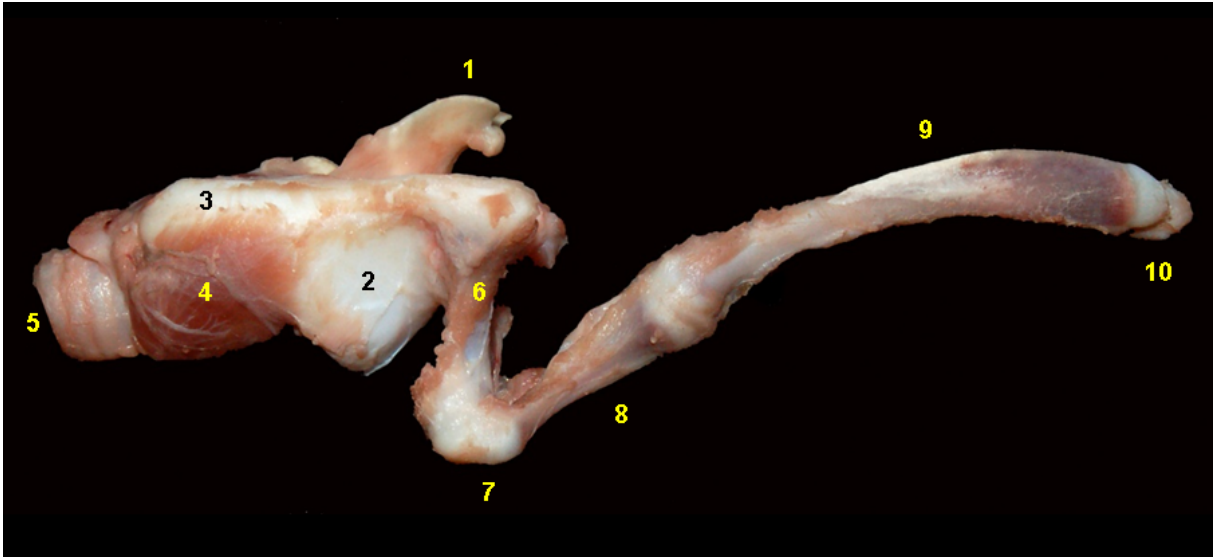
## OSO HORMIGUERO (*Myrmecophaga tridactyla*)



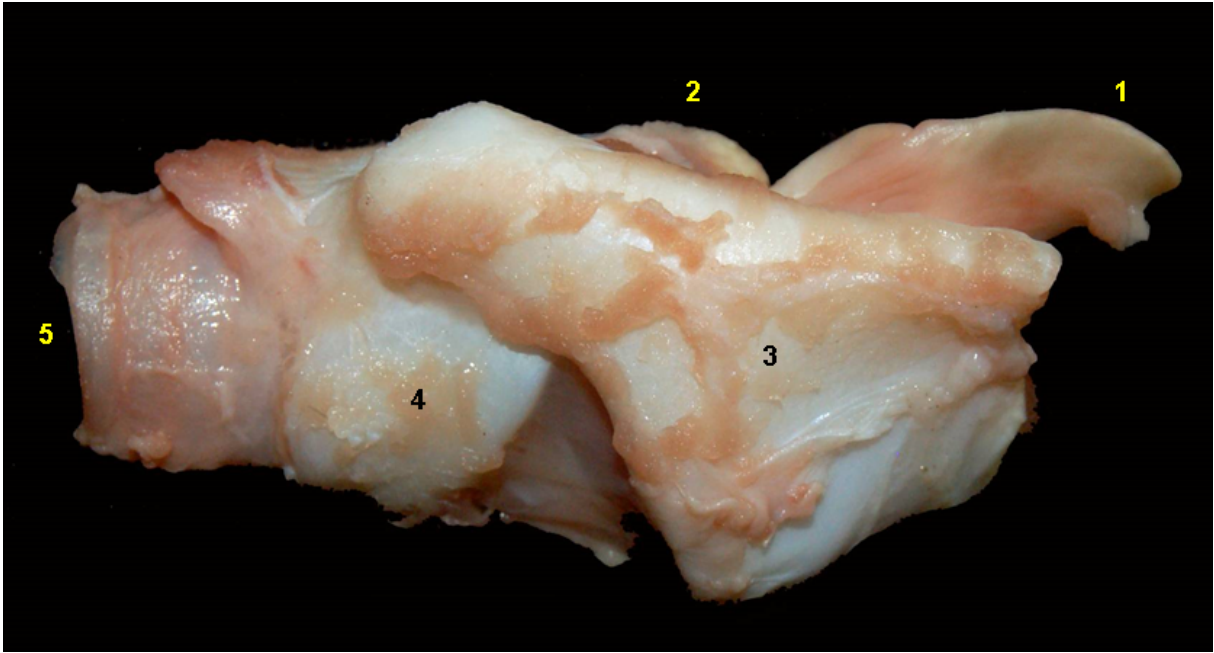
**Figura 3.35** - Visión dorsal de la faringe y la laringe de oso hormiguero (*Myrmecophaga tridactyla*). 1. Tonsila palatina; 2. Paladar blando (seccionado); 3. Epiglottis; 4. Apófisis corniculada (cartílago aritenoides); 5. Laringofaringe.



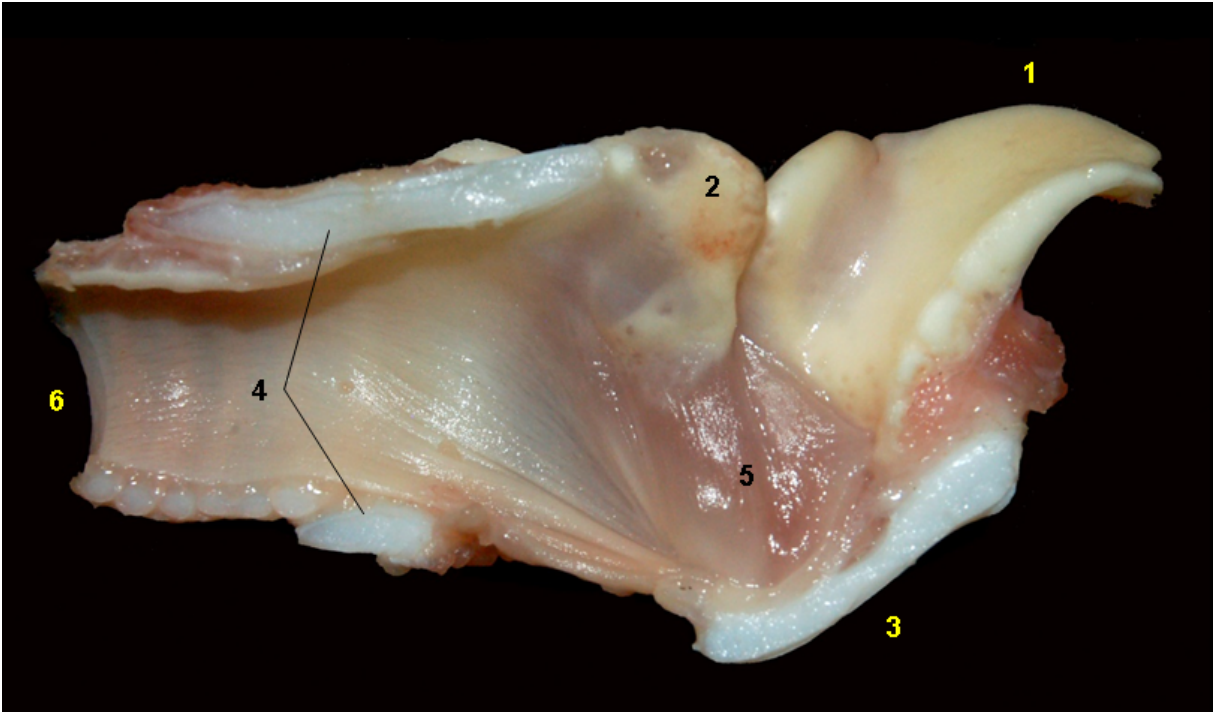
**Figura 3.36** - Visión dorsal de la laringe de oso hormiguero (*Myrmecophaga tridactyla*). La laringe del oso hormiguero no presenta ventrículo laríngeo ni apófisis cuneiforme en el cartílago aritenoides. 1. Epiglottis; 2. Cartílago aritenoides; 3. Laringofaringe; 4. Tráquea; 5. Estilohioides; 6. Timpanohioides; 7. Orofaringe.



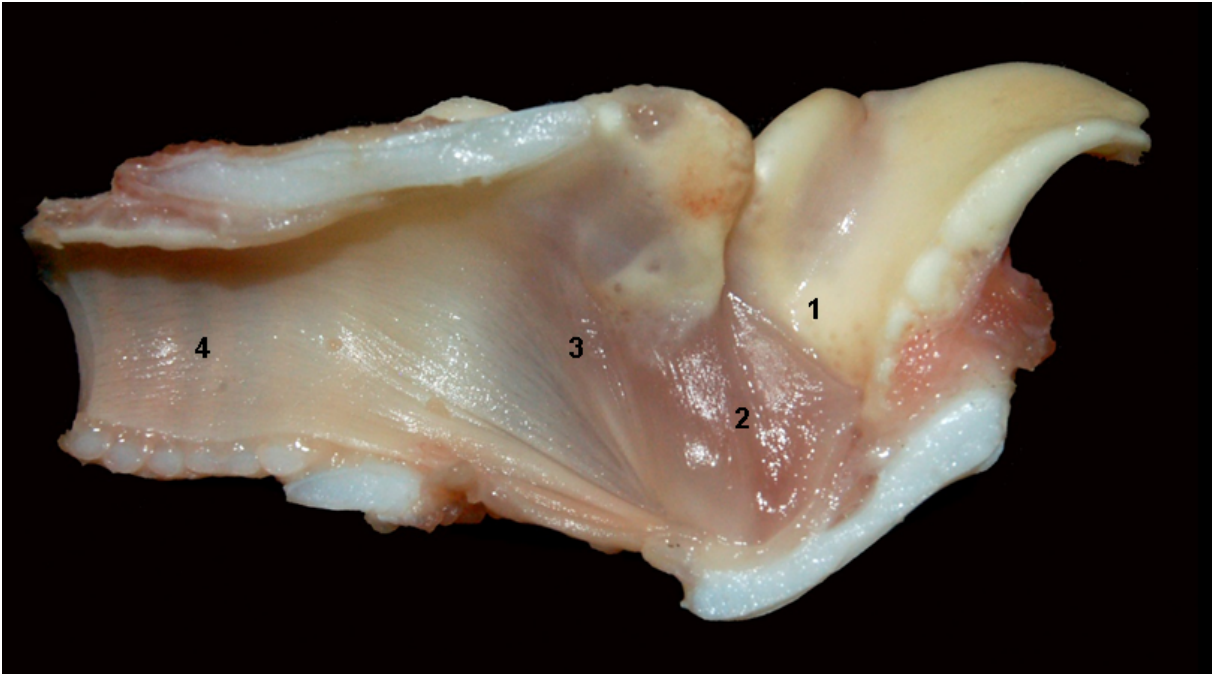
**Figura 3.37** - Visión lateral de la laringe de oso hormiguero (*Myrmecophaga tridactyla*). 1. Epiglottis; 2. Cartilago tiroides; 3. Cartilago cricoides; 4. Músculo cricotiroides; 5. Tráquea; 6. Tiroides; 7. Ceratohioides; 8. Epihioides; 9. Estilohioides; 10. Timpanihoides.



**Figura 3.38** - Visión lateral de la laringe de oso hormiguero (*Myrmecophaga tridactyla*). 1. Epiglottis; 2. Apófisis corniculada (cartilago aritenoides); 3. Cartilago tiroides; 4. Cartilago cricoides; 5. Tráquea.



**Figura 3.39** - Visión medial de la laringe de oso hormiguero (*Myrmecophaga tridactyla*). 1. Epiglottis; 2. Proceso corniculado (cartilago aritenoides); 3. Cartilago tiroides; 4. Cartilago cricoides; 5. Pliegue vocal; 6. Tráquea.

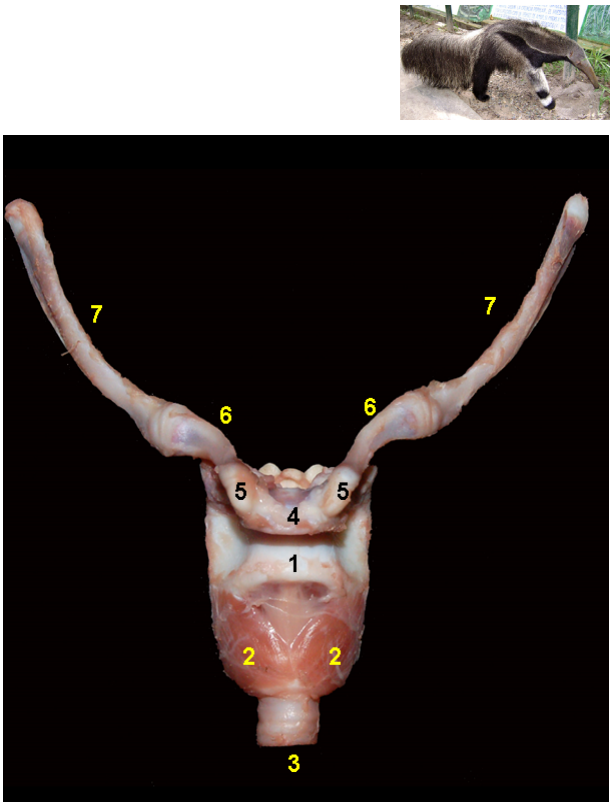


**Figura 3.40** - Visión medial de la laringe de oso hormiguero (*Myrmecophaga tridactyla*). La laringe del oso hormiguero no presenta ventrículos laríngeos ni apófisis cuneiforme en el cartilago aritenoides. 1. Vestíbulo laríngeo; 2. Hendidura de la glotis; 3. Cavity infraglotica; 4. Tráquea.





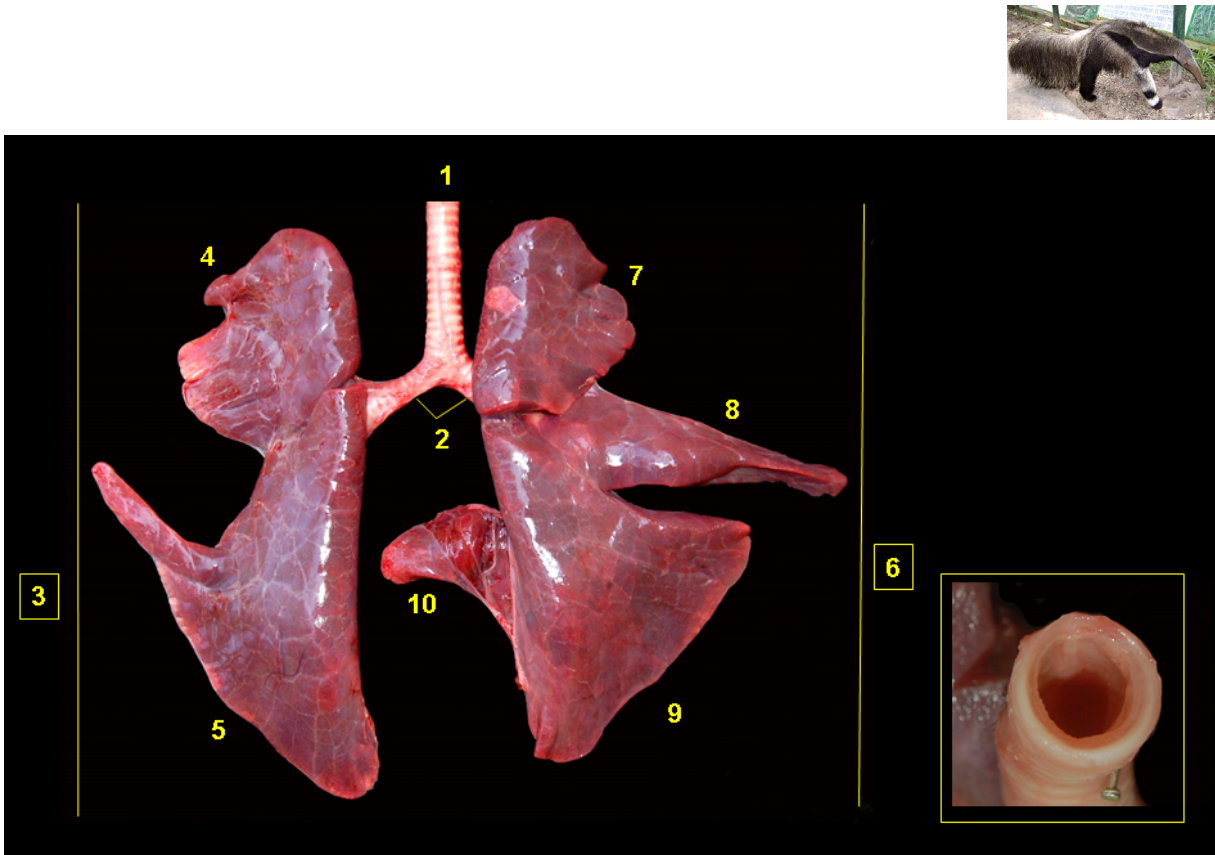
**Figura 3.41** - Visión dorsal de la laringe y del aparato hioideo de oso hormiguero (*Myrmecophaga tridactyla*). 1. Epiglotis; 2. Apófisis corniculada (aritenoides); 3. Cartílago tiroideo; 4. Tráquea; 5. Epihioideos; 6. Estilohioideos.



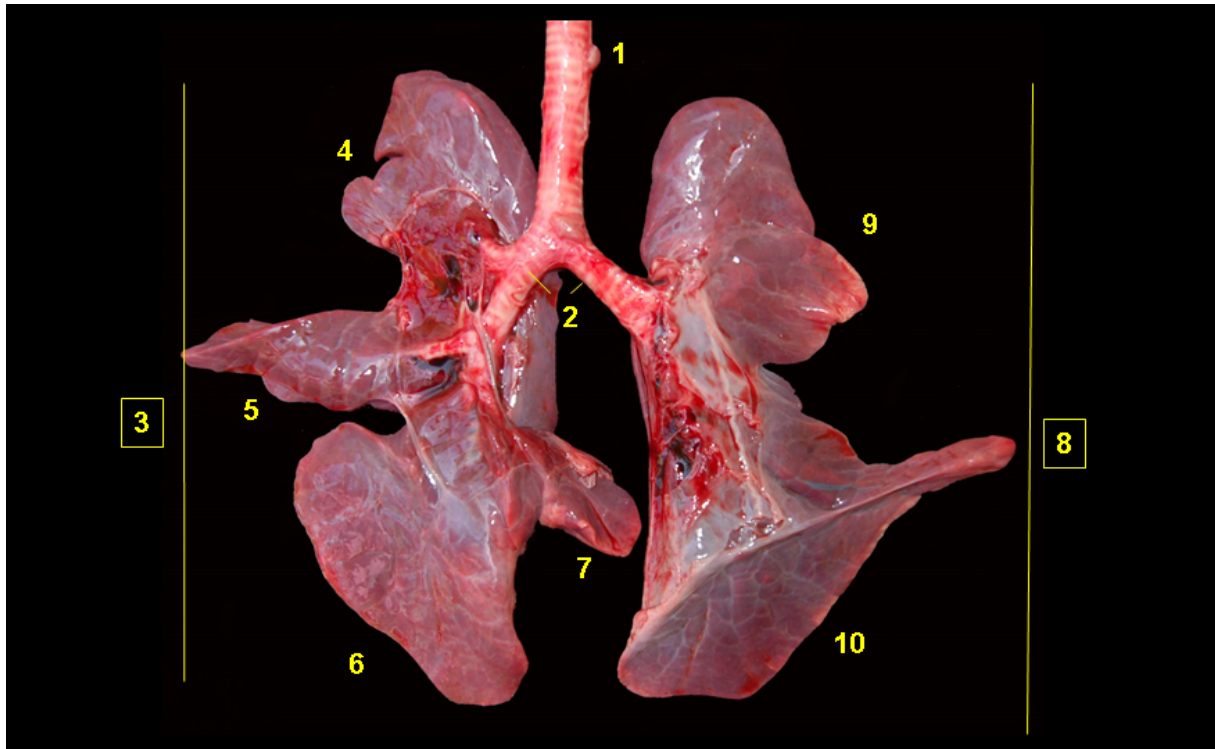
**Figura 3.42** - Visión ventral de la laringe y del aparato hioideo de oso hormiguero (*Myrmecophaga tridactyla*). 1. Cartílago tiroideo; 2. Músculo cricotiroideo; 3. Tráquea; 4. Basihioideos; 5. Ceratohioideos; 6. Epihioideos; 7. Estilohioideos.



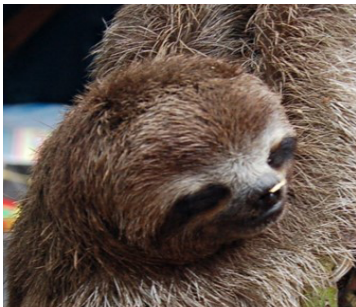
**Figura 3.43** - Visiones ventral, dorsal y caudal, respectivamente, del hioides de oso hormiguero (*Myrmecophaga tridactyla*). 1. Tirohioideo; 2. Basihioideo; 3. Ceratohioideo; 4. Epihioideo; 5. Estilohioideo.



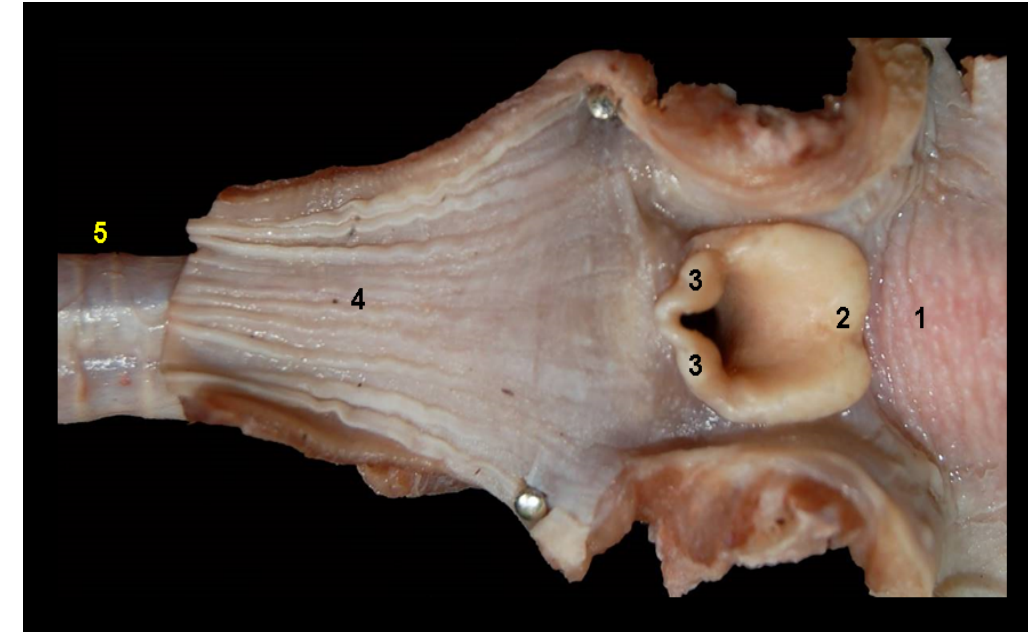
**Figura 3.44** - Visión dorsal de árbol traqueobronquial y lóbulos pulmonares de oso hormiguero (*Myrmecophaga tridactyla*). 1. Tráquea; 2. Bronquios principales; 3. Pulmón izquierdo; 4. Lóbulo craneal; 5. Lóbulo caudal; 6. Pulmón derecho; 7. Lóbulo craneal; 8. Lóbulo medio; 9. Lóbulo caudal; 10. Lóbulo accesorio. En detalle: corte transversal de la tráquea.



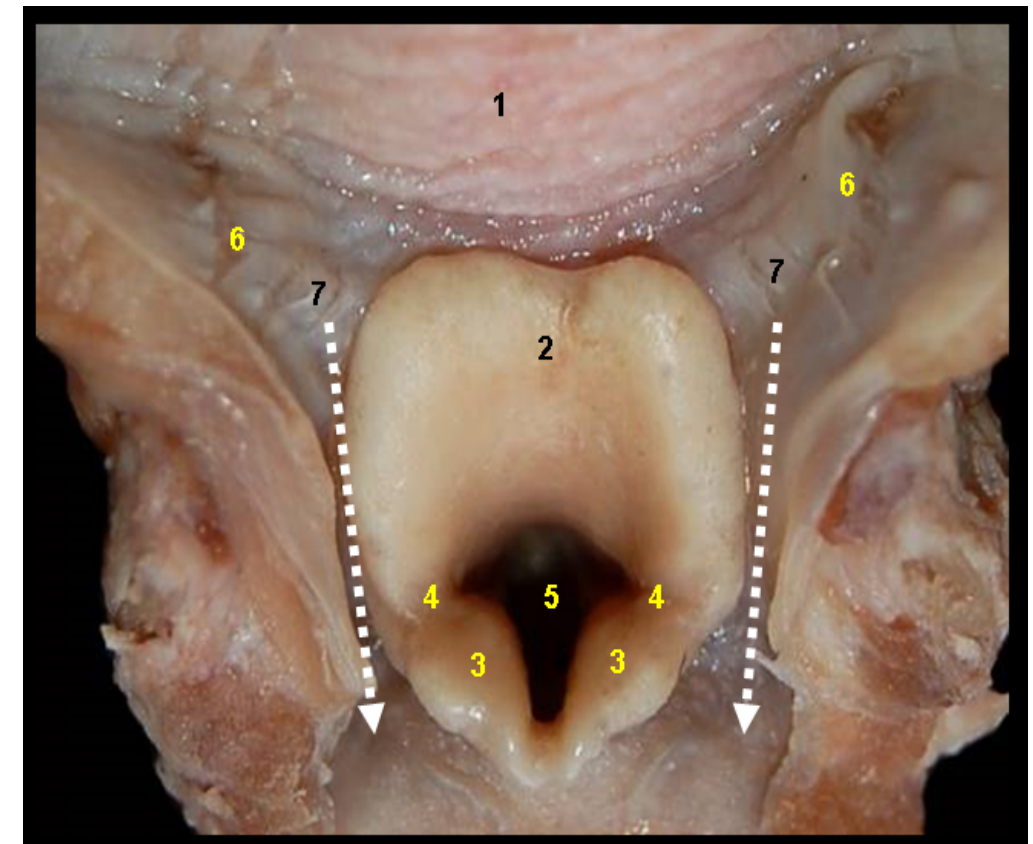
**Figura 3.45** - Visión ventral de árbol traqueobronquial y lóbulos pulmonares de oso hormiguero (*Myrmecophaga tridactyla*). 1. Tráquea; 2. Bronquios principales; 3. Pulmón derecho; 4. Lóbulo craneal; 5. Lóbulo medio; 6. Lóbulo caudal; 7. Lóbulo accesorio; 8. Pulmón izquierdo; 9. Lóbulo craneal; 10. Lóbulo caudal.



## OSO PEREZOSO DE TRES DEDOS (*Bradypus variegatus*)

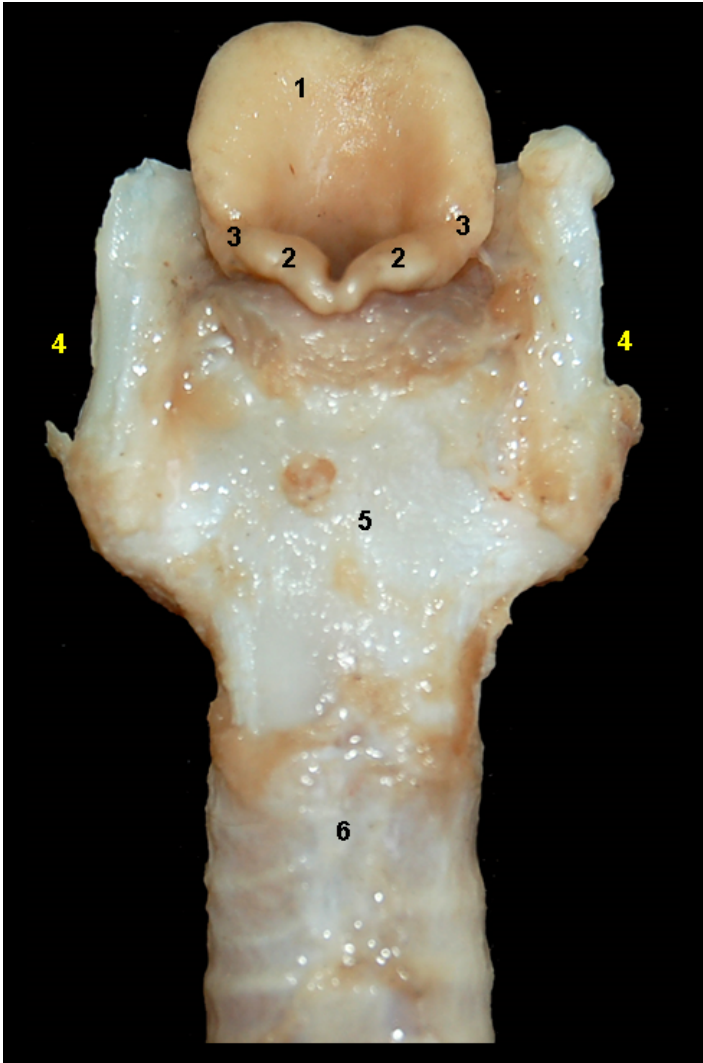
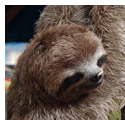


**Figura 3.46** - Visión dorsal de la laringofaringe y la laringe del oso perezoso de tres dedos (*Bradypus variegatus*). 1. Raíz de la lengua; 2. Epiglotis; 3. Apófisis corniculada (cartílago aritenoides); 4. Esófago; 5. Tráquea.

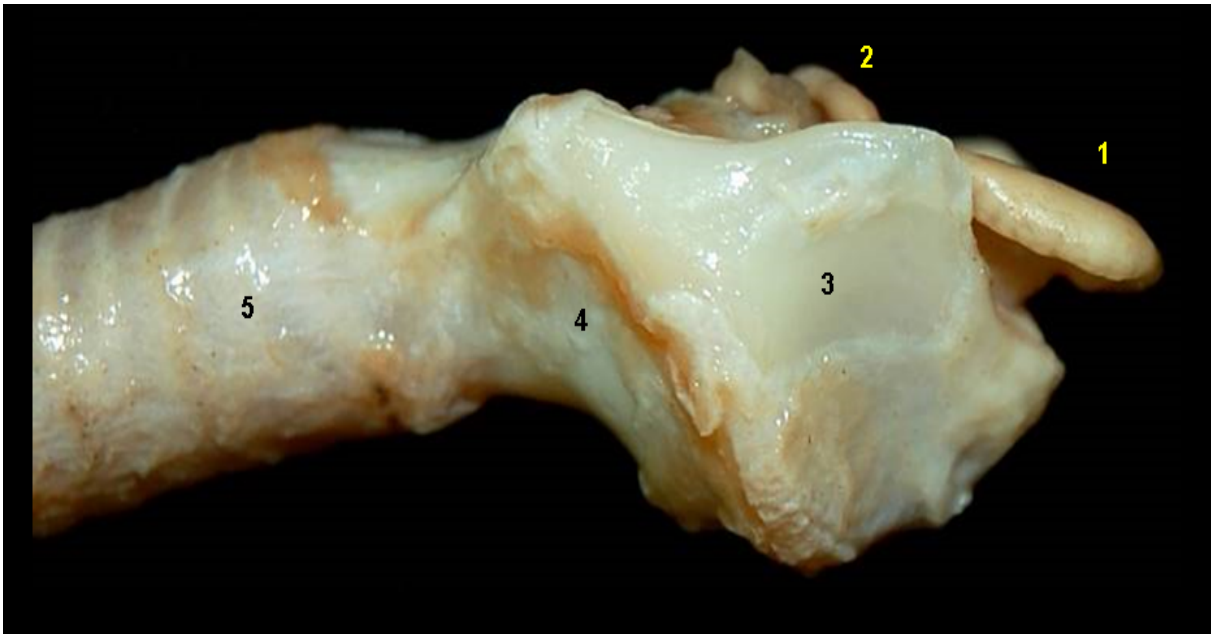


**Figura 3.47** - Visión craneal de la laringe del oso perezoso de tres dedos (*Bradypus variegatus*). 1. Raíz de la lengua; 2. Epiglotis; 3. Apófisis corniculada (cartílago aritenoides); 4. Pliegue ariepiglótico; 5. Vestíbulo de la laringe; 6. Tonsila palatina; 7. Receso piriforme.

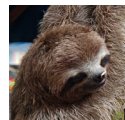




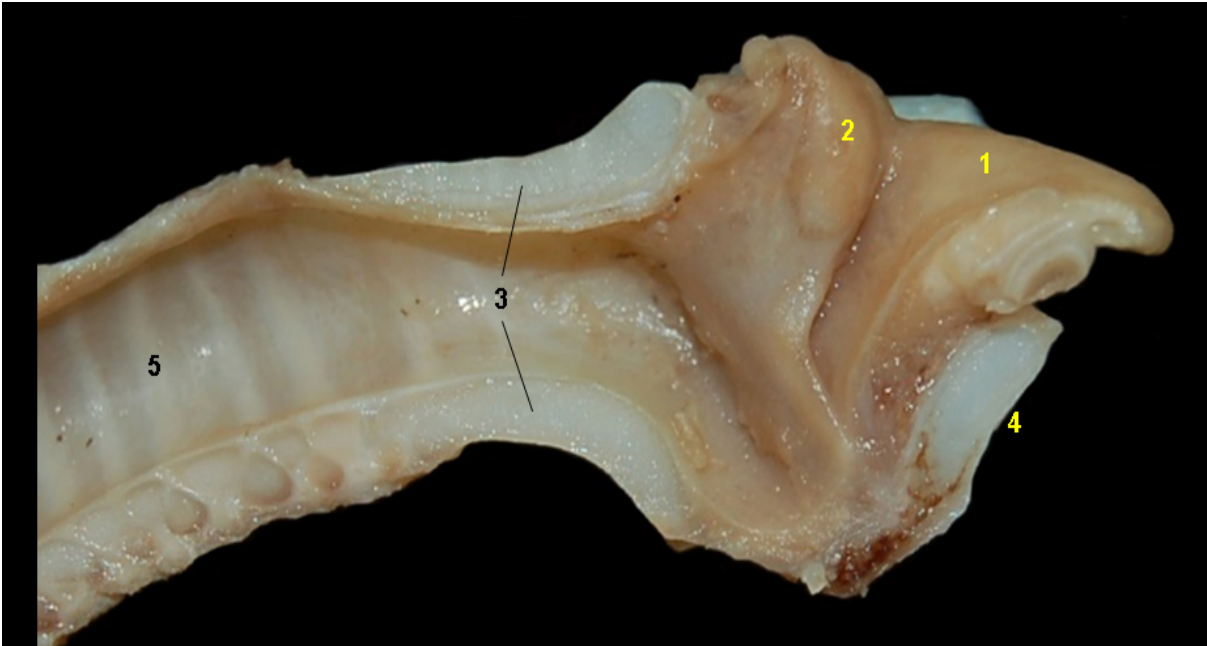
**Figura 3.48** - Visión dorsal de la laringe del oso perezoso de tres dedos (*Bradypus variegatus*). 1. Epiglotis; 2. Apófisis corniculada (cartílago aritenoides); 3. Pliegue ariepiglótico; 4. Cartílago tiroides; 5. Cartílago cricoides; 6. Tráquea.



**Figura 3.49** - Visión lateral de la laringe del oso perezoso de tres dedos (*Bradypus variegatus*). 1. Epiglotis; 2. Apófisis corniculada (cartílago aritenoides); 3. Cartílago tiroides; 4. Cartílago cricoides; 5. Tráquea.

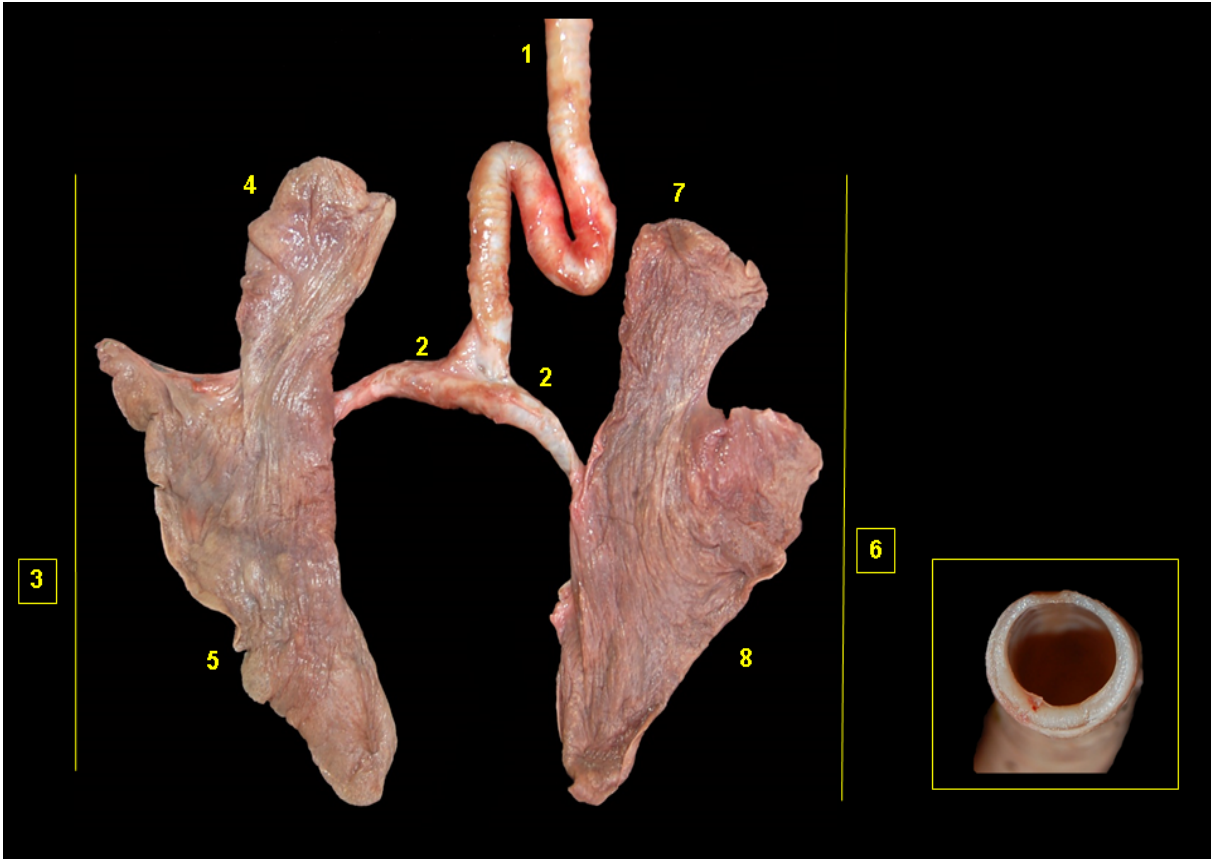
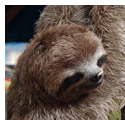


**Figura 3.50** - Visión medial de la laringe del oso perezoso de tres dedos (*Bradypus variegatus*). 1. Vestíbulo de la laringe; 2. Cavidad infraglotica; 3. Tráquea; 4. Pliegue vocal.

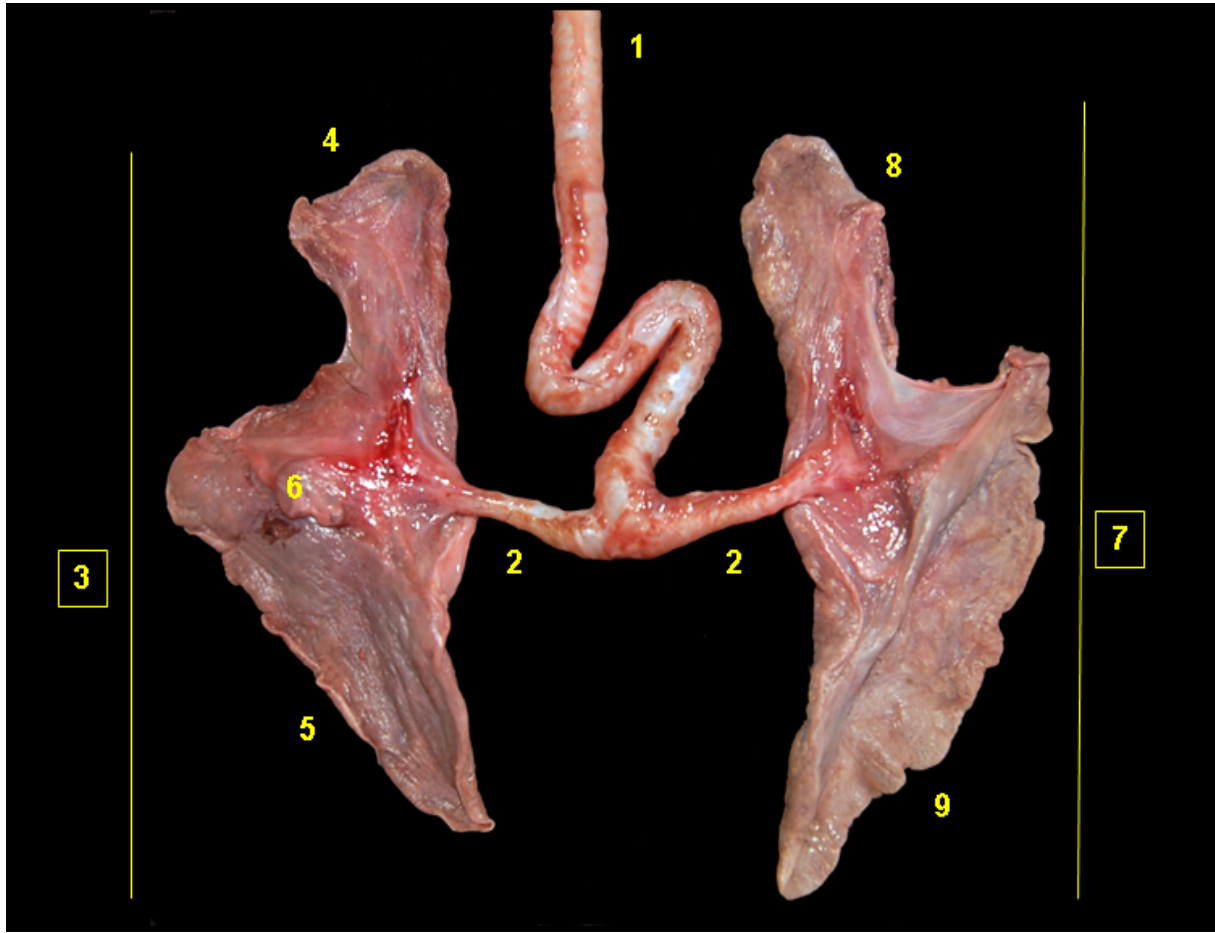
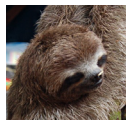


**Figura 3.51** - Visión medial de la laringe del oso perezoso de tres dedos (*Bradypus variegatus*). 1. Epiglotis; 2. Apófisis corniculada (cartílago aritenoides); 3. Cartílago cricoides; 4. Cartílago tiroides; 5. Tráquea.





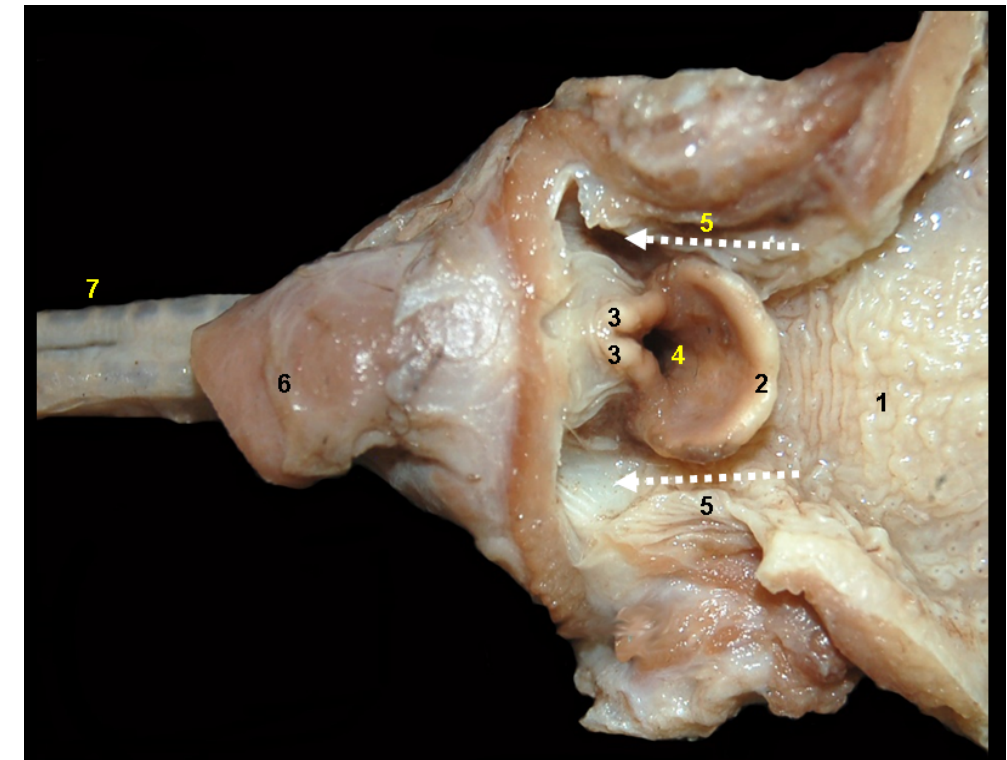
**Figura 3.52** - Visión dorsal del árbol traqueobronquial y lóbulos pulmonares del oso perezoso de tres dedos (*Bradypus variegatus*). Destaca el trayecto sinuoso de la tráquea. 1. Tráquea; 2. Bronquios principales; 3. Pulmón izquierdo; 4. Lóbulo craneal; 5. Lóbulo caudal; 6. Pulmón derecho; 7. Lóbulo craneal; 8. Lóbulo caudal. En detalle: corte transversal de la tráquea.



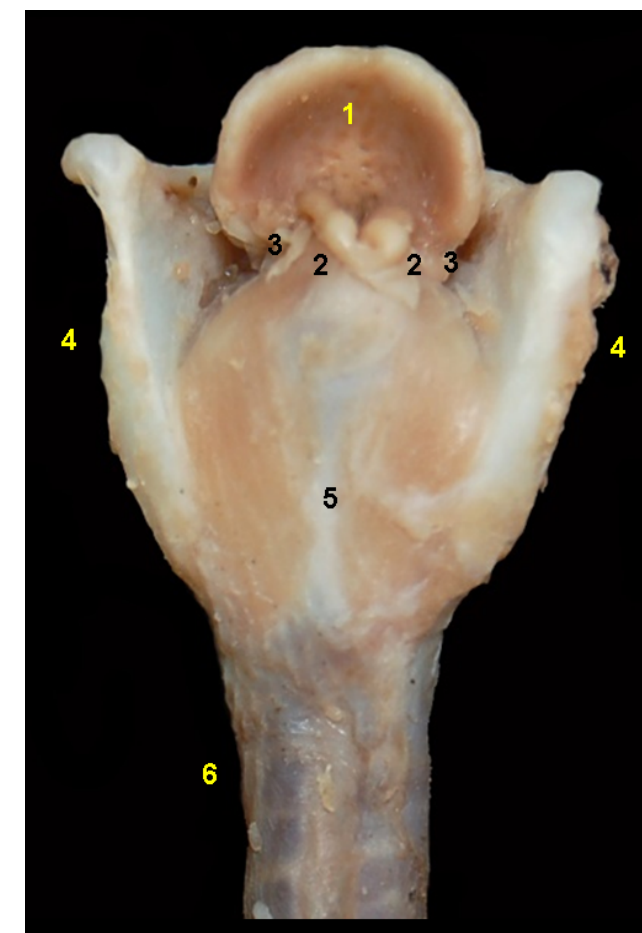
**Figura 3.53** - Visión ventral del árbol traqueobronquial y lóbulos pulmonares del oso perezoso de tres dedos (*Bradypus variegatus*). Destaca el trayecto sinuoso de la tráquea. 1. Tráquea; 2. Bronquios principales; 3. Pulmón derecho; 4. Lóbulo craneal; 5. Lóbulo caudal; 6. Lóbulo accesorio; 7. Pulmón izquierdo; 8. Lóbulo craneal; 9. Lóbulo caudal.



## OSO PEREZOSO DE DOS DEDOS (*Choloepus hoffmanni*)

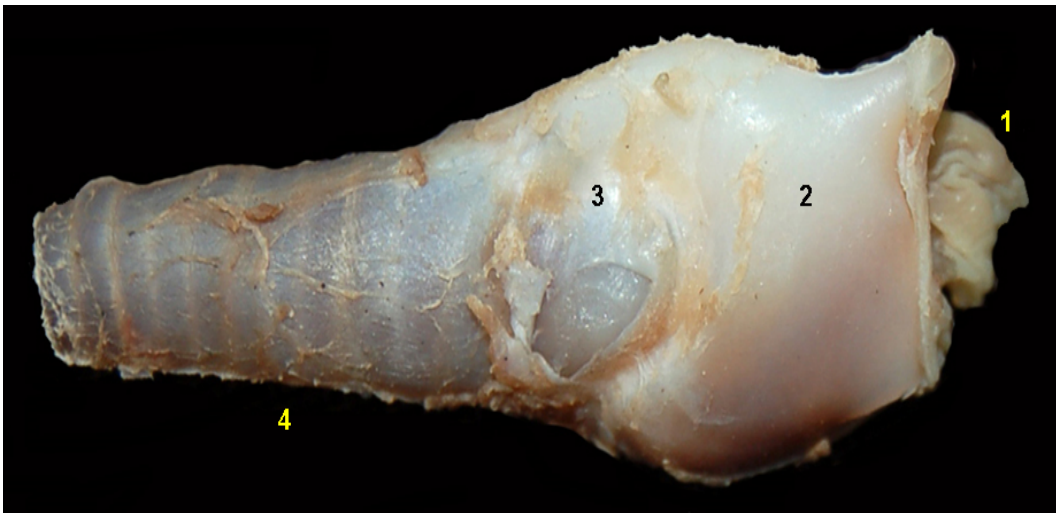


**Figura 3.54** - Visión dorsal de la laringofaringe y la laringe del oso perezoso de dos dedos (*Choloepus hoffmanni*). 1. Raíz de la lengua; 2. Epiglotis; 3. Apófisis corniculada (cartilago aritenoides); 4. Vestíbulo de la laringe; 5. Receso piriforme; 6. Esófago; 7. Tráquea.



**Figura 3.55** - Visión dorsal de la laringe del oso perezoso de dos dedos (*Choloepus hoffmanni*). 1. Epiglotis; 2. Apófisis corniculada (cartilago aritenoides); 3. Pliegue ariepiglótico; 4. Cartilago tiroides; 5. Cartilago cricoides; 6. Tráquea.





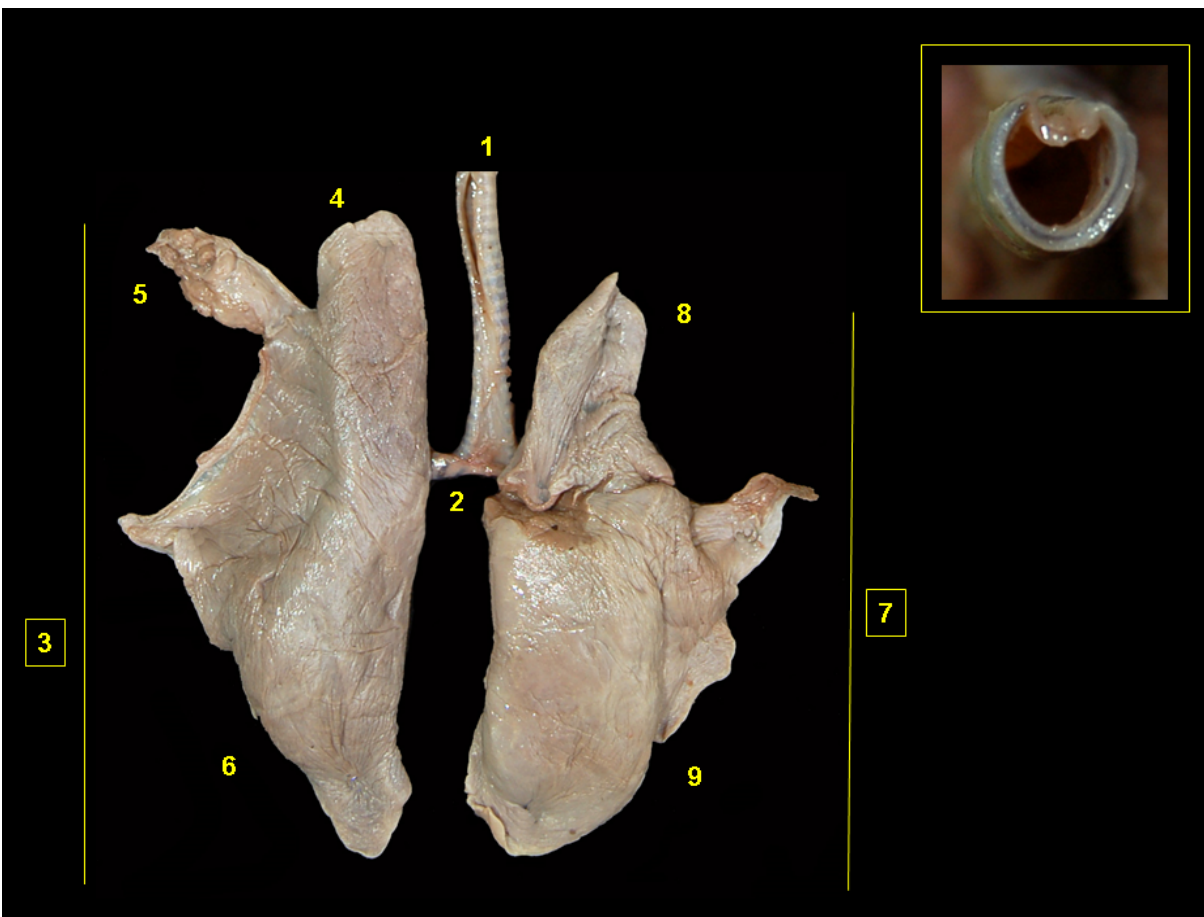
**Figura 3.56** - Visión lateral de la laringe del oso perezoso de dos dedos (*Choloepus hoffmanni*). 1. Epiglotis; 2. Cartílago tiroides; 3. Cartílago cricoides; 4. Tráquea.



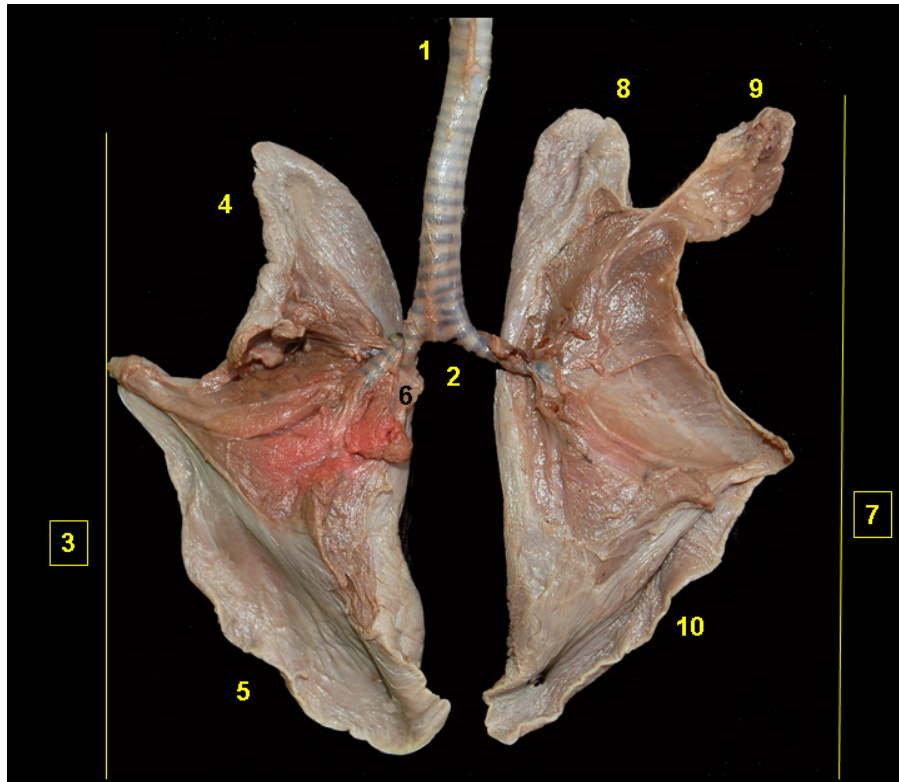
**Figura 3.57** - Visión medial de la laringe del oso perezoso de dos dedos (*Choloepus hoffmanni*). 1. Vestíbulo de la laringe; 2. Cavity infraglotica; 3. Tráquea; 4. Pliegue vocal.



**Figura 3.58** - Visión medial de la laringe del oso perezoso de dos dedos (*Choloepus hoffmanni*). 1. Epiglotis; 2. Apófisis corniculada (cartílago aritenoides); 3. Pliegue vocal; 4. Cartílago cricoides; 5. Cartílago tiroides; 6. Tráquea.



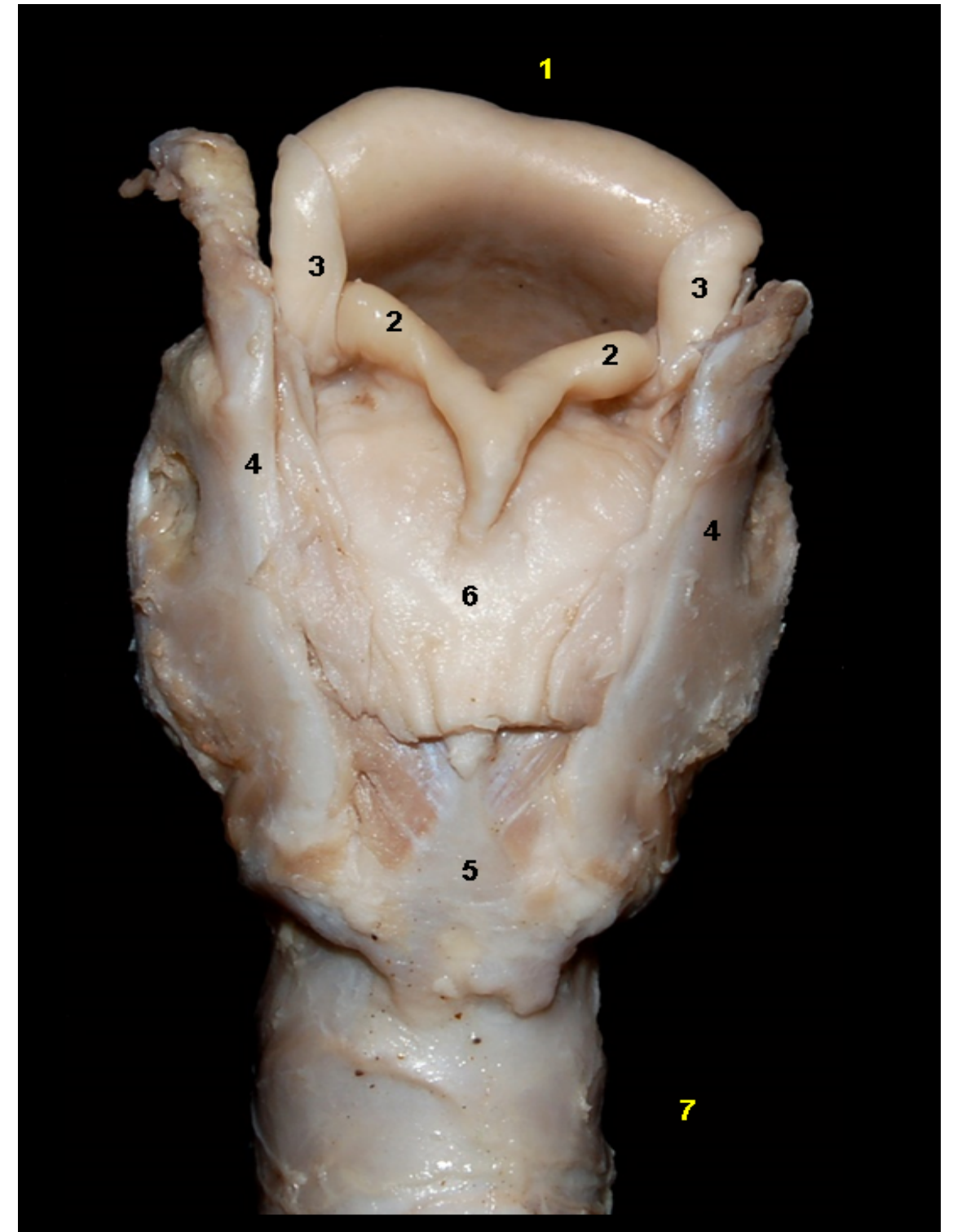
**Figura 3.59** - Visión dorsal del árbol traqueobronquial y lóbulos pulmonares del oso perezoso de dos dedos (*Choloepus hoffmanni*). 1. Tráquea; 2. Bronquios principales; 3. Pulmón izquierdo; 4. Parte craneal del lóbulo craneal; 5. Parte caudal del lóbulo craneal; 6. Lóbulo caudal; 7. Pulmón derecho; 8. Lóbulo craneal; 9. Lóbulo caudal. En detalle: corte transversal de la tráquea.



**Figura 3.60** - Visión ventral del árbol traqueobronquial y lóbulos pulmonares del oso perezoso de dos dedos (*Choloepus hoffmanni*). 1. Tráquea; 2. Bronquios principales; 3. Pulmón derecho; 4. Lóbulo craneal; 5. Lóbulo caudal; 6. Lóbulo accesorio; 7. Pulmón izquierdo; 8. Parte craneal del lóbulo craneal; 9. Parte caudal del lóbulo craneal; 10. Lóbulo caudal.

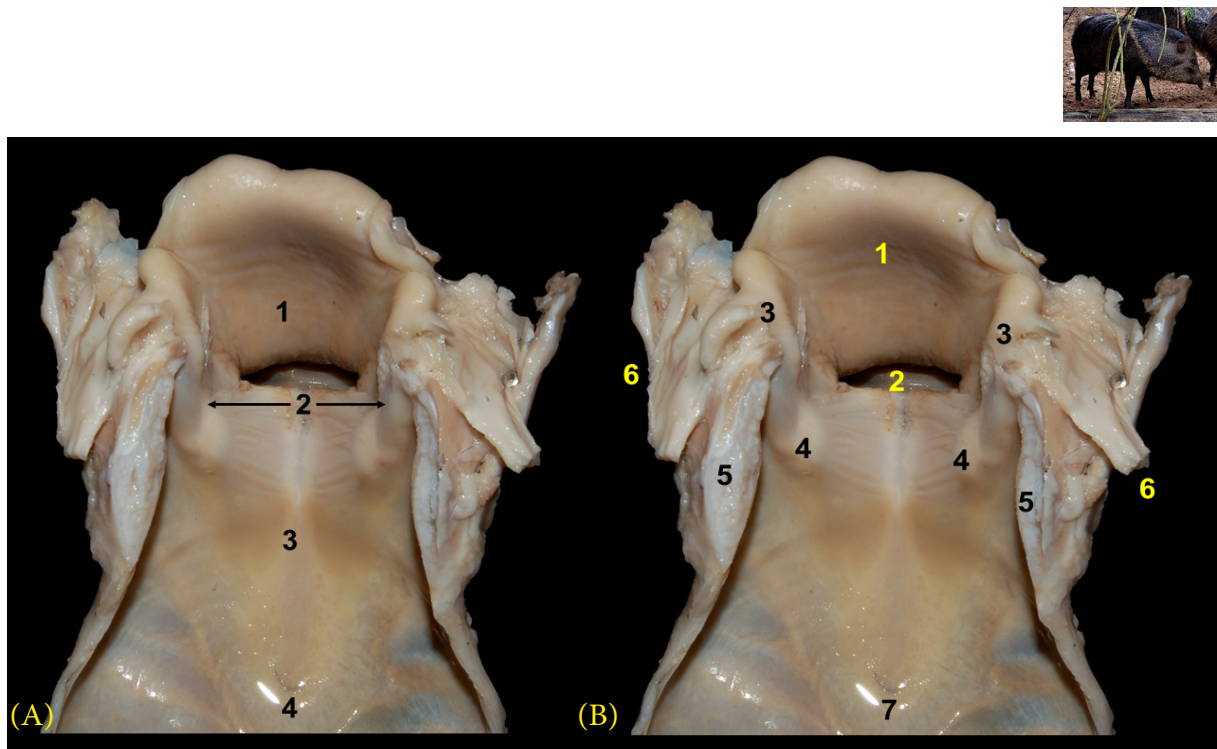


## PÉCARI DE COLLAR (*Pecari tajacu*)

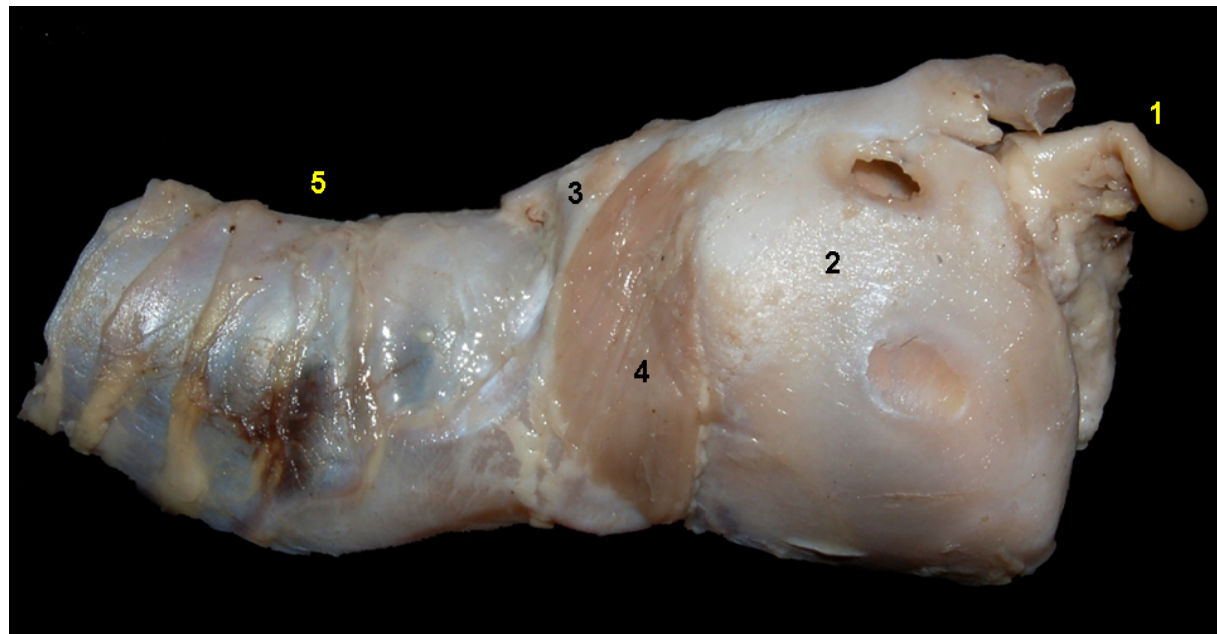


**Figura 3.61** - Visión dorsal de la laringe del pécarí de collar (*Pecari tajacu*). 1. Epiglotis; 2. Apófisis corniculada (cartílago aritenoides); 3. Pliegue ariepiglótico; 4. Cartílago tiroi-des; 5. Cartílago cricoides; 6. Mucosa de la laringofaringe; 7. Tráquea.





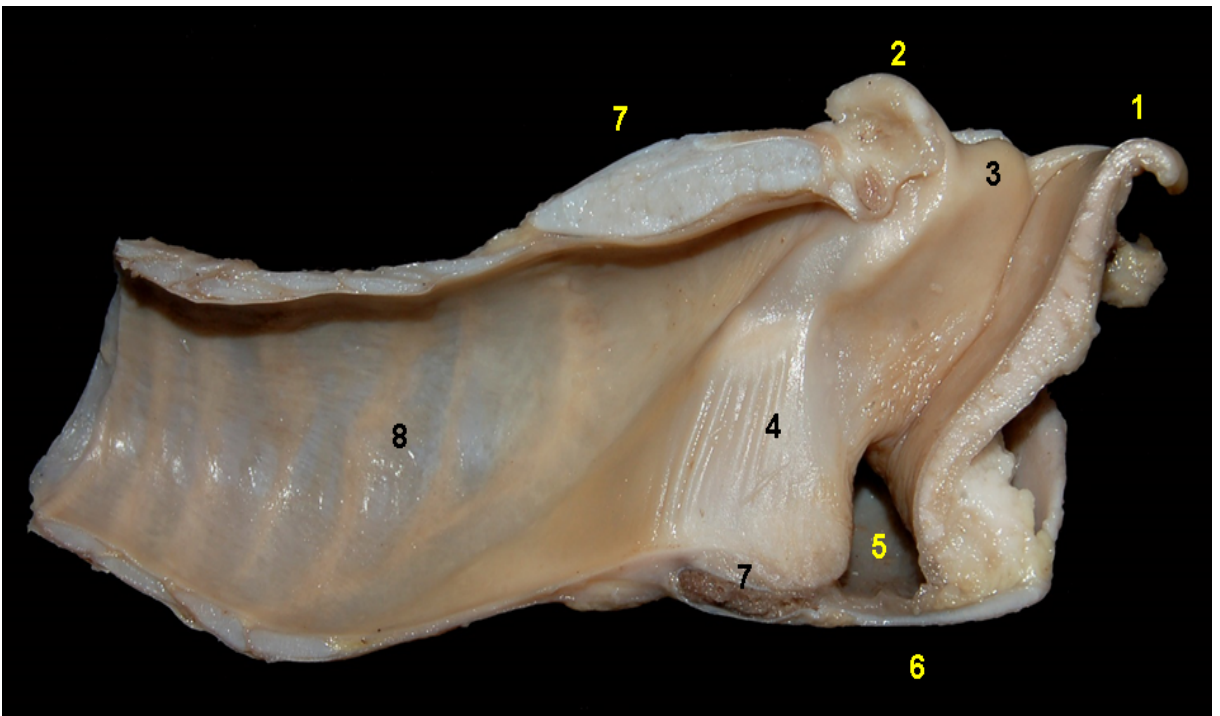
**Figura 3.62** - Visión dorsal de la laringe del pécari de collar (*Pecari tajacu*). La lámina del cartílago cricoide ha sido seccionada dorsalmente. **A** - 1. Vestíbulo de la laringe; 2. Hendidura de la glotis; 3. Cavidad infraglotica; 4. Tráquea. **B** - 1. Epiglotis; 2. Receso laríngeo medio; 3. Apófisis corniculada (cartílago aritenoides); 4. Pliegue vocal; 5. Cartílago cricoide; 6. Laringofaringe seccionada; 7. Tráquea.



**Figura 3.63** - Visión lateral de la laringe del pécari de collar (*Pecari tajacu*). 1. Epiglotis; 2. Cartílago tiroide; 3. Cartílago cricoide; 4. Músculo cricotiroides; 5. Tráquea.

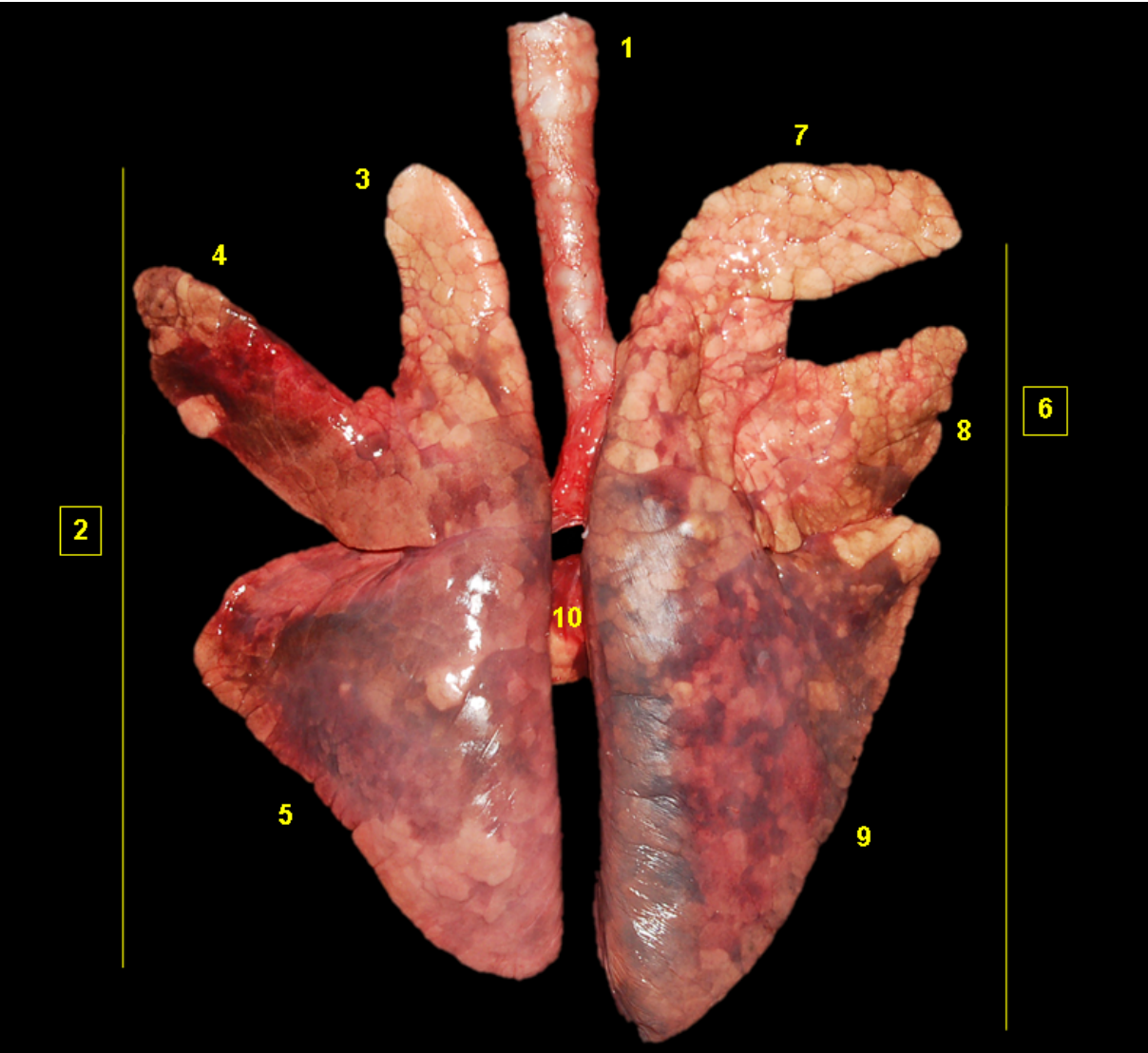


**Figura 3.64** - Visión medial de la laringe del pécari de collar (*Pecari tajacu*). 1. Vestíbulo de la laringe; 2. Cavidad infraglotica; 3. Tráquea.

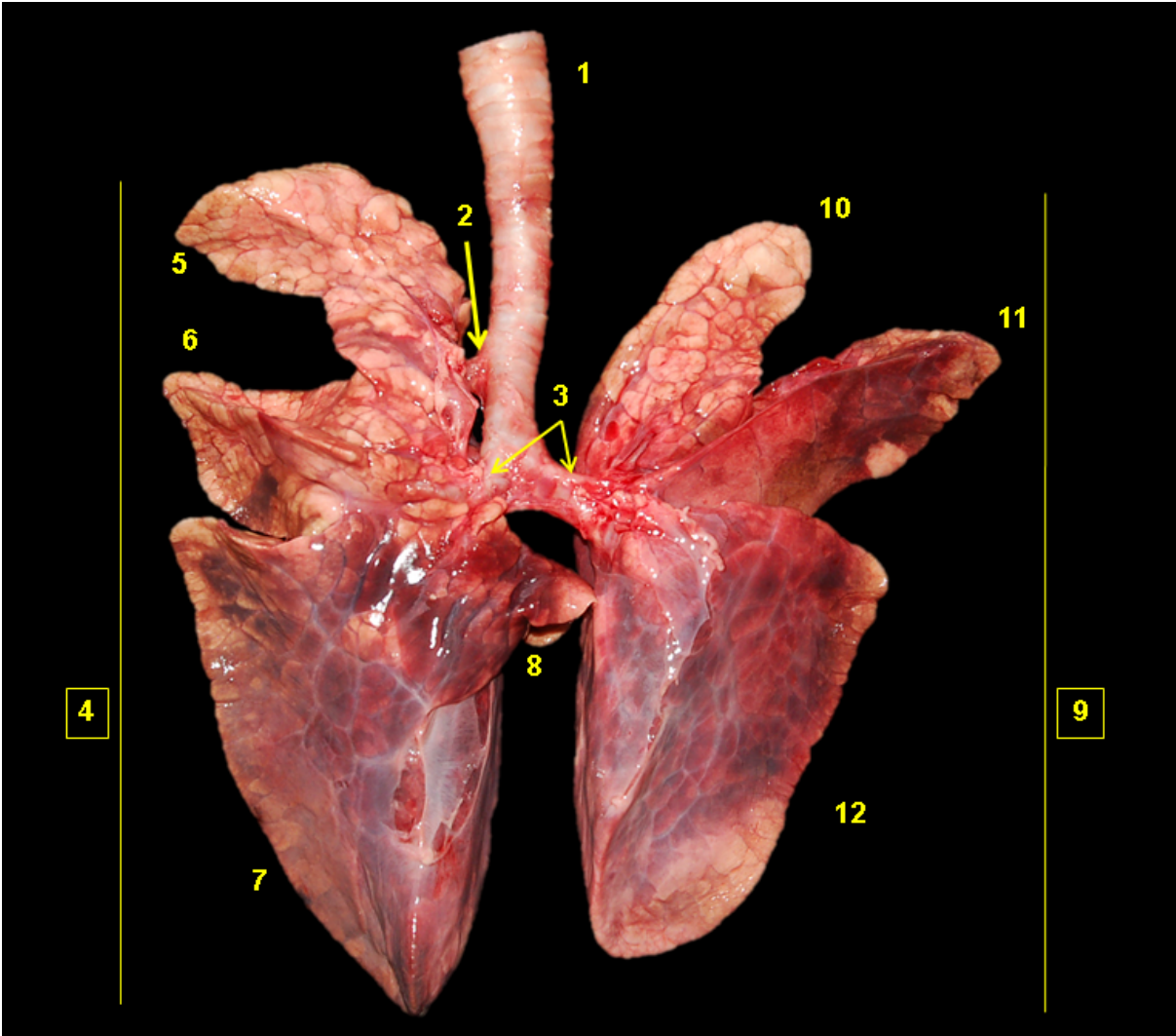


**Figura 3.65** - Visión medial de la laringe del pécari de collar (*Pecari tajacu*). 1. Epiglotis; 2. Apófisis corniculada (cartílago aritenoides); 3. Apófisis cuneiforme (cartílago aritenoides); 4. Pliegue vocal; 5. Receso laríngeo medio; 6. Cartílago tiroide; 7. Cartílago cricoide; 8. Tráquea.

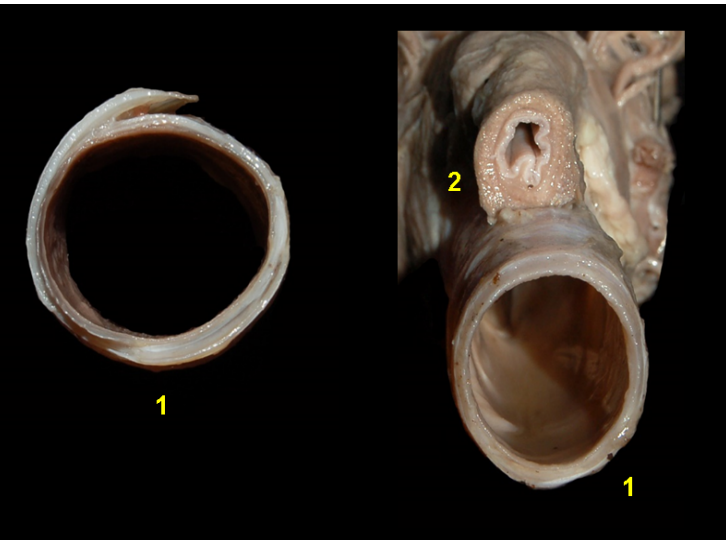




**Figura 3.66** - Visión dorsal del árbol traqueobronquial y lóbulos pulmonares del pécari de collar (*Pecari tajacu*). 1. Tráquea; 2. Pulmón izquierdo; 3. Parte craneal del lóbulo craneal; 4. Parte caudal del lóbulo craneal; 5. Lóbulo caudal; 6. Pulmón derecho; 7. Lóbulo craneal; 8. Lóbulo medio; 9. Lóbulo caudal; 10. Lóbulo accesorio.



**Figura 3.68** - Visión ventral del árbol traqueobronquial y lóbulos pulmonares del pécari de collar (*Pecari tajacu*). 1. Tráquea; 2. Bronquio traqueal; 3. Bronquios principales; 4. Pulmón derecho; 5. Lóbulo craneal; 6. Lóbulo medio; 7. Lóbulo caudal; 8. Lóbulo accesorio; 9. Pulmón izquierdo; 10. Parte craneal del lóbulo craneal; 11. Parte caudal del lóbulo craneal; 12. Lóbulo caudal.



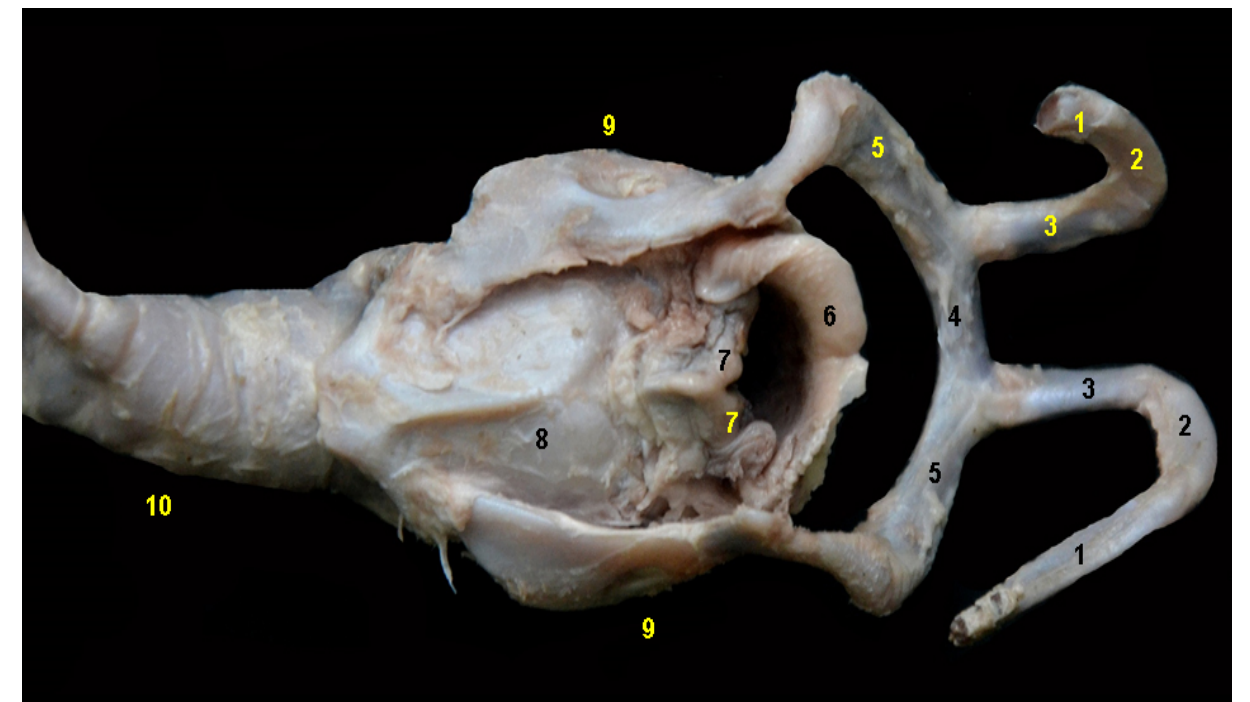
**Figura 3.67** - Sección transversal de la tráquea del pécari de collar (*Pecari tajacu*). 1. Tráquea; 2. Esófago.



## PÉCARI LABIADO (*Tayassu pecari*)



**Figura 3.69** - Visión dorsal de la laringe del pécarí labiado (*Tayassu pecari*). 1. Hioides; 2. Epiglotis; 3. Músculos faríngeos; 4. Esófago; 5. Tráquea; 6. Nervio laríngeo caudal.

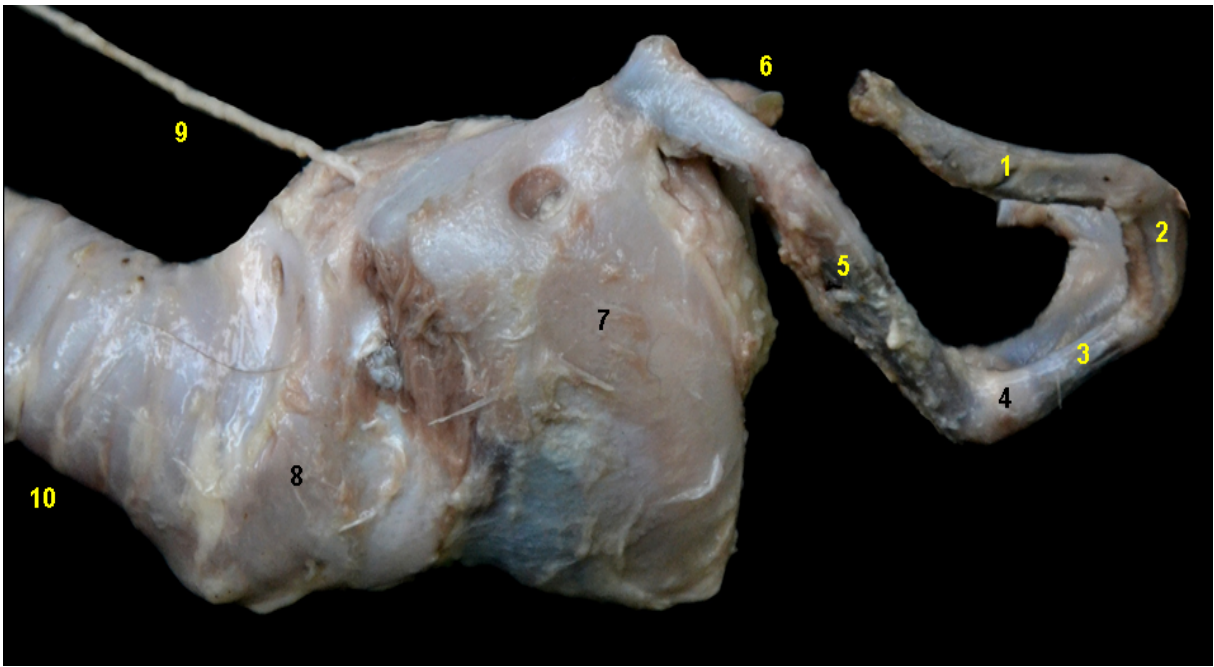


**Figura 3.70** - Visión dorsal de la laringe del pécarí labiado (*Tayassu pecari*). 1. Estilohioides; 2. Epihioides; 3. Ceratohioides; 4. Basihioides; 5. Tirohioides; 6. Epiglotis; 7. Apófisis corniculada (cartílago aritenoides); 8. Lámina del cartílago cricoides; 9. Cartílago tiroideo; 10. Tráquea.

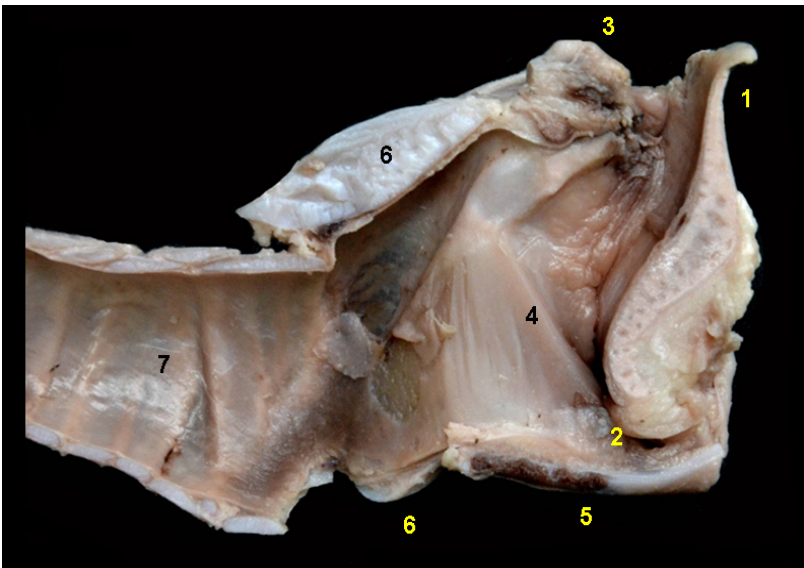




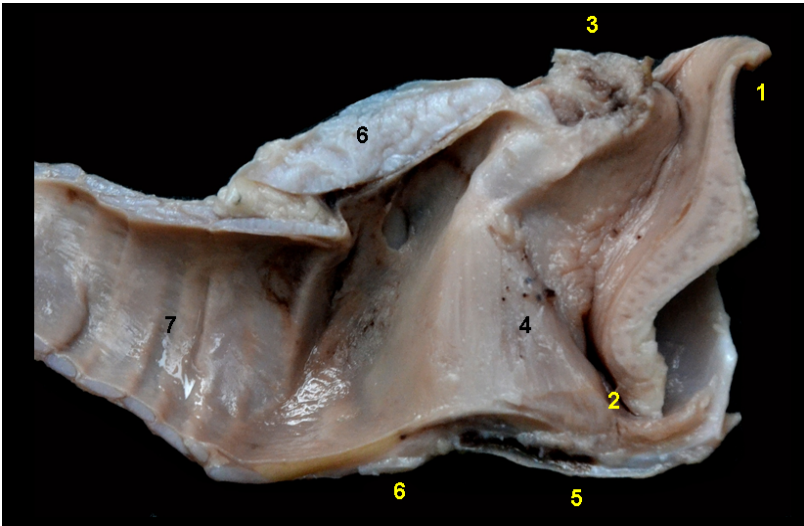
**Figura 3.71** - Visión lateral de la laringe del pécarí labiado (*Tayassu pecari*). 1. Estilohioides; 2. Epihioides; 3. Ceratohioides; 4. Basihioides; 5. Tirohioides; 6. Músculo tirofaríngeo; 7. Cartílago tiroideo; 8. Músculo cricotiroides lateral; 9. Esófago; 10. Tráquea; 11. Nervio laríngeo caudal.



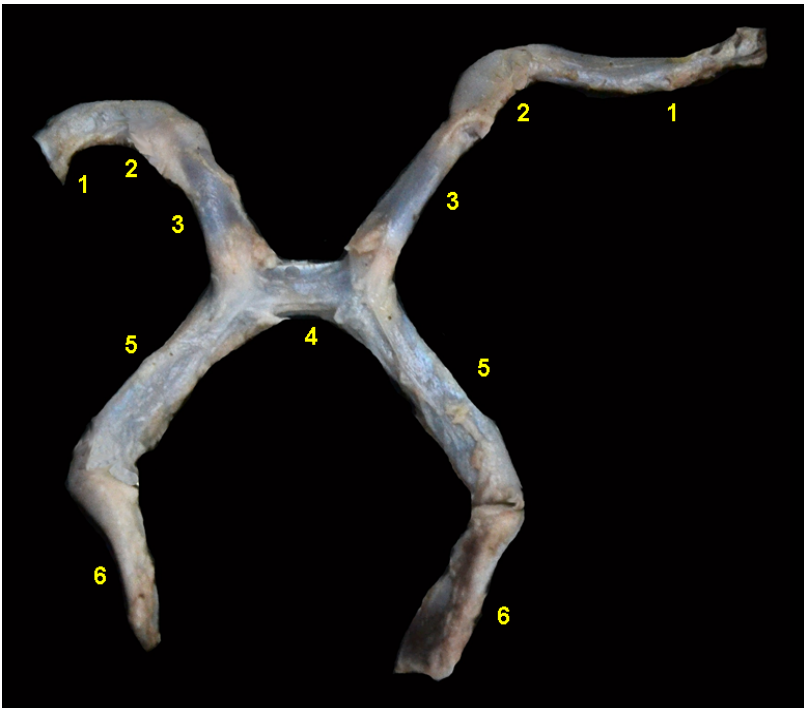
**Figura 3.72** - Visión lateral de la laringe del pécarí labiado (*Tayassu pecari*). 1. Estilohioides; 2. Epihioides; 3. Ceratohioides; 4. Basihioides; 5. Tirohioides; 6. Epiglotis; 7. Cartílago tiroideo; 8. Cartílago cricoideo; 9. Nervio laríngeo caudal; 10. Tráquea.



**Figura 3.73** - Visión medial de la laringe del pécarí labiado (*Tayassu pecari*). 1. Epiglotis; 2. Receso laríngeo medio; 3. Apófisis corniculada (cartílago aritenoides); 4. Pliegue vocal; 5. Cartílago tiroideo; 6. Cartílago cricoideo; 7. Tráquea.



**Figura 3.74** - Visión medial de la laringe del pécarí labiado (*Tayassu pecari*). 1. Epiglotis; 2. Receso laríngeo medio; 3. Apófisis corniculada (cartílago aritenoides); 4. Pliegue vocal; 5. Cartílago tiroideo; 6. Cartílago cricoideo; 7. Tráquea.

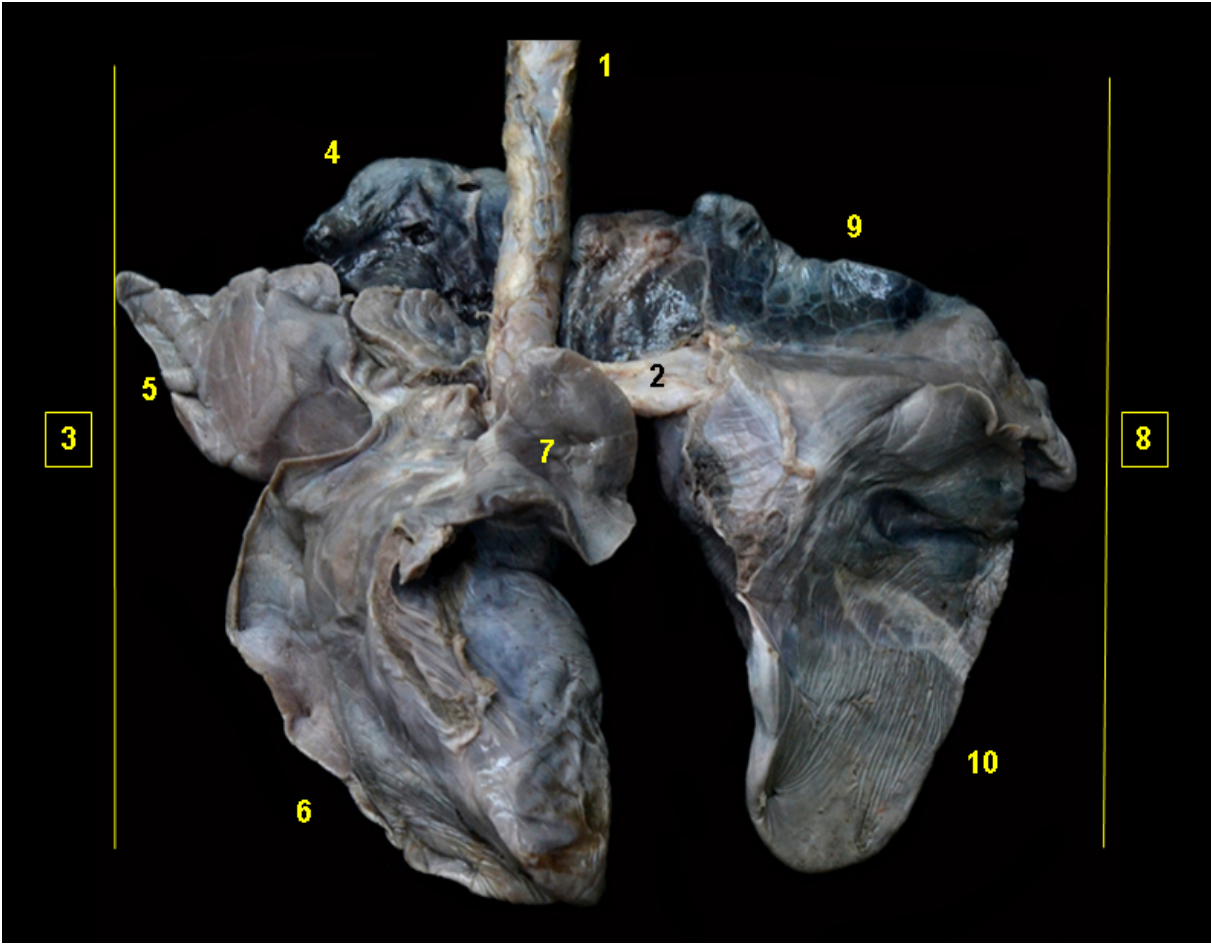


**Figura 3.75** - Aparato hioideo del pécarí labiado (*Tayassu pecari*). 1. Estilohioides; 2. Epihioides; 3. Ceratohioides; 4. Basihioides; 5. Tirohioides; 6. Cartílago tiroideo.





**Figura 3.76** - Visión dorsal del árbol traqueobronquial y lóbulos pulmonares del pécarí labiado (*Tayassu pecari*). 1. Tráquea; 2. Pulmón izquierdo; 3. Lóbulo craneal; 4. Lóbulo caudal; 5. Pulmón derecho; 6. Lóbulo craneal; 7. Lóbulo medio; 8. Lóbulo caudal.

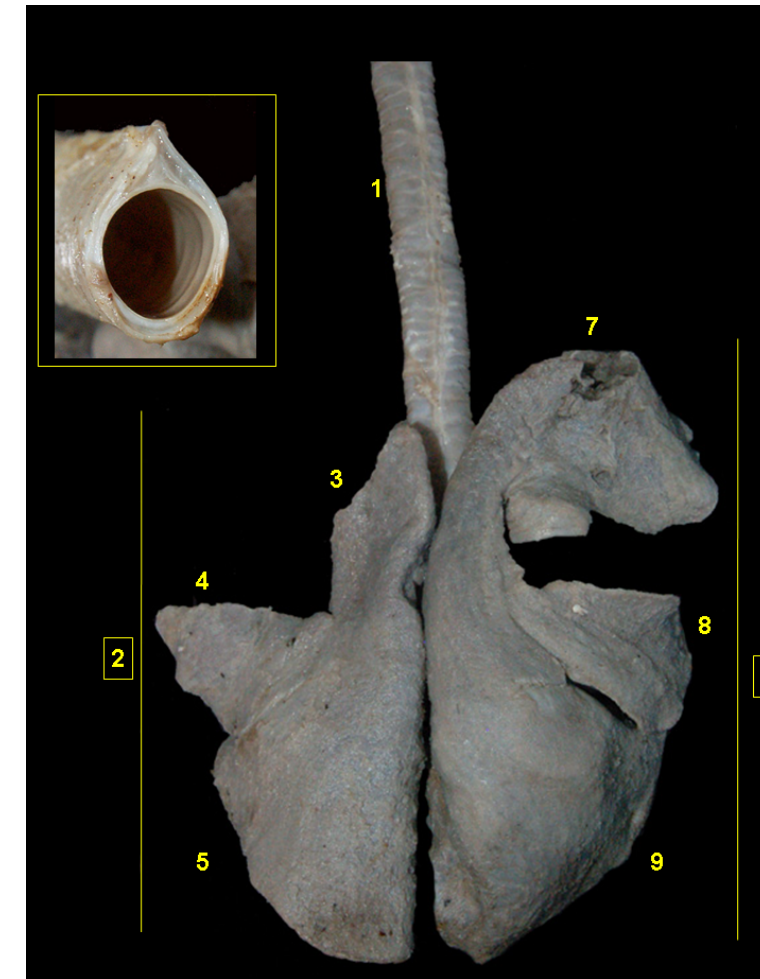


**Figura 3.77** - Visión ventral del árbol traqueobronquial y lóbulos pulmonares del pécarí labiado (*Tayassu pecari*). 1. Tráquea; 2. Bronquio principal izquierdo; 3. Pulmón derecho; 4. Lóbulo craneal; 5. Lóbulo medio; 6. Lóbulo caudal; 7. Lóbulo accesorio; 8. Pulmón izquierdo; 9. Lóbulo craneal; 10. Lóbulo caudal.

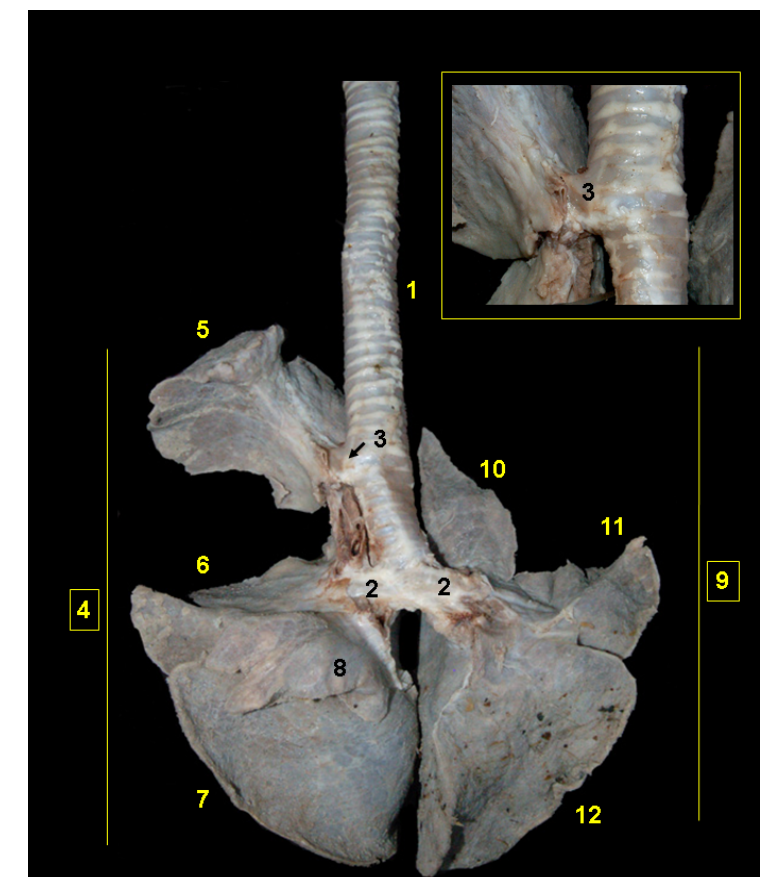




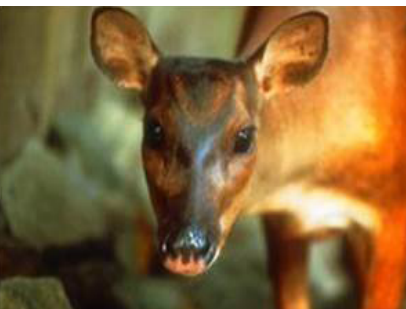
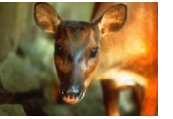
## VENADO GRIS (*Mazama nemorivaga*)



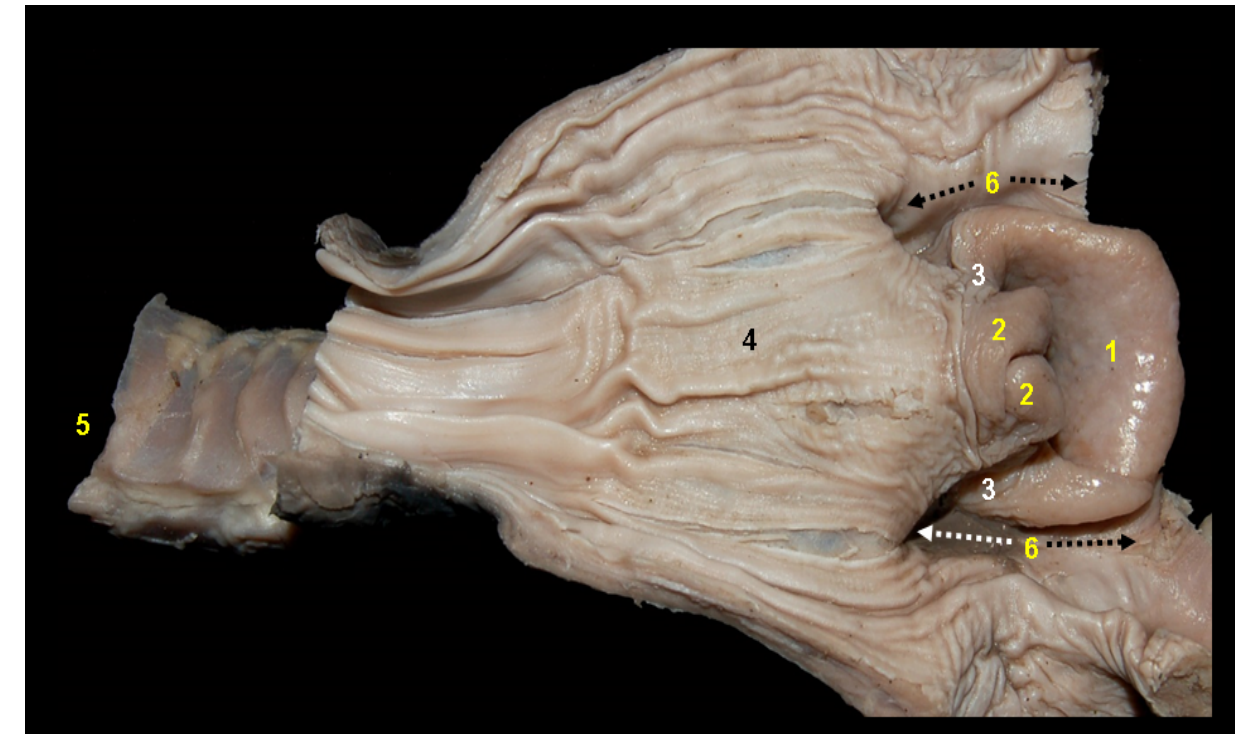
**Figura 3.78** - Visión dorsal del árbol traqueobronquial y lóbulos pulmonares del venado gris (*Mazama nemorivaga*). 1. Tráquea; 2. Pulmón izquierdo; 3. Parte craneal del lóbulo craneal; 4. Parte caudal del lóbulo craneal; 5. Lóbulo caudal; 6. Pulmón derecho; 7. Lóbulo craneal; 8. Lóbulo medio; 9. Lóbulo caudal. En detalle: corte transversal de la tráquea.



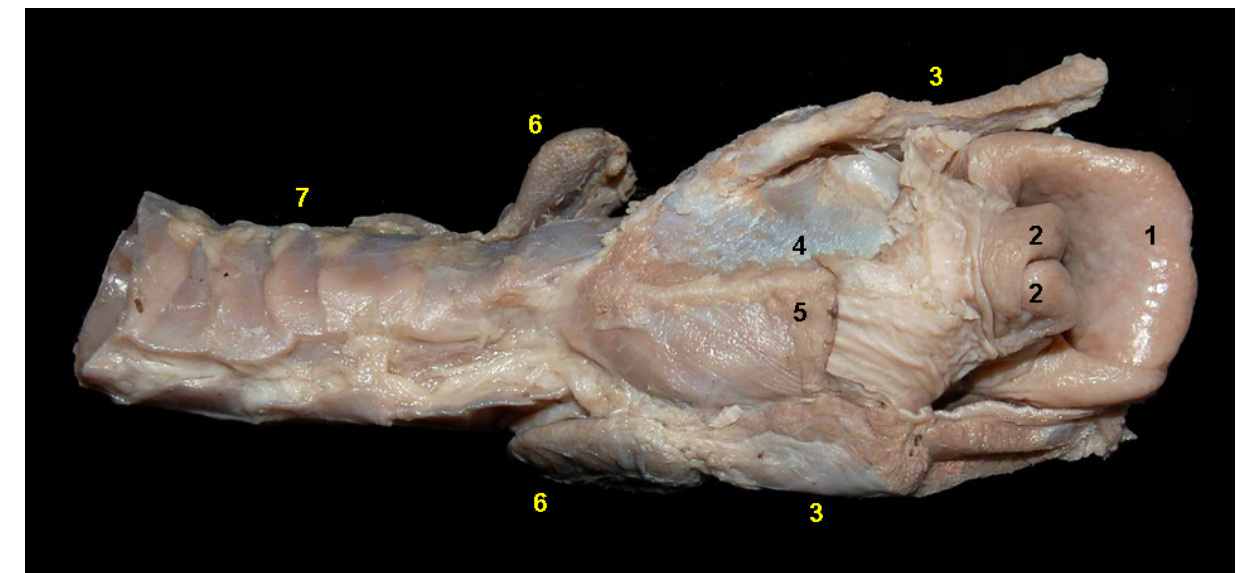
**Figura 3.79** - Visión ventral del árbol traqueobronquial y lóbulos pulmonares del venado gris (*Mazama nemorivaga*). En detalle: bronquio traqueal. 1. Tráquea; 2. Bronquios principales; 3. Bronquio traqueal; 4. Pulmón derecho; 5. Lóbulo craneal; 6. Lóbulo medio; 7. Lóbulo caudal; 8. Lóbulo accesorio; 9. Pulmón izquierdo; 10. Parte craneal del lóbulo craneal; 11. Parte caudal del lóbulo craneal; 12. Lóbulo caudal.



## VENADO ROJO (*Mazama americana*)

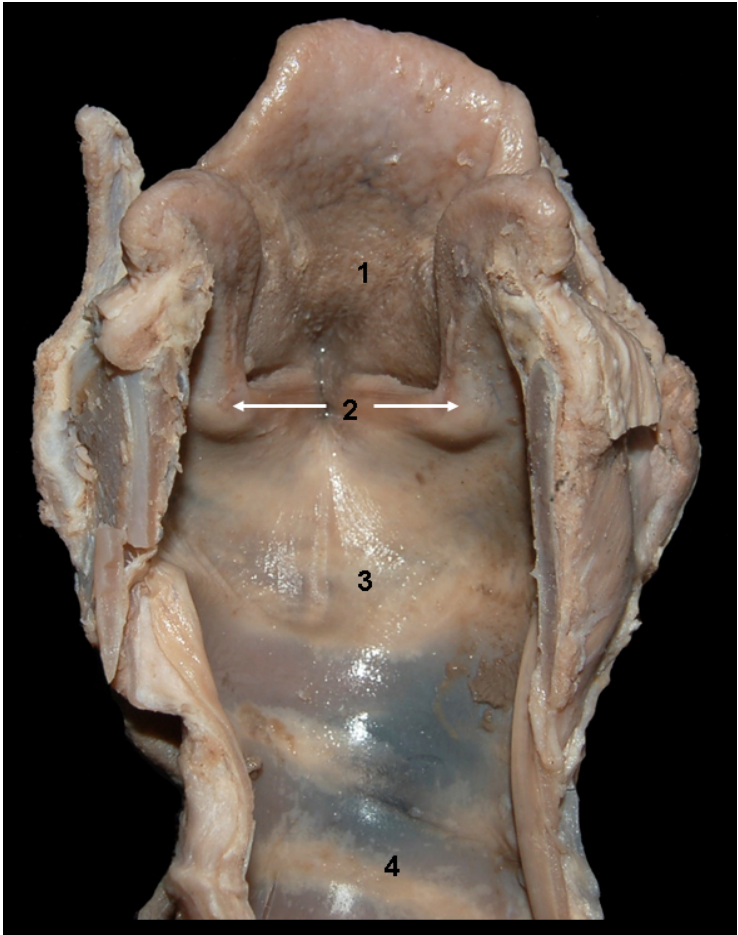
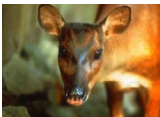


**Figura 3.80** - Visión dorsal de la laringofaringe y la laringe del venado rojo (*Mazama americana*). 1. Epiglotis; 2. Apófisis corniculada (cartílago aritenoides); 3. Pliegue ariepiglótico; 4. Laringofaringe; 5. Tráquea; 6. Receso piriforme.

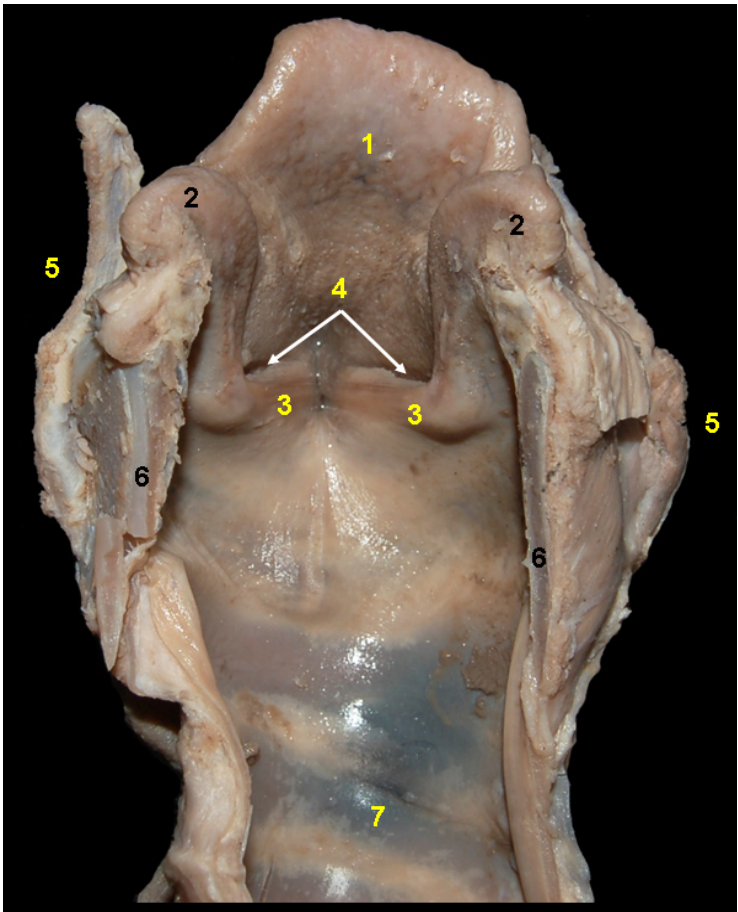


**Figura 3.81** - Visión dorsal de la laringe del venado rojo (*Mazama americana*). 1. Epiglotis; 2. Apófisis corniculada (cartílago aritenoides); 3. Cartílago tiroides; 4. Cartílago cricoides; 5. Músculo cricoaritenideo dorsal; 6. Glándula tiroides; 7. Tráquea.

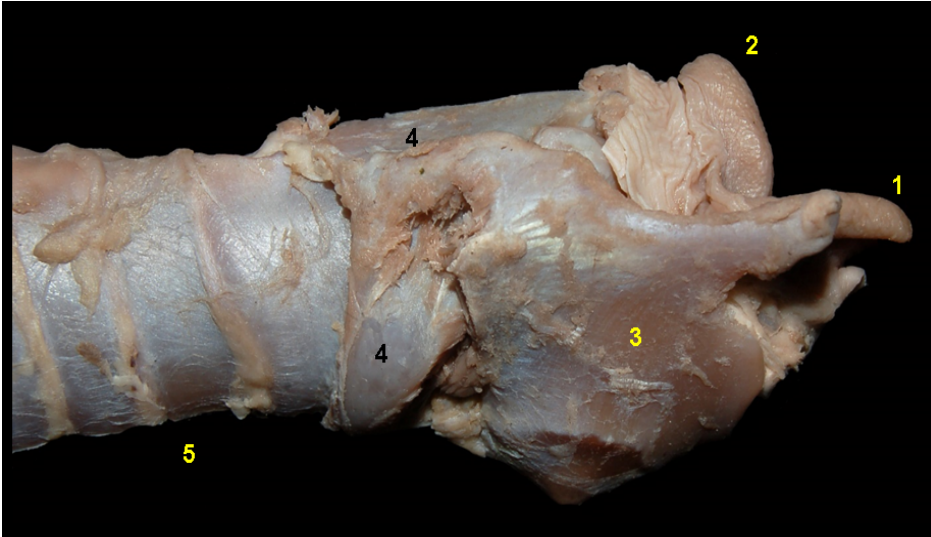
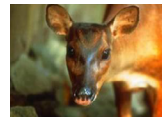




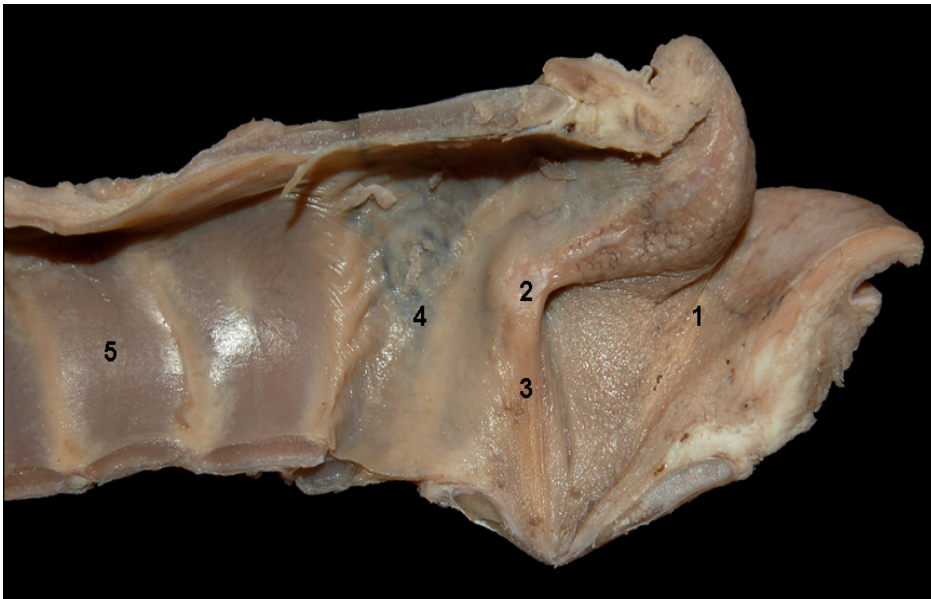
**Figura 3.82** - Visión dorsal de la laringe abierta del venado rojo (*Mazama americana*). La lámina del cartílago cricoides ha sido seccionada dorsalmente. 1. Vestíbulo de la laringe; 2. Hendidura de la glotis; 3. Cavidad infraglotica; 4. Tráquea.



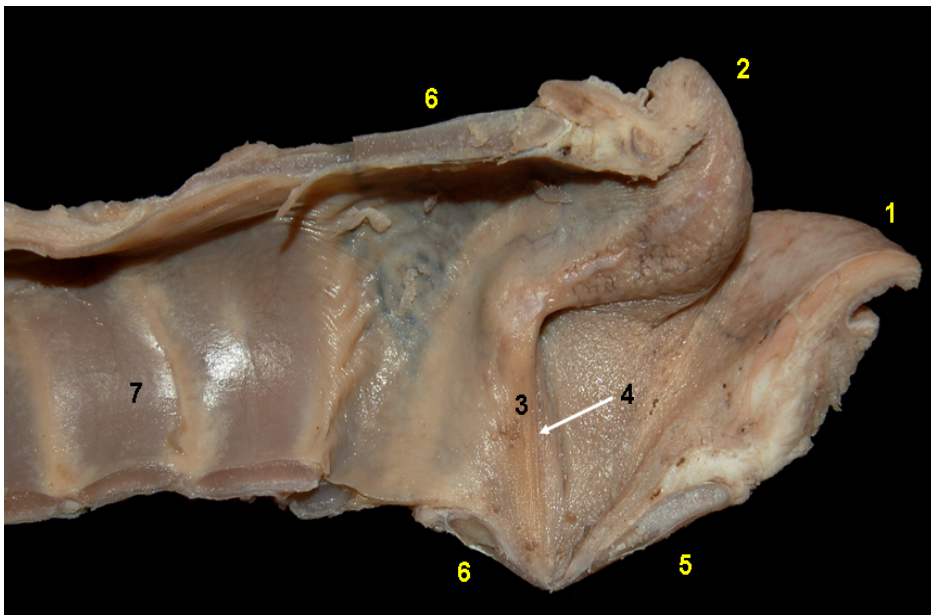
**Figura 3.83** - Visión dorsal de la laringe abierta del venado rojo (*Mazama americana*). La lámina del cartílago cricoides ha sido seccionada dorsalmente. 1. Epiglotis; 2. Apófisis corniculada (cartílago aritenoides); 3. Pliegue vocal; 4. Ventrículo laríngeo; 5. Cartílago tiroides; 6. Cartílago cricoides; 7. Tráquea.



**Figura 3.84** - Visión lateral de la laringe del venado rojo (*Mazama americana*). 1. Epiglotis; 2. Apófisis corniculada (cartílago aritenoides); 3. Cartílago tiroides; 4. Cartílago cricoides; 5. Tráquea.

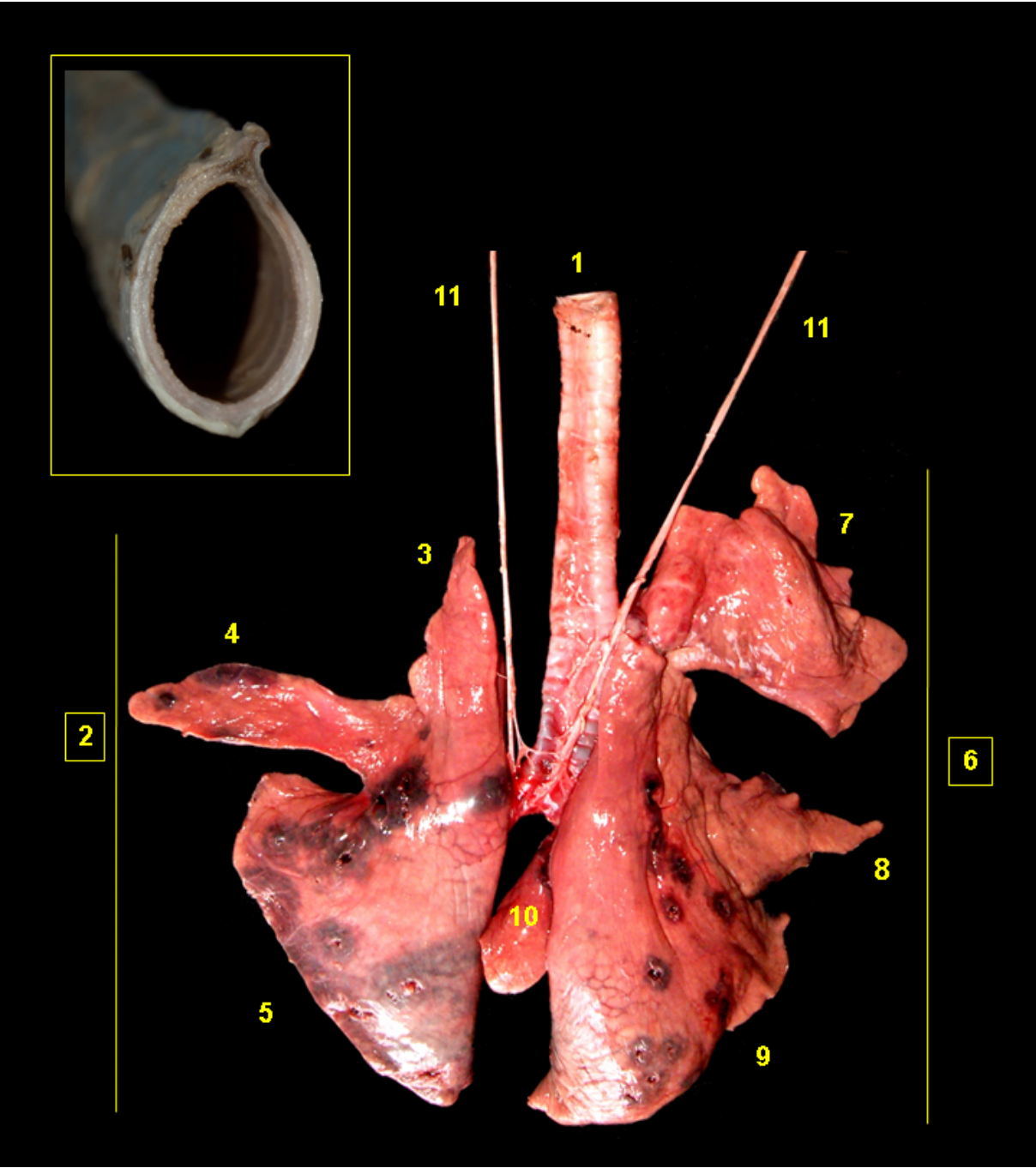


**Figura 3.85** - Visión medial de la laringe del venado rojo (*Mazama americana*). 1. Vestíbulo de la laringe; 2. Parte intercartilaginosa de la glotis; 3. Parte intermembranosa de la glotis; 4. Cavidad infraglotica; 5. Tráquea.

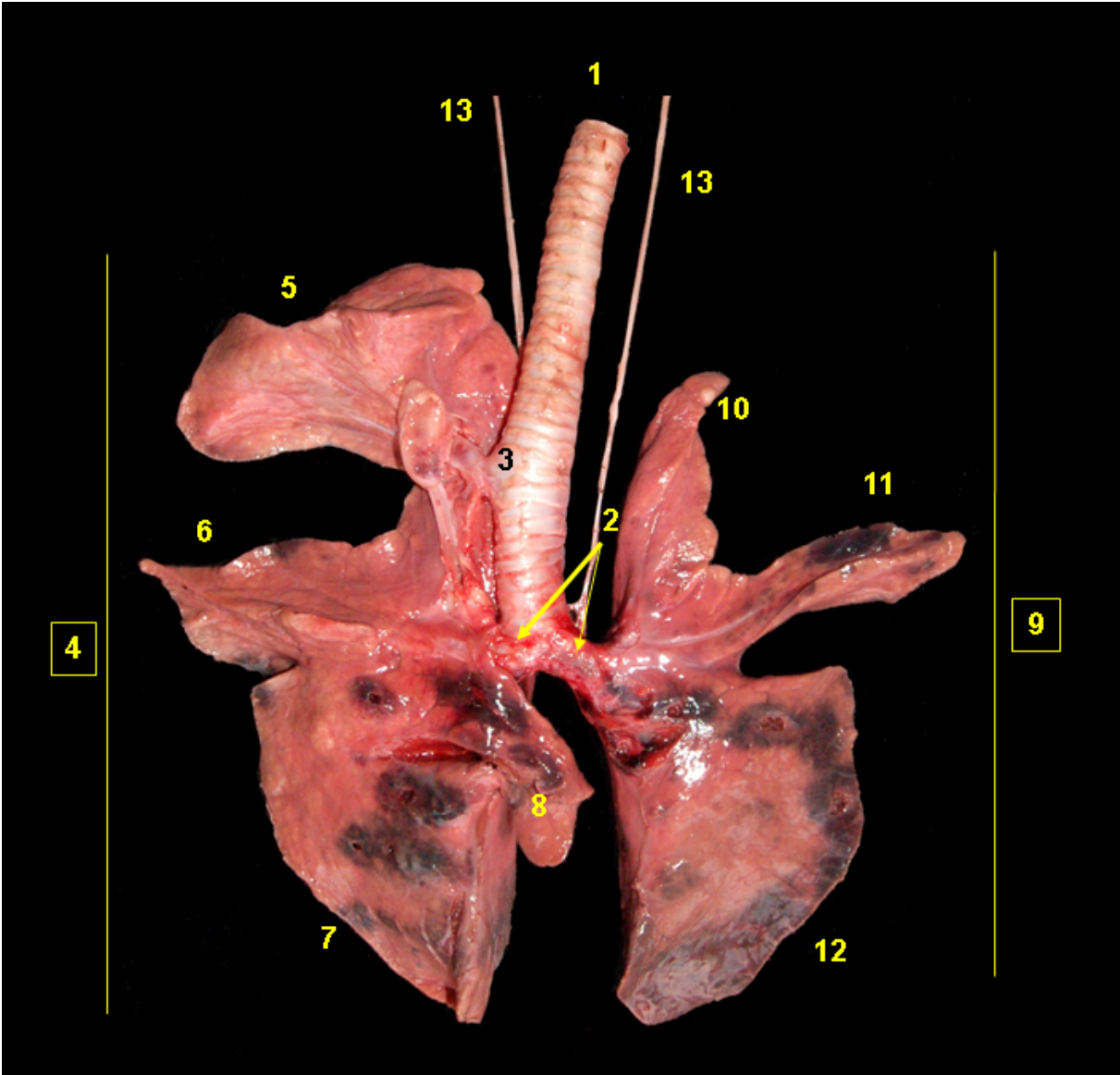


**Figura 3.86** - Visión medial de la laringe del venado rojo (*Mazama americana*). 1. Epiglotis; 2. Apófisis corniculada (cartílago aritenoides); 3. Pliegue vocal; 4. Ventrículo laríngeo; 5. Cartílago tiroides; 6. Cartílago cricoides; 7. Tráquea.





**Figura 3.87** - Visión dorsal del árbol traqueobronquial y lóbulos pulmonares del venado rojo (*Mazama americana*). 1. Tráquea; 2. Pulmón izquierdo; 3. Parte craneal del lóbulo craneal; 4. Parte caudal del lóbulo craneal; 5. Lóbulo caudal; 6. Pulmón derecho; 7. Lóbulo craneal; 8. Lóbulo medio; 9. Lóbulo caudal; 10. Lóbulo accesorio; 11. Nervio vago. En detalle: corte transversal de la tráquea.

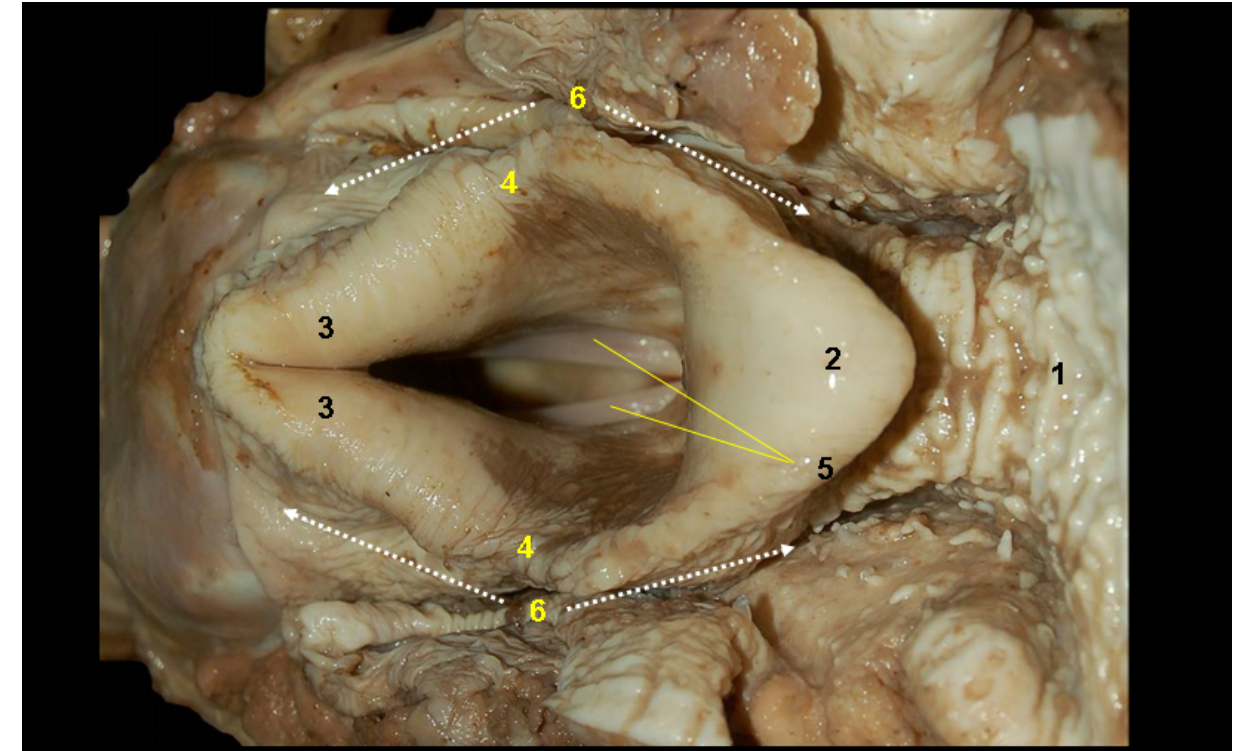


**Figura 3.88** - Visión ventral del árbol traqueobronquial y lóbulos pulmonares del venado rojo (*Mazama americana*). 1. Tráquea; 2. Bronquios principales; 3. Bronquio traqueal; 4. Pulmón derecho; 5. Lóbulo craneal; 6. Lóbulo medio; 7. Lóbulo caudal; 8. Lóbulo accesorio; 9. Pulmón izquierdo; 10. Parte craneal del lóbulo craneal; 11. Parte caudal del lóbulo craneal; 12. Lóbulo caudal; 13. Nervio vago.

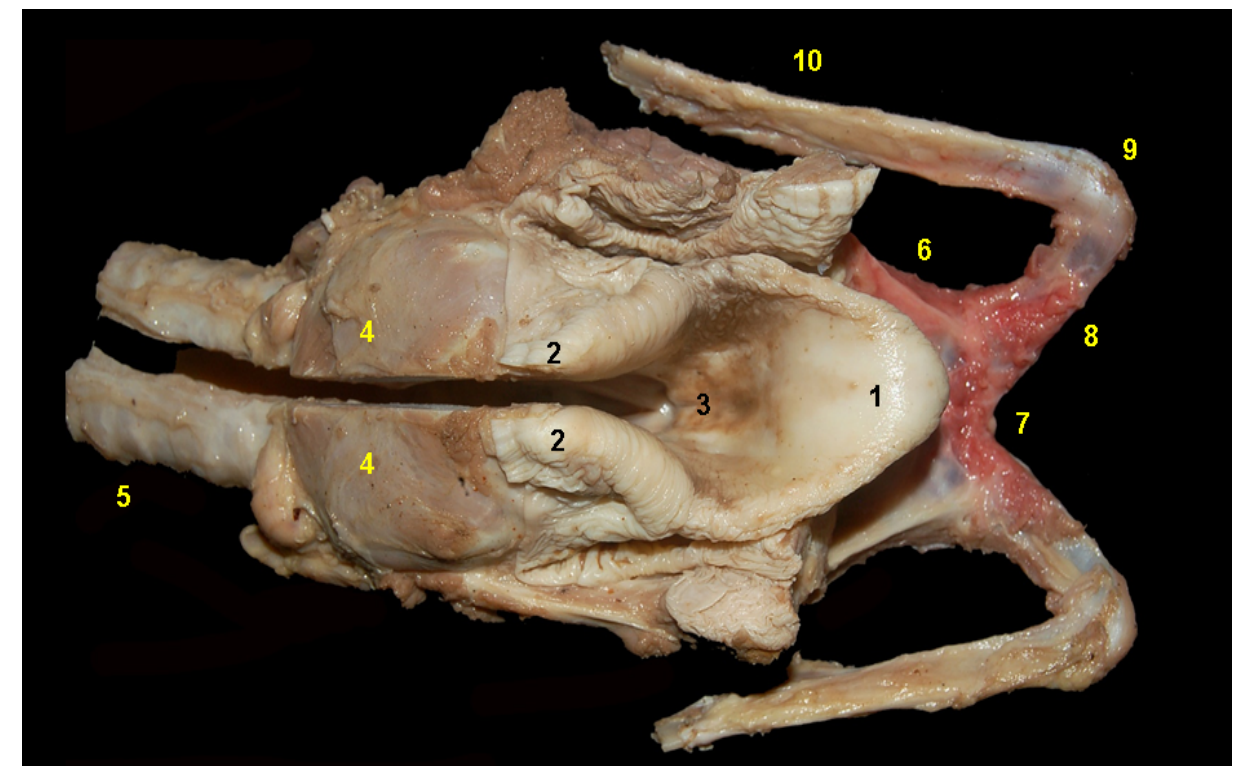




## TAPIR (*Tapirus terrestris*)

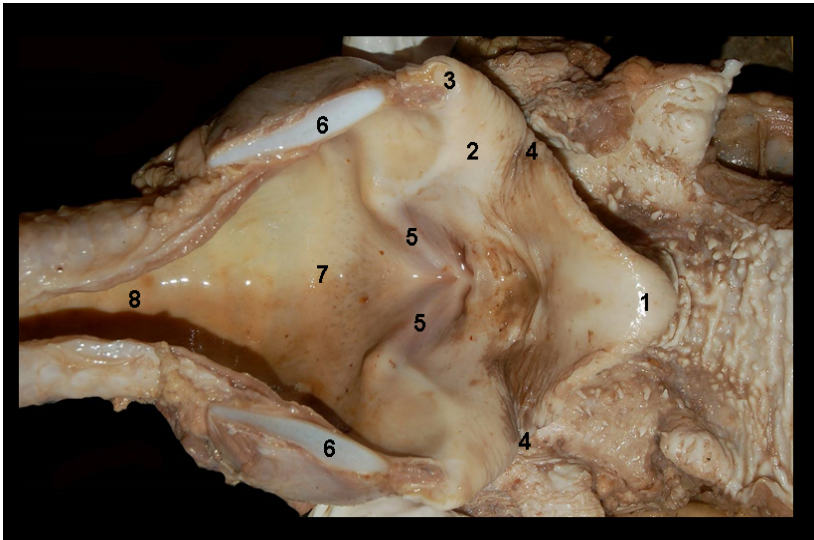


**Figura 3.89** - Visión dorsal de la laringe del tapir (*Tapirus terrestris*). 1. Raíz de la lengua; 2. Epiglotis; 3. Apófisis corniculada (cartílago aritenoides); 4. Pliegue ariepiglótico; 5. Pliegue vocal; 6. Receso piriforme.

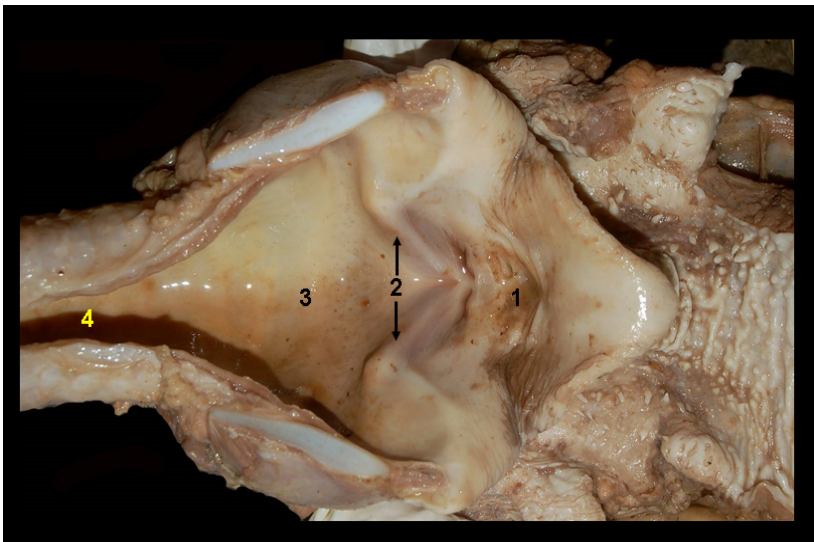


**Figura 3.90** - Visión dorsal de la laringe del tapir (*Tapirus terrestris*). La lámina del cartílago cricoides ha sido seccionada dorsalmente. 1. Epiglotis; 2. Apófisis corniculada (cartílago aritenoides); 3. Vestíbulo de la laringe; 4. Lámina del cricoides; 5. Tráquea; 6. Tirohioides; 7. Basihoides; 8. Ceratohioides; 9. Epihioides; 10. Estilohioides.

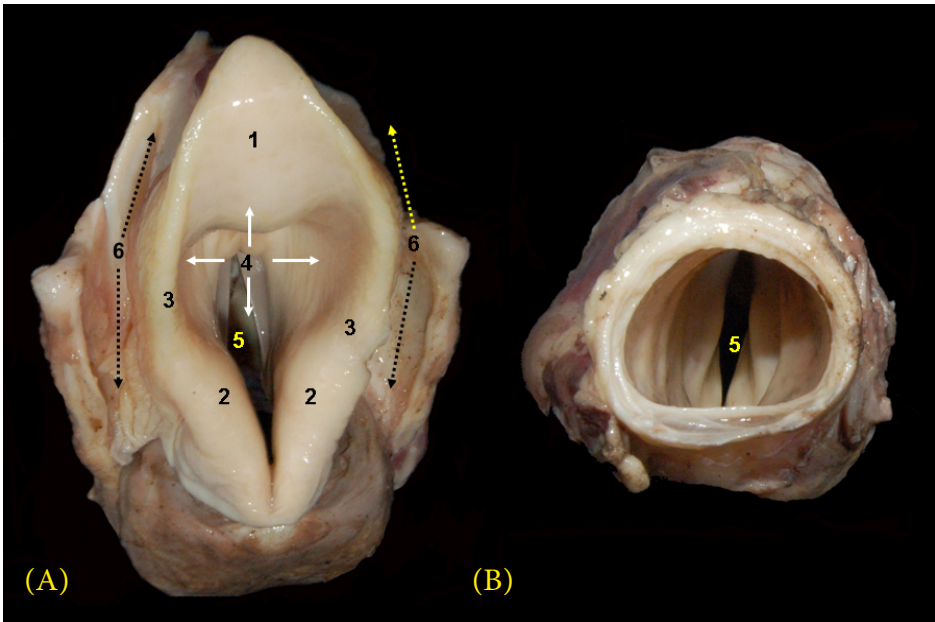




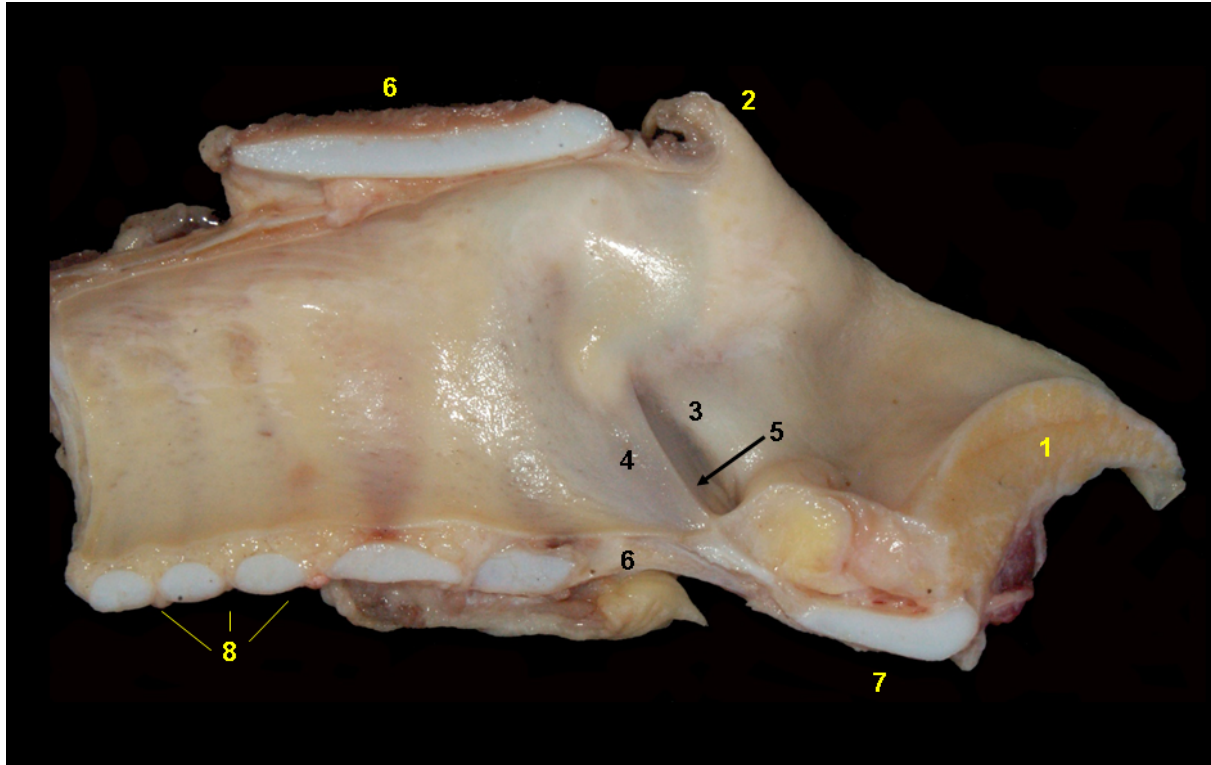
**Figura 3.91** - Visión dorsal de la laringe abierta del tapir (*Tapirus terrestris*). La lámina del cartilago cricoides ha sido seccionada dorsalmente. 1. Epiglottis; 2. Cartilago aritenoides; 3. Apófisis corniculada (cartilago aritenoides); 4. Pliegue ariepiglótico; 5. Pliegue vocal; 6. Cartilago cricoides; 7. Cavidad infraglotica; 8. Tráquea.



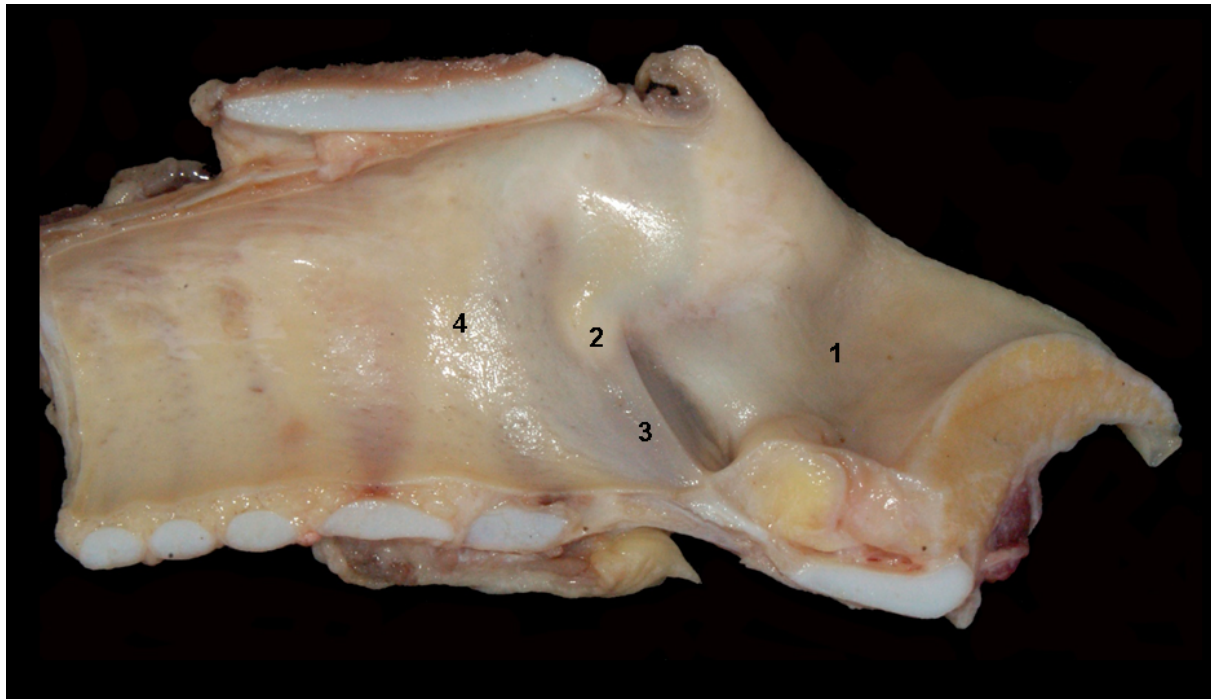
**Figura 3.92** - Visión dorsal de la laringe abierta del tapir (*Tapirus terrestris*). La lámina del cartilago cricoides ha sido seccionada dorsalmente. 1. Vestíbulo de la laringe; 2. Hendidura de la glotis; 3. Cavidad infraglotica; 4. Tráquea.



**Figura 3.93** - Visión craneal (A) y caudal (B) de la laringe del tapir (*Tapirus terrestris*). 1. Epiglottis; 2. Apófisis corniculada (cartilago aritenoides); 3. Pliegue ariepiglótico; 4. Vestíbulo de la laringe; 5. Hendidura de la glotis; 6. Receso piriforme.

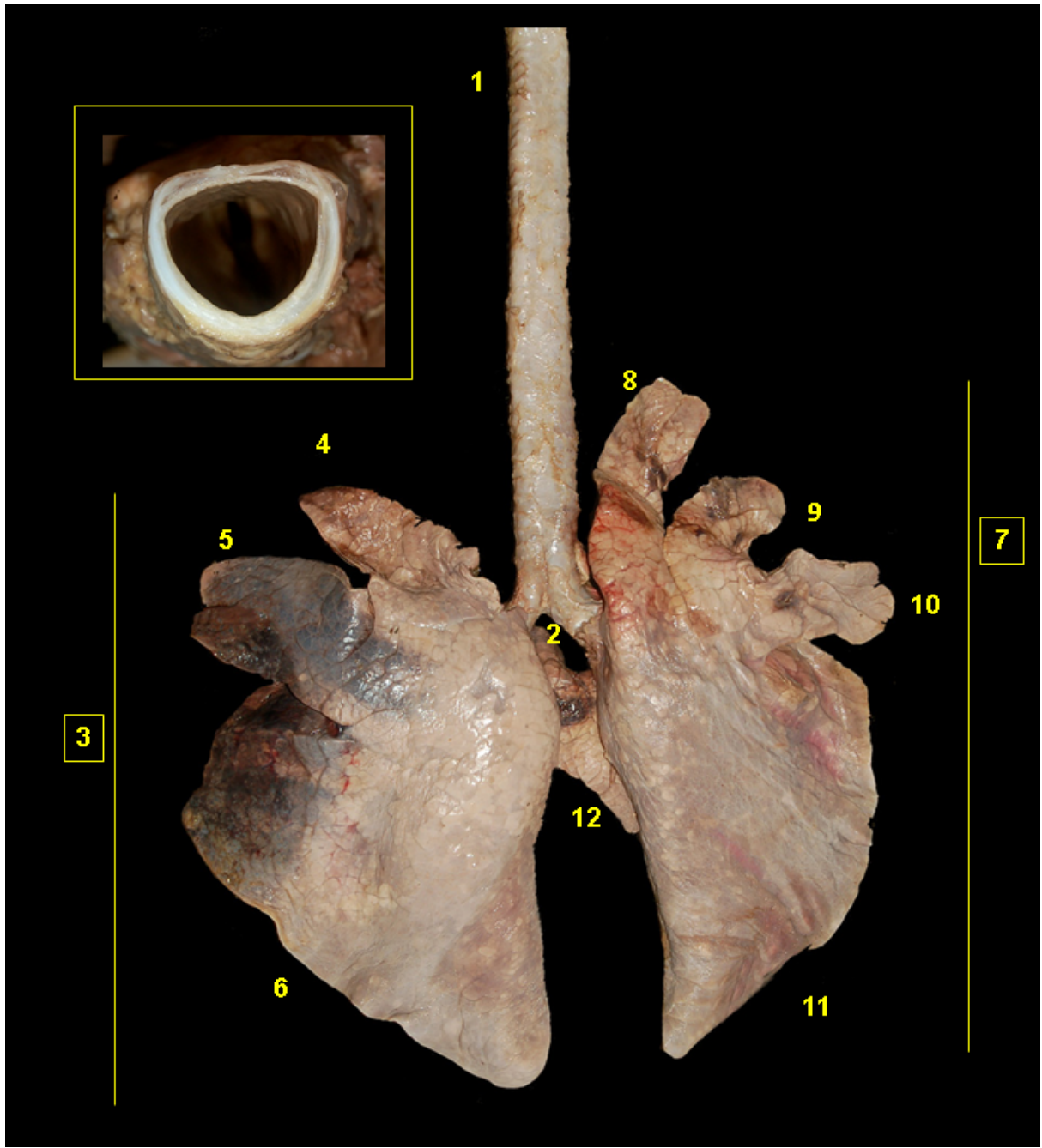


**Figura 3.94** - Visión medial de la laringe del tapir (*Tapirus terrestris*). 1. Epiglottis; 2. Apófisis corniculada (cartilago aritenoides); 3. Pliegue vestibular; 4. Pliegue vocal; 5. Ventriculo laríngeo; 6. Cartilago cricoides; 7. Cartilago tiroides; 8. Anillos traqueales.

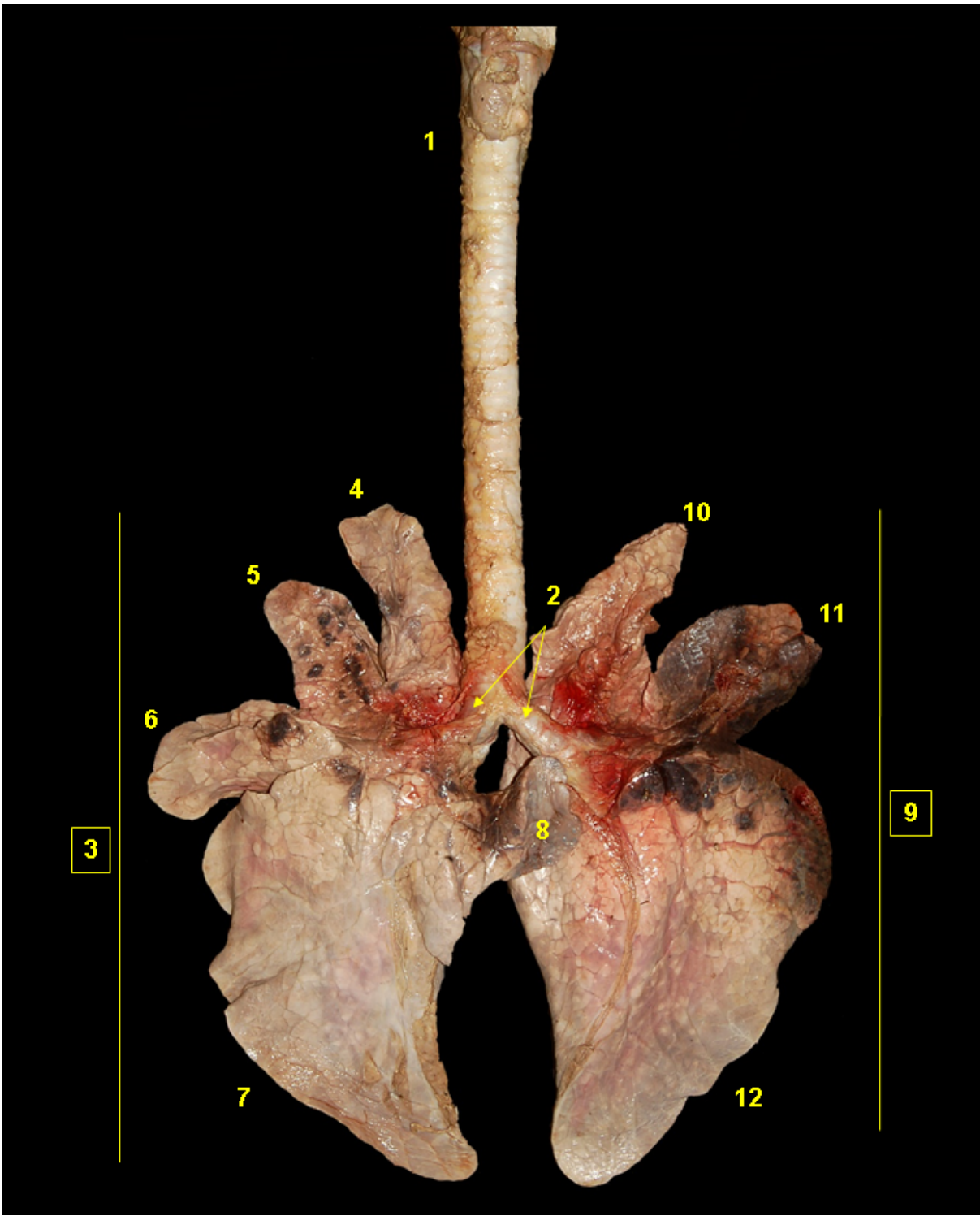


**Figura 3.95** - Visión medial de la laringe del tapir (*Tapirus terrestris*). 1. Vestíbulo de la laringe; 2. Parte intercartilaginosa de la glotis; 3. Parte intermembranosa de la glotis; 4. Cavidad infraglotica.

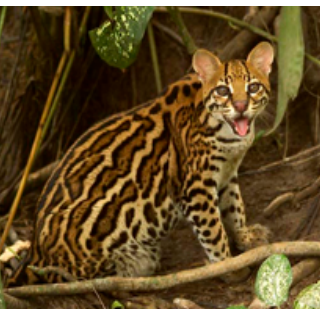




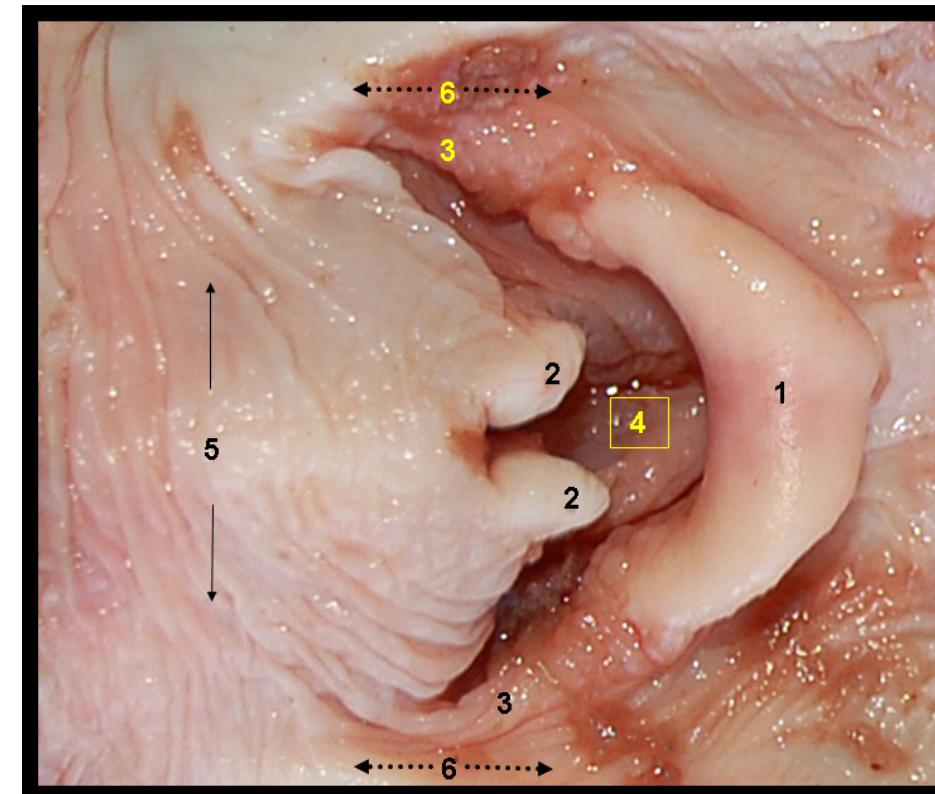
**Figura 3.96** - Visión dorsal del árbol traqueobronquial y lóbulos pulmonares del tapir (*Tapirus terrestris*). 1. Tráquea; 2. Bronquios principales; 3. Pulmón izquierdo; 4. Parte craneal del lóbulo craneal; 5. Parte caudal del lóbulo craneal; 6. Lóbulo caudal; 7. Pulmón derecho; 8. Parte craneal del lóbulo craneal; 9. Parte caudal del lóbulo craneal; 10. Lóbulo medio; 11. Lóbulo caudal; 12. Lóbulo accesorio. En detalle: corte transversal de la tráquea.



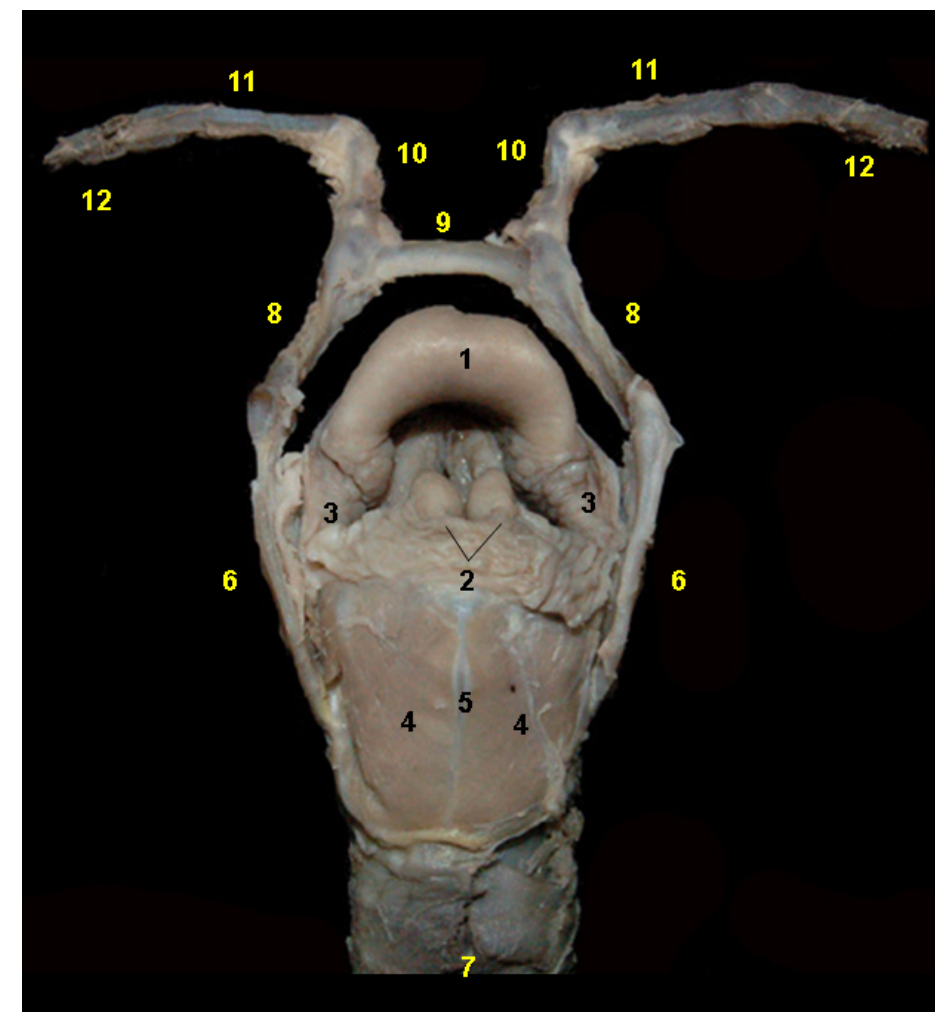
**Figura 3.97** - Visión ventral del árbol traqueobronquial y lóbulos pulmonares del tapir (*Tapirus terrestris*). 1. Tráquea; 2. Bronquios principales; 3. Pulmón derecho; 4. Parte craneal del lóbulo craneal; 5. Parte caudal del lóbulo craneal; 6. Lóbulo medio; 7. Lóbulo caudal; 8. Lóbulo accesorio; 9. Pulmón izquierdo; 10. Parte craneal del lóbulo craneal; 11. Parte caudal del lóbulo craneal; 12. Lóbulo caudal.



## OCELOTE (*Leopardus pardalis*)

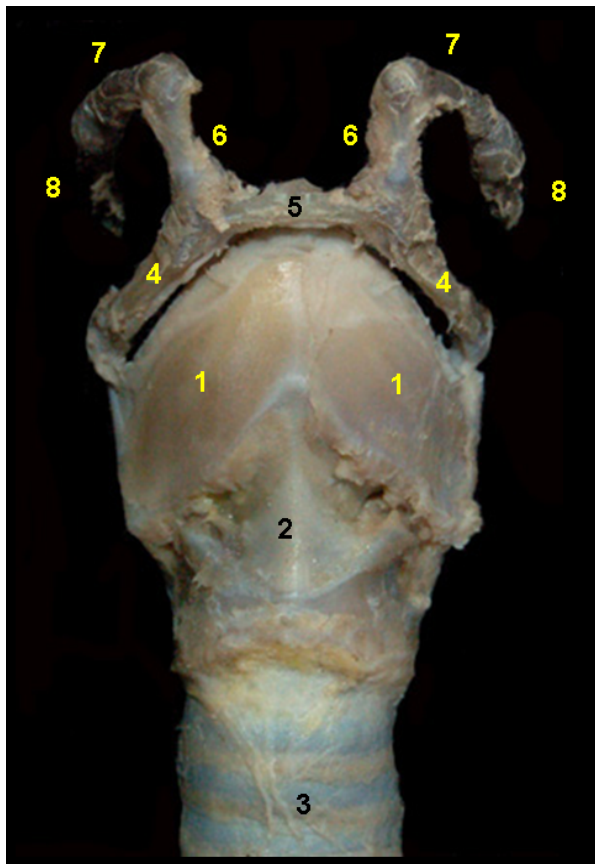


**Figura 3.98** - Visión dorsal de la laringe del ocelote (*Leopardus pardalis*). 1. Epiglottis; 2. Apófisis corniculada (cartílago aritenoides); 3. Pliegue ariepiglótico; 4. Vestíbulo de la laringe; 5. Larín-gofaringe; 6. Receso piriforme.

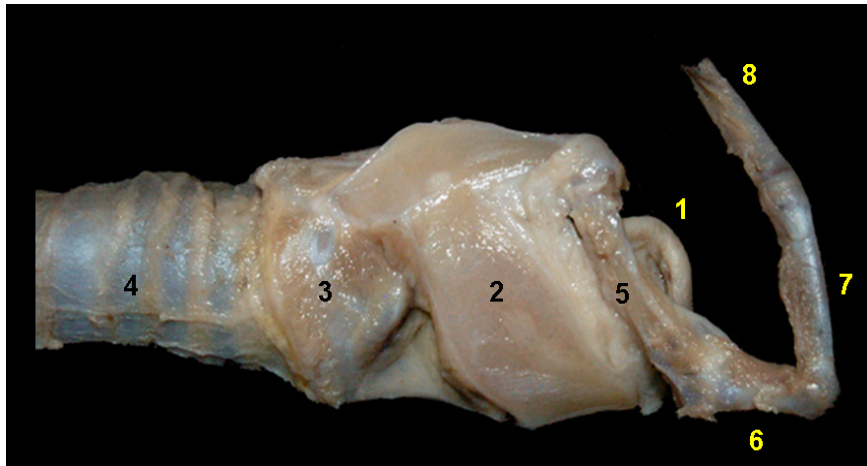


**Figura 3.99** - Visión dorsal de la laringe del ocelote (*Leopardus pardalis*). 1. Epiglottis; 2. Apófisis corniculada (cartílago aritenoides); 3. Pliegue ariepiglótico; 4. Músculo cricoaritenideo dorsal; 5. Cresta dorsal del cartílago cricoides; 6. Cartí-lago tiroides; 7. Trá-quea; 8. Tirohioi-des; 9. Basihioi-des; 10. Ceratohioi-des; 11. Epihioi-des; 12. Estilohioi-des.

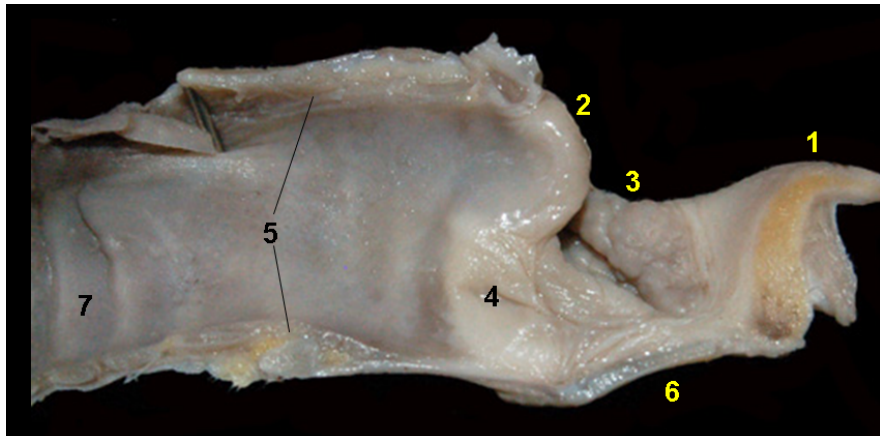




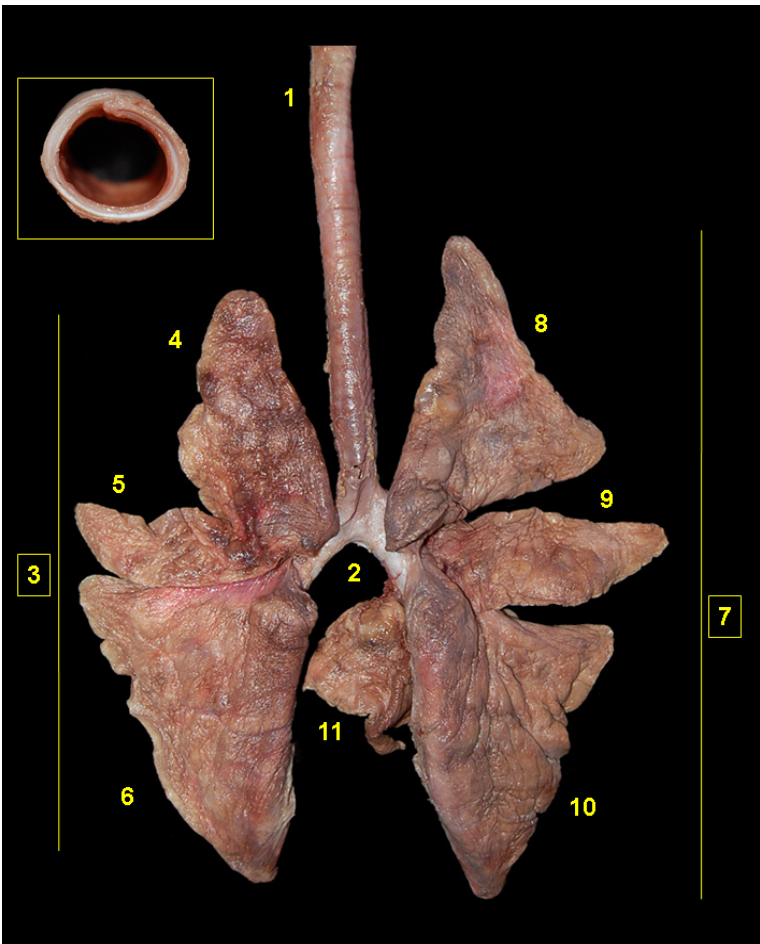
**Figura 3.100** - Visión ventral de la laringe del ocelote (*Leopardus pardalis*). 1. Cartílago tiroides; 2. Cartílago cricoides; 3. Tráquea; 4. Tirohioides; 5. Basihioides; 6. Ceratohioides; 7. Epihioides; 8. Estilohioides.



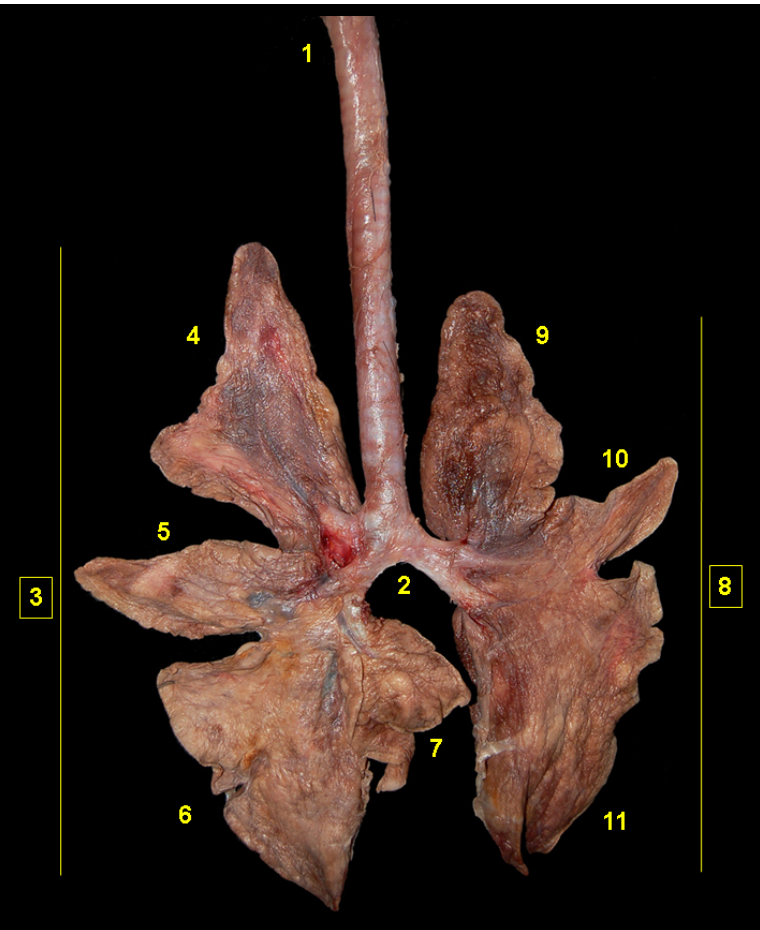
**Figura 3.101** - Visión lateral de la laringe del ocelote (*Leopardus pardalis*). 1. Epiglotis; 2. Cartílago tiroides; 3. Cartílago cricoides; 4. Tráquea; 5. Tirohioides; 6. Ceratohioides; 7. Epihioides; 8. Estilohioides.



**Figura 3.102** - Visión medial de la laringe del ocelote (*Leopardus pardalis*). 1. Cartílago epiglotis; 2. Apófisis cuneiforme (cartílago aritenoides); 3. Pliegue ariepiglótico; 4. Pliegue vocal; 5. Cartílago cricoides; 6. Cartílago tiroides; 7. Tráquea.



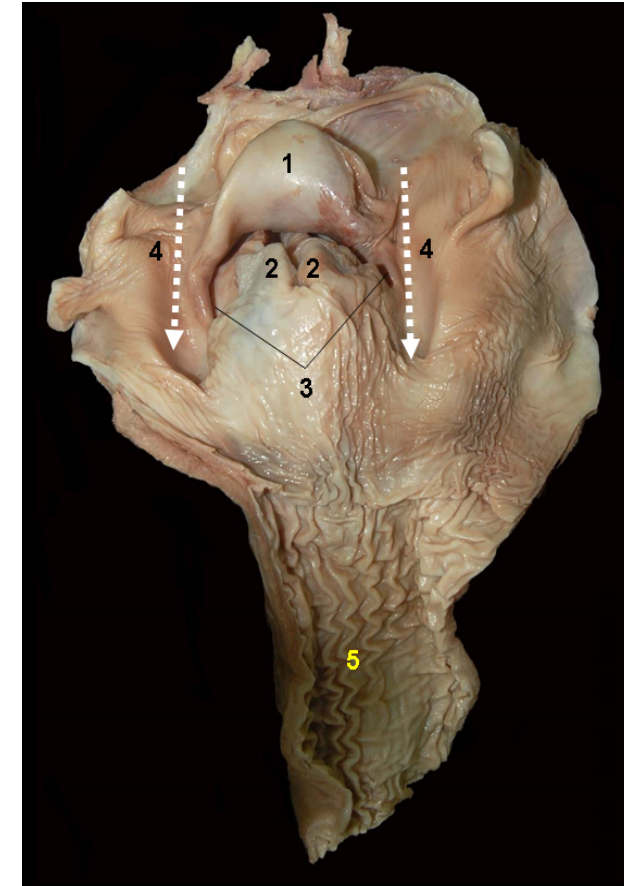
**Figura 3.103** - Visión dorsal del árbol traqueobronquial y lóbulos pulmonares del ocelote (*Leopardus pardalis*). 1. Tráquea; 2. Bronquios principales; 3. Pulmón izquierdo; 4. Parte craneal del lóbulo craneal; 5. Parte caudal del lóbulo craneal; 6. Lóbulo caudal; 7. Pulmón derecho; 8. Lóbulo craneal; 9. Lóbulo medio; 10. Lóbulo caudal; 11. Lóbulo accesorio. En detalle: corte transversal de la tráquea.



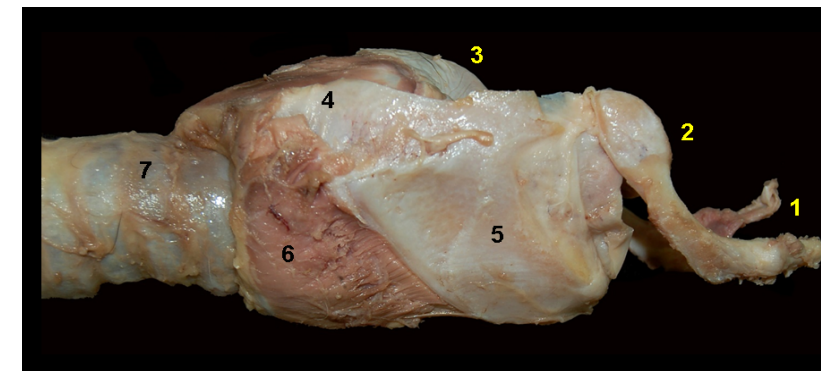
**Figura 3.104** - Visión ventral del árbol traqueobronquial y lóbulos pulmonares del ocelote (*Leopardus pardalis*). 1. Tráquea; 2. Bronquios principales; 3. Pulmón derecho; 4. Lóbulo craneal; 5. Lóbulo medio; 6. Lóbulo caudal; 7. Lóbulo accesorio; 8. Pulmón izquierdo; 9. Parte craneal del lóbulo craneal; 10. Parte caudal del lóbulo craneal; 11. Lóbulo caudal.



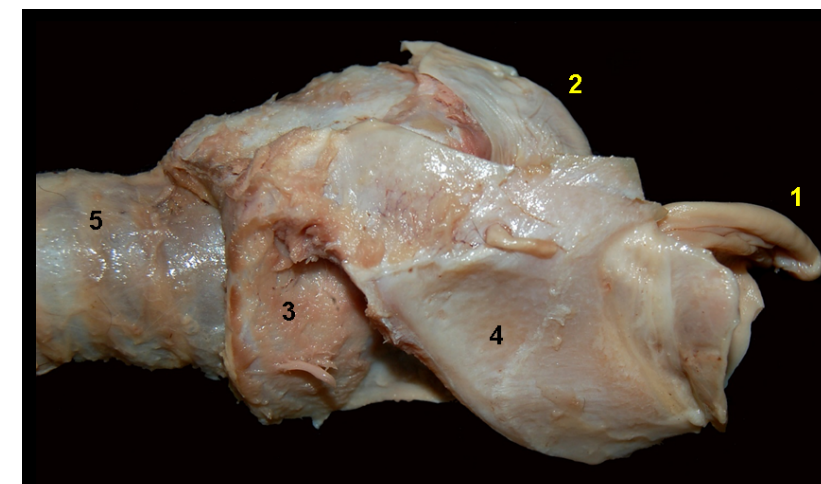
## JAGUAR (*Panthera onca*)



**Figura 3.105** - Visión dorsal de la laringofaringe y la laringe del jaguar (*Panthera onca*). 1. Epiglotis; 2. Cartílago aritenoides; 3. Pliegue ariepiglótico; 4. Receso piriforme; 5. Esófago.



**Figura 3.106** - Visión lateral de la laringe del jaguar (*Panthera onca*). Se observa el hioides. 1. Ceratohioides; 2. Tirohioides; 3. Cartílago aritenoides; 4. Cartílago cricoides; 5. Cartílago tiroides; 6. Músculo cricotiroides; 7. Tráquea.

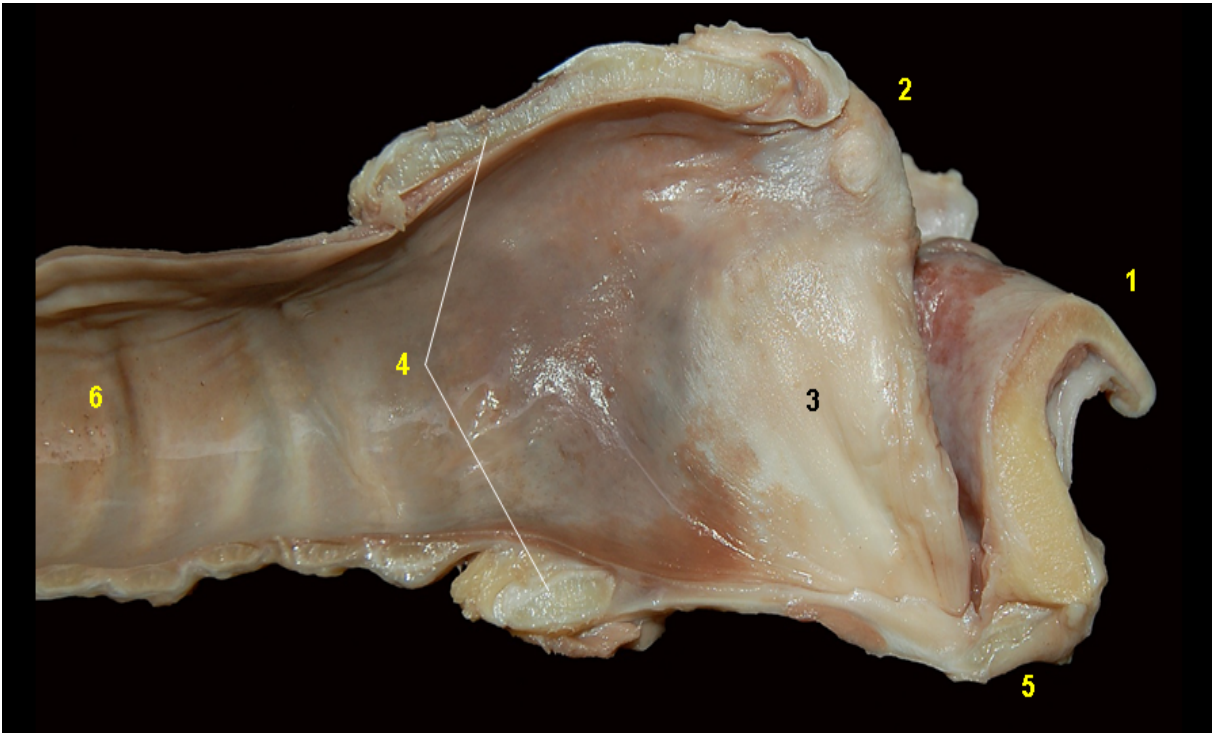


**Figura 3.107** - Visión lateral de la laringe del jaguar (*Panthera onca*). 1. Epiglotis; 2. Cartílago aritenoides; 3. Cartílago cricoides; 4. Cartílago tiroides; 5. Tráquea.

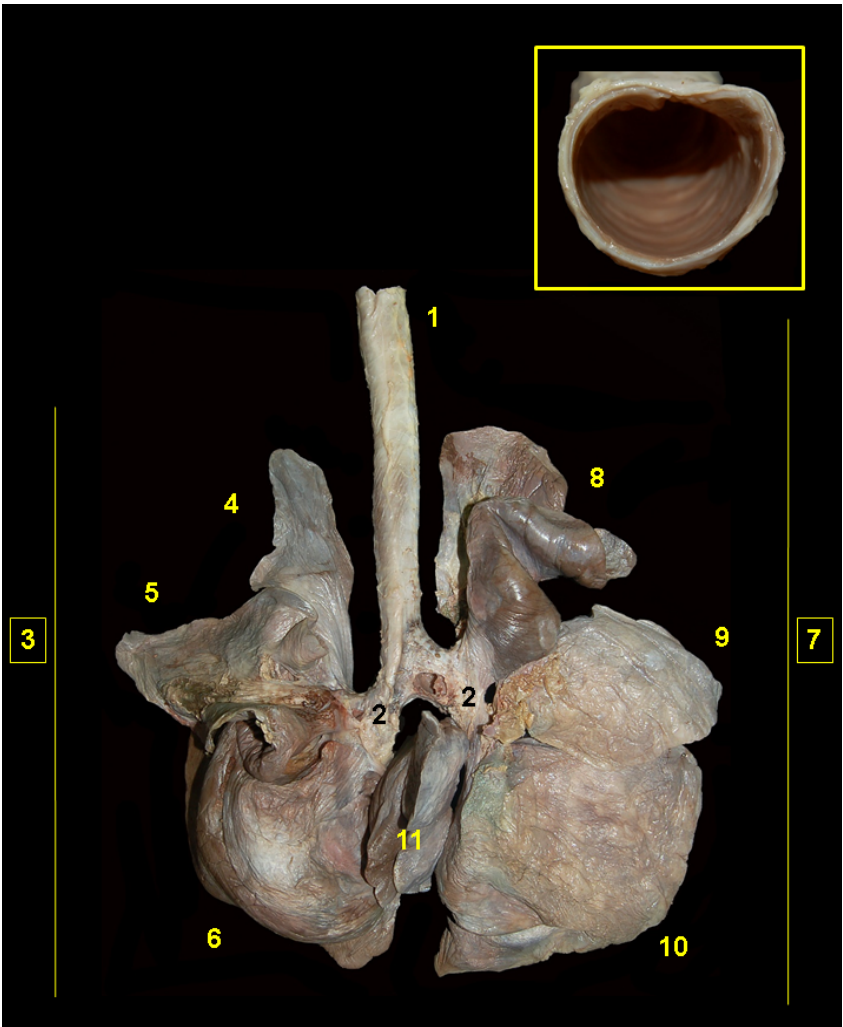




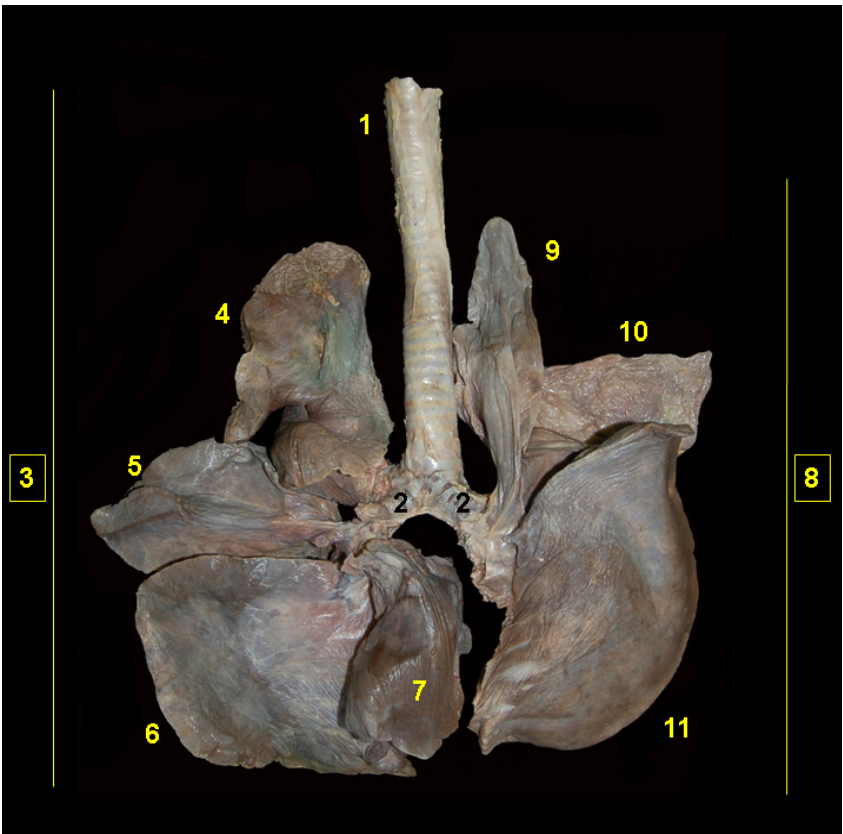
**Figura 3.108** - Visión medial de la laringe del jaguar (*Panthera onca*). 1. Epiglotis; 2. Vestíbulo de la laringe; 3. Parte intercartilaginosa de la glotis; 4. Parte intermembranosa de la glotis; 5. Cavidad infraglotica; 6. Tráquea.



**Figura 3.109** - Visión medial de la laringe del jaguar (*Panthera onca*). 1. Epiglottis; 2. Apófisis cuneiforme (cartílago aritenoides); 3. Pliegue vocal; 4. Cartílago cricoides; 5. Cartílago tiroides; 6. Tráquea.



**Figura 3.110** - Visión dorsal del árbol traqueobronquial y lóbulos pulmonares del jaguar (*Panthera onca*). 1. Tráquea; 2. Bronquios principales; 3. Pulmón izquierdo; 4. Parte craneal del lóbulo craneal; 5. Parte caudal del lóbulo craneal; 6. Lóbulo caudal; 7. Pulmón derecho; 8. Lóbulo craneal; 9. Lóbulo medio; 10. Lóbulo caudal; 11. Lóbulo accesorio. En detalle: corte transversal de la tráquea.

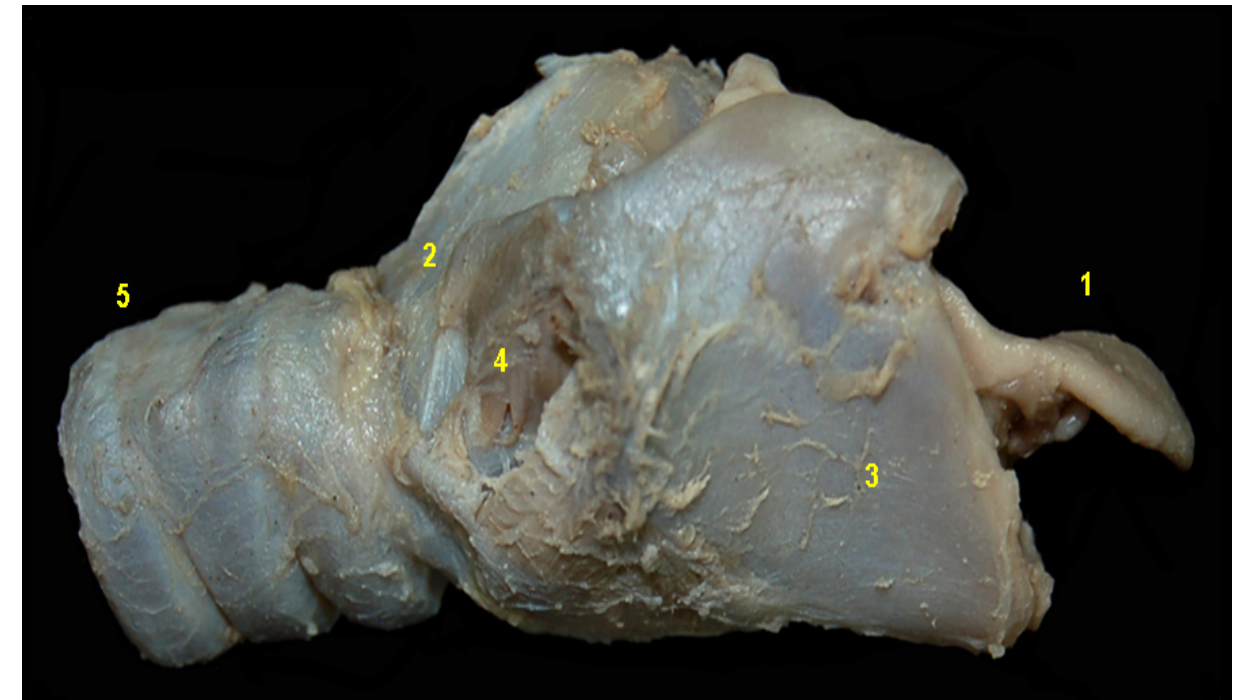


**Figura 3.111** - Visión ventral del árbol traqueobronquial y lóbulos pulmonares del jaguar (*Panthera onca*). 1. Tráquea; 2. Bronquios principales; 3. Pulmón derecho; 4. Lóbulo craneal; 5. Lóbulo medio; 6. Lóbulo caudal; 7. Lóbulo accesorio; 8. Pulmón izquierdo; 9. Parte craneal del lóbulo craneal; 10. Parte caudal del lóbulo craneal; 11. Lóbulo caudal.

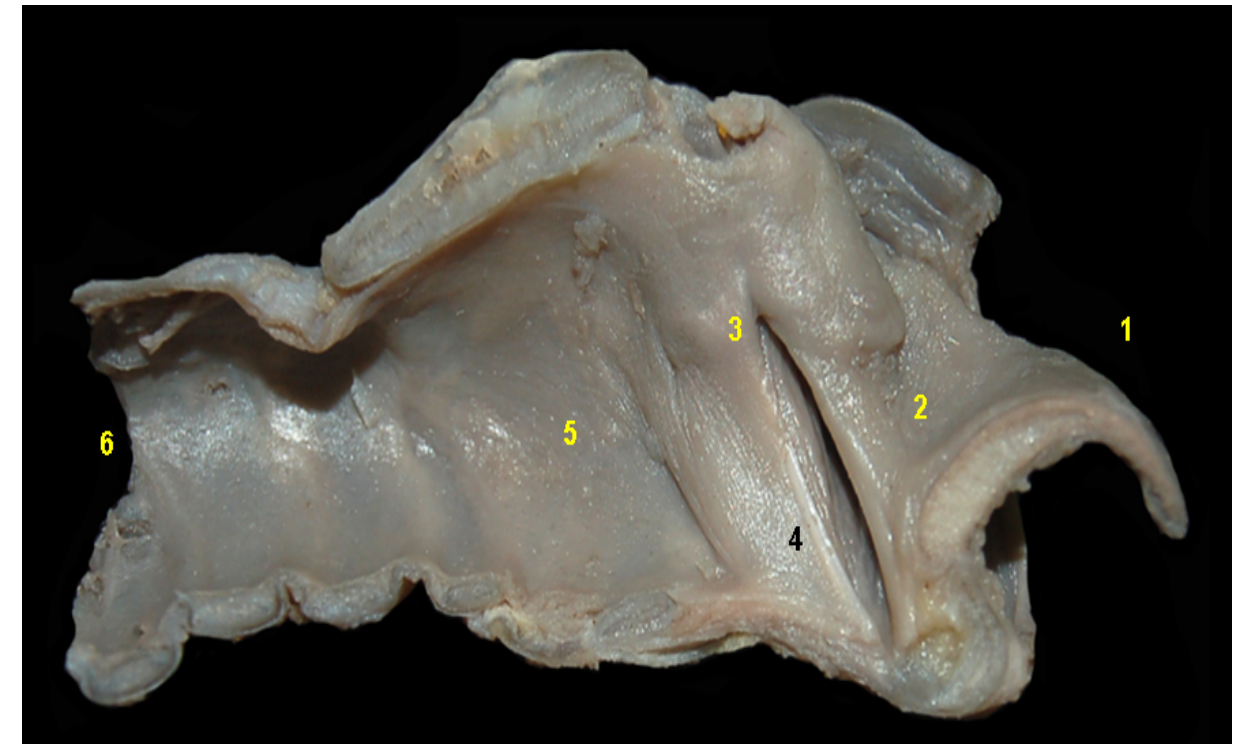




## COATÍ DE COLA ANILLADA (*Nasua nasua*)

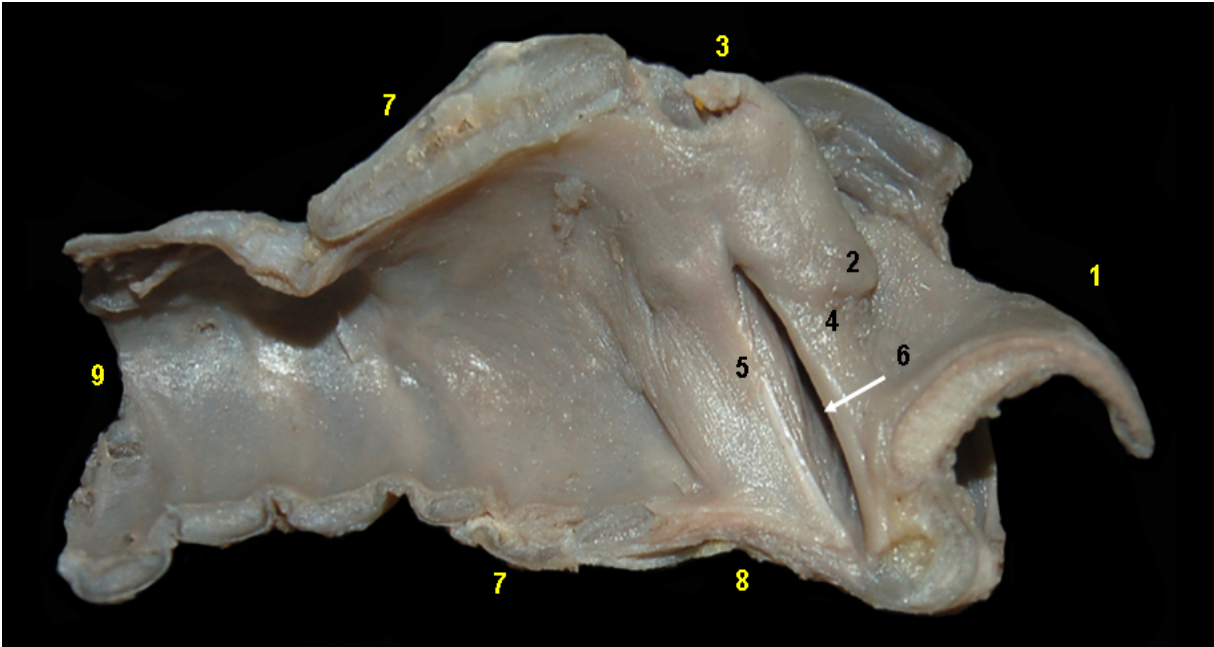


**Figura 3.112** - Visión lateral de la laringe del coatí de cola anillada (*Nasua nasua*). 1. Epiglotis; 2. Cartílago cricoides; 3. Cartílago tiroides; 4. Músculo cricotiroides; 5. Tráquea.

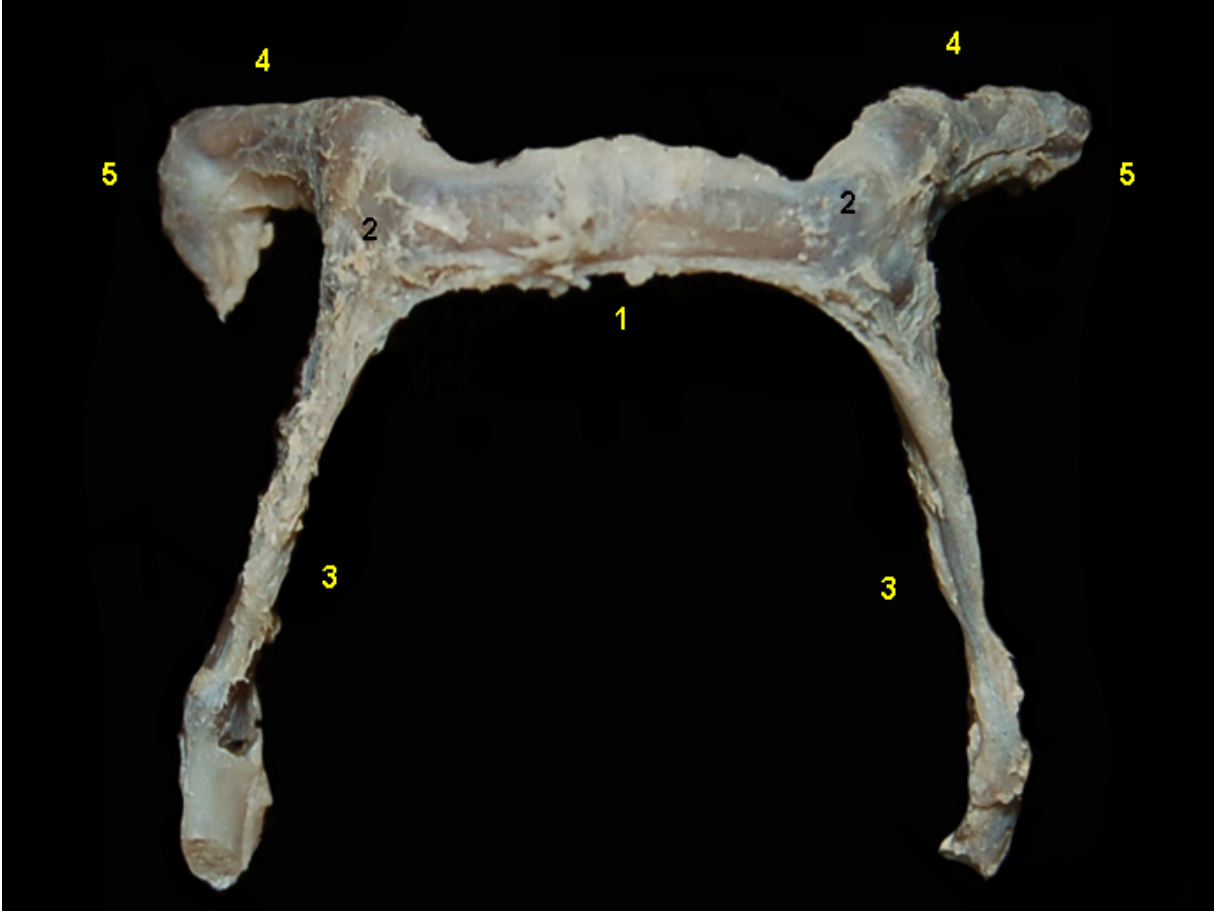


**Figura 3.113** - Visión medial de la laringe del coatí de cola anillada (*Nasua nasua*). 1. Epiglotis; 2. Vestíbulo de la laringe; 3. Parte intercartilaginosa de la glotis; 4. Parte intermembranosa de la glotis; 5. Cavity infraglotica; 6. Tráquea.

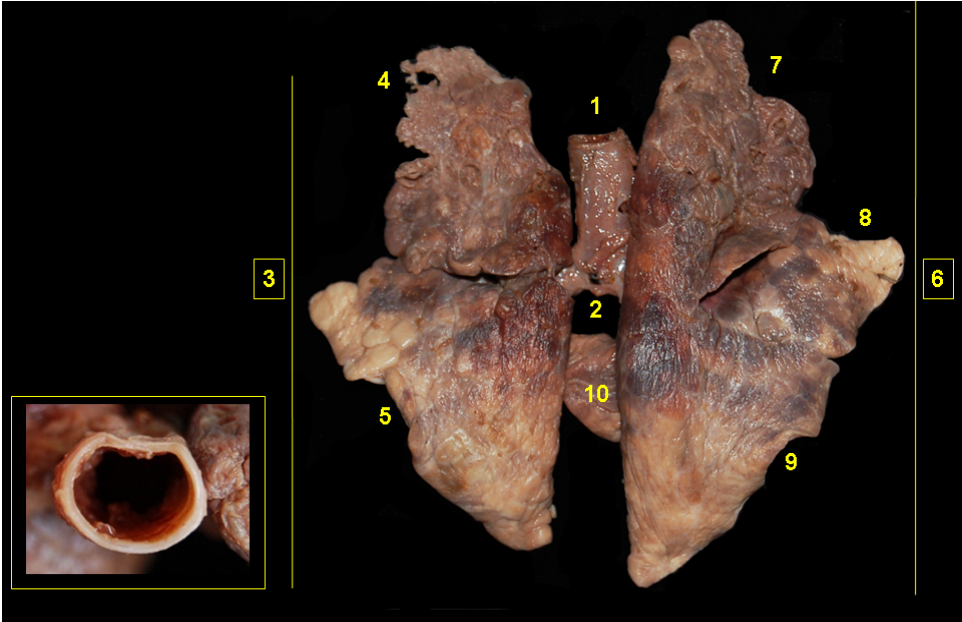




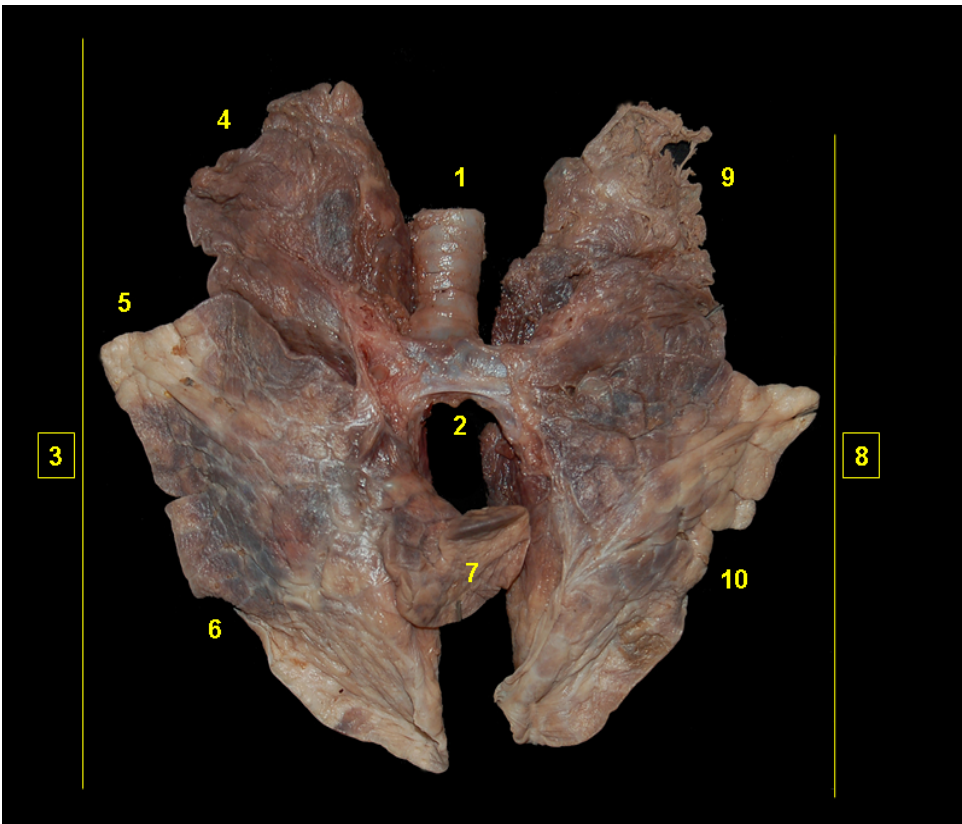
**Figura 3.114** - Visión medial de la laringe del coatí de cola anillada (*Nasua nasua*). 1. Epiglotis; 2. Apófisis cuneiforme (cartílago aritenoides); 3. Apófisis corniculada (cartílago aritenoides); 4. Pliegue vestibular; 5. Pliegue vocal; 6. Ventrículo laríngeo; 7. Cartílago cricoides; 8. Cartílago tiroides; 9. Tráquea.



**Figura 3.115** - Visión ventral del hioides del coatí de cola anillada (*Nasua nasua*). 1. Basihioides; 2. Ceratohioides; 3. Tirohioides; 4. Estilohioides; 5. Timpanohioides.



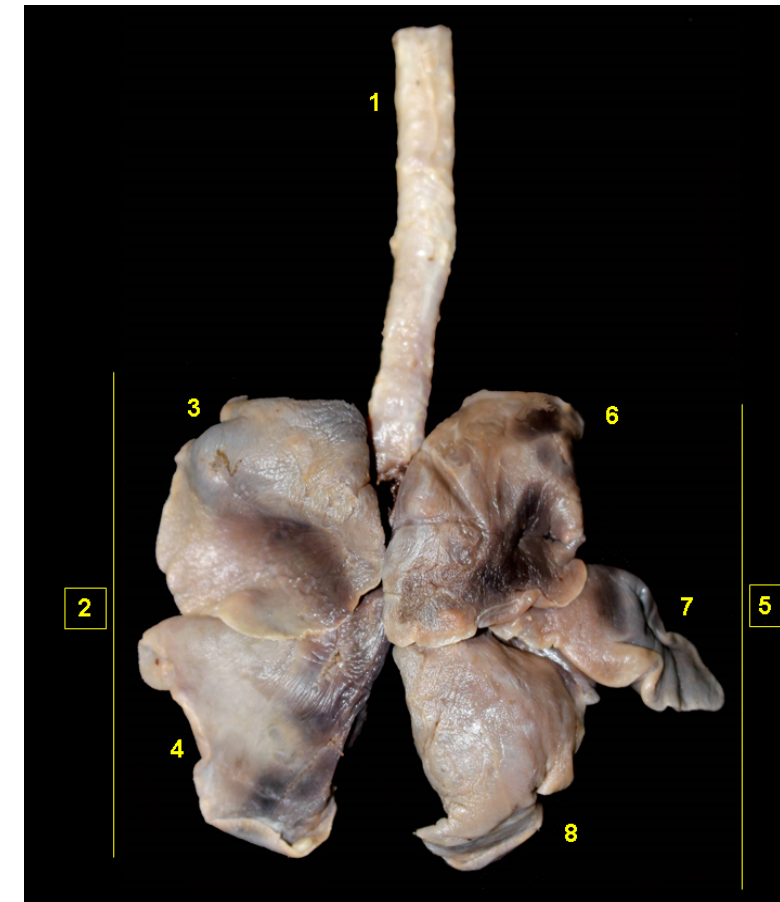
**Figura 3.116** - Visión dorsal del árbol traqueobronquial y lóbulos pulmonares del coatí de cola anillada (*Nasua nasua*). 1. Tráquea; 2. Bronquios principales; 3. Pulmón izquierdo; 4. Lóbulo craneal; 5. Lóbulo caudal; 6. Pulmón derecho; 7. Lóbulo craneal; 8. Lóbulo medio; 9. Lóbulo caudal; 10. Lóbulo accesorio. En detalle: corte transversal de la tráquea.



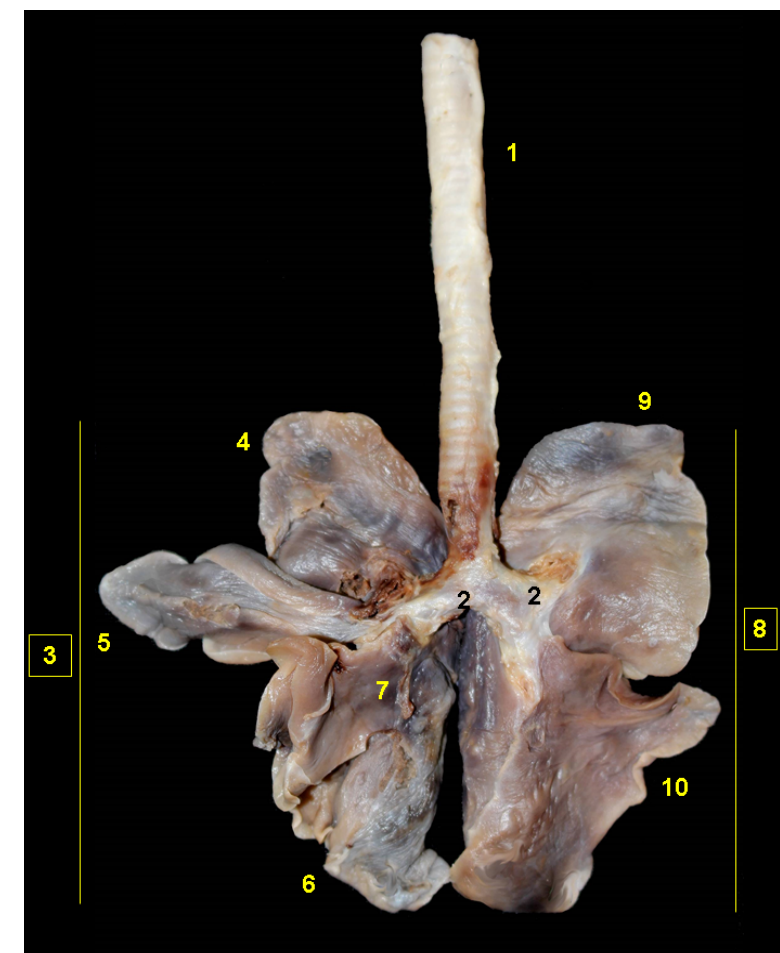
**Figura 3.117** - Visión ventral del árbol traqueobronquial y lóbulos pulmonares del coatí de cola anillada (*Nasua nasua*). 1. Tráquea; 2. Bronquios principales; 3. Pulmón derecho; 4. Lóbulo craneal; 5. Lóbulo medio; 6. Lóbulo caudal; 7. Lóbulo accesorio; 8. Pulmón izquierdo; 9. Lóbulo craneal; 10. Lóbulo caudal.



## KINKAJOU (*Potos flavus*)



**Figura 3.118** - Visión dorsal del árbol traqueobronquial y lóbulos pulmonares del kinkajou (*Potos flavus*). 1. Tráquea; 2. Pulmón izquierdo; 3. Lóbulo craneal; 4. Lóbulo caudal; 5. Pulmón derecho; 6. Lóbulo craneal; 7. Lóbulo medio; 8. Lóbulo caudal.

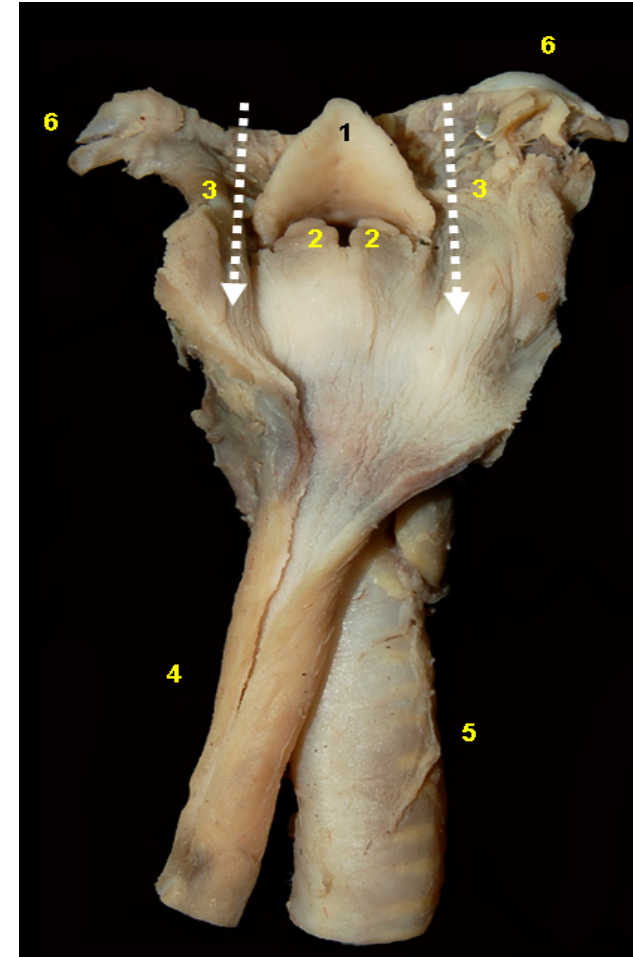


**Figura 3.119** - Visión ventral del árbol traqueobronquial y lóbulos pulmonares del kinkajou (*Potos flavus*). 1. Tráquea; 2. Bronquios principales; 3. Pulmón derecho; 4. Lóbulo craneal; 5. Lóbulo medio; 6. Lóbulo caudal; 7. Lóbulo accesorio; 8. Pulmón izquierdo; 9. Lóbulo craneal; 10. Lóbulo caudal.





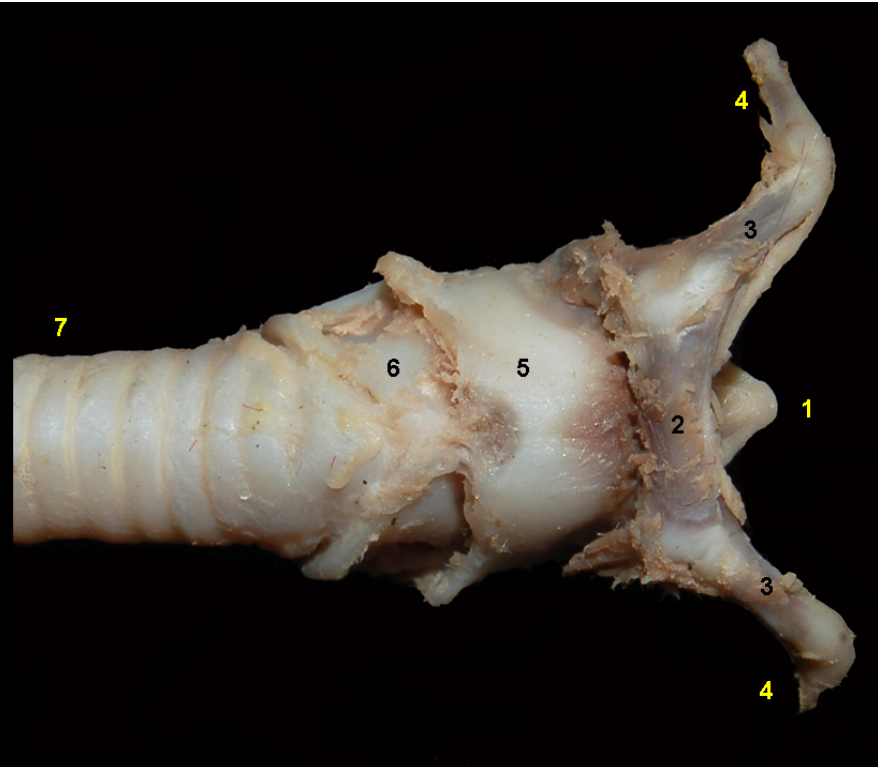
## NUTRIA GIGANTE (*Pteronura brasiliensis*)



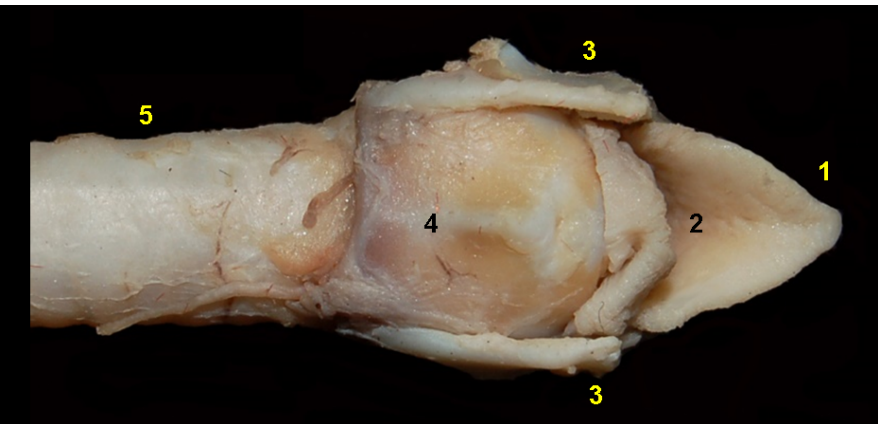
**Figura 3.120** - Visión dorsal de la larongofaringe y la laringe de la nutria gigante (*Pteronura brasiliensis*). 1. Epiglotis; 2. Cartílago aritenoides; 3. Receso piriforme; 4. Esófago; 5. Tráquea, 6. Aparato hioideo.



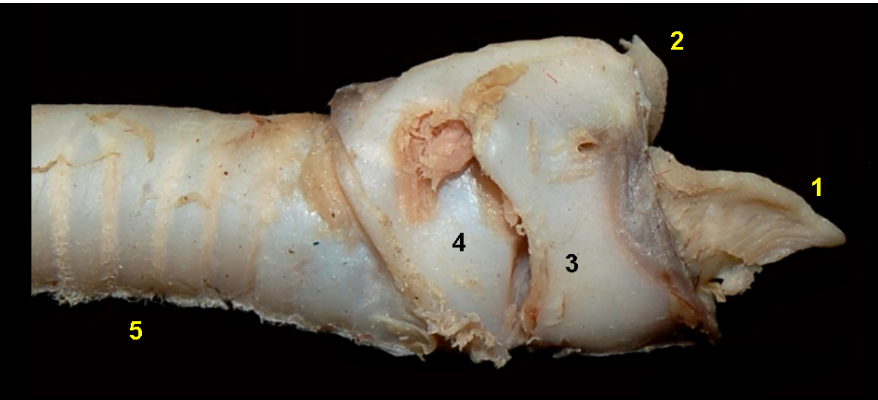
**Figura 3.121** - Visión dorsal de la laringe de la nutria gigante (*Pteronura brasiliensis*). 1. Epiglotis; 2. Cartílago aritenoides; 3. Pliegue ariepligótico; 4. Cartílago tiroides; 5. Cartílago cricoides (lámina); 6. Tráquea; 7. Glándula tiroides; 8. Aparato hioideo.



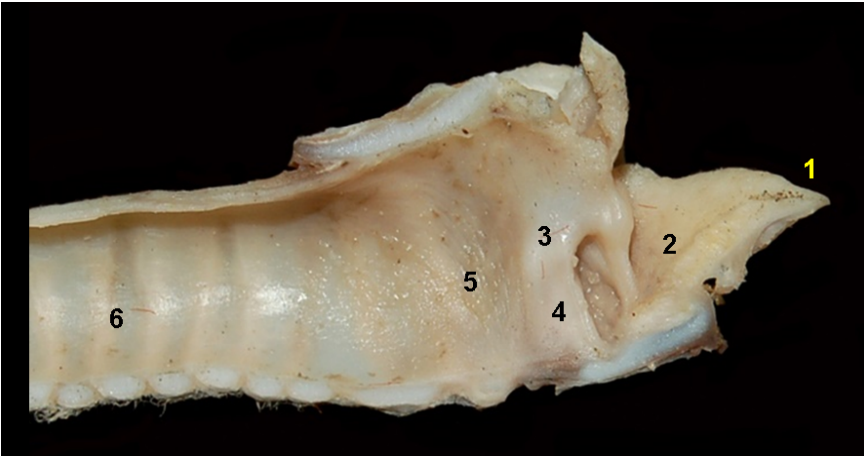
**Figura 3.122** - Visión ventral de la laringe de la nutria gigante (*Pteronura brasiliensis*). 1. Epiglotis; 2. Basihioides; 3. Ceratohioides; 4. Epihioides; 5. Cartílago tiroides, 6. Cartílago cricoides; 7. Tráquea.



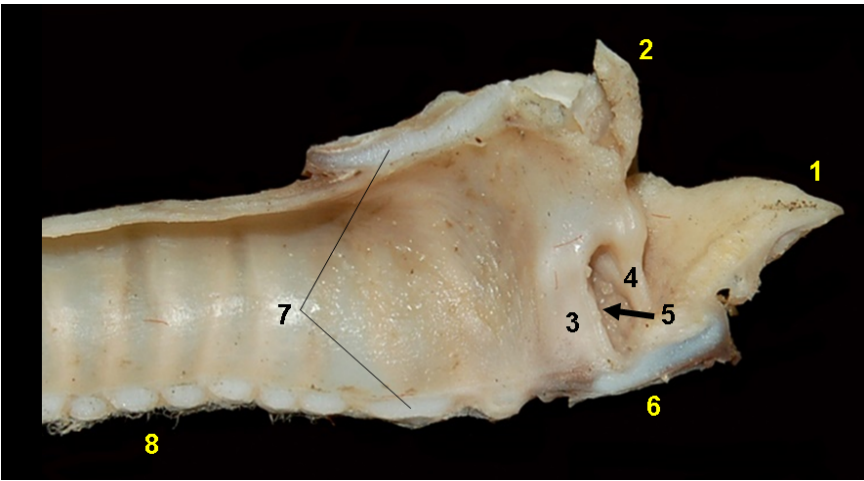
**Figura 3.123** - Visión dorsal de la laringe de la nutria gigante (*Pteronura brasiliensis*). 1. Epiglotis; 2. Vestíbulo de la laringe; 3. Cartílago tiroides; 4. Cartílago cricoides (lámina); 5. Tráquea.



**Figura 3.124** - Visión lateral de la laringe de la nutria gigante (*Pteronura brasiliensis*). 1. Epiglotis; 2. Cartílago aritenoides; 3. Cartílago tiroides; 4. Cartílago cricoides; 5. Tráquea.



**Figura 3.125** - Visión medial de la laringe de la nutria gigante (*Pteronura brasiliensis*). 1. Epiglotis; 2. Vestíbulo de la laringe; 3. Parte intercartilaginosa de la glotis; 4. Parte intermembranosa de la glotis; 5. Cavity infraglotica; 6. Tráquea.

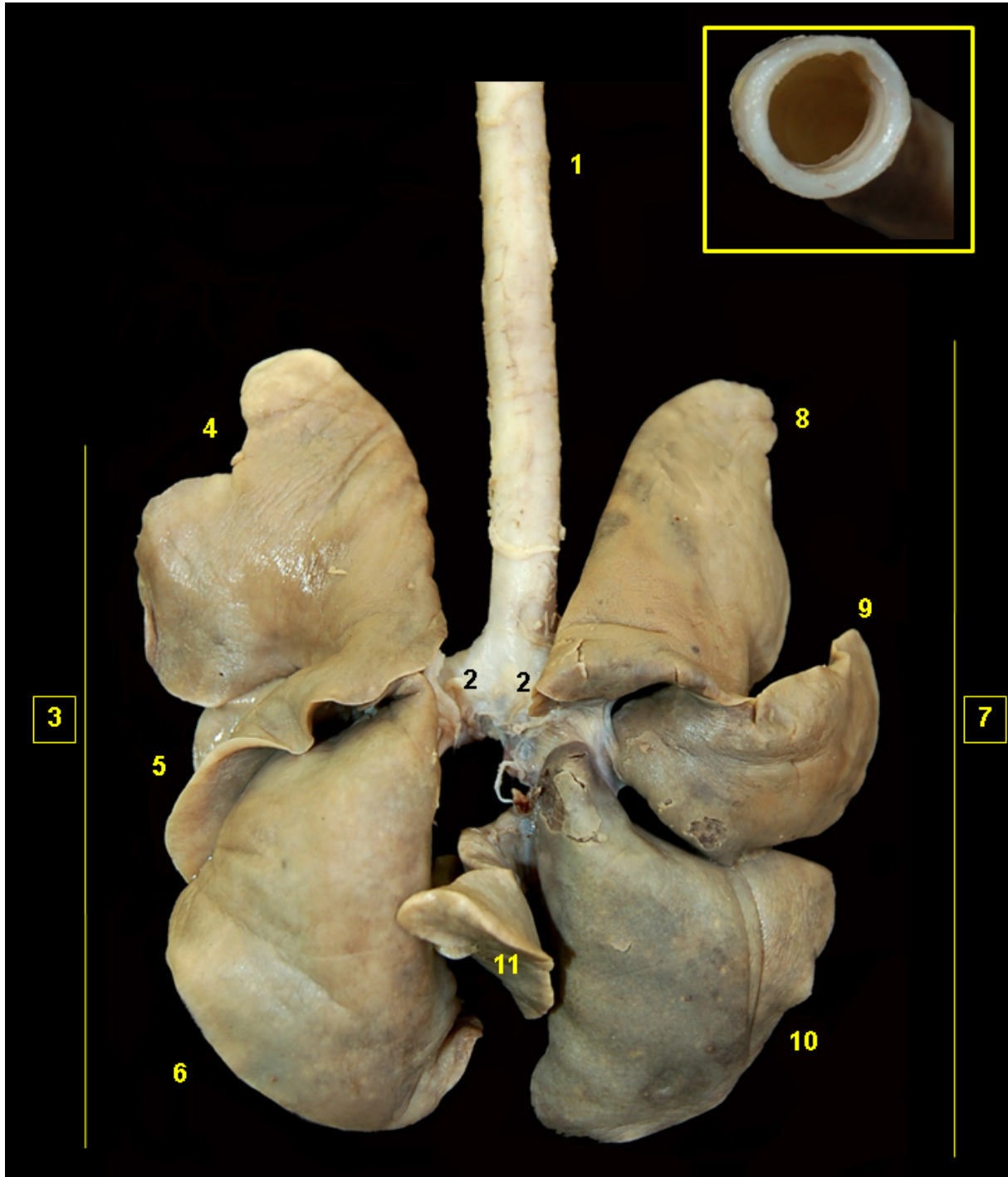


**Figura 3.126** - Visión medial de la laringe de la nutria gigante (*Pteronura brasiliensis*). 1. Epiglotis; 2. Apófisis corniculada (cartílago aritenoides); 3. Pliegue vocal; 4. Pliegue vestibular; 5. Ventriculo laríngeo; 6. Cartílago tiroides; 7. Cartílago cricoides; 8. Tráquea.

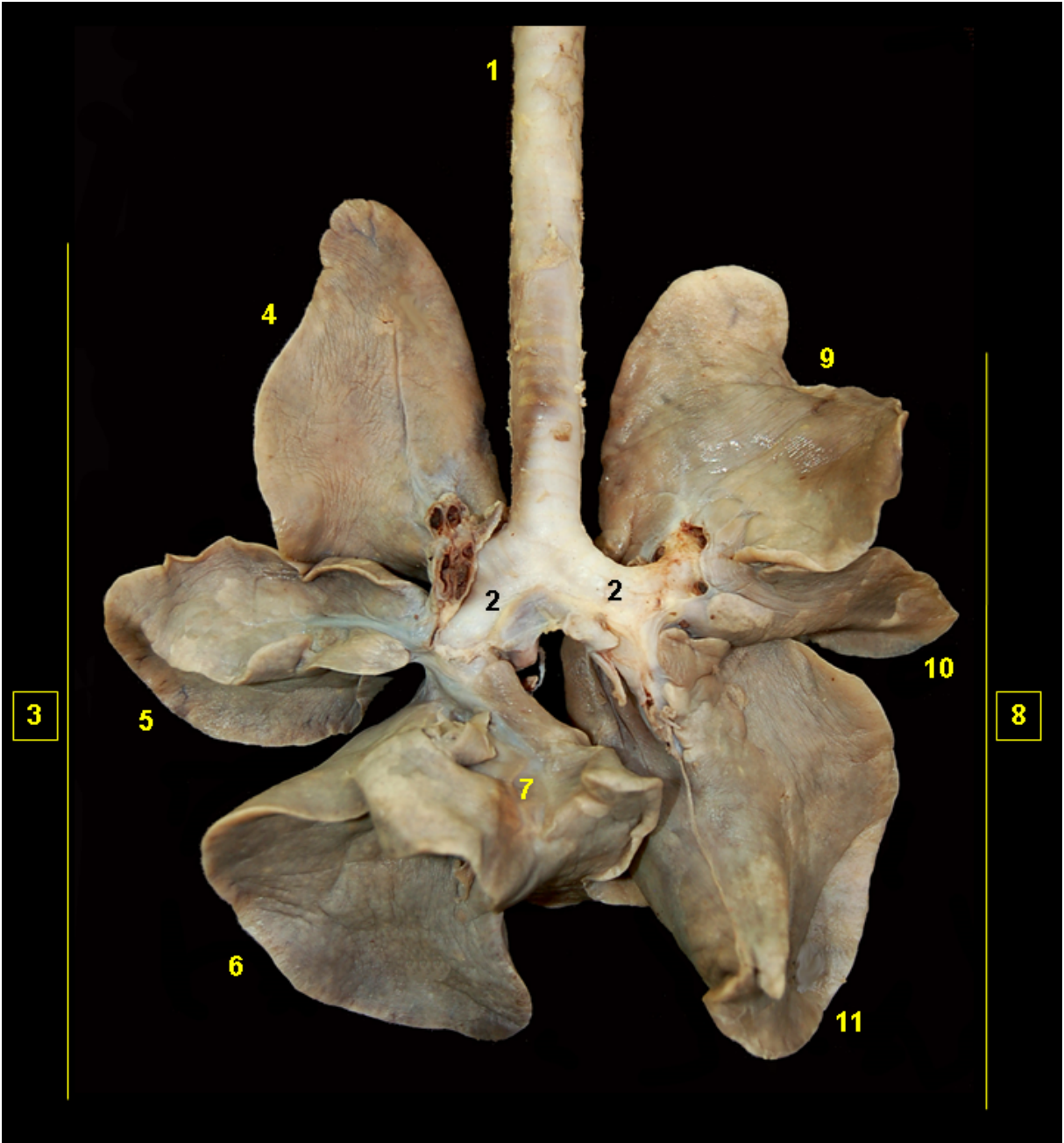


**Figura 3.127** - Visiones ventral y craneal (respectivamente) del hioides de la nutria gigante (*Pteronura brasiliensis*). 1. Basihioides; 2. Ceratohioides; 3. Epihioides; 4. Tirohioides.





**Figura 3.128** - Visión dorsal del árbol traqueobronquial y lóbulos pulmonares de la nutria gigante (*Pteronura brasiliensis*). 1. Tráquea; 2. Bronquios principales; 3. Pulmón izquierdo; 4. Parte craneal del lóbulo craneal; 5. Parte caudal del lóbulo craneal; 6. Lóbulo caudal; 7. Pulmón derecho; 8. Lóbulo craneal; 9. Lóbulo medio; 10. Lóbulo caudal; 11. Lóbulo accesorio. En detalle: corte transversal de la tráquea.

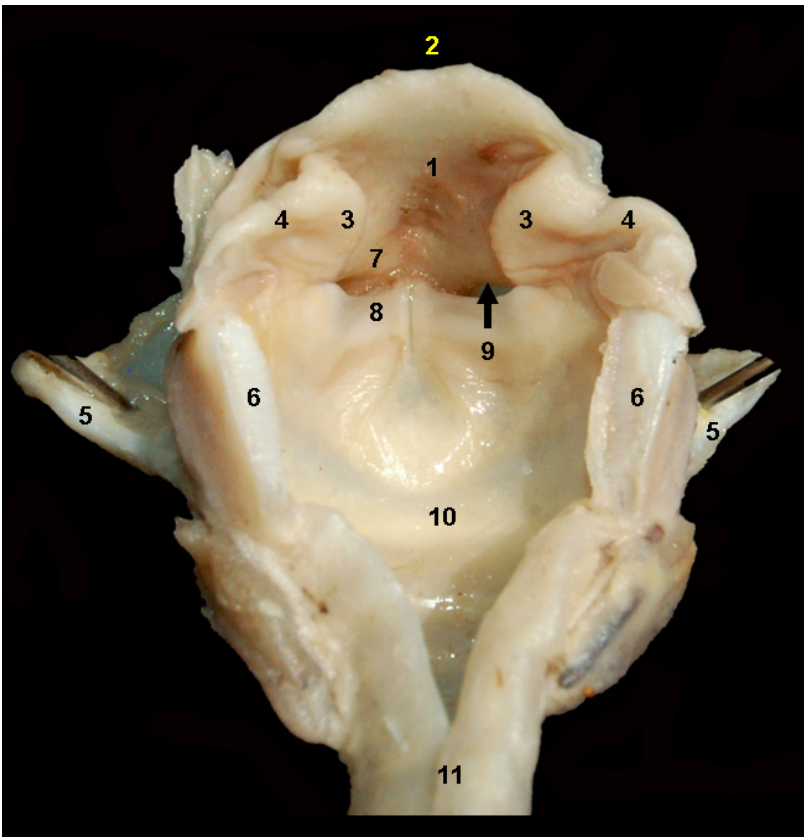


**Figura 3.129** - Visión ventral del árbol traqueobronquial y lóbulos pulmonares de la nutria gigante (*Pteronura brasiliensis*). 1. Tráquea; 2. Bronquios principales; 3. Pulmón derecho; 4. Lóbulo craneal; 5. Lóbulo medio; 6. Lóbulo caudal; 7. Lóbulo accesorio; 8. Pulmón izquierdo; 9. Parte craneal del lóbulo craneal; 10. Parte caudal del lóbulo craneal; 11. Lóbulo caudal.

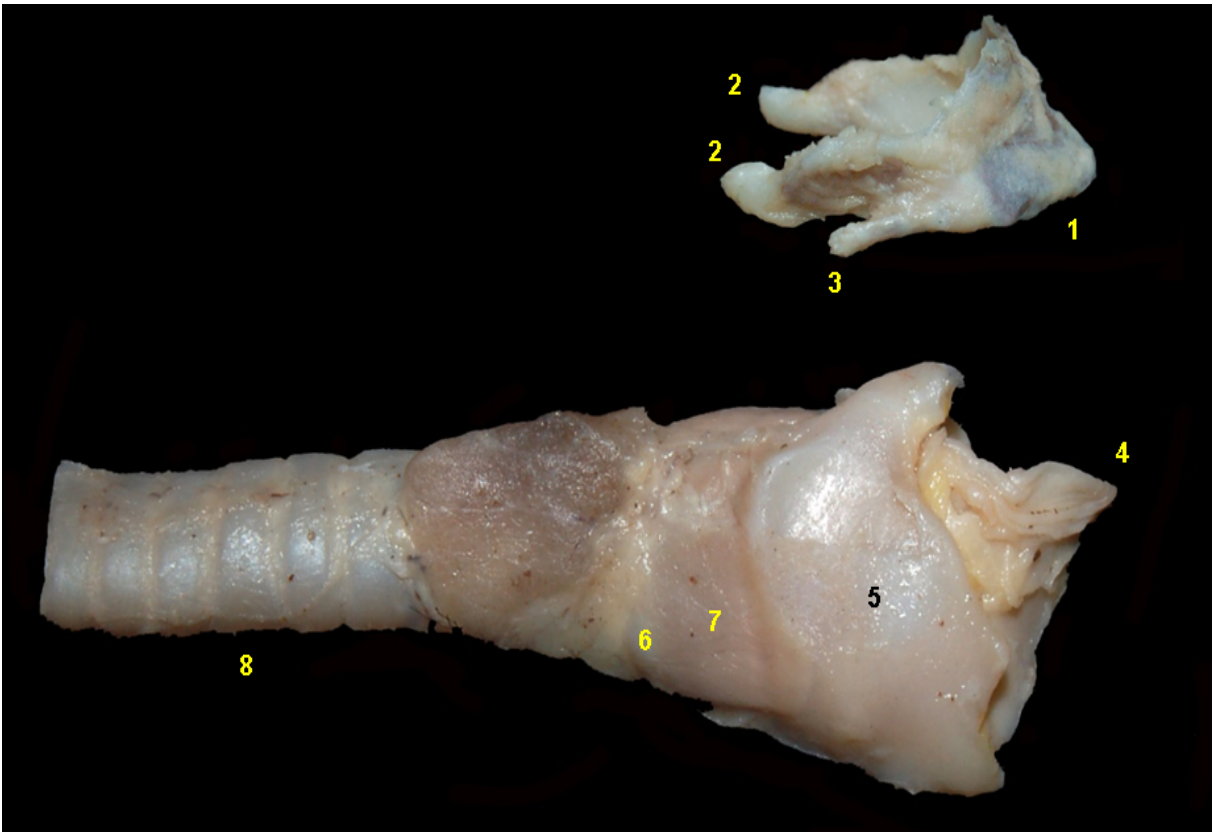


# MONO MACHÍN BLANCO

(*Cebus albifrons*)

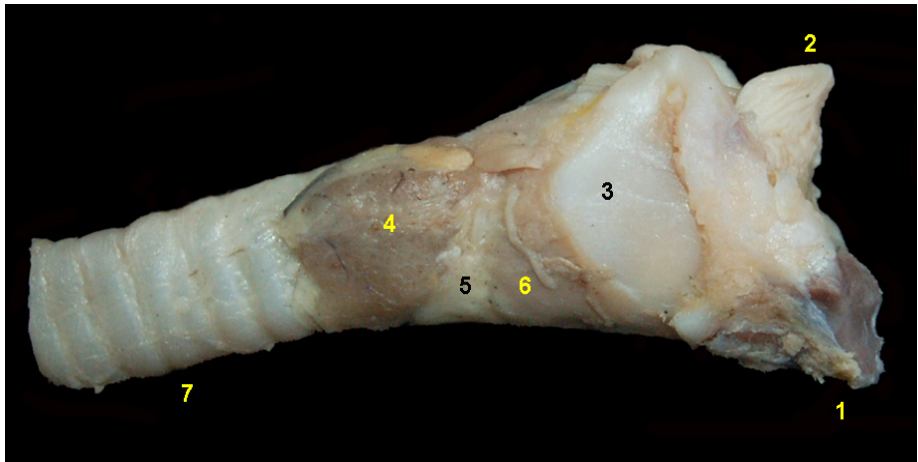


**Figura 3.130** - Visión dorsal de la laringe abierta del mono machín blanco (*Cebus albifrons*). La lámina del cartílago cricoides ha sido seccionada dorsalmente. 1. Vestíbulo de la laringe; 2. Epiglotis; 3. Apófisis cuneiforme (cartílago aritenoides); 4. Apófisis corniculada (cartílago aritenoides); 5. Cartílago tiroideos; 6. Cartílago cricoides; 7. Ligamento vestibular; 8. Ligamento vocal; 9. Ventrículo laríngeo; 10. Cavidad infraglotica; 11. Tráquea.

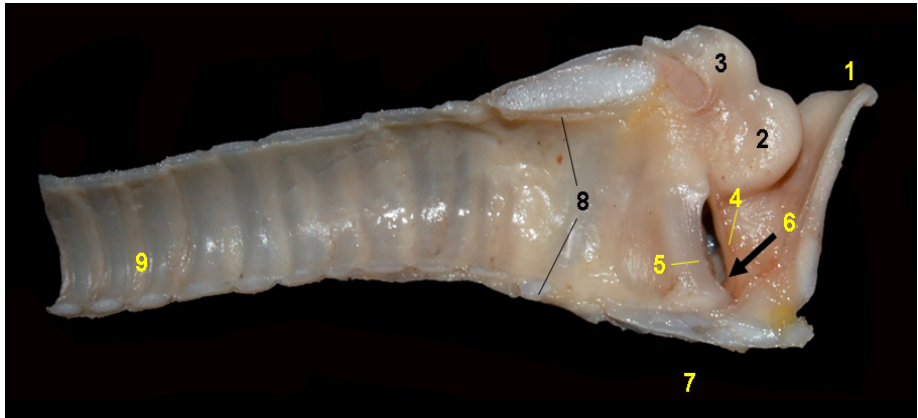


**Figura 3.131** - Visiones laterales del hioides y de la laringe del mono machín blanco (*Cebus albifrons*). 1. Basihioides; 2. Tirohioides (asta mayor del hioides); 3. Ceratohioides (Asta menor del hioides); 4. Epiglotis; 5. Cartílago tiroideos; 6. Cartílago cricoides; 7. Músculo cricotiroideo; 8. Tráquea.





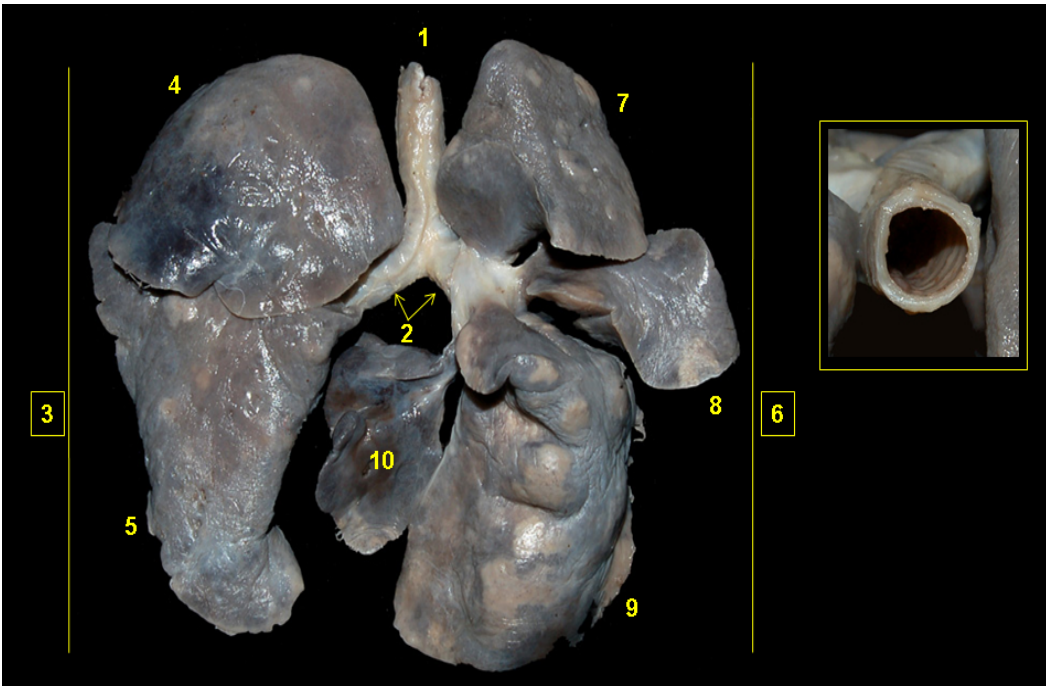
**Figura 3.132** - Visión lateral de la laringe del mono machín blanco (*Cebus albifrons*). 1. Basihioides; 2. Epiglotis; 3. Cartílago tiroideo; 4. Glándula tiroidea; 5. Cartílago cricoideo; 6. Músculo cricotiroideo; 7. Tráquea.



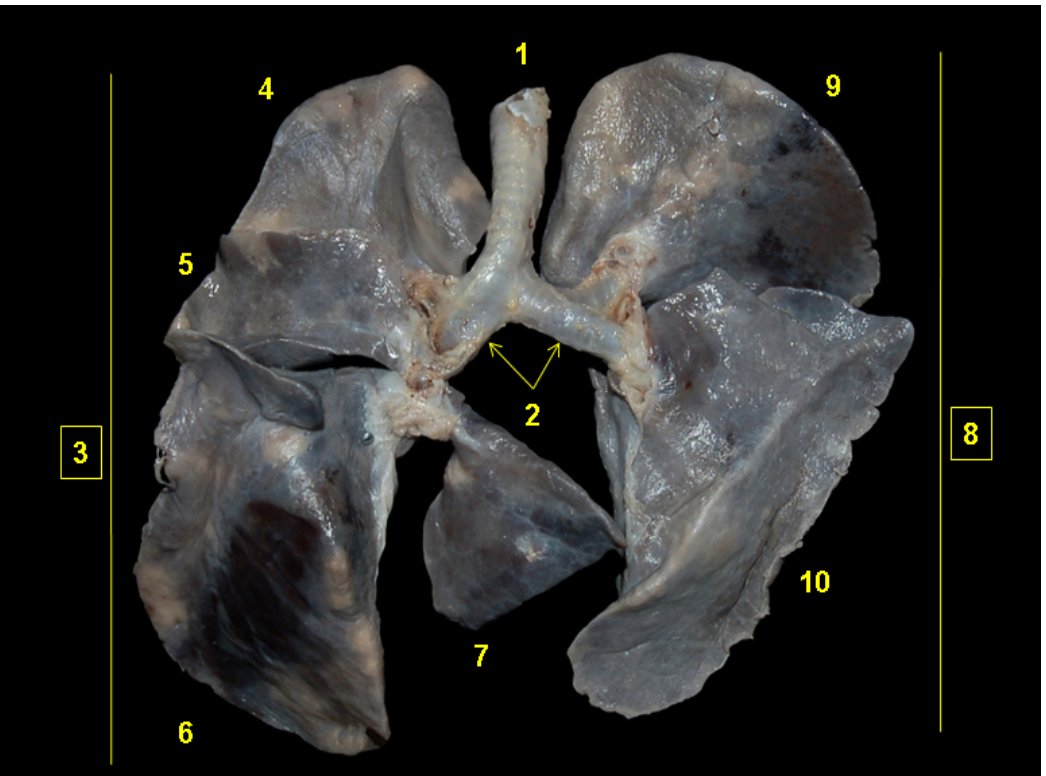
**Figura 3.133** - Visión medial de la laringe del mono machín blanco (*Cebus albifrons*). 1. Epiglotis; 2. Apófisis cuneiforme (cartílago aritenoides); 3. Apófisis corniculada (cartílago aritenoides); 4. Pliegue vestibular; 5. Pliegue vocal; 6. Ventrículo de la laringe; 7. Cartílago tiroideo; 8. Cartílago cricoideo; 9. Tráquea.



**Figura 3.134** - Visión medial de la laringe del mono machín blanco (*Cebus albifrons*). 1. Vestíbulo de la laringe; 2. Parte intercartilaginosa de la glotis; 3. Parte intermembranosa de la glotis; 4. Cavidad infraglotica; 5. Tráquea.



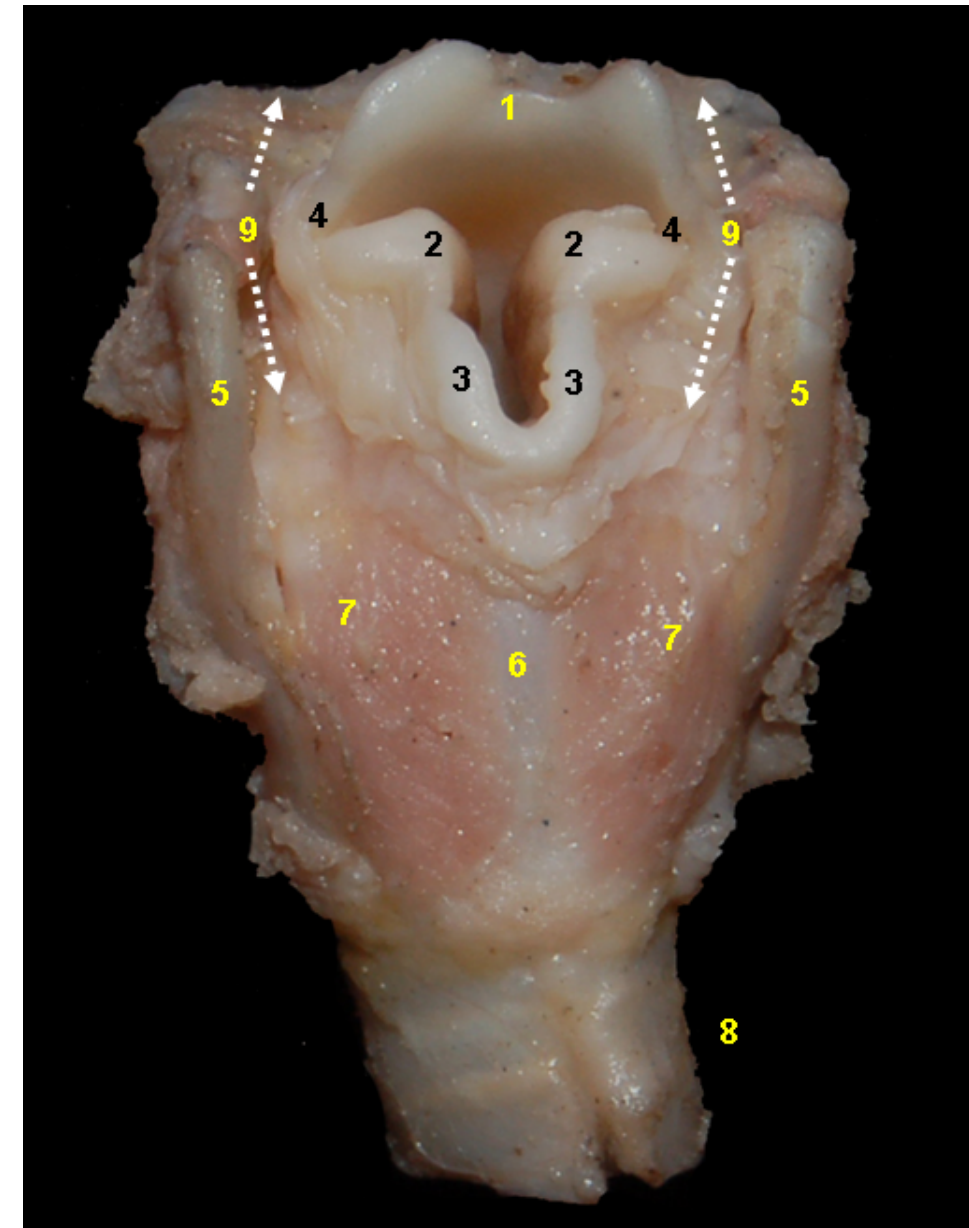
**Figura 3.135** - Visión dorsal del árbol traqueobronquial y lóbulos pulmonares del mono machín blanco (*Cebus albifrons*). 1. Tráquea; 2. Bronquios principales; 3. Pulmón izquierdo; 4. Lóbulo craneal; 5. Lóbulo caudal; 6. Pulmón derecho; 7. Lóbulo craneal; 8. Lóbulo medio; 9. Lóbulo caudal; 10. Lóbulo accesorio. En detalle: corte transversal de la tráquea.



**Figura 3.136** - Visión ventral del árbol traqueobronquial y lóbulos pulmonares del mono machín blanco (*Cebus albifrons*). 1. Tráquea; 2. Bronquios principales; 3. Pulmón derecho; 4. Lóbulo craneal; 5. Lóbulo medio; 6. Lóbulo caudal; 7. Lóbulo accesorio; 8. Pulmón izquierdo; 9. Lóbulo craneal; 10. Lóbulo caudal.

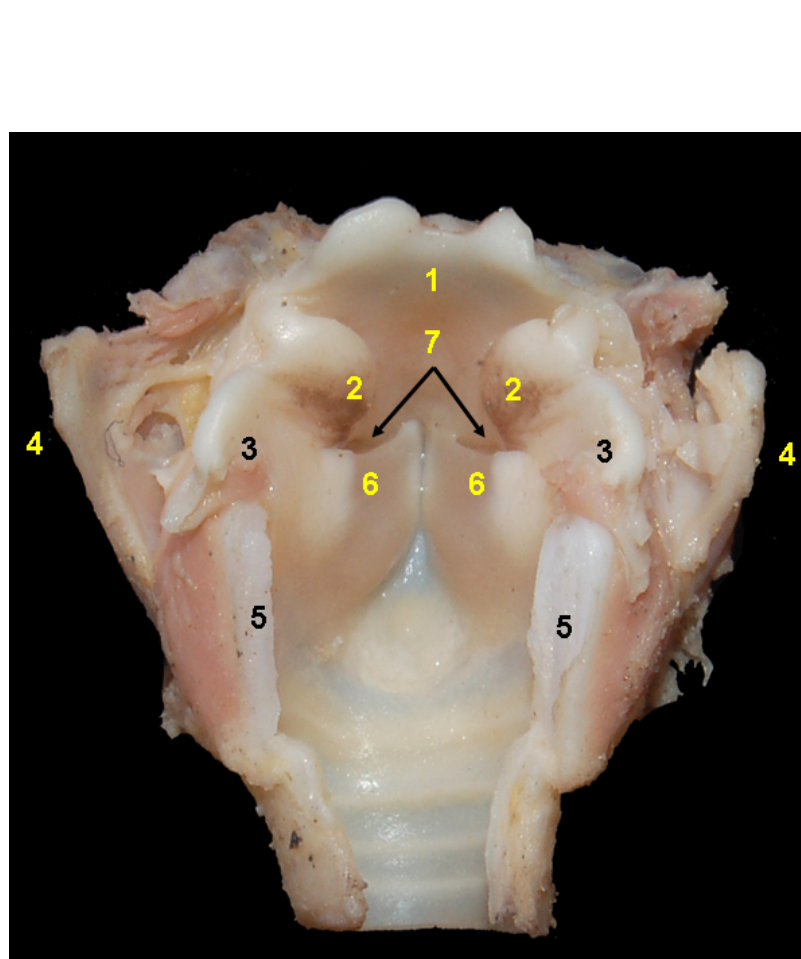


## MONO MACHÍN NEGRO (*Sapajus macrocephalus*)

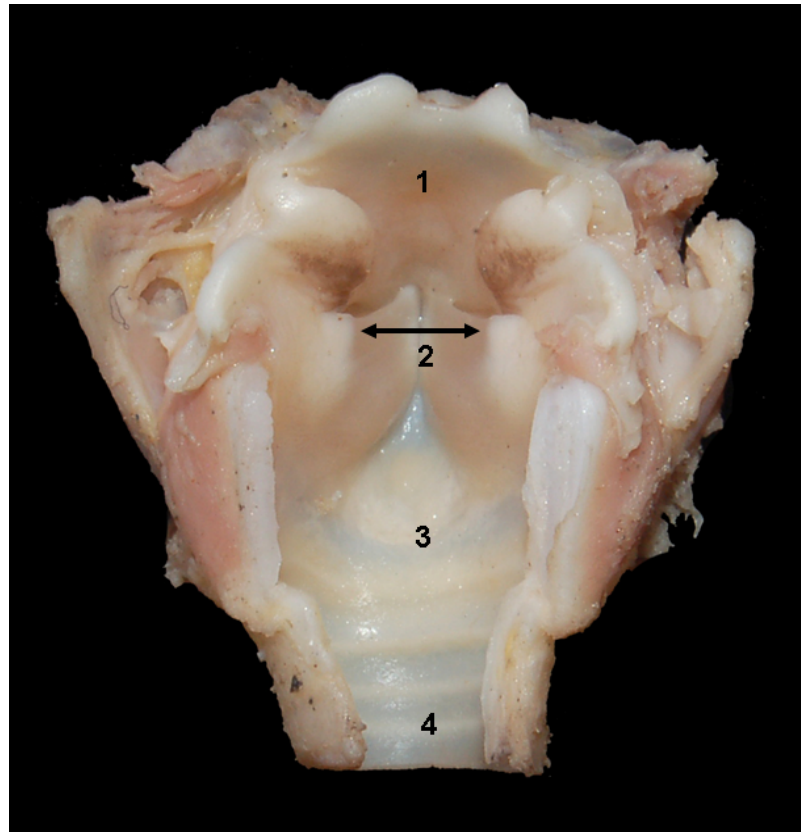


**Figura 3.137** - Visión dorsal de la laringe del mono machín negro (*Sapajus macrocephalus*). 1. Epiglotis; 2. Apófisis cuneiforme (cartílago aritenoides); 3. Apófisis corniculada (cartílago aritenoides); 4. Pliegue ariepliglótico; 5. Cartílago tiroideos; 6. Cartílago cricoides; 7. Músculo cricoaritenideo dorsal; 8. Tráquea; 9. Receso piriforme.

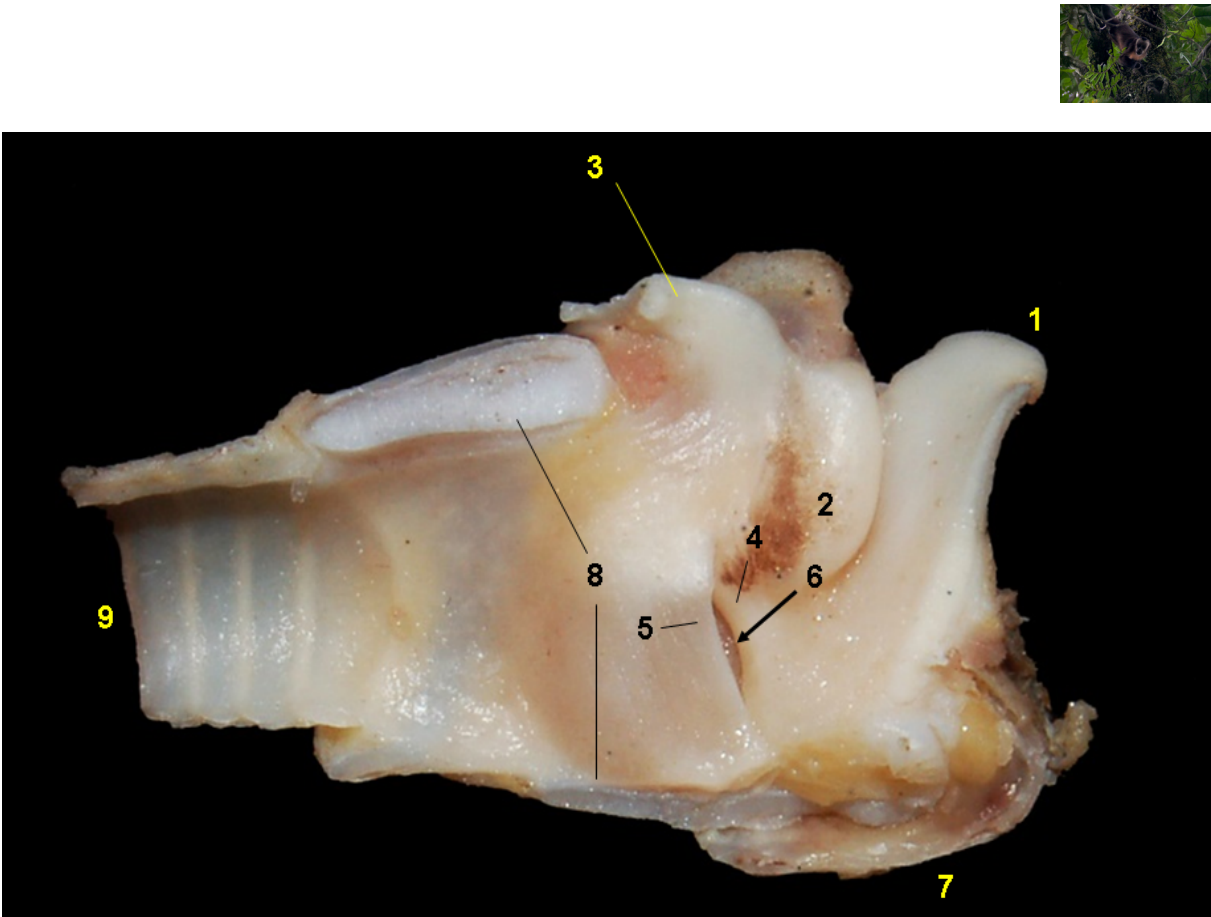




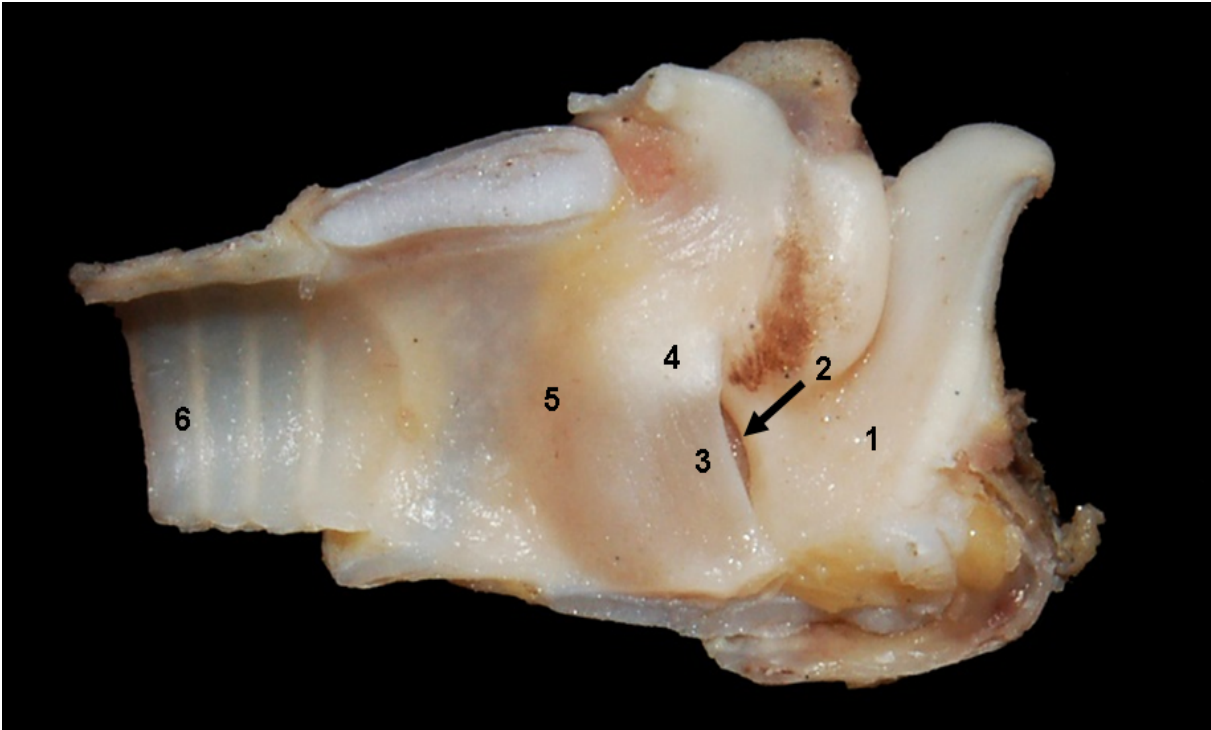
**Figura 3.138** - Visión dorsal de la laringe abierta del mono machín negro (*Sapajus macrocephalus*). La lámina del cartílago cricoides ha sido seccionada dorsalmente. 1. Epiglotis; 2. Apófisis cuneiforme (cartílago aritenoides); 3. Apófisis corniculada (cartílago aritenoides); 4. Cartílago tiroides; 5. Cartílago cricoides; 6. Ligamento vocal; 7. Ventrículo laríngeo; 8. Tráquea.



**Figura 3.139** - Visión dorsal de la laringe abierta del mono machín negro (*Sapajus macrocephalus*). La lámina del cartílago cricoides ha sido seccionada dorsalmente. 1. Vestíbulo laríngeo; 2. Hendidura laríngea; 3. Cavityad infraglótica; 4. Tráquea.

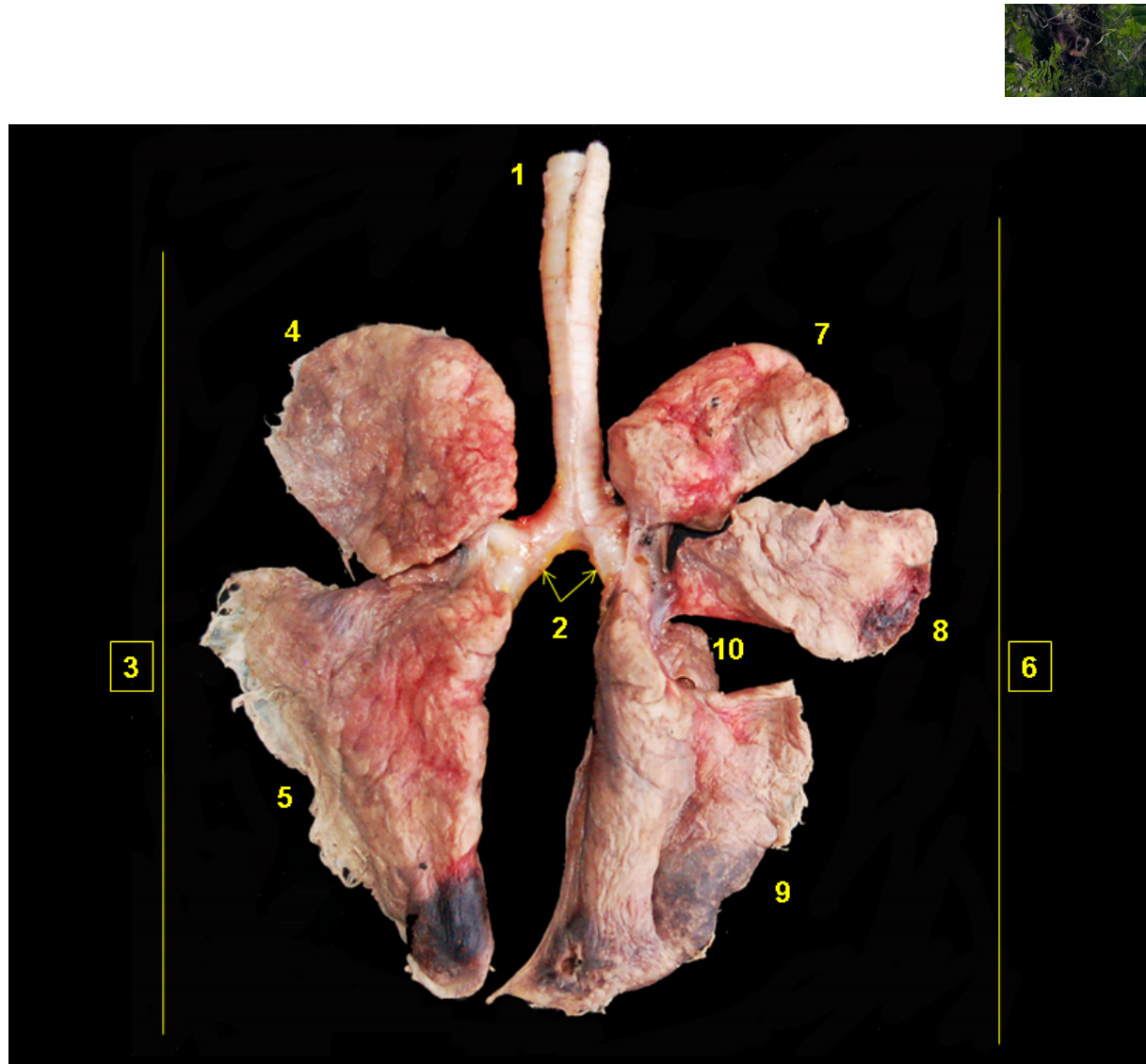


**Figura 3.140** - Visión medial de la laringe del mono machín negro (*Sapajus macrocephalus*). 1. Epiglotis; 2. Apófisis cuneiforme (cartílago aritenoides); 3. Apófisis corniculada (cartílago aritenoides); 4. Pliegue vestibular; 5. Pliegue vocal; 6. Ventrículo de la laringe; 7. Cartílago tiroides; 8. Cartílago cricoides; 9. Tráquea.



**Figura 3.141** - Visión medial de la laringe del mono machín negro (*Sapajus macrocephalus*). 1. Vestíbulo de la laringe; 2. Ventrículo de la laringe; 3. Parte intermembranosa de la glotis; 4. Parte intercartilaginosa de la glotis; 5. Cavityad infraglótica; 6. Tráquea.

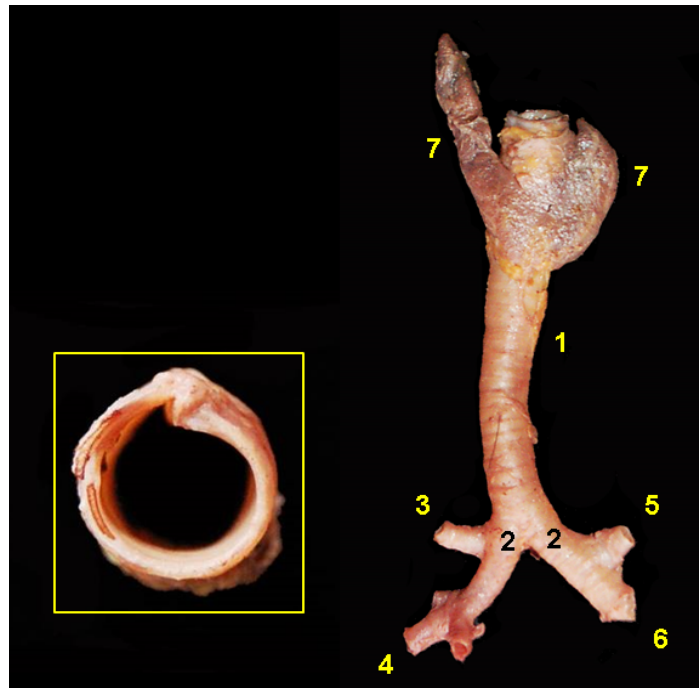




**Figura 3.142** - Visión dorsal del árbol traqueobronquial y lóbulos pulmonares del mono machín negro (*Sapajus macrocephalus*). 1. Tráquea; 2. Bronquios principales; 3. Pulmón izquierdo; 4. Lóbulo craneal; 5. Lóbulo caudal; 6. Pulmón derecho; 7. Lóbulo craneal; 8. Lóbulo medio; 9. Lóbulo caudal; 10. Lóbulo accesorio.

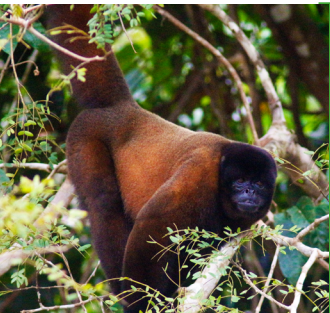


**Figura 3.144** - Visión ventral del árbol traqueobronquial y lóbulos pulmonares del mono machín negro (*Sapajus macrocephalus*). 1. Tráquea; 2. Bronquios principales; 3. Pulmón derecho; 4. Lóbulo craneal; 5. Lóbulo medio; 6. Lóbulo caudal; 7. Lóbulo accesorio; 8. Pulmón izquierdo; 9. Lóbulo craneal; 10. Lóbulo caudal.

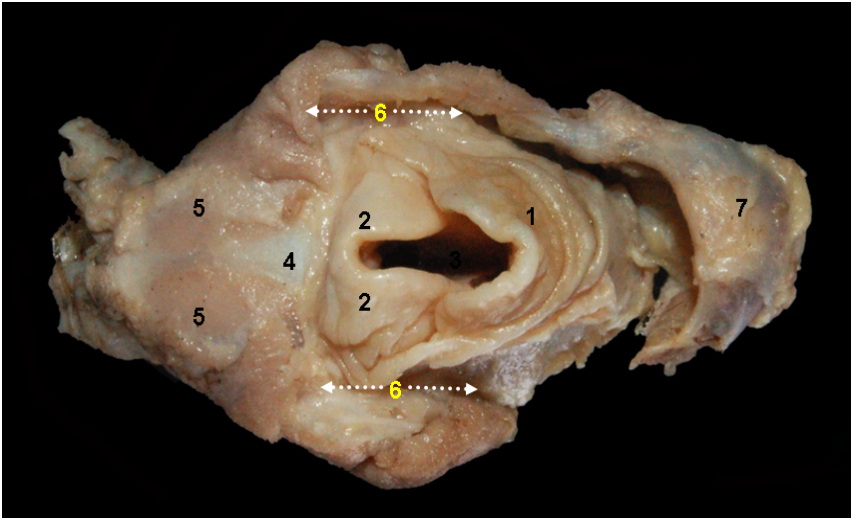


**Figura 3.143** - Visión ventral del árbol traqueobronquial y sección de la tráquea del mono machín negro (*Sapajus macrocephalus*). 1. Tráquea; 2. Bronquios principales; 3. Bronquio del lóbulo craneal del pulmón derecho; 4. Bronquio del lóbulo caudal del pulmón derecho; 5. Bronquio del lóbulo craneal del pulmón izquierdo; 6. Bronquio del lóbulo caudal del pulmón izquierdo; 7. Glándula tiroides. En detalle: corte transversal de la tráquea.

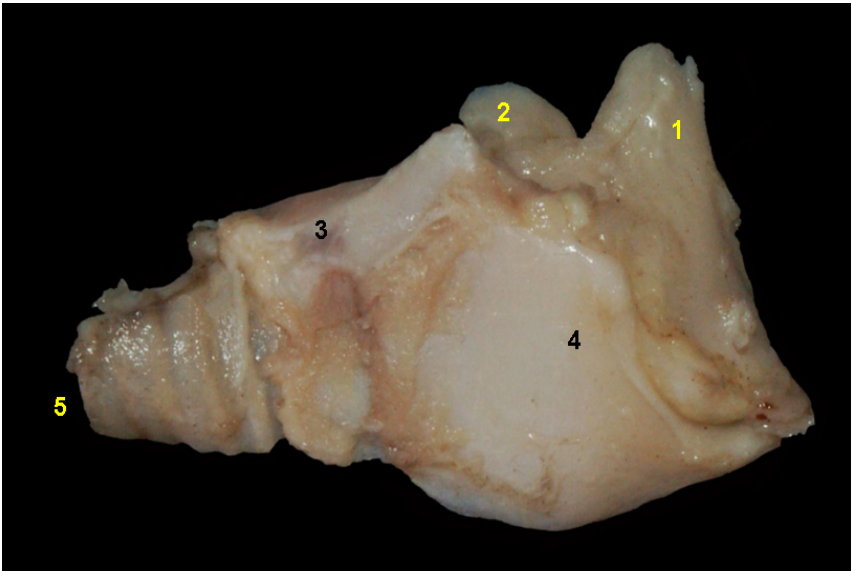




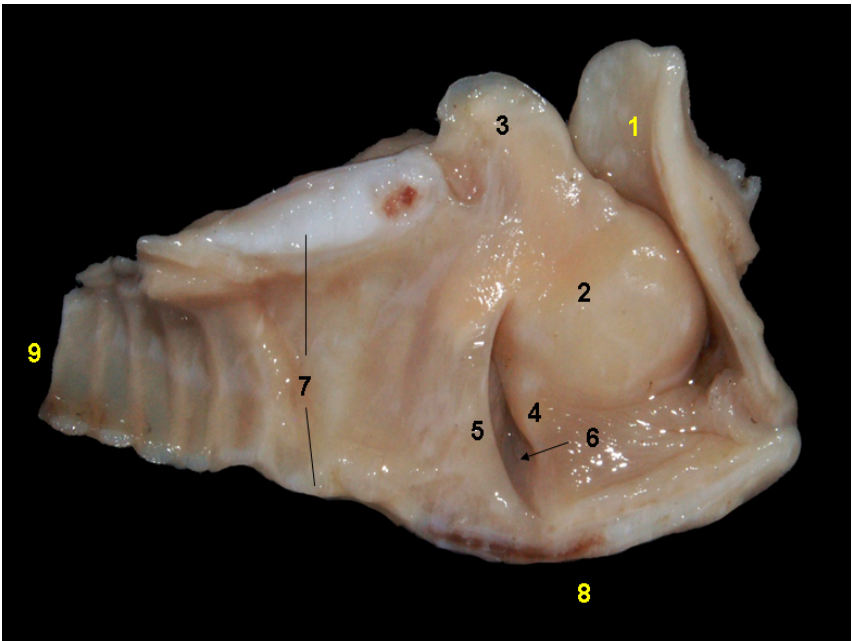
MONO BARRIGUDO  
(*Lagothrix poeppigii*)



**Figura 3.145** - Visión dorsal de la laringe del mono barrigudo (*Lagothrix poeppigii*). 1. Epiglotis; 2. Apófisis corniculada (cartílago aritenoides); 3. Vestíbulo de la laringe; 4. Cartílago cricoides; 5. Músculo cricoaritenoi-deo; 6. Receso piriforme; 7. Aparato hioideo.



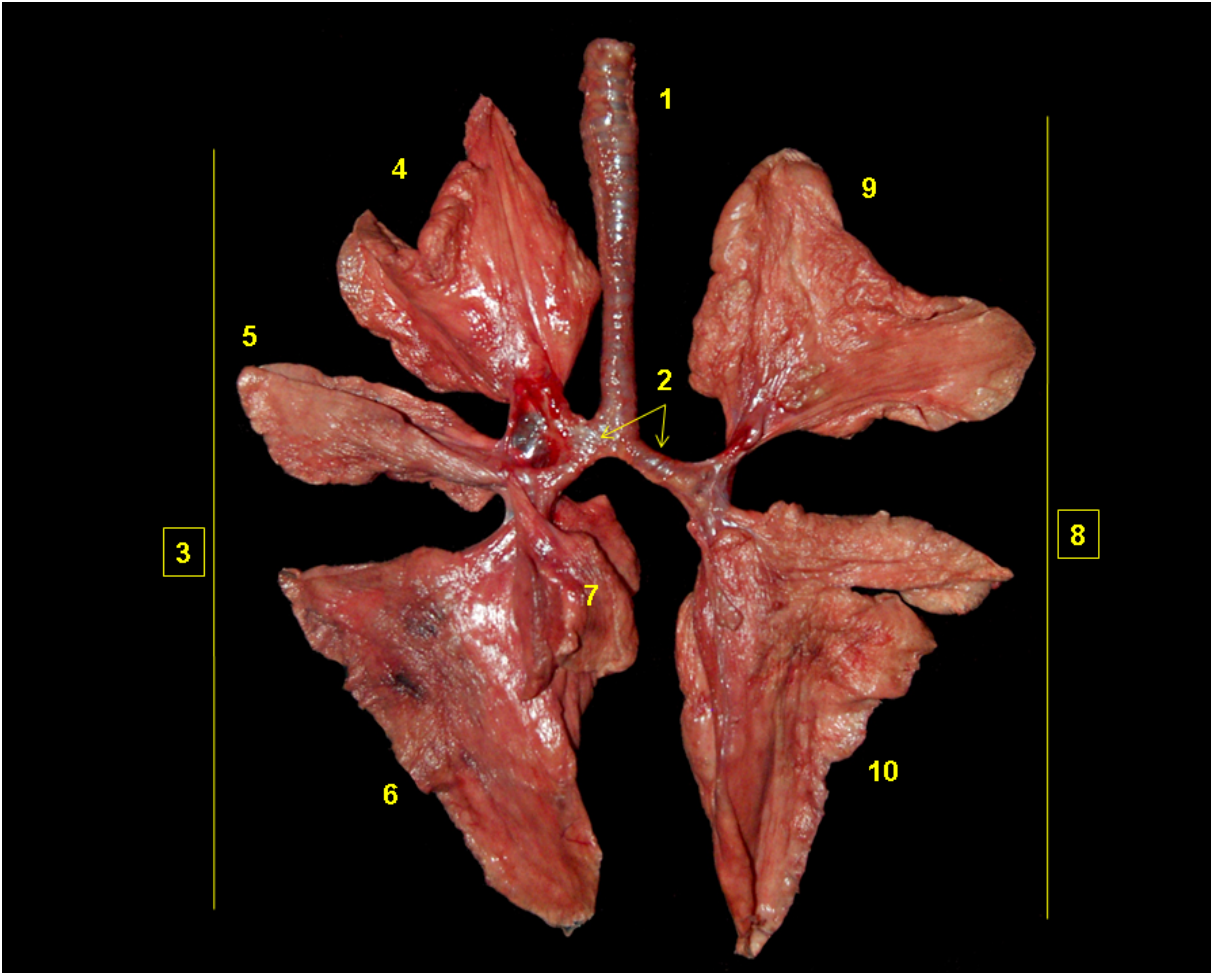
**Figura 3.146** - Visión lateral de la laringe del mono barrigudo (*Lagothrix poeppigii*). 1. Epiglotis; 2. Cartílago aritenoides (Apófisis corniculada); 3. Cartílago cricoides; 4. Cartílago tiroi-des; 5. Tráquea.



**Figura 3.147** - Visión medial de la laringe del mono barrigudo (*Lagothrix poeppigii*). 1. Epiglotis; 2. Apófisis cuneiforme (cartílago aritenoides); 3. Apófisis corniculada (cartílago aritenoides); 4. Pliegue vestibular; 5. Pliegue vocal; 6. Ventrículo la-ríngeo; 7. Cartílago cri-coides; 8. Cartílago tiroi-des; 9. Tráquea.



**Figura 3.148** - Visión dorsal del árbol traqueobronquial y lóbulos pulmonares del mono barrigudo (*Lagothrix poeppigii*). 1. Tráquea; 2. Bronquios principales; 3. Pulmón izquierdo; 4. Lóbulo craneal; 5. Lóbulo caudal; 6. Pulmón derecho; 7. Lóbulo craneal; 8. Lóbulo medio; 9. Lóbulo caudal; 10. Lóbulo accesorio. En detalle: corte transversal de la tráquea.

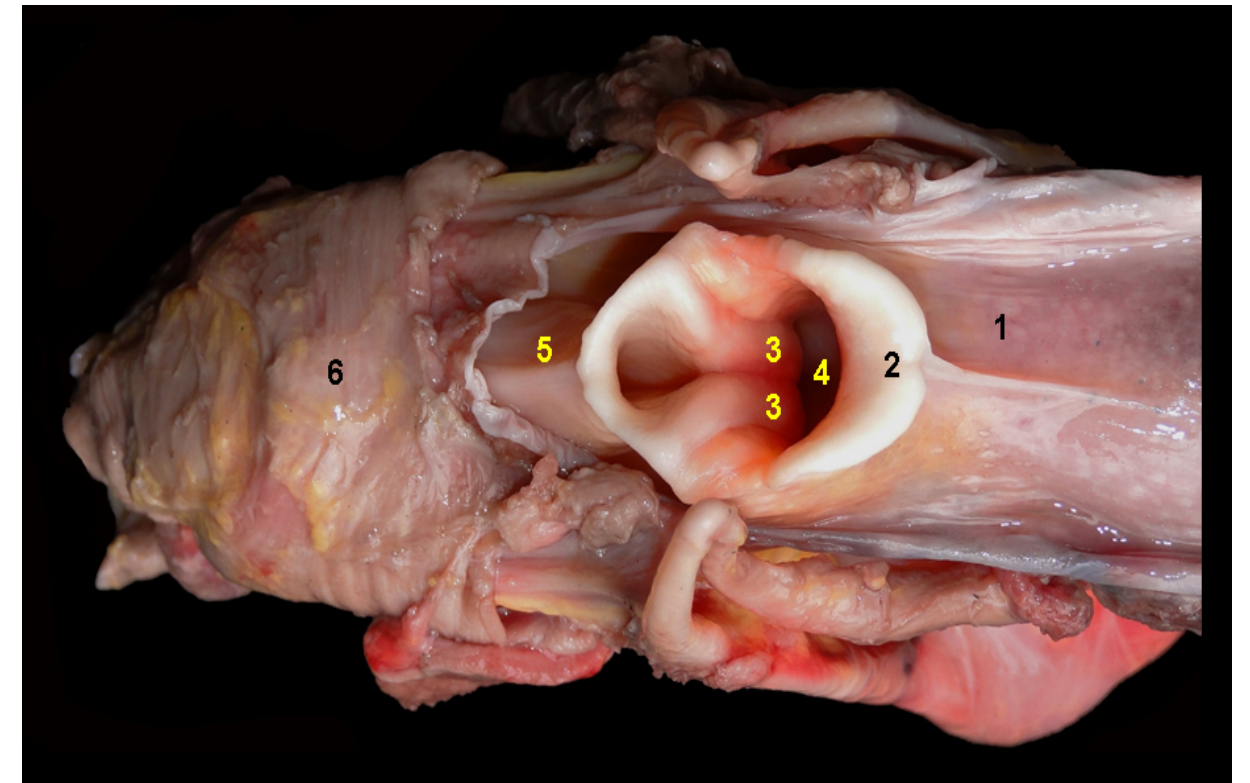


**Figura 3.149** - Visión ventral del árbol traqueobronquial y lóbulos pulmonares del mono barrigudo (*Lagothrix poeppigii*). 1. Tráquea; 2. Bronquios principales; 3. Pulmón derecho; 4. Lóbulo craneal; 5. Lóbulo medio; 6. Lóbulo caudal; 7. Lóbulo accesorio; 8. Pulmón izquierdo; 9. Lóbulo craneal; 10. Lóbulo caudal.

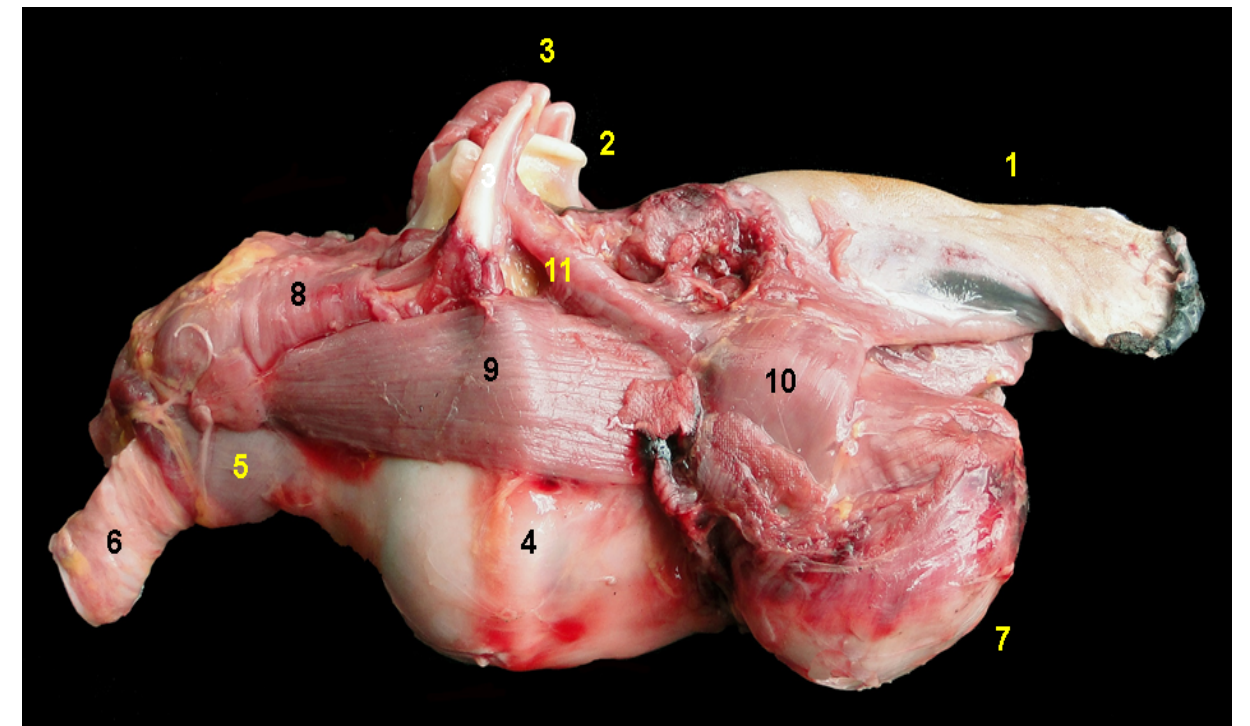




## MONO AULLADOR (*Alouatta seniculus*)



**Figura 3.150** - Visión dorsal de la laringofaringe y la laringe del macho mono aullador (*Alouatta seniculus*). 1. Raíz de la lengua; 2. Epiglotis; 3. Cartílago aritenoides; 4. Vestíbulo laríngeo; 5. Laringofaringe; 6. Esófago.

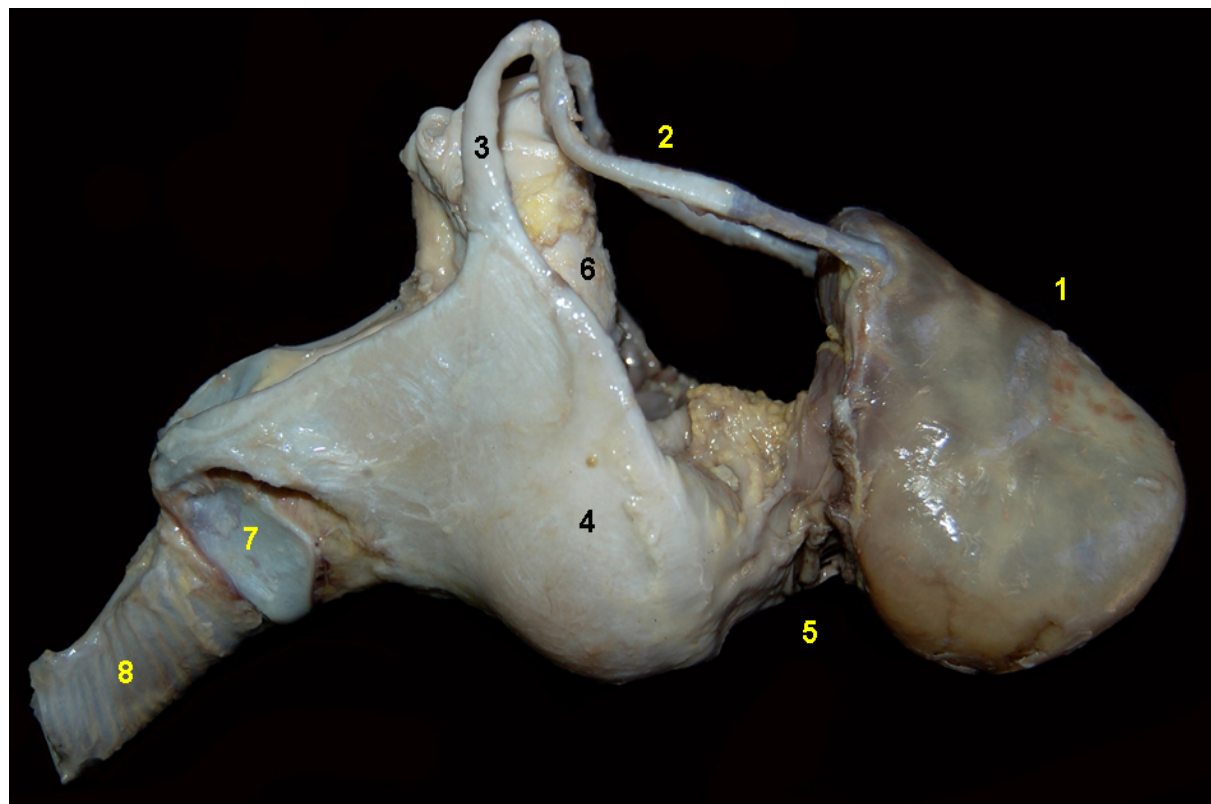


**Figura 3.151** - Visión lateral de la laringe y de la lengua del macho mono aullador (*Alouatta seniculus*). 1. Lengua; 2. Epiglotis; 3. Asta superior del cartílago tiroides; 4. Cartílago tiroides; 5. Cartílago cricoides; 6. Tráquea; 7. Basihioides; 8. Músculos constrictores de faringe; 9. Músculo tirohioideo; 10. Músculo hiogloso; 11. Músculo estilohioideo.

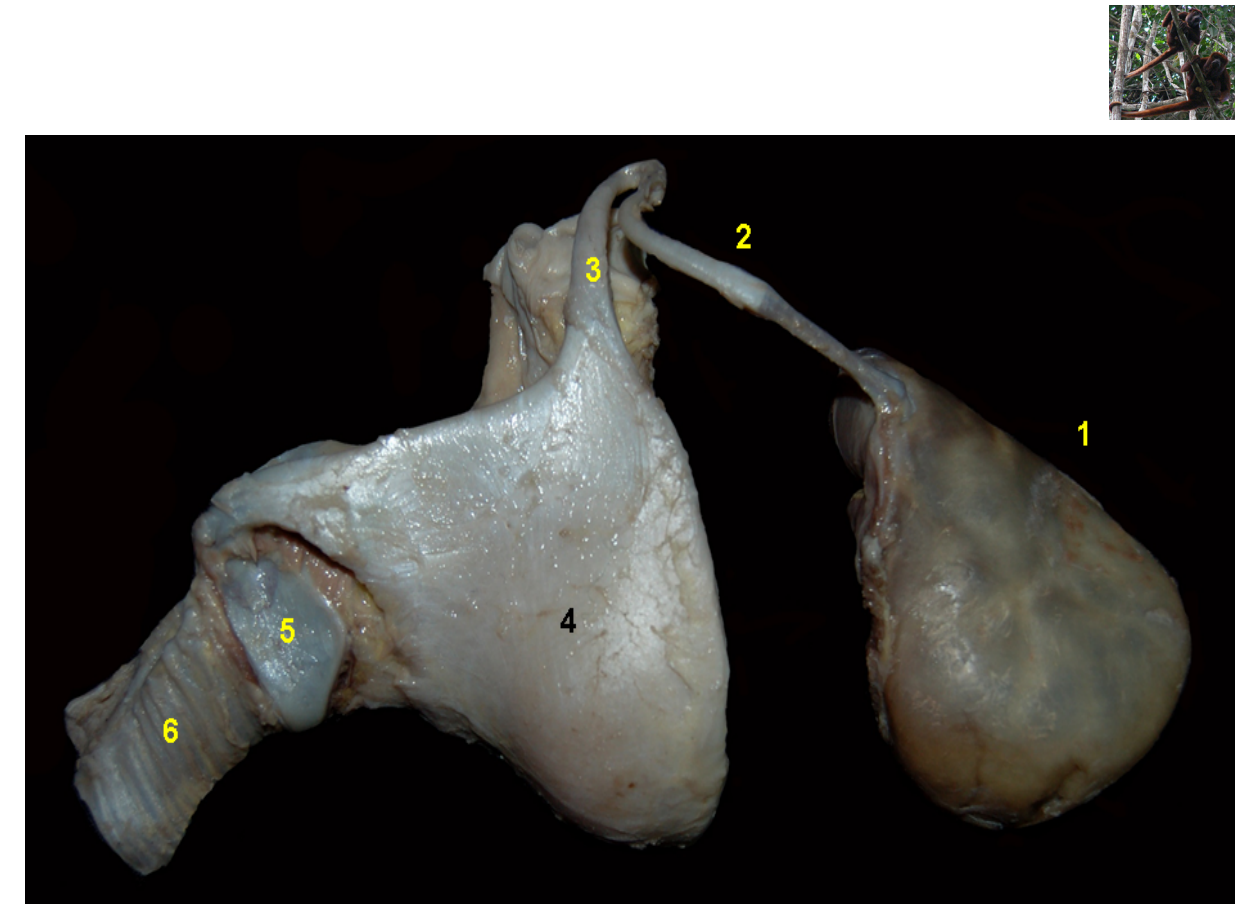




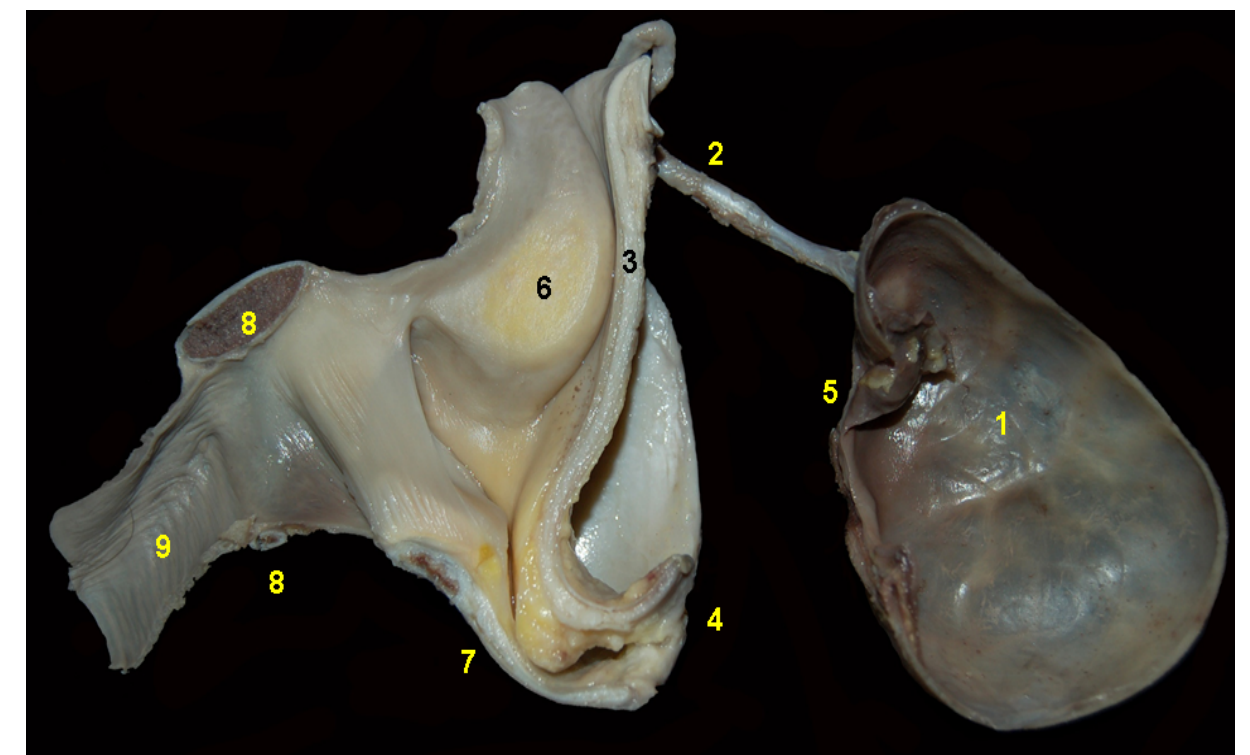
**Figura 3.152** - Visión lateral de la laringe y del hioides del macho mono aullador (*Alouatta seniculus*). 1. Basihioides; 2. Tirohioides; 3. Cartílago tiroides; 4. Asta superior del cartílago tiroides; 5. Comunicación laringo-hioidea; 6. Epiglottis; 7. Cartílago cricoides; 8. Tráquea.



**Figura 3.153** - Visión lateral de la laringe y del hioides del macho mono aullador (*Alouatta seniculus*). 1. Basihioides; 2. Tirohioides; 3. Asta superior del cartílago tiroides; 4. Cartílago tiroides; 5. Comunicación laringo-hioidea; 6. Epiglottis; 7. Cartílago cricoides; 8. Tráquea.

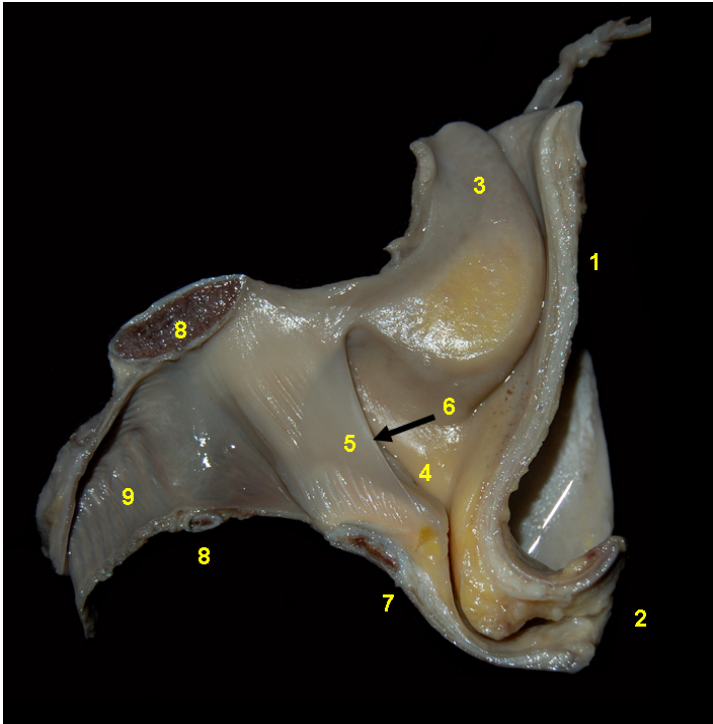


**Figura 3.154** - Visión lateral de la laringe y del hioides del macho mono aullador (*Alouatta seniculus*). 1. Basihioides; 2. Tirohioides; 3. Asta superior del cartílago tiroides; 4. Cartílago tiroides; 5. Cartílago cricoides; 6. Tráquea.

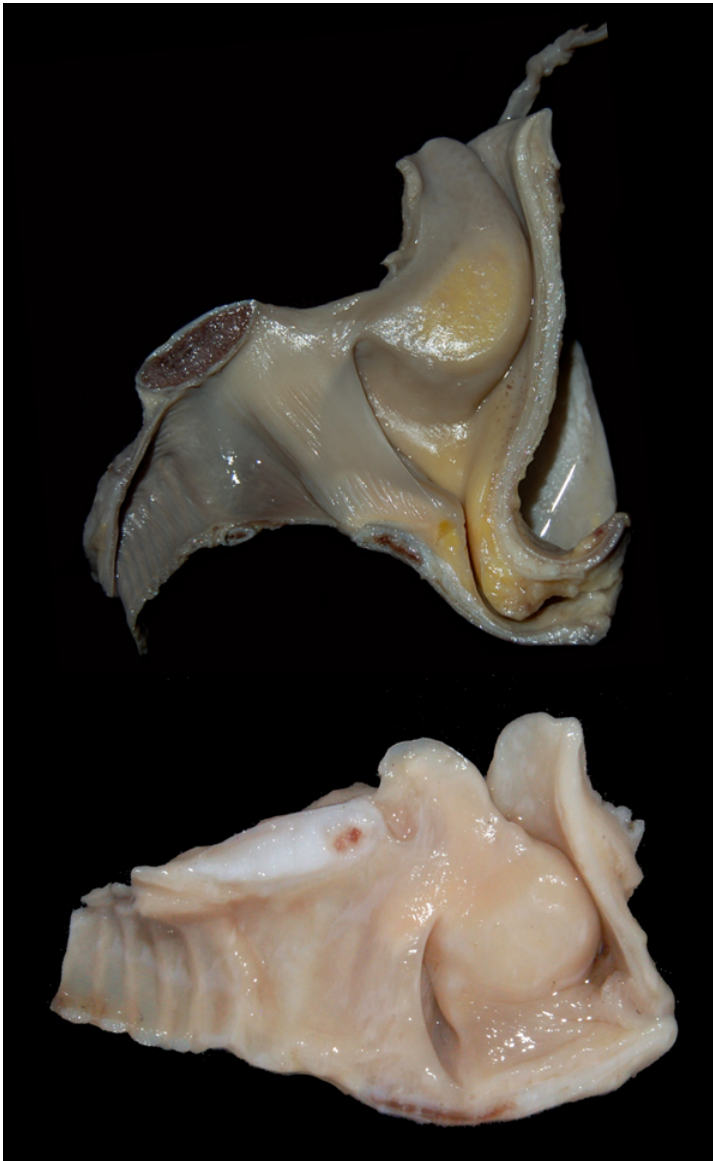


**Figura 3.155** - Visión medial de la laringe y del hioides del macho mono aullador (*Alouatta seniculus*). 1. Basihioides; 2. Tirohioides; 3. Epiglottis; 4. Abertura de la comunicación laringo-hioidea; 5. Abertura de la cavidad hioidea; 6. Cartílago aritenoides; 7. Cartílago tiroides; 8. Cartílago cricoides; 9. Tráquea.

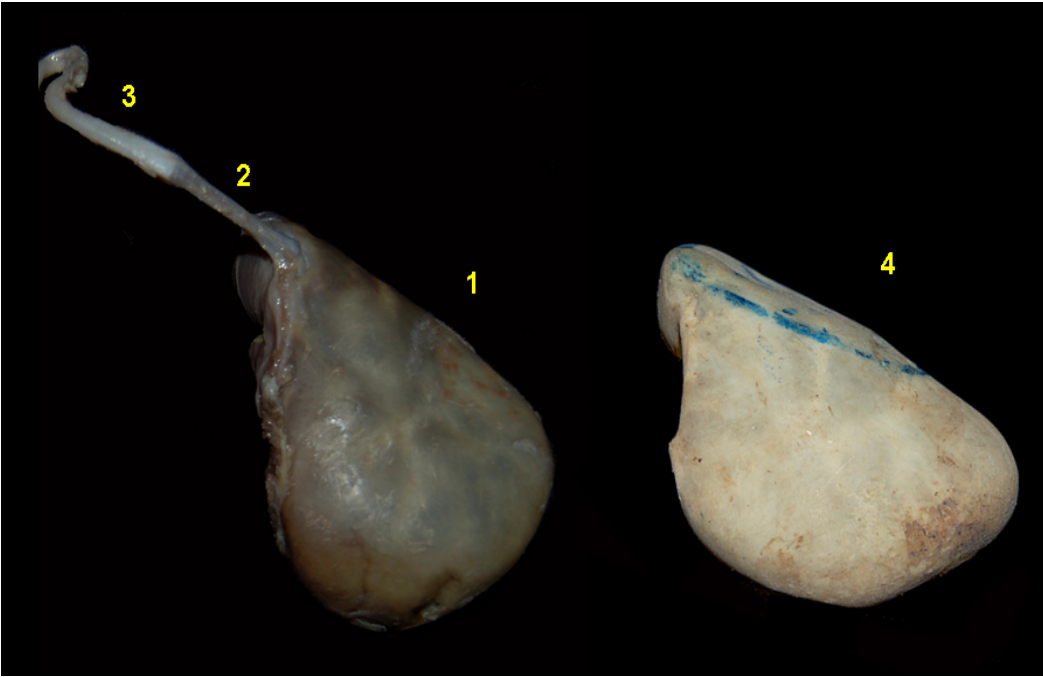




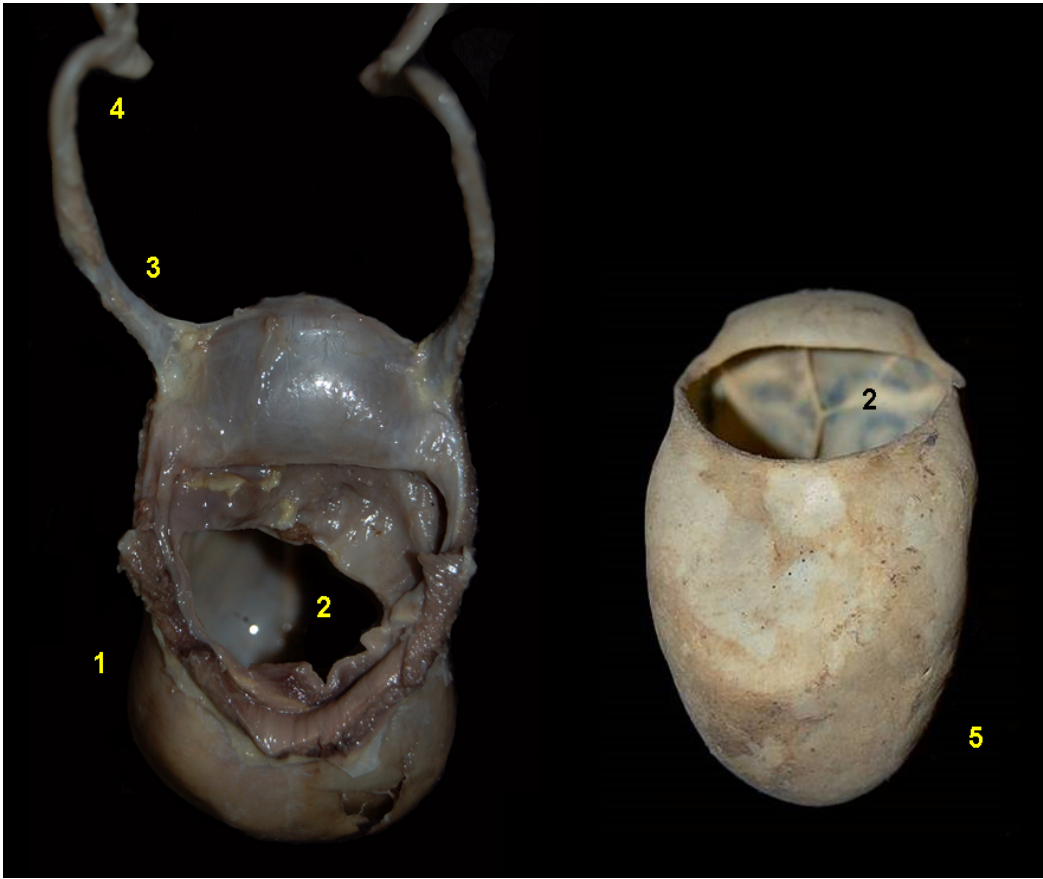
**Figura 3.156** - Visión medial de la laringe del macho mono aullador (*Alouatta seniculus*). 1. Epiglotis; 2. Abertura a la comunicación laringo-hioidea; 3. Apófisis corniculada (cartílago aritenoides); 4. Pliegue vestibular; 5. Pliegue vocal; 6. Ventrículo de la laringe; 7. Cartílago tiroides; 8. Cartílago cricoides; 9. Tráquea.



**Figura 3.157** - Imagen comparativa de la laringe (visión medial) del macho mono aullador (*Alouatta seniculus*) y del mono barrigudo (*Lagothrix poeppigii*).

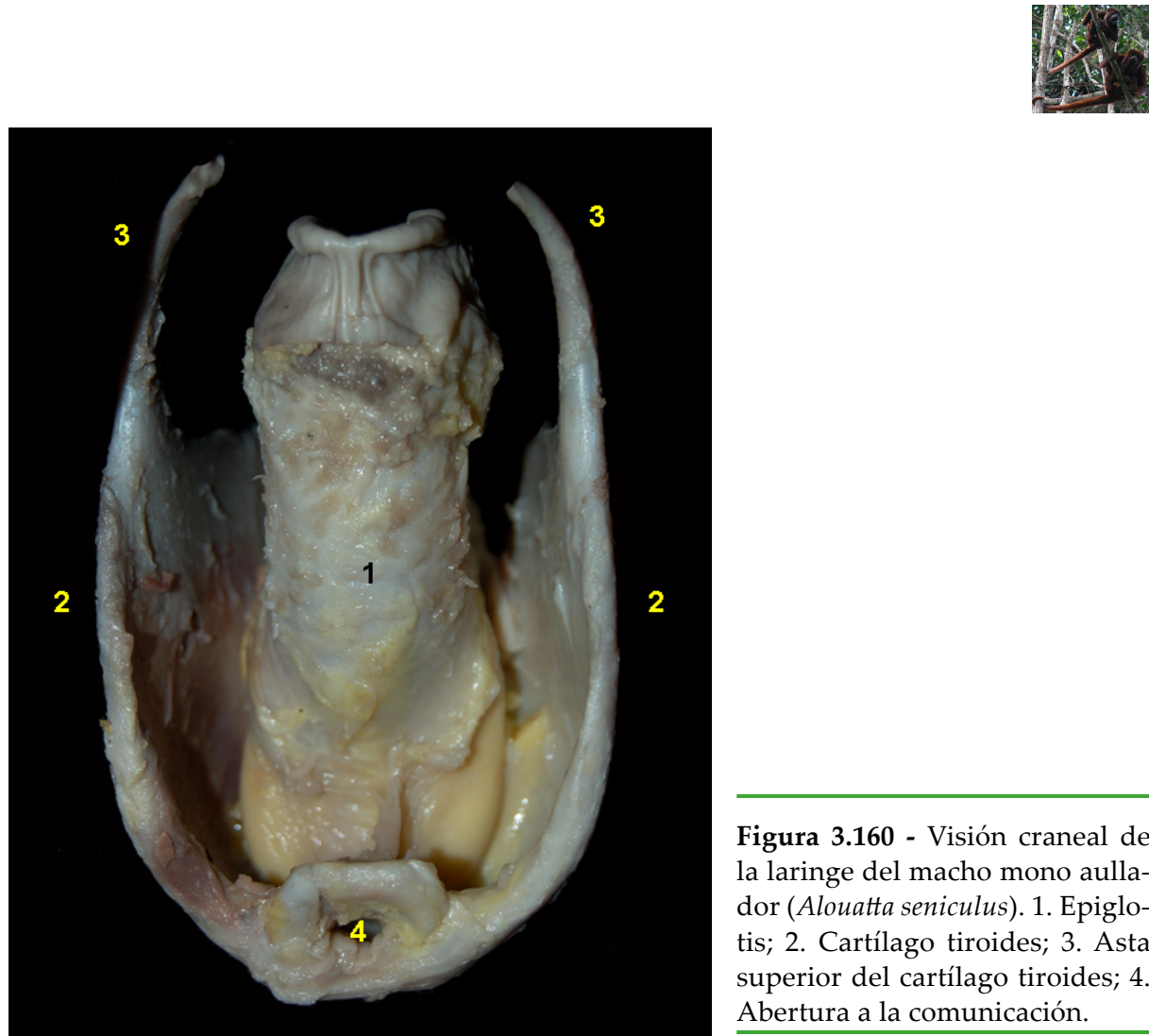


**Figura 3.158** - Visión lateral del hioides del macho mono aullador (*Alouatta seniculus*). 1. Basihioides; 2. Asta mayor del hioides; 3. Tirohioides; 4. Estructura ósea del basihioides.

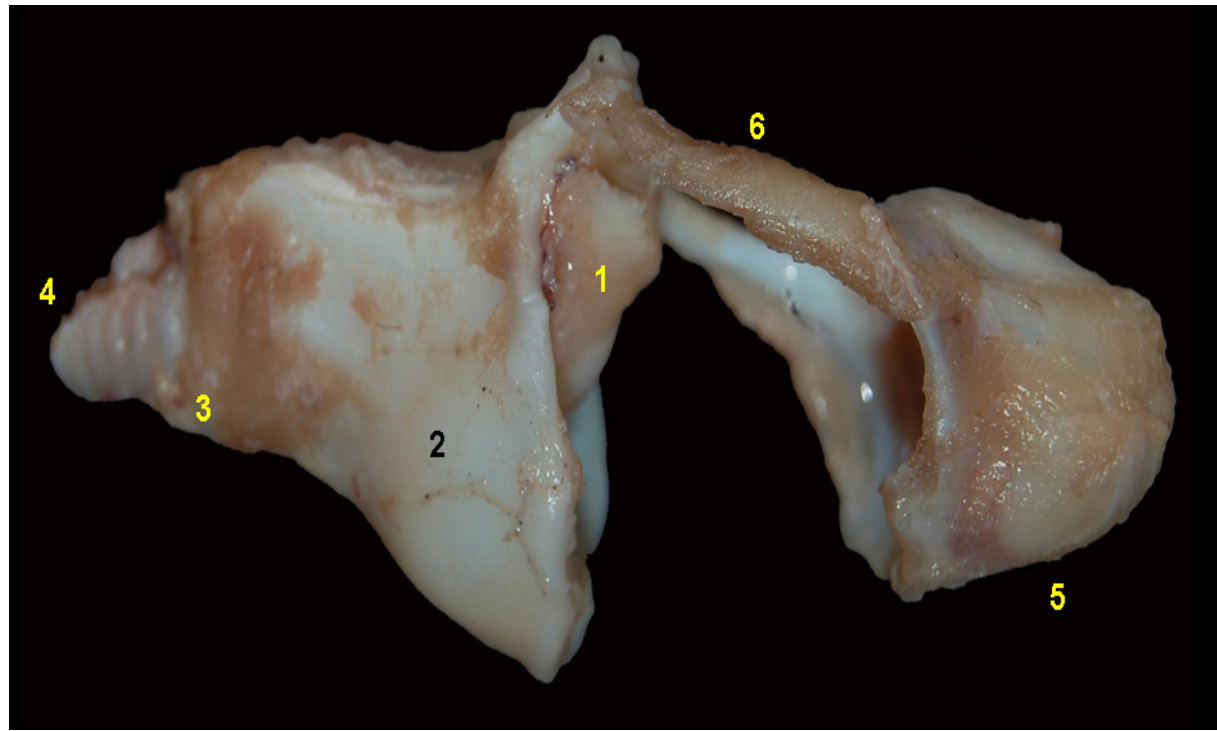


**Figura 3.159** - Visión caudal del hioides del macho mono aullador (*Alouatta seniculus*). 1. Basihioides; 2. Cavidad hioidea; 3. Asta mayor del hioides; 4. Tirohioides; 5. Estructura ósea del basihioides.

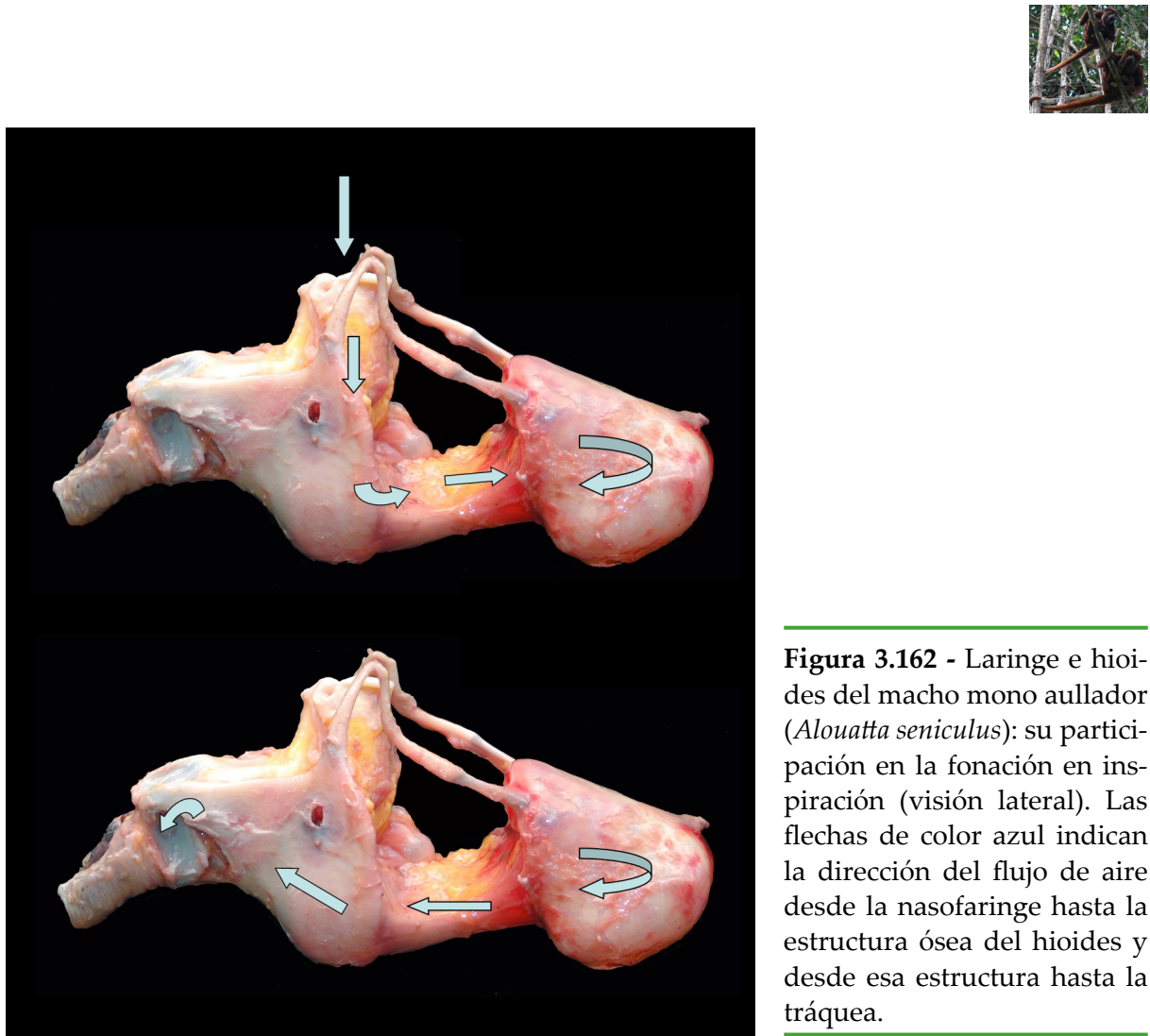




**Figura 3.160** - Visión craneal de la laringe del macho mono aullador (*Alouatta seniculus*). 1. Epiglotis; 2. Cartílago tiroides; 3. Asta superior del cartílago tiroides; 4. Abertura a la comunicación.



**Figura 3.161** - Visión lateral de la laringe y del hioides de un individuo joven de mono aullador (*Alouatta seniculus*). 1. Epiglotis; 2. Cartílago tiroides; 3. Cartílago cricoides; 4. Tráquea; 5. Basihioides; 6. Tirohioides.

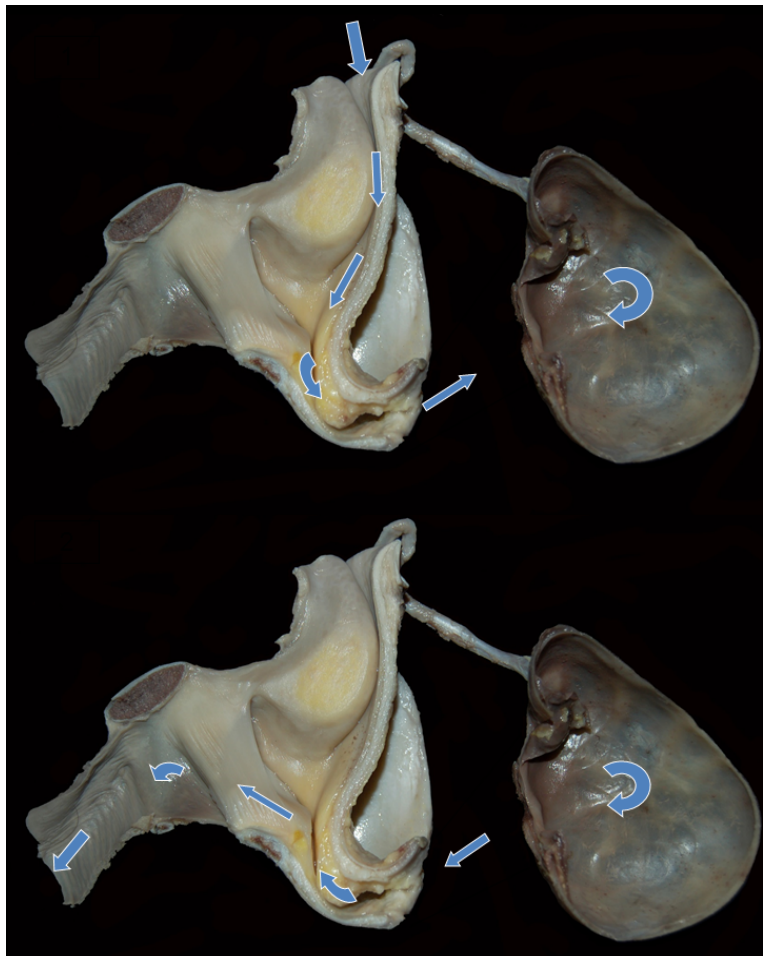


**Figura 3.162** - Laringe e hioides del macho mono aullador (*Alouatta seniculus*); su participación en la fonación en inspiración (visión lateral). Las flechas de color azul indican la dirección del flujo de aire desde la nasofaringe hasta la estructura ósea del hioides y desde esa estructura hasta la tráquea.

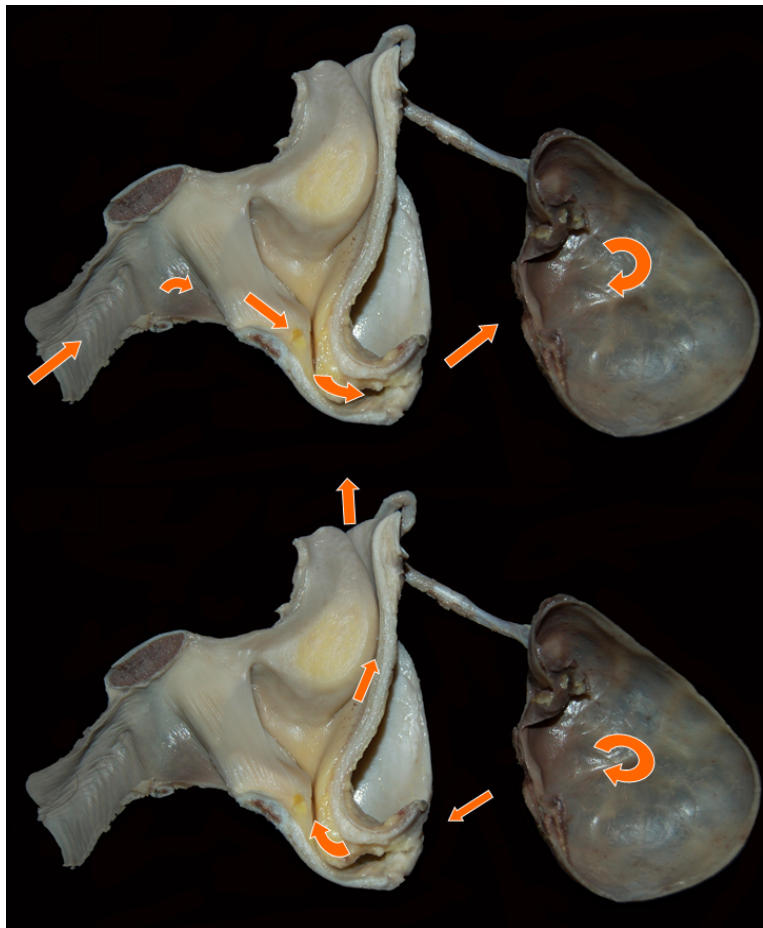


**Figura 3.163** - Laringe e hioides del macho mono aullador (*Alouatta seniculus*); su participación en la fonación en espiración (visión lateral). Las flechas de color naranja indican la dirección del flujo de aire desde la tráquea hasta la estructura ósea del hioides y desde esa estructura hasta la nasofaringe.

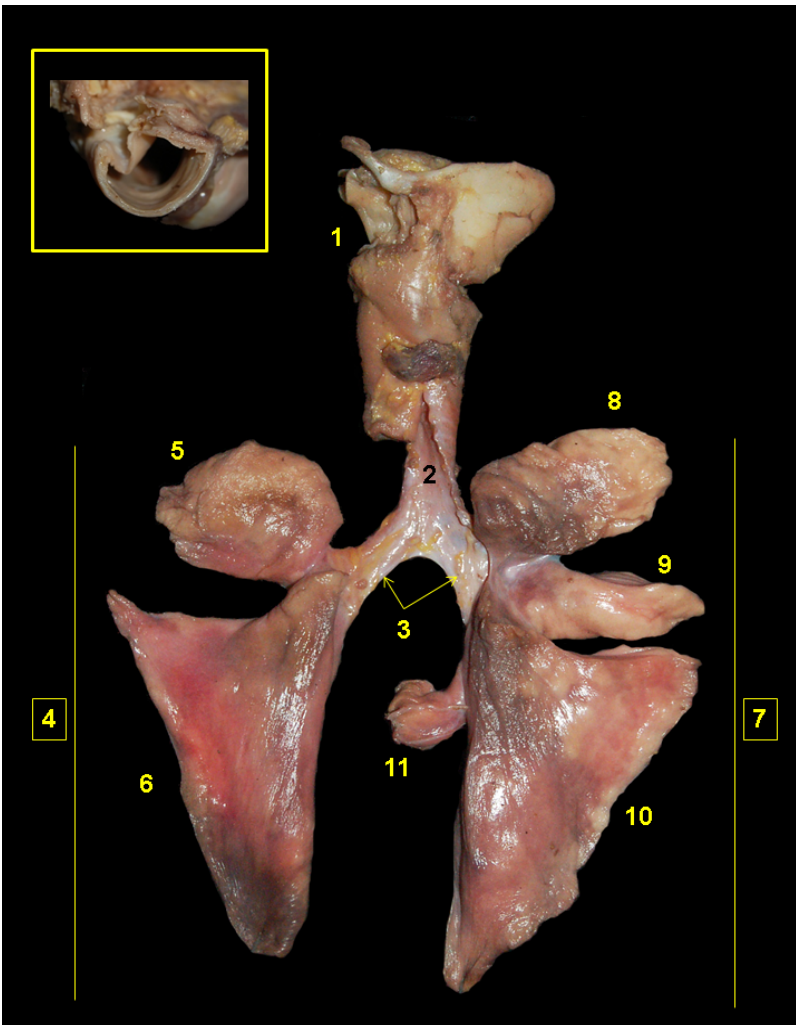




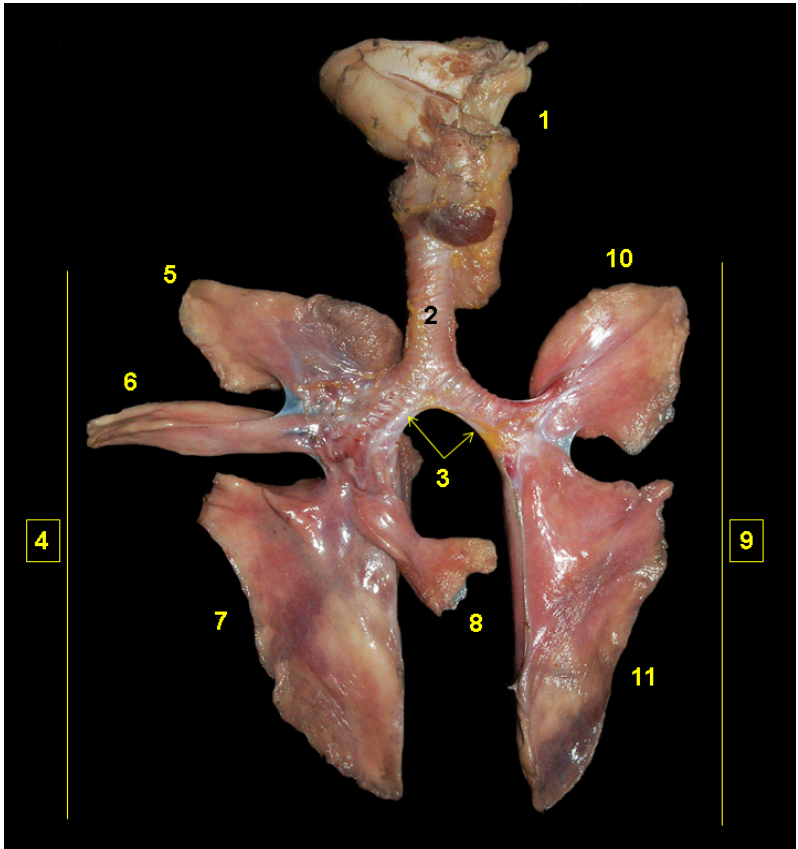
**Figura 3.164** - Laringe e hioides del macho mono aullador (*Alouatta seniculus*): su participación en la fonación en inspiración (visión medial). Las flechas de color azul indican la dirección del flujo de aire desde la nasofaringe hasta la estructura ósea del hioides y desde esa estructura hasta la tráquea.



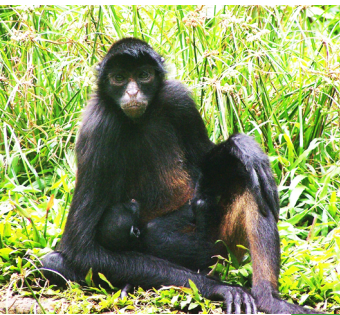
**Figura 3.165** - Laringe e hioides del macho mono aullador (*Alouatta seniculus*): su participación en la fonación en espiración (visión medial). Las flechas de color naranja indican la dirección del flujo de aire desde la tráquea hasta la estructura ósea del hioides y desde esa estructura hasta la nasofaringe.



**Figura 3.166** - Visión dorsal del árbol traqueobronquial y pulmones del mono aullador (*Alouatta seniculus*). 1. Laringe; 2. Tráquea; 3. Bronquios principales; 4. Pulmón izquierdo; 5. Lóbulo craneal; 6. Lóbulo caudal; 7. Pulmón derecho; 8. Lóbulo craneal; 9. Lóbulo medio; 10. Lóbulo caudal; 11. Lóbulo accesorio. En detalle, corte transversal de la tráquea.



**Figura 3.167** - Visión ventral del árbol traqueobronquial y pulmones del mono aullador (*Alouatta seniculus*). 1. Laringe; 2. Tráquea; 3. Bronquios principales; 4. Pulmón derecho; 5. Lóbulo craneal; 6. Lóbulo medio; 7. Lóbulo caudal; 8. Lóbulo accesorio; 9. Pulmón izquierdo; 10. Lóbulo craneal; 11. Lóbulo caudal.



## MONO ARAÑA (*Ateles chamek*)

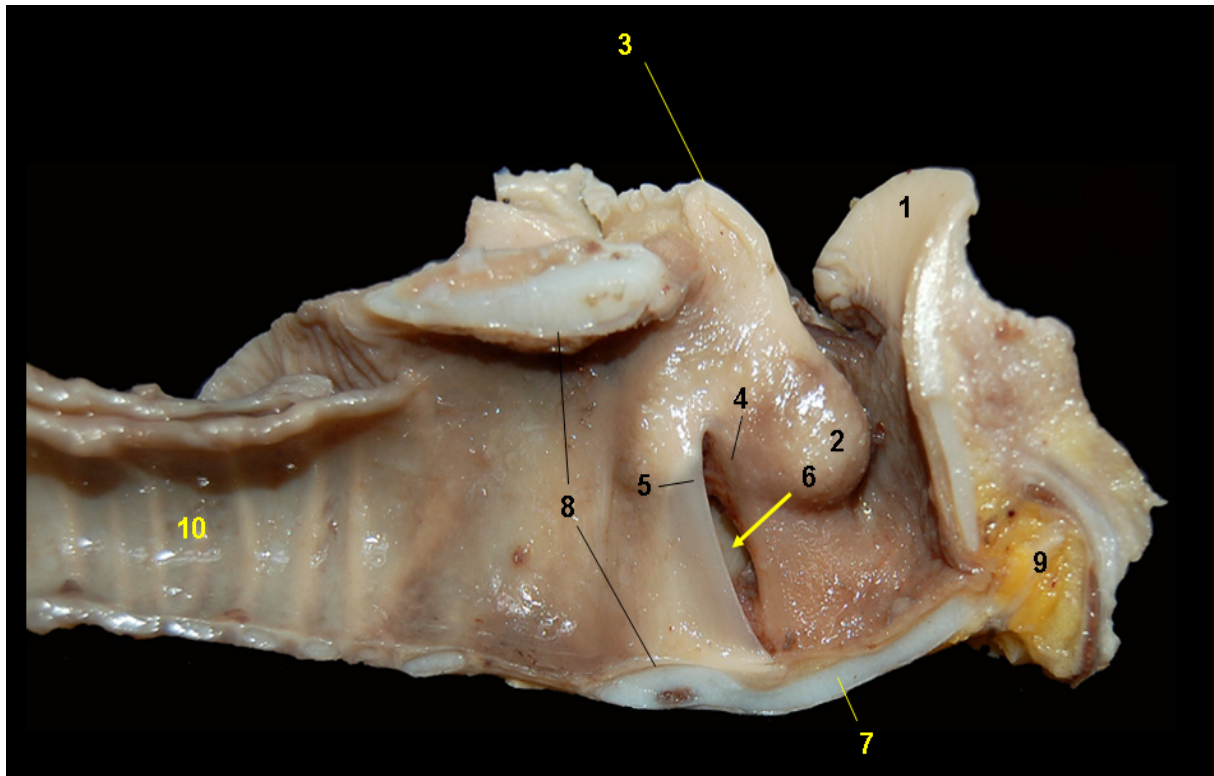


**Figura 3.168** - Visión dorsal de la laringo-faringe y la laringe del mono araña (*Ateles chamek*). 1. Raíz de la lengua; 2. Epiglotis; 3. Receso piriforme; 4. Tráquea.

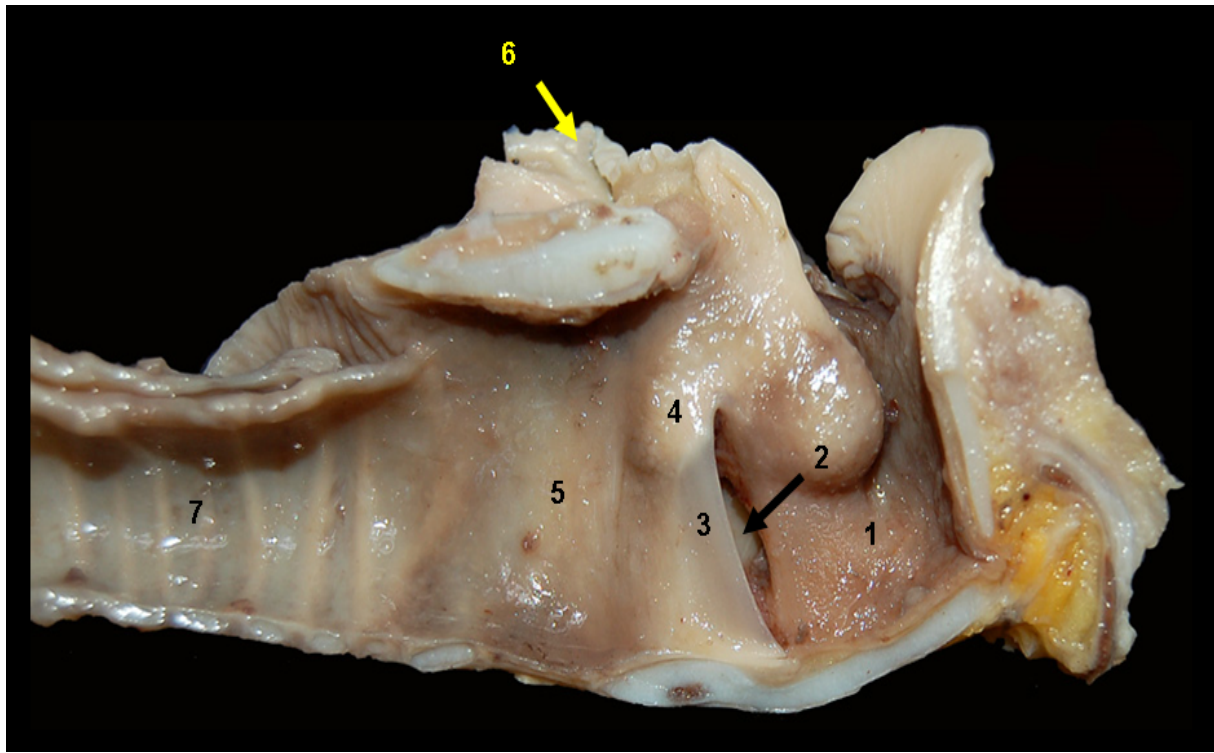


**Figura 3.169** - Visión dorsal de la laringo-faringe y la laringe del mono araña (*Ateles chamek*). 1. Raíz de la lengua; 2. Epiglotis; 3. Apófisis cuneiforme (cartílago aritenoides); 4. Apófisis corniculada (cartílago aritenoides); 5. Pliegue ariepiglótico; 6. Vestíbulo de la laringe; 7. Laringofaringe; 8. Tráquea.

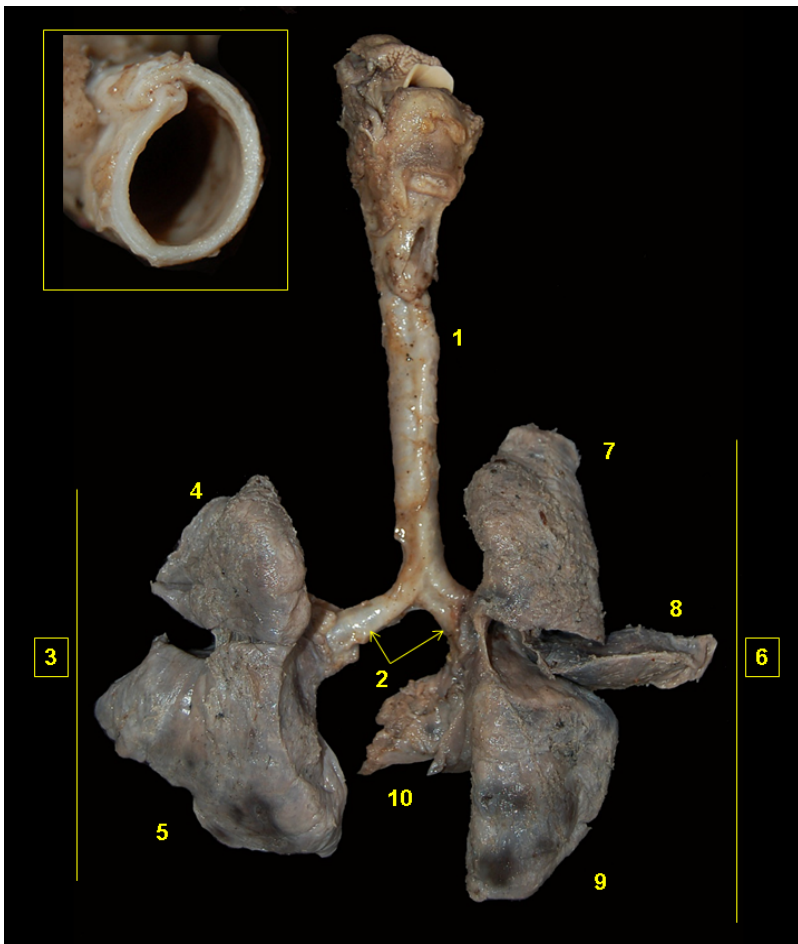




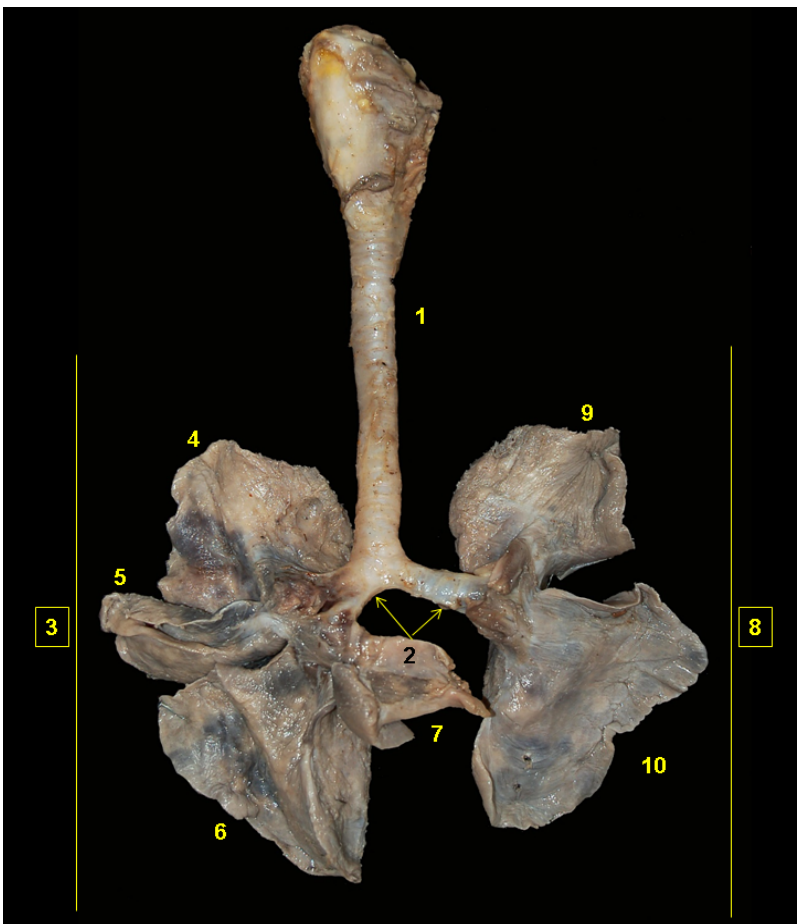
**Figura 3.170** - Visión medial de la laringe del mono araña (*Ateles chamek*). 1. Epiglotis; 2. Apófisis cuneiforme (cartílago aritenoides); 3. Apófisis corniculada (cartílago aritenoides); 4. Pliegue vestibular; 5. Pliegue vocal; 6. Ventrículo de la laringe; 7. Cartílago tiroides; 8. Cartílago cricoides; 9. Hueso hioides (basihioides); 10. Tráquea.



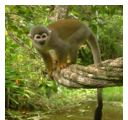
**Figura 3.171** - Visión medial de la laringe del mono araña (*Ateles chamek*). 1. Vestíbulo de la laringe; 2. Ventrículo de la laringe; 3. Parte intermembranosa de la glotis; 4. Parte intercartilaginosa de la glotis; 5. Cavity infraglotica; 6. Laringofaringe; 7. Tráquea.



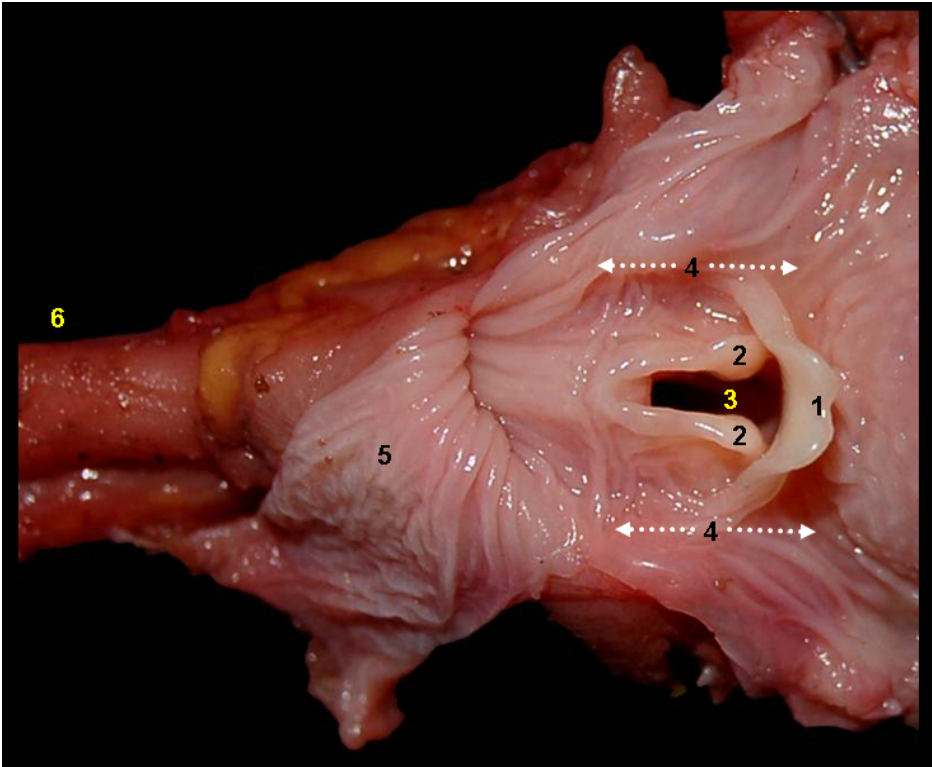
**Figura 3.172** - Visión dorsal del árbol traqueobronquial y lóbulos pulmonares del mono araña (*Ateles chamek*). 1. Tráquea; 2. Bronquios principales; 3. Pulmón izquierdo; 4. Lóbulo craneal; 5. Lóbulo caudal; 6. Pulmón derecho; 7. Lóbulo craneal; 8. Lóbulo medio; 9. Lóbulo caudal; 10. Lóbulo accesorio. En detalle: corte transversal de la tráquea.



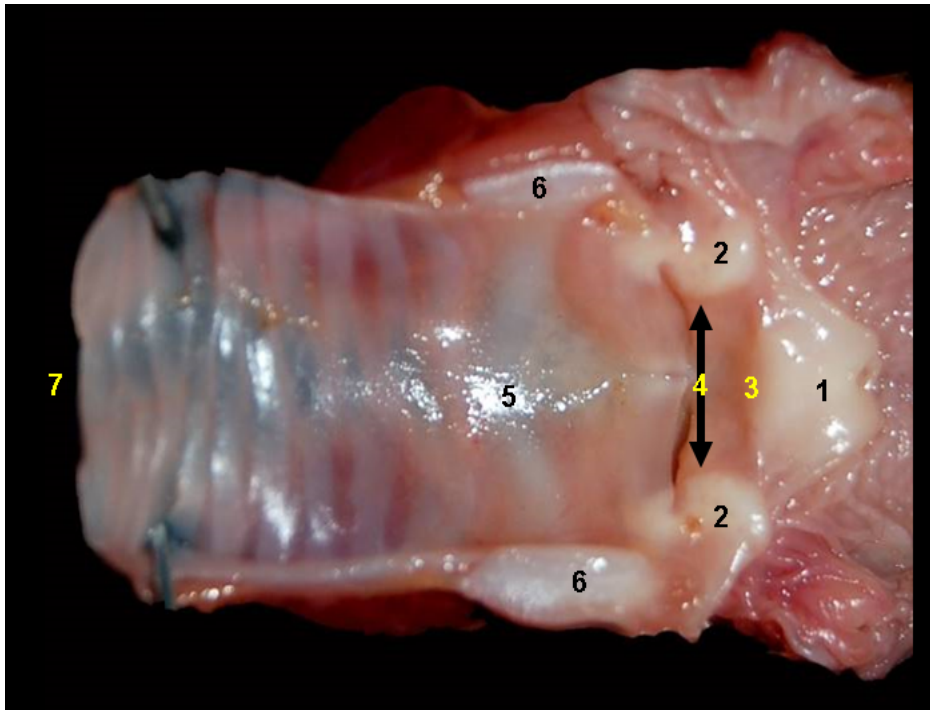
**Figura 3.173** - Visión ventral del árbol traqueobronquial y lóbulos pulmonares del mono araña (*Ateles chamek*). 1. Tráquea; 2. Bronquios principales; 3. Pulmón derecho; 4. Lóbulo craneal; 5. Lóbulo medio; 6. Lóbulo caudal; 7. Lóbulo accesorio; 8. Pulmón izquierdo; 9. Lóbulo craneal; 10. Lóbulo caudal.



**MONO FRAILE**  
*(Saimiri macrodon)*

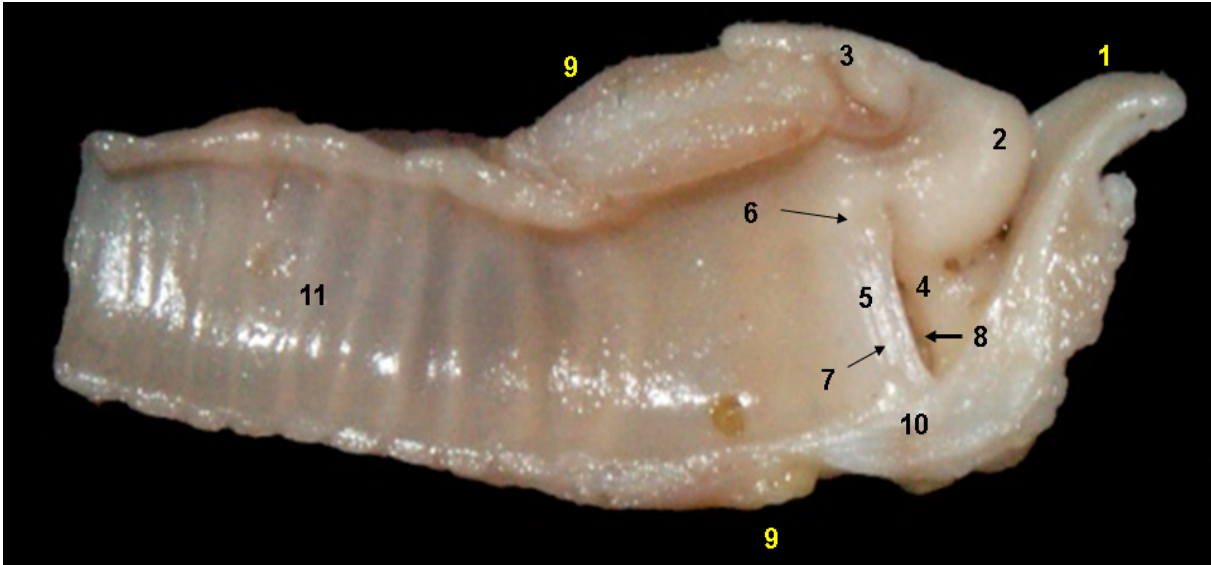


**Figura 3.174** - Visión dorsal de la laringofaringe y la laringe del mono fraile (*Saimiri macrodon*). 1. Epiglotis; 2. Apófisis corniculada (cartílago aritenoides); 3. Vestíbulo de la laringe; 4. Receso piriforme; 5. Laringofaringe; 6. Tráquea.

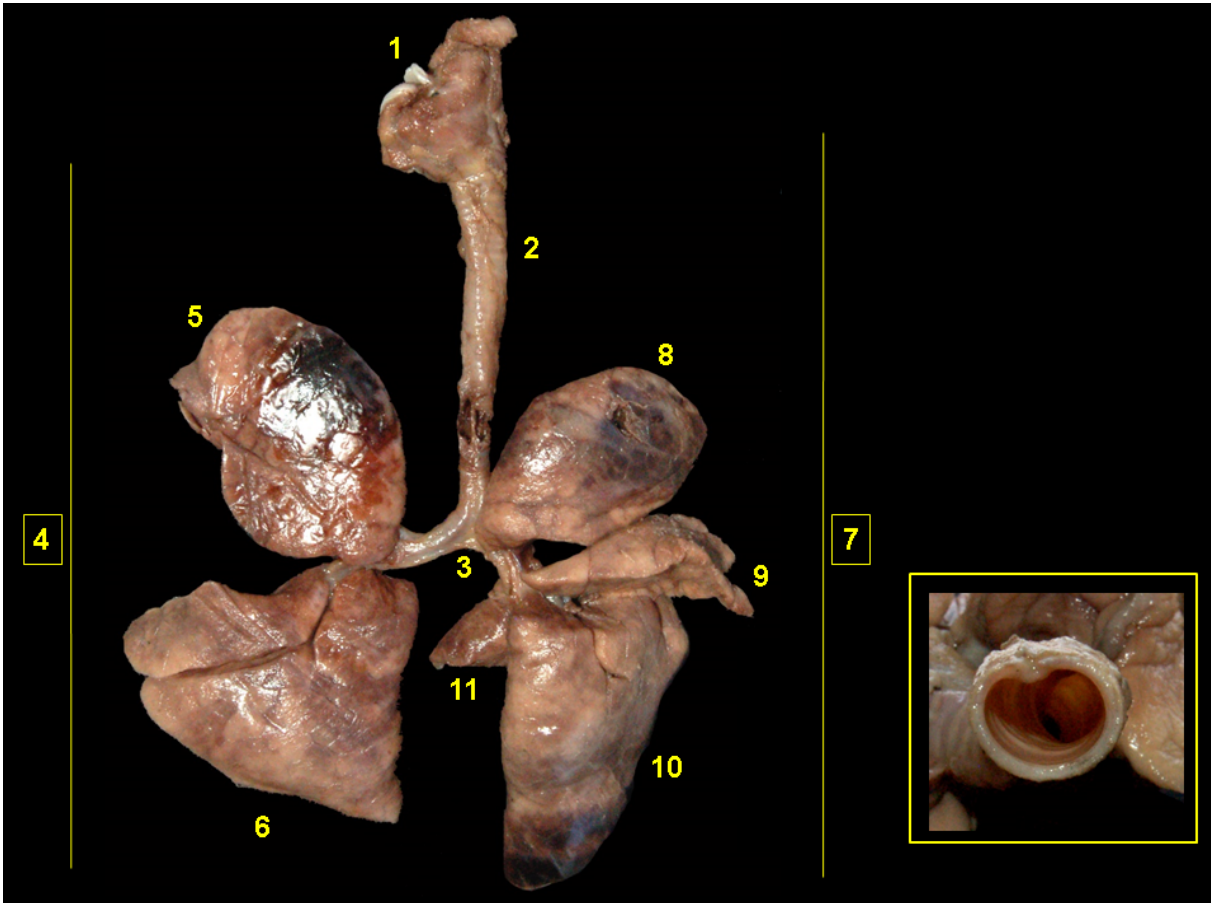


**Figura 3.175** - Visión dorsal de la laringe del mono fraile (*Saimiri macrodon*). La lámina del cartílago cricoides ha sido seccionada dorsalmente. 1. Epiglotis; 2. Cartílago aritenoides; 3. Vestíbulo de la laringe; 4. Hendidura de la glotis; 5. Cavidad infraglotica; 6. Cartílago cricoides; 7. Tráquea.

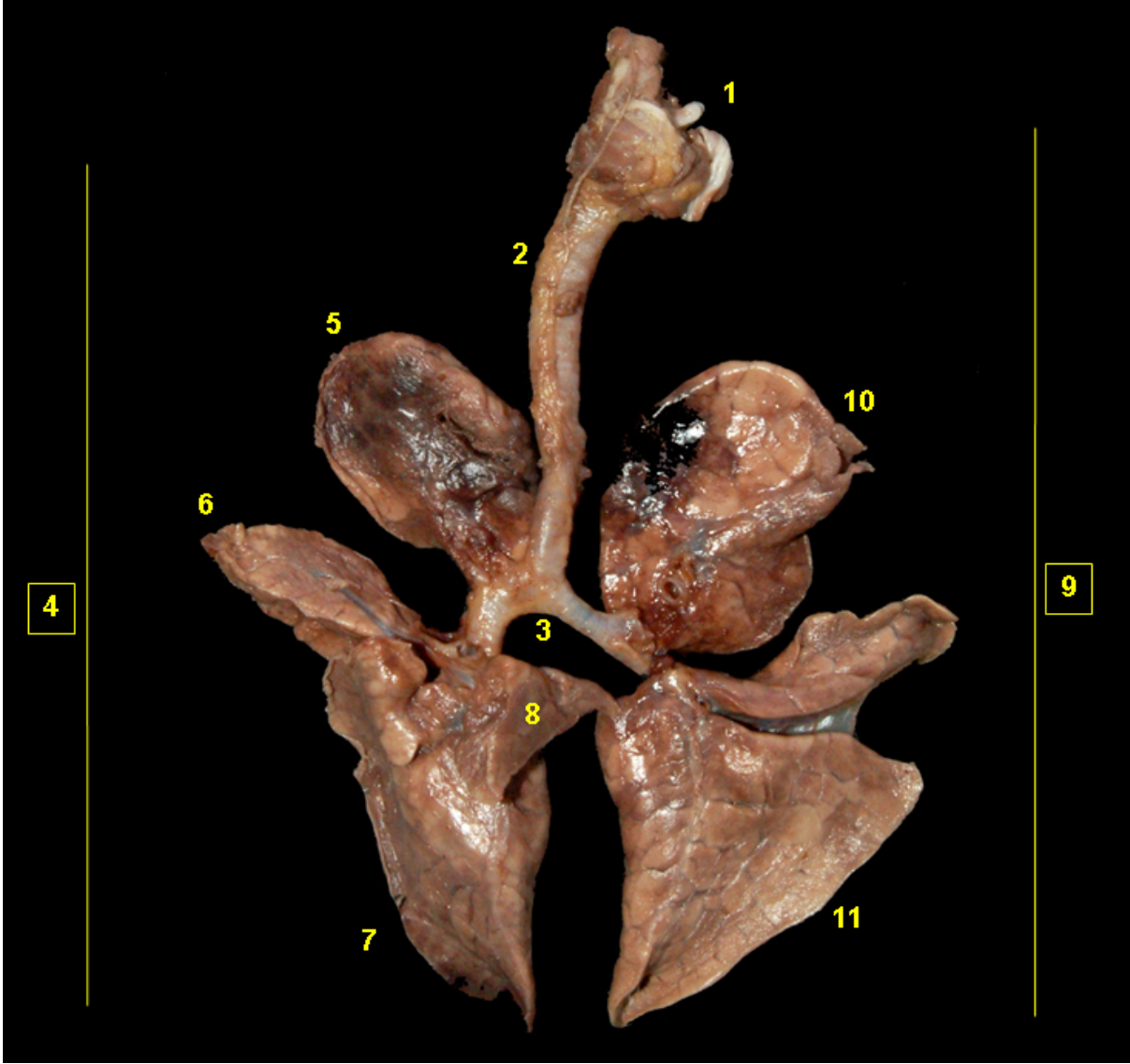
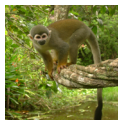




**Figura 3.176** - Visión medial de la laringe del mono fraile (*Saimiri macrodon*). 1. Epiglotis; 2. Apófisis cuneiforme (cartílago aritenoides); 3. Apófisis corniculada (cartílago aritenoides); 4. Pliegue vestibular; 5. Pliegue vocal; 6. Parte intercartilaginosa de la glotis; 7. Parte intermembranosa de la glotis; 8. Ventrículo laríngeo; 9. Cartílago cricoides; 10. Cartílago tiroides; 11. Tráquea.



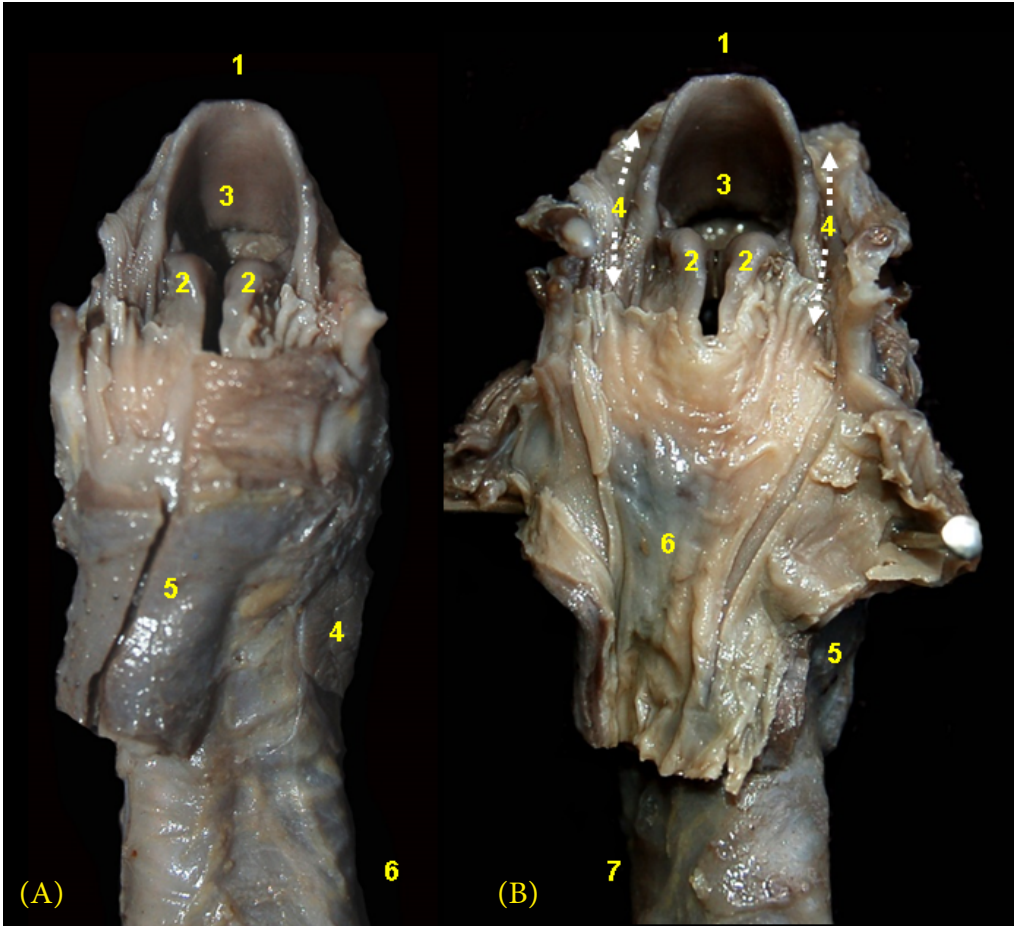
**Figura 3.177** - Visión dorsal del árbol traqueobronquial y lóbulos pulmonares del mono fraile (*Saimiri macrodon*). 1. Laringe; 2. Tráquea; 3. Bronquios principales; 4. Pulmón izquierdo; 5. Lóbulo craneal; 6. Lóbulo caudal; 7. Pulmón derecho; 8. Lóbulo craneal; 9. Lóbulo medio; 10. Lóbulo caudal; 11. Lóbulo accesorio. En detalle: corte transversal de la tráquea.



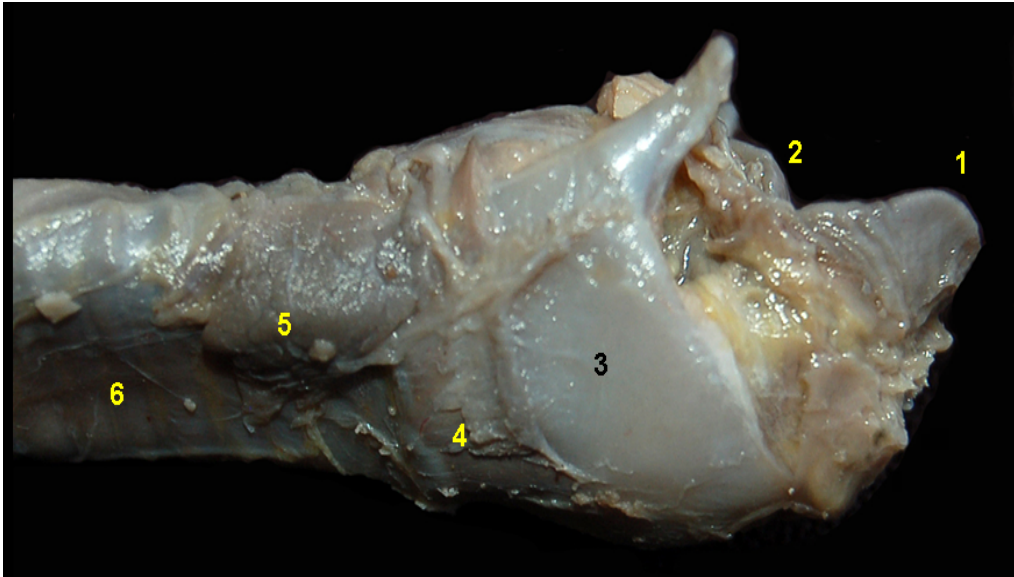
**Figura 3.178** - Visión ventral del árbol traqueobronquial y lóbulos pulmonares del mono fraile (*Saimiri macrodon*). 1. Laringe; 2. Tráquea; 3. Bronquios principales; 4. Pulmón derecho; 5. Lóbulo craneal; 6. Lóbulo medio; 7. Lóbulo caudal; 8. Lóbulo accesorio; 9. Pulmón izquierdo; 10. Lóbulo craneal; 11. Lóbulo caudal.



# UÁCARI ROJO (*Cacajao calvus*)

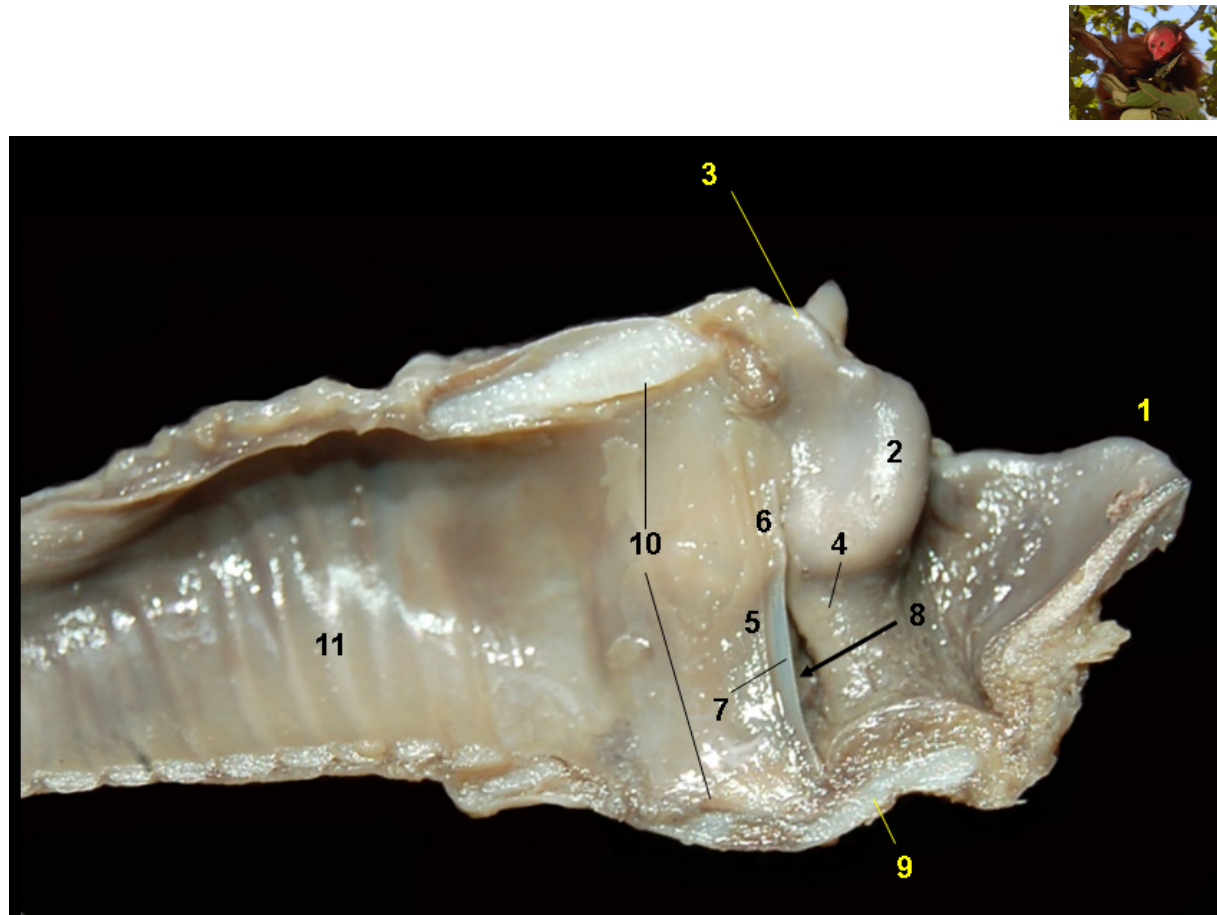


**Figura 3.179** - Visión dorsal de la laringofaringe y la laringe del uácari rojo (*Cacajao calvus*). **A** - Laringofaringe cerrada. 1. Epiglottis; 2. Cartílago aritenoides; 3. Vestíbulo laríngeo; 4. Glándula tiroides; 5. Esófago; 6. Tráquea. **B** - Larino-faringe abierta. 1. Epiglottis; 2. Cartílago aritenoides; 3. Vestíbulo laríngeo; 4. Receso piriforme; 5. Glándula tiroides; 6. Esófago; 7. Tráquea.

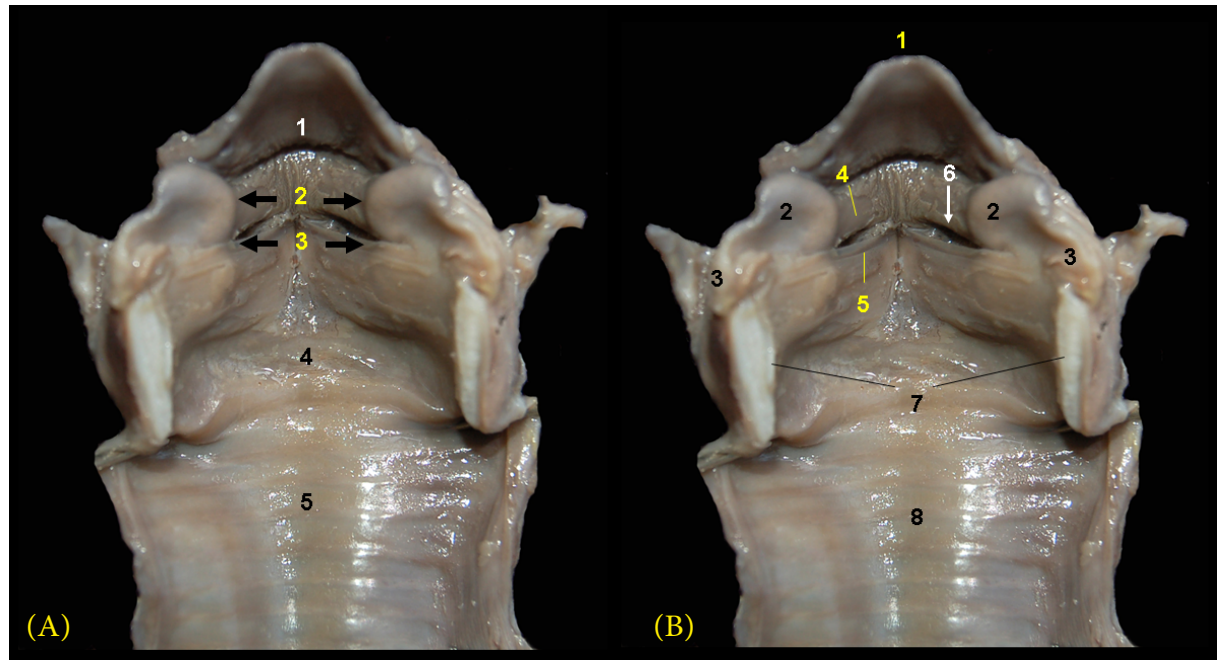


**Figura 3.180** - Visión lateral de la laringe del uácari rojo (*Cacajao calvus*). 1. Epi-glottis; 2. Cartílago aritenoides; 3. Cartílago tiroides; 4. Cartílago cricoides; 5. Glándula tiroides; 6. Tráquea.

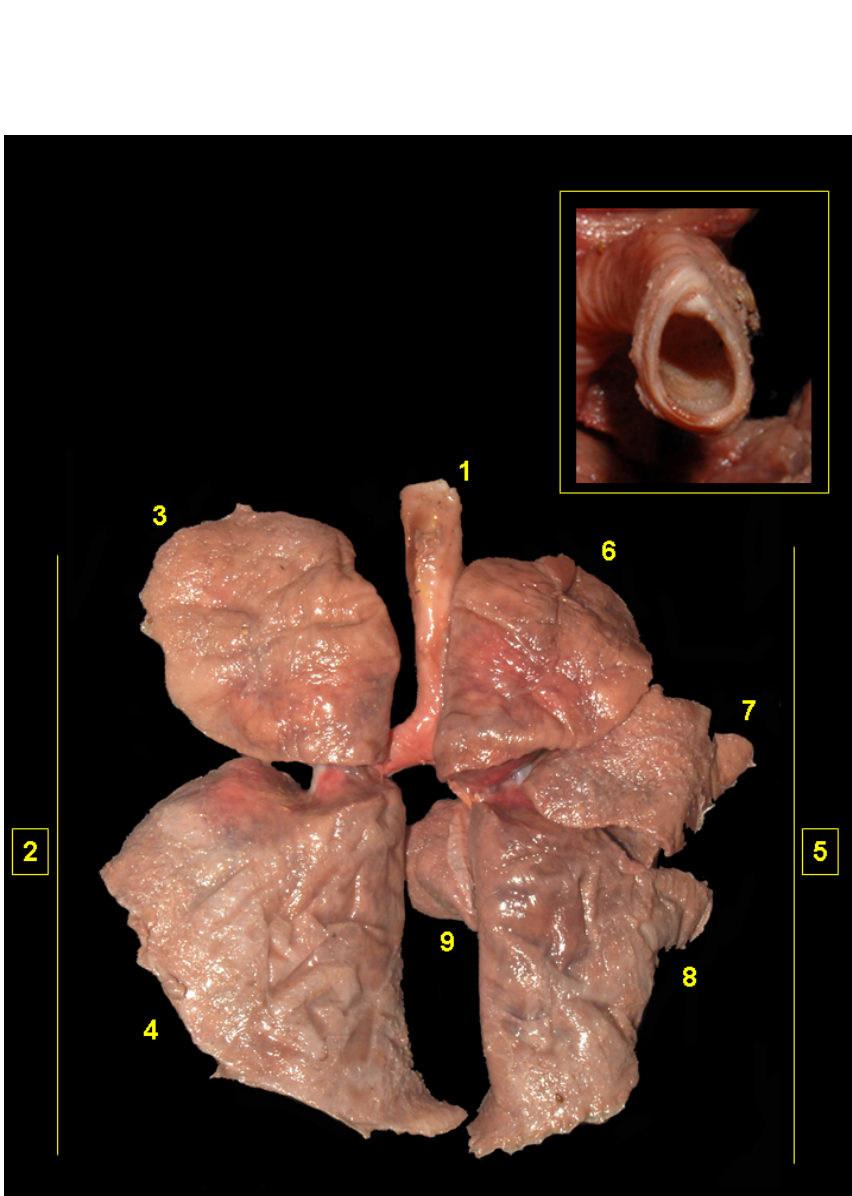




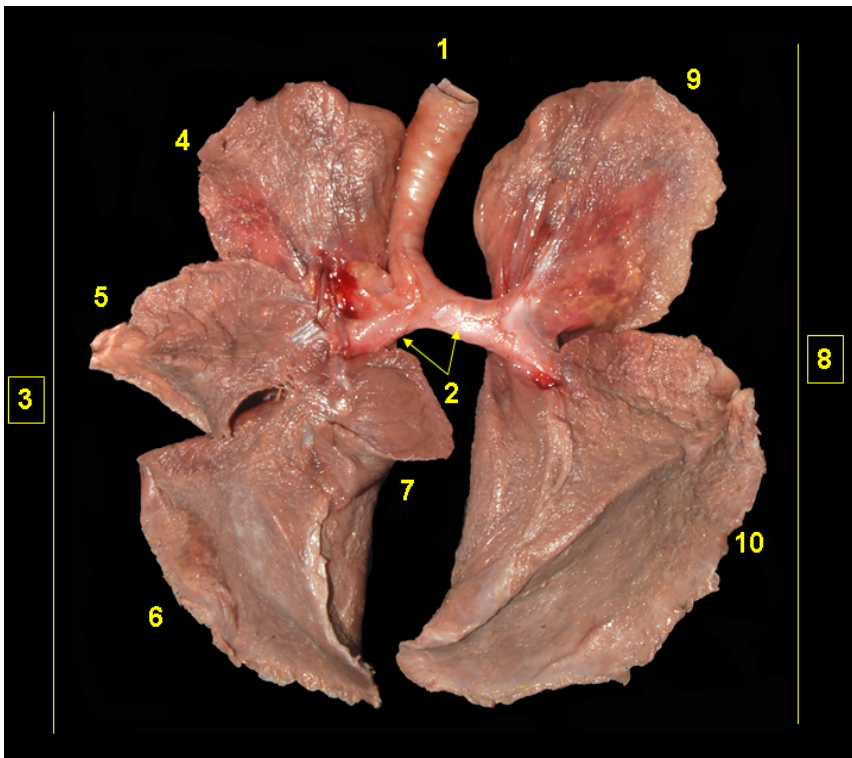
**Figura 3.181** - Visión medial de la laringe del uacari rojo (*Cacajao calvus*). 1. Epiglotis; 2. Apófisis cuneiforme (cartílago aritenoides); 3. Apófisis corniculada (cartílago aritenoides); 4. Pliegue vestibular; 5. Pliegue vocal; 6. Parte intercartilaginosa de la glotis; 7. Parte intermembranosa de la glotis; 8. Ventrículo de la laringe; 9. Cartílago tiroides; 10. Cartílago cricoides; 11. Tráquea.



**Figura 3.182** - Visión dorsal de la laringe abierta del uacari rojo (*Cacajao calvus*). La lámina del cartílago cricoides ha sido seccionada dorsalmente. **A** - 1. Vestíbulo laríngeo; 2. Hendidura vestibular; 3. Hendidura de la glotis; 4. Cavidad infraglótica; 5. Tráquea. **B** - 1. Epiglotis; 2. Apófisis cuneiforme (cartílago aritenoides); 3. Apófisis corniculada (cartílago aritenoides); 4. Pliegue vestibular; 5. Pliegue vocal; 6. Ventrículo laríngeo; 7. Cartílago cricoides; 8. Tráquea.



**Figura 3.183** - Visión dorsal del árbol traqueobronquial y lóbulos pulmonares del uacari rojo (*Cacajao calvus*). 1. Tráquea; 2. Pulmón izquierdo; 3. Lóbulo craneal; 4. Lóbulo caudal; 5. Pulmón derecho; 6. Lóbulo craneal; 7. Lóbulo medio; 8. Lóbulo caudal; 9. Lóbulo accesorio. En detalle: corte transversal de la tráquea.



**Figura 3.184** - Visión ventral del árbol traqueobronquial y lóbulos pulmonares del uacari rojo (*Cacajao calvus*). 1. Tráquea; 2. Bronquios principales; 3. Pulmón derecho; 4. Lóbulo craneal; 5. Lóbulo medio; 6. Lóbulo caudal; 7. Lóbulo accesorio; 8. Pulmón izquierdo; 9. Lóbulo craneal; 10. Lóbulo caudal.

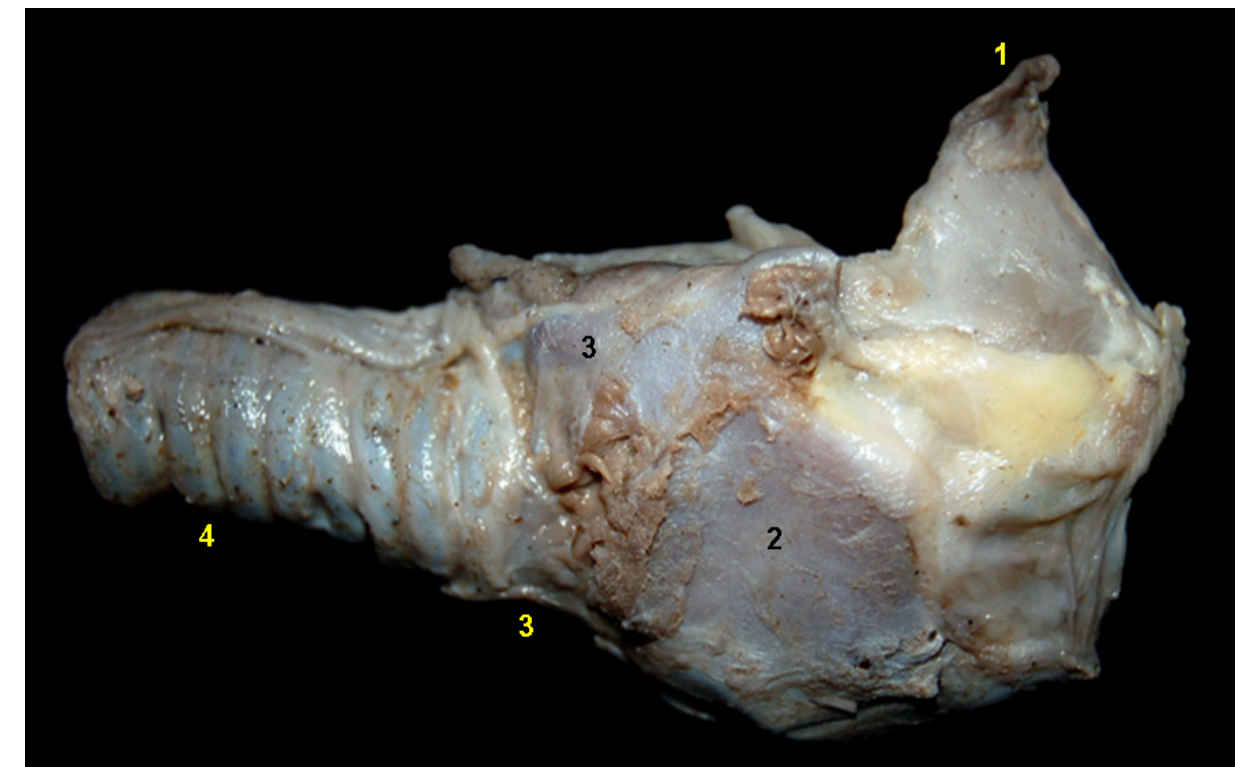




## MONO HUAPO NEGRO (*Pithecia monachus*)

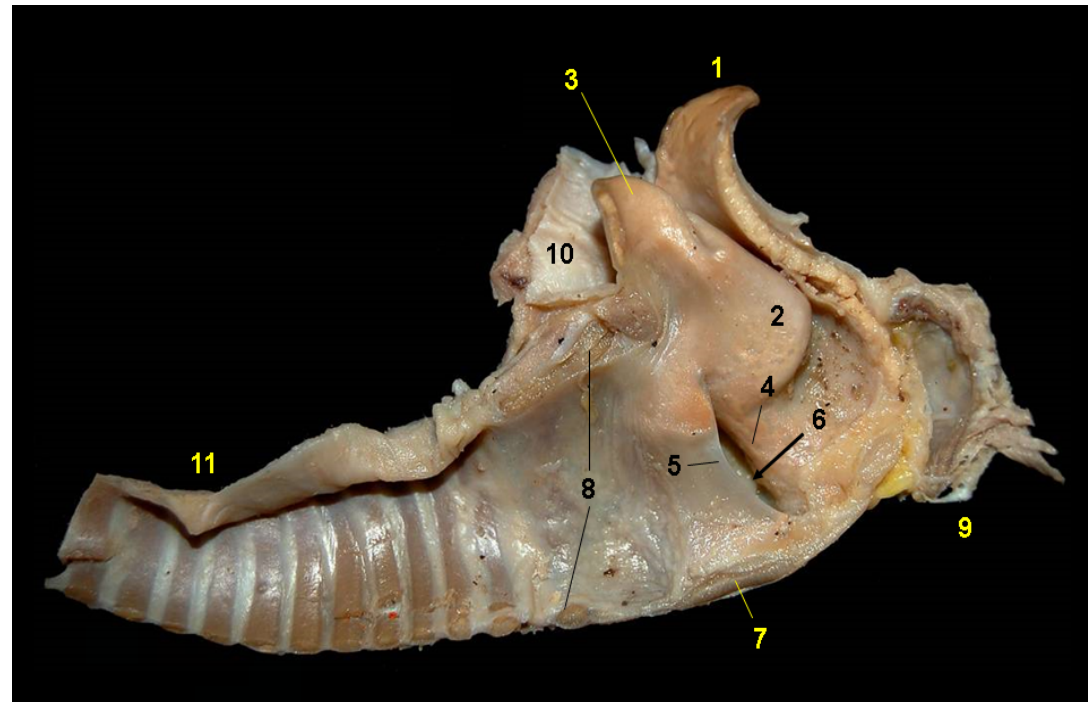


**Figura 3.185** - Vista dorsal de la laringofaringe y de la laringe del mono huapo negro (*Pithecia monachus*). 1. Epiglotis; 2. Cartílago aritenoides; 3. Receso piriforme; 4. Esófago; 5. Tráquea.

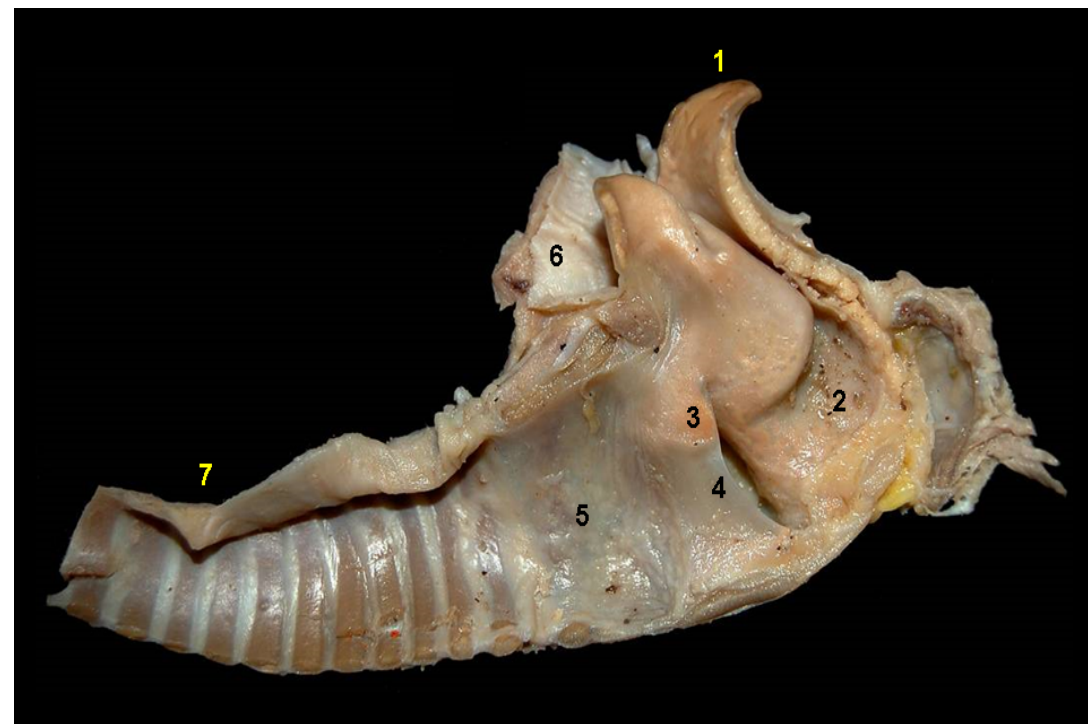


**Figura 3.186** - Vista lateral de la laringe del mono huapo negro (*Pithecia monachus*). 1. Epiglotis; 2. Cartílago tiroides; 3. Cartílago cricoides; 4. Tráquea.

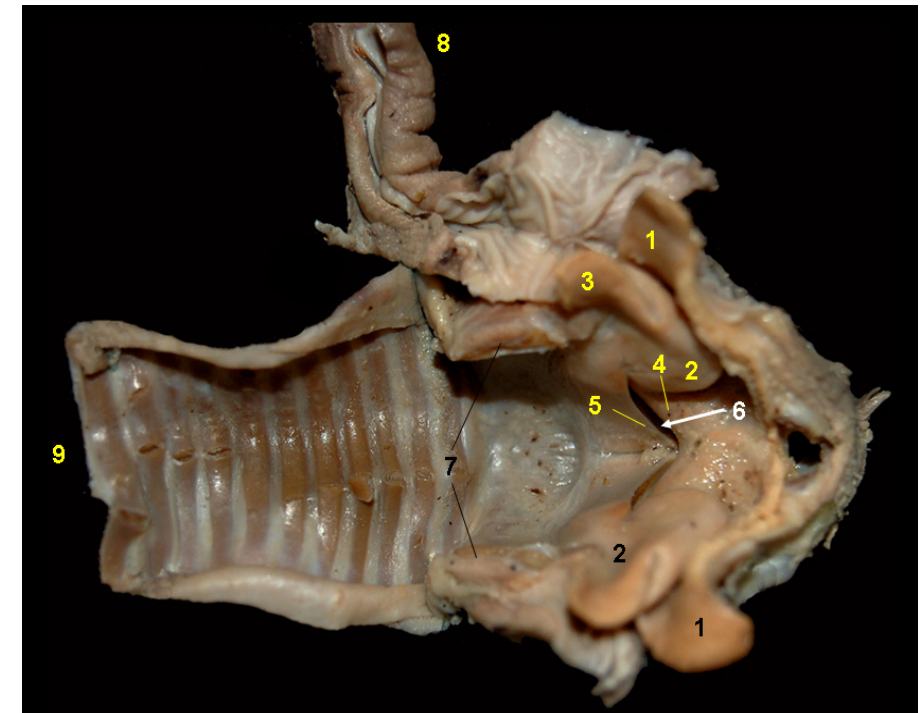




**Figura 3.187** - Visión medial de la laringe del mono huapo negro (*Pithecia monachus*). 1. Epiglotis; 2. Apófisis cuneiforme (cartílago aritenoides); 3. Apófisis corniculada (cartílago aritenoides); 4. Pliegue vestibular; 5. Pliegue vocal; 6. Ventrículo de la laringe; 7. Cartílago tiroides; 8. Cartílago cricoides; 9. Hueso hioides (basihioides); 10. Esófago; 11. Tráquea.



**Figura 3.188** - Visión medial de la laringe del mono huapo negro (*Pithecia monachus*). 1. Epiglotis; 2. Vestíbulo de la laringe; 3. Parte intercartilaginosa de la glotis; 4. Parte intermembranosa de la glotis; 5. Cavidad infraglotica; 6. Esófago; 7. Tráquea.

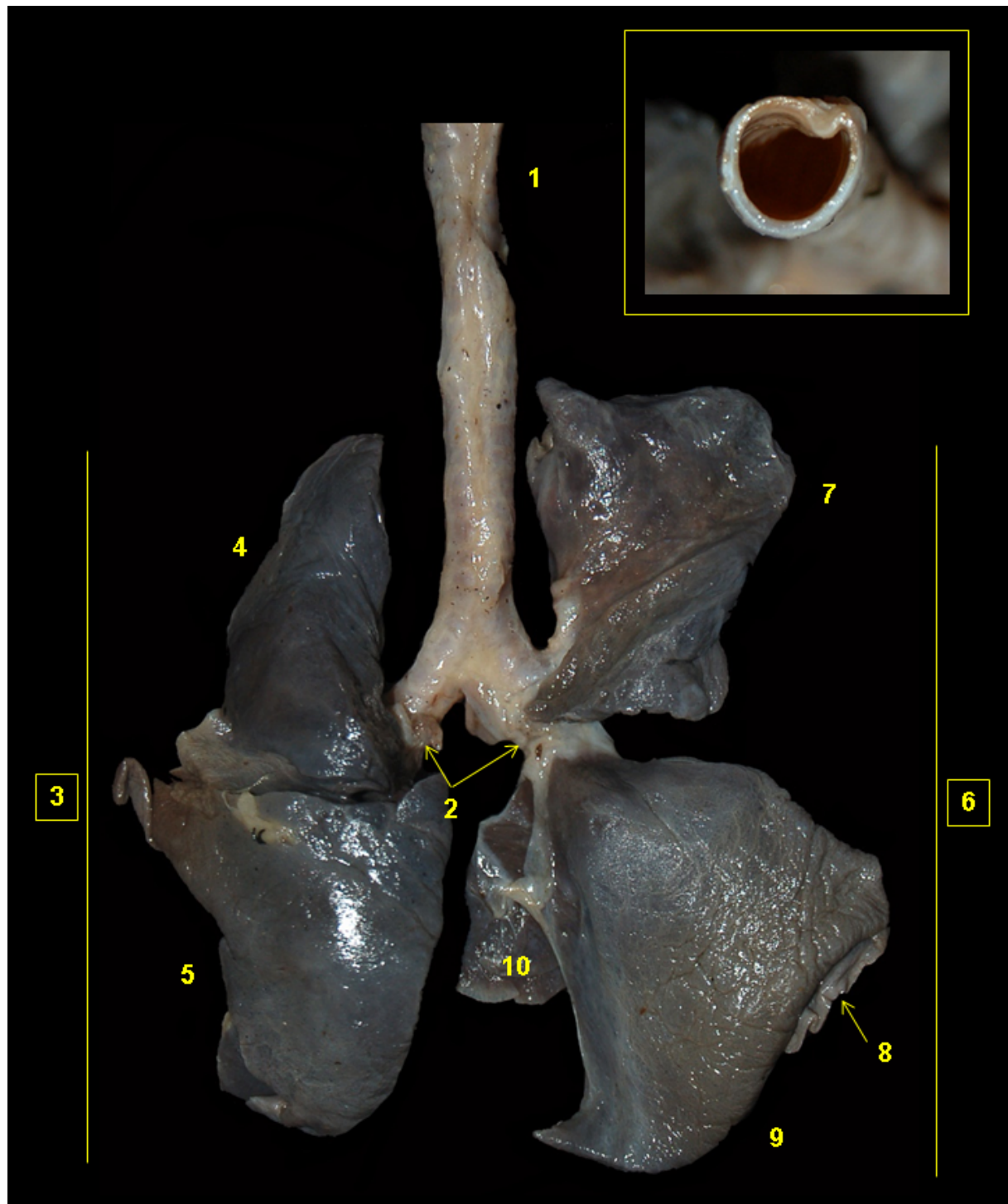


**Figura 3.189** - Visión dorsal de la laringe abierta del mono huapo negro (*Pithecia monachus*). La lámina del cartílago cricoides ha sido seccionada dorsalmente. 1. Epiglotis; 2. Apófisis cuneiforme (cartílago aritenoides); 3. Apófisis corniculada (cartílago aritenoides); 4. Pliegue vestibular; 5. Pliegue vocal; 6. Ventrículo laríngeo; 7. Cartílago cricoides; 8. Esófago; 9. Tráquea.

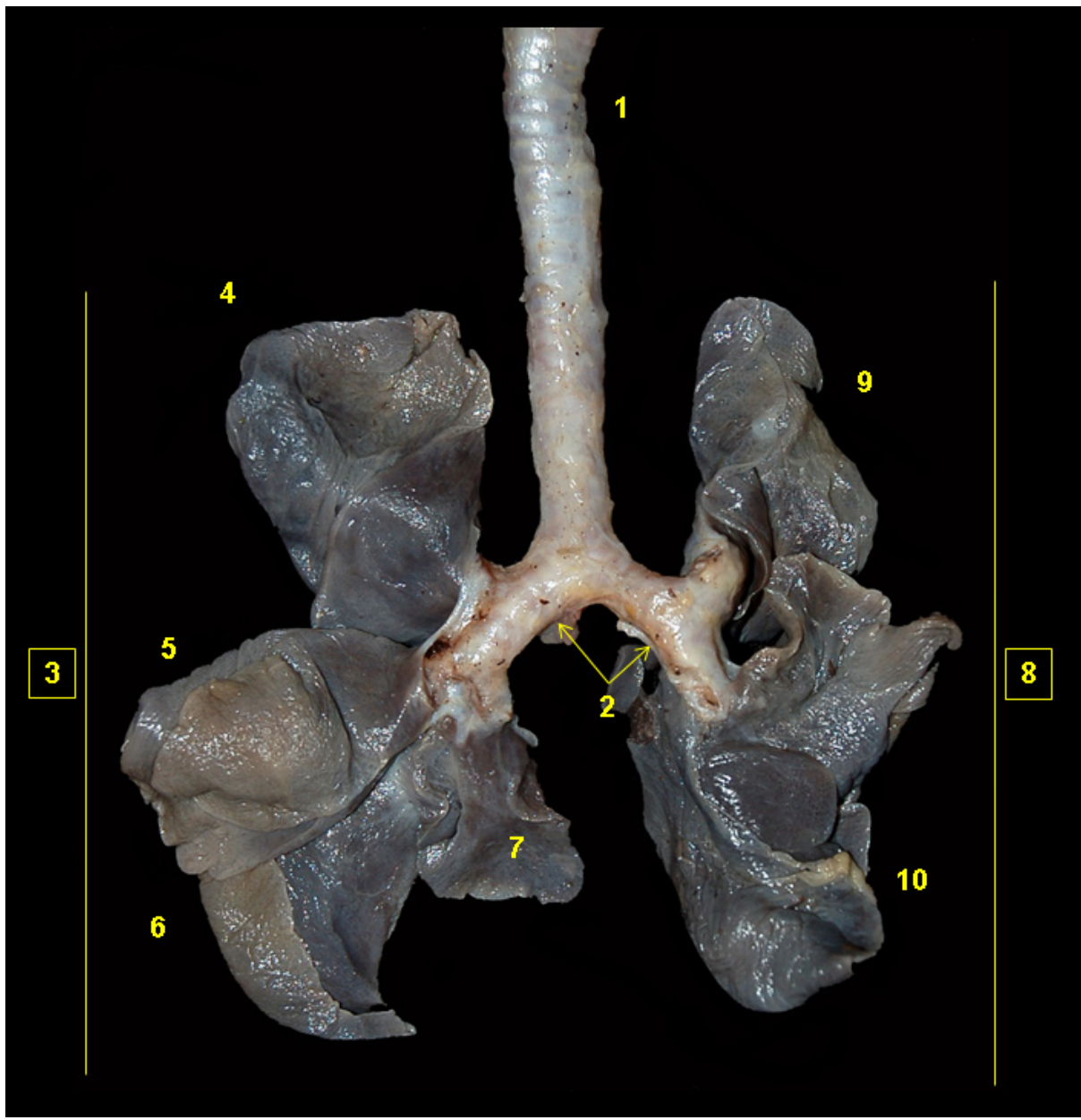


**Figura 3.190** - Visión dorsal de la laringe del mono huapo negro (*Pithecia monachus*). La lámina del cartílago cricoides ha sido seccionada dorsalmente. 1. Vestíbulo de la laringe; 2. Hendidura vestibular; 3. Hendidura de la glotis; 4. Cavidad infraglotica; 5. Esófago; 6. Tráquea.





**Figura 3.191** - Visión dorsal del árbol traqueobronquial y lóbulos pulmonares del mono huapo negro (*Pithecia monachus*). 1. Tráquea; 2. Bronquios principales; 3. Pulmón izquierdo; 4. Lóbulo craneal; 5. Lóbulo caudal; 6. Pulmón derecho; 7. Lóbulo craneal; 8. Lóbulo medio; 9. Lóbulo caudal; 10. Lóbulo accesorio. En detalle: corte transversal de la tráquea.



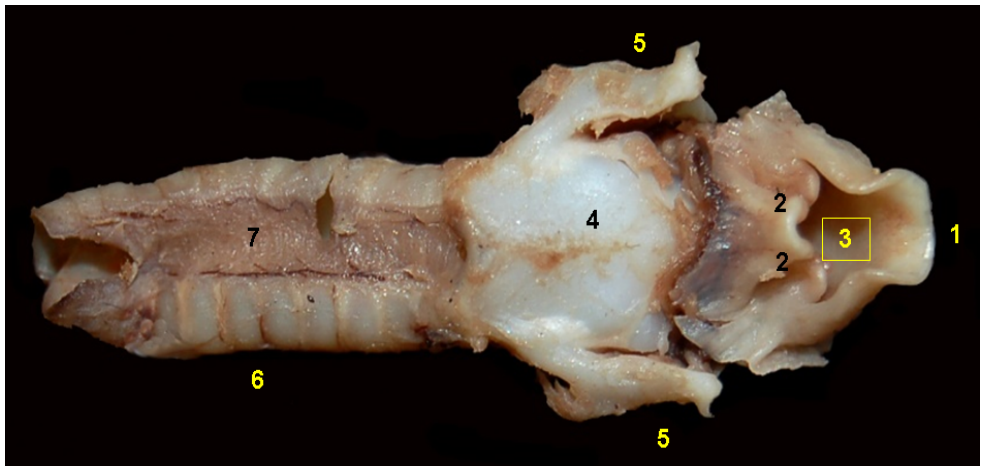
**Figura 3.192** - Visión ventral del árbol traqueobronquial y lóbulos pulmonares del mono huapo negro (*Pithecia monachus*). 1. Tráquea; 2. Bronquios principales; 3. Pulmón derecho; 4. Lóbulo craneal; 5. Lóbulo medio; 6. Lóbulo caudal; 7. Lóbulo accesorio; 8. Pulmón izquierdo; 9. Lóbulo craneal; 10. Lóbulo caudal.



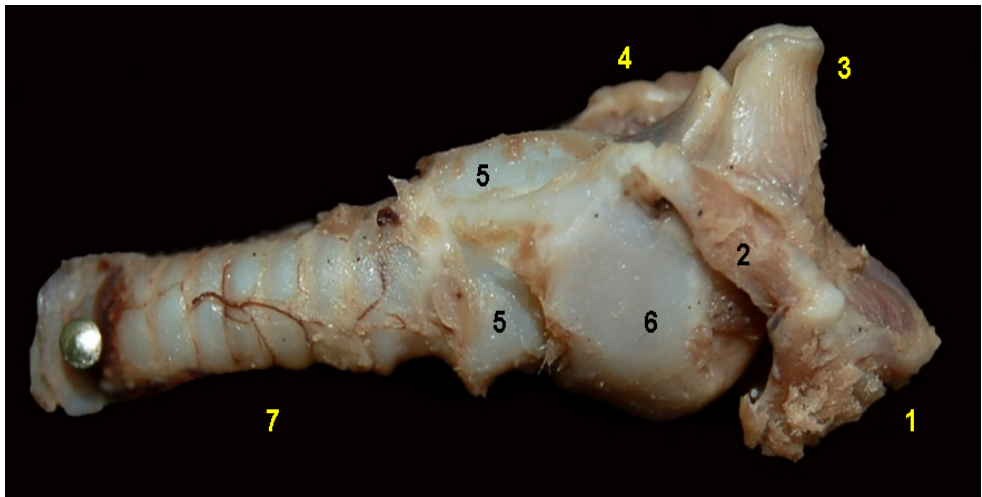


# MONO NOCTURNO

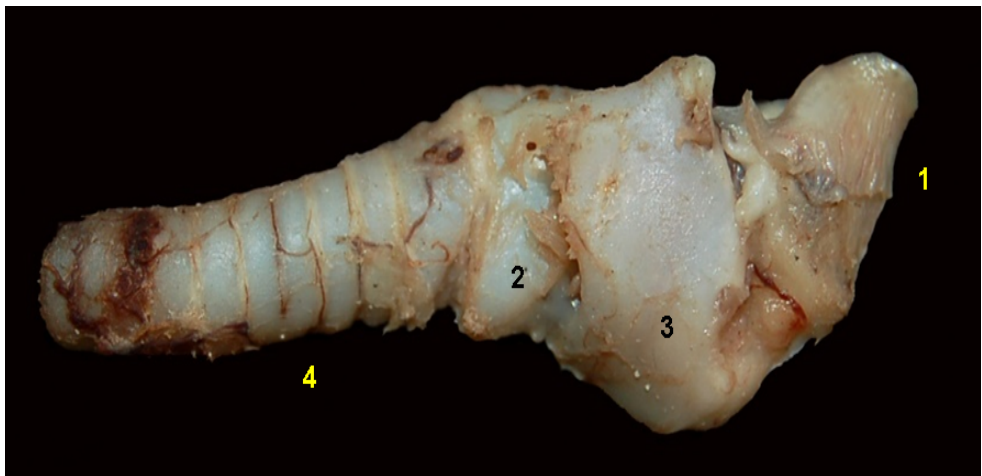
(*Aotus nancymae*)



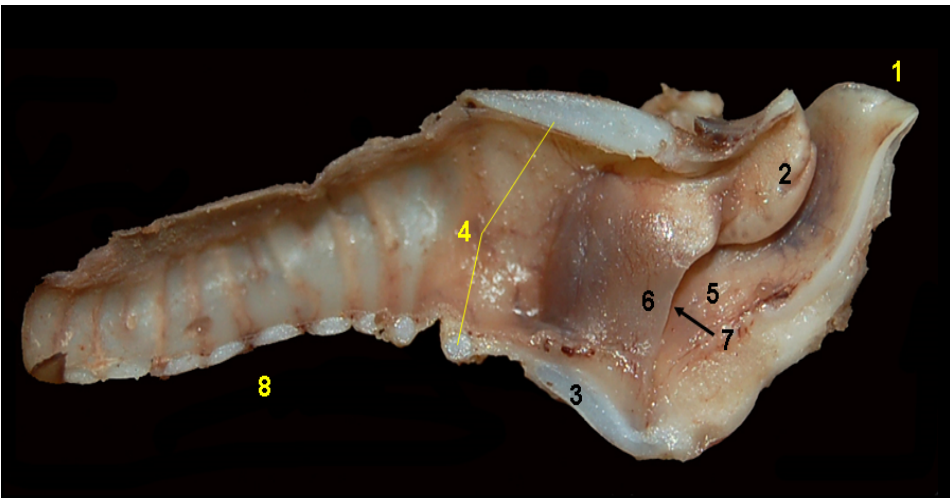
**Figura 3.193** - Visión dorsal de la laringe del mono nocturno (*Aotus nancymae*). 1. Epiglotis; 2. Cartílago aritenoides; 3. Vestíbulo de la laringe; 4. Cartílago cricoides; 5. Cartílago tiroides; 6. Tráquea.



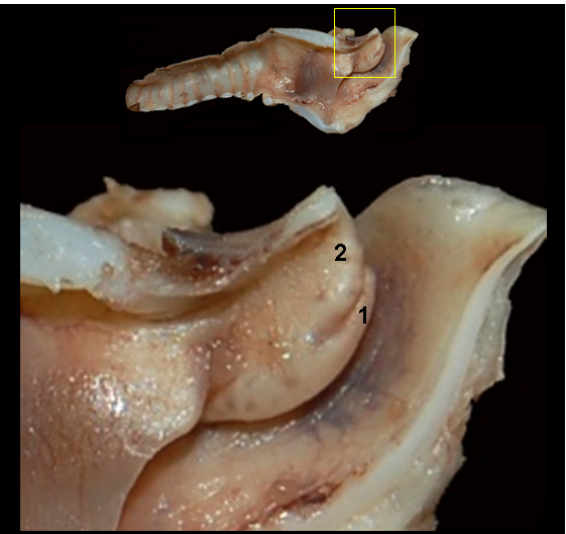
**Figura 3.194** - Visión lateral de la laringe del mono nocturno (*Aotus nancymae*). 1. Aparato hioideo (basihioides); 2. Tirohioides; 3. Epiglotis; 4. Cartílago aritenoides; 5. Cartílago cricoides; 6. Cartílago tiroides; 7. Tráquea.



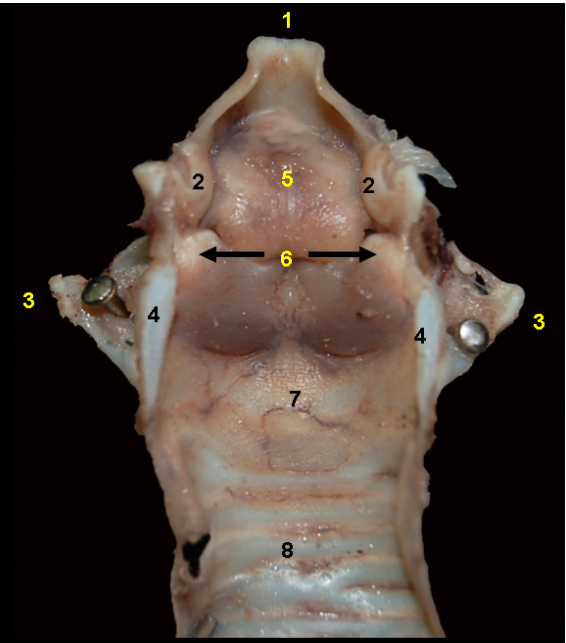
**Figura 3.195** - Visión lateral de la laringe del mono nocturno (*Aotus nancymae*). 1. Epiglotis; 2. Cartílago cricoides; 3. Cartílago tiroides; 4. Tráquea.



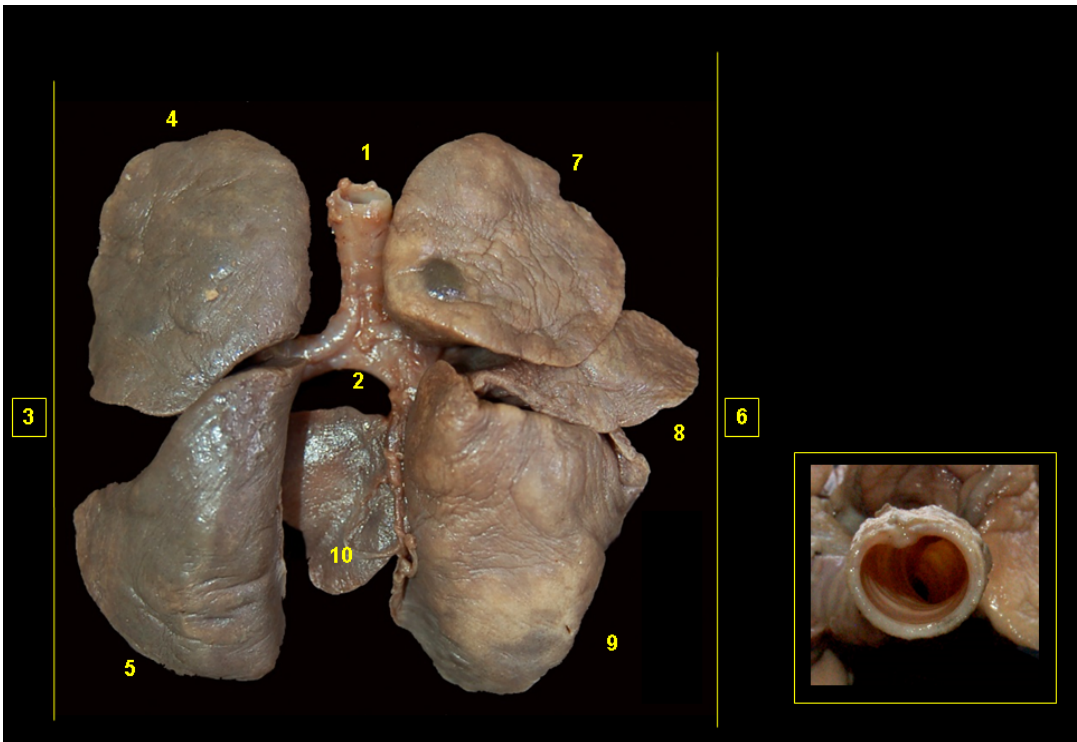
**Figura 3.196** - Visión medial de la laringe del mono nocturno (*Aotus nancymae*). 1. Epiglotis; 2. Cartílago aritenoides; 3. Cartílago tiroides; 4. Cartílago cricoides; 5. Pliegue vestibular; 6. Pliegue vocal; 7. Ventrículo laríngeo; 8. Tráquea.



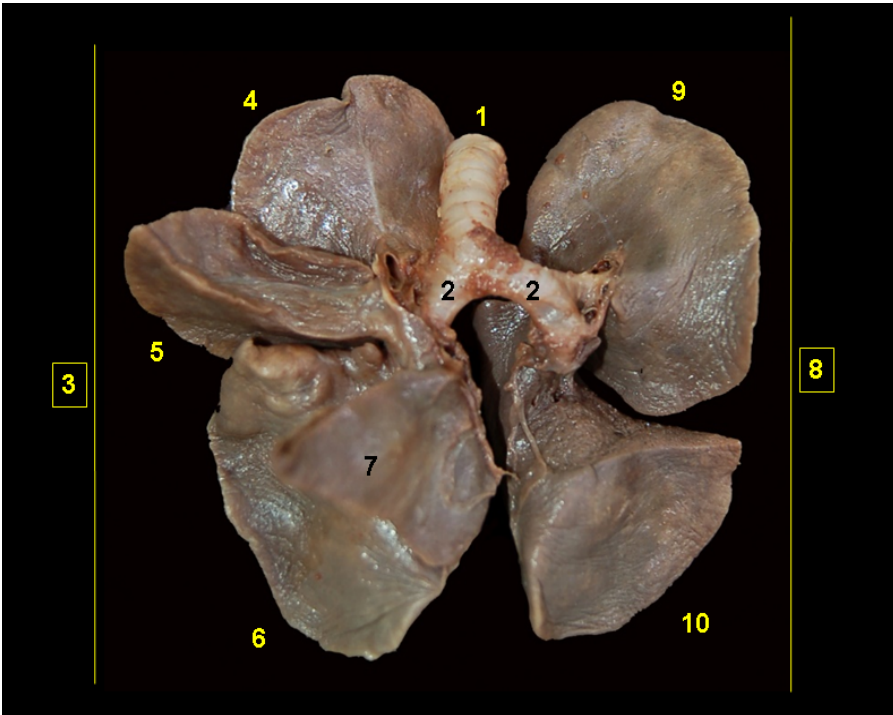
**Figura 3.197** - Visión medial de la laringe del mono nocturno (*Aotus nancymae*). 1. Apófisis cuneiforme (cartílago aritenoides); 2. Apófisis corniculada (cartílago aritenoides).



**Figura 3.198** - Visión dorsal de la laringe del mono nocturno (*Aotus nancymae*). La lámina del cartílago cricoides ha sido seccionada dorsalmente. 1. Epiglotis; 2. Cartílago aritenoides; 3. Cartílago tiroides; 4. Cartílago cricoides; 5. Vestíbulo de la laringe; 6. Hendidura de la glotis; 7. Cavity infraglotica; 8. Tráquea.



**Figura 3.199** - Visión dorsal del árbol traqueobronquial y lóbulos pulmonares del mono nocturno (*Aotus nancymae*). 1. Tráquea; 2. Bronquios principales; 3. Pulmón izquierdo; 4. Lóbulo craneal; 5. Lóbulo caudal; 6. Pulmón derecho; 7. Lóbulo craneal; 8. Lóbulo medio; 9. Lóbulo caudal; 10. Lóbulo accesorio. En detalle: corte transversal de la tráquea.



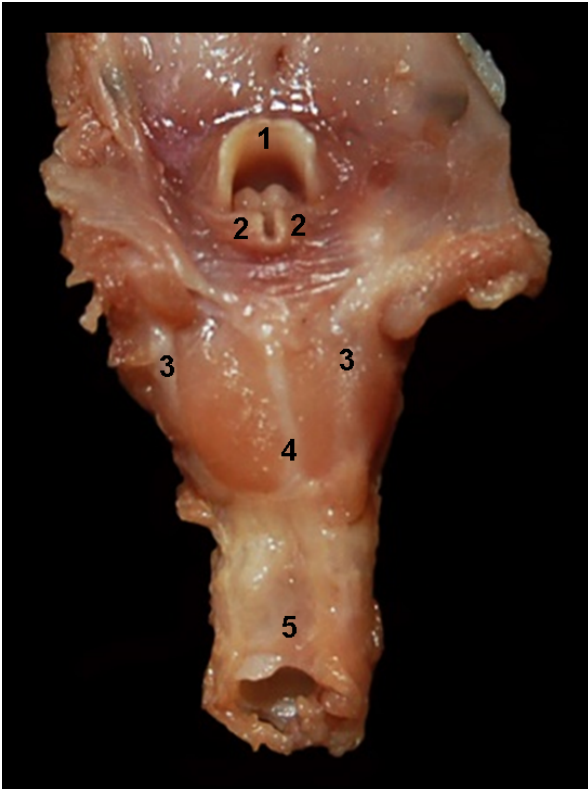
**Figura 3.200** - Visión ventral del traqueobronquial y lóbulos pulmonares del mono nocturno (*Aotus nancymae*). 1. Tráquea; 2. Bronquios principales; 3. Pulmón derecho; 4. Lóbulo craneal; 5. Lóbulo medio; 6. Lóbulo caudal; 7. Lóbulo accesorio; 8. Pulmón izquierdo; 9. Lóbulo craneal; 10. Lóbulo caudal.



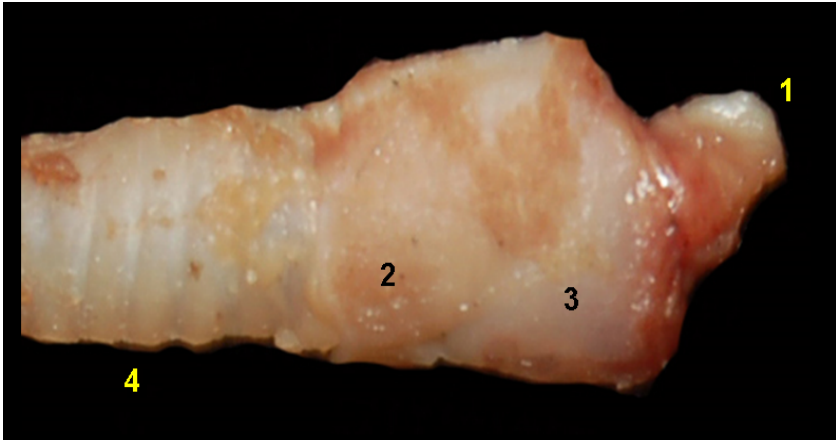


# TITÍ PIGMEO

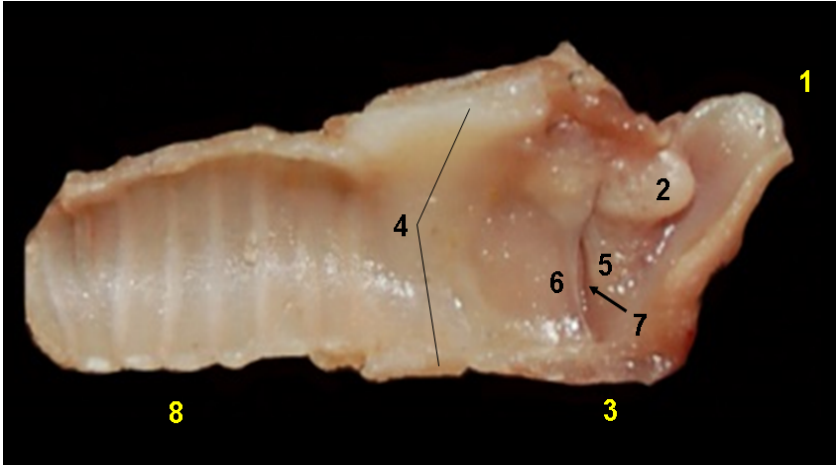
(*Cebuella pygmaea*)



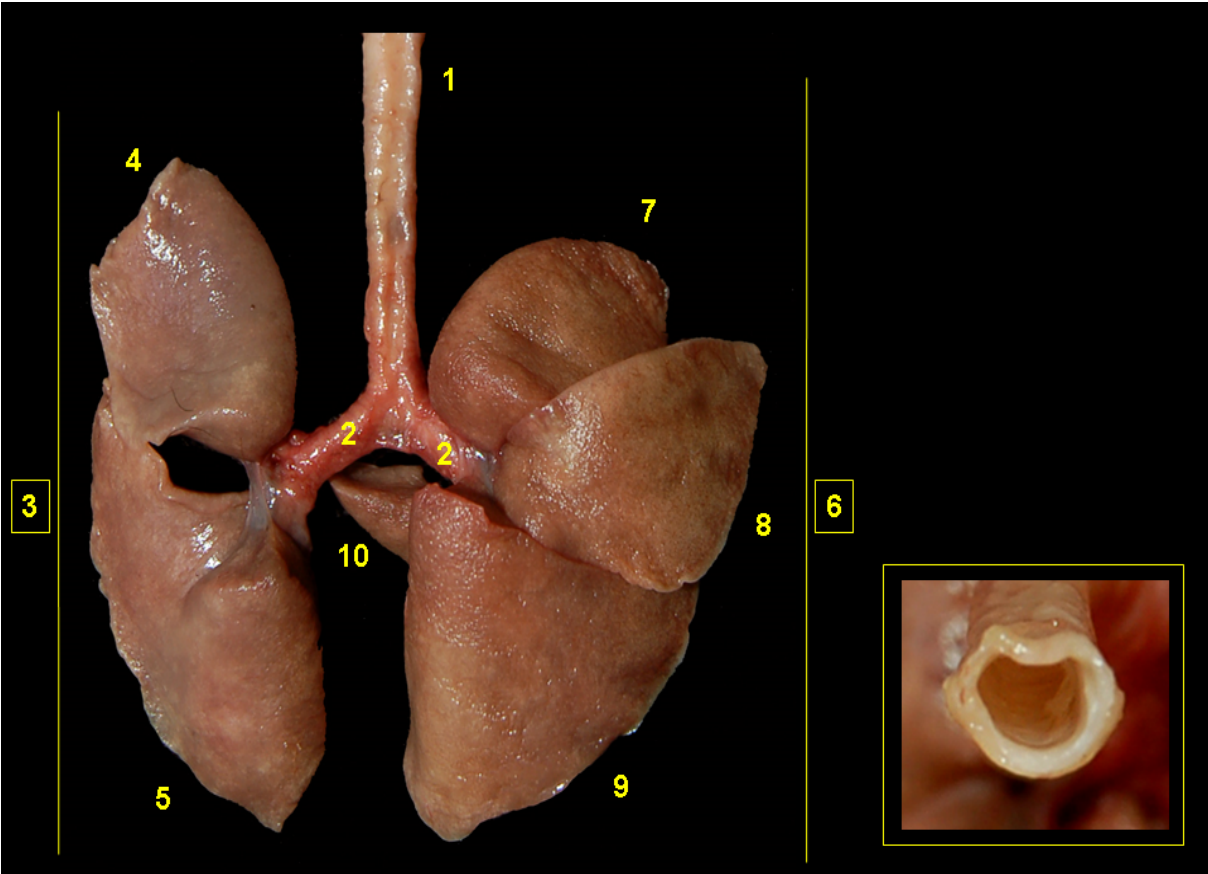
**Figura 3.201** - Visión dorsal de la laringofaringe y la laringe del tití pigmeo (*Cebuella pygmaea*). 1. Epiglotis; 2. Cartílago aritenoides; 3. Cartílago tiroides; 4. Cartílago cricoides; 5. Tráquea.



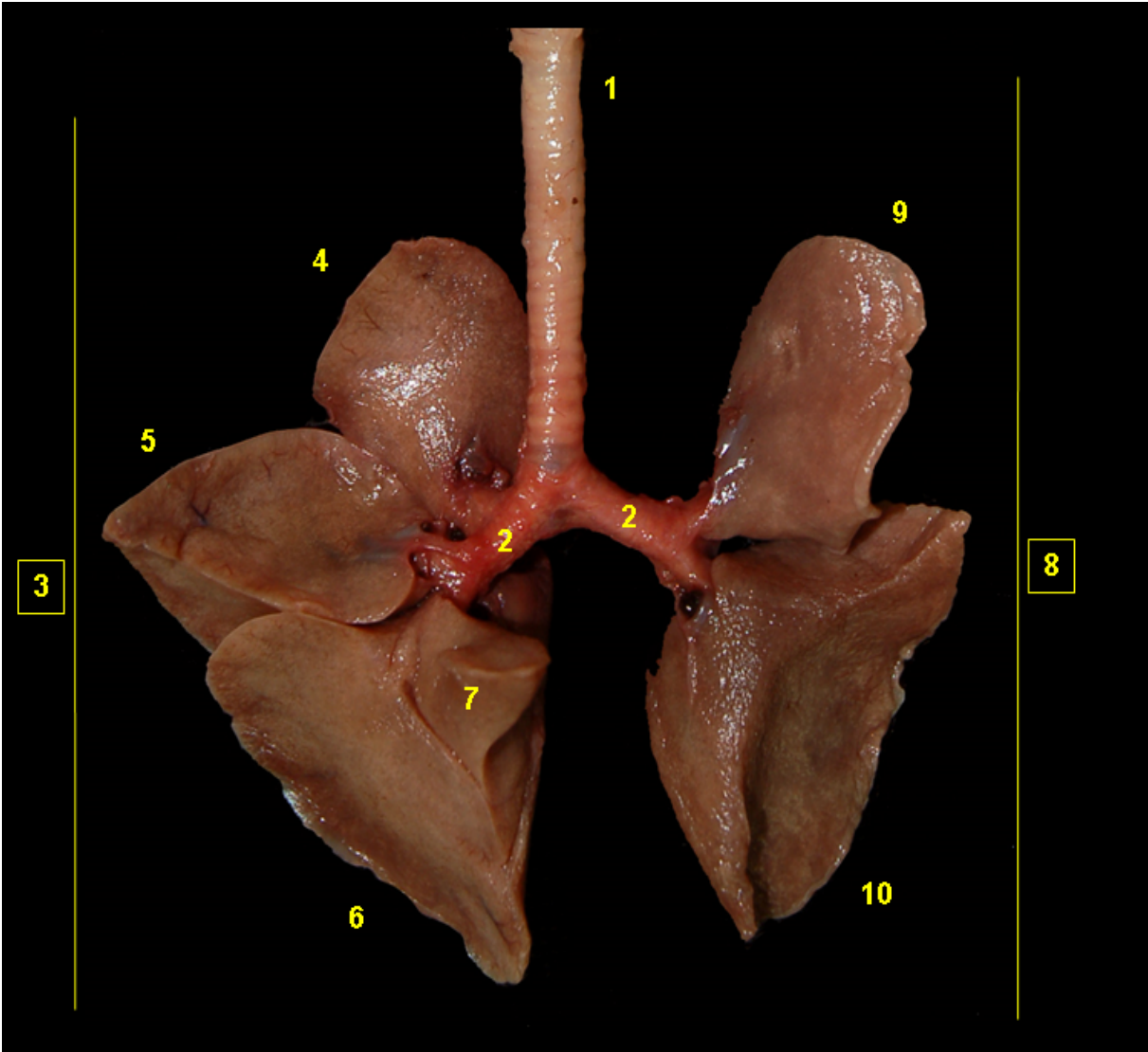
**Figura 3.202** - Visión lateral de la laringe del tití pigmeo (*Cebuella pygmaea*). 1. Epiglotis; 2. Cartílago cricoides; 3. Cartílago tiroides; 4. Tráquea.



**Figura 3.203** - Visión medial de la laringe del tití pigmeo (*Cebuella pygmaea*). 1. Epiglotis; 2. Cartílago aritenoides; 3. Cartílago tiroides; 4. Cartílago cricoides; 5. Pliegue vestibular; 6. Pliegue vocal; 7. Ventrículo laríngeo; 8. Tráquea.



**Figura 3.204** - Visión dorsal del árbol traqueobronquial y lóbulos pulmonares del tití pigmeo (*Cebuella pygmaea*). 1. Tráquea; 2. Bronquios principales; 3. Pulmón izquierdo; 4. Lóbulo craneal; 5. Lóbulo caudal; 6. Pulmón derecho; 7. Lóbulo craneal; 8. Lóbulo medio; 9. Lóbulo caudal; 10. Lóbulo accesorio. En detalle: corte transversal de la tráquea.



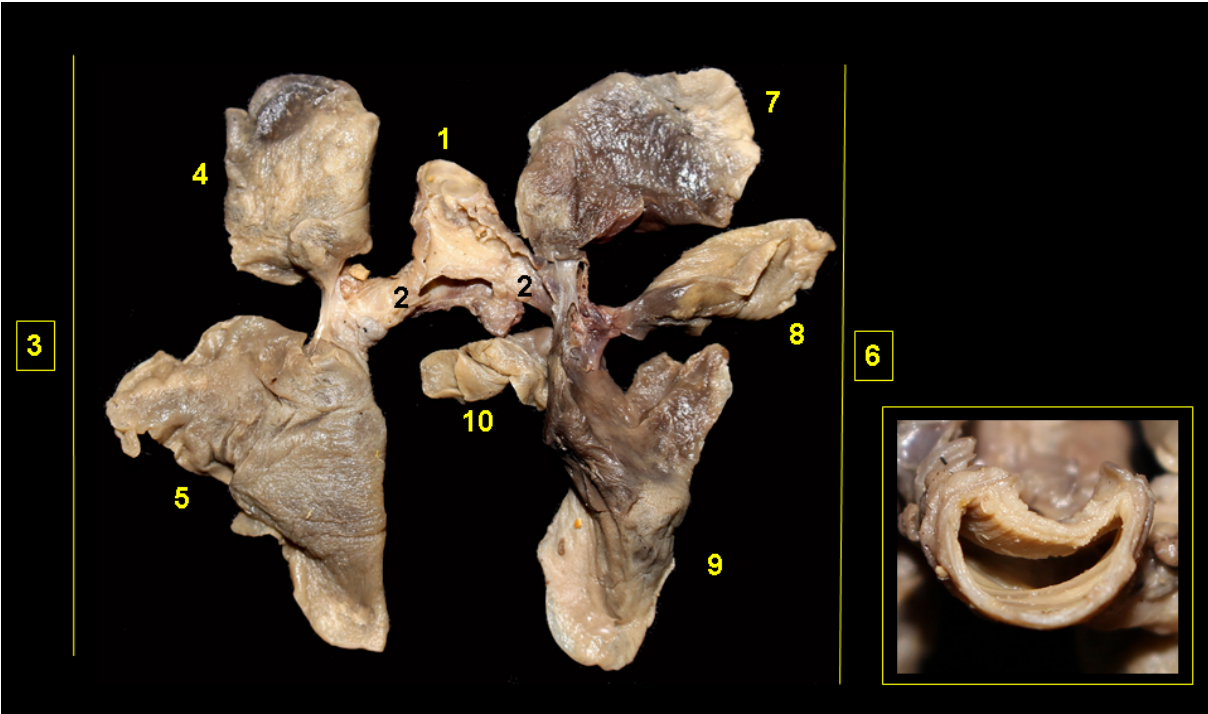
**Figura 3.205** - Visión ventral del árbol traqueobronquial y lóbulos pulmonares del tití pigmeo (*Cebuella pygmaea*). 1. Tráquea; 2. Bronquios principales; 3. Pulmón derecho; 4. Lóbulo craneal; 5. Lóbulo medio; 6. Lóbulo caudal; 7. Lóbulo accesorio; 8. Pulmón izquierdo; 9. Lóbulo craneal; 10. Lóbulo caudal.



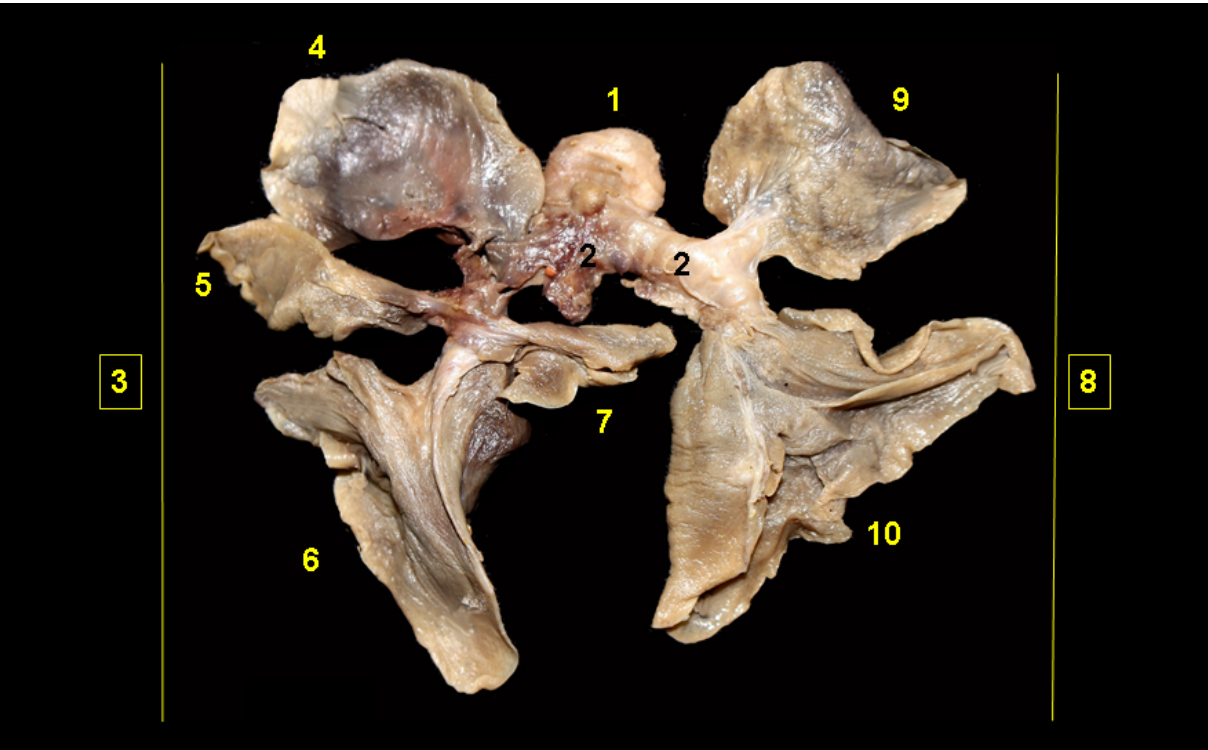


# MONO TITÍ COBRIZO

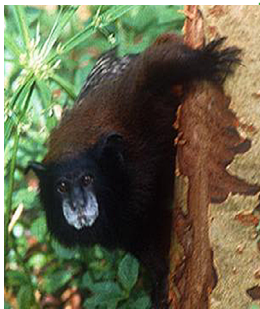
(*Callicebus cupreus*)



**Figura 3.206** - Visión dorsal del árbol traqueobronquial y lóbulos pulmonares del mono tití cobrizo (*Callicebus cupreus*). 1. Tráquea; 2. Bronquios principales; 3. Pulmón izquierdo; 4. Lóbulo craneal; 5. Lóbulo caudal; 6. Pulmón derecho; 7. Lóbulo craneal; 8. Lóbulo medio; 9. Lóbulo caudal; 10. Lóbulo accesorio. En detalle: corte transversal de la tráquea.

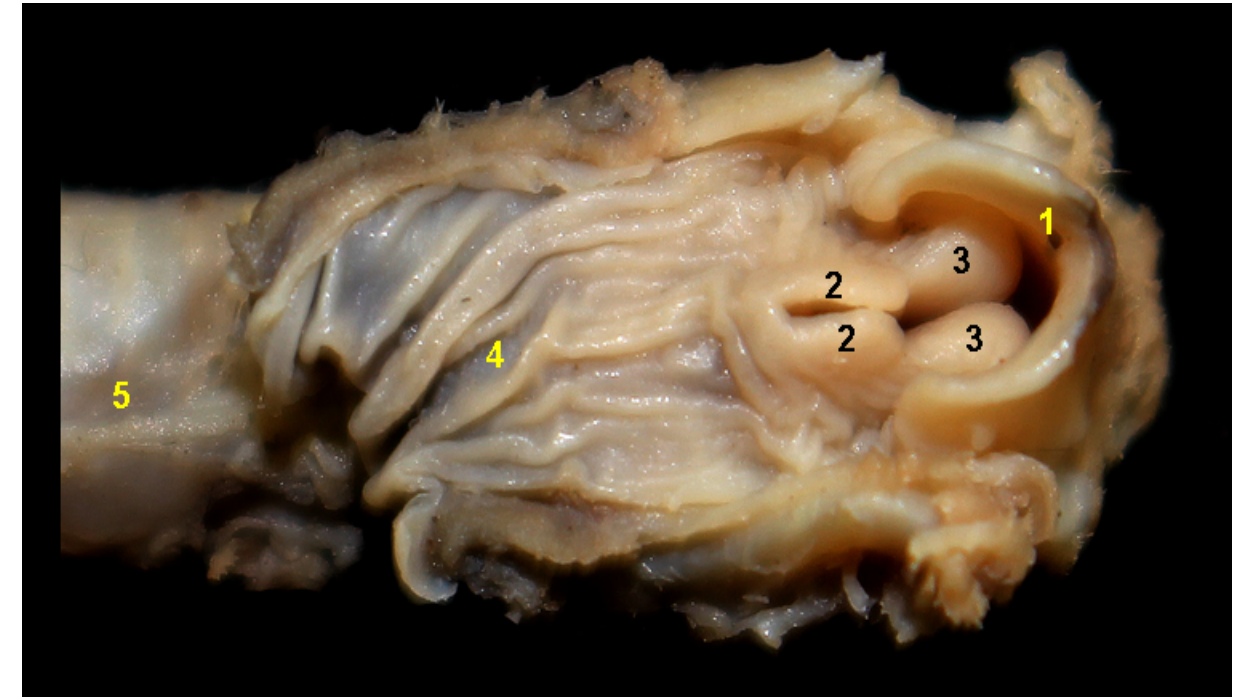


**Figura 3.207** - Visión ventral del árbol traqueobronquial y lóbulos pulmonares del mono tití cobrizo (*Callicebus cupreus*). 1. Tráquea; 2. Bronquios principales; 3. Pulmón derecho; 4. Lóbulo craneal; 5. Lóbulo medio; 6. Lóbulo caudal; 7. Lóbulo accesorio; 8. Pulmón izquierdo; 9. Lóbulo craneal; 10. Lóbulo caudal.

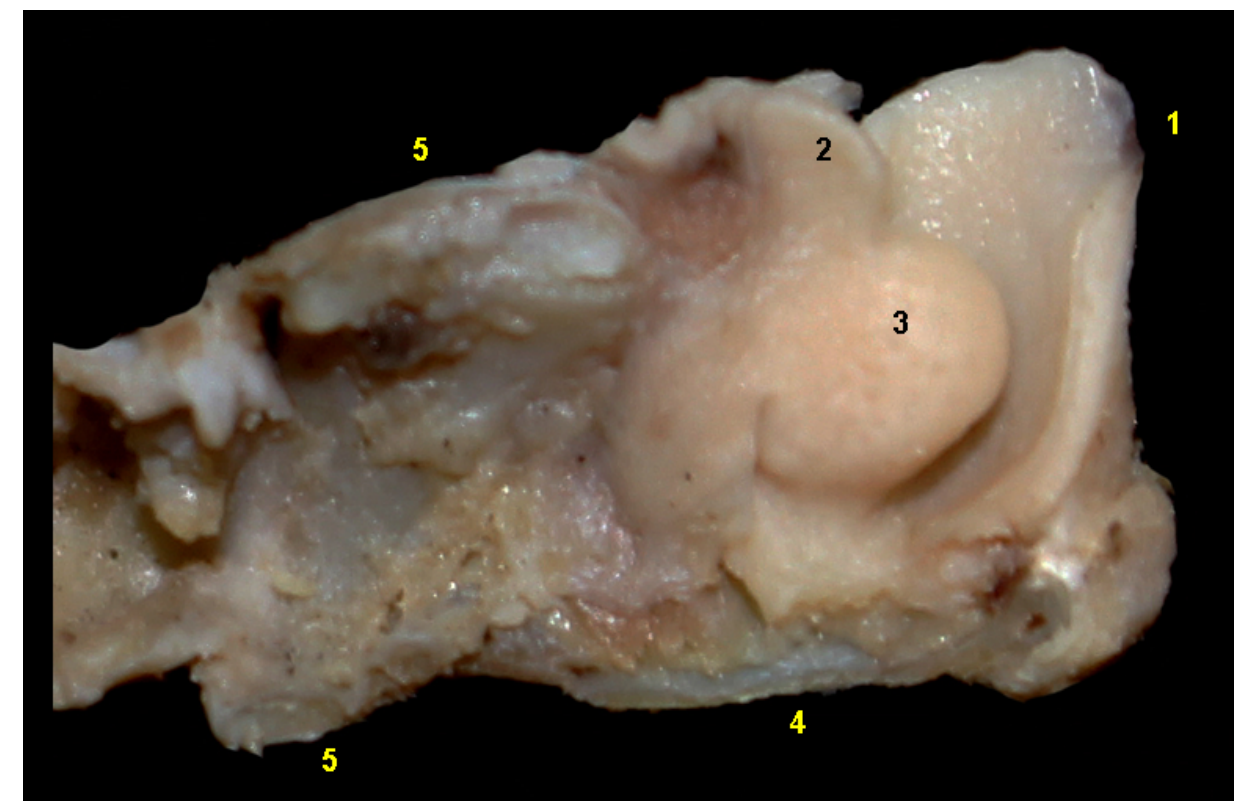


## MICO BEBELECHE

(*Leontocebus fuscicollis*)

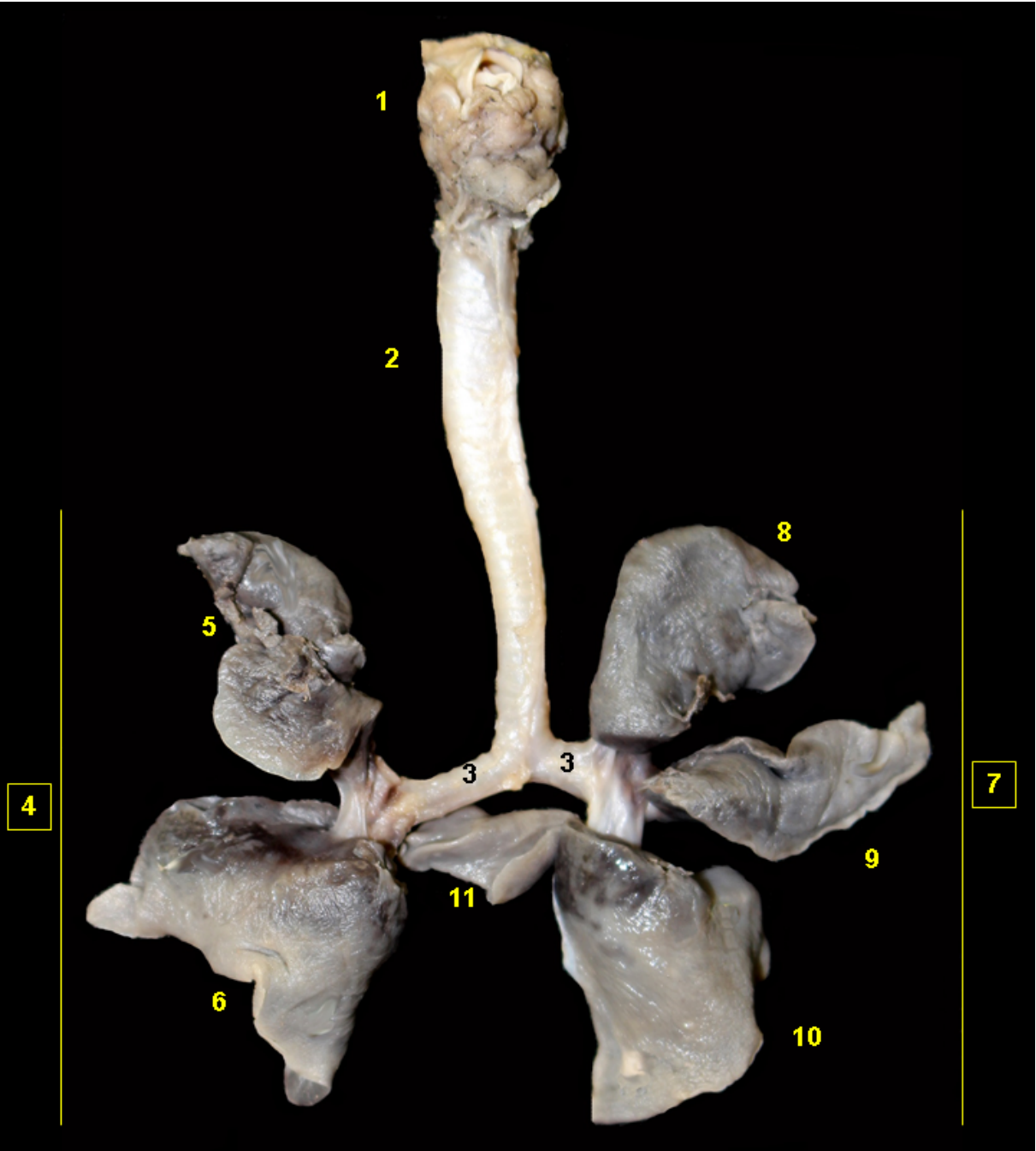
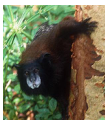


**Figura 3.208** - Visión dorsal de la laringofaringe y la laringe del mico bebeleche (*Leontocebus fuscicollis*). 1. Epiglotis; 2. Apófisis corniculada (cartílago aritenoides); 3. Apófisis cuneiforme (cartílago aritenoides); 4. Esófago; 5. Tráquea.

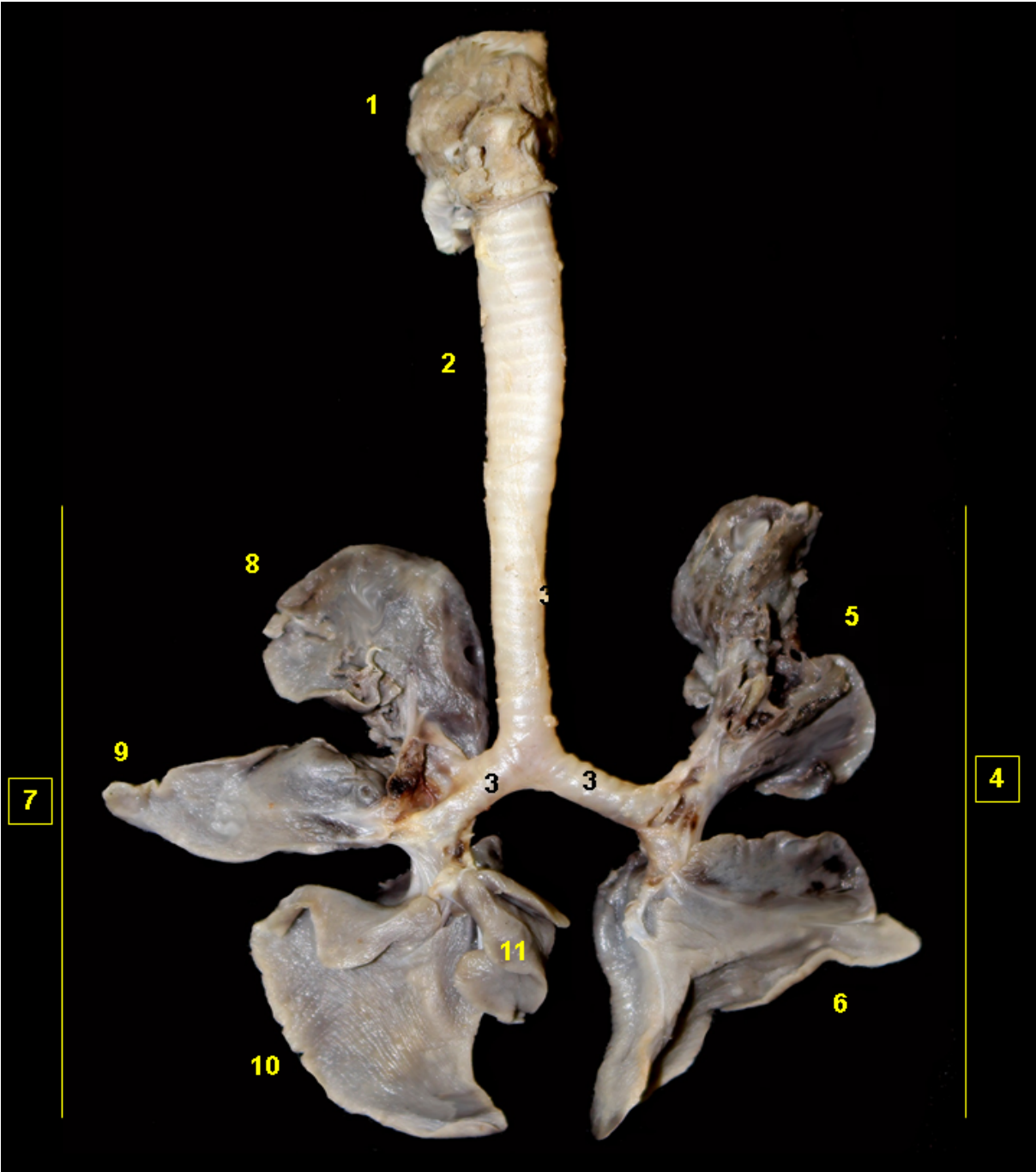


**Figura 3.209** - Visión medial de la laringe del mico bebeleche (*Leontocebus fuscicollis*). 1. Epiglotis; 2. Apófisis corniculada (cartílago aritenoides); 3. Apófisis cuneiforme (cartílago aritenoides); 4. Cartílago tiroides; 5. Cartílago cricoides.





**Figura 3.210** - Visión dorsal del árbol traqueobronquial y pulmones del mico bebeleche (*Leontocebus fuscicollis*). 1. Laringe; 2. Tráquea; 3. Bronquios principales; 4. Pulmón izquierdo; 5. Lóbulo craneal; 6. Lóbulo caudal; 7. Pulmón derecho; 8. Lóbulo craneal; 9. Lóbulo medio; 10. Lóbulo caudal; 11. Lóbulo accesorio.



**Figura 3.211** - Visión ventral del árbol traqueobronquial y pulmones del mico bebeleche (*Leontocebus fuscicollis*). 1. Laringe; 2. Tráquea; 3. Bronquios principales; 4. Pulmón izquierdo; 5. Lóbulo craneal; 6. Lóbulo caudal; 7. Pulmón derecho; 8. Lóbulo craneal; 7. Lóbulo medio; 8. Lóbulo caudal; 9. Lóbulo accesorio.

## CAPÍTULO 4

# CORAZÓN, GRANDES VASOS Y BAZO

## CORAZÓN, GRANDES VASOS Y BAZO

### Corazón y grandes vasos

El corazón es el órgano principal del aparato circulatorio, y su función es impulsar la sangre a través de las arterias para distribuirla por todo el cuerpo. El corazón de los mamíferos contiene cuatro cámaras:

- Atrio izquierdo;
- Ventrículo izquierdo;
- Atrio derecho;
- Ventrículo derecho.

El atrio izquierdo del corazón recibe la sangre oxigenada desde los pulmones. La sangre pasa al ventrículo izquierdo y desde allí, a través de la aorta y sus ramificaciones, se distribuye a los diferentes aparatos y sistemas orgánicos. La sangre venosa retorna al atrio derecho por medio de las venas cava craneal y cava caudal, fluye después al ventrículo derecho y éste la impulsa hacia el tronco pulmonar y las arterias pulmonares para alcanzar los pulmones. Finalmente, las venas pulmonares transportan la sangre oxigenada al atrio izquierdo del corazón.

*Particularidades según el orden taxonómico*

### Rodentia

El arco aórtico da lugar al tronco braquiocefálico. En la paca y pacarana el tronco braquiocefálico emite las arterias subclavias izquierda y derecha y el tronco bicarotídeo, del que se desprenden las arterias carótidas comunes izquierda y derecha. En el agutí el tronco braquiocefálico emite las arterias subclavias izquierda y derecha y arterias carótidas comunes izquierda y derecha.

### Cingulata y Pilosa

Existe una gran variabilidad en la disposición de los grandes vasos dentro de estos órdenes. En el armadillo de nueve bandas el arco aórtico da lugar sucesivamente al tronco braquiocefálico y a las arterias subclavias izquierda y derecha. El tronco braquiocefálico, por su parte, emite el tronco bicarotídeo.

En el armadillo gigante el arco aórtico da lugar al tronco braquiocefálico, que a su vez emite las arterias subclavia y carótida común derecha. Después el arco aórtico desprende directamente las arterias carótida común y subclavia izquierdas.

En el oso hormiguero y el oso perezoso de dos dedos el arco aórtico da lugar sucesivamente al tronco braquiocefálico y a la arteria subclavia izquierda. El tronco braquiocefálico, por su parte, emite el tronco bicarotídeo y la arteria subclavia derecha. Del tronco bicarotídeo se desprenden las arterias carótidas comunes izquierda y derecha.



En el oso perezoso de tres dedos el arco aórtico da lugar sucesivamente al tronco braquiocefálico, a la arteria carótida izquierda y a la arteria subclavia izquierda. El tronco braquiocefálico, por su parte, emite la arteria carótida derecha y la arteria subclavia derecha

Artiodactyla

En las dos especies de pecaríes el patrón de ramificación del arco aórtico es similar al de los suidos domésticos. El arco aórtico da lugar sucesivamente al tronco braquiocefálico y a la arteria subclavia izquierda. A su vez, el tronco braquiocefálico emite el tronco bicarotídeo y la arteria subclavia derecha.

En los venados el patrón de ramificación del arco aórtico es similar al de los rumiantes domésticos. El arco aórtico da lugar al tronco braquiocefálico. A su vez, el tronco braquiocefálico emite las arterias subclavias derecha e izquierda y el tronco bicarotídeo, del que se desprenden las arterias carótidas comunes izquierda y derecha

Perissodactyla

En el tapir el patrón de ramificación del arco aórtico es similar al de los équidos. El arco aórtico da lugar únicamente al tronco braquiocefálico. A su vez, el tronco braquiocefálico emite las arterias subclavias derecha e izquierda y el tronco bicarotídeo, del que se desprenden las arterias carótidas comunes izquierda y derecha.

Carnivora

En los carnívoros amazónicos estudiados, el arco aórtico da lugar sucesivamente al tronco braquiocefálico y a la arteria subclavia izquierda. En el kinkajou y la nutria gigante, el tronco braquiocefálico emite el tronco bicarotídeo y la arteria subclavia derecha. Del tronco bicarotídeo se desprenden las arterias carótidas comunes izquierda y derecha. En el ocelote, jaguar y coatí de cola anillada, el tronco braquiocefálico emite la arteria subclavia derecha y las arterias carótidas comunes izquierda y derecha.

Primates

En los primates neotropicales el patrón de ramificación del arco aórtico es similar al del hombre. El arco aórtico da lugar sucesivamente al tronco braquiocefálico, la arteria carótida común (o primitiva) izquierda y la arteria subclavia izquierda. El tronco braquiocefálico, por su parte, emite la arteria subclavia derecha y la arteria carótida común (o primitiva) derecha.

**Bazo**

El bazo es un órgano linfático. Participa en el sistema inmunitario y colabora en la destrucción de células sanguíneas rojas envejecidas, en la producción de células sanguíneas nuevas y en mantener una reserva de sangre. Es de color rojo oscuro y se sitúa junto a la curvatura mayor del estómago, al que está unido por medio del ligamento gastroesplénico. Se pueden diferenciar una cara diafragmática y una cara visceral. El bazo de los mamíferos puede presentar un hilio puntual o difuso en la cara

visceral, por donde penetran las ramificaciones de la arteria y vena esplénicas y los nervios del sistema nervioso autónomo.

*Particularidades según el orden taxonómico*

Rodentia

Su forma es de coma y ligeramente triangular, con el extremo dorsal de mayor tamaño que el ventral. Presenta un hilio difuso a lo largo de la cara visceral.

Cingulata y Pilosa

El bazo adquiere formas diferentes según la especie: forma de L, con la barra horizontal en posición ventral (armadillo de nueve bandas) o en posición dorsal (oso hormiguero gigante), o forma de coma (osos perezosos de dos y tres dedos). En el armadillo gigante el bazo presenta una porción más delgada, situada dorsalmente, y una porción más ancha, que está desdoblada y dispuesta ventralmente. El bazo de las especies estudiadas presenta un hilio difuso a lo largo de la cara visceral.

Artiodactyla

El bazo de los venados se sitúa, como en los rumiantes domésticos, entre el diafragma y el saco dorsal del rumen. Tiene color rojo grisáceo y forma ovalada o poligonal. Presenta un hilio puntual en la cara visceral.

En los pecaríes el bazo tiene una forma alargada, con el extremo dorsal de mayor tamaño que el ventral, y un hilio difuso a lo largo de la cara visceral.

Perissodactyla

Su forma es alargada, con el extremo dorsal de mayor tamaño que el ventral. El bazo del tapir presenta un hilio difuso a lo largo de la cara visceral.

Carnivora

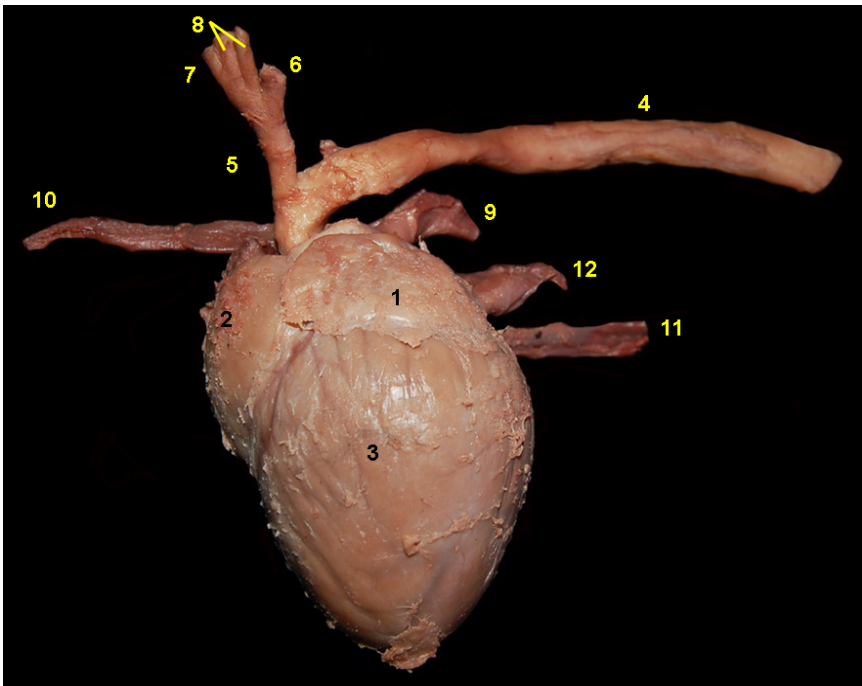
Su forma es alargada y ligeramente triangular, con el extremo ventral de mayor tamaño que el dorsal. Presenta un hilio difuso a lo largo de la cara visceral.

Primates

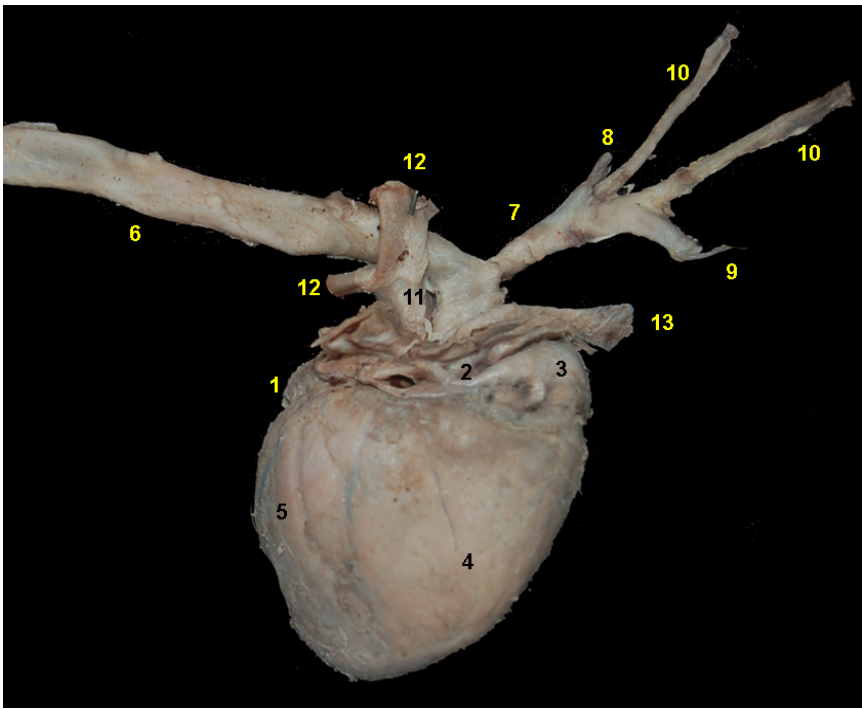
Su forma es alargada (forma de lengua) y presenta un hilio difuso a lo largo de la cara visceral.



# AGUTÍ (*Dasyprocta fuliginosa*)

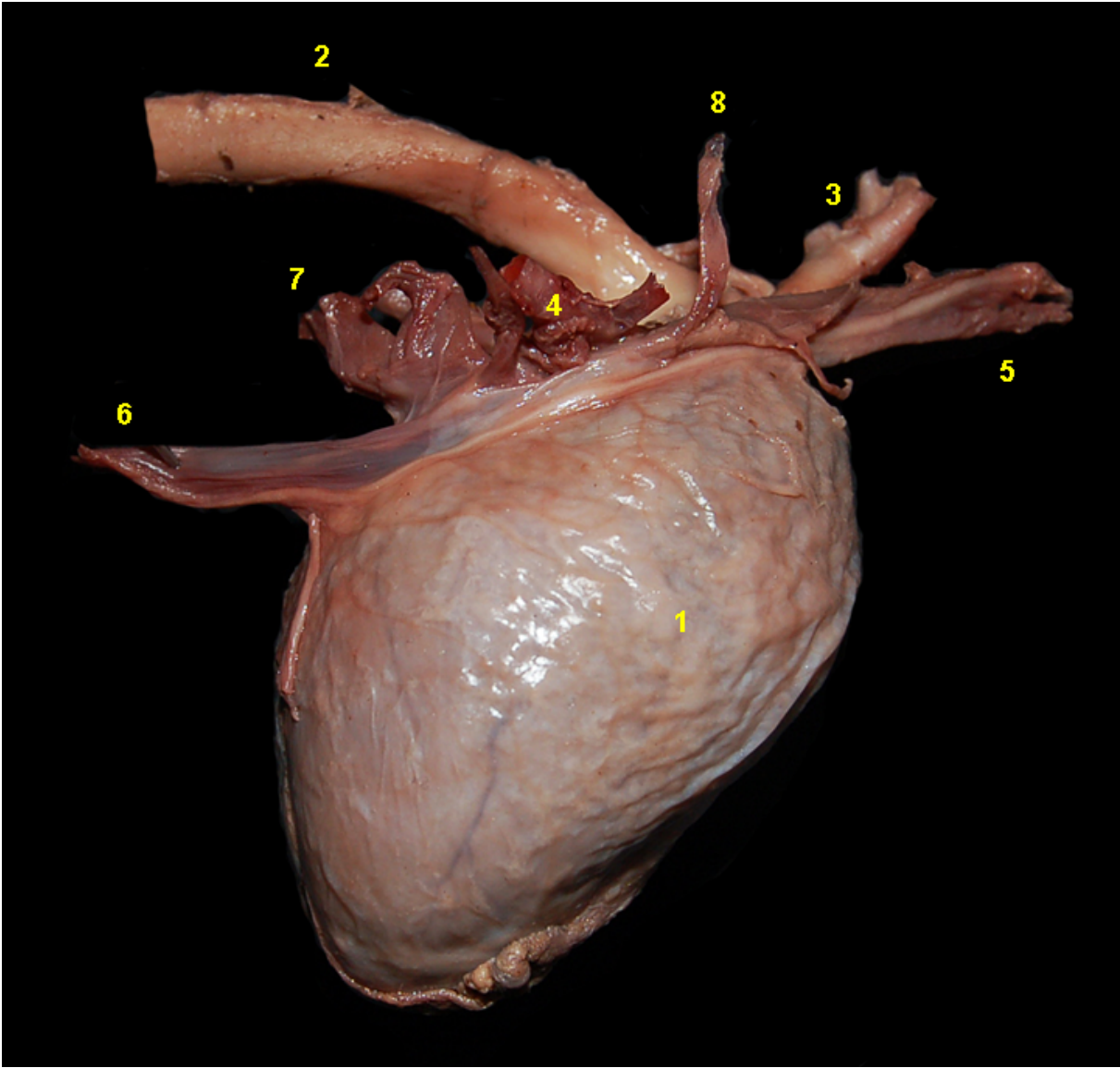


**Figura 4.1** - Visión lateral izquierda del corazón del agutí (*Dasyprocta fuliginosa*). 1. Aurícula izquierda; 2. Ventriculo derecho; 3. Ventriculo izquierdo; 4. Aorta; 5. Tronco braquiocefálico; 6. Arteria subclavia izquierda; 7. Arteria subclavia derecha; 8. Arterias carótidas comunes; 9. Tronco pulmonar; 10. Vena cava craneal; 11. Vena cava caudal; 12. Venas pulmonares.

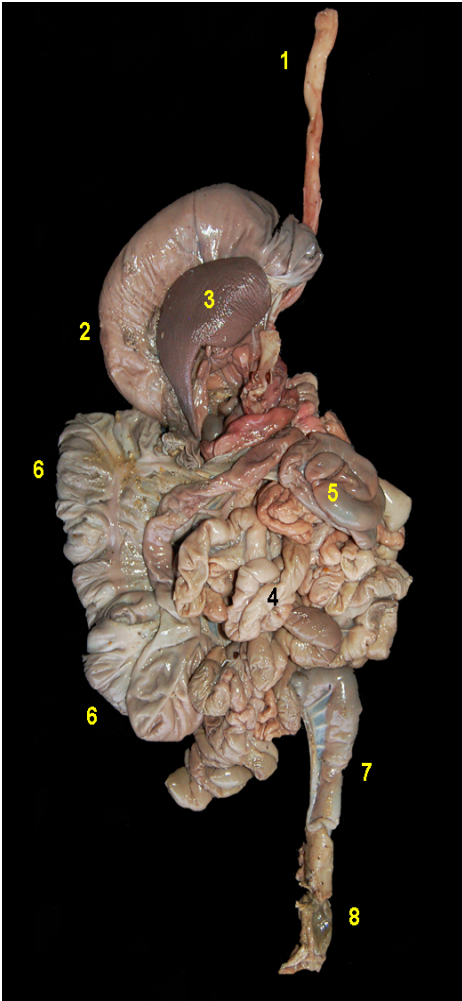


**Figura 4.2** - Visión lateral derecha del corazón del agutí (*Dasyprocta fuliginosa*). 1. Atrio izquierdo; 2. Atrio derecho; 3. Aurícula derecha; 4. Ventriculo derecho; 5. Ventriculo izquierdo; 6. Aorta; 7. Tronco braquiocefálico; 8. Arteria subclavia izquierda; 9. Arteria subclavia derecha; 10. Arterias carótidas comunes; 11. Tronco pulmonar; 12. Arterias pulmonares; 13. Vena cava craneal.

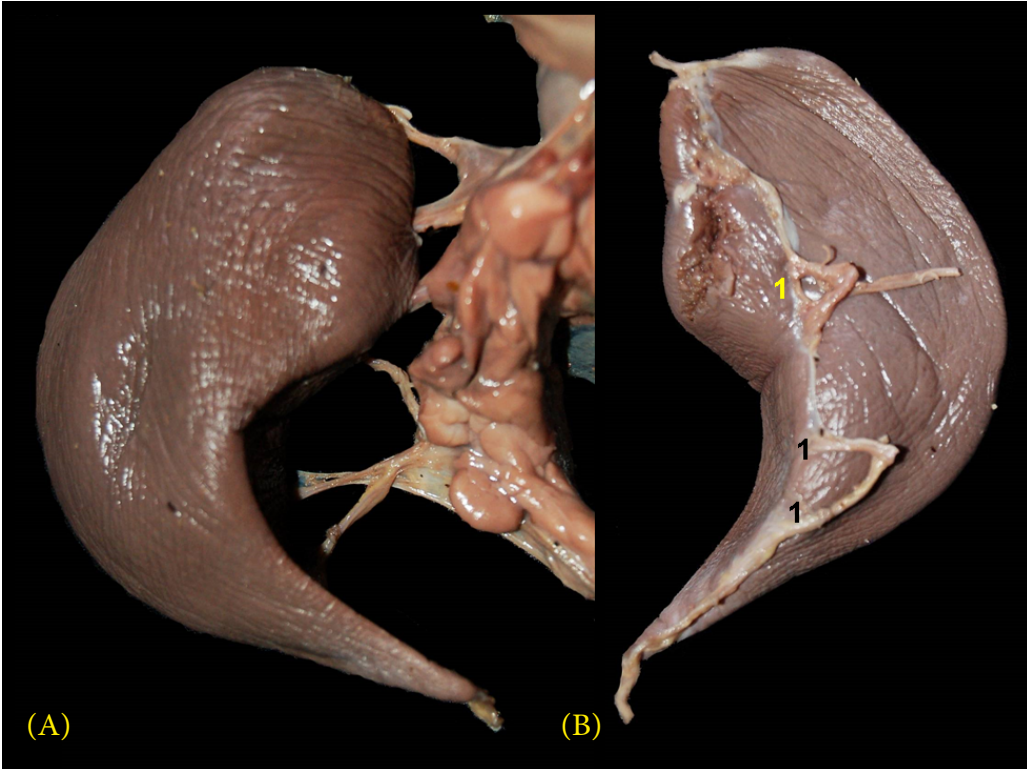




**Figura 4.3** - Visión lateral derecha del corazón del agutí (*Dasyprocta fuliginosa*). 1. Pericardio fibroso; 2. Aorta; 3. Tronco braquiocefálico; 4. Tronco pulmonar; 5. Vena cava craneal; 6. Vena cava caudal; 7. Venas pulmonares; 8. Vena ácigos derecha.



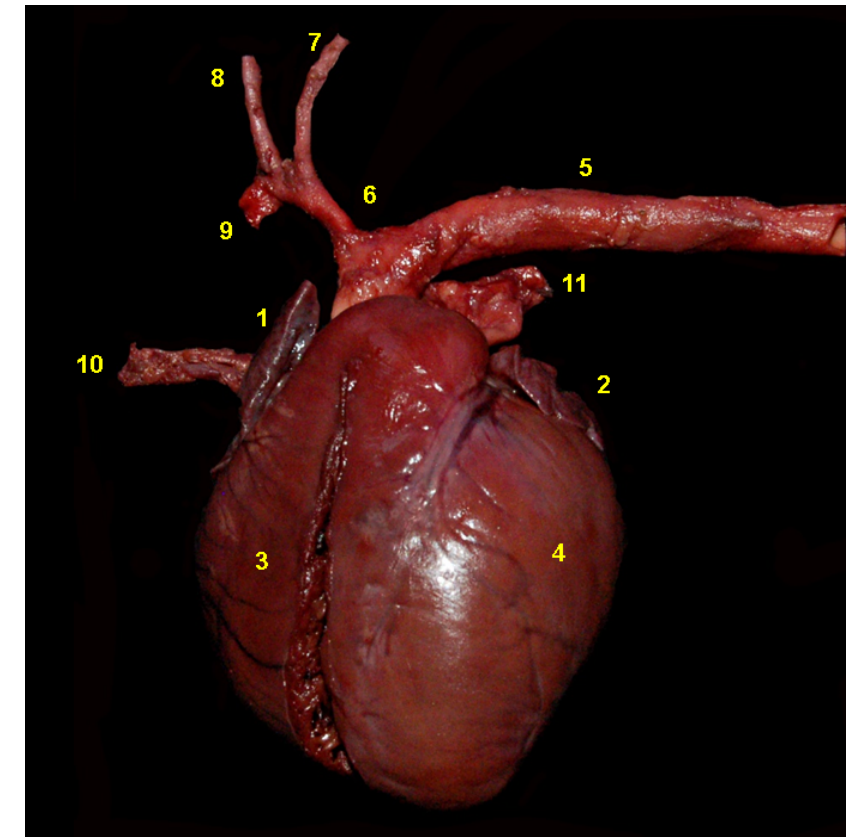
**Figura 4.4** - Visión dorsal de los órganos digestivos abdominales y bazo del agutí (*Dasyprocta fuliginosa*). 1. Esófago; 2. Estómago; 3. Bazo; 4. Asas yeyunales; 5. Colon ascendente; 6. Ciego; 7. Colon descendente; 8. Recto.



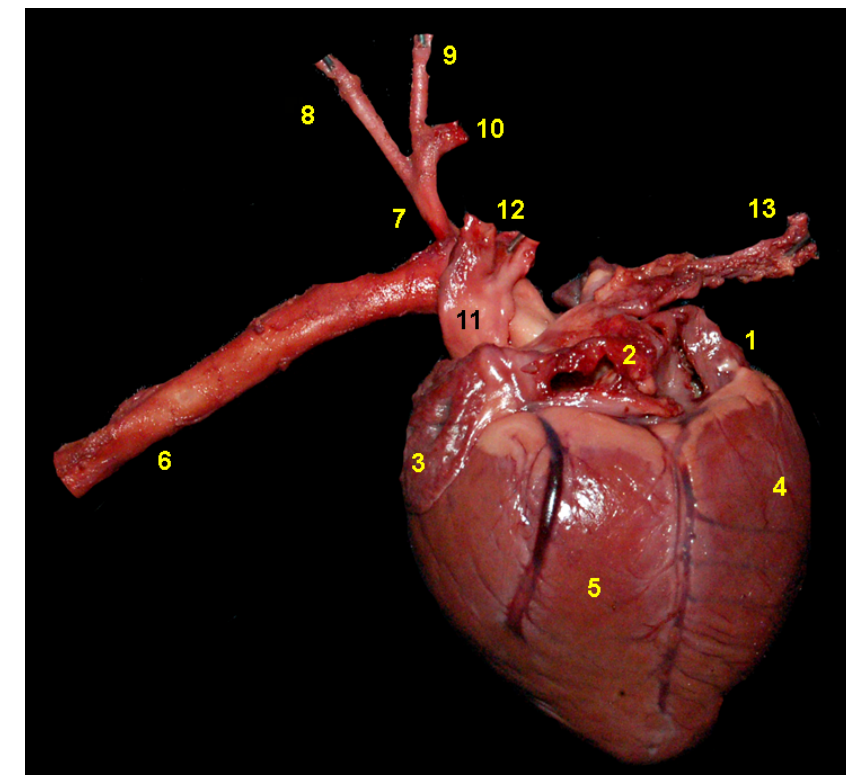
**Figura 4.5** - Bazo del agutí (*Dasyprocta fuliginosa*). **A** - Cara parietal; **B** - Cara visceral. 1. Hilio del bazo.



## PACA (*Cuniculus paca*)

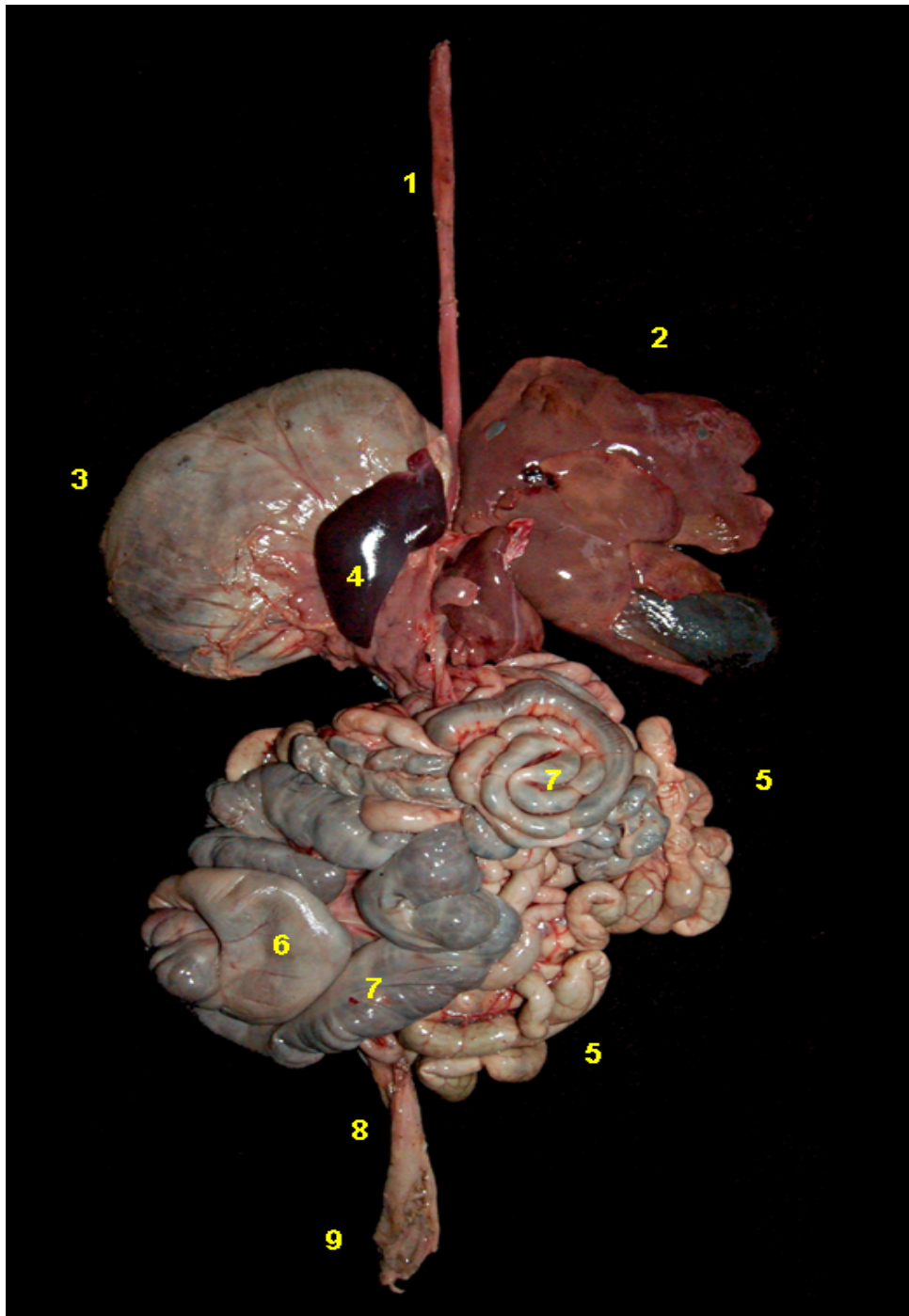


**Figura 4.6** - Visión lateral izquierda del corazón de la paca (*Cuniculus paca*). 1. Aurícula derecha; 2. Aurícula izquierda; 3. Ventrículo derecho; 4. Ventrículo izquierdo; 5. Aorta; 6. Tronco braquiocefálico; 7. Arteria subclavia izquierda; 8. Arteria subclavia derecha; 9. Tronco bicarotídeo; 10. Vena cava craneal; 11. Tronco pulmonar.

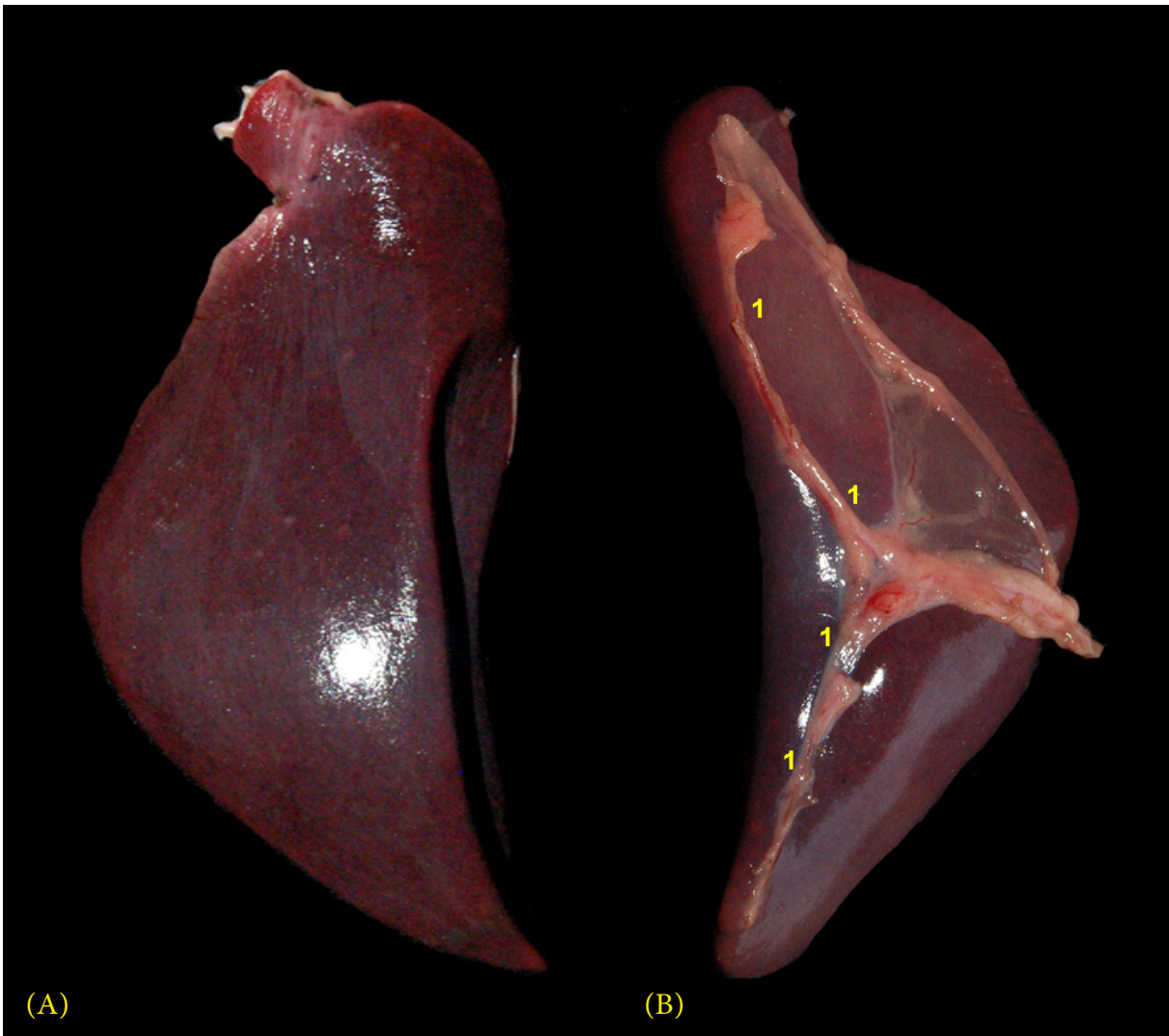


**Figura 4.7** - Visión lateral derecha del corazón de la paca (*Cuniculus paca*). 1. Aurícula derecha; 2. Atrio derecho; 3. Aurícula izquierda; 4. Ventrículo derecho; 5. Ventrículo izquierdo; 6. Aorta; 7. Tronco braquiocefálico; 8. Arteria subclavia izquierda; 9. Arteria subclavia derecha; 10. Tronco bicarotídeo; 11. Tronco pulmonar; 12. Arterias pulmonares; 13. Vena cava craneal.





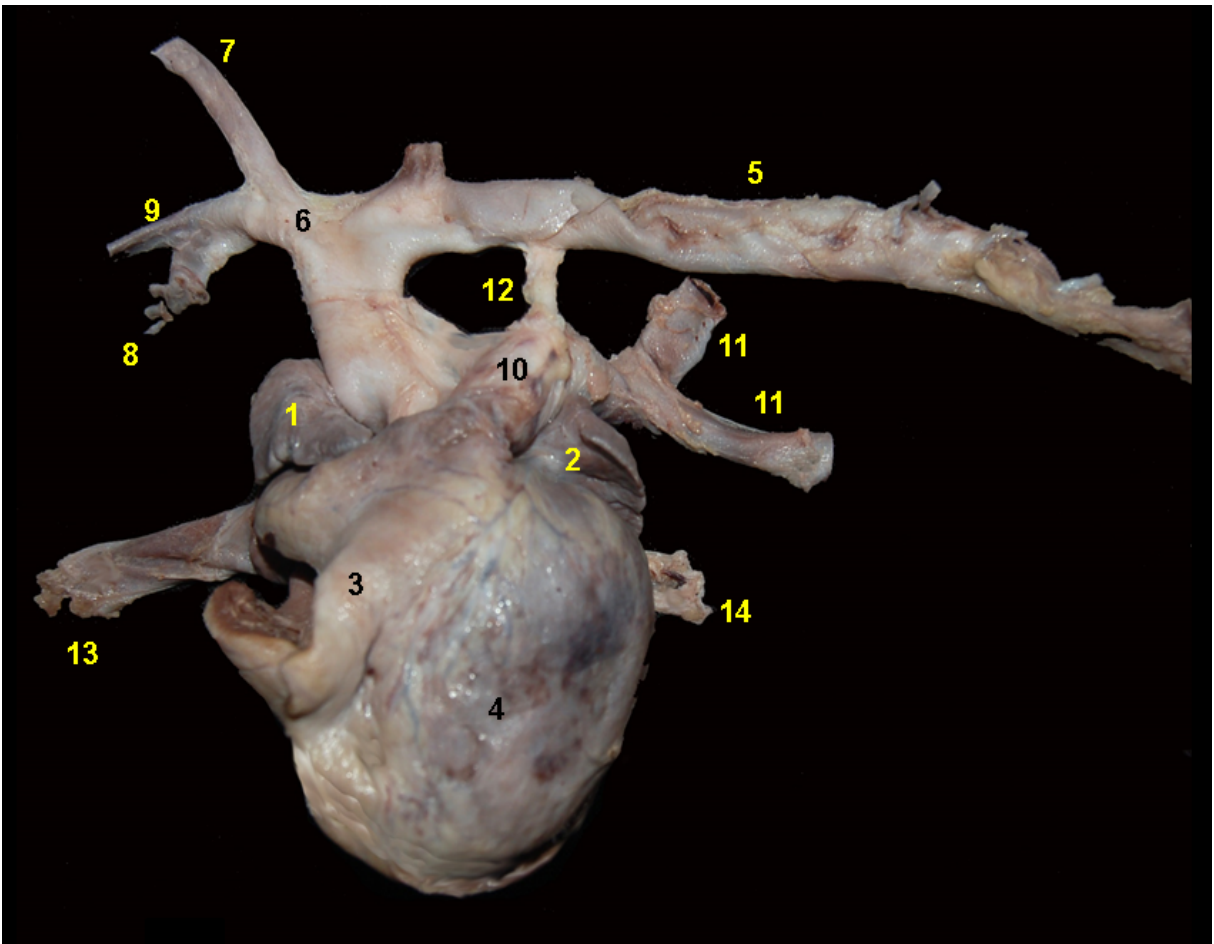
**Figura 4.8** - Visión dorsal de los órganos abdominales de la paca (*Cuniculus paca*). 1. Esófago; 2. Hígado; 3. Estómago; 4. Bazo; 5. Asas yeyunales; 6. Ciego; 7. Colon ascendente (giros centrípetos y centrífugos del asa espiral); 8. Colon descendente; 9. Recto.



**Figura 4.9** - Bazo de la paca (*Cuniculus paca*). **A** - Cara parietal; **B** - Cara visceral. 1. Hilio del bazo.

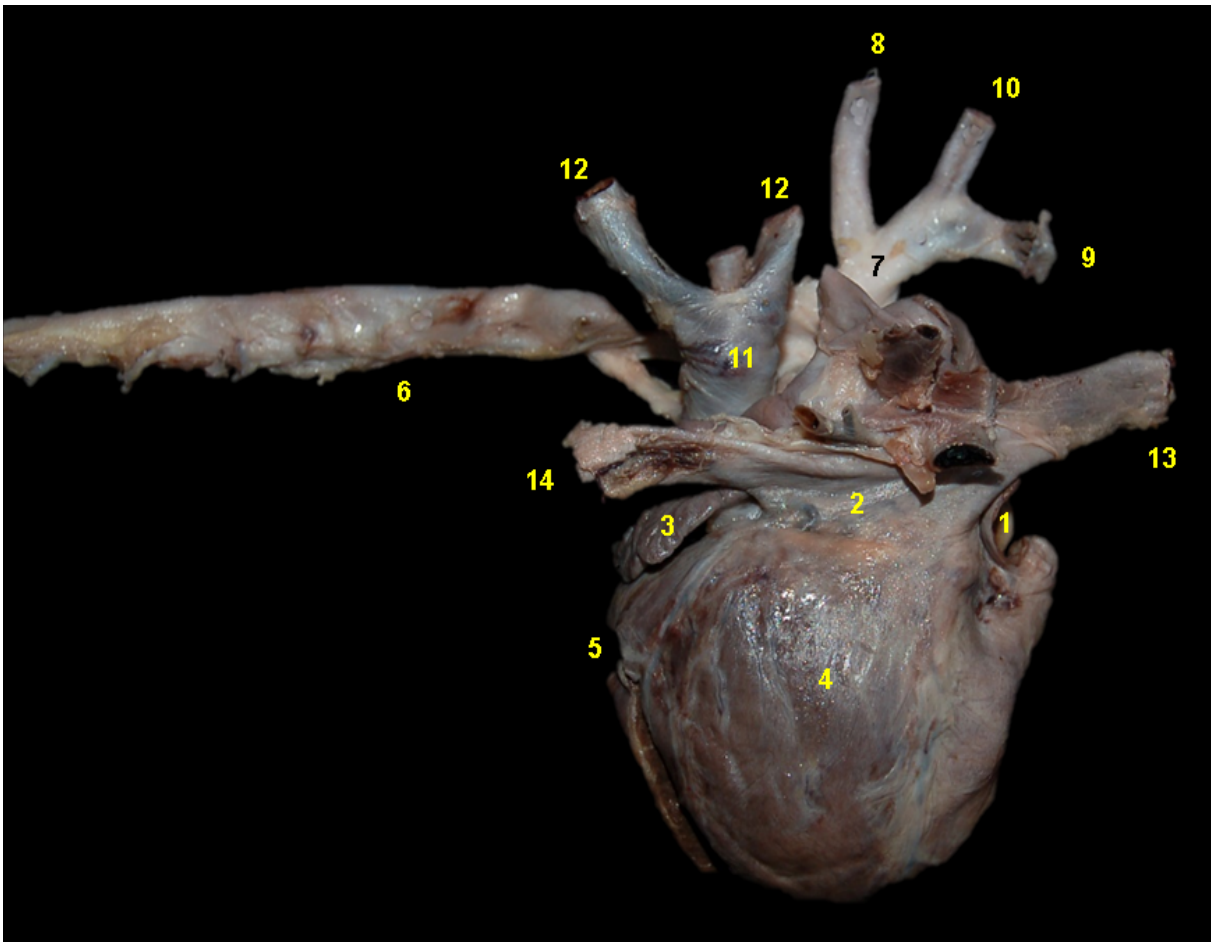


# PACARANA (*Dinomys branickii*)



**Figura 4.10** - Visión lateral izquierda del corazón de la pacarana (*Dinomys branickii*). 1. Aurícula derecha; 2. Aurícula izquierda; 3. Ventriculo derecho; 4. Ventriculo izquierdo; 5. Aorta; 6. Tronco braquiocefálico; 7. Arteria subclavia izquierda; 8. Arteria subclavia derecha; 9. Tronco bicarotídeo; 10. Tronco pulmonar; 11. Arterias pulmonares; 12. Ligamento arterioso; 13. Vena cava craneal; 14. Vena cava caudal.

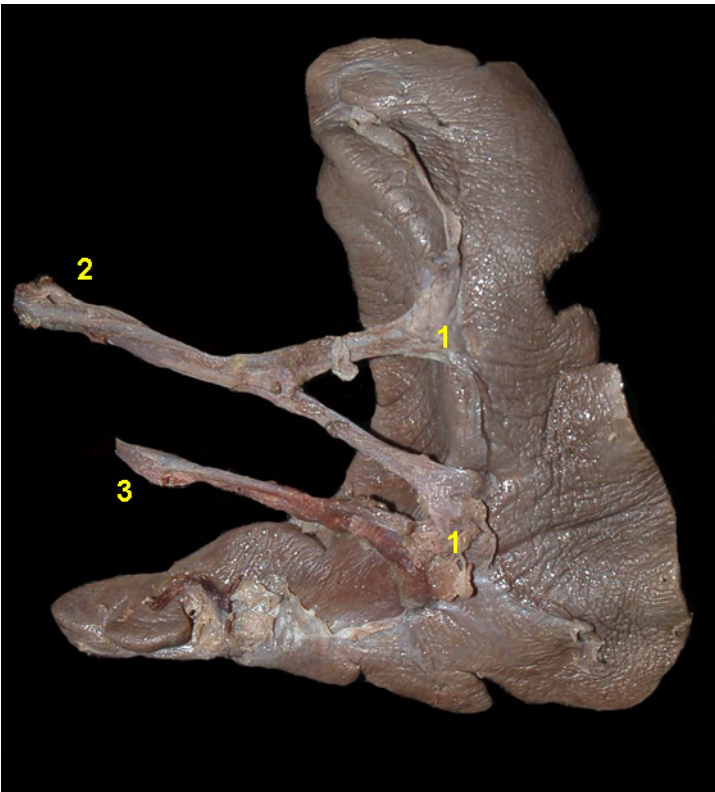




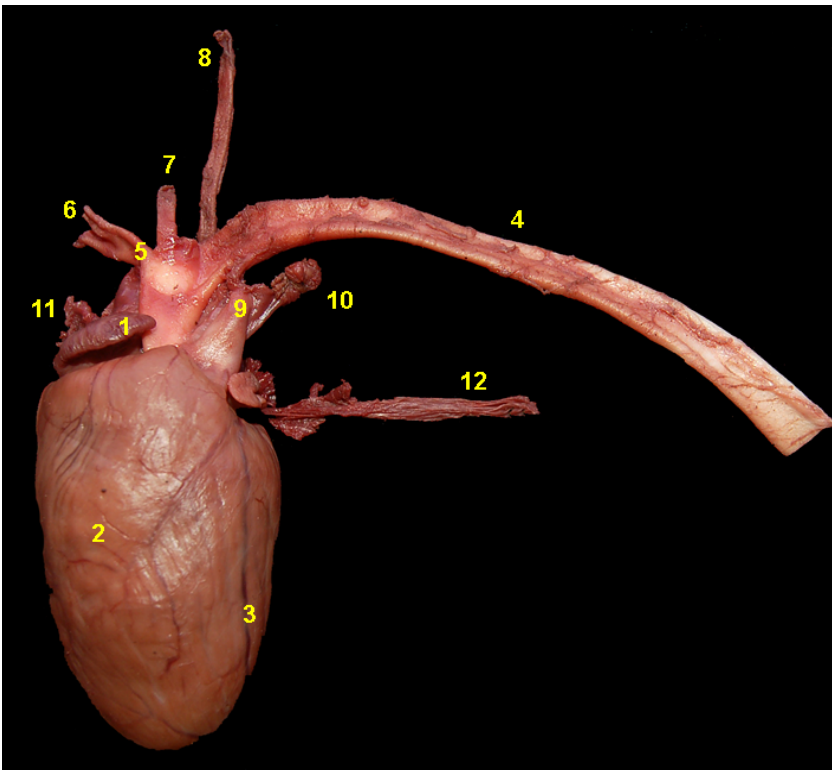
**Figura 4.11** - Visión lateral derecha del corazón de la pacarana (*Dinomys branickii*). 1. Aurícula derecha; 2. Atrio derecho; 3. Aurícula izquierda; 4. Ventriculo derecho; 5. Ventriculo izquierdo; 6. Aorta; 7. Tronco braquiocefálico; 8. Arteria subclavia izquierda; 9. Arteria subclavia derecha; 10. Tronco bicarotídeo; 11. Tronco pulmonar; 12. Arterias pulmonares; 13. Vena cava craneal; 14. Vena cava caudal.



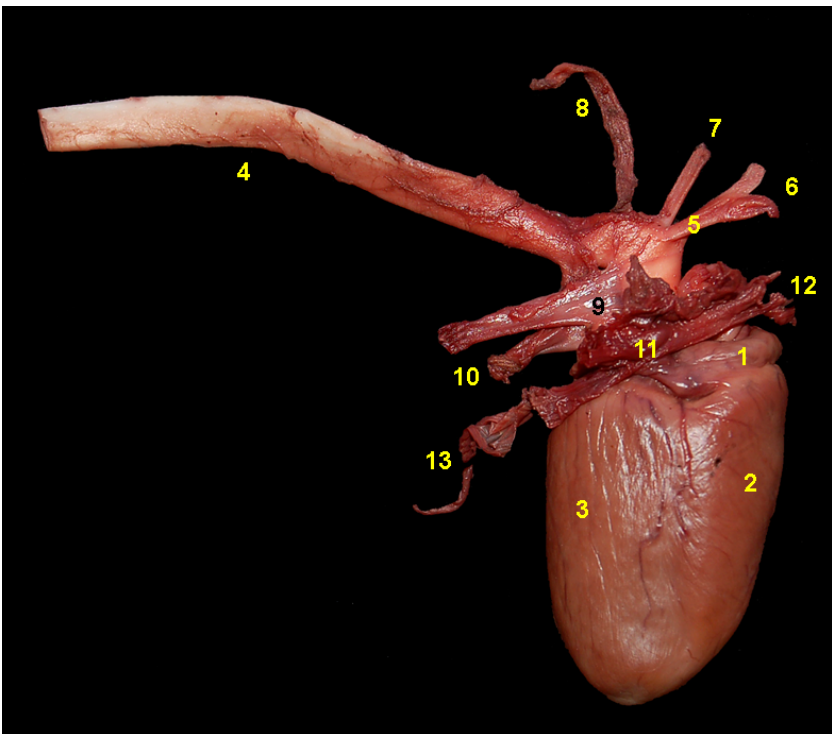
**Figura 4.12** - Cara parietal del bazo de la pacarana (*Dinomys branickii*).



**Figura 4.13** - Cara visceral del bazo de la pacarana (*Dinomys branickii*). 1. Hilio del bazo; 2. Arteria esplénica; 3. Vena esplénica.



**Figura 4.14** - Visión lateral izquierda del corazón del armadillo de nueve bandas (*Dasypus novemcinctus*). 1. Aurícula derecha; 2. Ventriculo derecho; 3. Ventriculo izquierdo; 4. Aorta; 5. Tronco braquiocefálico; 6. Arterias carótidas comunes; 7. Arteria subclavia izquierda; 8. Arteria subclavia derecha; 9. Tronco pulmonar; 10. Arterias pulmonares; 11. Vena cava craneal; 12. Vena cava caudal.

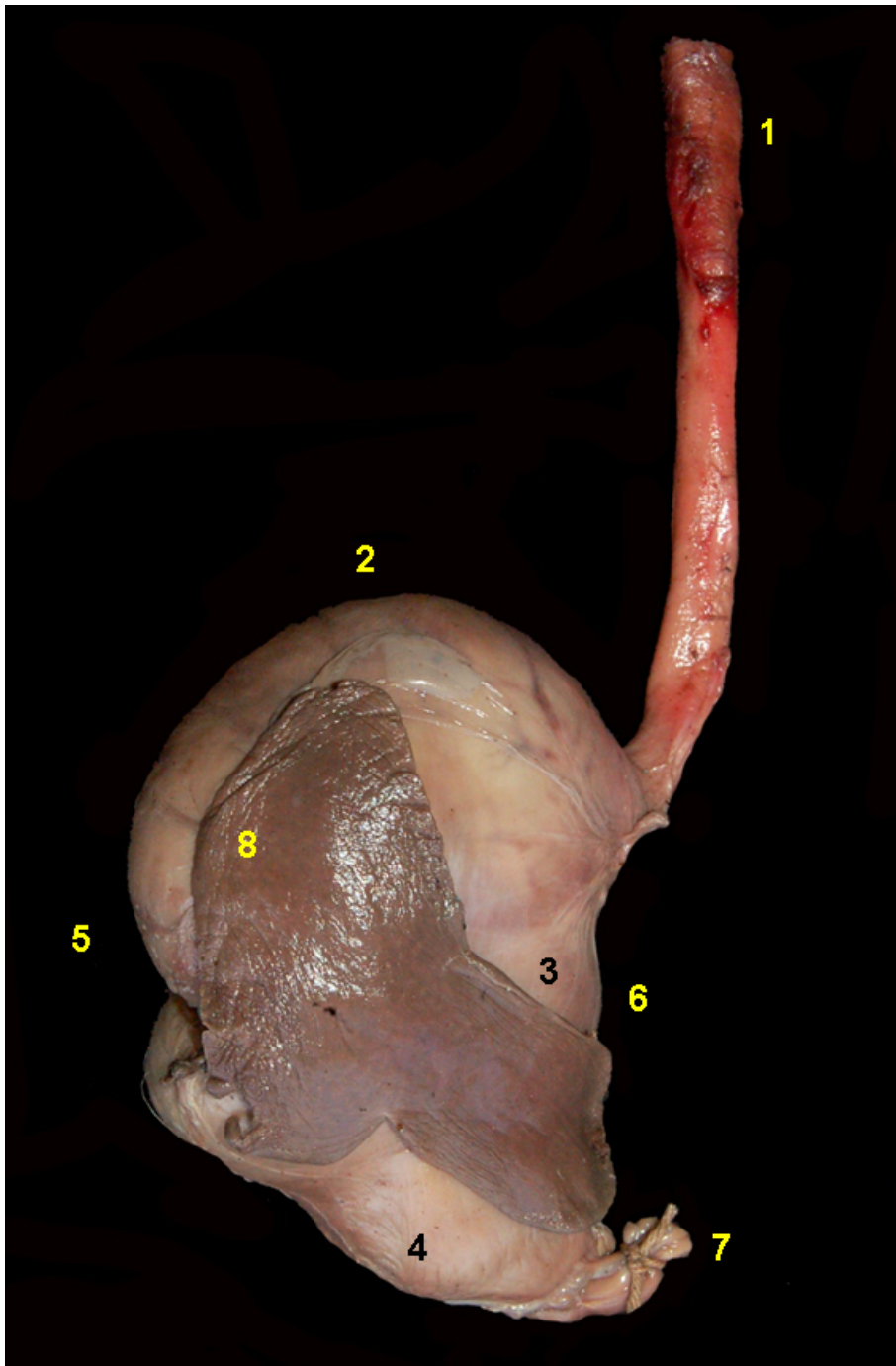


**Figura 4.15** - Visión lateral derecha del corazón del armadillo de nueve bandas (*Dasypus novemcinctus*). 1. Atrio derecho; 2. Ventriculo derecho; 3. Ventriculo izquierdo; 4. Aorta; 5. Tronco braquiocefálico; 6. Arterias carótidas comunes; 7. Arteria subclavia izquierda; 8. Arterias subclavia derecha; 9. Tronco pulmonar; 10. Arterias pulmonares; 11. Venas pulmonares; 12. Vena cava craneal; 13. Vena cava caudal.



## ARMADILLO DE NUEVE BANDAS (*Dasypus novemcinctus*)

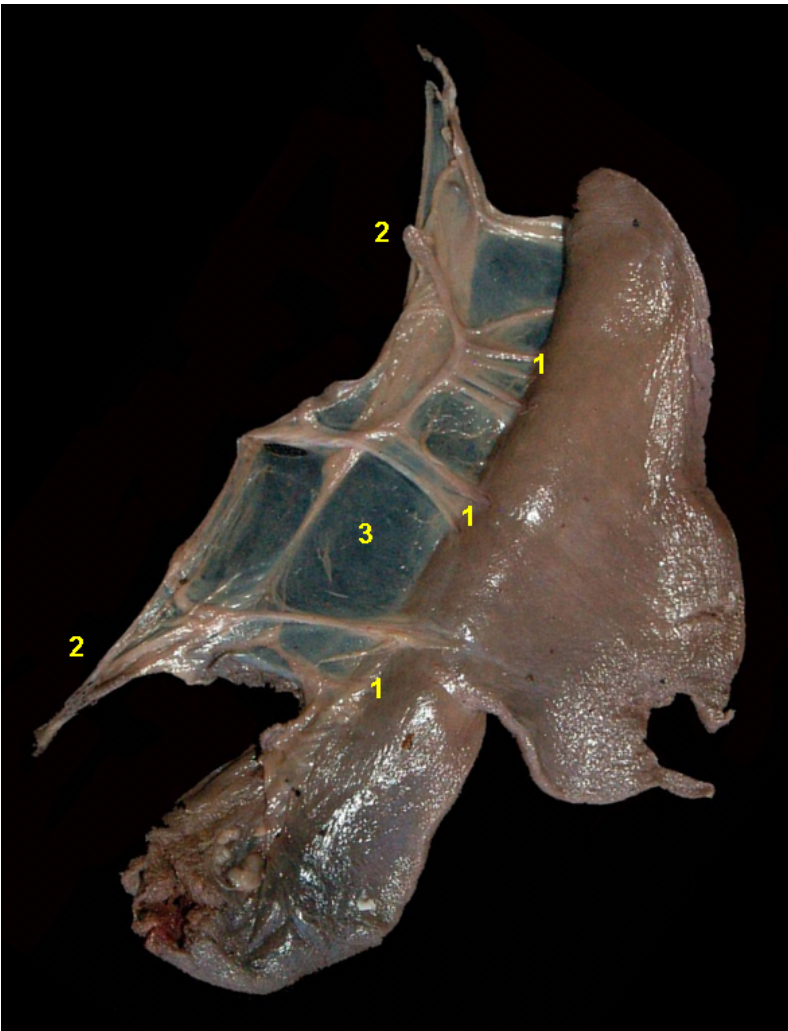




**Figura 4.16** - Cara visceral del estómago y bazo del armadillo de nueve bandas (*Dasypus novemcinctus*). 1. Esófago; 2. Fundus del estómago; 3. Cuerpo; 4. Parte pilórica; 5. Curvatura mayor; 6. Curvatura menor; 7. Duodeno; 8. Bazo.



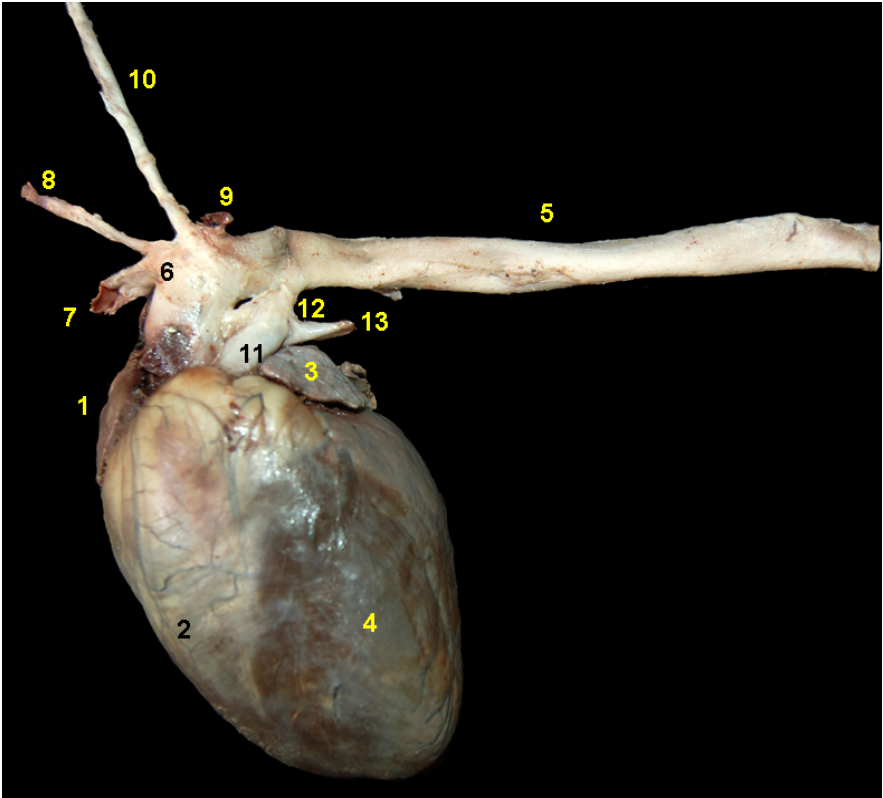
**Figura 4.17** - Cara parietal del bazo del armadillo de nueve bandas (*Dasypus novemcinctus*).



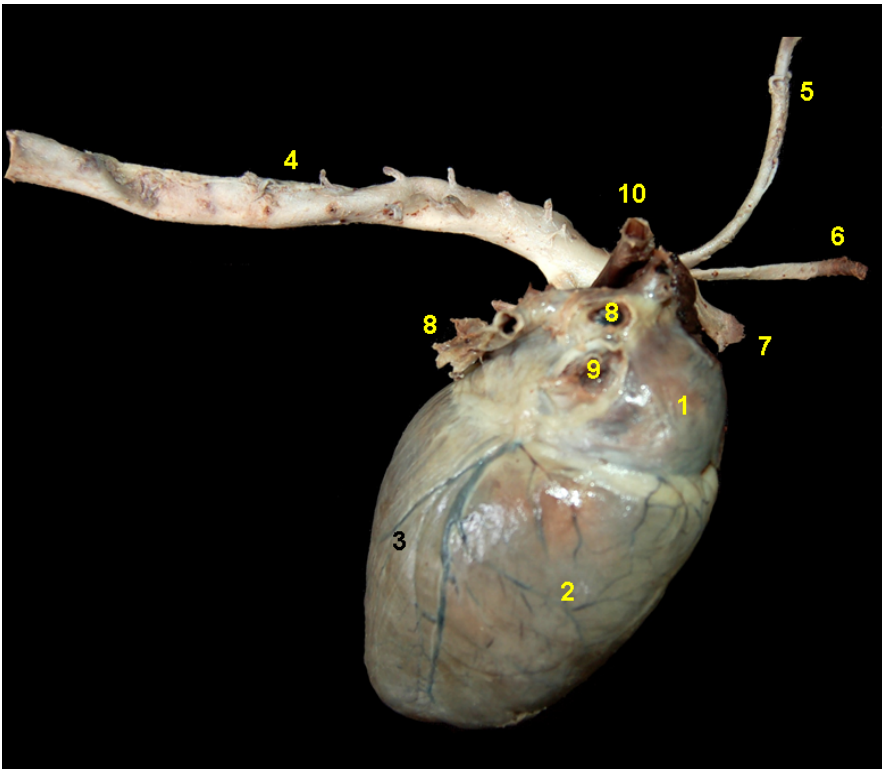
**Figura 4.18** - Cara visceral del bazo del armadillo de nueve bandas (*Dasypus novemcinctus*). 1. Hilio del bazo; 2. Vasos esplénicos; 3. Ligamento gastro-esplénico.



ARMADILLO GIGANTE  
(*Priodontes maximus*)

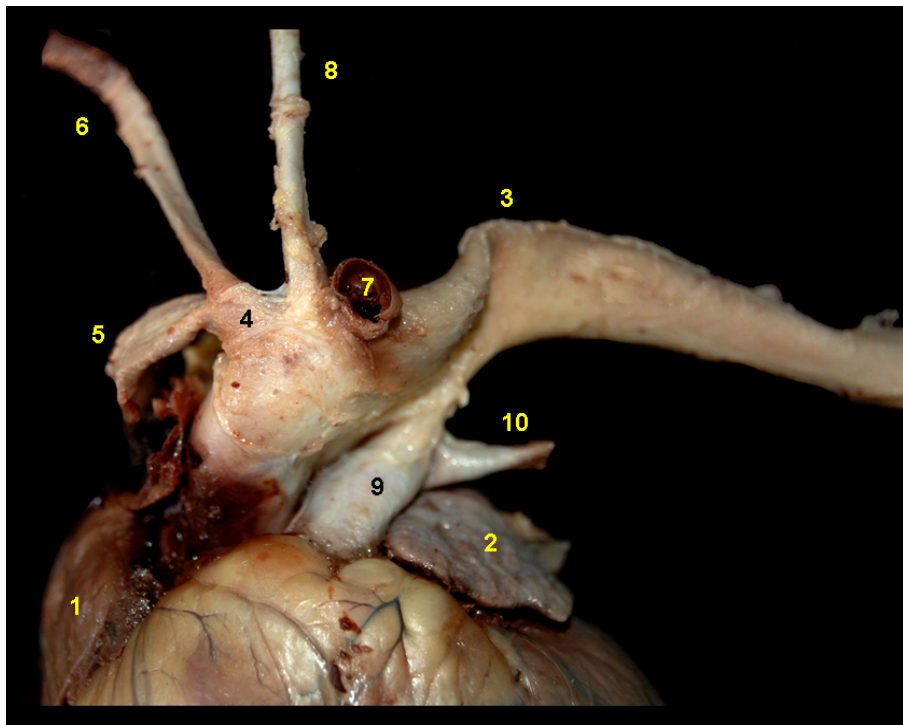


**Figura 4.19** - Visión lateral izquierda del corazón del armadillo gigante (*Priodontes maximus*). 1. Aurícula derecha; 2. Ventrículo derecho; 3. Aurícula izquierda; 4. Ventrículo izquierdo; 5. Aorta; 6. Tronco braquiocefálico; 7. Arteria subclavia derecha; 8. Arteria carótida común derecha; 9. Arteria subclavia izquierda; 10. Arteria carótida común izquierda; 11. Tronco pulmonar; 12. Ligamento arterioso; 13. Arterias pulmonares.

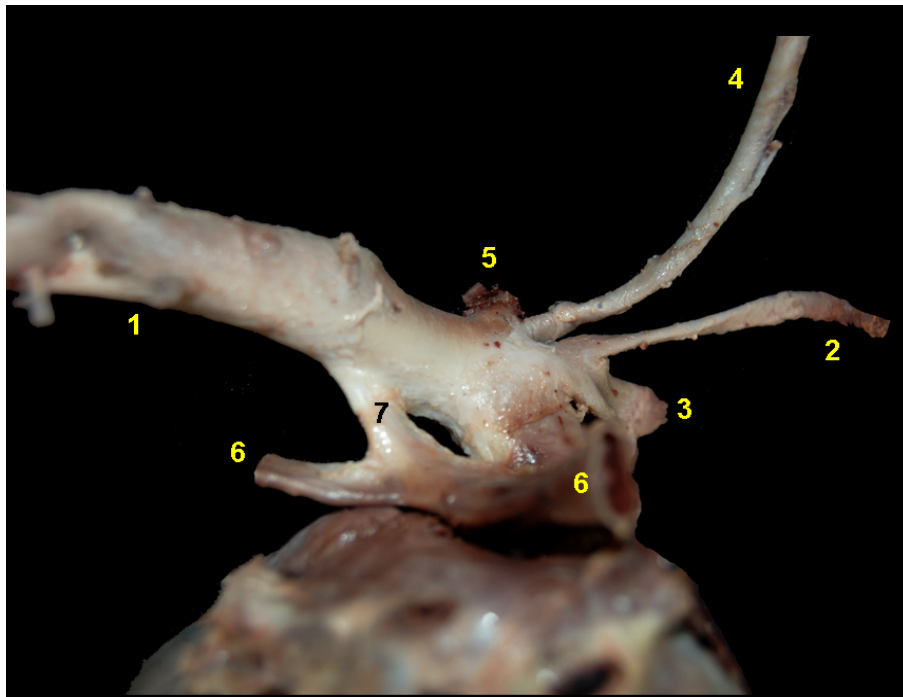


**Figura 4.20** - Visión lateral derecha del corazón del armadillo gigante (*Priodontes maximus*). 1. Atrio derecho; 2. Ventrículo derecho; 3. Ventrículo izquierdo; 4. Aorta; 5. Arteria carótida común izquierda; 6. Arteria carótida común derecha; 7. Arteria subclavia derecha; 8. Venas pulmonares; 9. Vena cava caudal; 10. Arteria pulmonar derecha.





**Figura 4.21** - Visión lateral izquierda del corazón del armadillo gigante (*Priodontes maximus*). Detalle del origen de los grandes vasos. 1. Aurícula derecha; 2. Aurícula izquierda; 3. Aorta; 4. Tronco braquiocefálico; 5. Arteria subclavia derecha; 6. Arteria carótida común derecha; 7. Arteria subclavia izquierda; 8. Arteria carótida común izquierda; 9. Tronco pulmonar; 10. Arterias pulmonares.



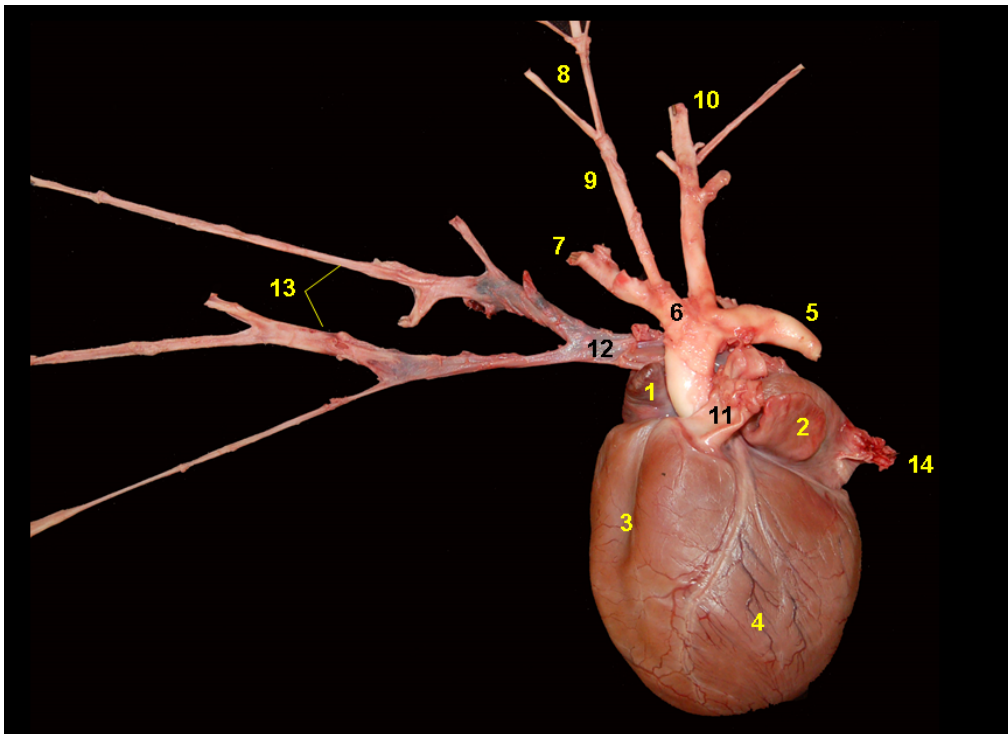
**Figura 4.22** - Visión lateral derecha del corazón del armadillo gigante (*Priodontes maximus*). 1. Aorta; 2. Arteria carótida común derecha; 3. Arteria subclavia derecha; 4. Arteria carótida común izquierda; 5. Arteria subclavia izquierda; 6. Arterias pulmonares; 7. Ligamento arterioso.



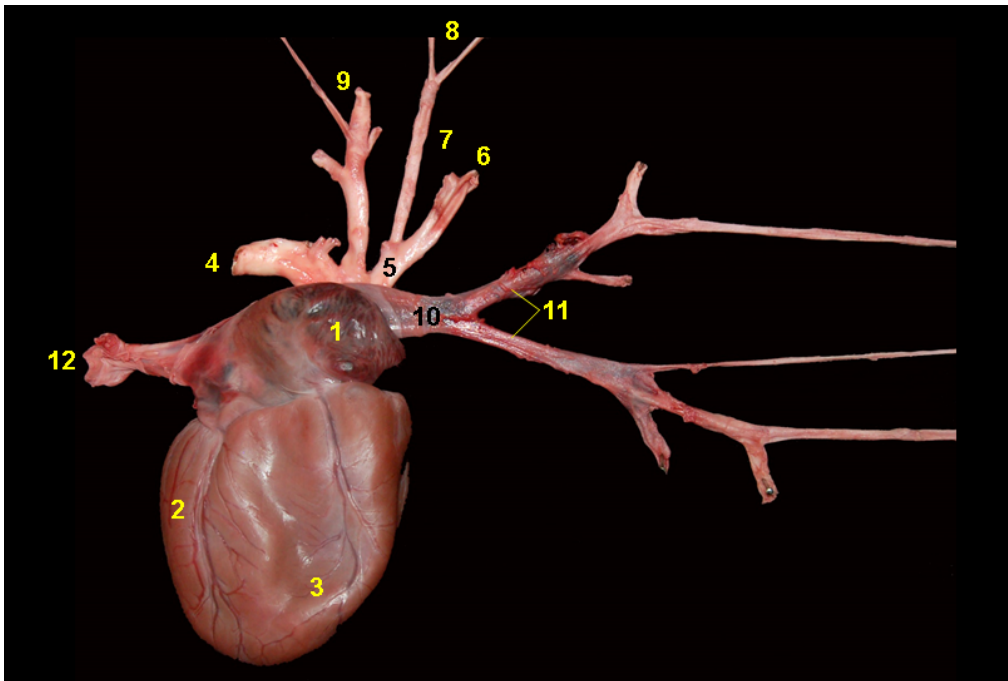
**Figura 4.23** - Bazo del armadillo gigante (*Priodontes maximus*). **A** - Cara parietal. **B** - Cara visceral. 1. Arteria esplénica; 2. Vena esplénica; 3. Hilio del bazo.



# OSO HORMIGUERO (*Myrmecophaga tridactyla*)

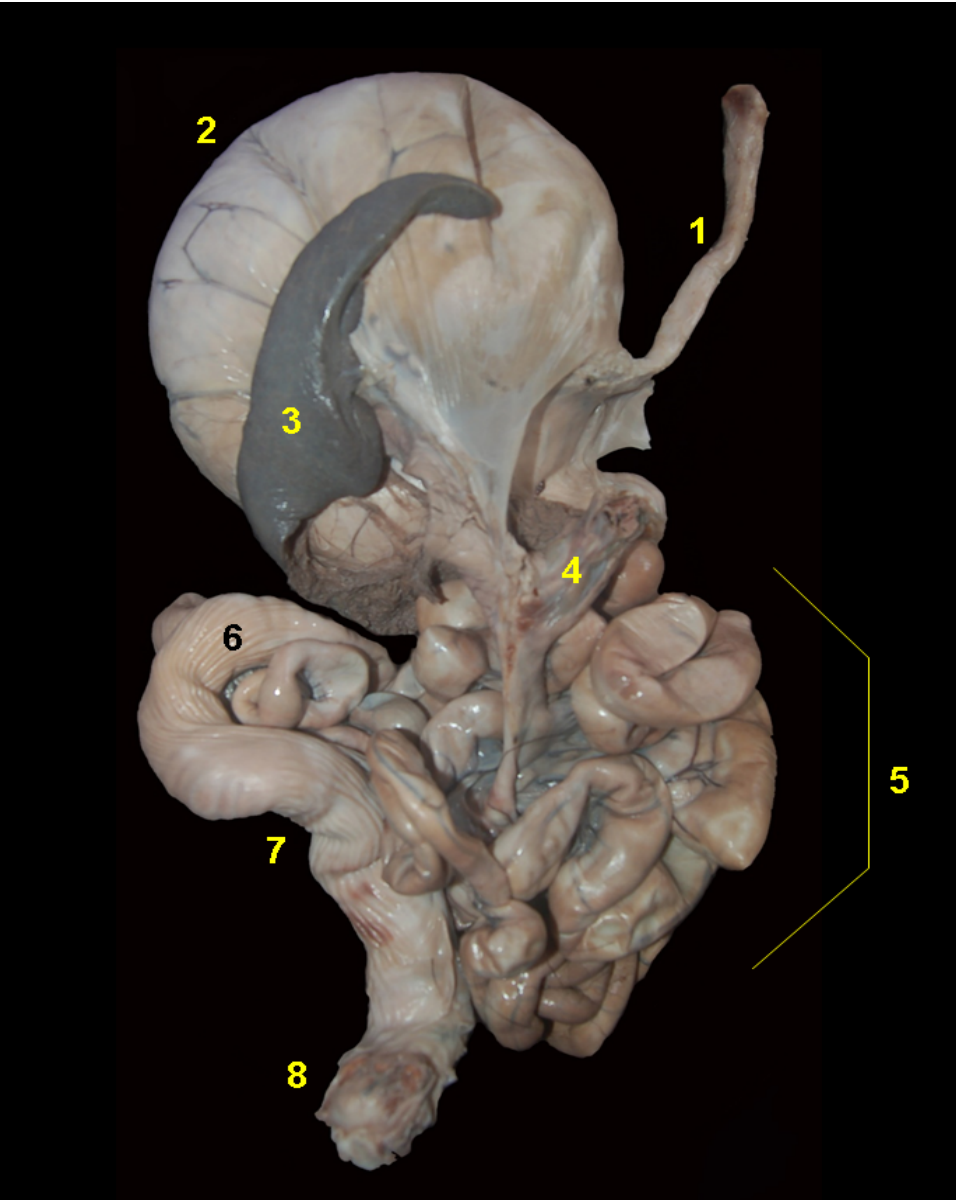


**Figura 4.24** - Visión lateral izquierda del corazón de oso hormiguero (*Myrmecophaga tridactyla*). 1. Aurícula derecha; 2. Aurícula izquierda; 3. Ventriculo derecho; 4. Ventriculo izquierdo; 5. Aorta; 6. Tronco braquiocefálico; 7. Arteria subclavia derecha; 8. Arterias carótidas comunes; 9. Tronco bicarotídeo; 10. Arteria subclavia izquierda; 11. Tronco pulmonar; 12. Vena cava craneal; 13. Venas yugulares externas; 14. Vena cava caudal



**Figura 4.25** - Visión lateral derecha del corazón de oso hormiguero (*Myrmecophaga tridactyla*). 1. Aurícula derecha; 2. Ventriculo izquierdo; 3. Ventriculo derecho; 4. Aorta; 5. Tronco braquiocefálico; 6. Arteria subclavia derecha; 7. Tronco bicarotídeo; 8. Arterias carótidas comunes; 9. Arteria subclavia izquierda; 10. Vena cava craneal; 11. Venas yugulares externas; 12. Vena cava caudal.





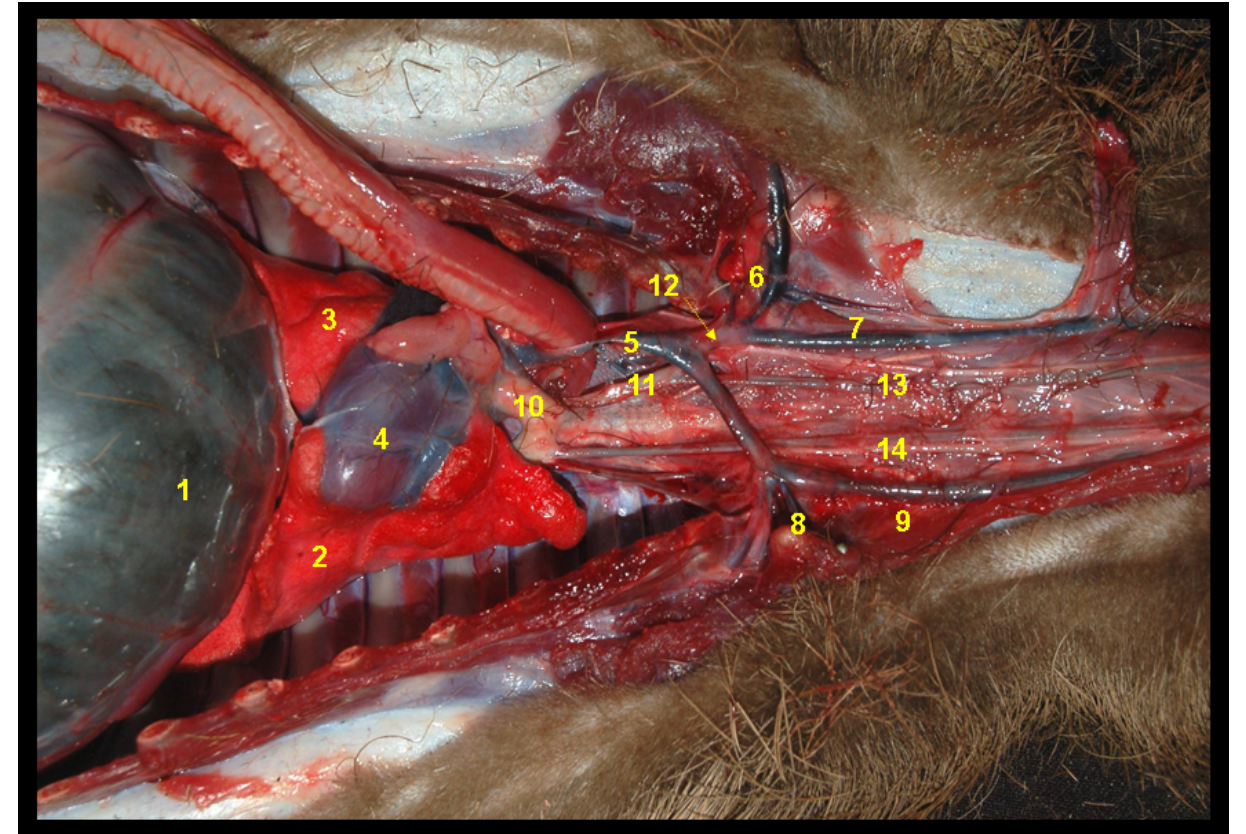
**Figura 4.26** - Visión dorsal de los órganos abdominales de oso hormiguero (*Myrmecophaga tridactyla*). 1. Esófago; 2. Estómago; 3. Bazo; 4. Páncreas; 5. Asas yeyunales; 6. Colon transverso; 7. Colon descendente; 8. Recto.



**Figura 4.27** - Bazo de oso hormiguero (*Myrmecophaga tridactyla*). **A** - Cara parietal. **B** - Cara visceral. 1. Vasos esplénicos; 2. Hilio del bazo.

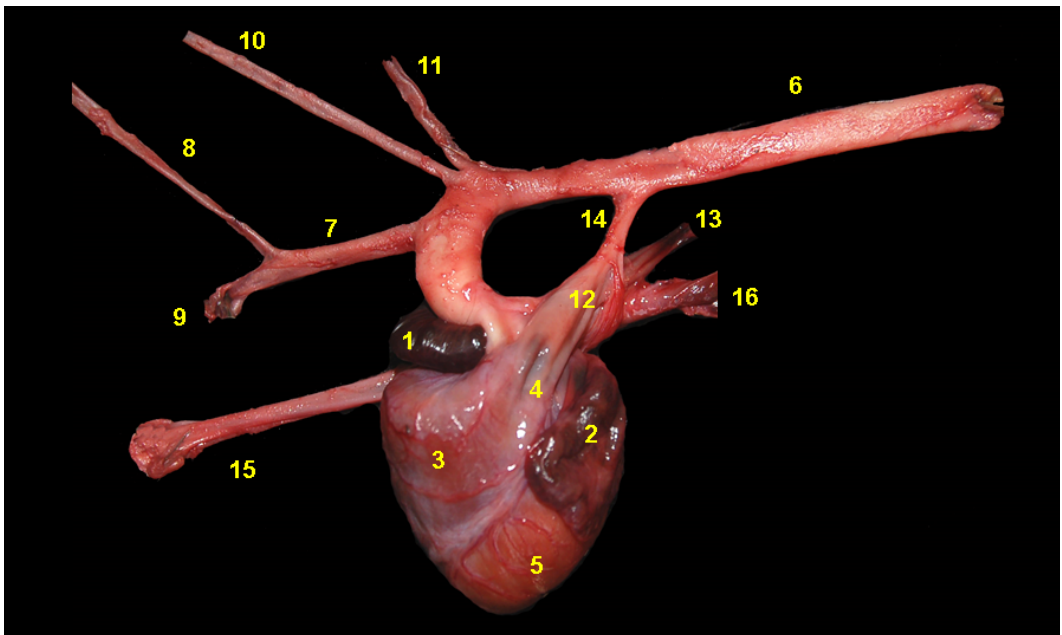
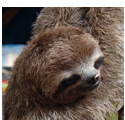


## OSO PEREZOSO DE TRES DEDOS (*Bradypus variegatus*)

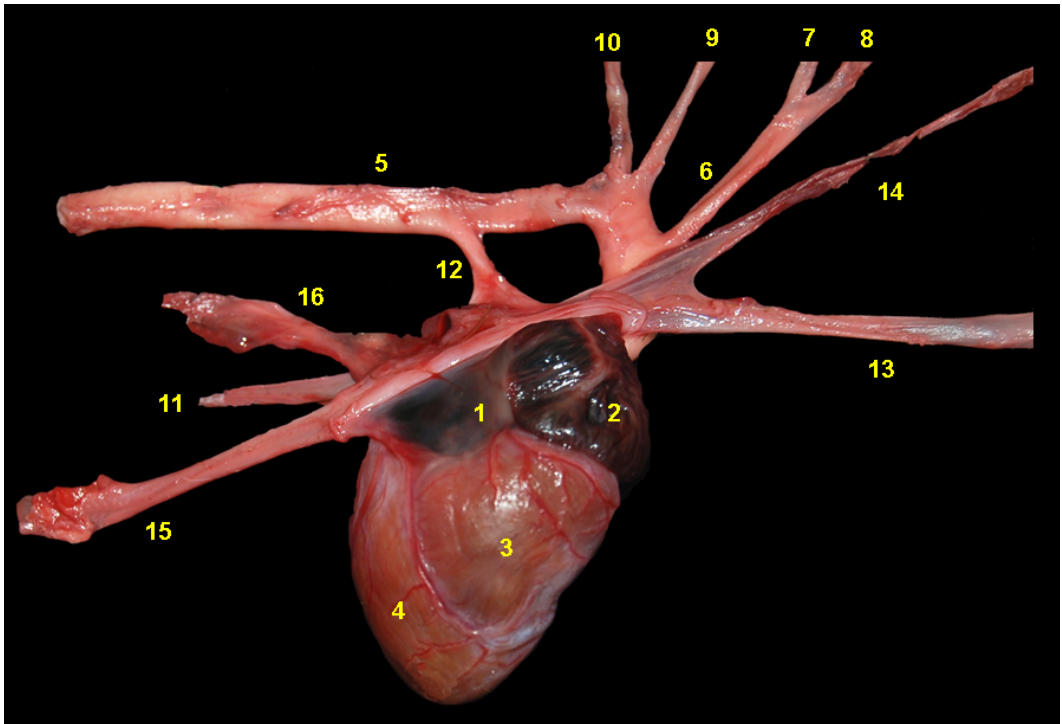


**Figura 4.28** - Visión ventral de las regiones cervical y torácica del oso perezoso de tres dedos (*Bradypus variegatus*). Se han desplazado la tráquea y el esófago para visualizar estructuras vasculares. 1. Diafragma; 2. Pulmón izquierdo; 3. Pulmón derecho; 4. Corazón; 5. Vena cava craneal; 6. Vena subclavia derecha; 7. Vena yugular externa derecha; 8. Vena subclavia izquierda; 9. Vena yugular externa izquierda; 10. Aorta; 11. Tronco braquiocefálico; 12. Arteria subclavia derecha; 13. Arteria carótida común derecha; 14. Arteria carótida común izquierda..

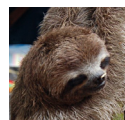




**Figura 4.29** - Visión lateral izquierda del corazón del oso perezoso de tres dedos (*Bradypus variegatus*). 1. Aurícula derecha; 2. Aurícula izquierda; 3. Ventrículo derecho; 4. Cono arterioso; 5. Ventrículo izquierdo; 6. Aorta; 7. Tronco braquiocefálico; 8. Arteria carótida común derecha; 9. Arteria subclavia derecha; 10. Arteria carótida común izquierda; 11. Arteria subclavia izquierda; 12. Tronco pulmonar; 13. Arteria pulmonar; 14. Conducto arterioso; 15. Vena cava craneal; 16. Vena cava caudal.



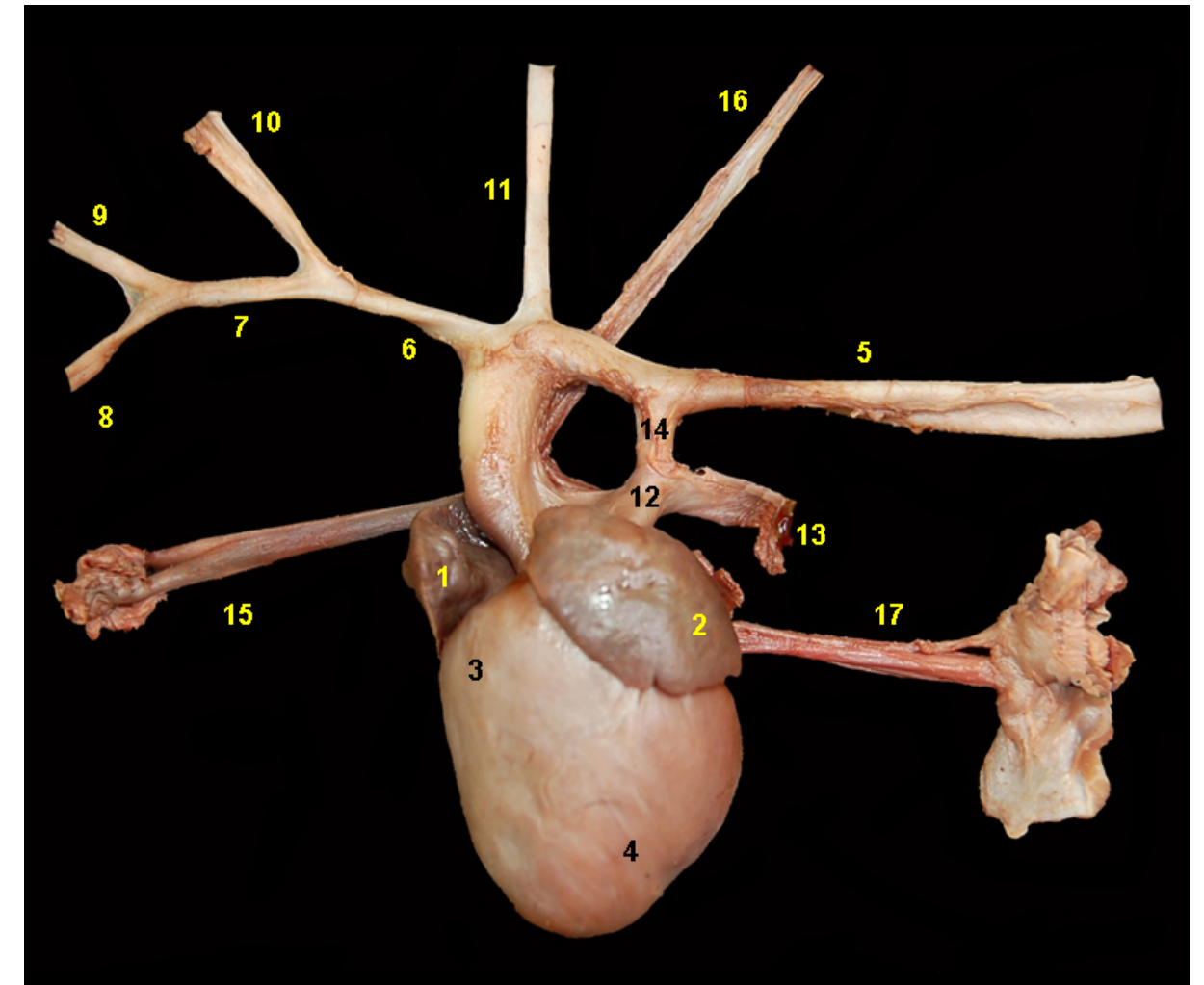
**Figura 4.30** - Visión lateral derecha del corazón del oso perezoso de tres dedos (*Bradypus variegatus*). 1. Atrio derecho; 2. Aurícula derecha; 3. Ventrículo derecho; 4. Ventrículo izquierdo; 5. Aorta; 6. Tronco braquiocefálico; 7. Arteria carótida común derecha; 8. Arteria subclavia derecha; 9. Arteria carótida común izquierda; 10. Arteria subclavia izquierda; 11. Arteria pulmonar; 12. Ligamento arterioso; 13. Vena cava craneal; 14. Vena ácigos derecha; 15. Vena cava caudal; 16. Vena pulmonar.



**Figura 4.31** - Bazo del oso perezoso de 3 dedos (*Bradypus variegatus*). **A** - Cara parietal. **B** - Cara visceral. 1. Hilio del bazo.

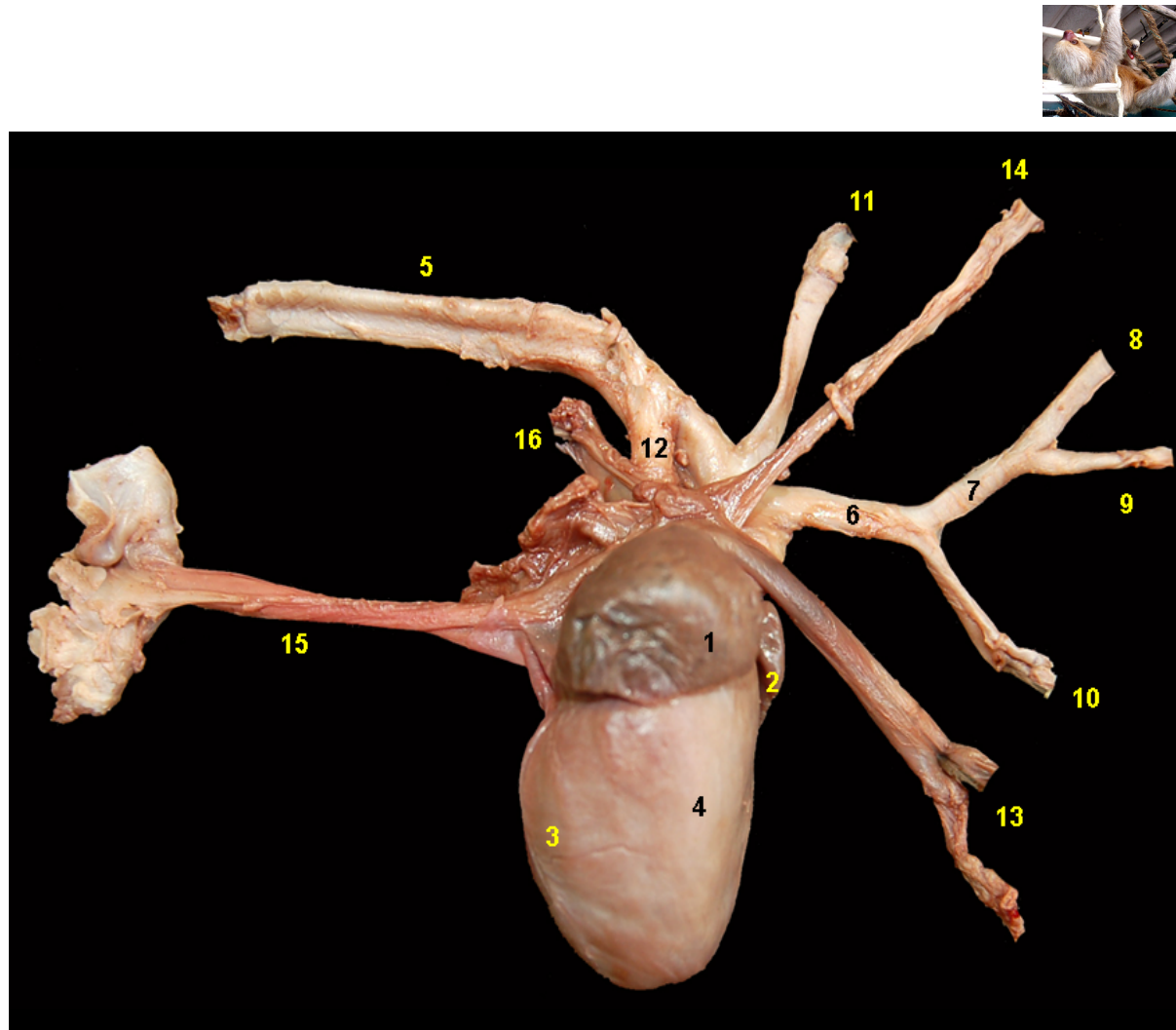


## OSO PEREZOSO DE DOS DEDOS (*Choloepus hoffmanni*)

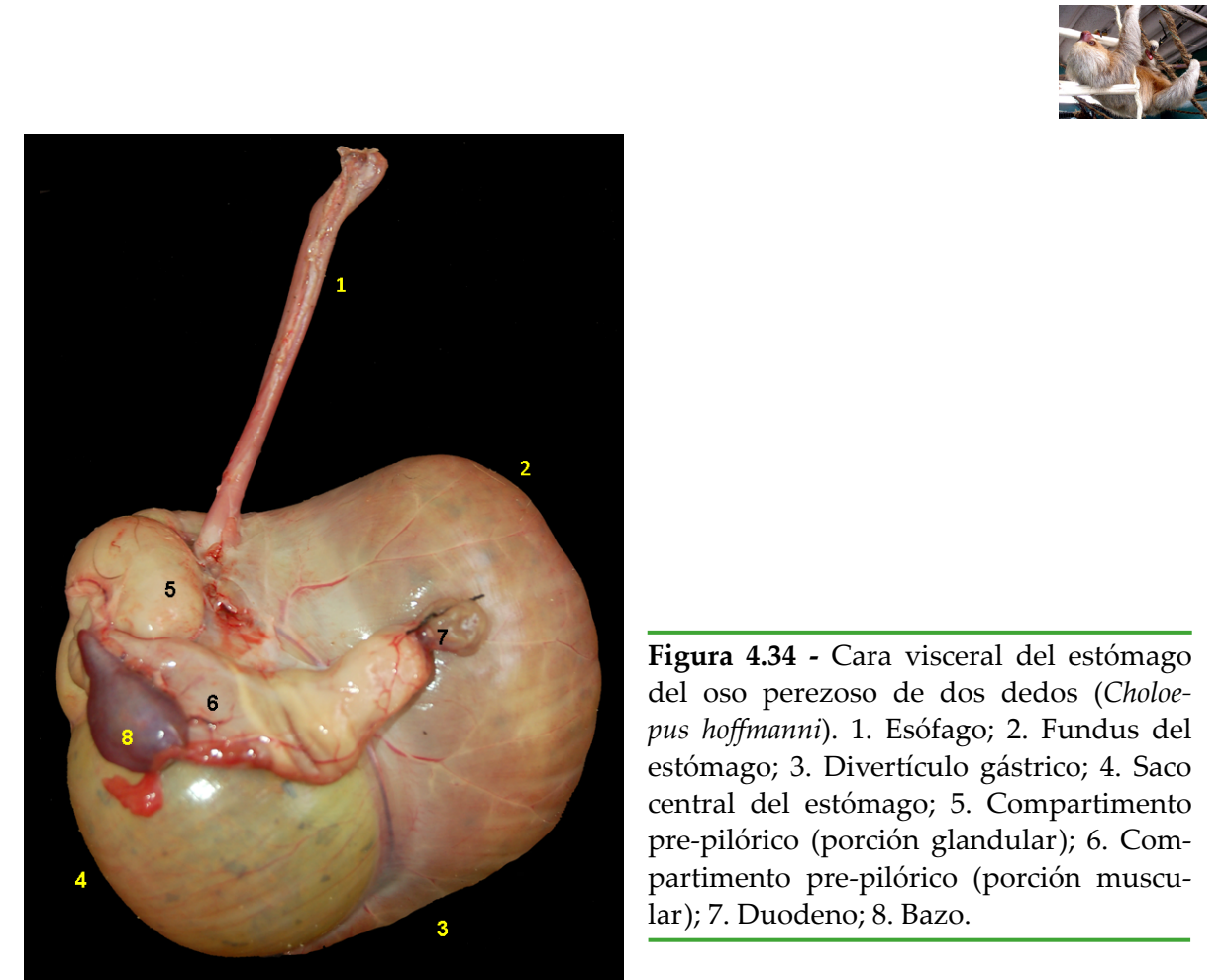


**Figura 4.32** - Visión lateral izquierda del corazón del oso perezoso de dos dedos (*Choloepus hoffmanni*). 1. Aurícula derecha; 2. Aurícula izquierda; 3. Ventrículo derecho; 4. Ventrículo izquierdo; 5. Aorta; 6. Tronco braquiocéfálico; 7. Tronco bicarotídeo; 8. Arteria carótida común derecha; 9. Arteria carótida común izquierda; 10. Arteria subclavia derecha; 11. Arteria subclavia izquierda; 12. Tronco pulmonar; 13. Arteria pulmonar; 14. Ligamento arterioso; 15. Vena cava craneal; 16. Vena ácigos derecha; 17. Vena cava caudal.





**Figura 4.33** - Visión lateral derecha del corazón del oso perezoso de dos dedos (*Choloepus hoffmanni*). 1. Aurícula derecha; 2. Aurícula izquierda; 3. Ventriculo izquierdo; 4. Ventriculo derecho; 5. Aorta; 6. Tronco braquiocefálico; 7. Tronco bicarotídeo; 8. Arteria carótida común derecha; 9. Arteria carótida común izquierda; 10. Arteria subclavia derecha; 11. Arteria subclavia izquierda; 12. Ligamento arterioso; 13. Vena cava craneal; 14. Vena ácigos derecha; 15. Vena cava caudal; 16. Vena pulmonar.



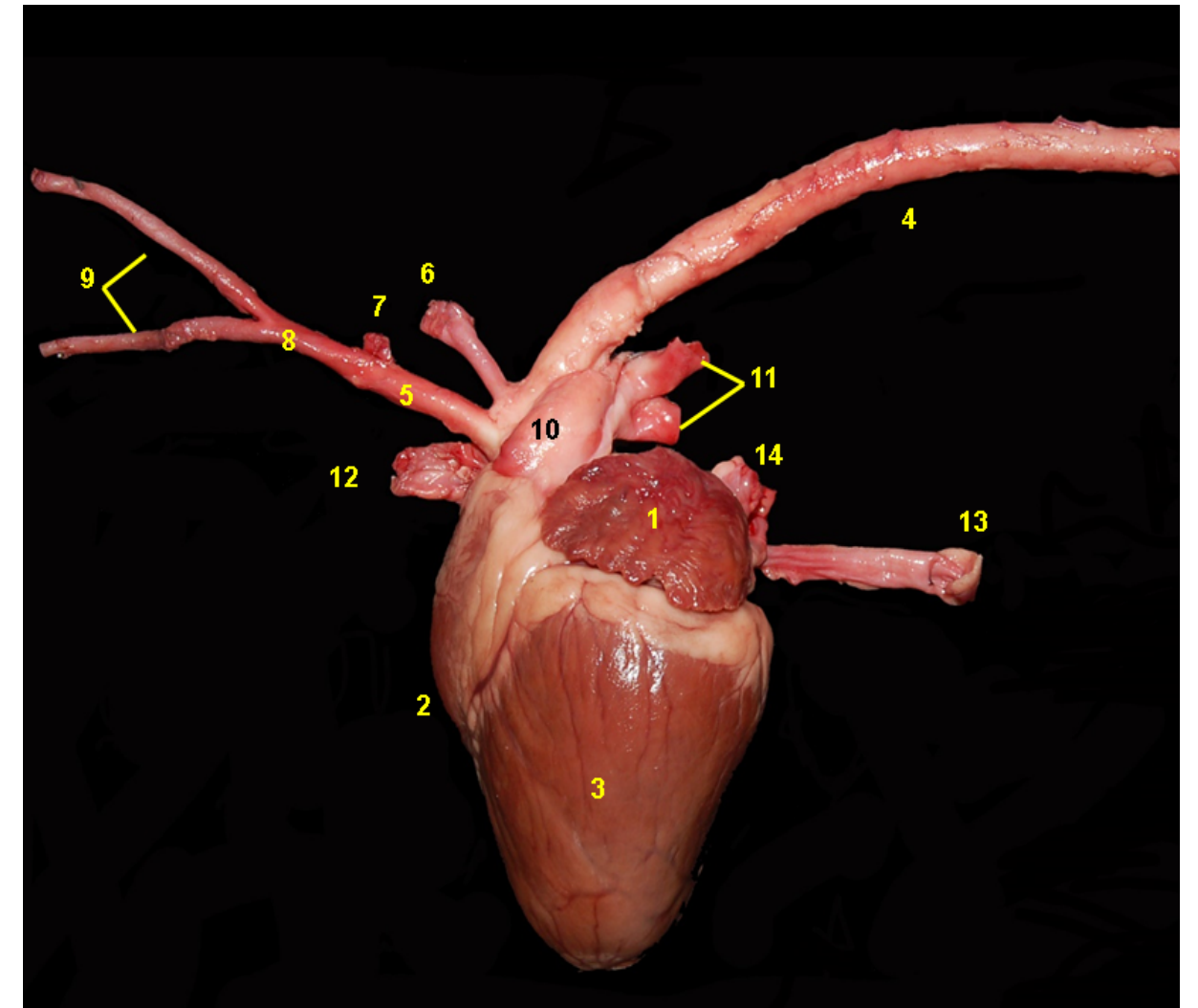
**Figura 4.34** - Cara visceral del estómago del oso perezoso de dos dedos (*Choloepus hoffmanni*). 1. Esófago; 2. Fundus del estómago; 3. Divertículo gástrico; 4. Saco central del estómago; 5. Compartimento pre-pilórico (porción glandular); 6. Compartimento pre-pilórico (porción muscular); 7. Duodeno; 8. Bazo.



**Figura 4.35** - Bazo del oso perezoso de dos dedos (*Choloepus hoffmanni*). A - Cara parietal. B - Cara visceral. 1. Hilio del bazo..

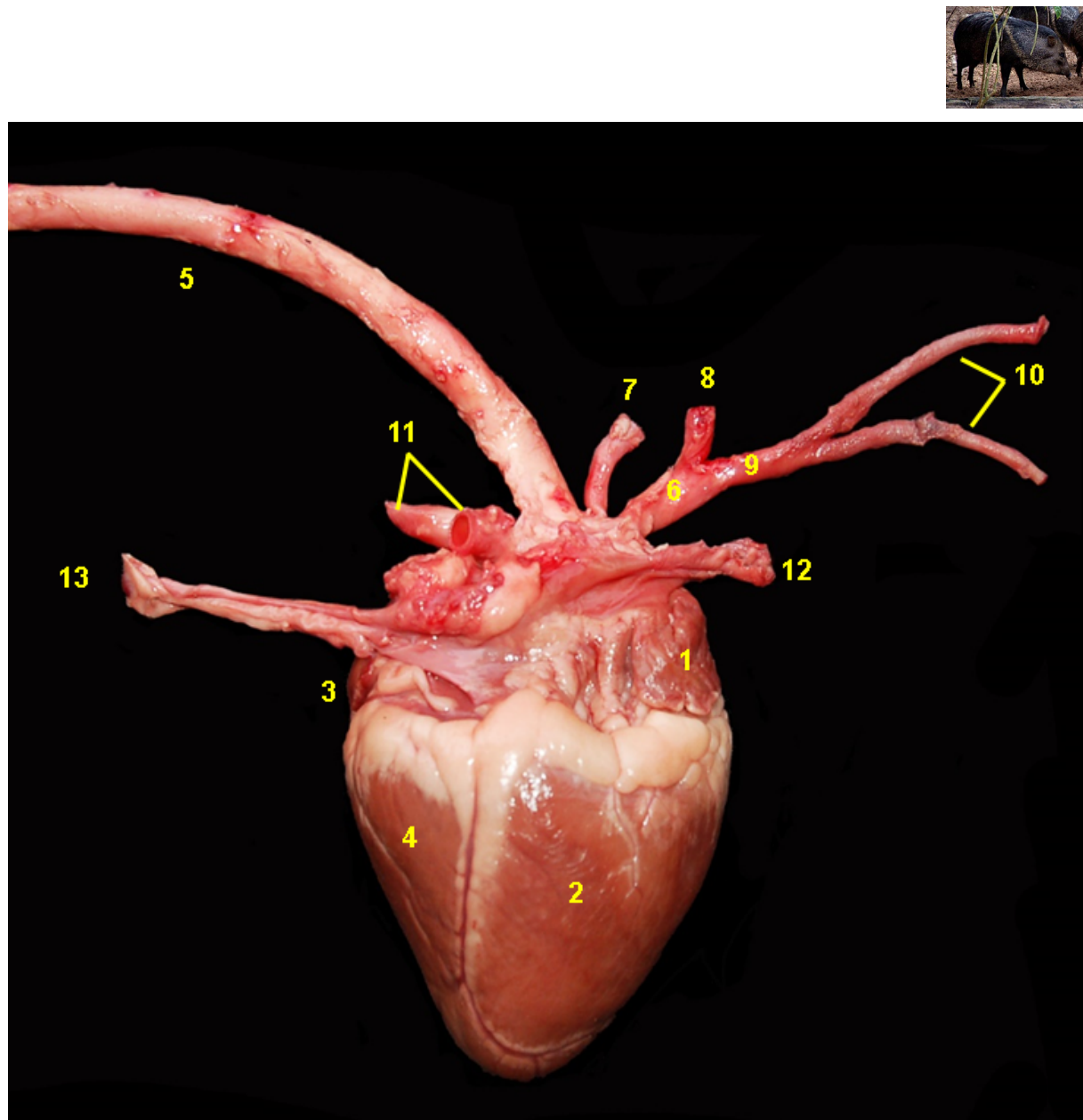


## PÉCARI DE COLLAR (*Pecari tajacu*)

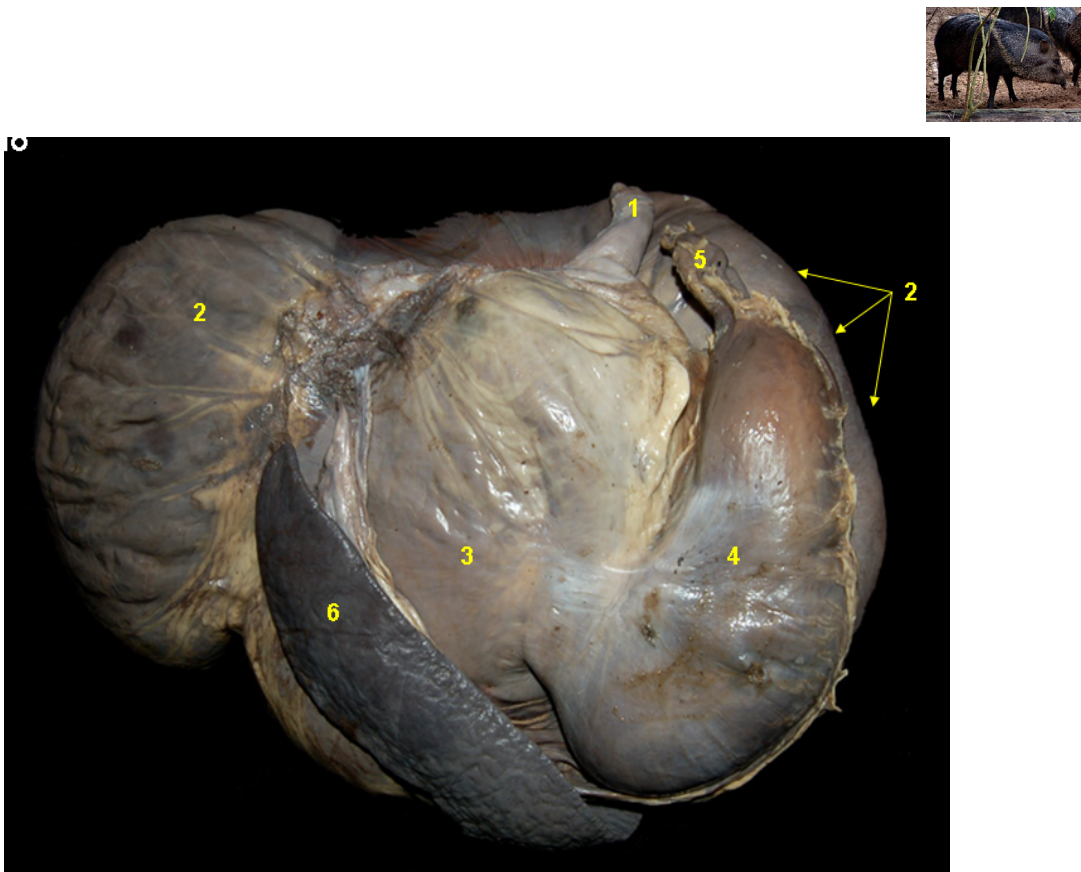


**Figura 4.36** - Visión lateral izquierda del corazón del pécarí de collar (*Pecari tajacu*). 1. Aurícula izquierda; 2. Ventriculo derecho; 3. Ventriculo izquierdo; 4. Aorta; 5. Tronco braquiocefálico; 6. Arteria subclavia izquierda; 7. Arteria subclavia derecha; 8. Tronco bicarotídeo; 9. Arterias carótidas comunes; 10. Tronco pulmonar; 11. Arterias pulmonares; 12. Vena cava craneal; 13. Vena cava caudal; 14. Venas pulmonares.

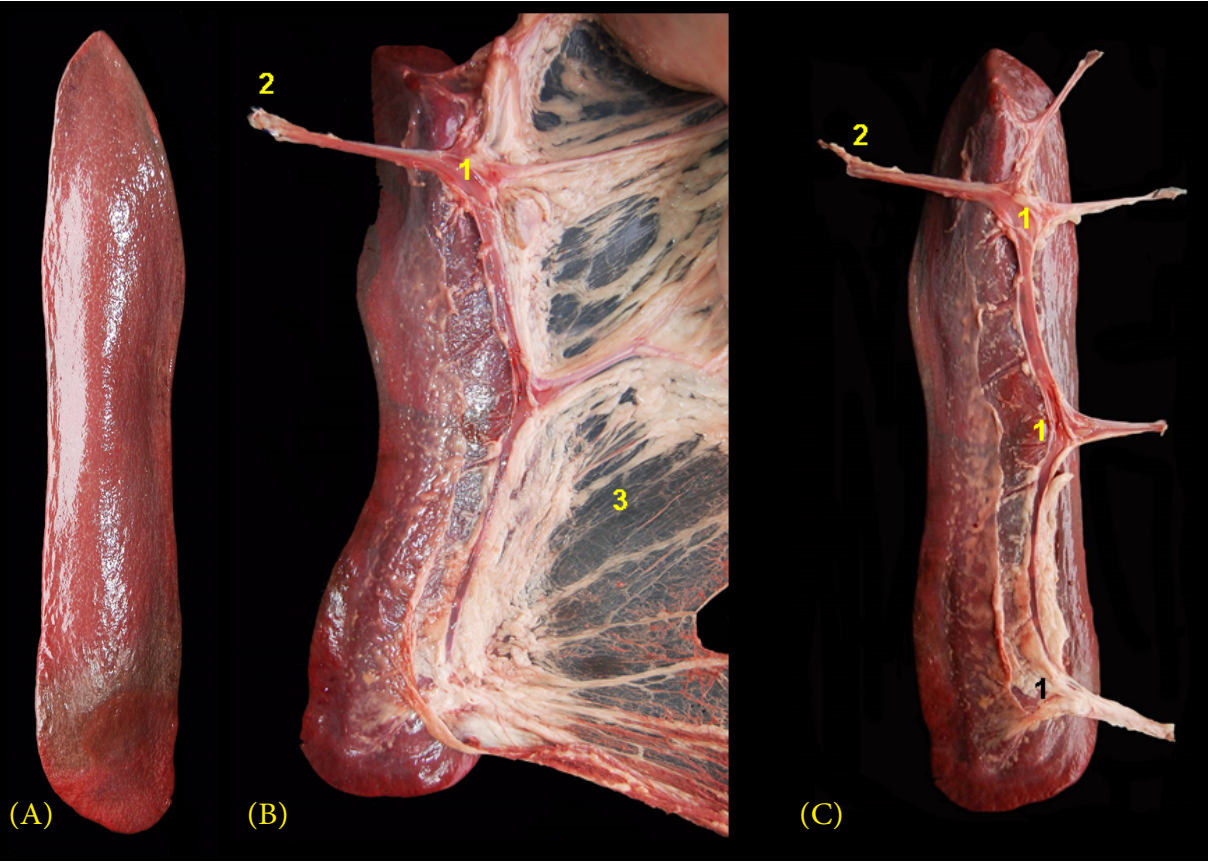




**Figura 4.37** - Visión lateral derecha del corazón del pécari de collar (*Pecari tajacu*). 1. Atrio derecho; 2. Ventriculo derecho; 3. Atrio izquierdo; 4. Ventriculo izquierdo; 5. Aorta; 6. Tronco braquiocefálico; 7. Arteria subclavia izquierda; 8. Arteria subclavia derecha; 9. Tronco bicarotídeo; 10. Arterias carótidas comunes; 11. Arterias pulmonares; 12. Vena cava craneal; 13. Vena cava caudal.



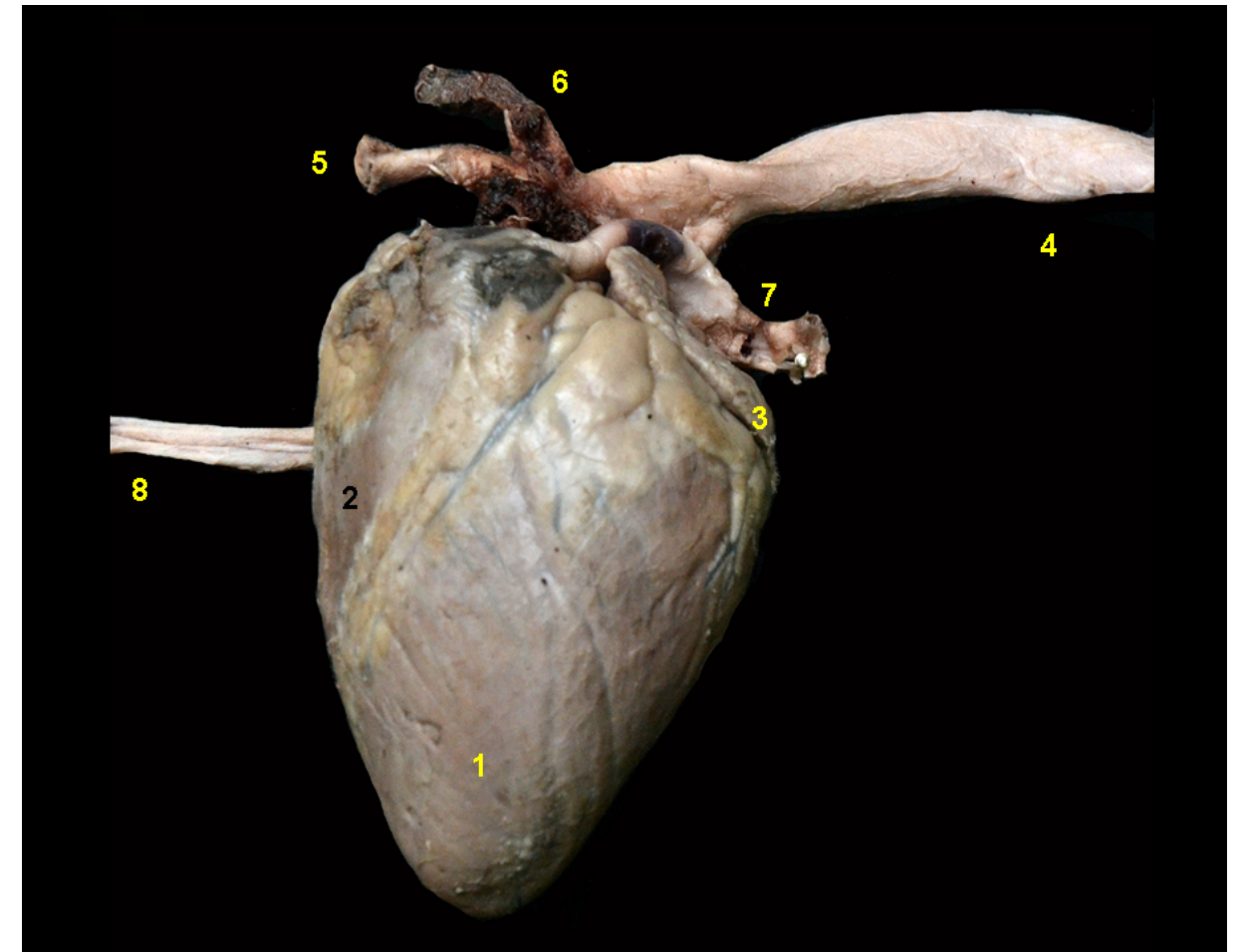
**Figura 4.38** - Estómago policavitario y bazo (visión dorsal) del pécari de collar (*Pecari tajacu*). 1. Esófago; 2. Cámara lateral izquierda; 3. Cámara intermedia; 4. Cámara lateral derecha; 5. Duodeno craneal; 6. Bazo.



**Figura 4.39** - Bazo del pécari de collar (*Pecari tajacu*). **A** - Cara parietal. **B** y **C** - Cara visceral. 1. Hilio del bazo; 2. Arteria esplénica; 3. Ligamento gastroesplénico.



## PÉCARI LABIADO (*Tayassu pecari*)

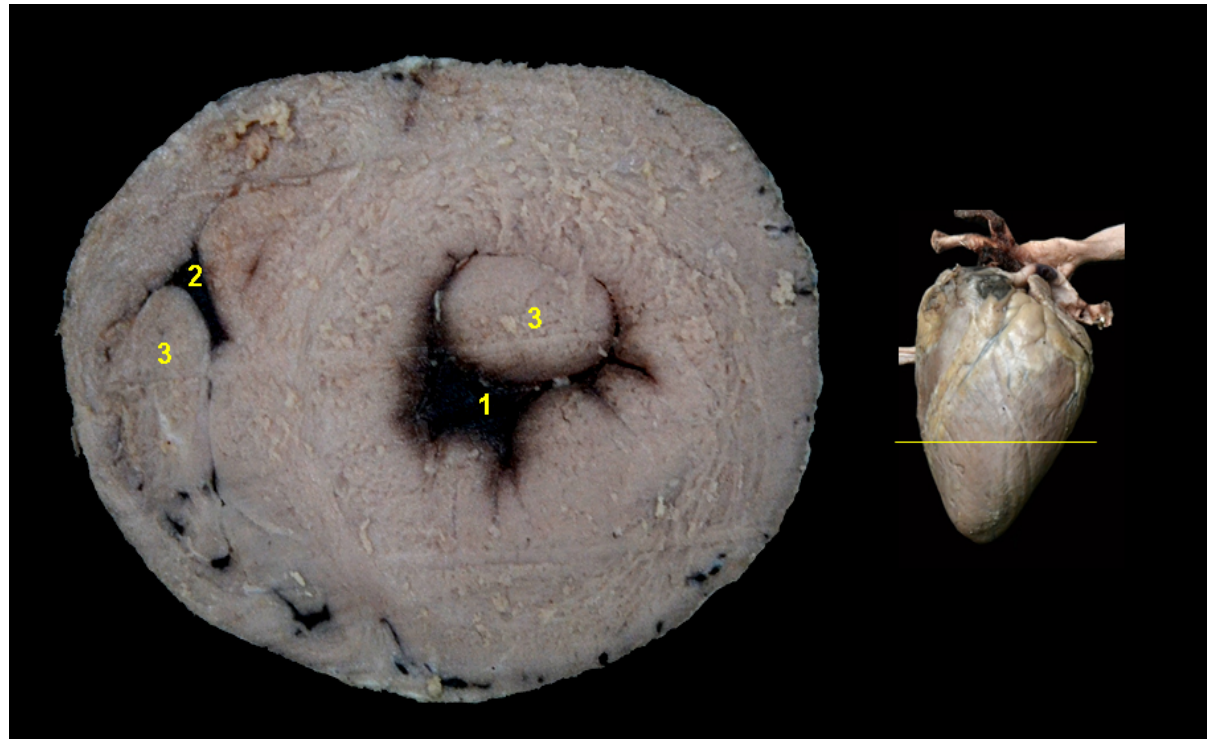


**Figura 4.40** - Visión lateral izquierda del corazón del pécarí labiado (*Tayassu pecari*). 1. Ventrículo izquierdo; 2. Ventrículo derecho; 3. Aurícula izquierda; 4. Aorta; 5. Tronco braquiocefálico; 6. Arteria subclavia izquierda; 7. Arterias pulmonares; 8. Vena cava craneal.

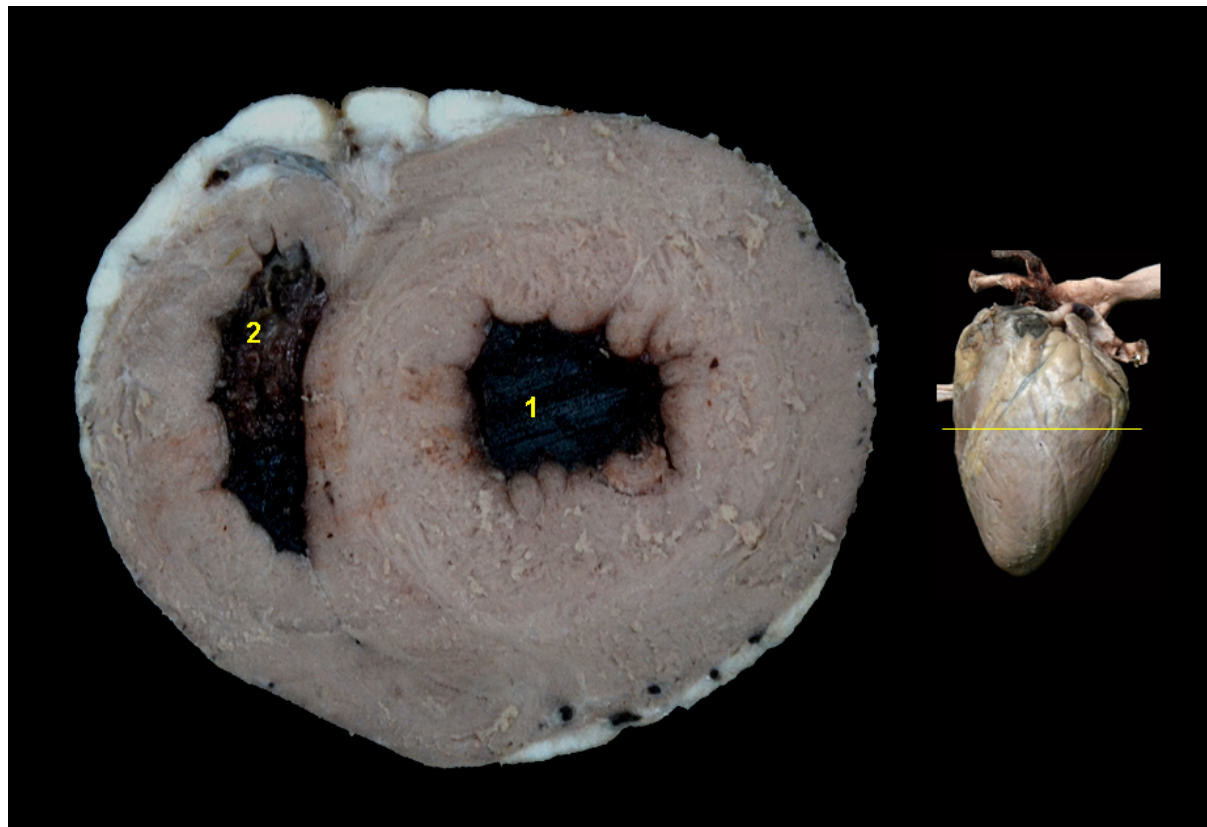


**Figura 4.41** - Sección transversal del corazón del pécarí labiado (*Tayassu pecari*). 1. Ventrículo izquierdo; 2. Ventrículo derecho.

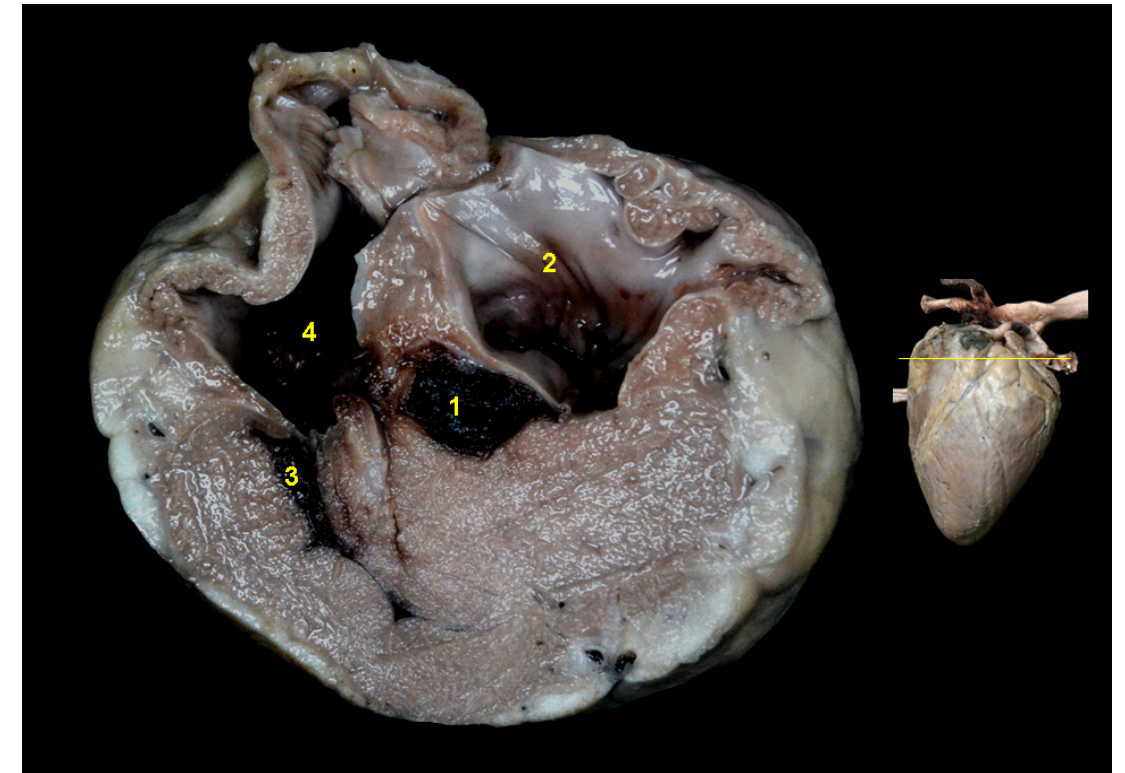




**Figura 4.42** - Sección transversal del corazón del pécarí labiado (*Tayassu pecari*). 1. Ventriculo izquierdo; 2. Ventriculo derecho; 3. Musculo papilar.



**Figura 4.43** - Sección transversal del corazón del pécarí labiado (*Tayassu pecari*). 1. Ventriculo izquierdo; 2. Ventriculo derecho.



**Figura 4.44** - Sección transversal del corazón del pécarí labiado (*Tayassu pecari*). 1. Ventriculo izquierdo; 2. Atrio izquierdo (válvula atrioventricular izquierda); 3. Ventriculo derecho; 4. Atrio derecho (seno de las venas cavas).

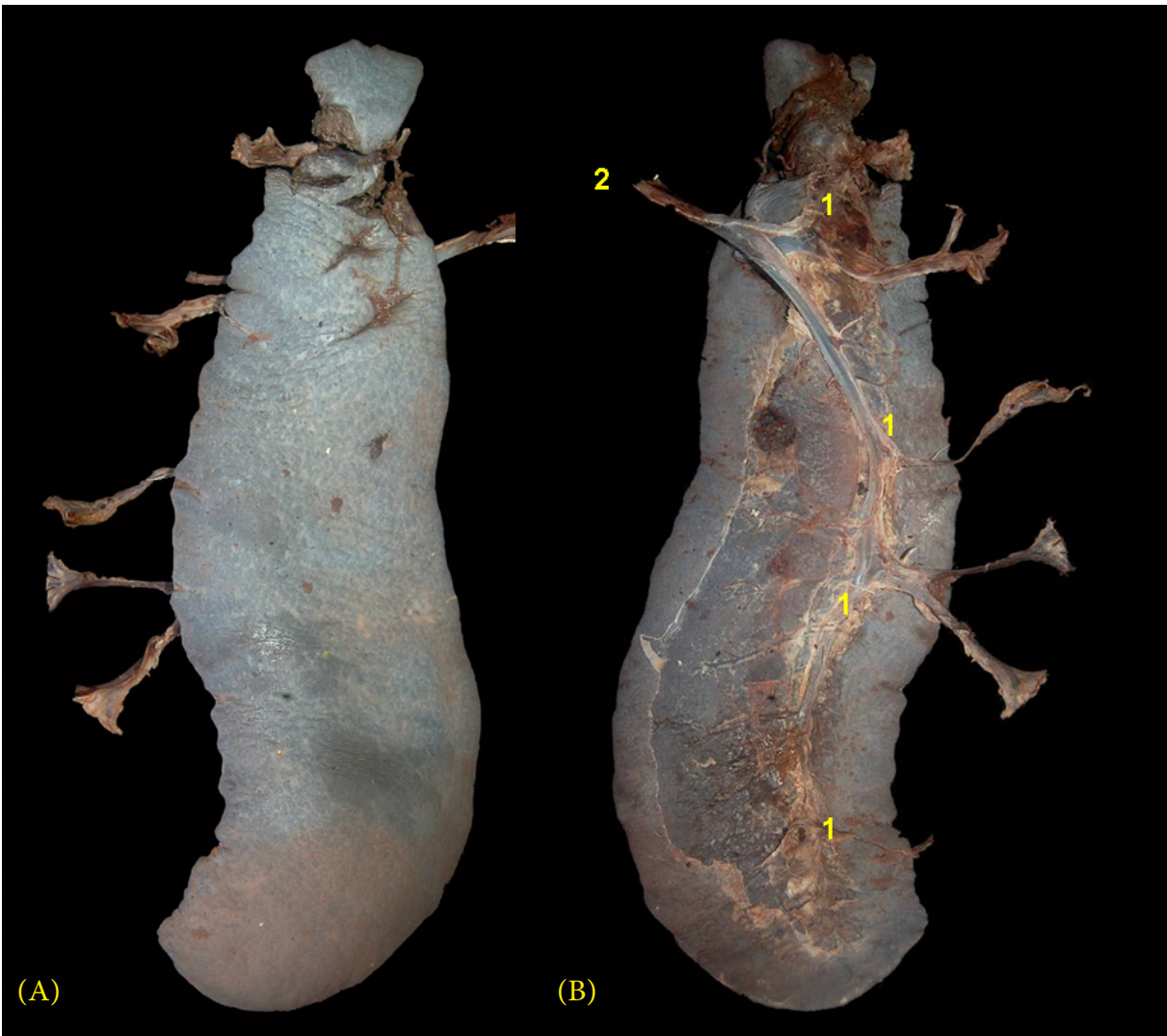


**Figura 4.45** - Sección transversal del corazón del pécarí labiado (*Tayassu pecari*). 1. Bulbo aórtico; 2. Atrio izquierdo; 3. Atrio derecho; 4. Cono arterioso.





**Figura 4.46** - Visión ventral de los órganos digestivos abdominales del pécari labiado (*Tayassu pecari*). 1. Esófago; 2. Estómago; 3. Bazo; 4. Asas yeyunales; 5. Colon ascendente (giros centrípetos y centrífugos); 6. Colon descendente.

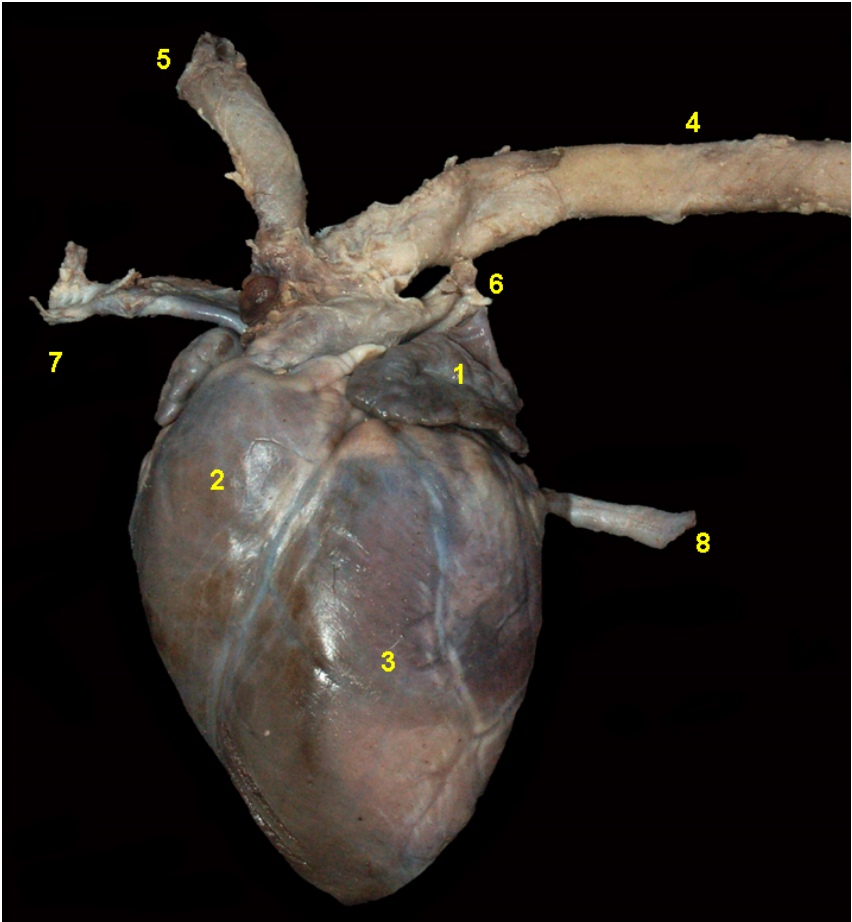


**Figura 4.47** - Bazo del pécari labiado (*Tayassu pecari*). **A** - Cara parietal. **B** - Cara visceral. 1. Hilio del bazo; 2. Arteria esplénica.

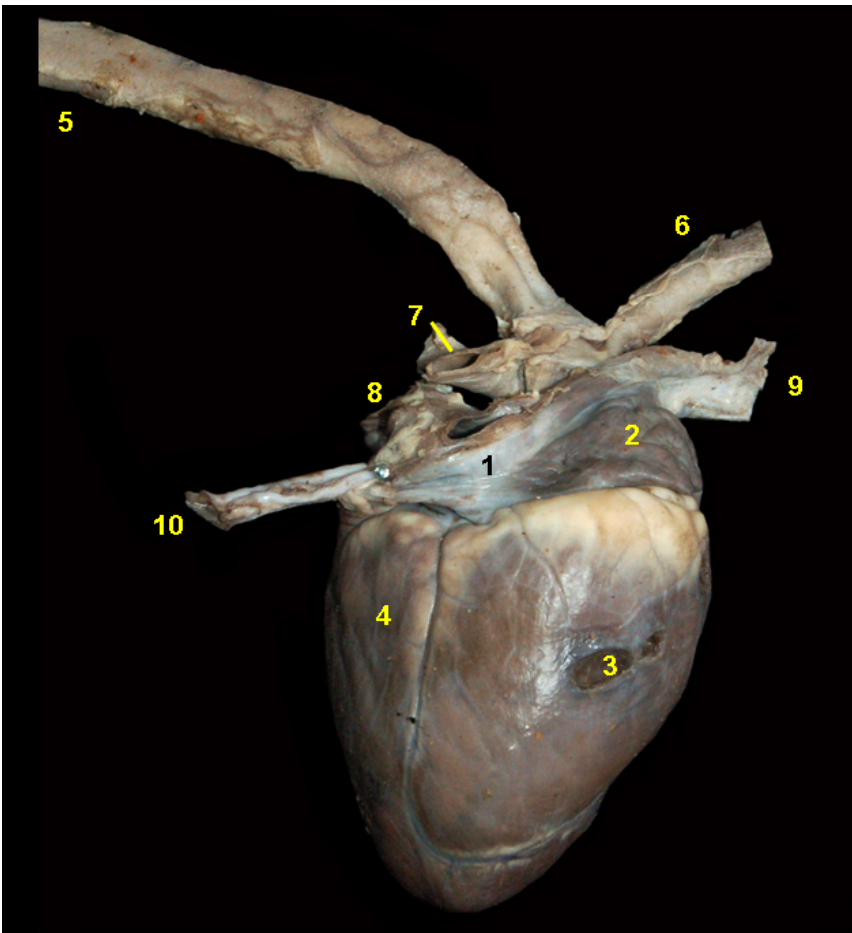




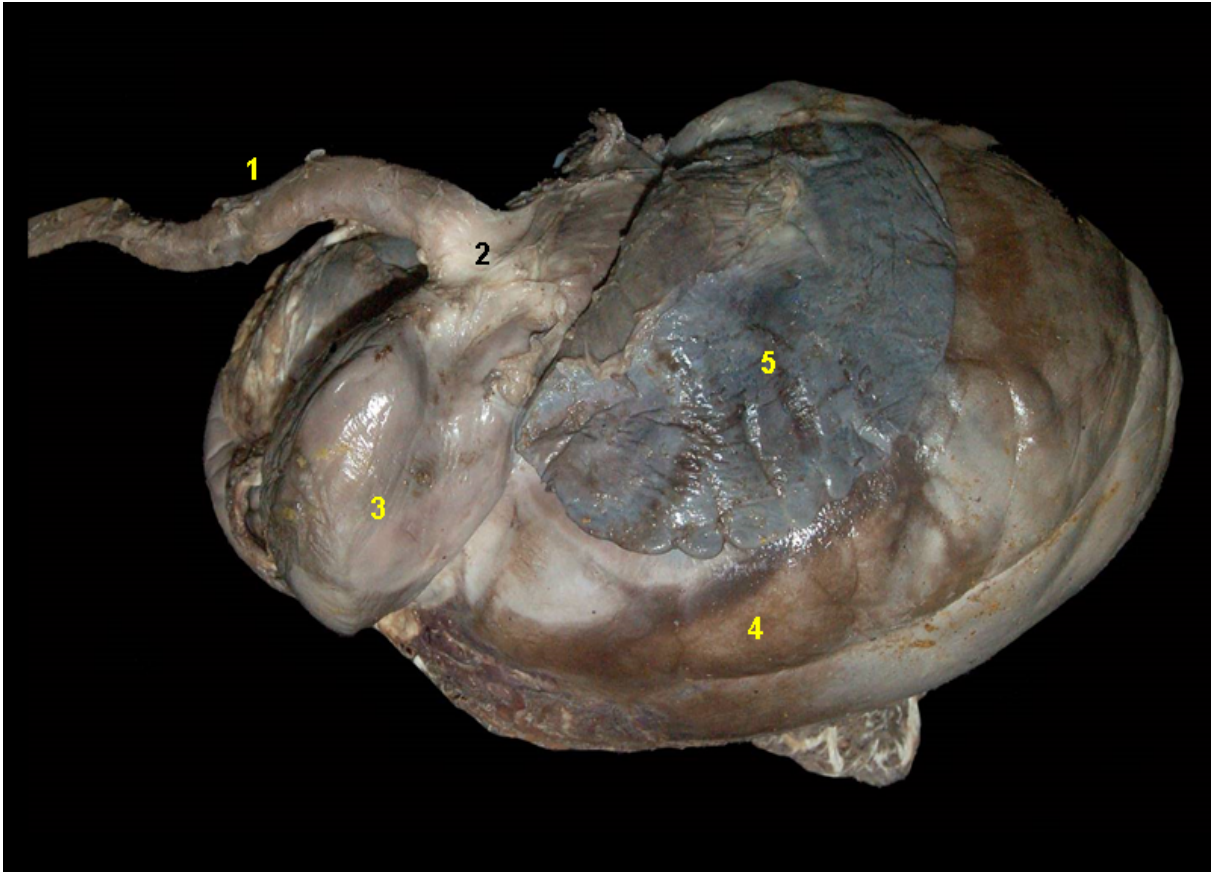
# VENADO GRIS (*Mazama nemorivaga*)



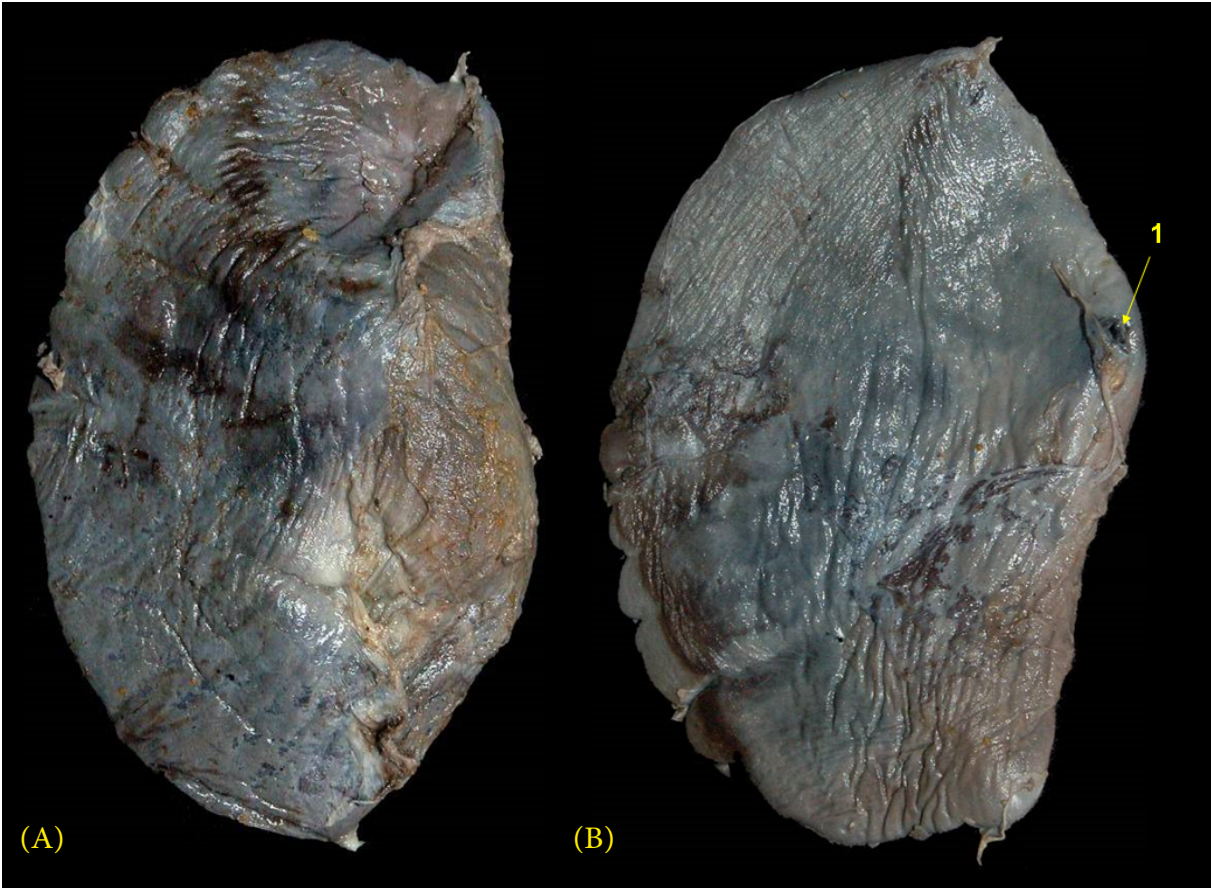
**Figura 4.48** - Visión lateral izquierda del corazón del venado gris (*Mazama nemorivaga*). 1. Aurícula izquierda; 2. Ventriculo derecho; 3. Ventriculo izquierdo; 4. Aorta; 5. Tronco braquiocefálico; 6. Arteria pulmonar izquierda. 7. Vena cava craneal; 8. Vena cava caudal.



**Figura 4.49** - Visión lateral derecha del corazón del venado gris (*Mazama nemorivaga*). 1. Atrio derecho; 2. Aurícula derecha; 3. Ventriculo derecho; 4. Ventriculo izquierdo; 5. Aorta; 6. Tronco braquiocefálico; 7. Arterias pulmonares; 8. Venas pulmonares; 9. Vena cava craneal; 10. Vena cava caudal.

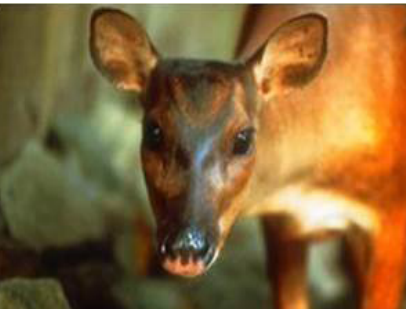


**Figura 4.50** - Visión lateral izquierda del estómago del venado gris (*Mazama nemorivaga*). 1. Esófago; 2. Cardias; 3. Retículo; 4. Rumen; 5. Bazo.

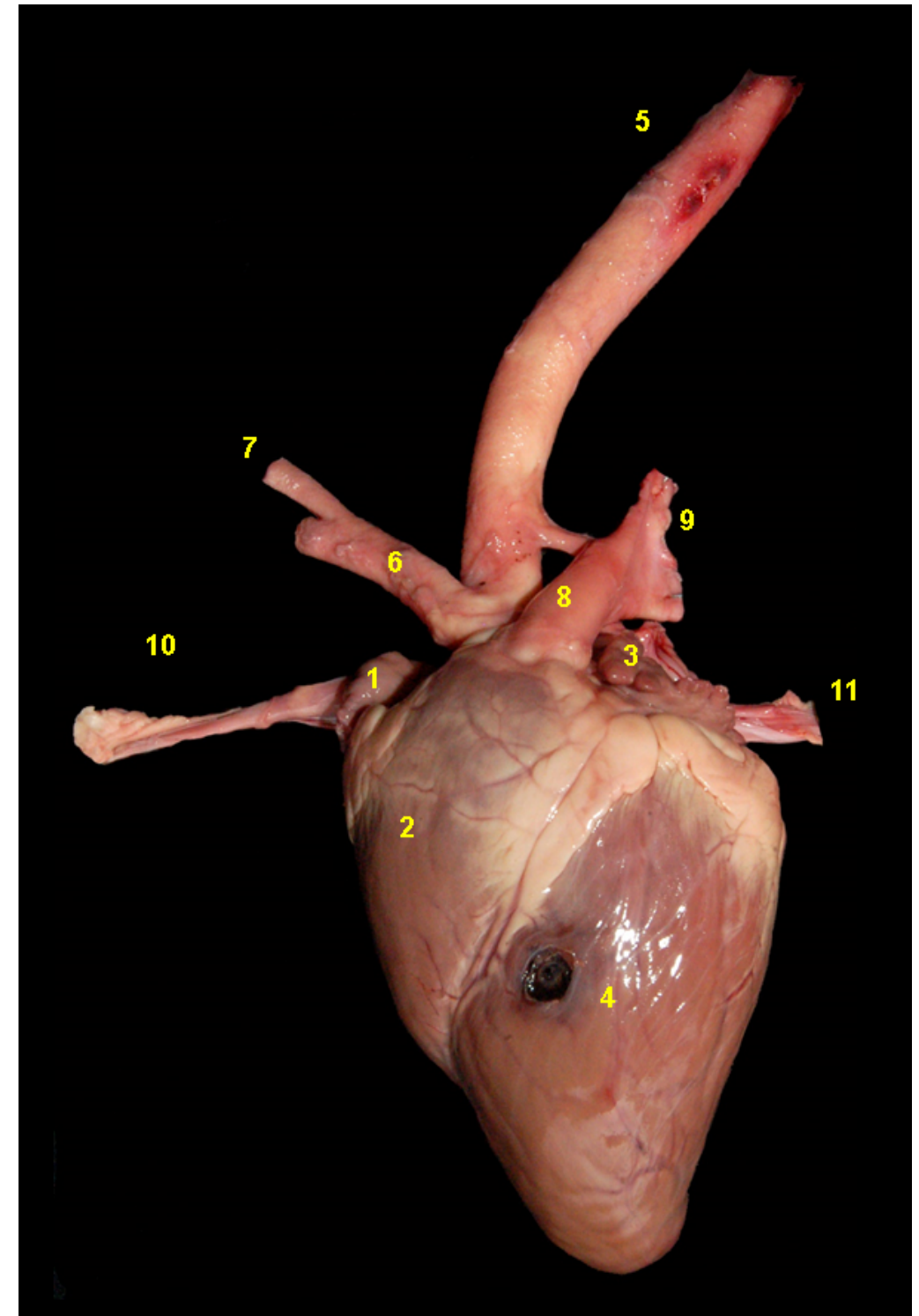


**Figura 4.51** - Bazo del venado gris (*Mazama nemorivaga*). **A** - Cara parietal. **B** - Cara visceral. 1. Hilio del bazo.

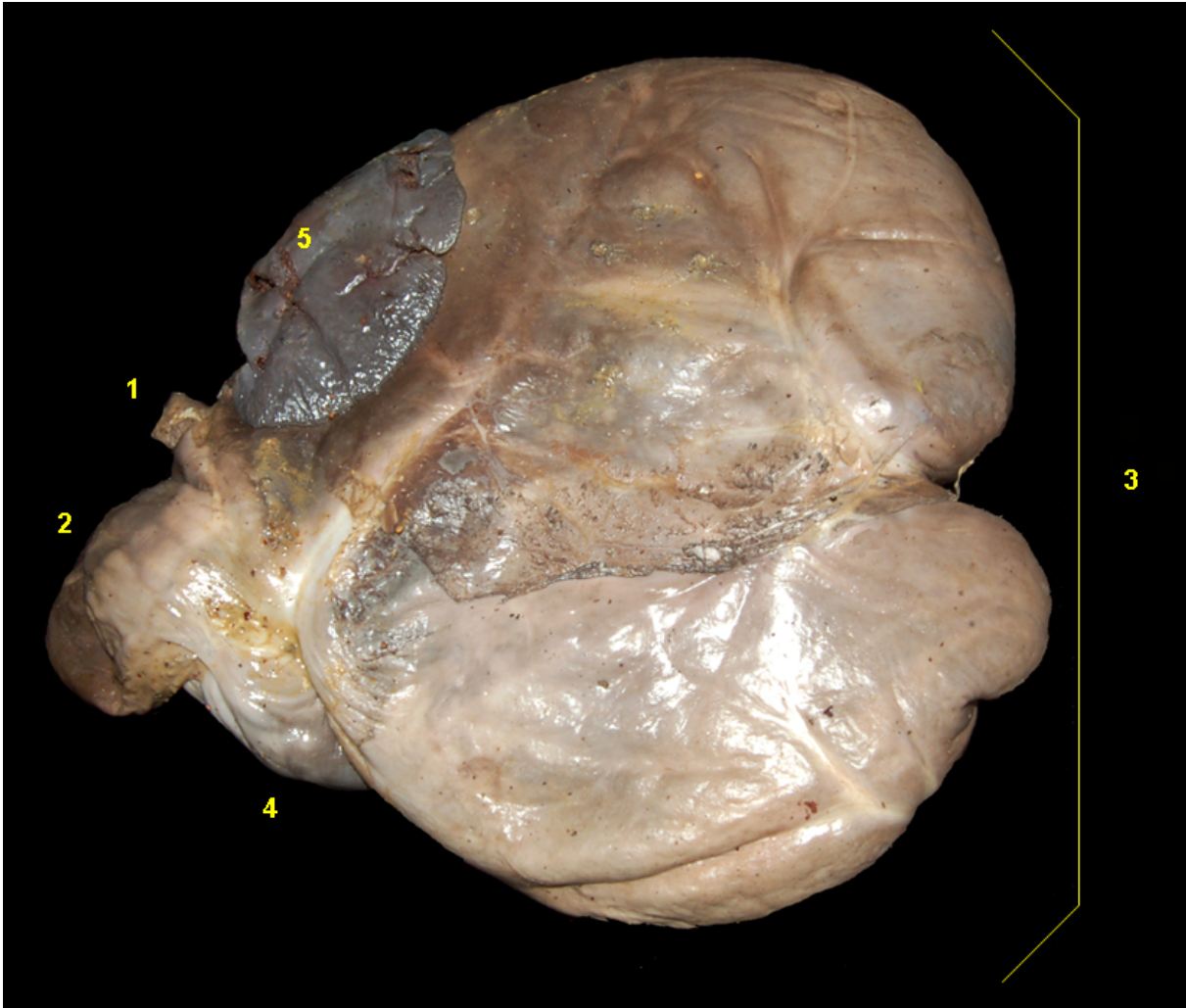
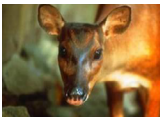




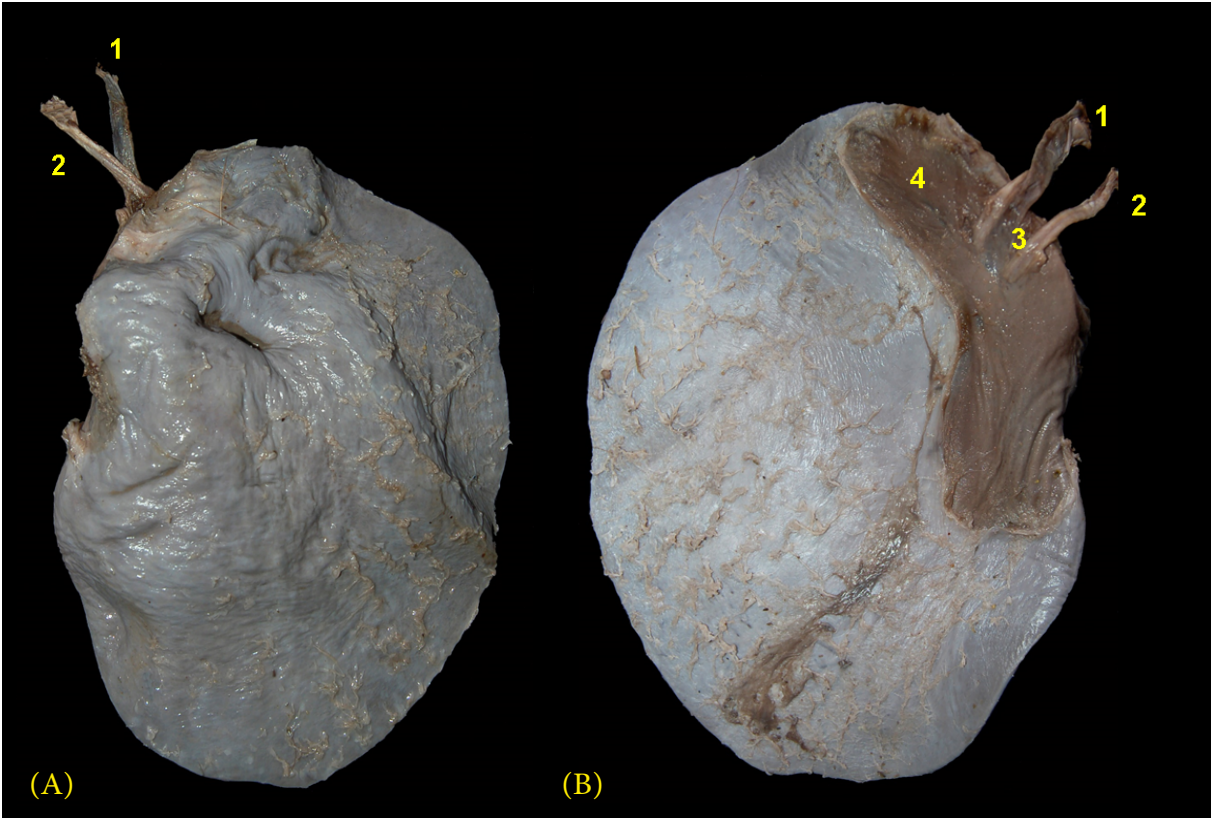
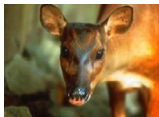
## VENADO ROJO (*Mazama americana*)



**Figura 4.52** - Visión lateral izquierda del corazón del venado rojo (*Mazama americana*). 1. Aurícula derecha; 2. Ventriculo derecho; 3. Aurícula izquierda; 4. Ventriculo izquierdo; 5. Aorta; 6. Tronco braquiocefálico; 7. Arteria subclavia izquierda; 8. Tronco pulmonar; 9. Arterias pulmonares; 10. Vena cava craneal; 11. Vena cava caudal.



**Figura 4.53** - Visión lateral izquierda del estómago del venado rojo (*Mazama americana*). 1. Esófago; 2. Reticulo; 3. Rumen; 4. Abomaso; 5. Bazo.

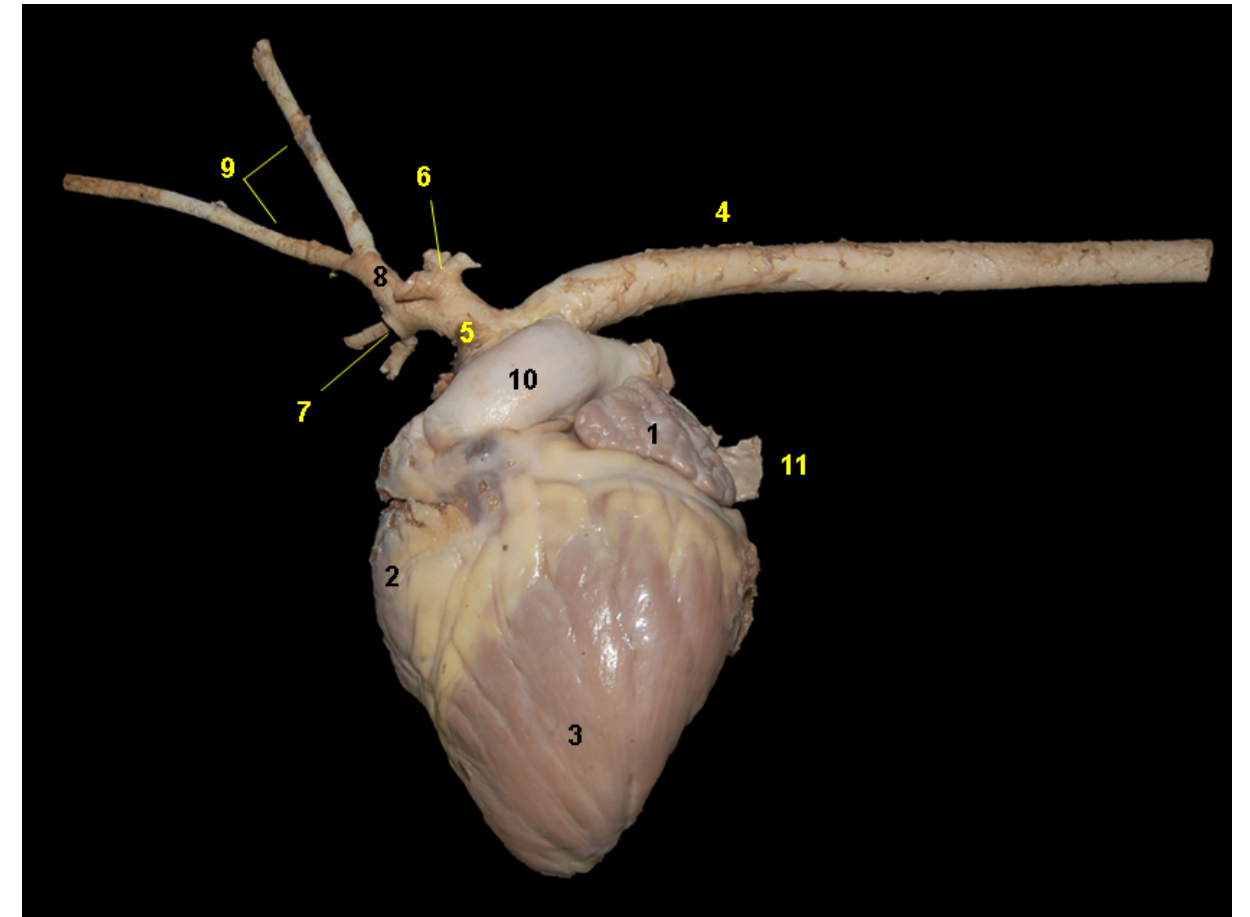


**Figura 4.54** - Bazo del venado rojo (*Mazama americana*). **A** - Cara parietal. 1. Vena esplénica; 2. Arteria esplénica. **B** - Cara visceral. 1. Vena esplénica; 2. Arteria esplénica; 3. Hilio del bazo; 4. Zona de contacto con el rumen.

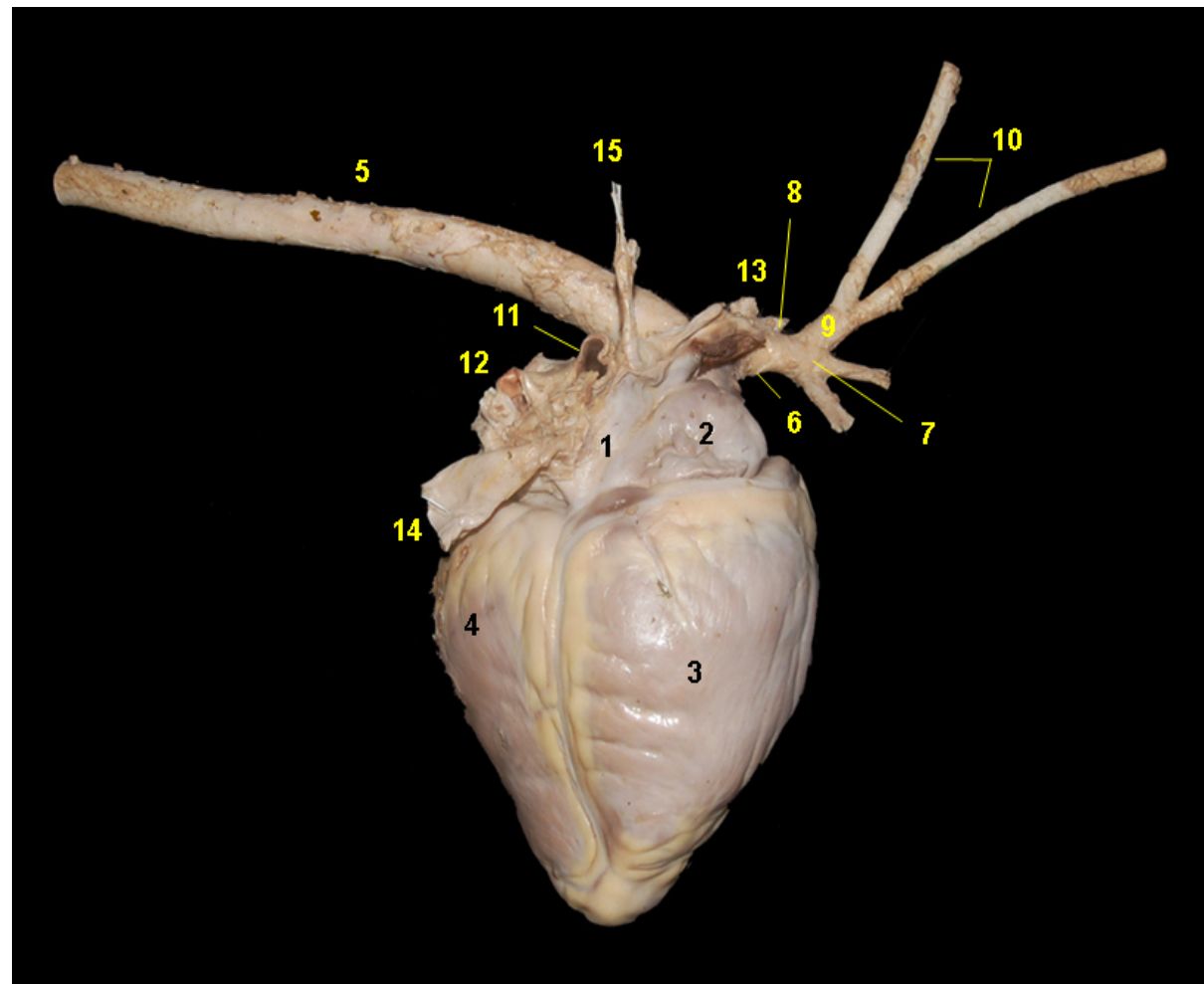




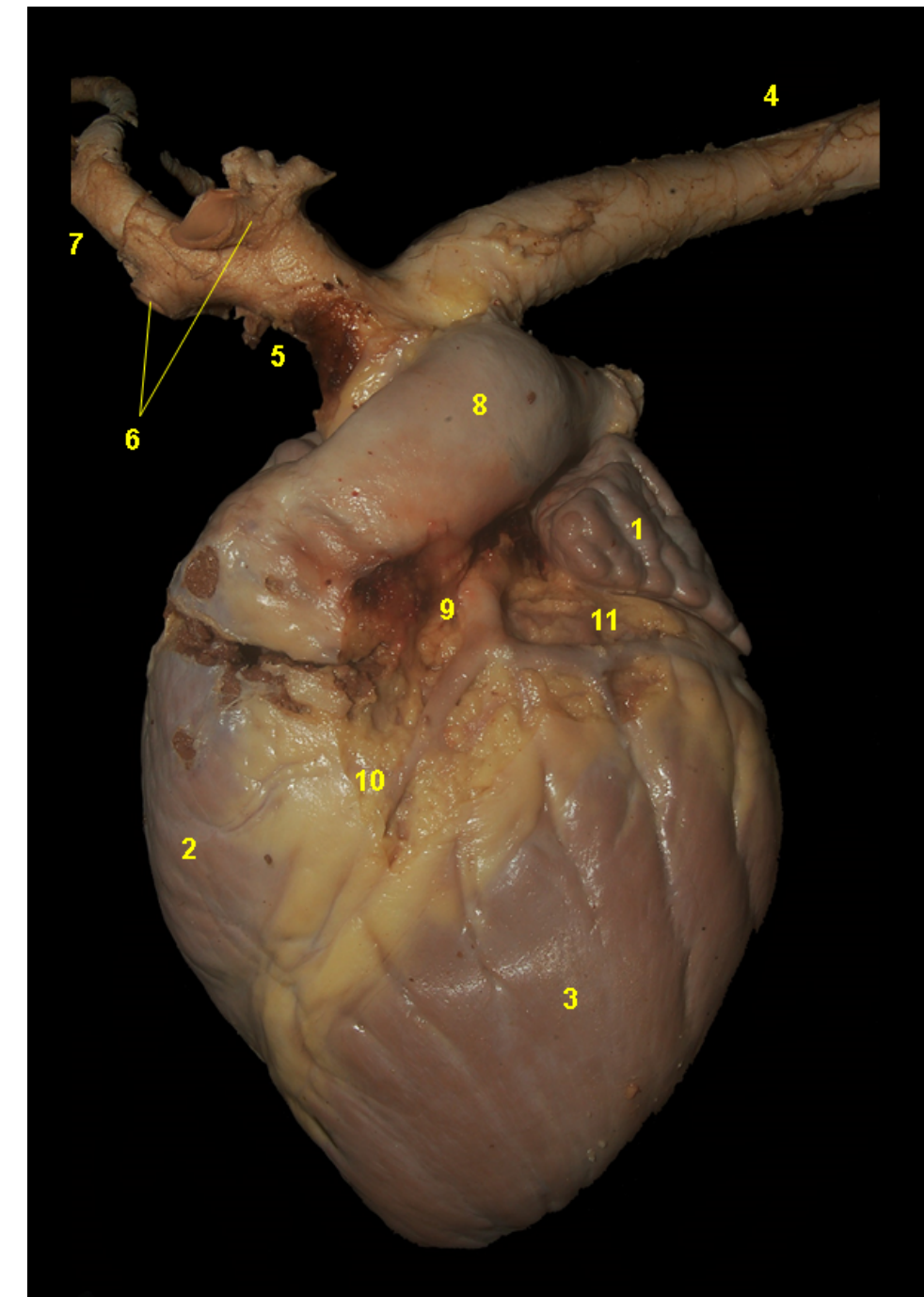
## TAPIR (*Tapirus terrestris*)



**Figura 4.55** - Visión lateral izquierda del corazón del tapir (*Tapirus terrestris*). 1. Aurícula izquierda; 2. Ventriculo derecho; 3. Ventriculo izquierdo; 4. Aorta; 5. Tronco braquiocefálico; 6. Arteria subclavia izquierda; 7. Arteria subclavia derecha; 8. Tronco bicarotídeo; 9. Arterias carótidas comunes; 10. Tronco pulmonar; 11. Vena cava caudal.

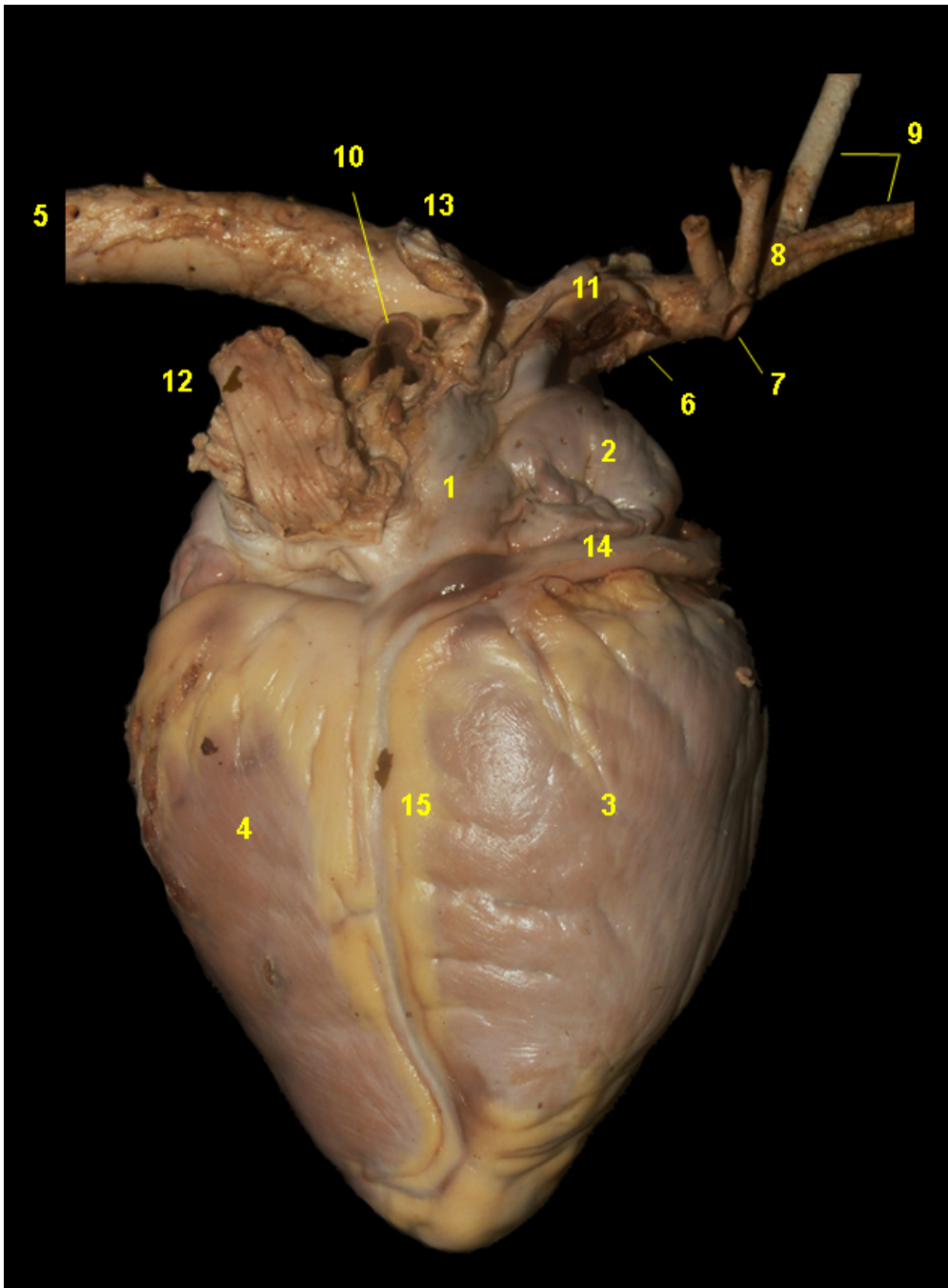


**Figura 4.56** - Visión lateral derecha del corazón del tapir (*Tapirus terrestris*). 1. Atrio derecho; 2. Aurícula derecha; 3. Ventrículo derecho; 4. Ventrículo izquierdo; 5. Aorta; 6. Tronco braquiocefálico; 7. Arteria subclavia derecha; 8. Arteria subclavia izquierda; 9. Tronco bicarotídeo; 10. Arterias carótidas comunes; 11. Tronco pulmonar; 12. Venas pulmonares; 13. Vena cava craneal; 13. Vena cava caudal; 14. Vena cava caudal; 15. Vena ázigos derecha.

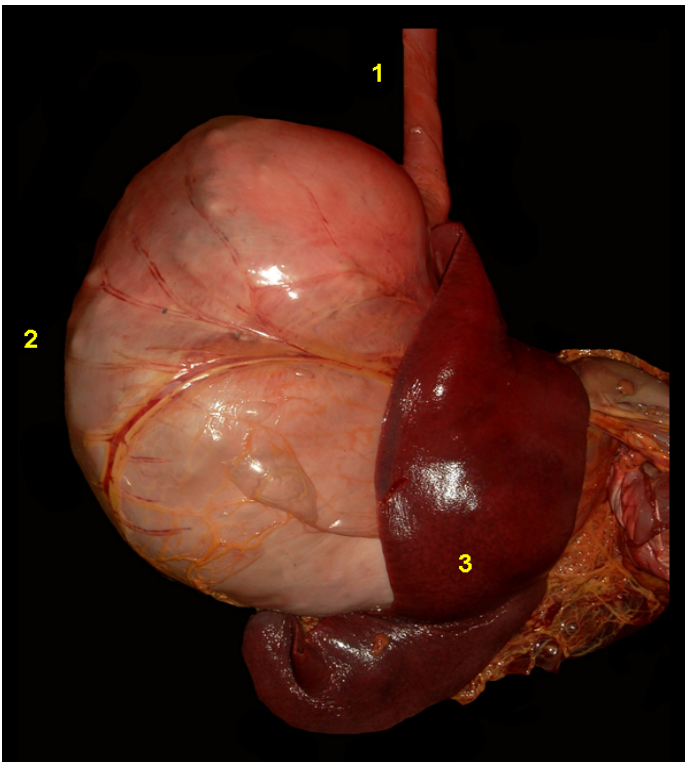


**Figura 4.57** - Visión lateral izquierda del corazón del tapir (*Tapirus terrestris*). 1. Aurícula izquierda; 2. Ventrículo derecho; 3. Ventrículo izquierdo; 4. Aorta; 5. Tronco braquiocefálico; 6. Arterias subclavias izquierda y derecha; 7. Tronco bicarotídeo; 8. Tronco pulmonar; 9. Arteria coronaria izquierda; 10. Rama interventricular paraconal; 11. Rama circunfleja de la arteria coronaria izquierda.

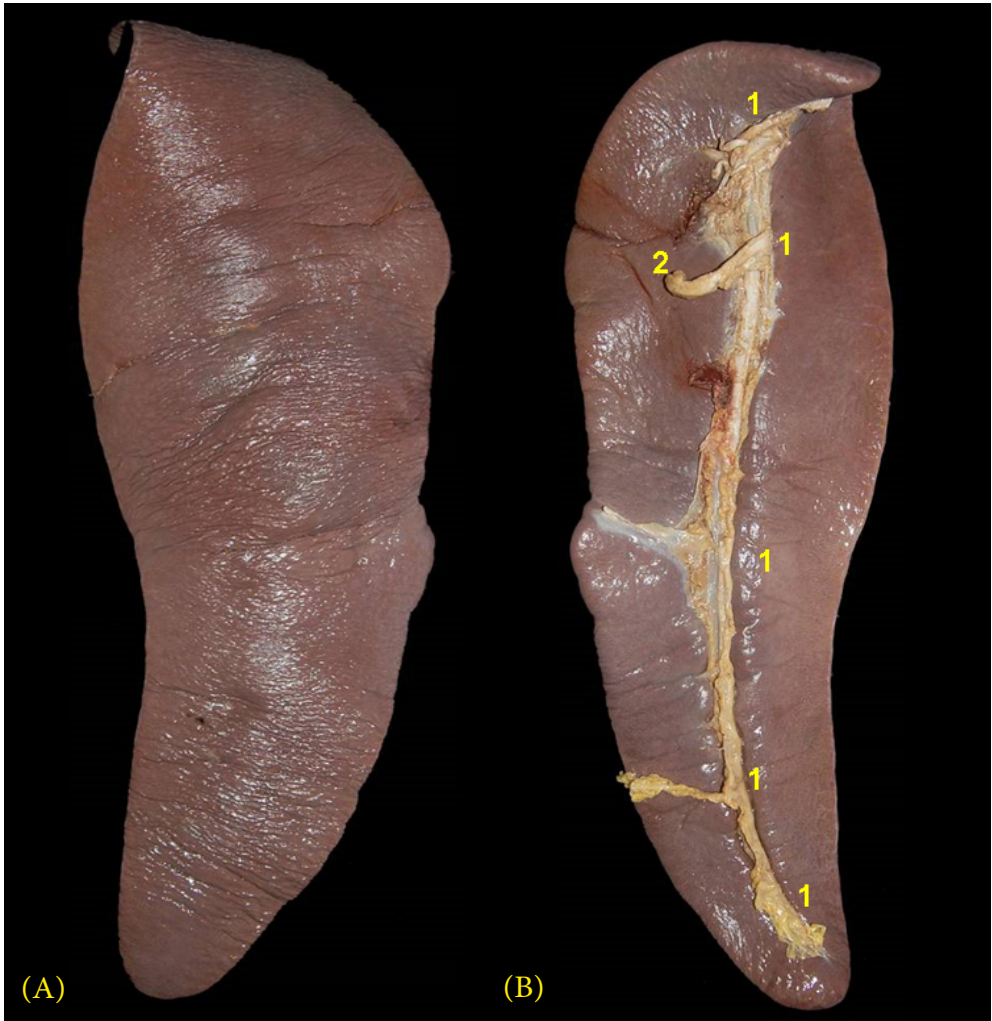




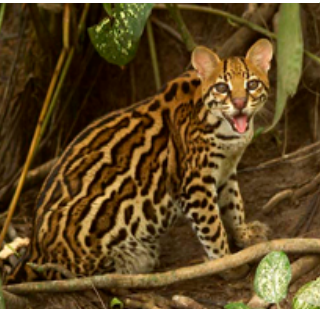
**Figura 4.58** - Visión lateral derecha del corazón del tapir (*Tapirus terrestris*). 1. Atrio derecho; 2. Aurícula derecha; 3. Ventrículo derecho; 4. Ventrículo izquierdo; 5. Aorta; 6. Tronco braquiocefálico; 7. Arteria subclavia derecha; 8. Tronco bicarotídeo; 9. Arterias carótidas comunes; 10. Tronco pulmonar; 11. Vena cava craneal; 12. Vena cava caudal; 13. Vena ázigos derecha; 14. Arteria coronaria derecha; 15. Rama interventricular subsinusal.



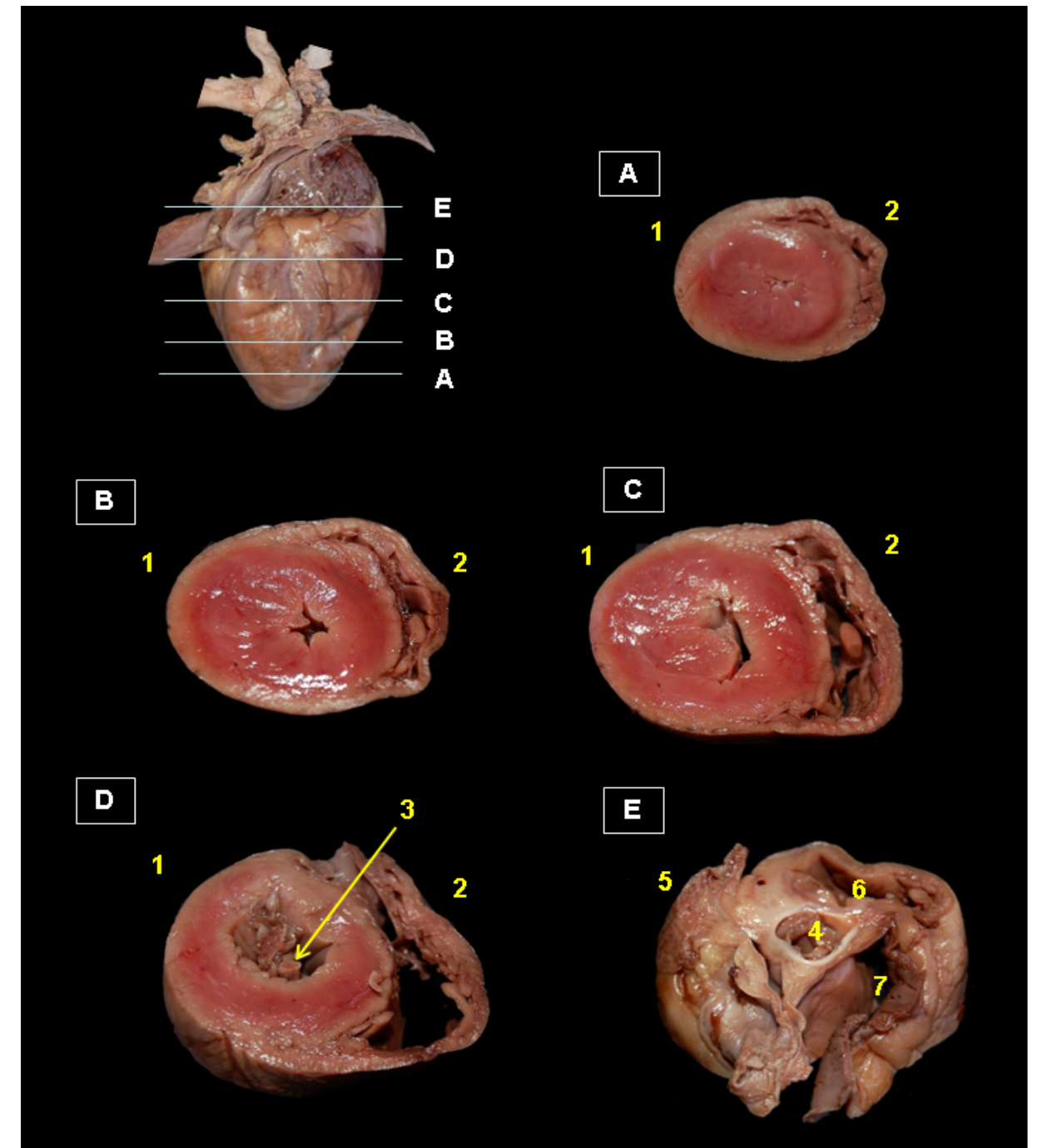
**Figura 4.59** - Cara visceral del estómago y bazo del tapir (*Tapirus terrestris*). 1. Esófago; 2. Estómago; 3. Bazo.



**Figura 4.60** - Bazo del tapir (*Tapirus terrestris*). **A** - Cara parietal. **B** - Cara visceral. 1. Hilio del bazo; 2. Arteria y vena esplénicas.

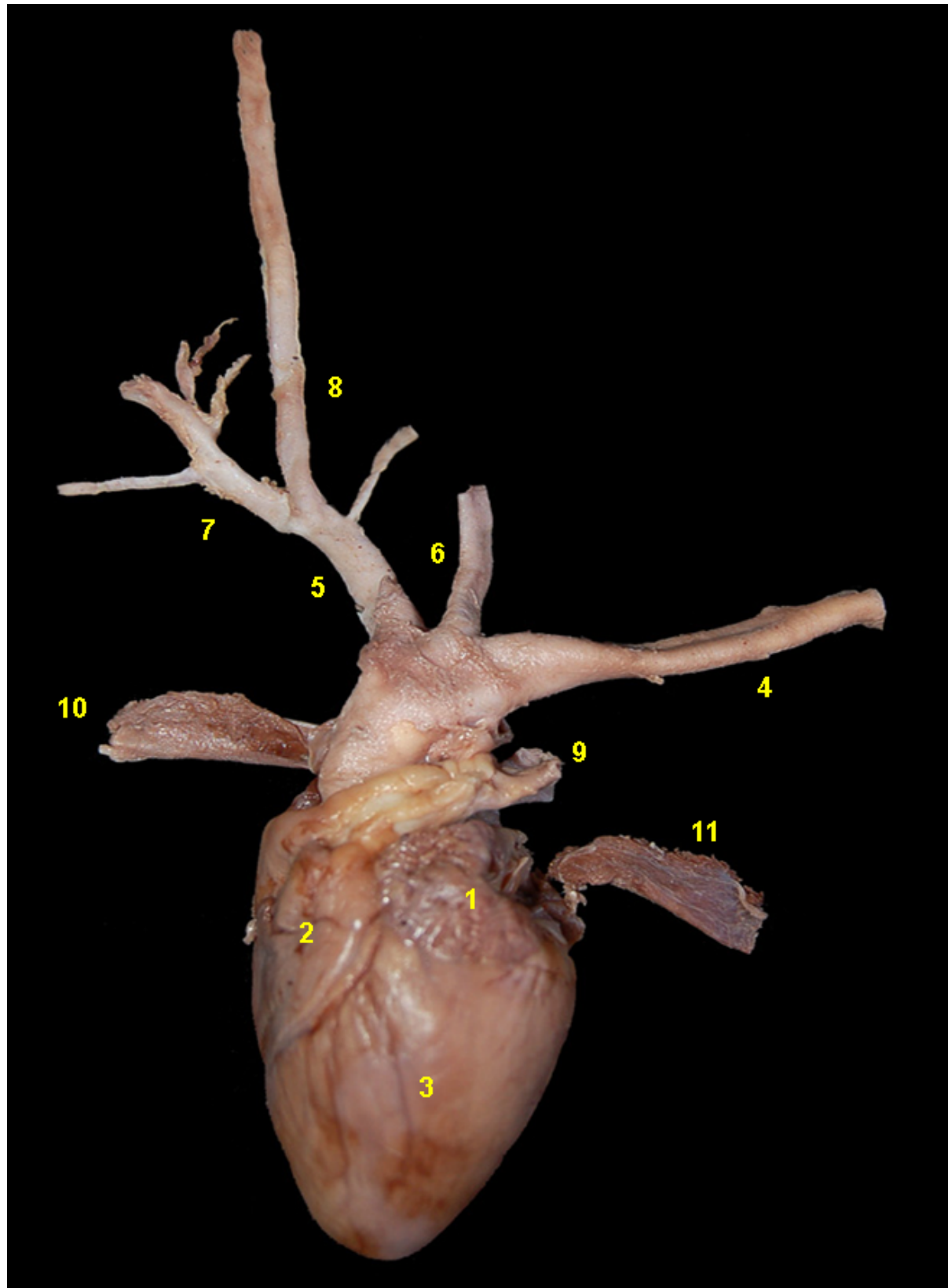


## OCELOTE (*Leopardus pardalis*)

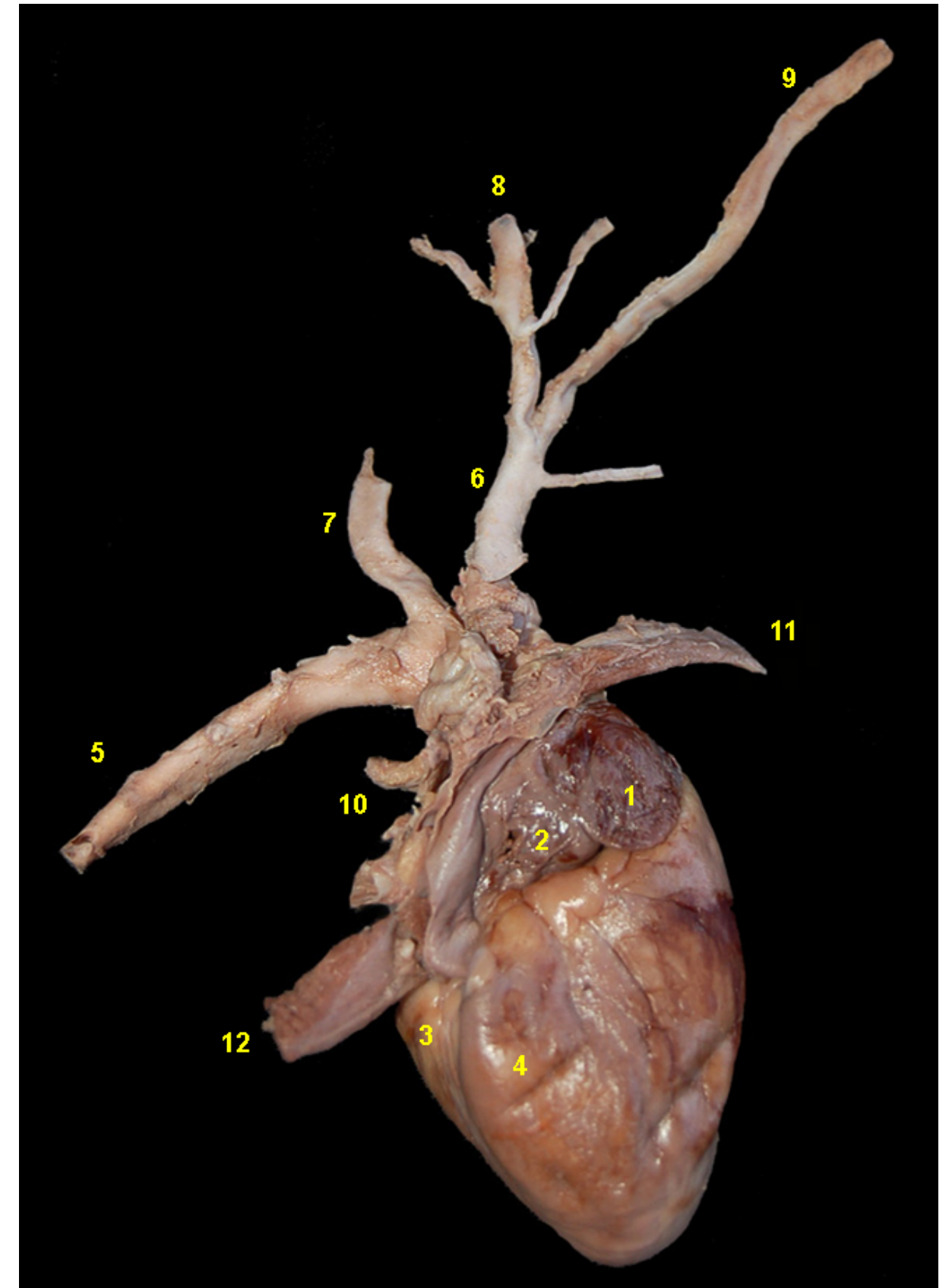


**Figura 4.61** - Secciones transversales del corazón del ocelote (*Leopardus pardalis*). 1. Ventriculo izquierdo; 2. Ventriculo derecho; 3. Musculos papilares; 4. Bulbo de la aorta; 5. Atrio izquierdo; 6. Auricula derecha; 7. Atrio derecho.

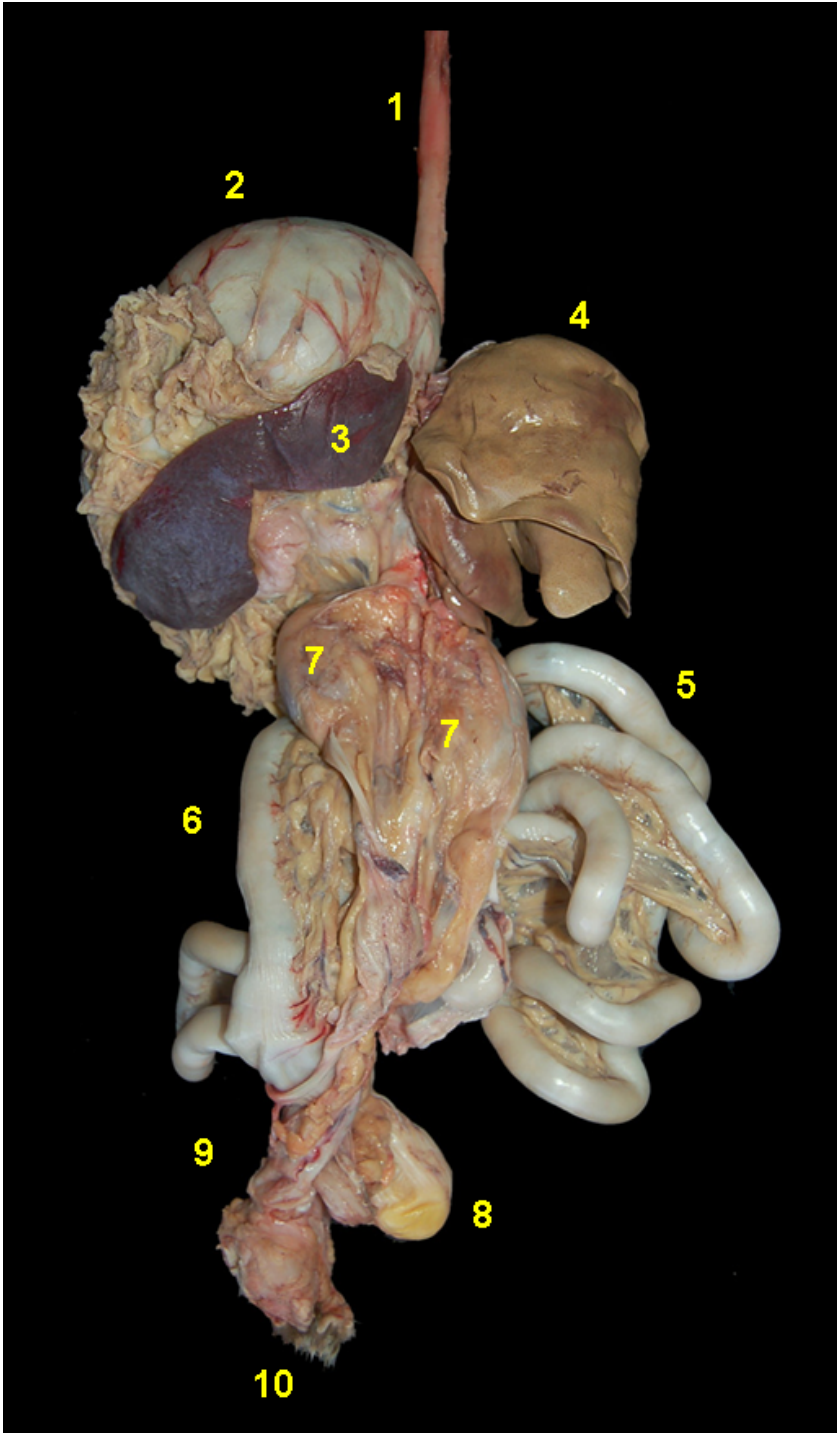




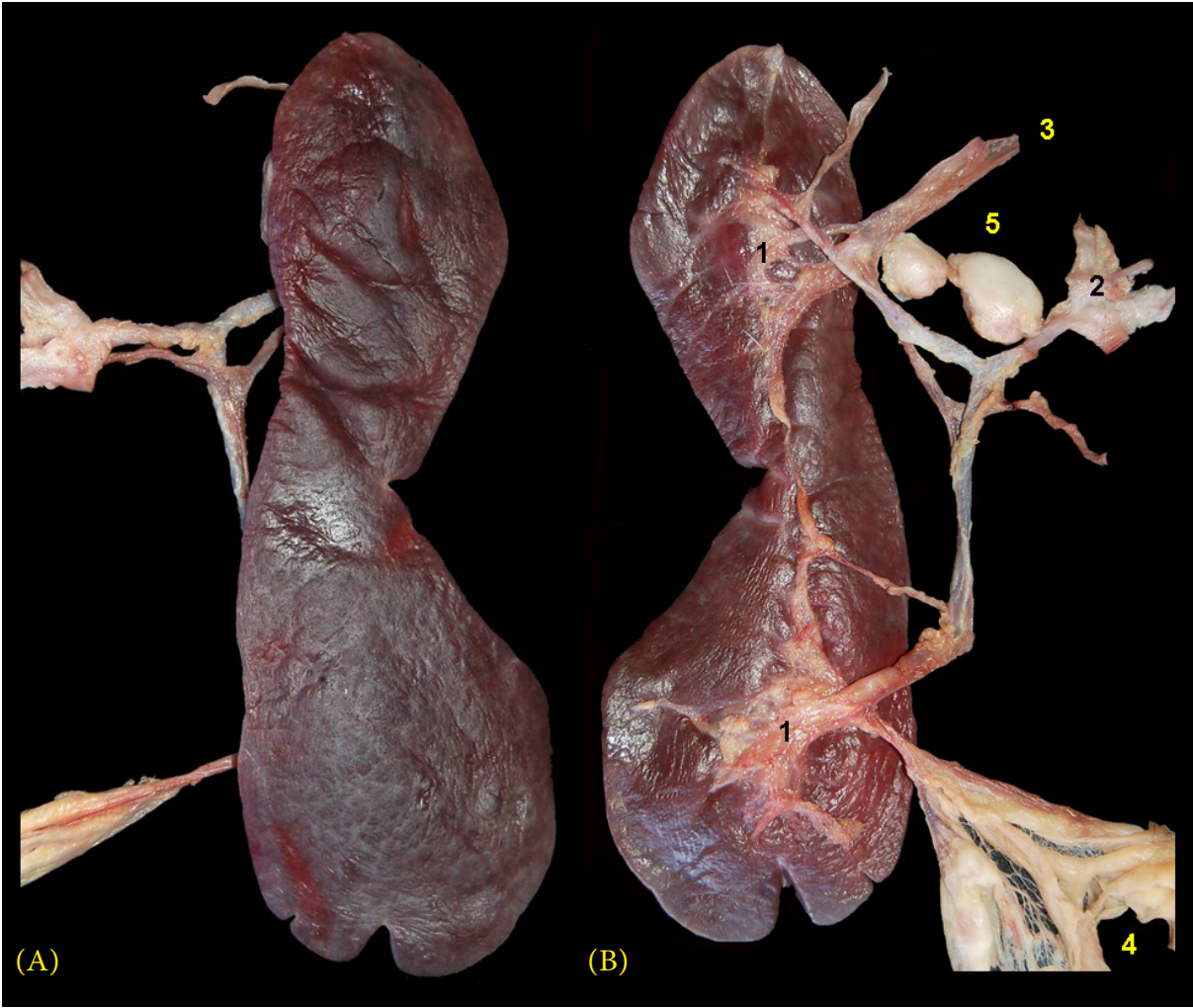
**Figura 4.62** - Visión lateral izquierda del corazón del ocelote (*Leopardus pardalis*). 1. Aurícula izquierda; 2. Ventriculo derecho; 3. Ventriculo izquierdo; 4. Aorta; 5. Tronco braquiocefálico; 6. Arteria subclavia izquierda; 7. Arteria subclavia derecha; 8. Arterias carótidas comunes; 9. Tronco pulmonar; 10. Vena cava craneal; 11. Vena cava caudal.



**Figura 4.63** - Visión lateral derecha del corazón del ocelote (*Leopardus pardalis*). 1. Aurícula derecha; 2. Atrio derecho; 3. Ventriculo izquierdo; 4. Ventriculo derecho; 5. Aorta; 6. Tronco braquiocefálico; 7. Arteria subclavia izquierda; 8. Arteria subclavia derecha; 9. Arterias carótidas comunes; 10. Venas pulmonares; 11. Vena cava craneal; 12. Vena cava caudal.



**Figura 4.64** - Visión dorsal de los órganos abdominales del ocelote (*Leopardus pardalis*). 1. Esófago; 2. Estómago; 3. Bazo; 4. Hígado; 5. Asas intestinales; 6. Colon descendente; 7. Riñones; 8. Vejiga urinaria; 9. Recto; 10. Ano.

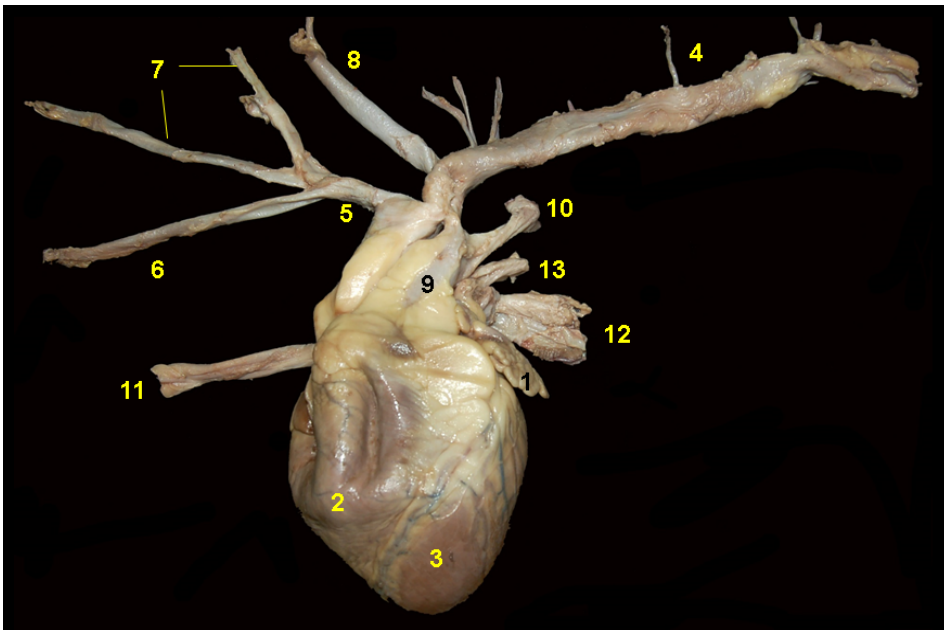


**Figura 4.65** - Bazo del ocelote (*Leopardus pardalis*). **A** - Cara parietal. **B** - Cara visceral. 1. Hilio del bazo; 2. Arteria esplénica; 3. Vena esplénica; 4. Omento mayor; 5. Nódulos linfáticos esplénicos.

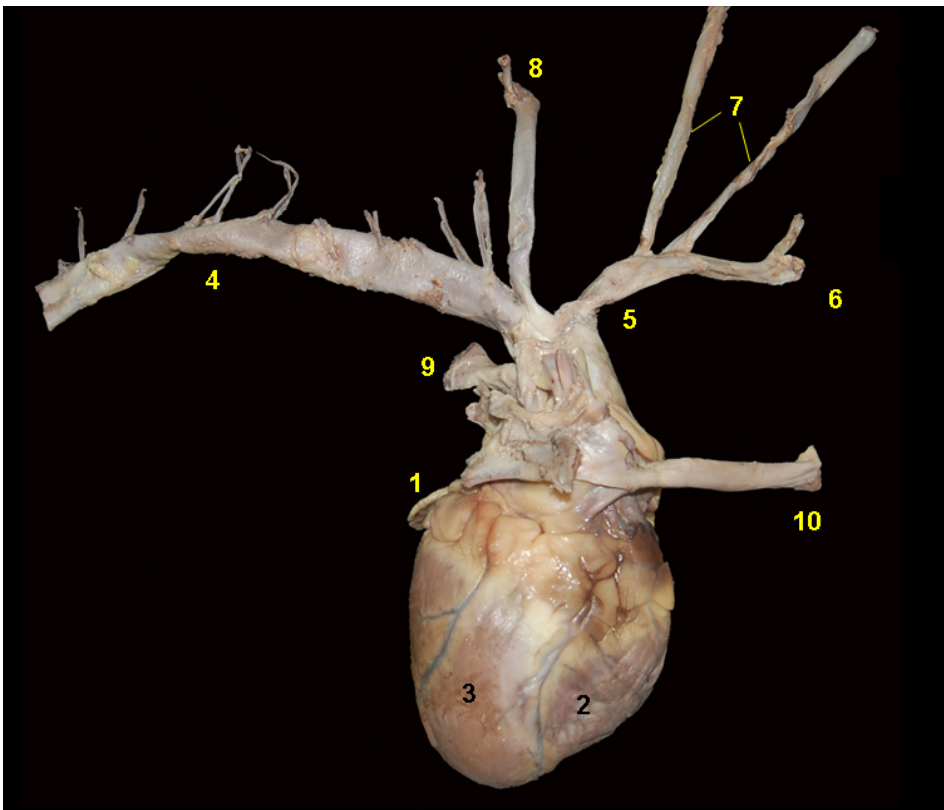




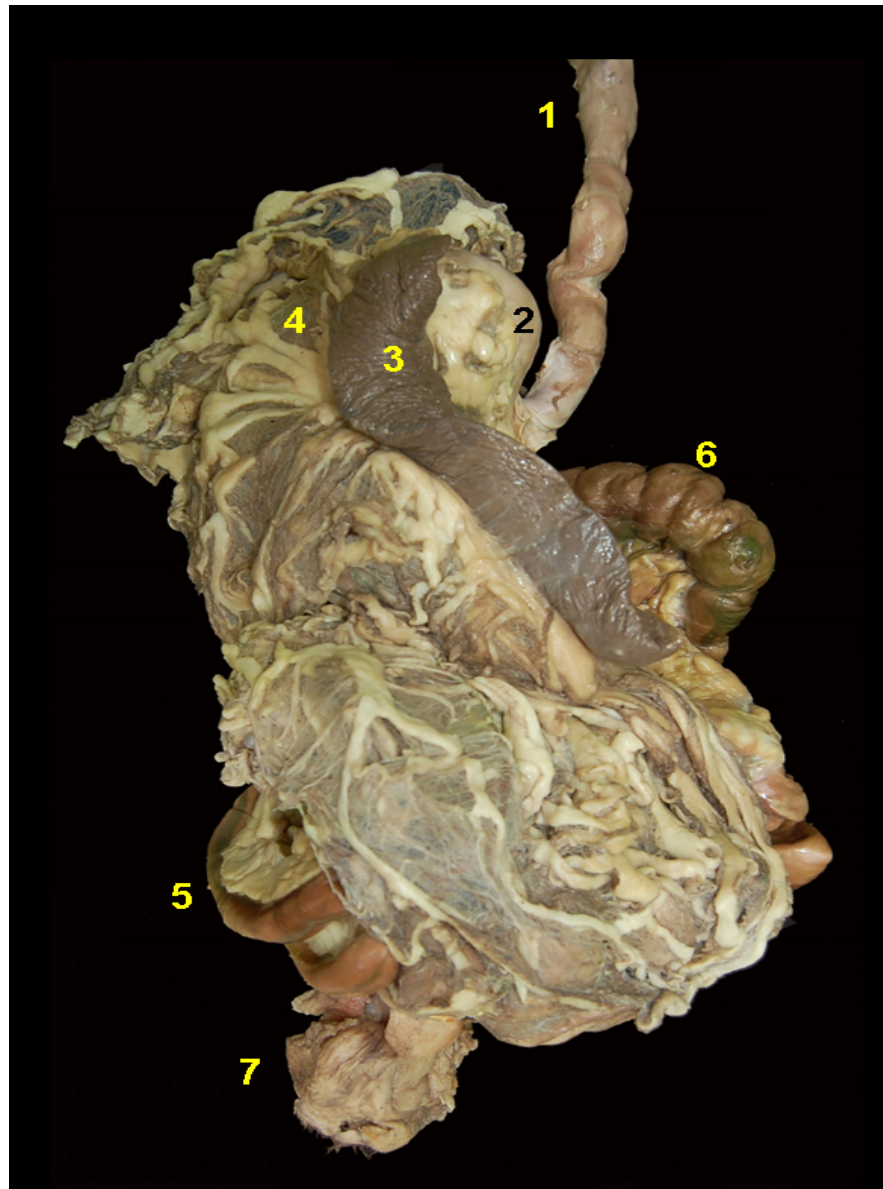
JAGUAR (*Panthera onca*)



**Figura 4.66** - Visión lateral izquierda del corazón del jaguar (*Panthera onca*). 1. Aurícula izquierda; 2. Ventrículo derecho; 3. Ventrículo izquierdo; 4. Aorta; 5. Tronco braquiocefálico; 6. Arteria subclavia derecha; 7. Arterias carótidas comunes; 8. Arteria subclavia izquierda; 9. Tronco pulmonar; 10. Arteria pulmonar izquierda; 11. Vena cava craneal; 12. Vena cava caudal; 13. Venas pulmonares.



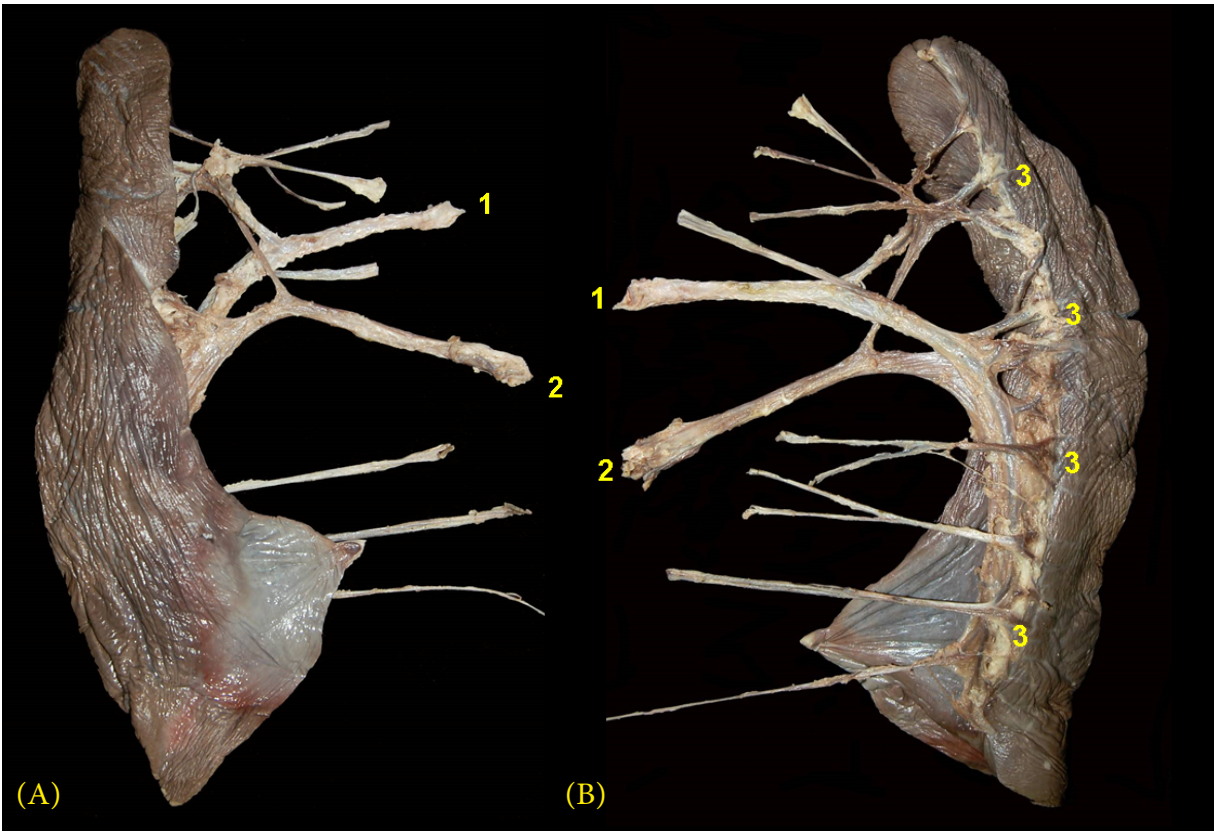
**Figura 4.67** - Visión lateral derecha del corazón del jaguar (*Panthera onca*). 1. Aurícula izquierda; 2. Ventrículo derecho; 3. Ventrículo izquierdo; 4. Aorta; 5. Tronco braquiocefálico; 6. Arteria subclavia derecha; 7. Arterias carótidas comunes; 8. Arteria subclavia izquierda; 9. Arteria pulmonar; 10. Vena cava craneal.



**Figura 4.68** - Visión dorsal de los órganos digestivos abdominales del jaguar (*Panthera onca*). 1. Esófago; 2. Estómago; 3. Bazo; 4. Omento mayor; 5. Asas yeyunales; 6. Colon transverso; 7. Ano.



**Figura 4.69** - Cara parietal del bazo del jaguar (*Panthera onca*). 1. Bazo; 2. Omento mayor. 3. Vasos esplénicos.

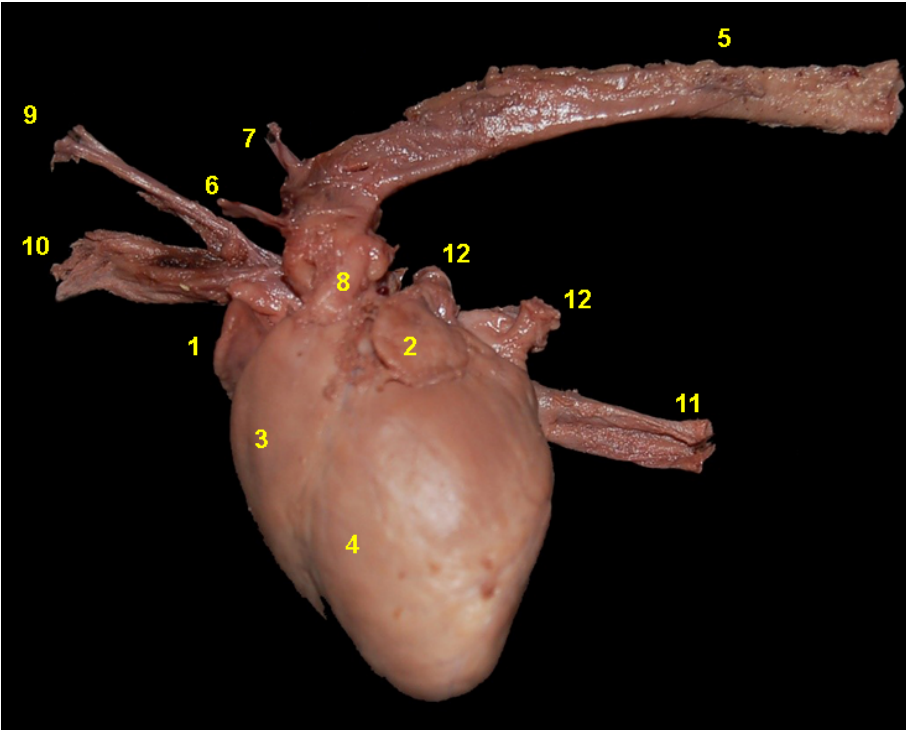


**Figura 4.70** - Bazo del jaguar (*Panthera onca*). **A** - Cara parietal. **B** - Cara visceral. 1. Arteria esplénica; 2. Vena esplénica; 3. Hilio del bazo.

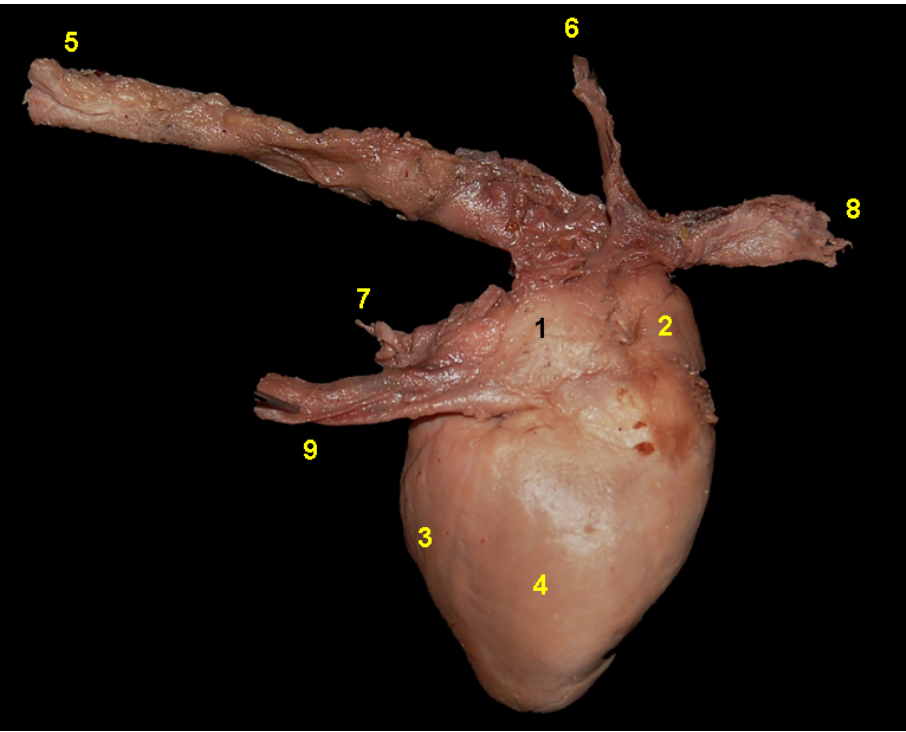




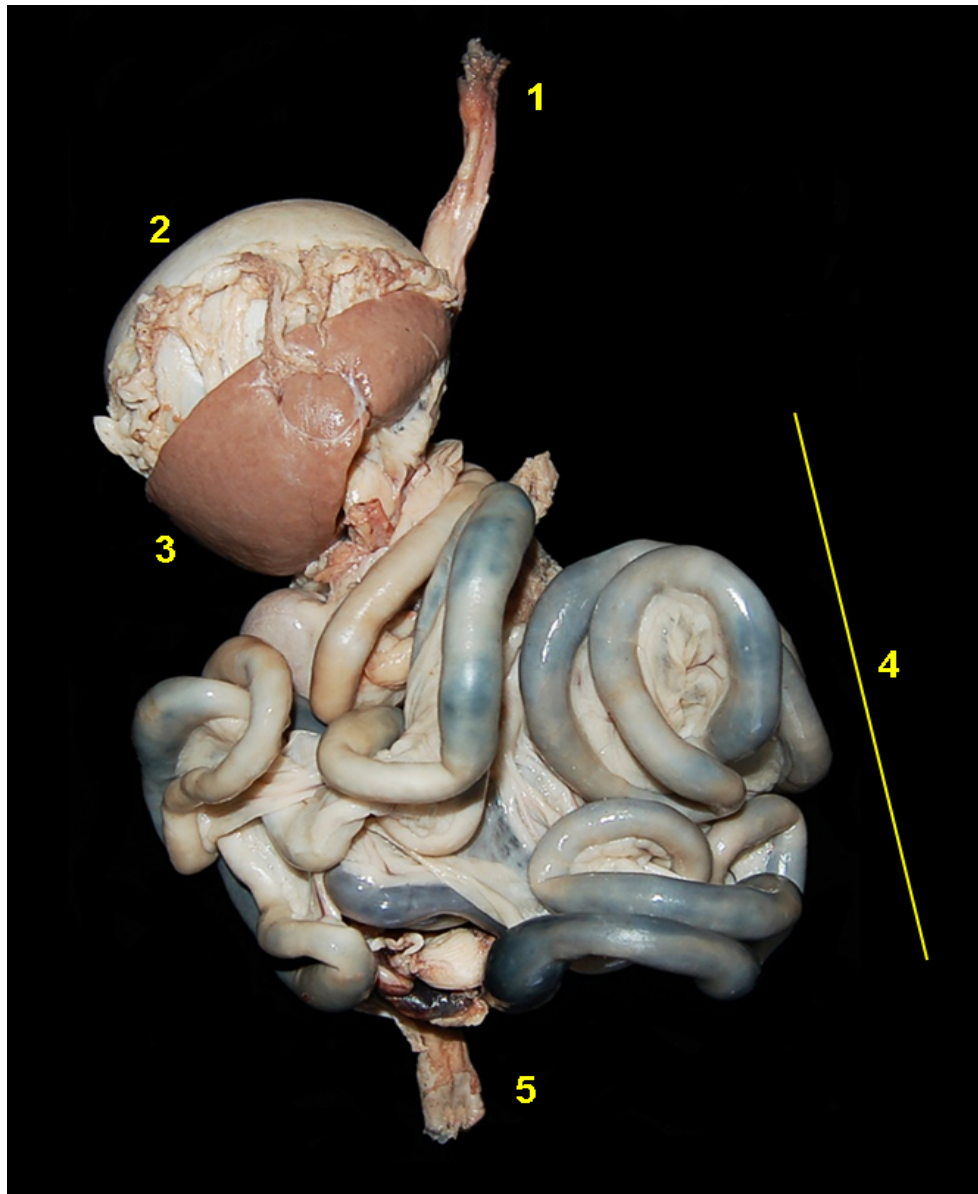
# COATÍ DE COLA ANILLADA (*Nasua nasua*)



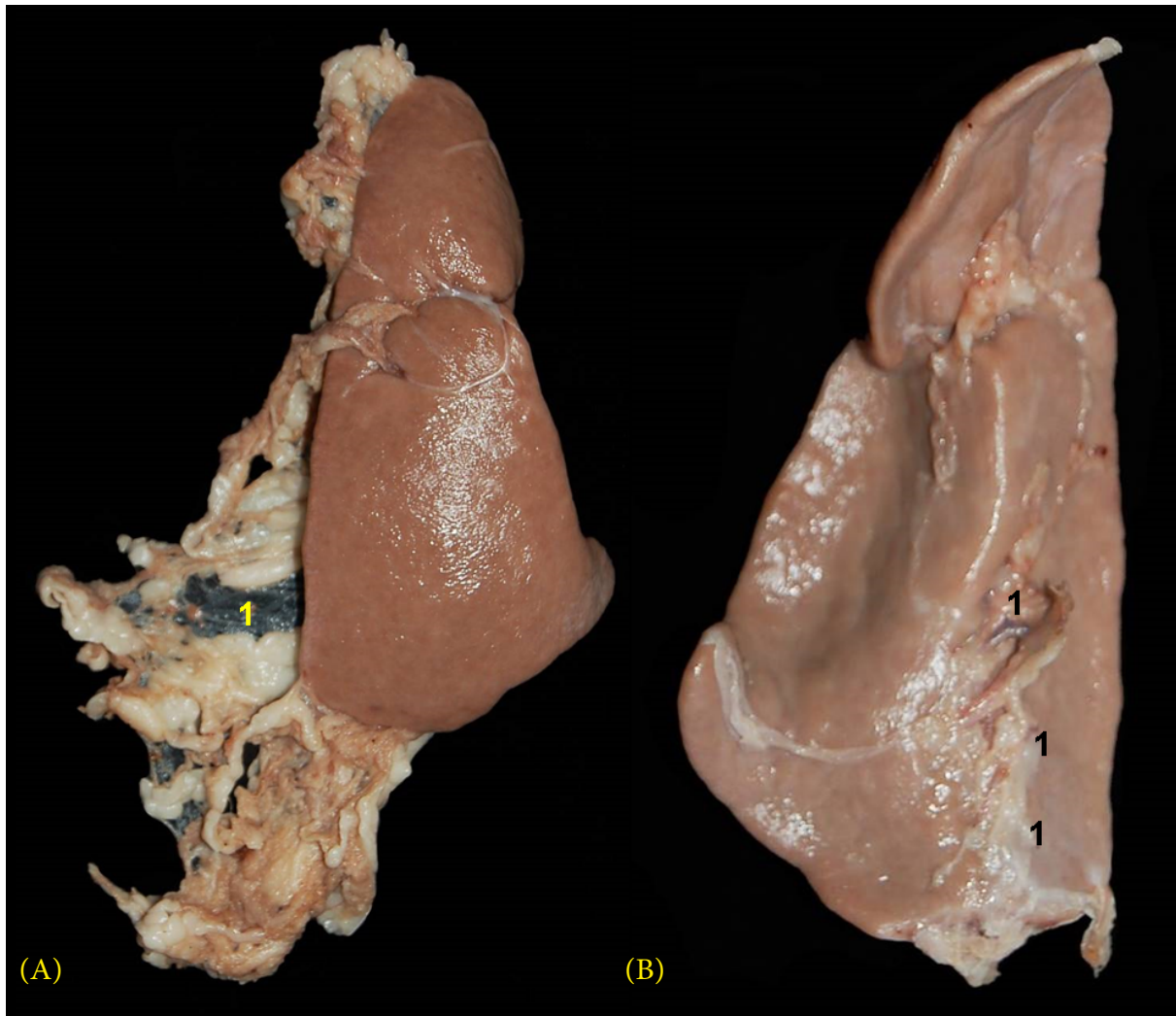
**Figura 4.71** - Visión lateral izquierda del corazón del coatí de cola anillada (*Nasua nasua*). 1. Aurícula derecha; 2. Aurícula izquierda; 3. Ventrículo derecho; 4. Ventrículo izquierdo; 5. Aorta; 6. Tronco braquiocefálico; 7. Arteria subclavia izquierda; 8. Tronco pulmonar; 9. Vena ácigos derecha; 10. Vena cava craneal; 11. Vena cava caudal; 12. Venas pulmonares.



**Figura 4.72** - Visión lateral derecha del corazón del coatí de cola anillada (*Nasua nasua*). 1. Atrio derecho; 2. Aurícula derecha; 3. Ventrículo izquierdo; 4. Ventrículo derecho; 5. Aorta; 6. Vena ácigos derecha; 7. Venas pulmonares; 8. Vena cava craneal; 9. Vena cava caudal.



**Figura 4.73** - Visión dorsal de los órganos digestivos abdominales del coatí de cola anillada (*Nasua nasua*). 1. Esófago; 2. Estómago; 3. Bazo; 4. Asas yeyunales; 5. Colon descendente.

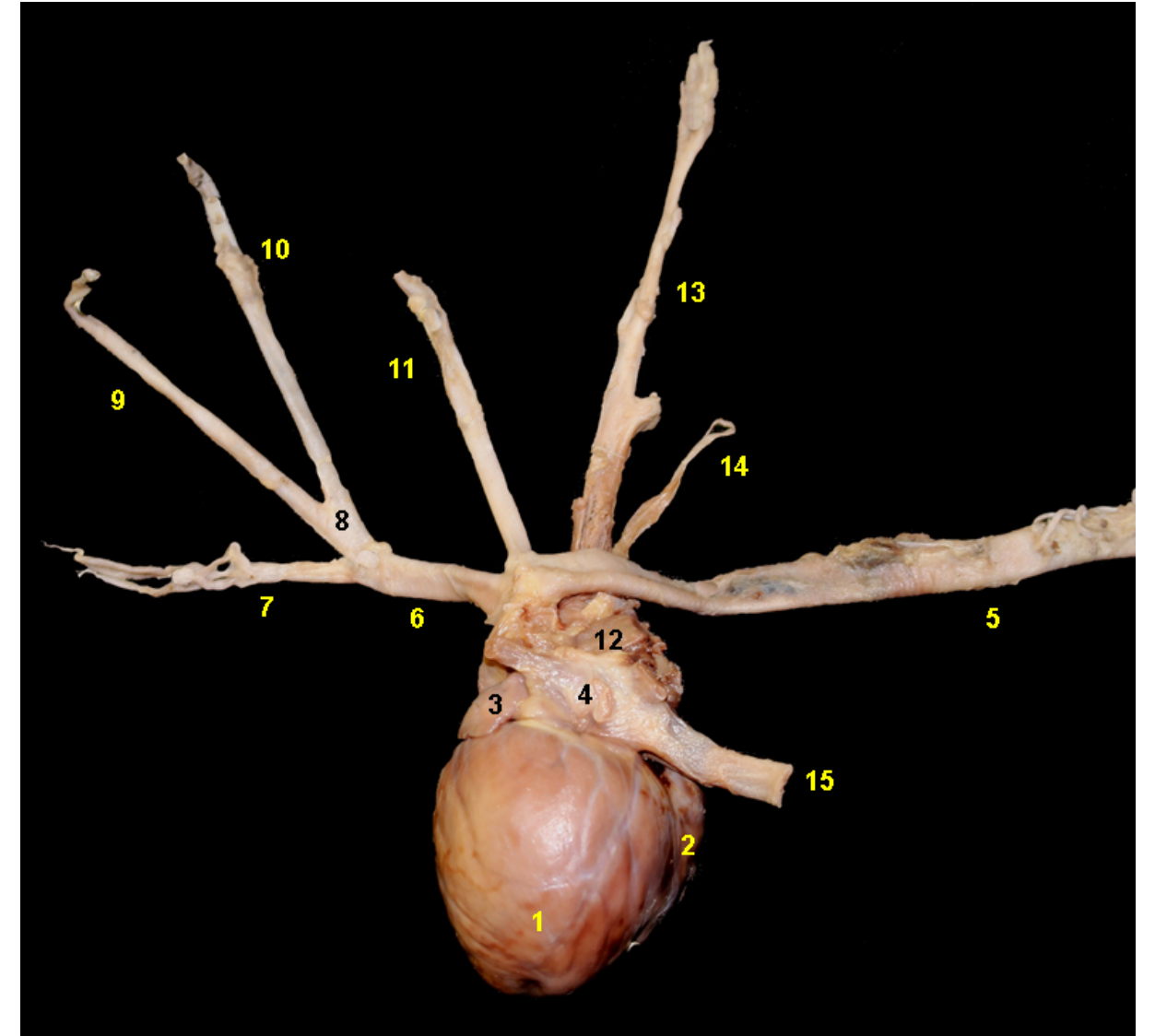


**Figura 4.74** - Bazo del coatí de cola anillada (*Nasua nasua*). **A** - Cara parietal. 1. Ligamento gastroesplénico. **B** - Cara visceral. 1. Hilio del bazo.

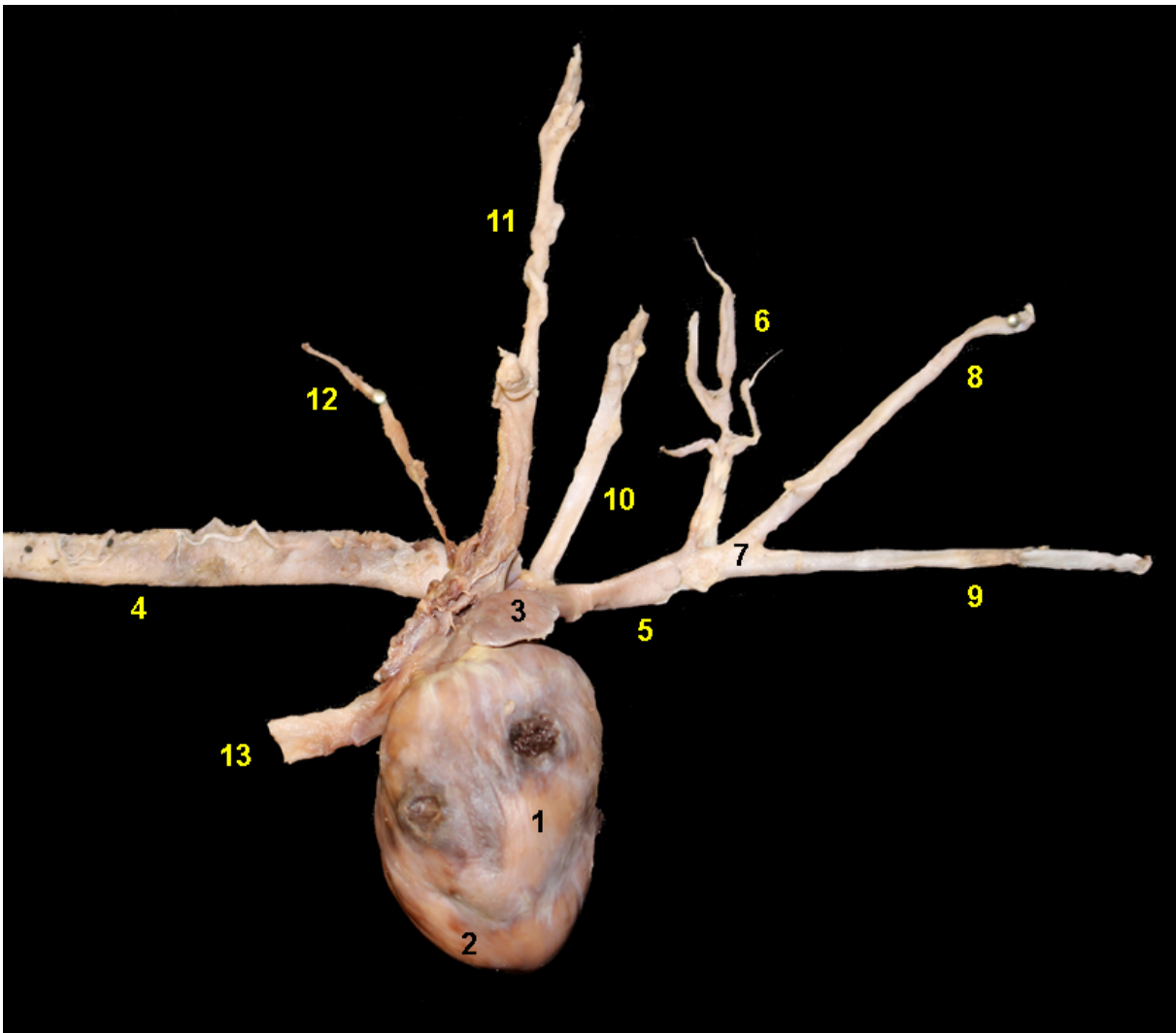




## KINKAJOU (*Potos flavus*)



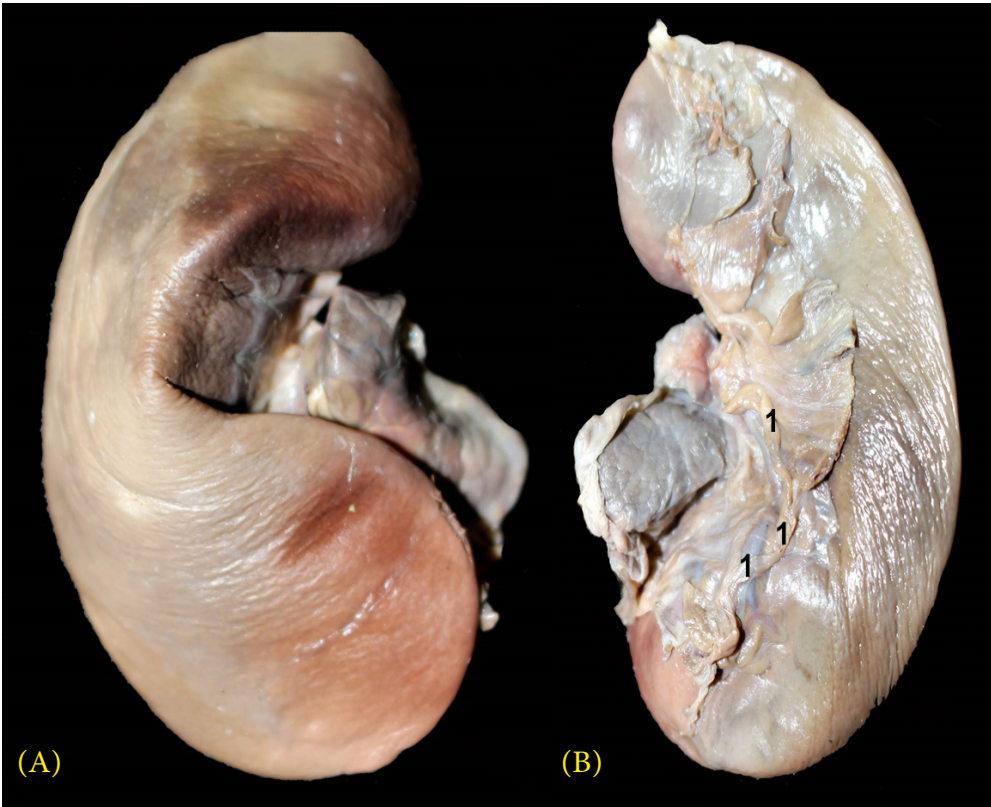
**Figura 4.75** - Visión caudal del corazón del kinkajou (*Potos flavus*). 1. Ventriculo izquierdo; 2. Ventriculo derecho; 3. Auricula izquierda; 4. Atrio izquierdo; 5. Aorta; 6. Tronco braquiocefálico; 7. Arteria subclavia derecha; 8. Tronco bicarotídeo; 9. Arteria carótida común izquierda; 10. Arteria carótida común derecha; 11. Arteria subclavia izquierda; 12. Arteria pulmonar derecha; 13. Vena cava craneal; 14. Vena ázigos; 15. Vena cava caudal.



**Figura 4.76** - Visión craneal del corazón del kinkajou (*Potos flavus*). 1. Ventrículo derecho; 2. Ventrículo izquierdo; 3. Aurícula derecha; 4. Aorta, 5. Tronco braquiocefálico; 6. Arteria subclavia derecha; 7. Tronco bicarotídeo, 8. Arteria carótida común izquierda, 9. Arteria carótida común derecha; 10. Arteria subclavia izquierda, 11. Vena cava craneal, 12. Vena ázigos, 13. Vena cava caudal.



**Figura 4.77** - Cara parietal del bazo del kinkajou (*Potos flavus*). 1. Omento mayor; 2. Ligamento gastroesplénico.

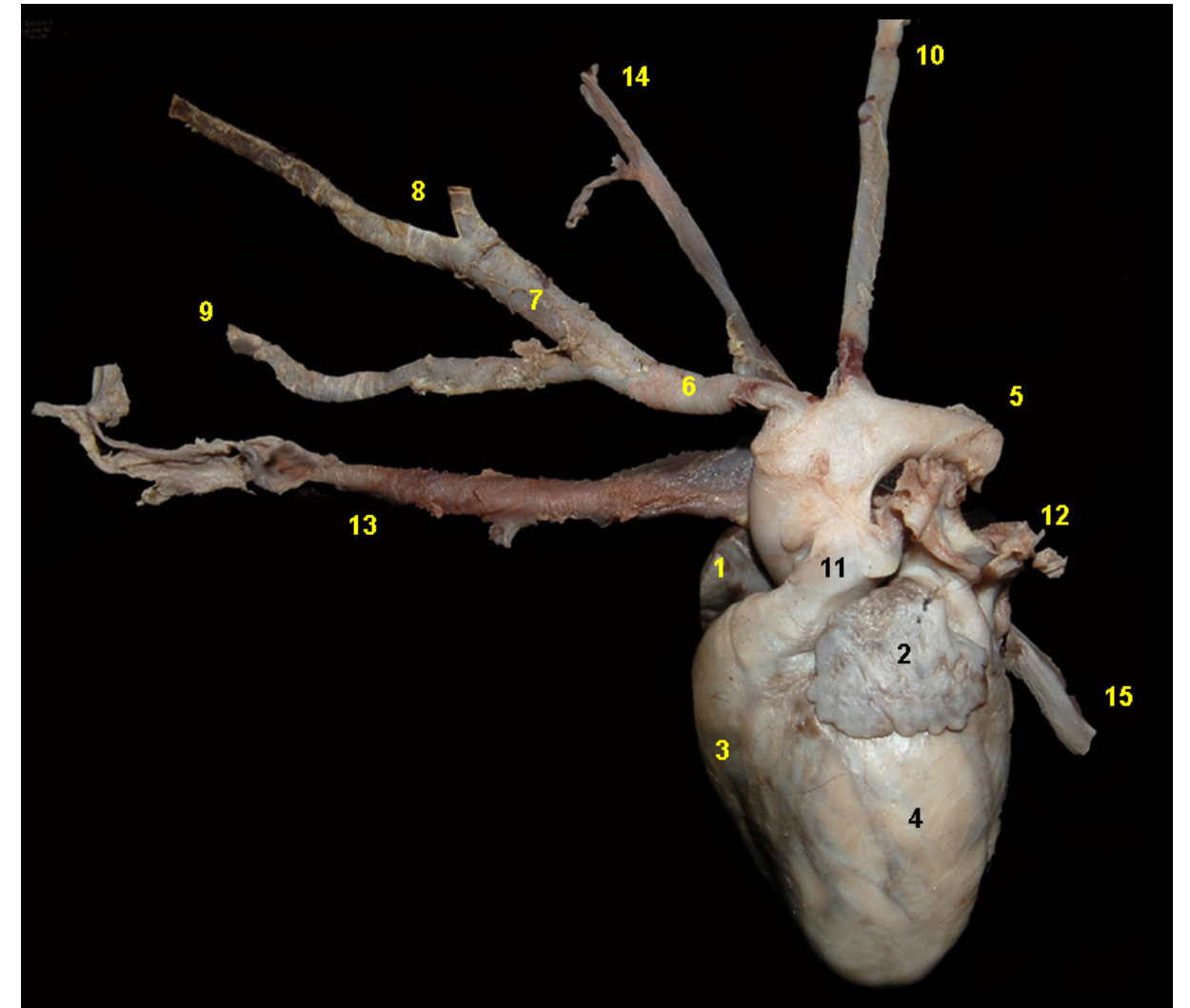


**Figura 4.78** - Bazo del kinkajou (*Potos flavus*). **A** - Cara parietal. **B** - Cara visceral. 1. Hilio del bazo.

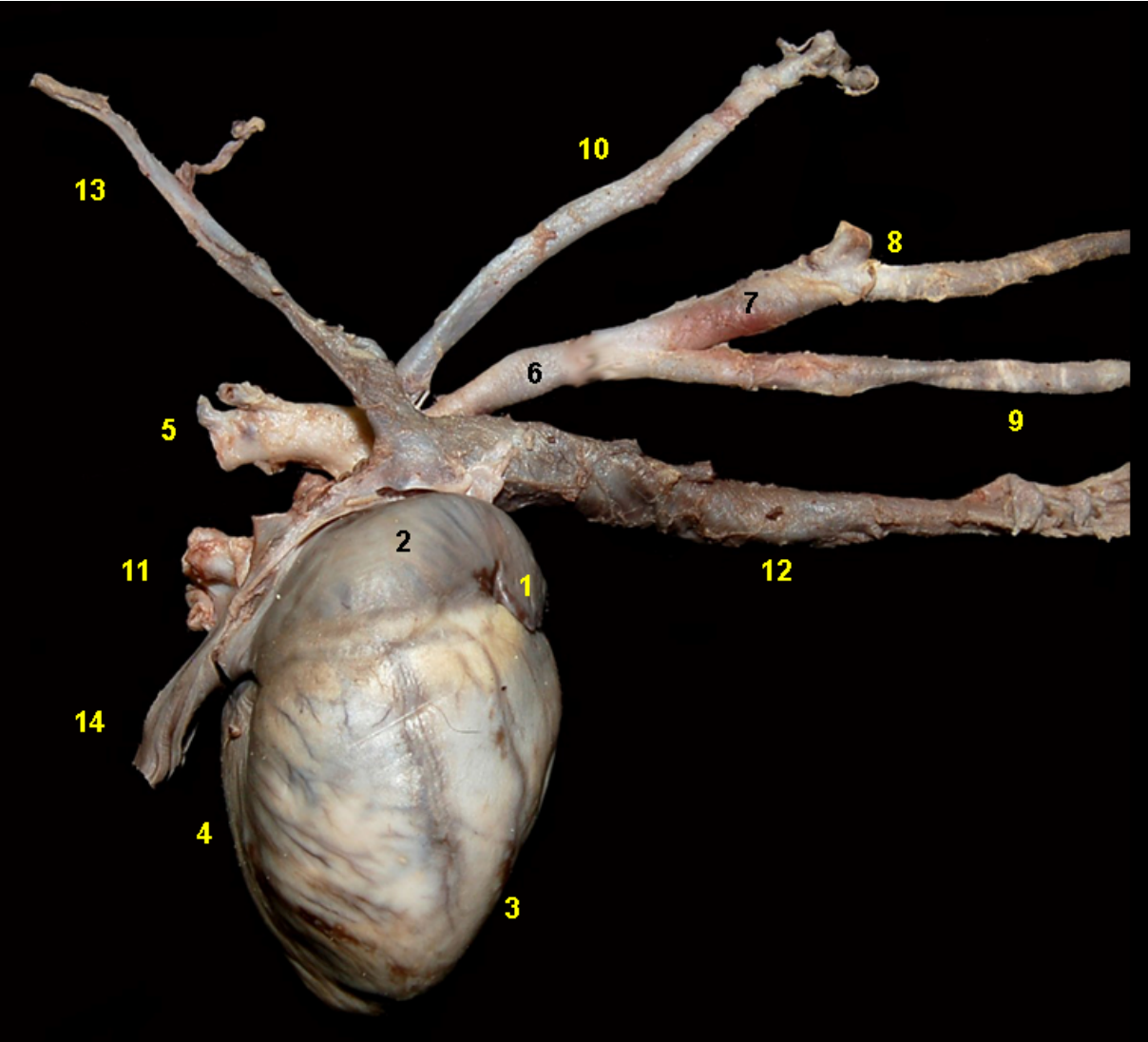




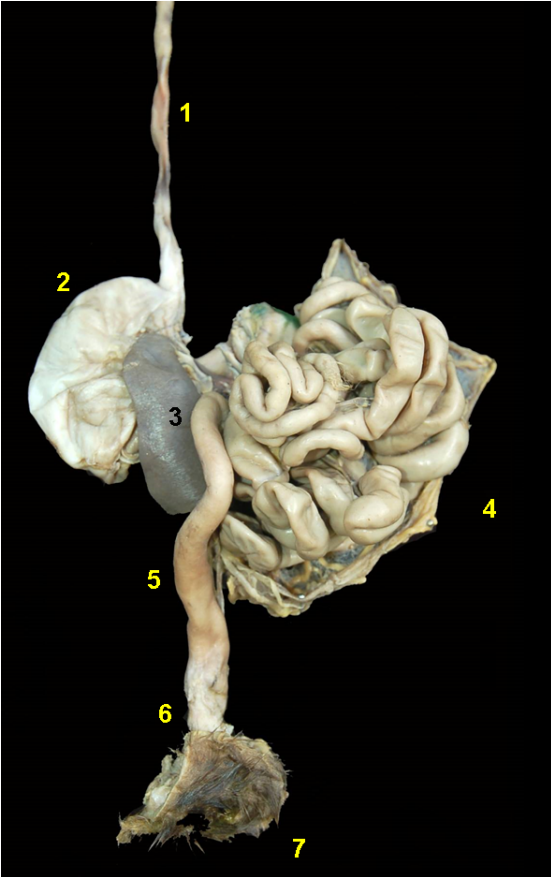
## NUTRIA GIGANTE (*Pteronura brasiliensis*)



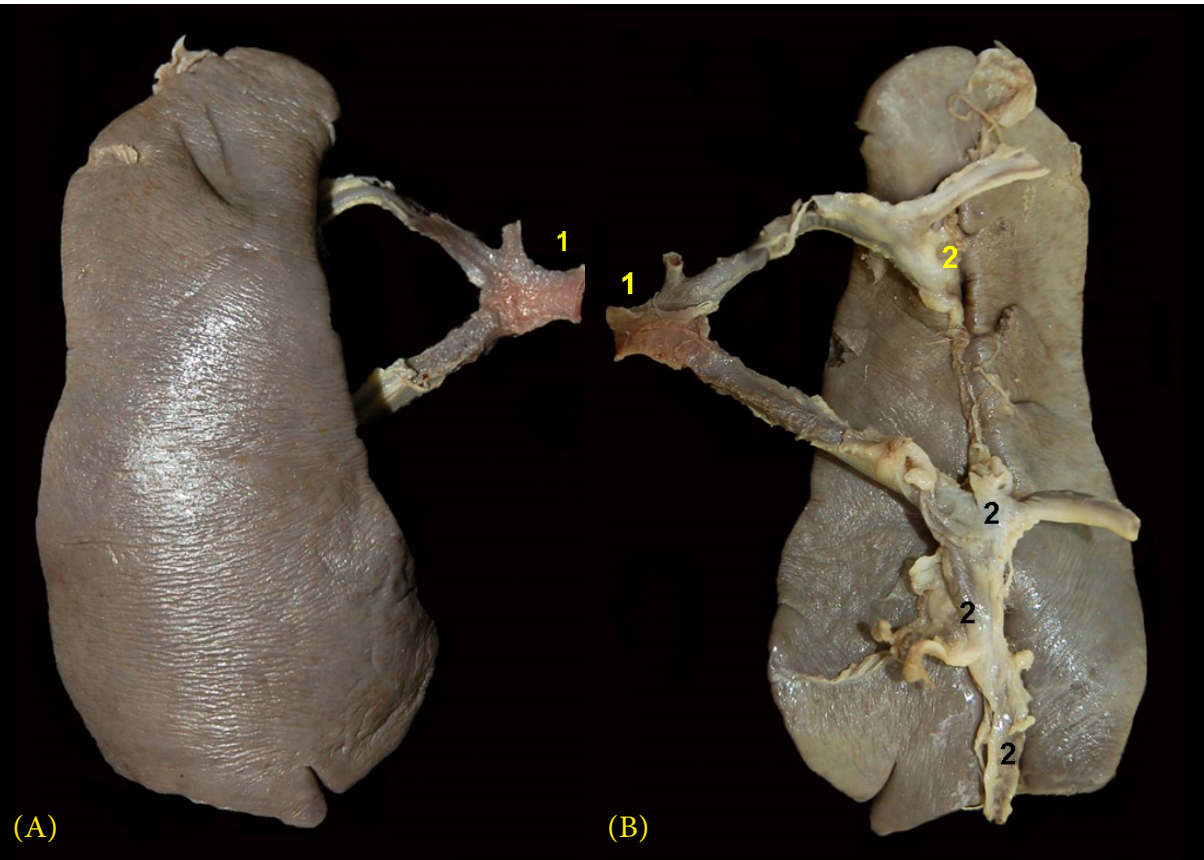
**Figura 4.79** - Visión lateral izquierda del corazón de la nutria gigante (*Pteronura brasiliensis*). 1. Aurícula derecha; 2. Aurícula izquierda; 3. Ventrículo derecho; 4. Ventrículo izquierdo; 5. Aorta; 6. Tronco braquiocefálico; 7. Tronco bicarotídeo; 8. Arterias carótidas comunes; 9. Arteria subclavia derecha; 10. Arteria subclavia izquierda; 11. Tronco pulmonar; 12. Venas pulmonares; 13. Vena cava craneal; 14. Vena ácigos derecha; 15. Vena cava caudal.



**Figura 4.80** - Visión lateral derecha del corazón de la nutria gigante (*Pteronura brasiliensis*). 1. Aurícula derecha; 2. Atrio derecho; 3. Ventrículo derecho; 4. Ventrículo izquierdo; 5. Aorta; 6. Tronco braquiocefálico; 7. Tronco bicarotídeo; 8. Arterias carótidas comunes; 9. Arteria subclavia derecha; 10. Arteria subclavia izquierda; 11. Venas pulmonares; 12. Vena cava craneal; 13. Vena ácigos derecha; 14. Vena cava caudal.



**Figura 4.81** - Visión dorsal de los órganos digestivos abdominales de la nutria gigante (*Pteronura brasiliensis*). 1. Esófago; 2. Estómago; 3. Bazo; 4. Asas yeyunales; 5. Colon descendente; 6. Recto; 7. Ano.

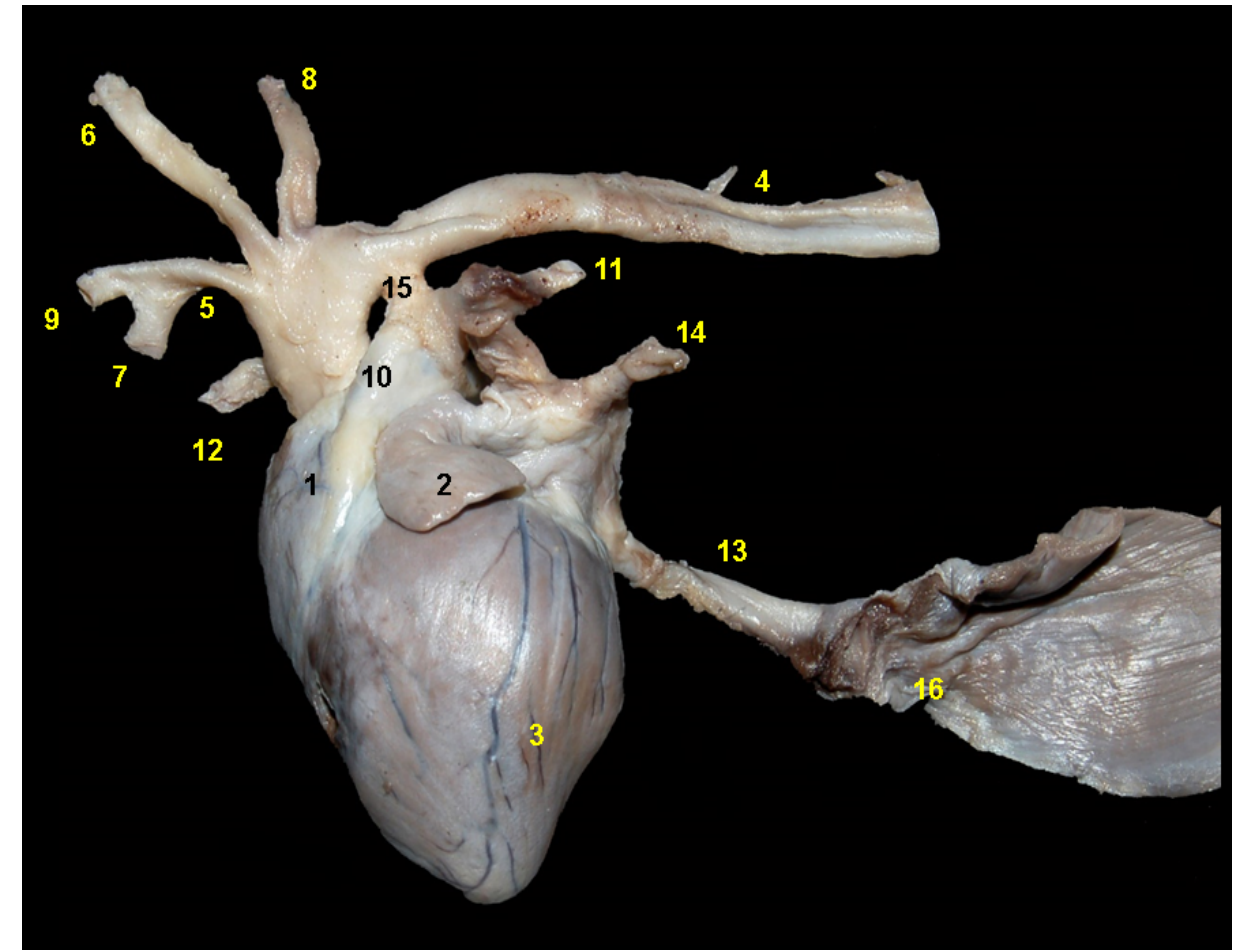


**Figura 4.82** - Bazo de la nutria gigante (*Pteronura brasiliensis*). A - Cara parietal. B - Cara visceral. 1. Arteria y vena esplénicas. 2 - Hilio del bazo.

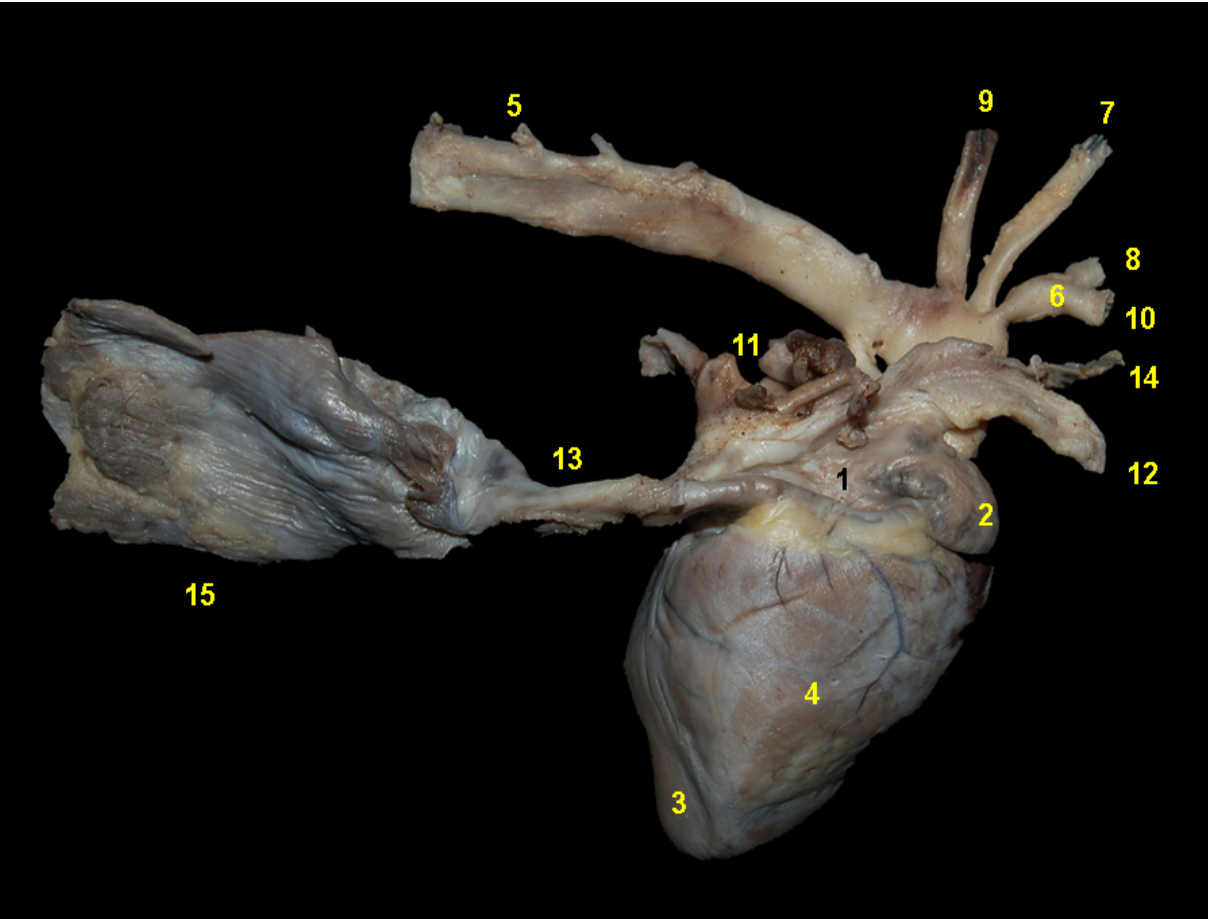




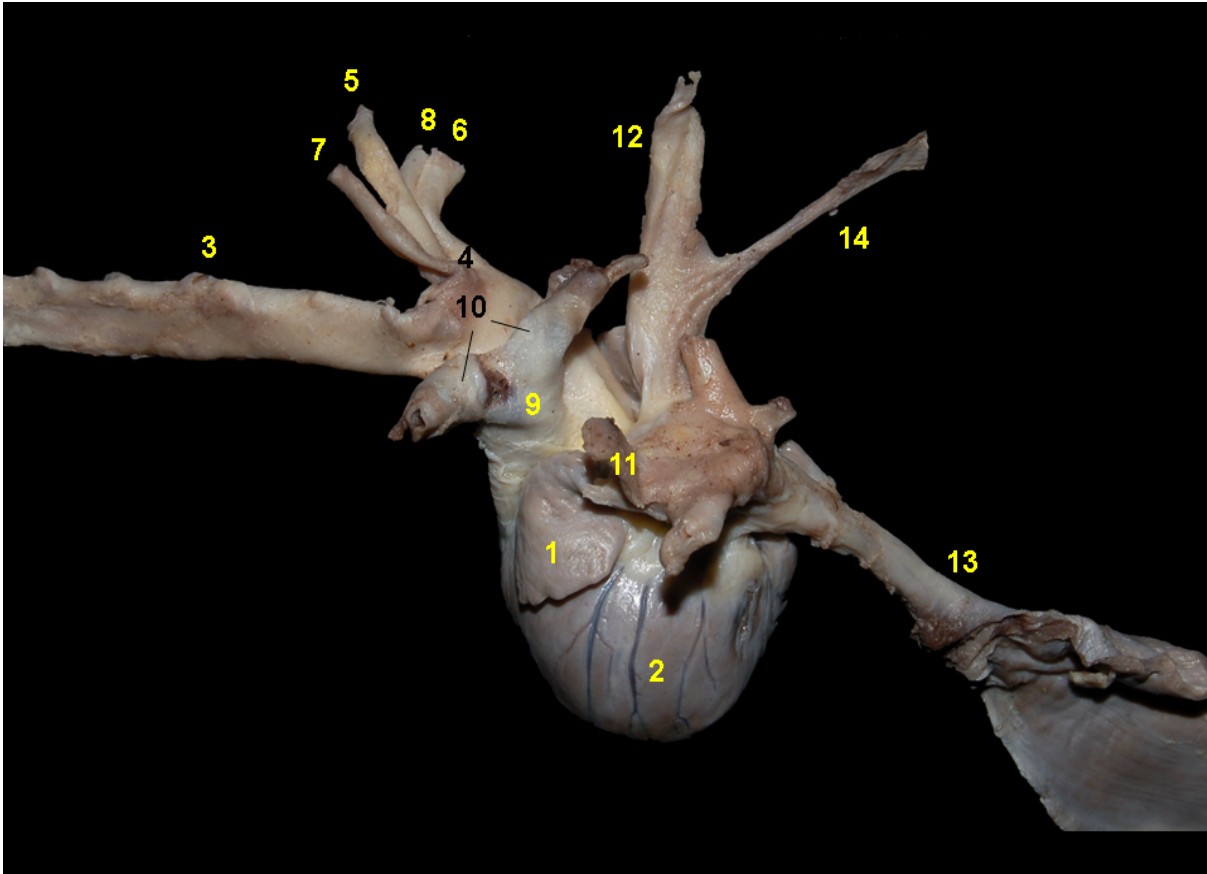
## MONO MACHÍN BLANCO (*Cebus albifrons*)



**Figura 4.83** - Visión lateral izquierda del corazón del mono machín blanco (*Cebus albifrons*). 1. Ventriculo derecho; 2. Aurícula izquierda; 3. Ventriculo izquierdo; 4. Aorta; 5. Tronco braquiocefálico; 6. Arteria carótida común izquierda; 7. Arteria subclavia derecha; 8. Arteria subclavia izquierda; 9. Arteria carótida común derecha; 10. Tronco pulmonar; 11. Arteria pulmonar izquierda; 12. Vena cava craneal; 13. Vena cava caudal; 14. Vena pulmonar; 15. Ligamento arterioso; 16. Diafragma.

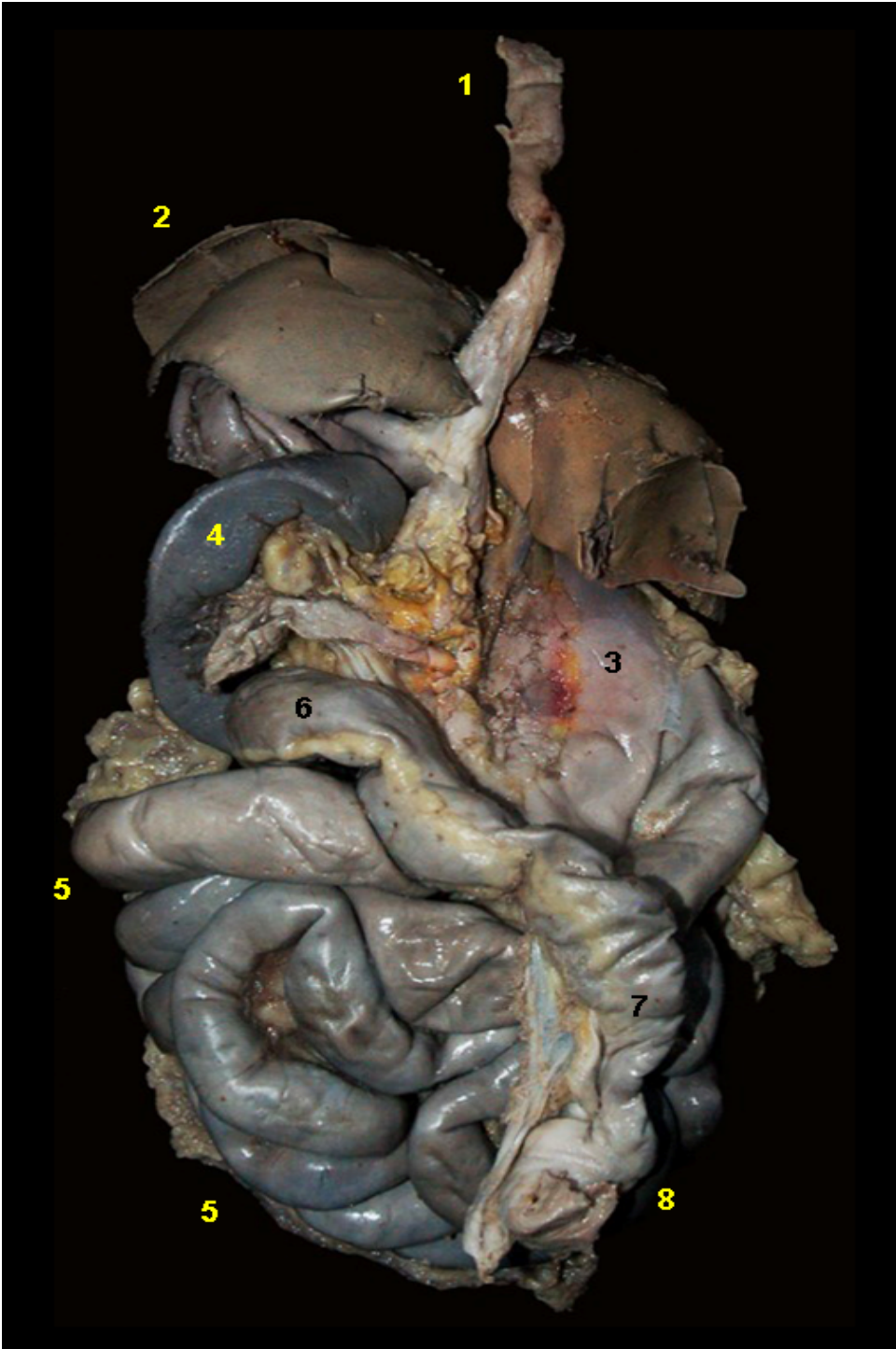


**Figura 4.84** - Visión lateral derecha del corazón del mono machín blanco (*Cebus albifrons*). 1. Atrio derecho; 2. Aurícula derecha; 3. Ventriculo izquierdo; 4. Ventriculo derecho; 5. Aorta; 6. Tronco braquiocefálico; 7. Arteria carótida común izquierda; 8. Arteria carótida común derecha; 9. Arteria subclavia izquierda; 10. Arteria subclavia derecha; 11. Venas pulmonares; 12. Vena cava craneal; 13. Vena cava caudal; 14. Vena ázigos derecha; 15. Diafragma.



**Figura 4.85** - Visión dorsal del corazón del mono machín blanco (*Cebus albifrons*). Se ha modificado la posición de los grandes vasos y sus ramos para facilitar la visión de las estructuras. 1. Aurícula izquierda; 2. Ventriculo izquierdo; 3. Aorta; 4. Tronco braquiocefálico; 5. Arteria carótida común izquierda; 6. Arteria subclavia derecha; 7. Arteria subclavia izquierda; 8. Arteria carótida común derecha; 9. Tronco pulmonar; 10. Arteria pulmonares; 11. Venas pulmonares; 12. Vena cava craneal; 13. Vena cava caudal; 14. Vena ázigos derecha.





**Figura 4.86** - Visión dorsal de los órganos digestivos abdominales del mono machín blanco (*Cebus albifrons*). 1. Esófago; 2. Hígado; 3. Estómago; 4. Bazo; 5. Asas yeyunales; 6. Colon transverso; 7. Colon descendente; 8. Recto.

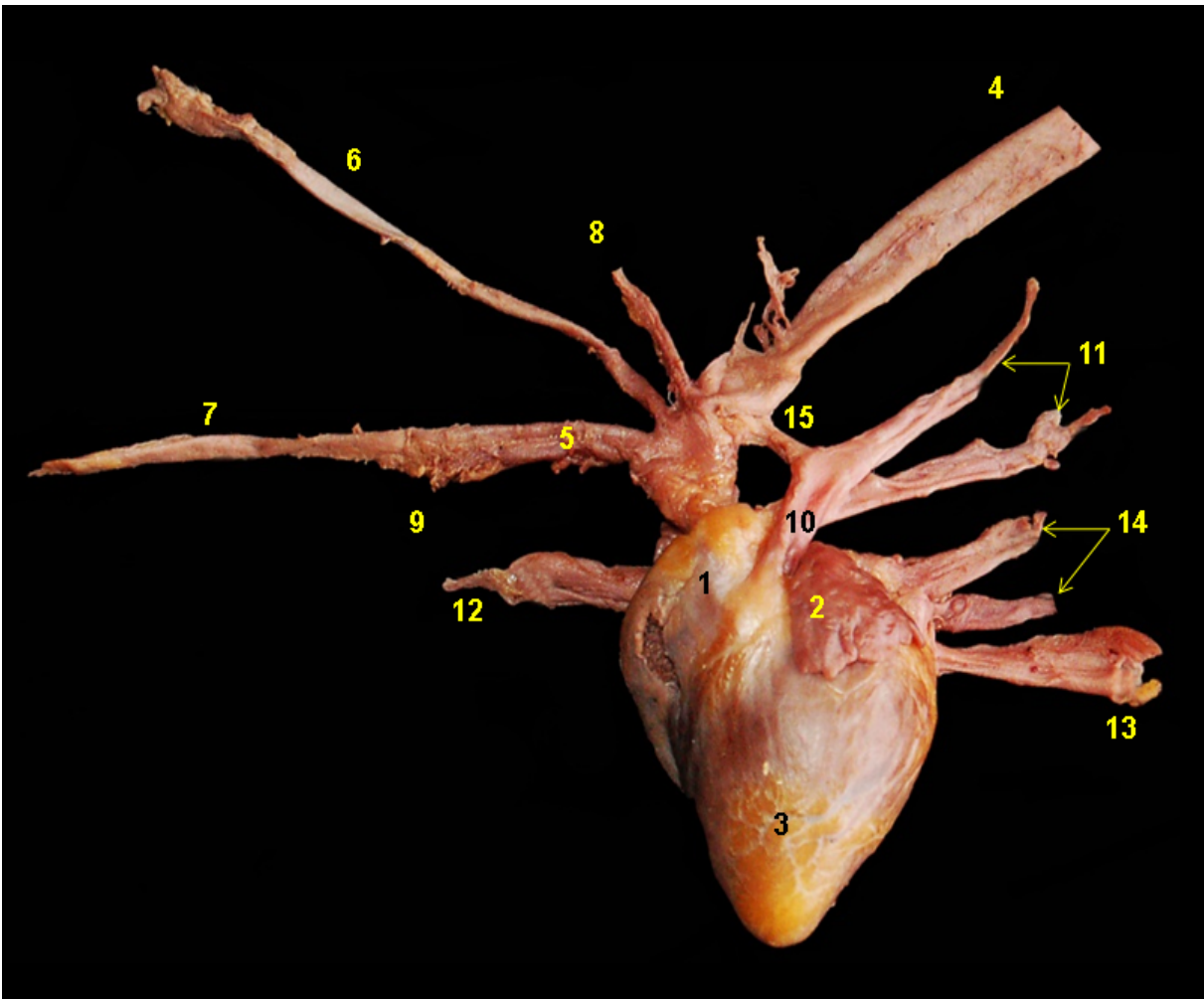


**Figura 4.87** - Bazo del mono machín blanco (*Cebus albifrons*). **A** - Cara parietal. **B** - Cara visceral. 1. Hilio del bazo; 2. Vasos esplénicos.



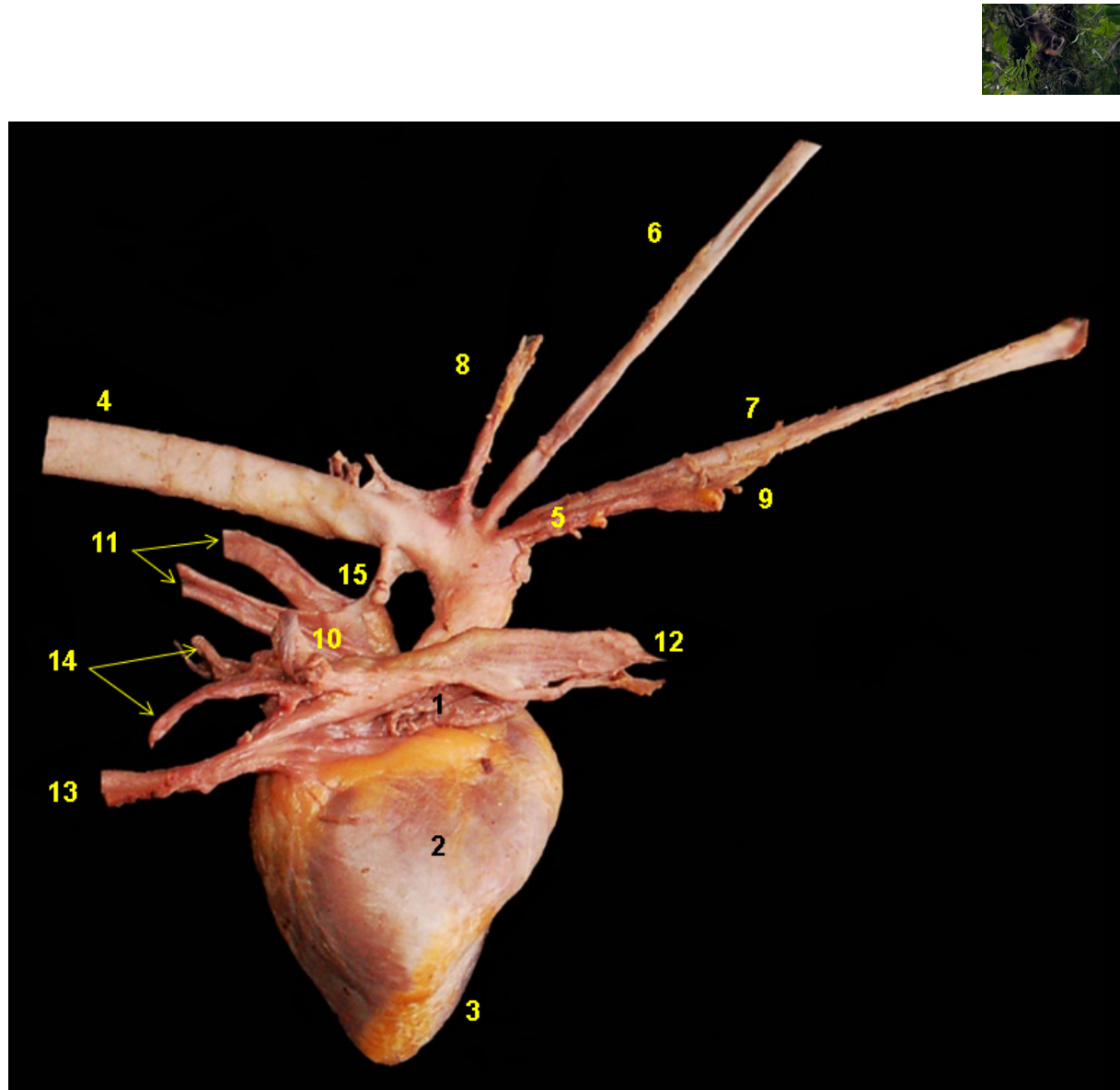
# MONO MACHÍN NEGRO

(*Sapajus macrocephalus*)



**Figura 4.88** - Visión lateral izquierda del corazón del mono machín negro (*Sapajus macrocephalus*).  
1. Ventriculo derecho; 2. Auricula izquierda; 3. Ventriculo izquierdo; 4. Aorta; 5. Tronco braquiocefálico; 6. Arteria carótida común izquierda; 7. Arteria carótida común derecha; 8. Arteria subclavia izquierda; 9. Arteria subclavia derecha; 10. Tronco pulmonar; 11. Arterias pulmonares; 12. Vena cava craneal; 13. Vena cava caudal; 14. Venas pulmonares; 15. Ligamento arterioso.





**Figura 4.89** - Visión lateral derecha del corazón del mono machín negro (*Sapajus macrocephalus*).  
1. Aurícula derecha; 2. Ventrículo derecho; 3. Ventrículo izquierdo; 4. Aorta; 5. Tronco braquiocefálico; 6. Arteria carótida común izquierda; 7. Arteria carótida común derecha; 8. Arteria subclavia izquierda; 9. Arteria subclavia derecha; 10. Tronco pulmonar; 11. Arterias pulmonares; 12. Vena cava craneal; 13. Vena cava caudal; 14. Venas pulmonares; 15. Ligamento arterioso.



**Figura 4.90** - Sección longitudinal del corazón del mono machín negro (*Sapajus macrocephalus*).  
1. Ventrículo derecho; 2. Ventrículo izquierdo; 3. Septo interventricular; 4. Cuerdas tendinosas; 5. Válvula tricúspide; 6. Válvula bicúspide; 7. Vértice del corazón; 8. Aurícula derecha; 9. Atrio derecho; 10. Atrio izquierdo.



**Figura 4.91** - Visión dorsal de los órganos digestivos abdominales del mono machín negro (*Sapajus macrocephalus*). Se ha retirado el hígado. 1. Esófago; 2. Estómago; 3. Bazo; 4. Asas yeyunales; 5. Colon descendente; 6. Recto.

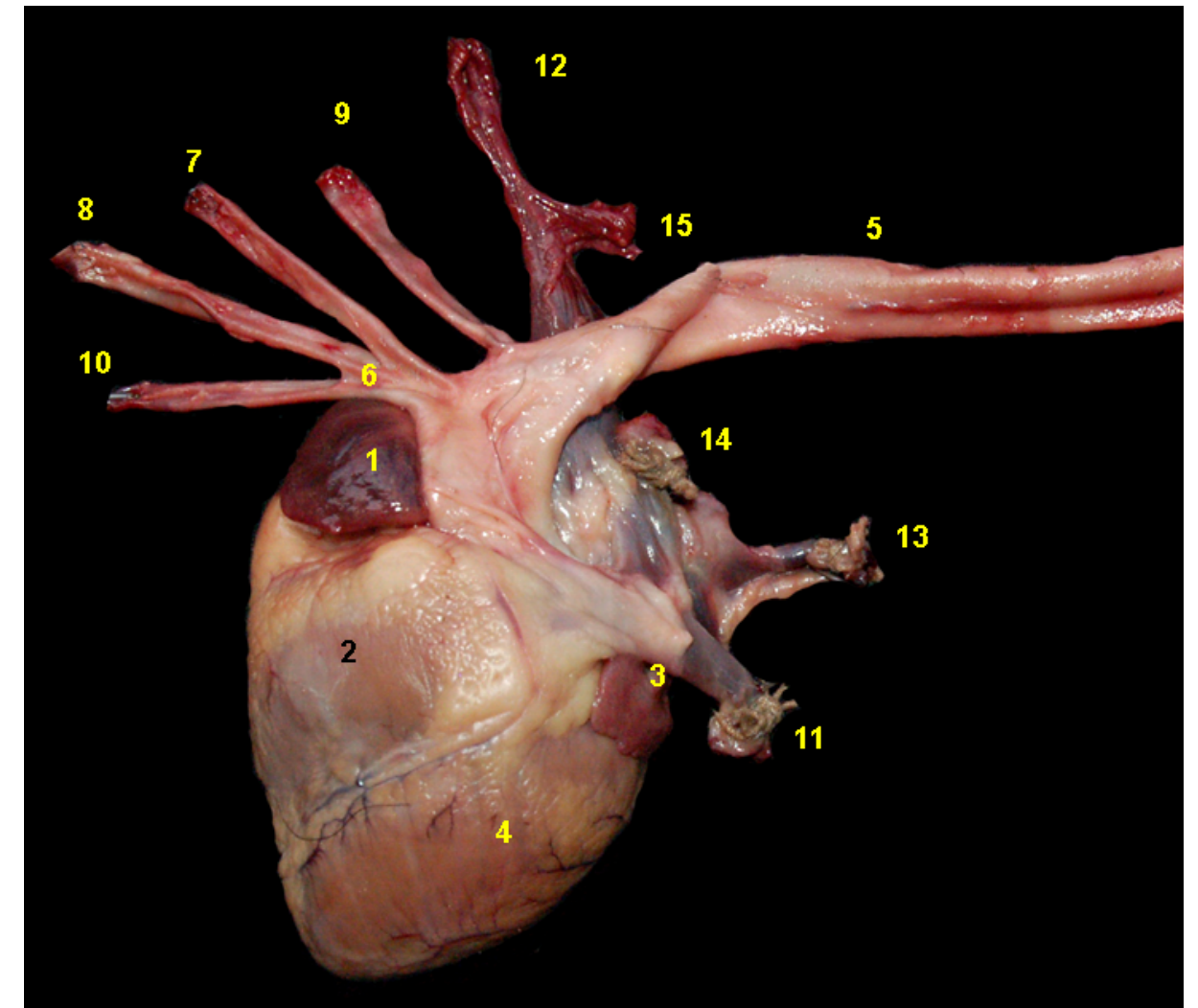


**Figura 4.92** - Bazo del mono machín negro (*Sapajus macrocephalus*). **A** - Cara parietal. **B** - Cara visceral. 1. Hilio del bazo.

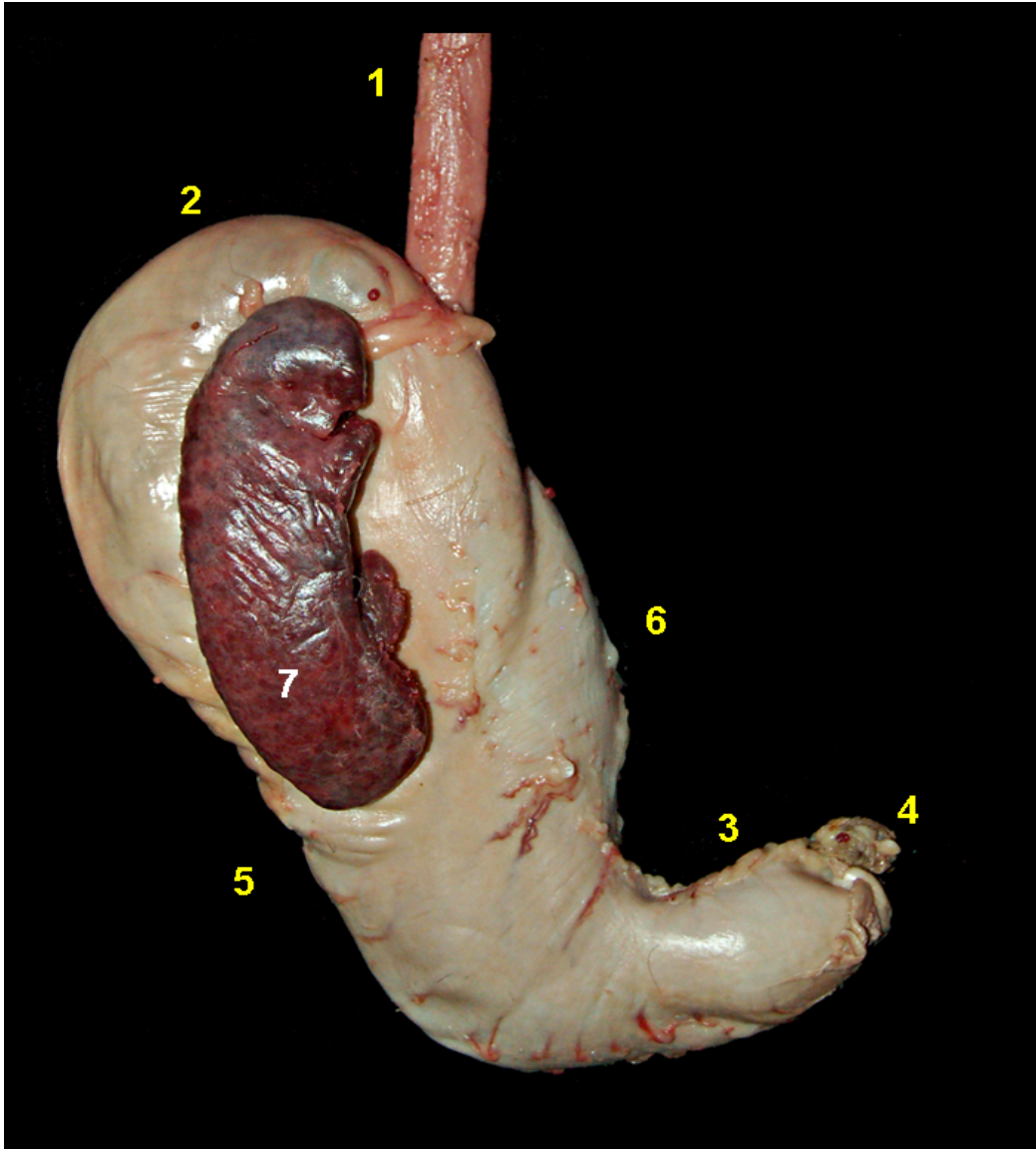
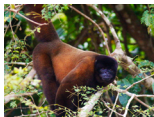




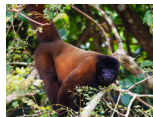
## MONO BARRIGUDO (*Lagothrix poeppigii*)



**Figura 4.93** - Visión lateral izquierda del corazón del mono barrigudo (*Lagothrix poeppigii*).  
1. Aurícula derecha; 2. Ventrículo derecho; 3. Aurícula izquierda; 4. Ventrículo izquierdo;  
5. Aorta; 6. Tronco braquiocefálico; 7. Arteria carótida común izquierda; 8. Arteria carótida  
común derecha; 9. Arteria subclavia izquierda; 10. Arteria subclavia derecha; 11. Arteria  
pulmonar izquierda; 12. Vena cava craneal; 13. Vena cava caudal; 14. Vena pulmonar; 15.  
Vena ácigos derecha.

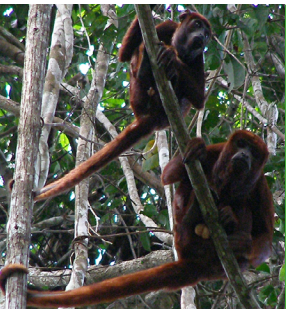


**Figura 4.94** - Cara visceral del estómago del mono barrigudo (*Lagothrix poeppigii*). 1. Esófago; 2. Fundus del estómago; 3. Parte pilórica; 4. Duodeno craneal; 5. Curvatura mayor; 6. Curvatura menor; 7. Bazo.

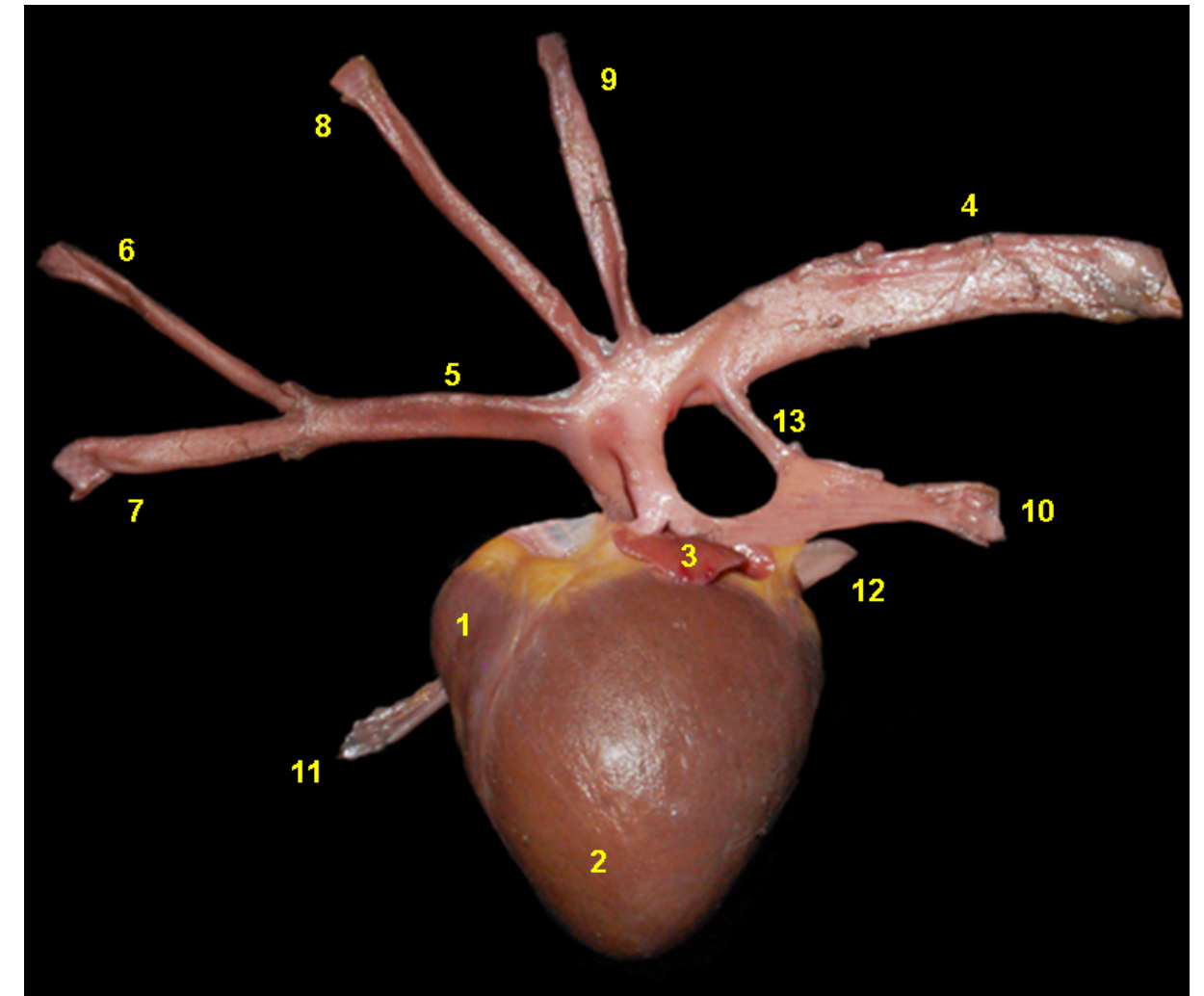


**Figura 4.95** - Bazo del mono barrigudo (*Lagothrix poeppigii*). **A** - Cara parietal. **B** - Cara visceral. 1. Hilio del bazo; 2. Arteria esplénica; 3. Vena esplénica.

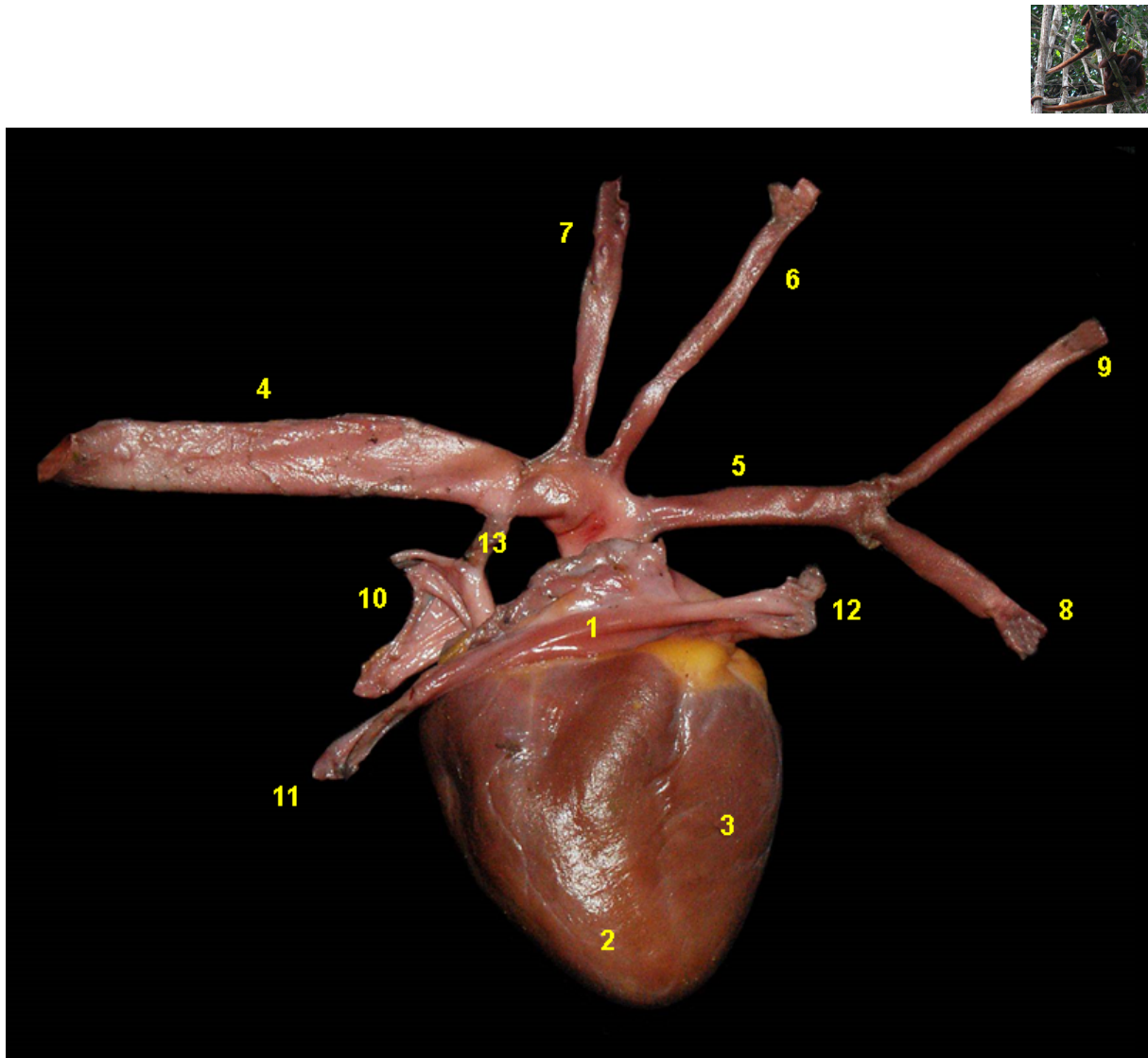




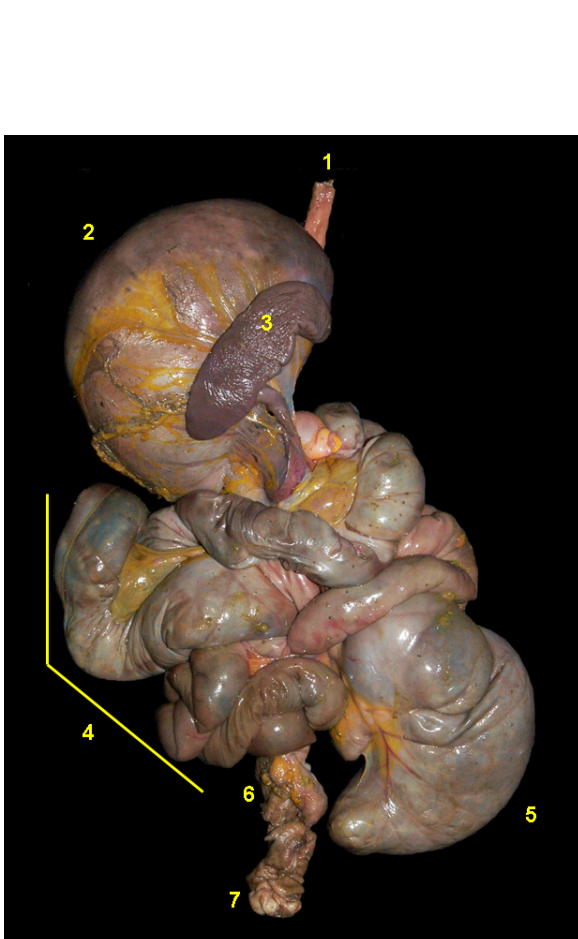
## MONO AULLADOR (*Alouatta seniculus*)



**Figura 4.96** - Visión lateral izquierda del corazón del mono aullador (*Alouatta seniculus*). 1. Ventriculo derecho; 2. Ventriculo izquierdo; 3. Auricula izquierda; 4. Aorta; 5. Tronco braquiocefálico; 6. Arteria carótida común derecha; 7. Arteria subclavia derecha; 8. Arteria carótida común izquierda; 9. Arteria subclavia izquierda; 10. Arteria pulmonar izquierda; 11. Vena cava craneal; 12. Vena cava caudal; 13. Ligamento arterioso.



**Figura 4.97** - Visión lateral derecha del corazón del mono aullador (*Alouatta seniculus*). 1. Atrio derecho; 2. Ventriculo izquierdo; 3. Ventriculo derecho; 4. Aorta; 5. Tronco braquiocefálico; 6. Arteria carótida común izquierda; 7. Arteria subclavia izquierda; 8. Arteria subclavia derecha; 9. Arteria carótida común derecha; 10. Tronco pulmonar; 11. Vena cava caudal; 12. Vena cava craneal; 13. Ligamento arterioso.

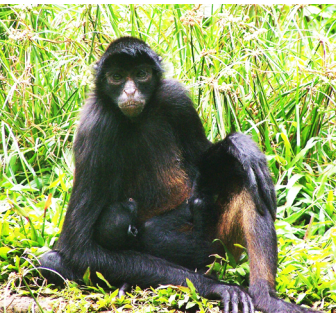


**Figura 4.98** - Visión dorsal de los órganos digestivos abdominales del mono aullador (*Alouatta seniculus*). 1. Esófago; 2. Estómago; 3. Bazo; 4. Asas intestinales; 5. Ciego; 6. Colon descendente; 7. Recto.

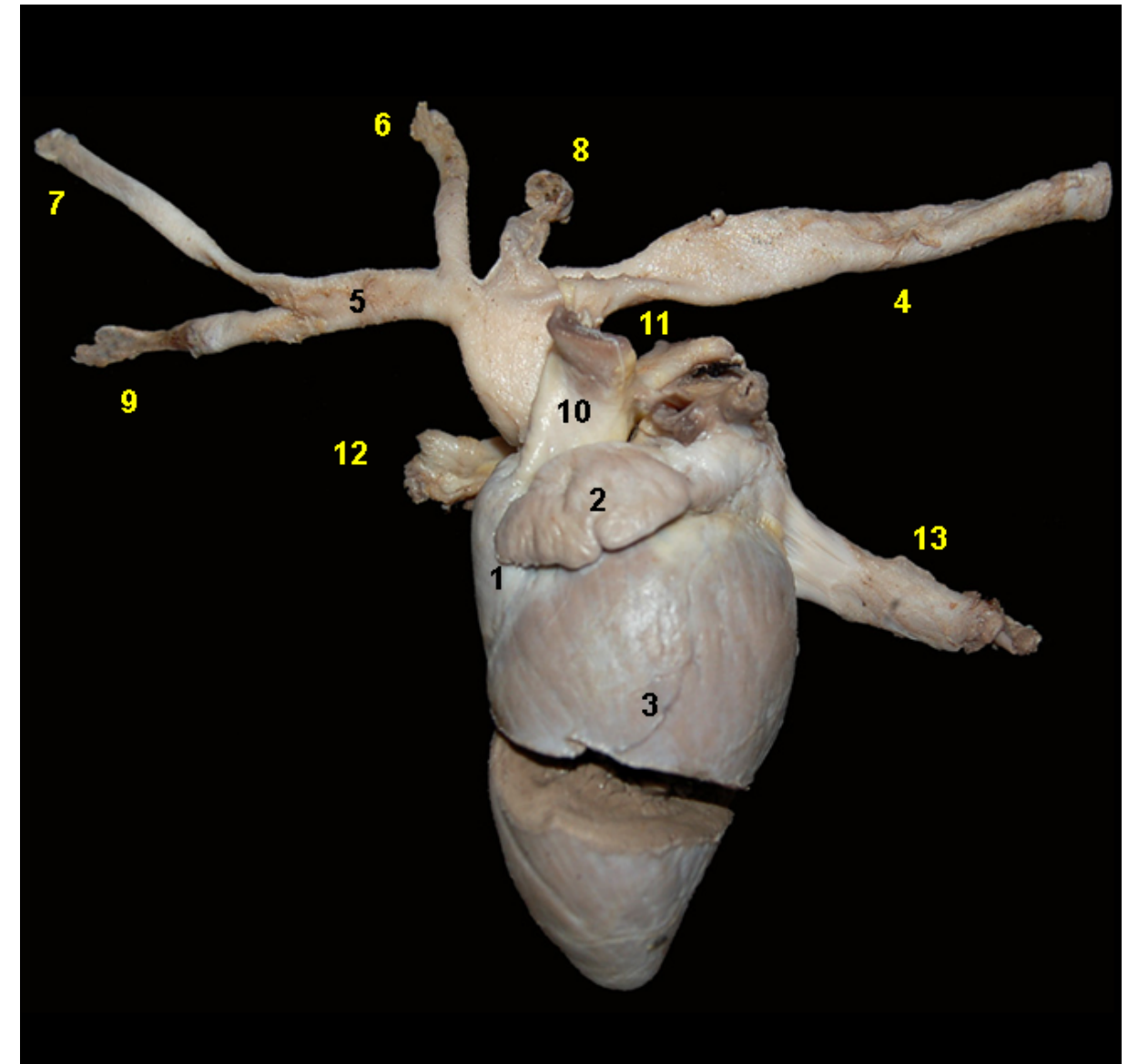


**Figura 4.99** - Bazo del mono aullador (*Alouatta seniculus*). **A** - Cara parietal. **B** - Cara visceral. 1. Hilio del bazo.

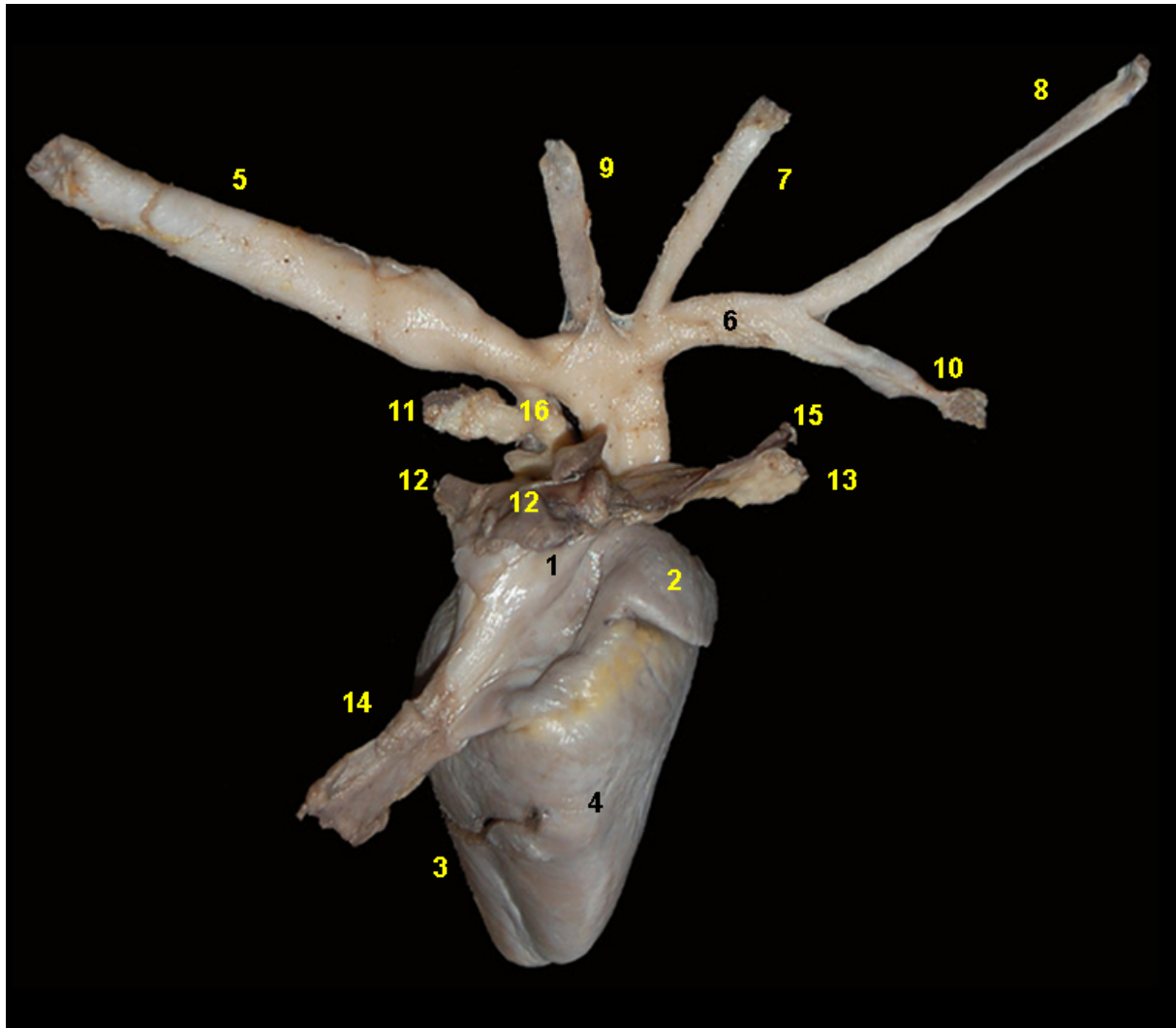




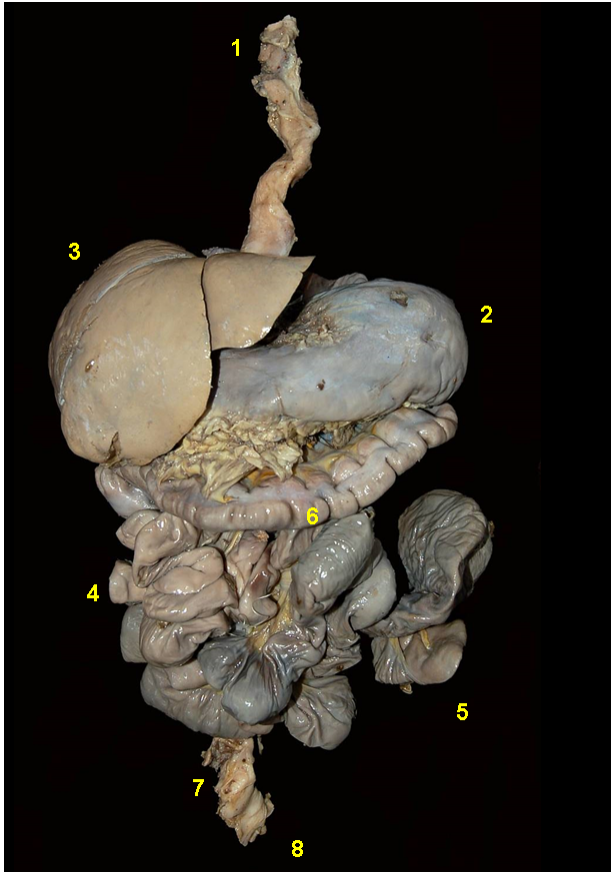
## MONO ARAÑA (*Ateles chamek*)



**Figura 4.100** - Visión lateral izquierda del corazón del mono araña (*Ateles chamek*). 1. Ventriculo derecho; 2. Aurícula izquierda; 3. Ventriculo izquierdo; 4. Aorta; 5. Tronco braquiocefálico; 6. Arteria carótida común izquierda; 7. Arteria carótida común derecha; 8. Arteria subclavia izquierda; 9. Arteria subclavia derecha; 10. Tronco pulmonar; 11. Arterias pulmonares; 12. Vena cava craneal; 13. Vena cava caudal.



**Figura 4.101** - Visión lateral derecha del corazón del mono araña (*Ateles chamek*). 1. Atrio derecho; 2. Aurícula derecha; 3. Ventriculo izquierdo; 4. Ventriculo derecho; 5. Aorta; 6. Tronco braquiocefálico; 7. Arteria carótida común izquierda; 8. Arteria carótida común derecha; 9. Arteria subclavia izquierda; 10. Arteria subclavia derecha; 11. Arteria pulmonar izquierda; 12. Venas pulmonares; 13. Vena cava craneal; 14. Vena cava caudal; 15. Vena ázigos derecha; 16. Ligamento arterioso.



**Figura 4.102** - Visión dorsal de los órganos digestivos abdominales del mono araña (*Ateles chamek*). 1. Esófago; 2. Estómago; 3. Hígado; 4. Bazo; 5. Asas yeyunales; 6. Ciego; 7. Colon descendente; 8. Recto.

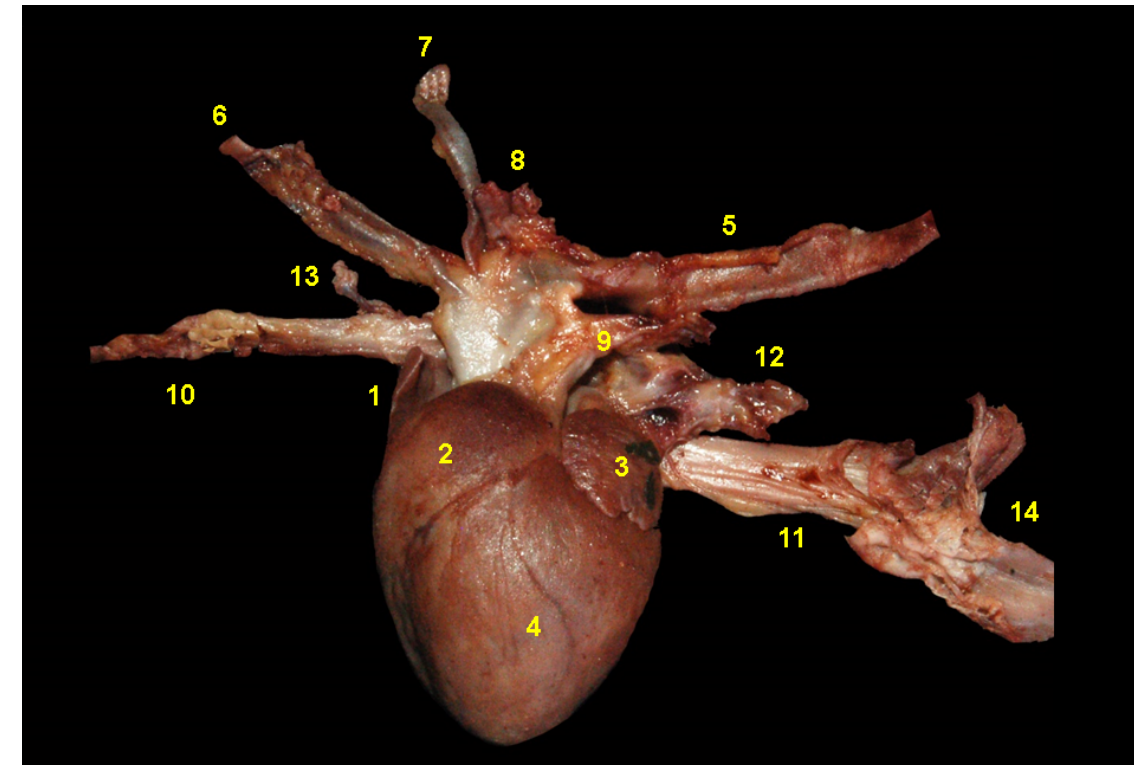


**Figura 4.103** - Bazo del mono araña (*Ateles chamek*). **A** - Cara parietal. **B** - Cara visceral. 1. Hilio del bazo; 2. Arteria esplénica; 3. Vena esplénica.

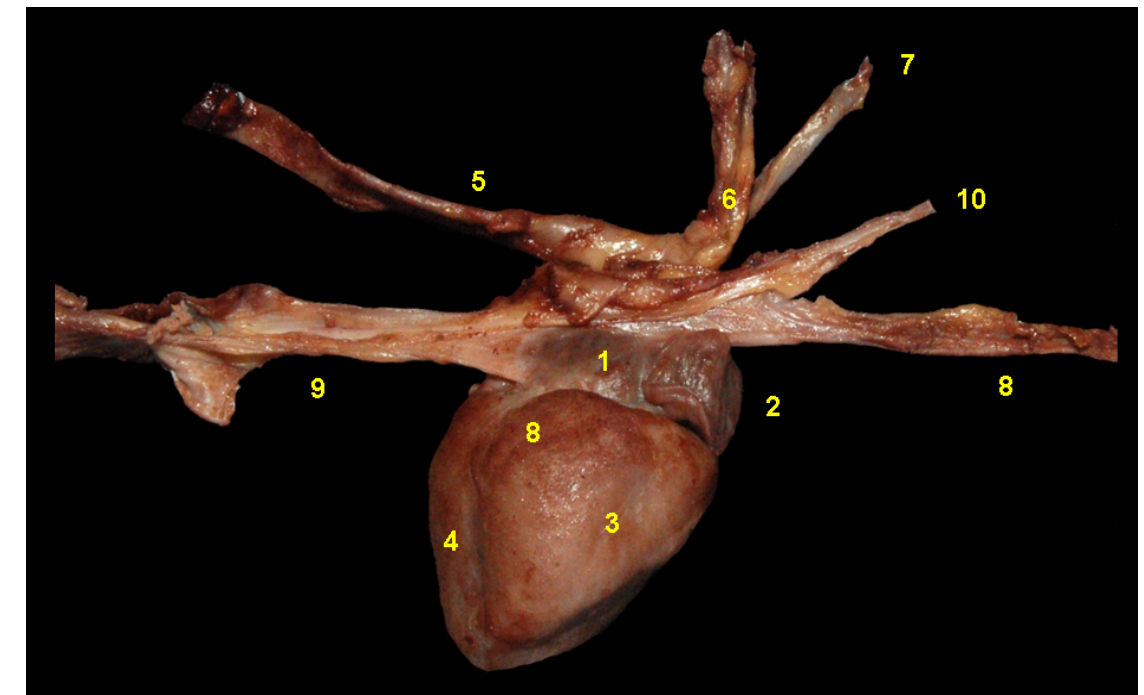




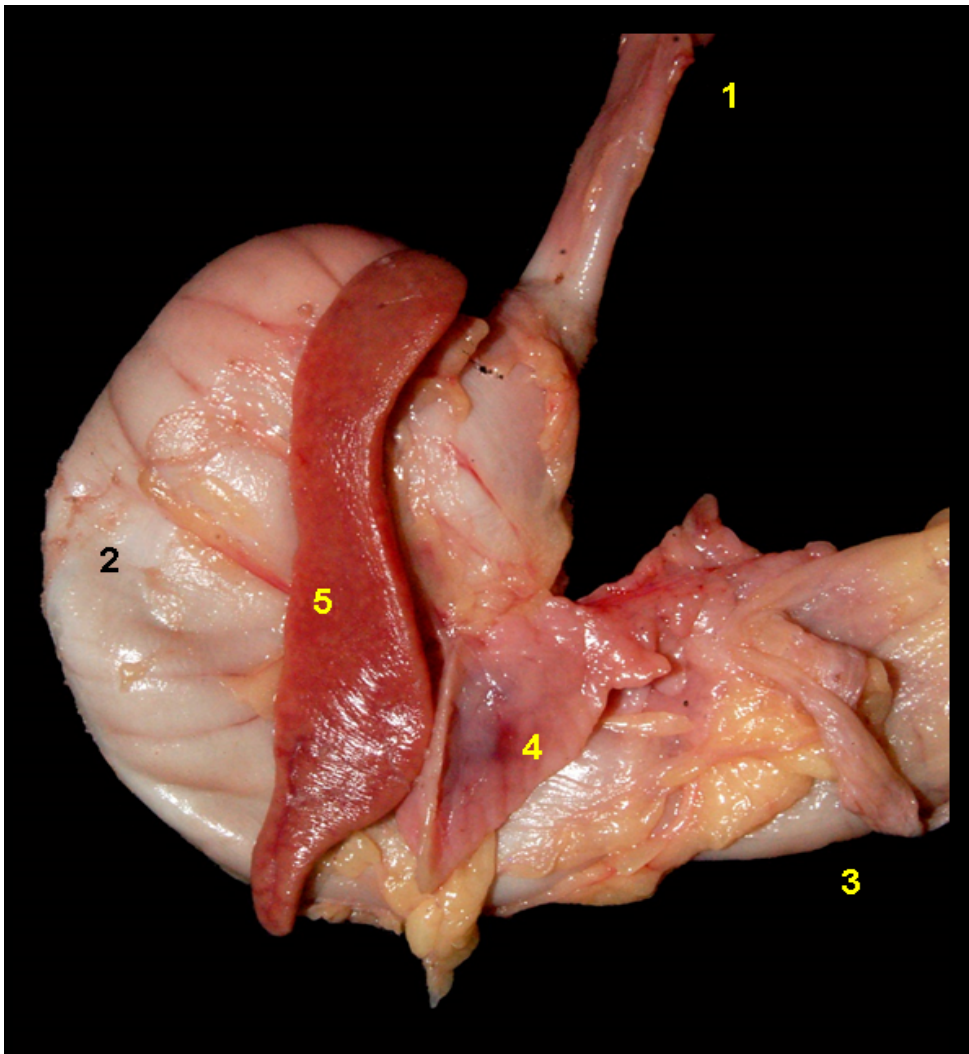
## MONO FRAILE (*Saimiri macrodon*)



**Figura 4.104** - Visión lateral izquierda del corazón del mono fraile (*Saimiri macrodon*).  
1. Aurícula derecha; 2. Ventrículo derecho; 3. Aurícula izquierda; 4. Ventrículo izquierdo; 5. Aorta; 6. Tronco braquiocefálico; 7. Arteria carótida común izquierda; 8. Arteria subclavia izquierda; 9. Tronco pulmonar; 10. Vena cava craneal; 11. Vena cava caudal; 12. Vena pulmonar; 13. Vena ácigos derecha; 14. Diafragma.



**Figura 4.105** - Visión lateral derecha del corazón del mono fraile (*Saimiri macrodon*).  
1. Atrio derecho; 2. Aurícula derecha; 3. Ventrículo derecho; 4. Ventrículo izquierdo; 5. Aorta; 6. Tronco braquiocefálico; 7. Arteria carótida común izquierda; 8. Vena cava caudal; 9. Vena cava craneal; 10. Vena ácigos derecha.



**Figura 4.106** - Cara visceral del estómago del mono fraile (*Saimiri macrodon*). 1. Esófago; 2. Estómago; 3. Duodeno craneal; 4. Páncreas; 5. Bazo.

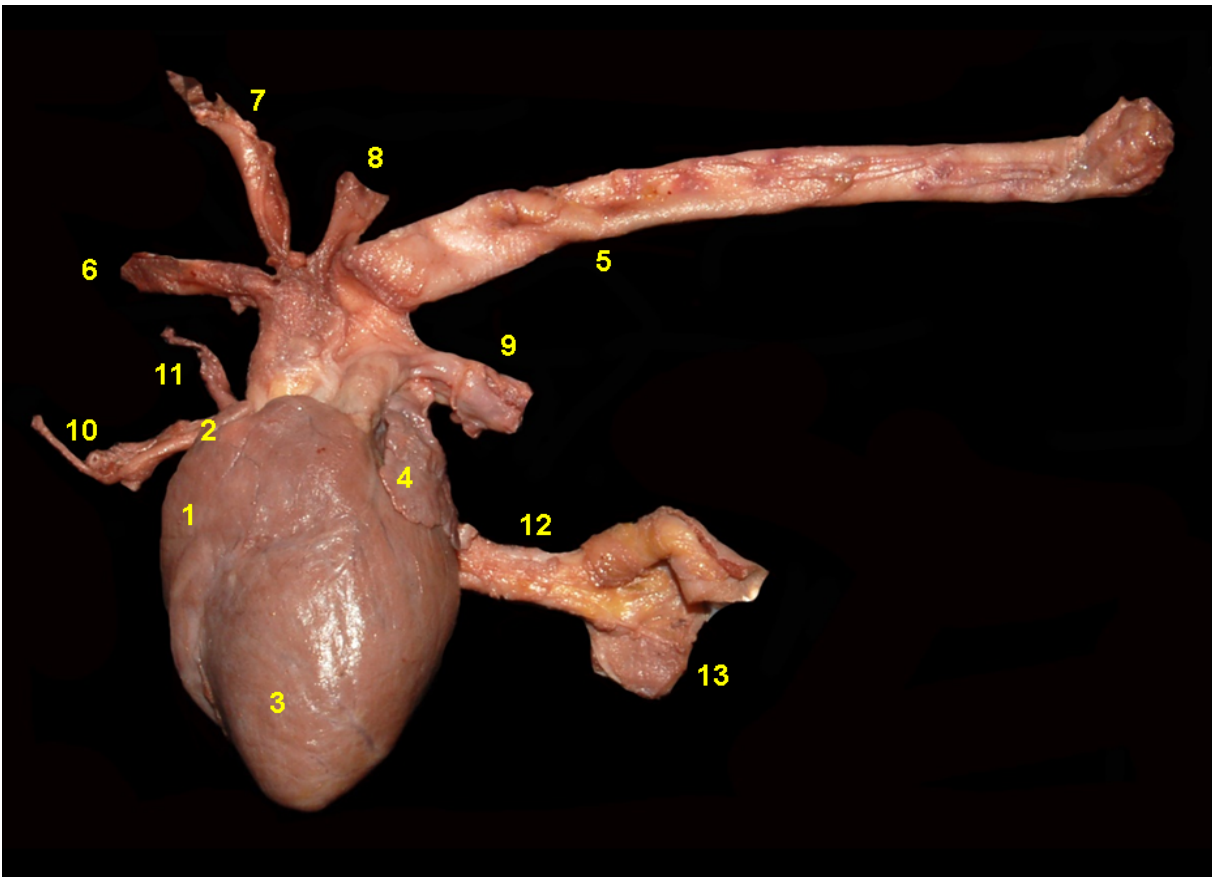


**Figura 4.107** - Bazo del mono fraile (*Saimiri macrodon*). **A** - Cara parietal. **B** - Cara visceral. 1. Hilio del bazo; 2. Arteria y vena esplénicas.

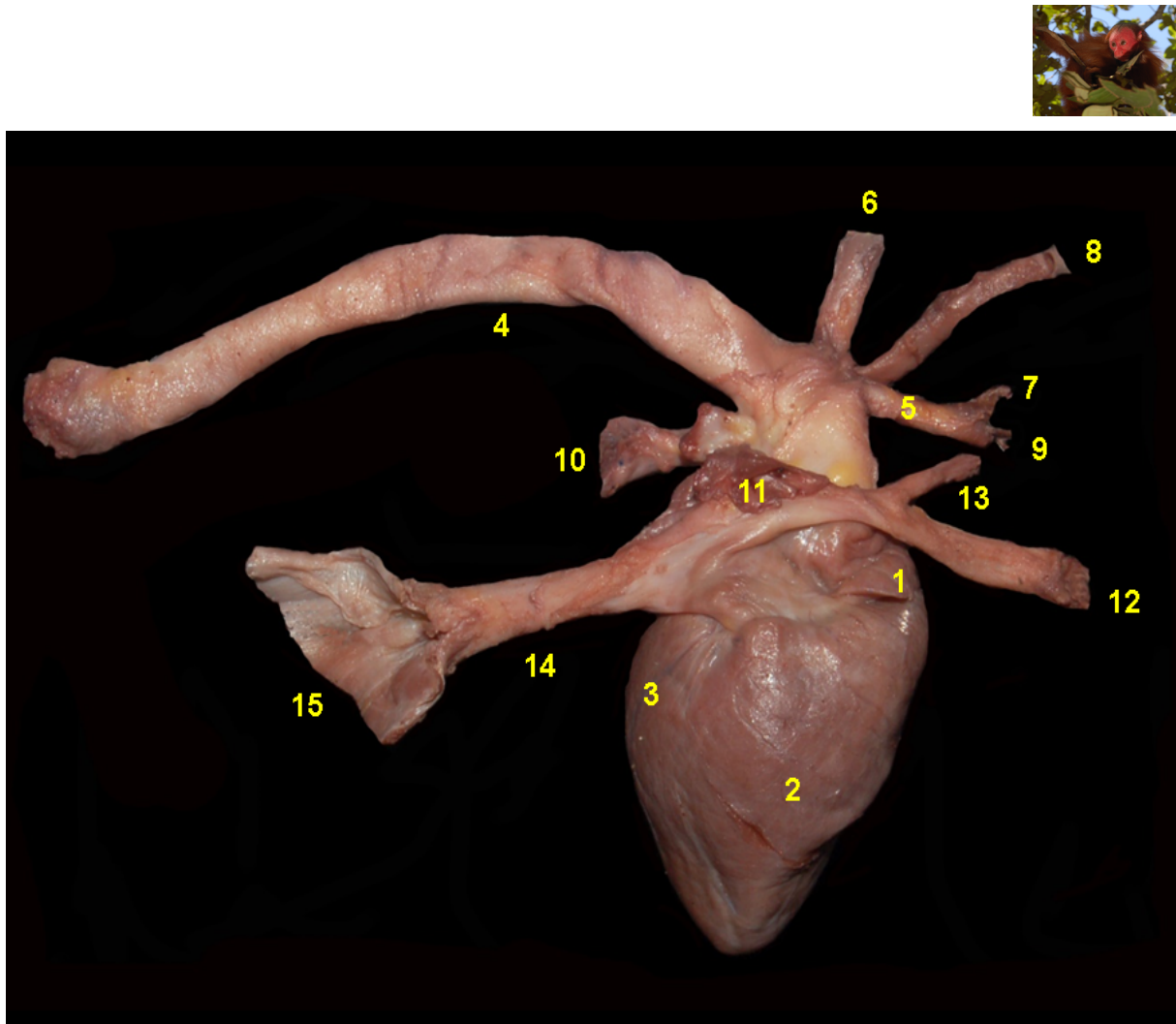




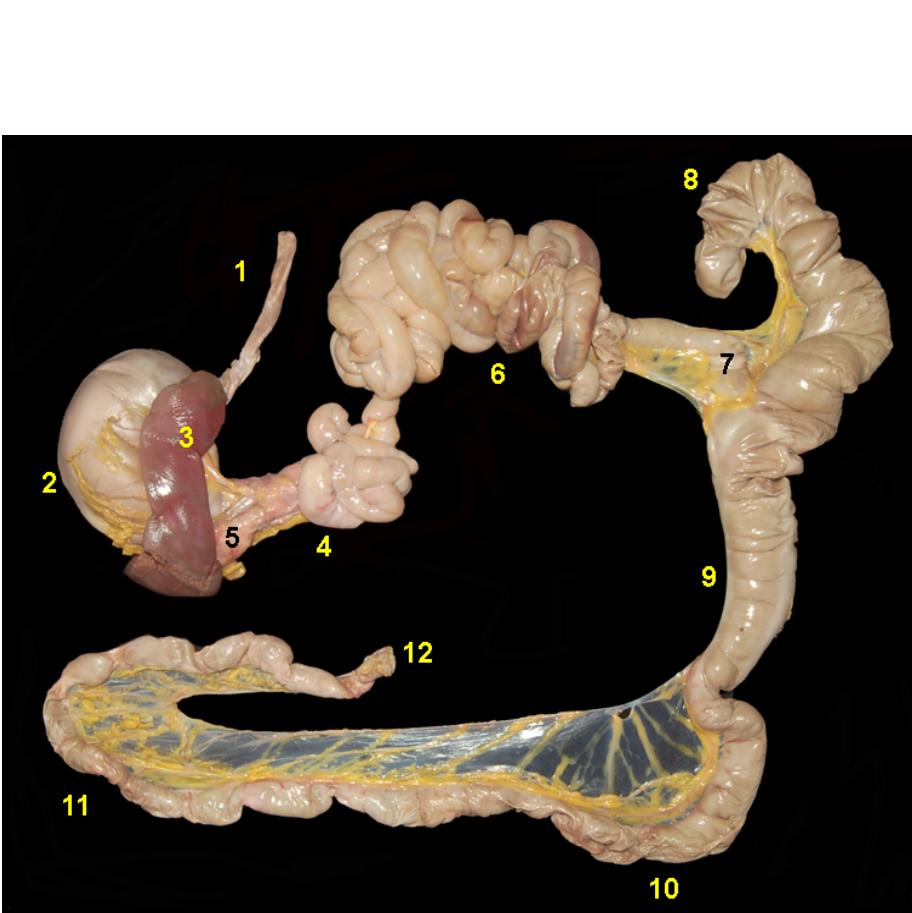
# UÁCARI ROJO (*Cacajao calvus*)



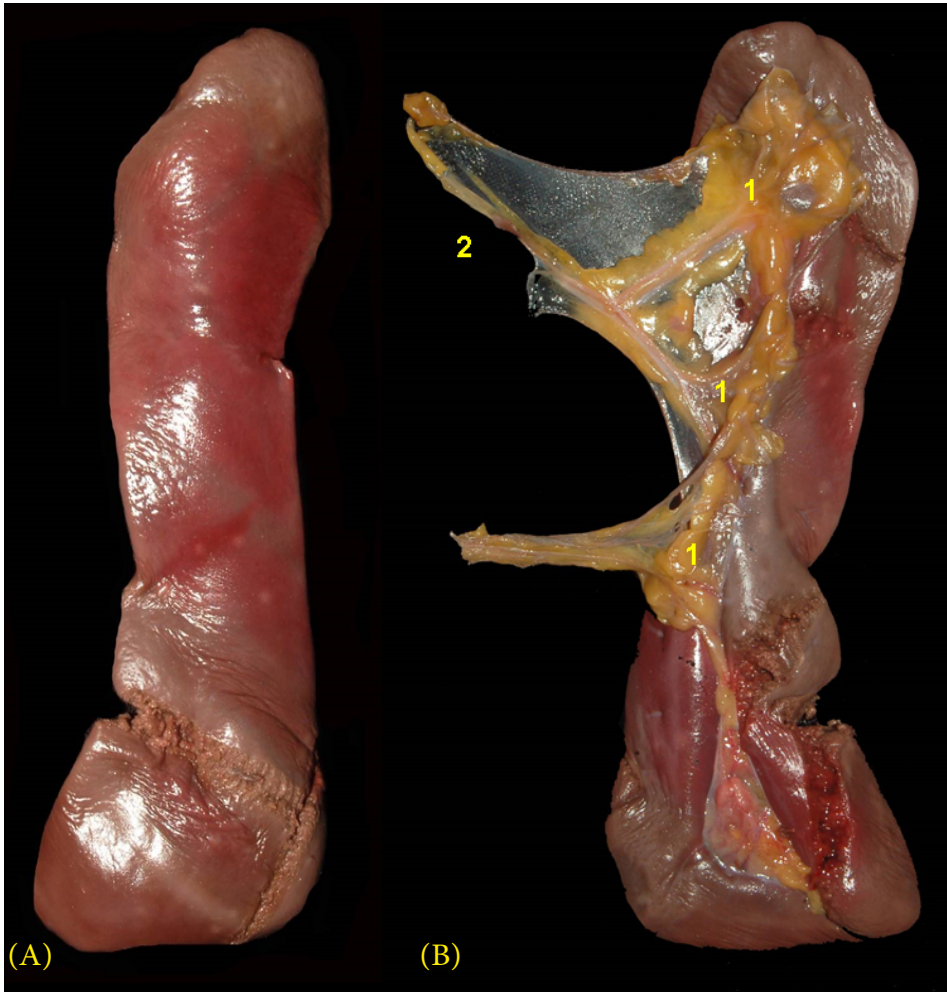
**Figura 4.108** - Visión lateral izquierda del corazón del uácari rojo (*Cacajao calvus*). 1. Ventriculo derecho; 2. Auricula derecha; 3. Ventriculo izquierdo; 4. Auricula izquierda; 5. Aorta; 6. Tronco braquiocefálico; 7. Arteria carótida común izquierda; 8. Arteria subclavia izquierda; 9. Arteria pulmonar izquierda; 10. Vena cava craneal; 11. Vena ácigos derecha; 12. Vena cava caudal; 13. Diafragma.



**Figura 4.109** - Visión lateral derecha del corazón del uacari rojo (*Cacajao calvus*). 1. Aurícula derecha; 2. Ventrículo derecho; 3. Ventrículo izquierdo; 4. Aorta; 5. Tronco braquiocéfálico; 6. Arteria subclavia izquierda; 7. Arteria carótida común derecha; 8. Arteria carótida común izquierda; 9. Arteria subclavia derecha; 10. Arteria pulmonar izquierda; 11. Venas pulmonares; 12. Vena cava craneal; 13. Vena ácigos derecha; 14. Vena cava caudal; 15. Diafragma.



**Figura 4.110** - Órganos digestivos abdominales del uacari rojo (*Cacajao calvus*). 1. Esófago; 2. Estómago; 3. Bazo; 4. Duodeno; 5. Páncreas; 6. Asas yeyunales; 7. Íleon; 8. Ciego; 9. Colon ascendente; 10. Colon transverso; 11. Colon descendente; 12. Recto.

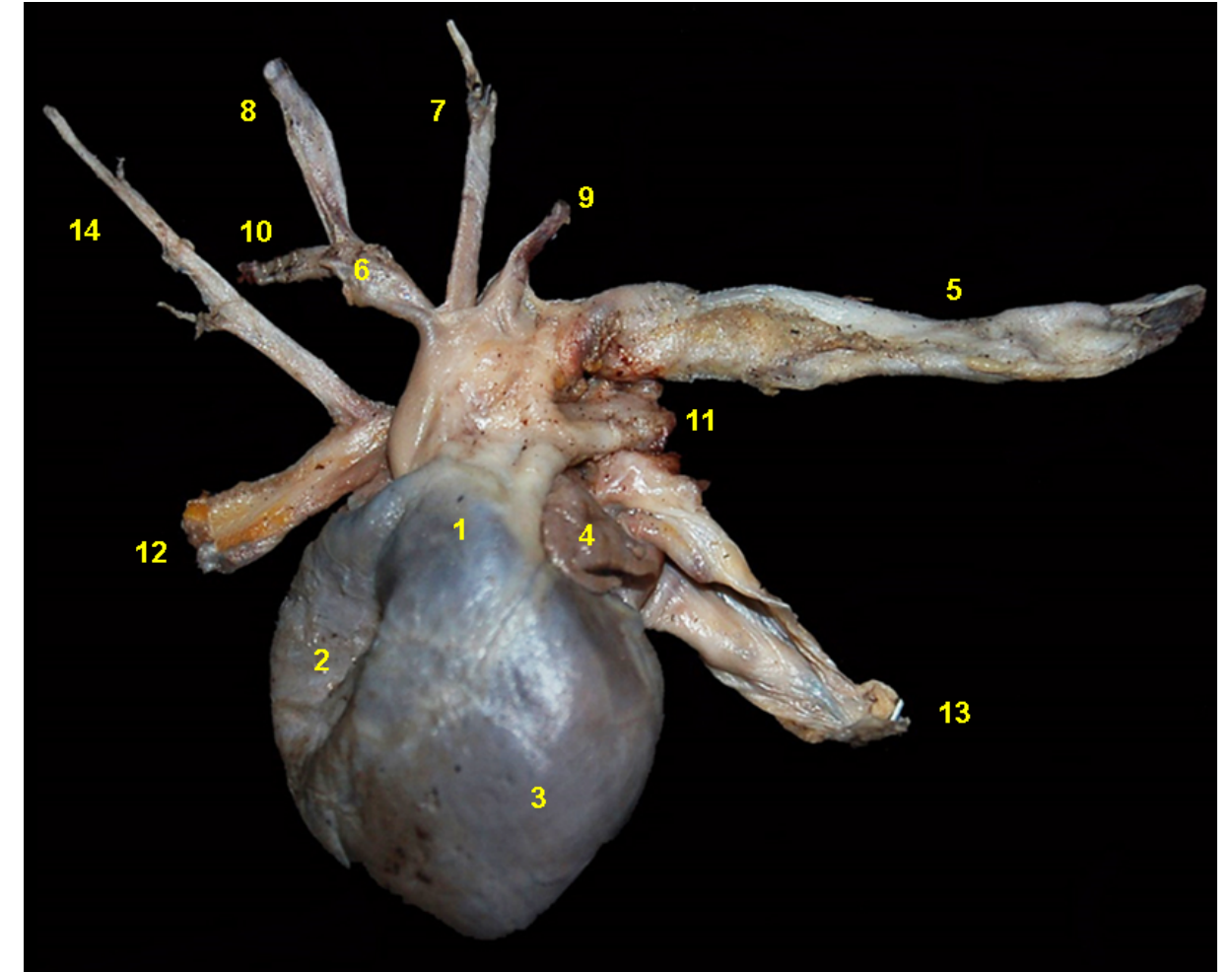


**Figura 4.111**- Bazo del uacari rojo (*Cacajao calvus*). **A** - Cara parietal. **B** - Cara visceral. 1. Hilio del bazo; 2. Arteria y vena esplénicas.

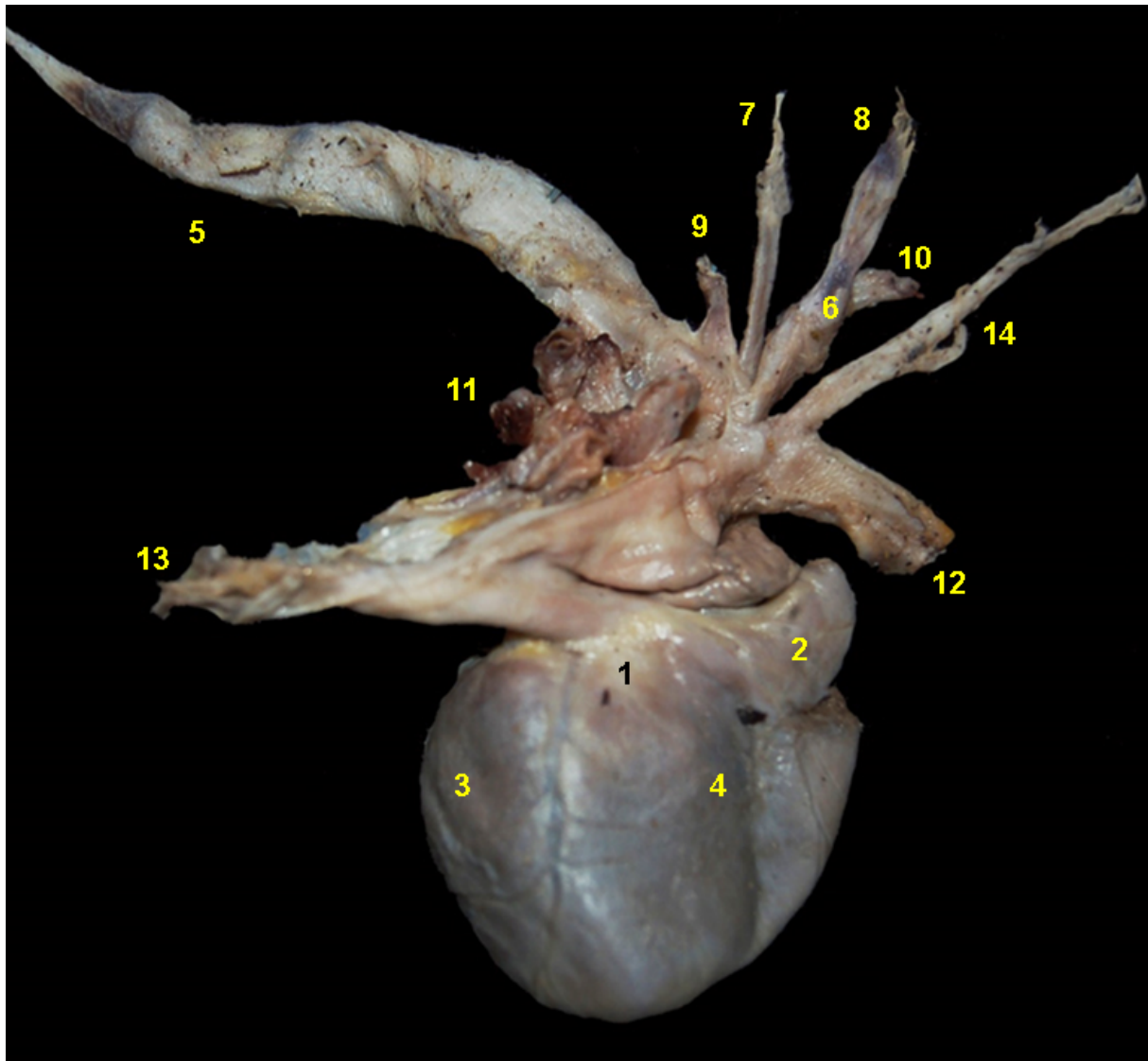




## MONO HUAPO NEGRO (*Pithecia monachus*)



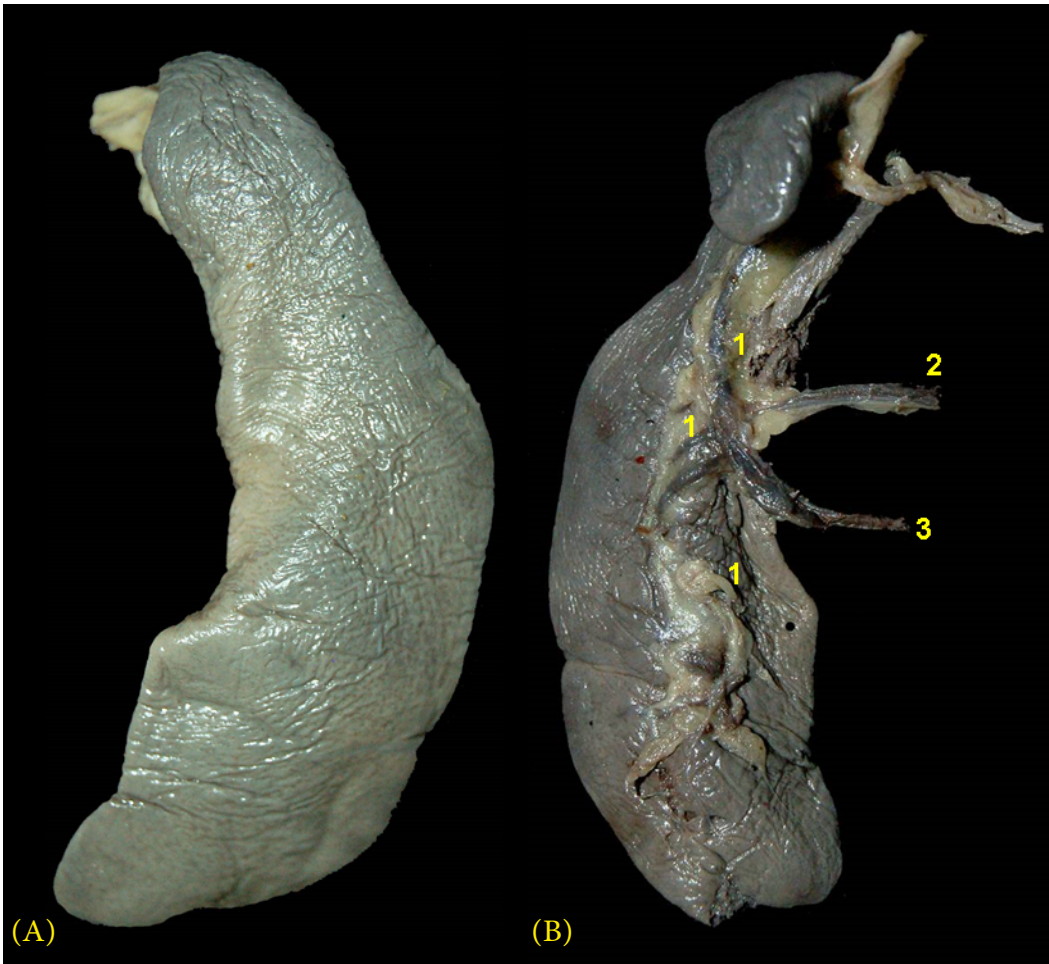
**Figura 4.112** - Visión lateral izquierda del corazón del mono huapo negro (*Pithecia monachus*).  
1. Cono arterioso; 2. Ventrículo derecho; 3. Ventrículo izquierdo; 4. Aurícula izquierda; 5. Aorta; 6. Tronco braquiocefálico; 7. Arteria carótida común izquierda; 8. Arteria carótida común derecha; 9. Arteria subclavia izquierda; 10. Arteria subclavia derecha; 11. Arteria pulmonar izquierda; 12. Vena cava craneal; 13. Vena cava caudal; 14. Vena ácigos derecha.



**Figura 4.113** - Visión lateral derecha del corazón del mono huapo negro (*Pithecia monachus*). 1. Atrio derecho; 2. Aurícula derecha; 3. Ventriculo izquierdo; 4. Ventriculo derecho; 5. Aorta; 6. Tronco braquiocefálico; 7. Arteria carótida común izquierda, 8. Arteria carótida común derecha; 9. Arteria subclavia izquierda; 10. Arteria subclavia derecha; 11. Venas pulmonares; 12. Vena cava craneal; 13. Vena cava caudal; 14. Vena ácidos derecha.



**Figura 4.114** - Visión dorsal de los órganos digestivos abdominales del mono huapo negro (*Pithecia monachus*). 1. Estómago; 2. Bazo; 3. Asas yeyunales; 4. Ciego; 5. Colon ascendente; 6. Colon transverso; 7. Colon descendente; 8. Recto.

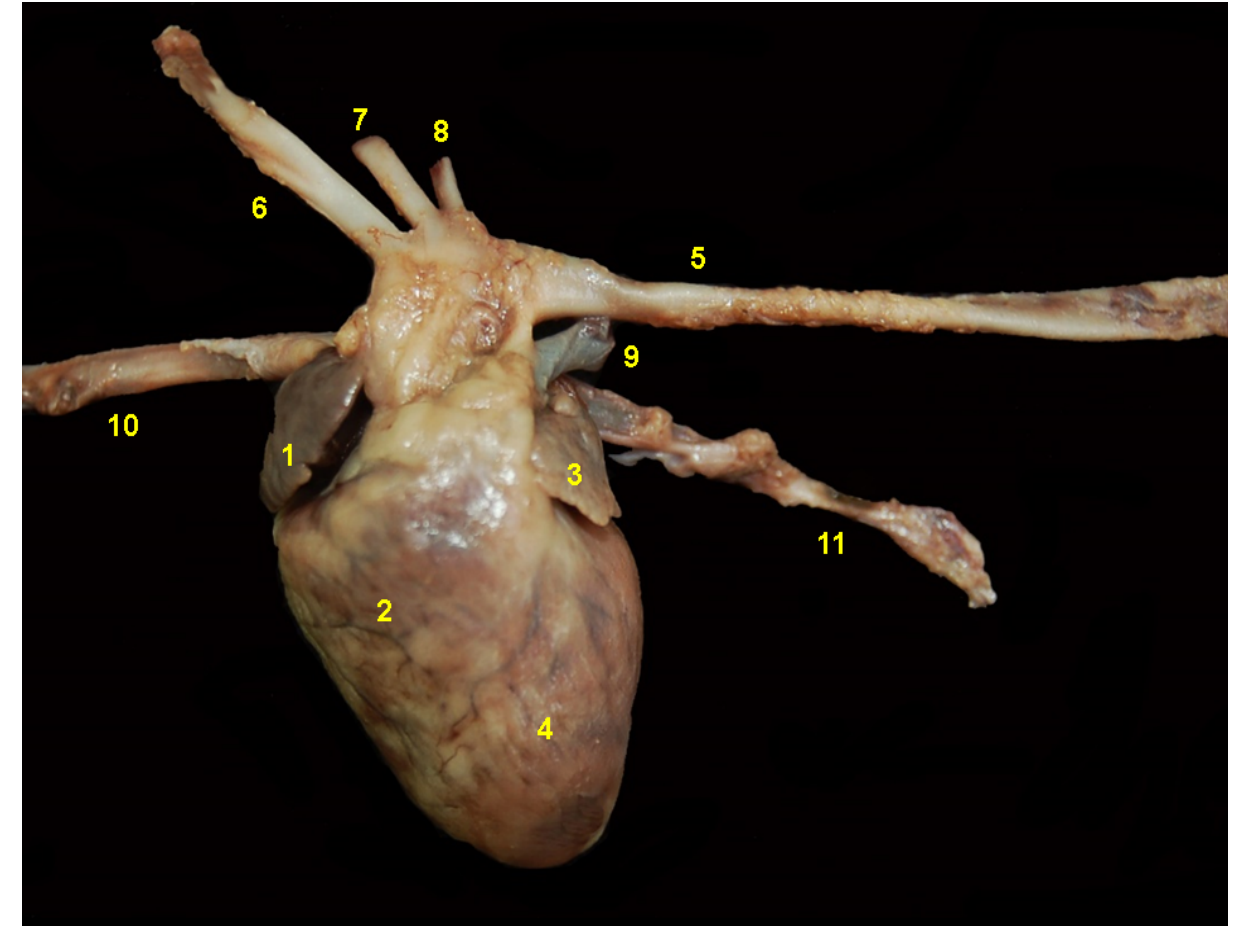


**Figura 4.115** - Bazo del mono huapo negro (*Pithecia monachus*). **A** - Cara diafragmática. **B** - Cara visceral. 1. Hilio del bazo; 2. Arteria esplénica; 3. Vena esplénica.

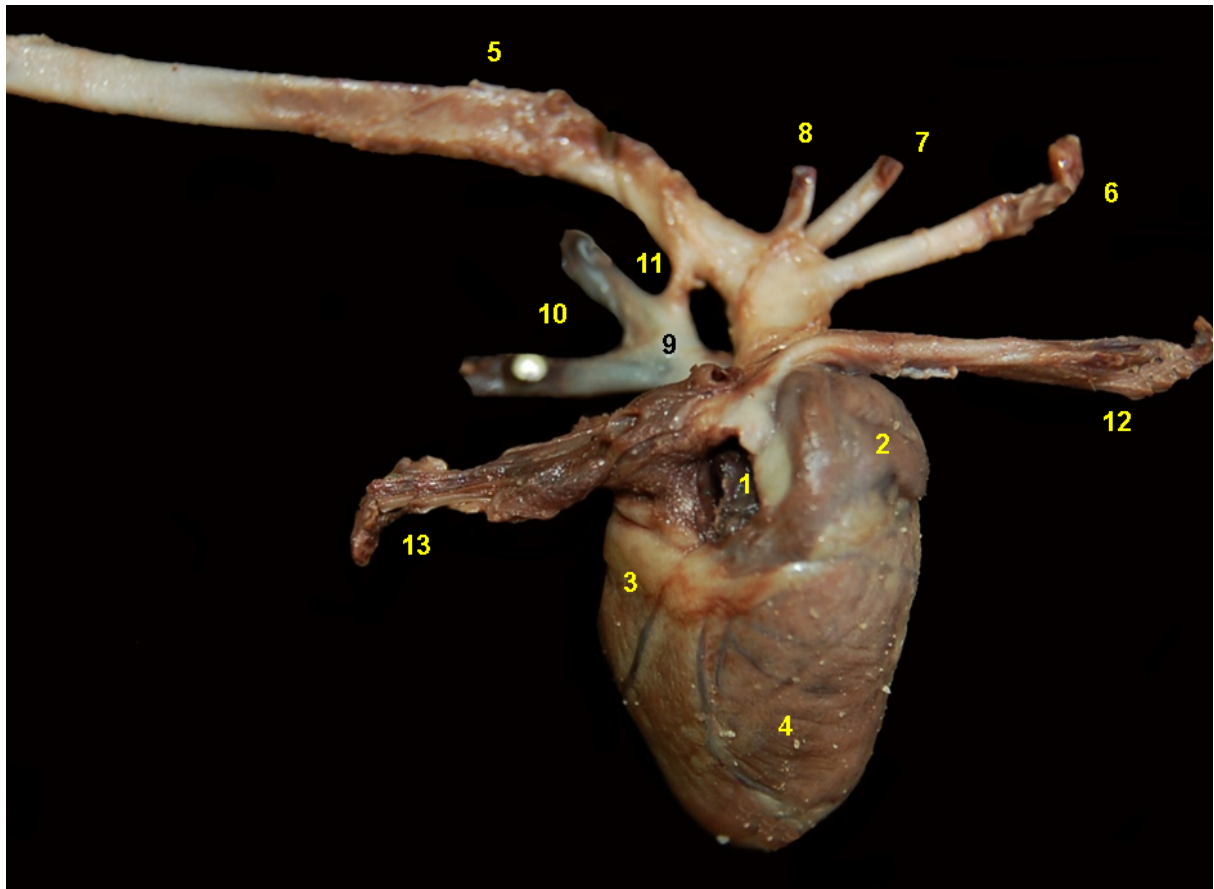




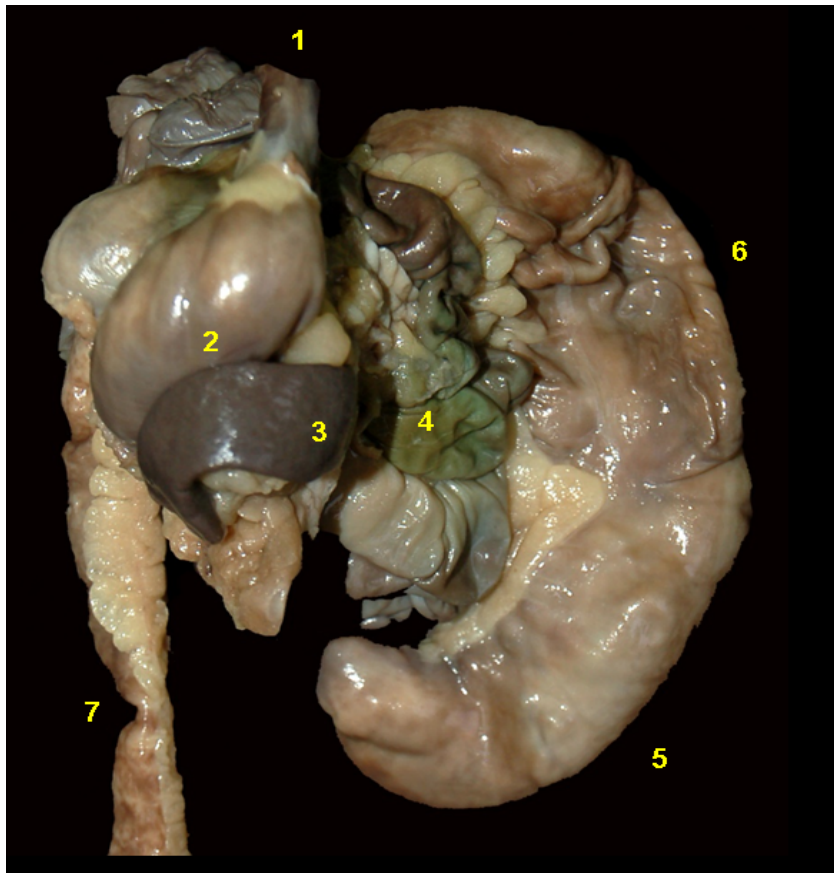
## MONO NOCTURNO (*Aotus nancymae*)



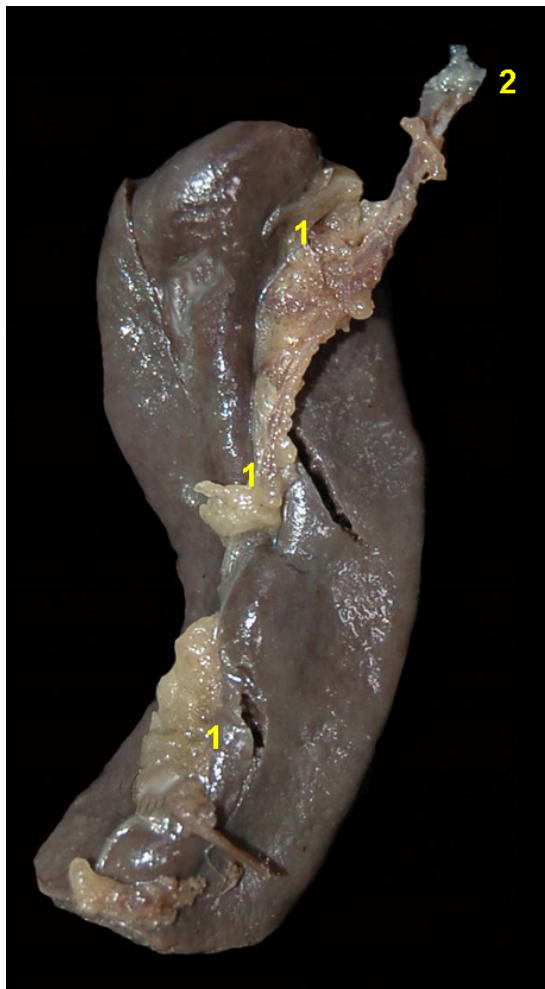
**Figura 4.116** - Visión lateral izquierda del corazón del mono nocturno (*Aotus nancymae*). 1. Aurícula derecha; 2. Ventrículo derecho; 3. Aurícula izquierda; 4. Ventrículo izquierdo; 5. Aorta; 6. Tronco braquiocefálico; 7. Arteria carótida común izquierda; 8. Arteria subclavia izquierda; 9. Arteria pulmonar izquierda; 10. Vena cava craneal; 11. Vena cava caudal.



**Figura 4.117** - Visión lateral derecha del corazón del mono nocturno (*Aotus nancymae*). 1. Atrio derecho; 2. Aurícula derecha; 3. Ventriculo izquierdo; 4. Ventriculo derecho; 5. Aorta; 6. Tronco braquiocefálico; 7. Arteria carótida común izquierda; 8. Arteria subclavia izquierda; 9. Tronco pulmonar; 10. Arterias pulmonares; 11. Ligamento arterioso; 12. Vena cava craneal; 13. Vena cava caudal.



**Figura 4.118** - Visión dorsal de los órganos digestivos abdominales del mono nocturno (*Aotus nancymae*). 1. Esófago; 2. Estómago; 3. Bazo; 4. Asas yeyunales; 5. Ciego; 6. Ampolla del colon ascendente; 7. Colon descendente.

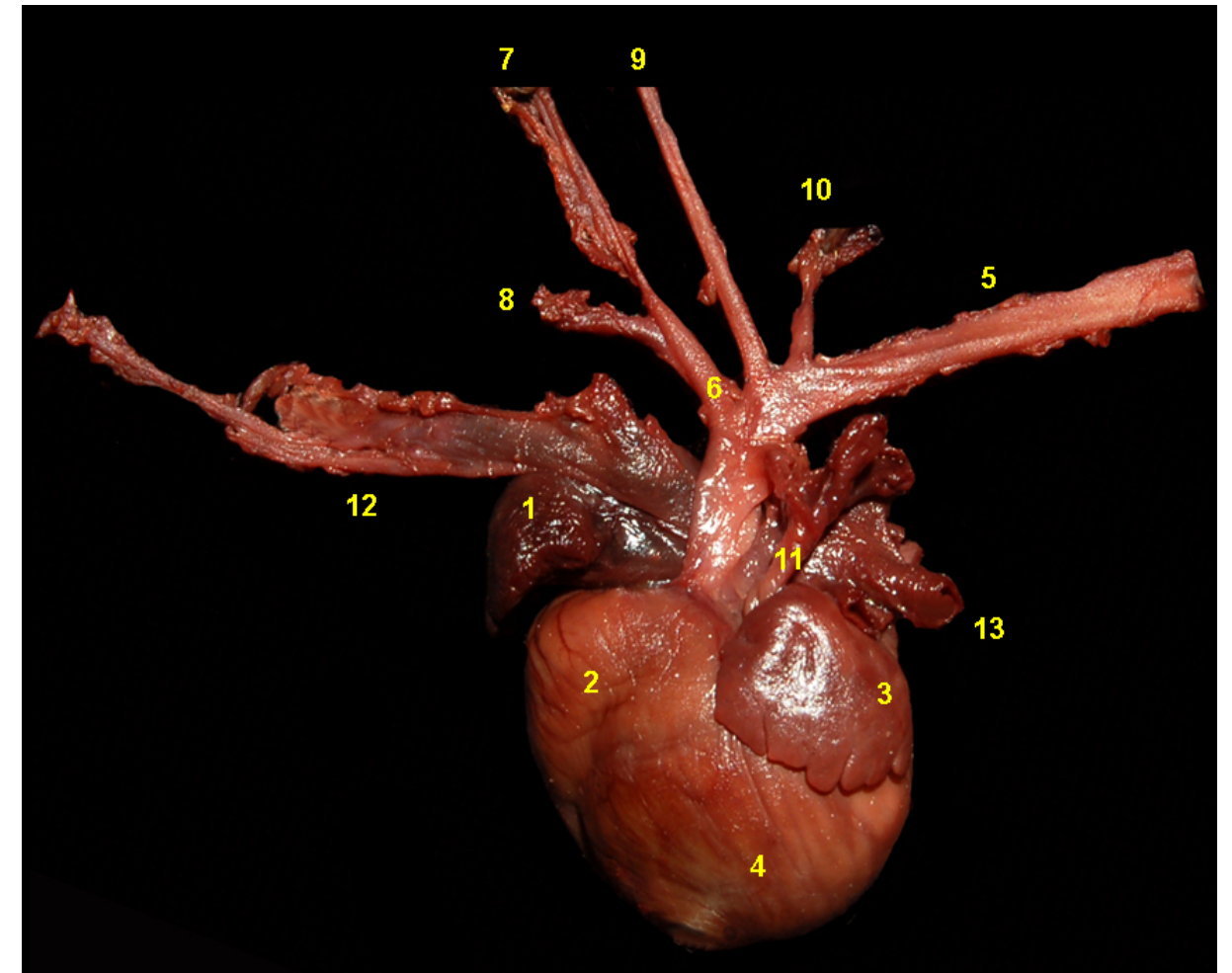


**Figura 4.119** - Cara visceral del bazo del mono nocturno (*Aotus nancymae*). 1. Hilio del bazo; 2. Vasos esplénicos.

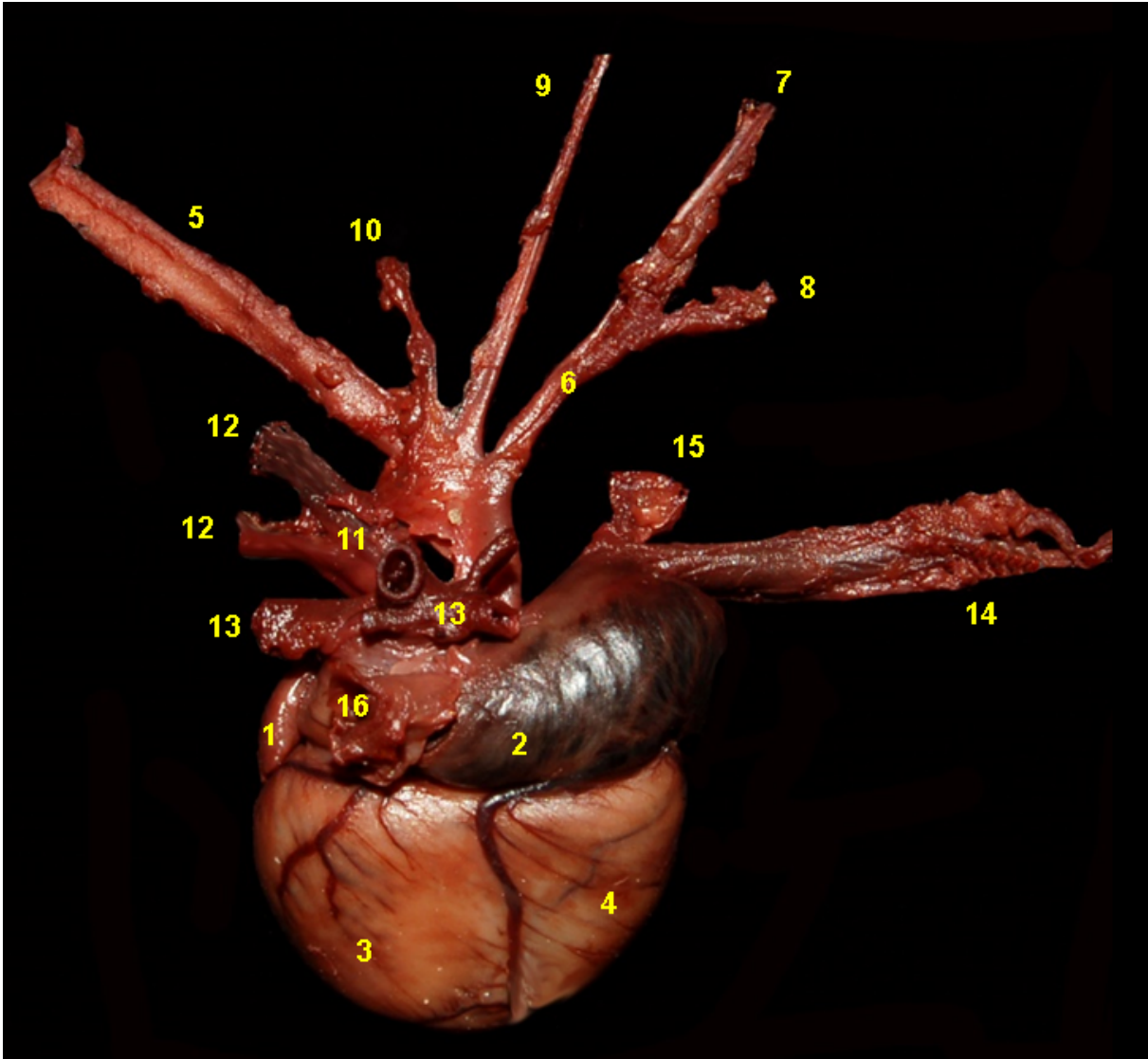




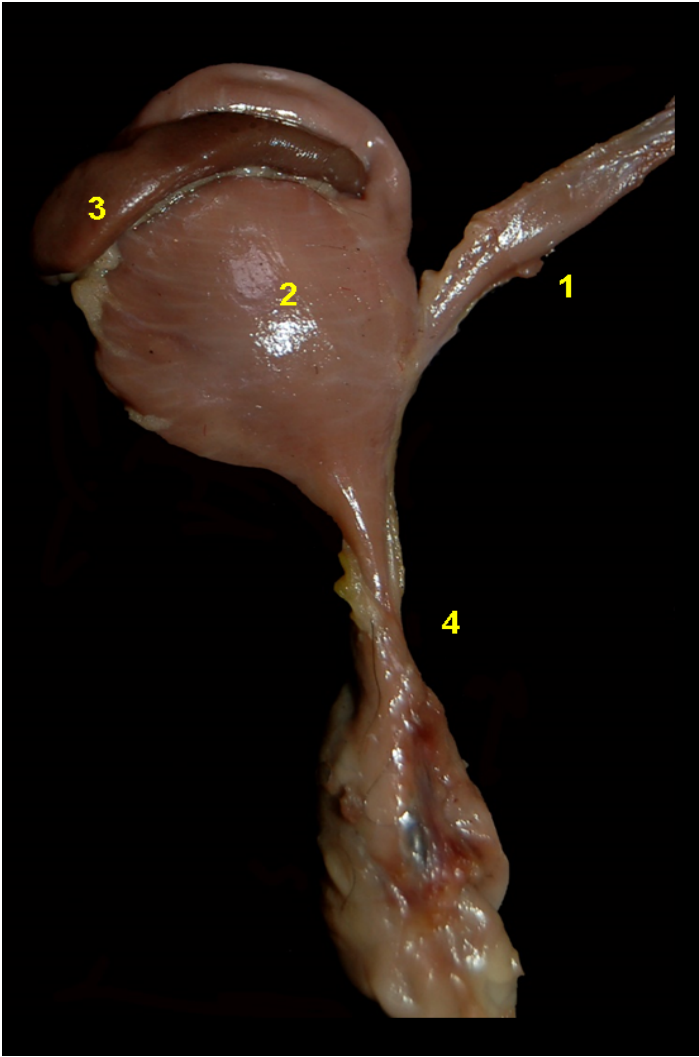
## TITÍ PIGMEO (*Cebuella pygmaea*)



**Figura 4.120** - Visión lateral izquierda del corazón del tití pigmeo (*Cebuella pygmaea*). 1. Aurícula derecha; 2. Ventrículo derecho; 3. Aurícula izquierda; 4. Ventrículo izquierdo; 5. Aorta; 6. Tronco braquiocefálico; 7. Arteria carótida común derecha; 8. Arteria subclavia derecha; 9. Arteria carótida común izquierda; 10. Arteria subclavia izquierda; 11. Tronco pulmonar; 12. Vena cava craneal; 13. Vena cava caudal.



**Figura 4.121** - Visión lateral derecha del corazón del tití pigmeo (*Cebuella pygmaea*). 1. Aurícula izquierda; 2. Atrio derecho; 3. Ventrículo izquierdo; 4. Ventrículo derecho; 5. Aorta; 6. Tronco braquiocefálico; 7. Arteria carótida común derecha; 8. Arteria subclavia derecha; 9. Arteria carótida común izquierda; 10. Arteria subclavia izquierda; 11. Tronco pulmonar; 12. Arterias pulmonares; 13. Venas pulmonares; 14. Vena cava craneal; 15. Vena ácigos derecha; 16. Vena cava caudal.



**Figura 4.122** - Visión dorsal del estómago del tití pigmeo (*Cebuella pygmaea*). 1. Esófago; 2. Estómago; 3. Bazo; 4. Duodeno.

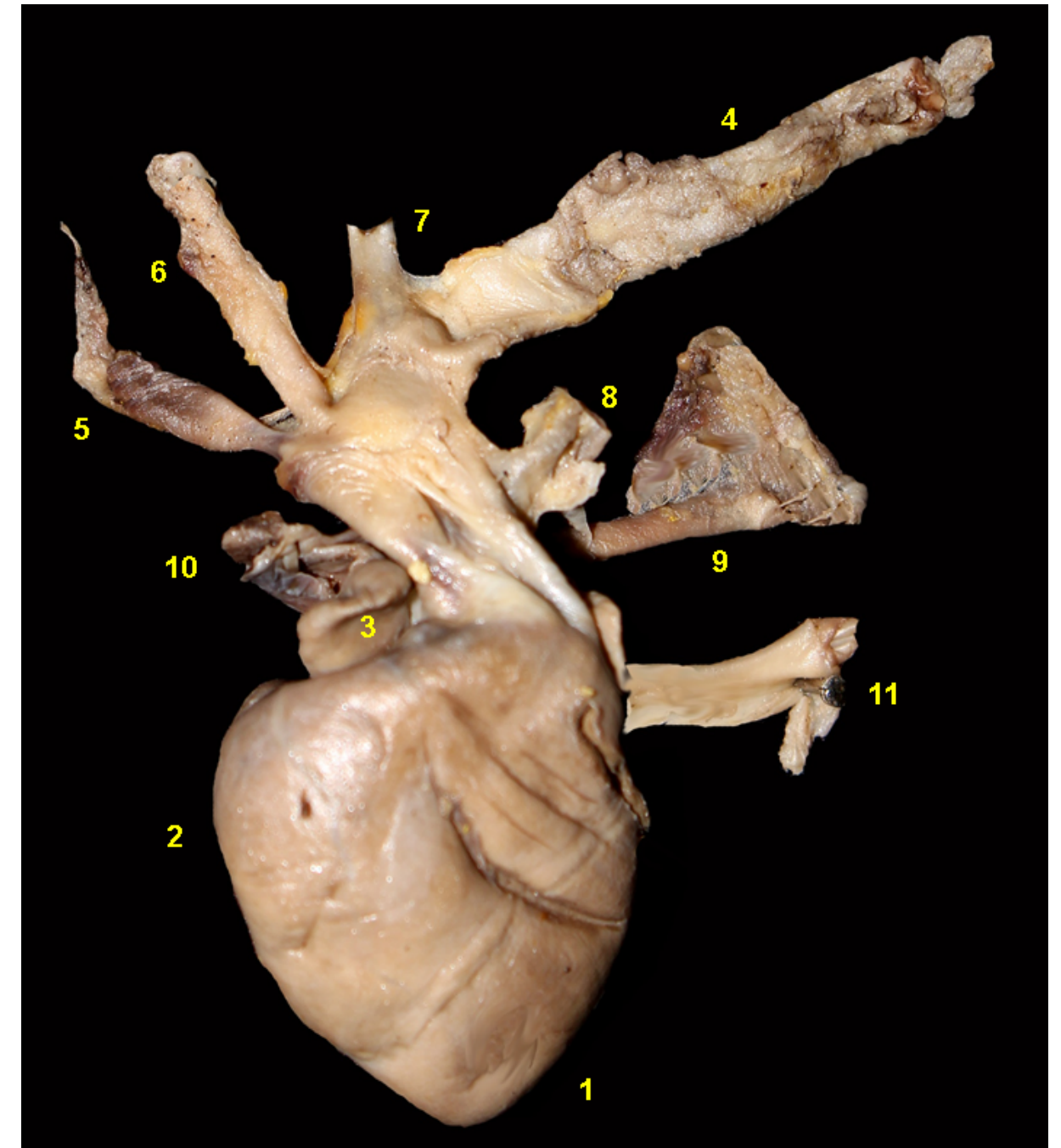


**Figura 4.123** - Bazo del tití pigmeo (*Cebuella pygmaea*). **A** - Cara parietal. **B** - Cara visceral. 1. Hilio del bazo.

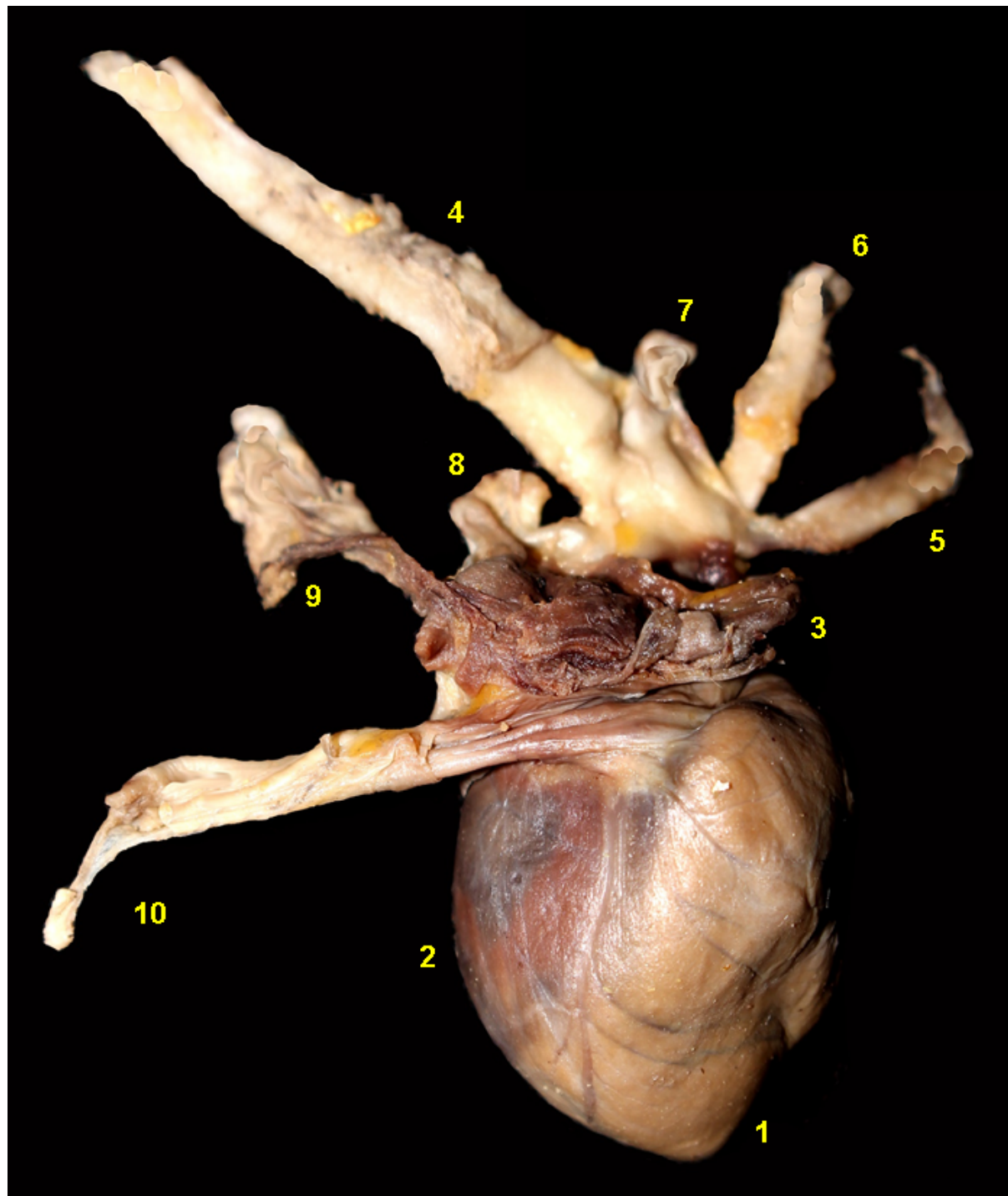




## MONO TITÍ COBRIZO (*Callicebus cupreus*)



**Figura 4.124** - Visión lateral izquierda del corazón del mono tití cobrizo (*Callicebus cupreus*). 1. Ventrículo izquierdo; 2. Ventrículo derecho; 3. Aurícula derecha; 4. Aorta; 5. Tronco braquicefálico; 6. Arteria carótida común izquierda; 7. Arteria subclavia izquierda; 8. Arterias pulmonares; 9. Venas pulmonares; 10. Vena cava craneal; 11. Vena cava caudal.



**Figura 4.125** - Visión lateral derecha del corazón del mono tití cobrizo (*Callicebus cupreus*). 1. Ventriculo derecho; 2. Ventriculo izquierdo; 3. Atrio derecho; 4. Aorta; 5. Tronco braquicefálico; 6. Arteria carótida común izquierda; 7. Arteria subclavia izquierda; 8. Arterias pulmonares; 9. Venas pulmonares; 10. Vena cava caudal..



**Figura 4.126** - Bazo del mono tití cobrizo (*Callicebus cupreus*). **A** - Cara parietal. **B** - Cara visceral. 1. Hilio del bazo.



### REFERENCIAS CONSULTADAS

Faro TAS, Lima AR, Messias AC, Cabral R, Giese EG, Matos ER, Branco E. (2015). Morfologia e morfometria da traqueia da preguiça (*Bradypus variegatus*): conhecimentos para procedimentos de emergência. Pesquisa Veterinária Brasileira, v. 35, n.2, pag:193-198.

International Committee on Veterinary Gross Anatomical Nomenclature (2017). Nomina Anatomica Veterinaria, 6ª ed. Editorial on Veterinary Gross Anatomical Nomenclature Hanover (Germany), Ghent (Belgium), Columbia, MO (U.S.A.), Rio de Janeiro (Brazil). <http://www.wava-amav.org/wava-documents.html>

König HE, Liebich HG (2005). Anatomía de los animales domésticos. Vol 2: Órganos, sistema circulatorio y sistema nervioso. Ed. Médica Panamericana, Madrid.

Popesko P, RatjtoVá V, Horák J (1992). Anatomy of small laboratory animals. Vol I y II. 2º ed. Wolfe Publishing Ltd, London.

Schaller, O. (1999). Nomenclatura anatômica veterinária ilustrada. São Paulo: Manole, 614 p.

Schaller, O. (1986). Nomenclatura anatómica veterinaria ilustrada. Ed. Acribia, Zaragoza.

Sowls LK (1997). Javelines and Other Peccaries: Their Biology, Management and Use. Texas A and M University Press, College Station, Texas.

ÍNDICE DE FIGURAS

VOLUMEN II

APARATO RESPIRATORIO

Laringe

- Agutí (*Dasyprocta fuliginosa*): Figura [3.1](#)
- Paca (*Cuniculus paca*): Figura [3.8](#)
- Pacarana (*Dinomys branickii*): Figura [3.14](#)
- Armadillo de nueve bandas (*Dasypus novemcinctus*): Figura [3.20](#)
- Armadillo gigante (*Priodontes maximus*): Figura [3.26](#)
- Oso hormiguero (*Myrmecophaga tridactyla*): Figura [3.35](#)
- Oso perezoso de tres dedos (*Bradypus variegatus*): Figura [3.46](#)
- Oso perezoso de dos dedos (*Choloepus hoffmanni*): Figura [3.54](#)
- Pécari de collar (*Pecari tajacu*): Figura [3.61](#)
- Pécari labiado (*Tayassu pecari*): Figura [3.69](#)
- Venado rojo (*Mazama americana*): Figura [3.80](#)
- Tapir (*Tapirus terrestris*): Figura [3.89](#)
- Ocelote (*Leopardus pardalis*): Figura [3.98](#)
- Jaguar (*Panthera onca*): Figura [3.105](#)
- Coatí de cola anillada (*Nasua nasua*): Figura [3.112](#)
- Nutria gigante (*Pteronura brasiliensis*): Figura [3.120](#)
- Mono machín blanco (*Cebus albifrons*): Figura [3.130](#)
- Mono machín negro (*Sapajus macrocephalus*): Figura [3.137](#)
- Mono barrigudo (*Lagothrix poeppigii*): Figura [3.145](#)
- Mono aullador (*Alouatta seniculus*): Figura [3.150](#)
- Mono araña (*Ateles chamek*): Figura [3.168](#)
- Mono fraile (*Saimiri macrodon*): Figura [3.174](#)
- Uácari rojo (*Cacajao calvus*): Figura [3.179](#)
- Huapo negro (*Pithecia monachus*): Figura [3.185](#)
- Mono nocturno (*Aotus nancymae*): Figura [3.193](#)
- Tití pigmeo (*Cebuella pigmaea*): Figura [3.201](#)
- Mico bebeleche (*Leontocebus fuscicollis*): Figura [3.208](#)

Tráquea

- Agutí (*Dasyprocta fuliginosa*): Figura [3.6](#)
- Paca (*Cuniculus paca*): Figura [3.12](#)
- Pacarana (*Dinomys branickii*): Figura [3.18](#)
- Armadillo de nueve bandas (*Dasypus novemcinctus*): Figura [3.24](#)
- Armadillo gigante (*Priodontes maximus*): Figura [3.33](#)
- Oso hormiguero (*Myrmecophaga tridactyla*): Figura [3.44](#)
- Oso perezoso de tres dedos (*Bradypus variegatus*): Figura [3.52](#)
- Oso perezoso de dos dedos (*Choloepus hoffmanni*): Figura [3.59](#)
- Pécari de collar (*Pecari tajacu*): Figura [3.66](#)



Pécari labiado (*Tayassu pecari*): Figura [3.76](#)  
Venado gris (*Mazama nemorivaga*): Figura [3.78](#)  
Venado rojo (*Mazama americana*): Figura [3.87](#)  
Tapir (*Tapirus terrestris*): Figura [3.96](#)  
Ocelote (*Leopardus pardalis*): Figura [3.103](#)  
Jaguar (*Panthera onca*): Figura [3.110](#)  
Coatí de cola anillada (*Nasua nasua*): Figura [3.116](#)  
Kinkajou (*Potos flavus*): Figura [3.118](#)  
Nutria gigante (*Pteronura brasiliensis*): Figura [3.128](#)  
Mono machín blanco (*Cebus albifrons*): Figura [3.135](#)  
Mono machín negro (*Sapajus macrocephalus*): Figura [3.142](#)  
Mono barrigudo (*Lagothrix poeppigii*): Figura [3.148](#)  
Mono aullador (*Alouatta seniculus*): Figura [3.166](#)  
Mono araña (*Ateles chamek*): Figura [3.172](#)  
Mono fraile (*Saimiri macrodon*): Figura [3.177](#)  
Uácari rojo (*Cacajao calvus*): Figura [3.183](#)  
Huapo negro (*Pithecia monachus*): Figura [3.191](#)  
Mono nocturno (*Aotus nancymae*): Figura [3.199](#)  
Tití pigmeo (*Cebuella pigmaea*): Figura [3.204](#)  
Mono tití cobrizo (*Callicebus cupreus*): Figura [3.206](#)  
Mico bebeleche (*Leontocebus fuscicollis*): Figura [3.210](#)

**Árbol traqueobronquial y pulmones**

Agutí (*Dasyprocta fuliginosa*): Figura [3.6](#)  
Paca (*Cuniculus paca*): Figura [3.12](#)  
Pacarana (*Dinomys branickii*): Figura [3.18](#)  
Armadillo de nueve bandas (*Dasypus novemcinctus*): Figura [3.24](#)  
Armadillo gigante (*Priodontes maximus*): Figura [3.33](#)  
Oso hormiguero (*Myrmecophaga tridactyla*): Figura [3.44](#)  
Oso perezoso de tres dedos (*Bradypus variegatus*): Figura [3.52](#)  
Oso perezoso de dos dedos (*Choloepus hoffmanni*): Figura [3.59](#)  
Pécari de collar (*Pecari tajacu*): Figura [3.66](#)  
Pécari labiado (*Tayassu pecari*): Figura [3.76](#)  
Venado gris (*Mazama nemorivaga*): Figura [3.78](#)  
Venado rojo (*Mazama americana*): Figura [3.87](#)  
Tapir (*Tapirus terrestris*): Figura [3.96](#)  
Ocelote (*Leopardus pardalis*): Figura [3.103](#)  
Jaguar (*Panthera onca*): Figura [3.110](#)  
Coatí de cola anillada (*Nasua nasua*): Figura [3.116](#)  
Kinkajou (*Potos flavus*): Figura [3.118](#)  
Nutria gigante (*Pteronura brasiliensis*): Figura [3.128](#)  
Mono machín blanco (*Cebus albifrons*): Figura [3.135](#)  
Mono machín negro (*Sapajus macrocephalus*): Figura [3.142](#)  
Mono barrigudo (*Lagothrix poeppigii*): Figura [3.148](#)  
Mono aullador (*Alouatta seniculus*): Figura [3.166](#)

Mono araña (*Ateles chamek*): Figura [3.172](#)  
Mono fraile (*Saimiri macrodon*): Figura [3.177](#)  
Uácari rojo (*Cacajao calvus*): Figura [3.183](#)  
Huapo negro (*Pithecia monachus*): Figura [3.191](#)  
Mono nocturno (*Aotus nancymae*): Figura [3.199](#)  
Tití pigmeo (*Cebuella pigmaea*): Figura [3.204](#)  
Mono tití cobrizo (*Callicebus cupreus*): Figura [3.206](#)  
Mico bebeleche (*Leontocebus fuscicollis*): Figura [3.210](#)

**CORAZÓN, GRANDES VASOS Y BAZO**

**Corazón y grandes vasos**

Agutí (*Dasyprocta fuliginosa*): Figura [4.1](#)  
Paca (*Cuniculus paca*): Figura [4.6](#)  
Pacarana (*Dinomys branickii*): Figura [4.10](#)  
Armadillo de nueve bandas (*Dasypus novemcinctus*): Figura [4.14](#)  
Armadillo gigante (*Priodontes maximus*): Figura [4.19](#)  
Oso hormiguero (*Myrmecophaga tridactyla*): Figura [4.24](#)  
Oso perezoso de tres dedos (*Bradypus variegatus*): Figura [4.28](#)  
Oso perezoso de dos dedos (*Choloepus hoffmanni*): Figura [4.32](#)  
Pécari de collar (*Pecari tajacu*): Figura [4.36](#)  
Pécari labiado (*Tayassu pecari*): Figura [4.40](#)  
Venado gris (*Mazama nemorivaga*): Figura [4.48](#)  
Venado rojo (*Mazama americana*): Figura [4.52](#)  
Tapir (*Tapirus terrestris*): Figura [4.55](#)  
Ocelote (*Leopardus pardalis*): Figura [4.61](#)  
Jaguar (*Panthera onca*): Figura [4.66](#)  
Coatí de cola anillada (*Nasua nasua*): Figura [4.71](#)  
Kinkajou (*Potos flavus*): Figura [4.75](#)  
Nutria gigante (*Pteronura brasiliensis*): Figura [4.79](#)  
Mono machín blanco (*Cebus albifrons*): Figura [4.83](#)  
Mono machín negro (*Sapajus macrocephalus*): Figura [4.88](#)  
Mono barrigudo (*Lagothrix poeppigii*): Figura [4.93](#)  
Mono aullador (*Alouatta seniculus*): Figura [4.96](#)  
Mono araña (*Ateles chamek*): Figura [4.100](#)  
Mono fraile (*Saimiri macrodon*): Figura [4.104](#)  
Uácari rojo (*Cacajao calvus*): Figura [4.108](#)  
Huapo negro (*Pithecia monachus*): Figura [4.112](#)  
Mono nocturno (*Aotus nancymae*): Figura [4.116](#)  
Tití pigmeo (*Cebuella pigmaea*): Figura [4.120](#)  
Mono tití cobrizo (*Callicebus cupreus*): Figura [4.124](#)

**Bazo**

Agutí (*Dasyprocta fuliginosa*): Figura [4.4](#)

Paca (*Cuniculus paca*): Figura [4.8](#)  
Pacarana (*Dinomys branickii*): Figura [4.12](#)  
Armadillo de nueve bandas (*Dasypus novemcinctus*): Figura [4.16](#)  
Armadillo gigante (*Priodontes maximus*): Figura [4.23](#)  
Oso hormiguero (*Myrmecophaga tridactyla*): Figura [4.26](#)  
Oso perezoso de tres dedos (*Bradypus variegatus*): Figura [4.31](#)  
Oso perezoso de dos dedos (*Choloepus hoffmanni*): Figura [4.34](#)  
Pécari de collar (*Pecari tajacu*): Figura [4.38](#)  
Pécari labiado (*Tayassu pecari*): Figura [4.46](#)  
Venado gris (*Mazama nemorivaga*): Figura [4.50](#)  
Venado rojo (*Mazama americana*): Figura [4.53](#)  
Tapir (*Tapirus terrestris*): Figura [4.59](#)  
Ocelote (*Leopardus pardalis*): Figura [4.64](#)  
Jaguar (*Panthera onca*): Figura [4.68](#)  
Coatí de cola anillada (*Nasua nasua*): Figura [4.73](#)  
Kinkajou (*Potos flavus*): Figura [4.77](#)  
Nutria gigante (*Pteronura brasiliensis*): Figura [4.81](#)  
Mono machín blanco (*Cebus albifrons*): Figura [4.86](#)  
Mono machín negro (*Sapajus macrocephalus*): Figura [4.91](#)  
Mono barrigudo (*Lagothrix poeppigii*): Figura [4.94](#)  
Mono aullador (*Alouatta seniculus*): Figura [4.98](#)  
Mono araña (*Ateles chamek*): Figura [4.102](#)  
Mono fraile (*Saimiri macrodon*): Figura [4.106](#)  
Uácari rojo (*Cacajao calvus*): Figura [4.110](#)  
Huapo negro (*Pithecia monachus*): Figura [4.114](#)  
Mono nocturno (*Aotus nancymae*): Figura [4.118](#)  
Tití pigmeo (*Cebuella pigmaea*): Figura [4.122](#)  
Mono tití cobrizo (*Callicebus cupreus*): Figura [4.126](#)



